



This is a digital copy of a book that was preserved for generations on library shelves before it was carefully scanned by Google as part of a project to make the world's books discoverable online.

It has survived long enough for the copyright to expire and the book to enter the public domain. A public domain book is one that was never subject to copyright or whose legal copyright term has expired. Whether a book is in the public domain may vary country to country. Public domain books are our gateways to the past, representing a wealth of history, culture and knowledge that's often difficult to discover.

Marks, notations and other marginalia present in the original volume will appear in this file - a reminder of this book's long journey from the publisher to a library and finally to you.

Usage guidelines

Google is proud to partner with libraries to digitize public domain materials and make them widely accessible. Public domain books belong to the public and we are merely their custodians. Nevertheless, this work is expensive, so in order to keep providing this resource, we have taken steps to prevent abuse by commercial parties, including placing technical restrictions on automated querying.

We also ask that you:

- + *Make non-commercial use of the files* We designed Google Book Search for use by individuals, and we request that you use these files for personal, non-commercial purposes.
- + *Refrain from automated querying* Do not send automated queries of any sort to Google's system: If you are conducting research on machine translation, optical character recognition or other areas where access to a large amount of text is helpful, please contact us. We encourage the use of public domain materials for these purposes and may be able to help.
- + *Maintain attribution* The Google "watermark" you see on each file is essential for informing people about this project and helping them find additional materials through Google Book Search. Please do not remove it.
- + *Keep it legal* Whatever your use, remember that you are responsible for ensuring that what you are doing is legal. Do not assume that just because we believe a book is in the public domain for users in the United States, that the work is also in the public domain for users in other countries. Whether a book is still in copyright varies from country to country, and we can't offer guidance on whether any specific use of any specific book is allowed. Please do not assume that a book's appearance in Google Book Search means it can be used in any manner anywhere in the world. Copyright infringement liability can be quite severe.

About Google Book Search

Google's mission is to organize the world's information and to make it universally accessible and useful. Google Book Search helps readers discover the world's books while helping authors and publishers reach new audiences. You can search through the full text of this book on the web at <http://books.google.com/>



Über dieses Buch

Dies ist ein digitales Exemplar eines Buches, das seit Generationen in den Regalen der Bibliotheken aufbewahrt wurde, bevor es von Google im Rahmen eines Projekts, mit dem die Bücher dieser Welt online verfügbar gemacht werden sollen, sorgfältig gescannt wurde.

Das Buch hat das Urheberrecht überdauert und kann nun öffentlich zugänglich gemacht werden. Ein öffentlich zugängliches Buch ist ein Buch, das niemals Urheberrechten unterlag oder bei dem die Schutzfrist des Urheberrechts abgelaufen ist. Ob ein Buch öffentlich zugänglich ist, kann von Land zu Land unterschiedlich sein. Öffentlich zugängliche Bücher sind unser Tor zur Vergangenheit und stellen ein geschichtliches, kulturelles und wissenschaftliches Vermögen dar, das häufig nur schwierig zu entdecken ist.

Gebrauchsspuren, Anmerkungen und andere Randbemerkungen, die im Originalband enthalten sind, finden sich auch in dieser Datei – eine Erinnerung an die lange Reise, die das Buch vom Verleger zu einer Bibliothek und weiter zu Ihnen hinter sich gebracht hat.

Nutzungsrichtlinien

Google ist stolz, mit Bibliotheken in partnerschaftlicher Zusammenarbeit öffentlich zugängliches Material zu digitalisieren und einer breiten Masse zugänglich zu machen. Öffentlich zugängliche Bücher gehören der Öffentlichkeit, und wir sind nur ihre Hüter. Nichtsdestotrotz ist diese Arbeit kostspielig. Um diese Ressource weiterhin zur Verfügung stellen zu können, haben wir Schritte unternommen, um den Missbrauch durch kommerzielle Parteien zu verhindern. Dazu gehören technische Einschränkungen für automatisierte Abfragen.

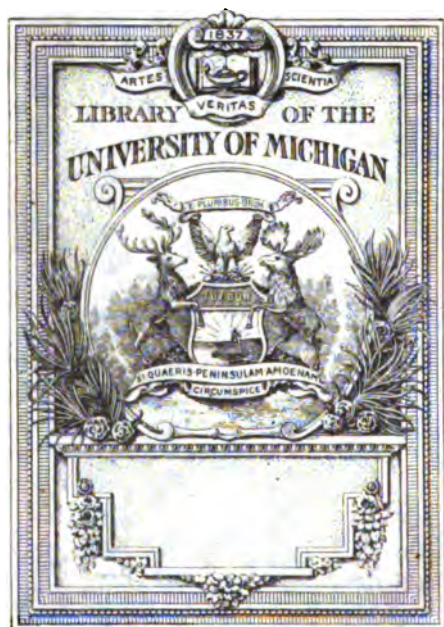
Wir bitten Sie um Einhaltung folgender Richtlinien:

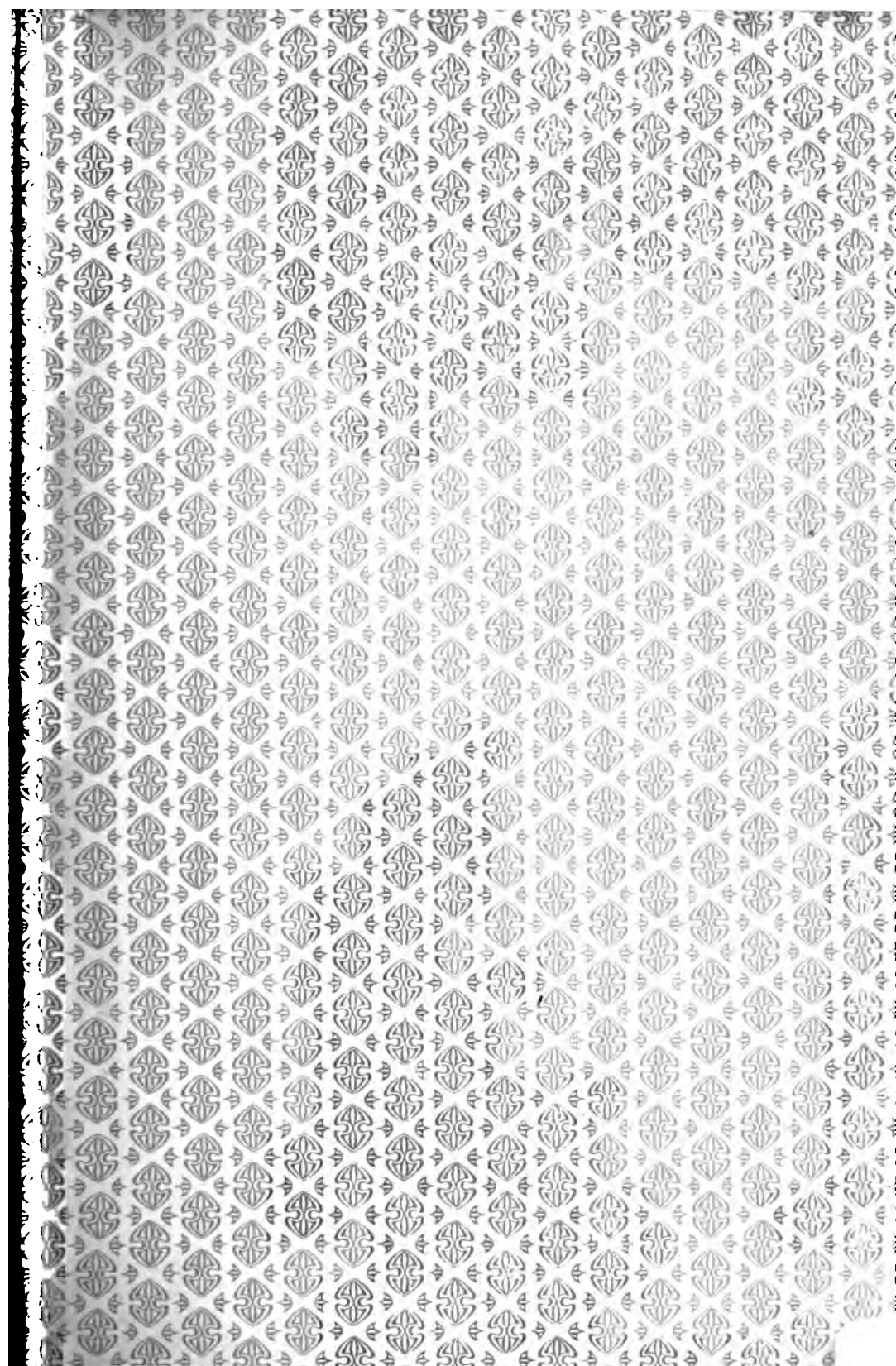
- + *Nutzung der Dateien zu nichtkommerziellen Zwecken* Wir haben Google Buchsuche für Endanwender konzipiert und möchten, dass Sie diese Dateien nur für persönliche, nichtkommerzielle Zwecke verwenden.
- + *Keine automatisierten Abfragen* Senden Sie keine automatisierten Abfragen irgendwelcher Art an das Google-System. Wenn Sie Recherchen über maschinelle Übersetzung, optische Zeichenerkennung oder andere Bereiche durchführen, in denen der Zugang zu Text in großen Mengen nützlich ist, wenden Sie sich bitte an uns. Wir fördern die Nutzung des öffentlich zugänglichen Materials für diese Zwecke und können Ihnen unter Umständen helfen.
- + *Beibehaltung von Google-Markenelementen* Das "Wasserzeichen" von Google, das Sie in jeder Datei finden, ist wichtig zur Information über dieses Projekt und hilft den Anwendern weiteres Material über Google Buchsuche zu finden. Bitte entfernen Sie das Wasserzeichen nicht.
- + *Bewegen Sie sich innerhalb der Legalität* Unabhängig von Ihrem Verwendungszweck müssen Sie sich Ihrer Verantwortung bewusst sein, sicherzustellen, dass Ihre Nutzung legal ist. Gehen Sie nicht davon aus, dass ein Buch, das nach unserem Dafürhalten für Nutzer in den USA öffentlich zugänglich ist, auch für Nutzer in anderen Ländern öffentlich zugänglich ist. Ob ein Buch noch dem Urheberrecht unterliegt, ist von Land zu Land verschieden. Wir können keine Beratung leisten, ob eine bestimmte Nutzung eines bestimmten Buches gesetzlich zulässig ist. Gehen Sie nicht davon aus, dass das Erscheinen eines Buchs in Google Buchsuche bedeutet, dass es in jeder Form und überall auf der Welt verwendet werden kann. Eine Urheberrechtsverletzung kann schwerwiegende Folgen haben.

Über Google Buchsuche

Das Ziel von Google besteht darin, die weltweiten Informationen zu organisieren und allgemein nutzbar und zugänglich zu machen. Google Buchsuche hilft Lesern dabei, die Bücher dieser Welt zu entdecken, und unterstützt Autoren und Verleger dabei, neue Zielgruppen zu erreichen. Den gesamten Buchtext können Sie im Internet unter <http://books.google.com> durchsuchen.

B 455069





Chemical Library

TN

705

.J93g

1900

GRUNDZÜGE der SIDEROLOGIE.

Für Hüttenleute, Maschinenbauer u. s. w.
sowie zur Benutzung beim Unterrichte bearbeitet.

Von

Hanns Freiherr v. Jüptner,
o. ö. Professor an der k. k. technischen Hochschule in Wien.

Dritter Teil:

Die Wechselwirkungen zwischen Eisen und verschiedenen Agentien.

Mit XX Tafeln und 18 Abbildungen im Text.

Leipzig.

Verlag von Arthur Felix.

1904.

**Alle Rechte, insbesondere das der Übersetzung
in fremde Sprachen, vorbehalten.**

Seiner lieben Frau

Victoire

in dankbarer Erinnerung an treue Mithilfe
und gemeinsames Wirken
gewidmet.

1813 17

Vorwort.

Mit dem vorliegenden dritten Teile finden die „Grundzüge der Siderologie“ ihren Abschluss, der durch die Berufung des Verfassers an die Wiener technische Hochschule, beziehentlich durch die mit diesem Wechsel seiner Thätigkeit verknüpften Arbeiten leider etwas verzögert wurde.

Die Erfolge der ersten beiden Teile waren ganz aussergewöhnliche, wie sich nicht allein aus den in Fachjournalen veröffentlichten Besprechungen sowie den zahlreichen mündlichen und schriftlichen Anerkennungen ergibt, welche dem Verfasser von berufenster Seite zu Teil wurden, sondern auch aus dem überraschenden Absatze und aus dem Umstande hervorgeht, dass sich den im Vorworte zum zweiten Teile erwähnten, auch noch eine französische Übersetzung angereiht hat. Überdies wird es in der Fachlitteratur häufig als Quellenwerk citiert.

Ja selbst der Name „Siderologie“, der anfangs hier und da Bedenken zu erregen schien, hat sich inzwischen bereits eingebürgert, was wohl hauptsächlich dem Umstande zu danken ist, dass er von so hervorragenden Gelehrten, wie van't Hoff und anderen sofort aufgegriffen wurde.

Wenn ich nun noch mit einigen Worten auf den Inhalt des dritten Teiles zu sprechen komme, so ist derselbe wohl in allererster Linie für Hüttenleute bestimmt, indem er die Theorie der hüttenmännischen Prozesse im Lichte der heutigen physikalisch chemischen Auffassung geben soll. Freilich bleibt auf

diesem Gebiete noch recht viel zu thun übrig; aber es lässt sich mit Befriedigung konstatieren, dass auch hier in den letzten Jahren manche interessanten Studien veröffentlicht wurden, so dass in der nächsten Zeit ein rasches Vorwärtsschreiten zu erwarten ist.

Möge der vorliegende dritte Teil der Siderologie dieselbe warme Aufnahme finden wie die beiden ersten, und dazu beitragen, die Wissenschaft immer mehr in den Dienst der Technik zu stellen!

Glück auf!

Wien, im September 1904.

Der Verfasser.

Inhalt des dritten Teiles.

| | Seite |
|---|-----------|
| Vorwort | VII |
| Einleitung | 1 |
| Dritter Teil: Die Wechselwirkungen zwischen Eisen und verschiedenen Agentien | |
| | 11 |
| Erstes Buch. Allgemeines über das Verhalten von Eisen zu Agentien | |
| | 13 |
| 1. Kapitel: Eisen und Sauerstoff | 13 |
| A. Einwirkung des Sauerstoffes auf geschmolzenes Eisen | 17 |
| B. " " " festes " " | 19 |
| 2. " Verhalten der Sauerstoffverbindungen des Eisens gegen reduzierende Agentien | 25 |
| 3. " Gleichgewichtserscheinungen bei den Reduktionsprozessen (Kohlenoxyd, Kohlensäure und Kohlenstoff) | 35 |
| 4. " Gleichgewicht bei den Reduktionsprozessen (Kohlensäure, Kohlenoxyd und Sauerstoff) | 55 |
| 5. " Verhalten des Eisens gegen Kohlenstoff | 67 |
| 6. " Verhalten des Eisens gegen andere Elemente (Phosphor) | 78 |
| 7. " Verhalten des Eisens gegen andere Elemente (Schwefel) | 98 |
| 8. " Verhalten des Eisens gegen andere Elemente | 113 |
| Mangan | 113 |
| Silicium | 115 |
| Arsen | 117 |
| Chrom | 117 |
| Wolfram | 118 |
| Molybdän | 118 |
| Titan | 119 |
| Kupfer | 119 |
| Nickel | 119 |
| 9. " Verhalten des Eisens gegen Schlacken | 120 |
| Roheisen und Hochofenschlacke | 123 |
| Metall und Schlacke beim Siemens-Martinprozess | 130 |
| Thomasprozess | 134 |
| 10. " Wechselwirkungen zwischen Metall und darin einge- schlossener Schlacke | 149 |

| | |
|---|--------------|
| Zweites Buch. Die hüttenmännischen Prozesse | Seite |
| Einleitung | 153 |
| A. Hochofenprozesse | 154 |
| 1. Kapitel: Der Hochofenprozess und die wichtigen sonstigen Reduktionsprozesse | 154 |
| 2. „ Verbrennung der Kohle vor den Formen | 161 |
| 3. „ „ „ „ „ „ „ | 166 |
| 4. „ Verbrennung der Kohle vor den Formen. Einfluss des Wasserdampfes und des Stickstoffes | 176 |
| 5. „ Genauere Berechnung der Bildungsenergien der früher besprochenen Verbindungen | 190 |
| 6. „ Veränderungen des Gasstromes im oberen Teile des Ofenschachtes | 201 |
| 7. „ Veränderungen, welche die Beschickung im obersten Teile des Hochofens erleidet | 206 |
| 8. „ Veränderungen, welche die Beschickung in den unteren Teilen des Ofenschachtes erleidet | 216 |
| 9. „ Gaszusammensetzung und Hochofengang | 231 |
| 10. „ Die Vorgänge im Hochofen, theoretisch betrachtet | 256 |
| 11. „ Die Rolle der Schlacken im Hochofenprozesse | 273 |
| B. Frischprozesse | 276 |
| 12. Kapitel: Allgemeines | 276 |
| 13. „ Frischen des Eisens im festen Zustande (Glühstahlbereitung und schmiedbarer Guss) | 281 |
| 14. „ Frischprozesse, bei welchen das Frischprodukt in teigigem Zustande aus flüssigem Roheisen gewonnen wird. (Herdfrischen) | 290 |
| 15. „ Frischprozesse, bei welchen das Frischprodukt in teigigem Zustande aus flüssigem Roheisen gewonnen wird. (Puddeln) | 297 |
| 16. „ Frischprozesse bei hohen Temperaturen, bei welchen aus flüssigem Roheisen ein flüssiges Endprodukt erhalten wird. (Allgemeines) | 306 |
| 17. „ Der saure Bessemerprozess | 314 |
| 18. „ Der basische Bessemer- oder Thomasprozess | 327 |
| 19. „ Die Rolle der Schlacke im Thomasprozesse | 336 |
| 20. „ Der Martinprozess | 341 |
| 21. „ Der Martinprozess (Fortsetzung) | 354 |
| 22. „ Abarten des Martinprozesses | 362 |
| Würtenbergers Verfahren | 362 |
| Raffinierstahl | 362 |
| Bertrand-Thiel-Verfahren | 363 |
| Talbot-Verfahren | 364 |
| C. Tiegelstahl (Gussstahl im engeren Sinne) | 366 |
| 23. Kapitel: Tiegelstahlerzeugung | 366 |

Inhalts-Verzeichnis.

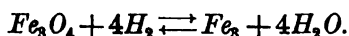
XI

| | Seite |
|--|-------|
| D. Umschmelzen des Roheisens | 373 |
| 24. Kapitel: Das Umschmelzen des Roheisens | 373 |
| a) in Tiegeln | 373 |
| b) „ Flammöfen | 374 |
| c) „ Cupolöfen | 375 |
| E. Kohlungsprozesse | 379 |
| 25. Kapitel: Allgemeines und Kohlung des flüssigen Eisens | 379 |
| 26. „ Die Cementstahlerzeugung | 383 |
| <hr/> | |
| Nachträge | 387 |
| Litteraturübersicht | 400 |
| Autoren-Register | 419 |
| Sach-Register | 422 |

Einleitung.

Der vorliegende dritte Teil der Grundzüge der Siderologie soll die Wechselwirkungen zwischen metallischem Eisen und verschiedenen Agentien behandeln. Bevor wir jedoch näher hierauf eingehen, wird es gut sein, die Gesetze, welche diese chemischen Reaktionen beherrschen, vom allgemeinen physikalisch-chemischen Standpunkte aus etwas näher zu betrachten, da diese Gesetze heute noch nicht in weiteren Kreisen bekannt sind.

Leitet man einen Strom von Wasserstoffgas über rotglühendes Eisenoxyduloxyd, so entsteht Wasser und metallisches Eisen. Leiten wir nun umgekehrt einen Strom von Wasserdampf über metallisches Eisen, so entsteht wieder Eisenoxyduloxyd, während Wasserstoff frei wird. Wir haben es also hier mit einer Reaktion zu thun, welche bei derselben Temperatur je nach Umständen einmal im einen, das andere Mal im entgegengesetzten Sinne verläuft, was wir symbolisch durch die folgende Reaktionsgleichung ausdrücken:



Fragen wir nach der Ursache dieser Erscheinung, so finden wir sie darin, dass thatsächlich beide Reaktionen gleichzeitig nebeneinander auftreten und zu einem Gleichgewichtszustande führen. Um dies noch deutlicher zu machen, wollen wir zunächst eine noch einfachere Reaktion wählen.

Erhitzen wir beispielsweise JH auf eine beträchtliche Temperatur, so zerfällt es teilweise in Joddampf und Wasserstoffgas. Bringen wir umgekehrt Joddampf und Wasserstoffgas bei derselben Temperatur miteinander in Berührung, so vereinigen sich dieselben teilweise zu JH , und zwar wird im ersten Falle genau ebensoviel JH unzersetzt bleiben, als im zweiten Falle gebildet wird. Man nennt solche Reaktionen umkehrbare und erklärt die

Bildung des Gleichgewichts in folgender Weise. Beim Erhitzen des JH wird dasselbe mit einer gewissen Geschwindigkeit zerlegt, die von Druck und Temperatur abhängig ist. Andererseits erfolgt in einem Gemenge von Joddampf und Wasserstoffgas die Verbindung beider Körper zu Jodwasserstoff gleichfalls mit einer gewissen Geschwindigkeit. Gleichgewicht wird nur dann eintreten, wenn die drei Stoffe: Jod, Wasserstoff und Jodwasserstoff in einem solchen gegenseitigen Verhältnisse vorhanden sind, dass in der Zeiteinheit eine eben so grosse Menge von Jodwasserstoff neu gebildet, als zerlegt wird.

Gehen wir nun zu dem komplizierteren Falle zurück, in welchem beim Überleiten von Wasserstoffgas über glühendes Eisenoxyduloxyd Wasser und metallisches Eisen entstehen, während beim Überleiten von Wasserdampf über glühendes Eisen unter Bildung von Eisenoxyduloxyd Wasserstoff frei wird. Hier entsteht einmal metallisches Eisen, das andere Mal aber Eisenoxyduloxyd, so dass man im ersten Augenblicke glauben könnte, dass es sich um keine Gleichgewichtserscheinung handle. Untersucht man jedoch die Gase, welche den glühenden Körper passiert haben, so findet man, dass dieselben in beiden Fällen Wasserstoff und Wasserdampf gleichzeitig enthalten, ja dass — gleiche Temperatur und eine genügend lange Schicht des glühenden Körpers vorausgesetzt — Wasserdampf und Wasserstoff zu einander sogar im gleichen Verhältnisse stehen. Ob der feste Körper am Ende der Operation metallisches Eisen oder Eisenoxyduloxyd ist, hängt nur davon ab, ob man Wasserstoff oder Wasserdampf zuleitet. In ersterem Falle wird so lange Eisen reduziert und Wasser gebildet werden, bis ein Gasgemenge von konstanter Zusammensetzung erreicht ist. Da aber neuer Wasserstoff nachströmt, wiederholt sich dieser Vorgang so lange, bis alles Eisenoxyduloxyd in metallisches Eisen umgewandelt ist. Leitet man hingegen Wasserdampf über metallisches Eisen, so wird derselbe unter Bildung von Eisenoxyduloxyd so lange zerlegt werden, bis gleichfalls ein konstant zusammengesetztes Gemenge von H_2 und H_2O entsteht. Der nachrückende Wasserdampf wirkt in gleicher Weise, und es wird daher schliesslich das metallische Eisen gänzlich in Eisenoxyduloxyd umgewandelt werden.

Es entsteht also auch hier ein Gleichgewicht (zwischen Wasserstoff und Wasserdampf), das aber von der Menge des vorhandenen

Eisens oder Eisenoxyduloxydes unabhängig ist, wenn nur überhaupt welches vorhanden ist.¹⁾

Dass sich die Sache wirklich so verhält, geht aus folgenden Thatsachen hervor. Leitet man ein Gemenge von H_2 und H_2O -Dampf von jener Zusammensetzung, welche dem bei der Versuchstemperatur herrschenden Gleichgewichtszustande entspricht, über Eisenoxyduloxyd oder über metallisches Eisen, so wird weder das Gasgemenge, noch der feste Körper irgendwie verändert.

Während man nun früher diese „umkehrbaren Reaktionen“ für seltene Ausnahmefälle hielt, haben namentlich die Untersuchungen von H. Sainte-Claire Deville gezeigt, dass sie die Regel bilden.

Nun können zwischen zwei Körpern sehr verschiedene Gleichgewichtszustände existieren, und es wird von gewissen Umständen, die man Gleichgewichtsfaktoren nennt, abhängen, wie das Gleichgewicht beschaffen sein wird. Verschiedene Untersuchungen haben nun gezeigt, dass diese Gleichgewichtsfaktoren weit weniger zahlreich sind, als man gewöhnlich annimmt. Es sind im ganzen nur sechs, von denen drei ausserhalb des Systems liegen, also als externe bezeichnet werden, nämlich Temperatur, Druck und elektromotorische Kraft, während drei interne sind: physikalischer Zustand, chemische Natur und Konzentration.²⁾

Wenn also Temperatur, Druck und elektromotorische Kraft konstant bleiben, wenn sich der physikalische und chemische Zustand der vorhandenen Körper und ihre Konzentration nicht ändert, so erleidet auch der Gleichgewichtszustand eines Systems keine Veränderung. Umgekehrt bewirken aber alle Veränderungen eines dieser Faktoren auch eine Gleichgewichts-Zustands-Änderung des Systems.

Die numerischen Beziehungen, welche man zwischen den verschiedenen Gleichgewichtsfaktoren aufstellen kann, lassen sich nur dann erproben oder praktisch anwenden, wenn man im stande ist, genaue Messungen von Temperatur, Druck und Konzentration der im System vorkommenden reagierenden Körper anzustellen.

1) Von der hierbei stattfindenden Reduktion des Fe_2O_3 zu niedrigeren Oxydationsstufen soll hier abgesehen werden.

2) Unter Konzentration eines Körpers versteht man die Zahl der in der Raumeinheit enthaltenen Moleküle desselben.

In vielen Fällen der Praxis genügt es uns zu wissen, in welchem Sinne sich ein Gleichgewicht verschieben wird, wenn man das System erhitzt, zusammendrückt u. s. w. In dieser Richtung hat man auf empirischem Wege ein ausserordentlich einfaches Prinzip aufgestellt, das man als Gesetz der Gleichgewichtsverschiebung bezeichnet, und das in den meisten Fällen zu bestimmen gestattet, in welchem Sinne sich ein chemisches Gleichgewicht verschieben wird, wenn man einen einzigen Gleichgewichtsfaktor ändert. Die Richtigkeit dieses rein experimentell gefundenen Gesetzes lässt sich auch an der Hand der Thermodynamik beweisen. Van't Hoff war der erste, welcher den Einfluss von Temperaturänderungen auf das chemische Gleichgewicht studierte,¹⁾ während H. Le Chatelier²⁾ das Gesetz zuerst in allgemeiner Form aussprach. Es lautet:

„Jede Änderung eines der Gleichgewichtsfaktoren bewirkt eine Umwandlung im Systeme nach derjenigen Richtung hin, durch welche der betreffende Faktor eine Änderung im entgegengesetzten Sinne erfährt, als dem der ursprünglichen Änderung.“

Wir wollen dieses Gesetz in Bezug auf die verschiedenen Gleichgewichtsfaktoren im einzelnen besprechen.

1. Temperatur. — Jede Temperaturerhöhung eines Systems bewirkt eine Verschiebung des Gleichgewichts in dem Sinne, welche einer Wärmeabsorption entspricht, d. h., welche eine Temperaturniedrigung hervorrufen würde, wenn sie sich allein vollzöge.

Hierher gehören die dimorphen umkehrbaren Umwandlungen, welche von Wärmeabsorption begleitet sind, und die durch Temperaturerhöhungen begünstigt werden, wie die Umwandlung des rhombischen Schwefels in monoklinen, von rotem HgJ_2 in gelbes, von α -Eisen in β -Eisen und von diesem in γ -Eisen u. s. w.

Die Auflösung fast aller Körper erfolgt bei gewöhnlicher Temperatur unter Wärmeabsorption, und es wächst daher die Löslichkeit auch mit der Temperatur. Bei solchen Körpern jedoch,

1) *Études de Dynamique chimique*, p. 161.

2) *Recherches expérimentales et théoriques sur les équilibres chimiques*. — *Ann. d. Mines 8^{me} Série*, t. 13, p. 157.

bei welchen Lösung unter Freiwerden von Wärme erfolgt (wie Calciumhydroxyd, Cersulfat oder anhydrißches Natriumsulfat), sinkt die Löslichkeit mit steigender Temperatur.

Bei den Dissociationserscheinungen zeigen alle Körper, welche unter Wärmeentwicklung gebildet, somit unter Wärmeabsorption zerlegt werden, mit steigender Temperatur eine zunehmende Zersetzung ($CaCO_3$, CO_2 , H_2O u. s. w.). Hingegen sind Körper, bei deren Zerlegung Wärme frei wird (exotherme Zerlegung) um so stabiler, also um so weniger dissociierbar, je höher die Temperatur steigt (Ozon, Acetylen u. s. w.). Das Gleiche gilt auch von allen sonstigen chemischen Reaktionen.

2. Druck. — Bei Vergrößerung des Druckes erleidet das Gleichgewicht eine Verschiebung in dem Sinne, dass eine Druckverminderung hervorgerufen wird, und umgekehrt.

So wird der Schmelzpunkt eines Körpers durch Zusammenpressen entweder erhöht oder erniedrigt, je nachdem das Schmelzen mit Ausdehnung oder Zusammenziehung verbunden ist.

Ebenso vollziehen sich die dimorphen Umwandlungen, welche mit einer Volumsverringerung verbunden sind, bei um so niedrigerer Temperatur, je höher der Druck steigt.

Eine Vergrößerung des Druckes bewirkt die Kondensation von Dämpfen, während eine Druckverminderung die Verdampfung von Flüssigkeiten begünstigt.

Dissociationen, welche unter Volumsvergrößerung, also unter Drucksteigerung verlaufen, schreiten fort, wenn man den Druck verringert, gehen aber zurück, wenn der Druck erhöht wird ($CaCO_3$, CO_2 , H_2O). Dasselbe gilt auch von anderen Reaktionen. So wird der Zerfall von Kohlenoxyd in Kohlensäure und Kohlenstoff ($2CO = CO_2 + C$) durch wachsenden Druck begünstigt.

Sind aber chemische Reaktionen von keiner Volumsänderung begleitet, so sind sie auch vom Druck unabhängig (z. B. $CO_2 + H_2 = CO + H_2O$, vorausgesetzt, dass das Wasser in Dampfform verhardt).

3. Konzentration. — Die Vergrößerung der Menge eines einzigen Bestandteiles eines Systems bedingt eine Verschiebung des Gleichgewichtes in jenem Sinne, dass eine gewisse Menge dieses Bestandteiles verschwindet, dass also die Konzentration desselben verringert wird, und umgekehrt. Es ist dies eine Er-

scheinung, die in der Chemie auch unter der Bezeichnung Massenwirkung bekannt ist.

Quantitative Gleichgewichtsgesetze. — Die Anwendung der thermodynamischen Grundsätze auf das chemische Gleichgewicht erlaubt die Beziehungen zwischen den Gleichgewichtsfaktoren algebraisch zu formulieren und den Wert des einen derselben zu finden, wenn der des anderen bekannt ist.

Man hat gefunden, dass die Dissociationserscheinungen, z. B. von CaCO_3 , durchaus mit den Erscheinungen beim Verdampfen von Flüssigkeiten in geschlossenen Gefäßen vergleichbar sind. Durch Anwendung des Kreisprozesses auf die Verdampfungserscheinungen ist man nun zu einem mathematischen Ausdrucke gelangt, der sich unmittelbar auf die Dissociation von CaCO_3 anwenden lässt, und also die Anwendung der thermodynamischen Grundsätze auf Dissociationserscheinungen darstellt.

Dieser mathematische Ausdruck ist die Clapayronsche Gleichung:

$$L \frac{dT}{T} + AP(V'' - V') \frac{dP}{P} = 0.$$

Nach dieser Gleichung befindet sich das System bei der Temperatur T unter dem Drucke P . V' ist das Volum des Systems im Anfangszustande (wenn die Reaktion nach der linken Seite der Reaktionsgleichung hin vollständig verläuft), während V'' das Volum des Systems im Endzustande bedeutet, vorausgesetzt, dass die Reaktion nach der rechten Seite der Reaktionsgleichung hin vollständig verläuft. dP ist das partielle Differential des Druckes in Bezug auf die Temperatur und L die latente Reaktionswärme, wenn sich der Übergang des Systems aus dem Anfangszustand in den Endzustand bei konstantem Druck vollzieht. A ist der reciproke Wert des mechanischen Wärmeäquivalentes

$$\left(\frac{1}{428} \text{ Kal.} \right).$$

Bezeichnen wir die in der Volumseinheit enthaltene Zahl von Molekülen im Anfangszustande mit N' , im Endzustande aber mit N'' , so ist nach dem Boyle-Gay-Lussacschen Gesetze:

$$P V' = N' R T$$

und

$$P V'' = N'' R T$$

also

$$V'' - V' = (N'' - N') \frac{R T}{P}$$

und wir können somit die Clapayronsche Gleichung auch schreiben:

$$L \frac{dT}{T^2} + A \cdot R (N'' - N') \frac{dP}{P} = 0 \quad . \quad . \quad . \quad (1)$$

Es existiert aber auch für konstanten Druck und konstante Temperatur eine Beziehung zwischen den Konzentrationen der Körper, welche in einem im Gleichgewichte befindlichen System vorhanden sind, die ursprünglich experimentell begründet, sich auch theoretisch entwickeln lässt. Bezeichnen wir die Konzentrationen der verschiedenen am Gleichgewichte beteiligten Körper mit $c, c', \dots, c_1, c_1' \dots$ und die Molekülzahl, mit welcher diese Körper an der Reaktion beteiligt sind, mit $n, n' \dots, n_1, n_1' \dots$, ferner die Partialdrücke derselben mit $p, p', \dots, p_1, p_1', \dots$ und ist die Reaktionsgleichung

$$nA + n'B + \dots = n_1A_1 + n_1'B_1 + \dots$$

so gilt für das Gleichgewicht bei gegebener Temperatur und Druck

$$\frac{p_1^{n_1} \cdot p_1'^{n_1'} \cdot \dots}{p^n \cdot p'^{n'} \cdot \dots} = K_{t,p}$$

oder, wenn wir den natürlichen Logarithmus nehmen:

$$l \cdot \frac{p_1^{n_1} \cdot p_1'^{n_1'} \cdot \dots}{p^n \cdot p'^{n'} \cdot \dots} = n_1 l p_1 + n_1' l p_1' + \dots - n l p - n' l p' - \dots \\ = l K_{t,p}$$

Dieser Ausdruck geht durch Differentiation über in:

$$n_1 \frac{dp_1}{p_1} + n_1' \frac{dp_1'}{p_1'} + \dots - n \frac{dp}{p} - n' \frac{dp'}{p'} - \dots = 0.$$

Unter Konzentration (c) eines Körpers versteht man, wie bekannt, die Anzahl von Grammmolekülen desselben, die in dem Normalvolumen (22.42 Liter), d. i. in dem Volum, welches ein Grammmolekül jedes vollkommenen Gases bei 0° C. und 76 cm Barometerstand einnimmt, enthalten sind. Bezeichnen wir nun den Gesamtdruck eines Gasgemenges mit P , so ist

$$c = \frac{p}{P},$$

und

$$p = P \cdot c,$$

also

$$\frac{dp}{p} = \frac{dP}{P} + \frac{dc}{c}.$$

Man kann daher die frühere Gleichung auch schreiben:

$$(n_1 + n'_1 + \dots - n - n' - \dots) \frac{dP}{P} + n_1 \frac{dc_1}{c_1} + n'_1 \frac{dc'_1}{c'_1} + \dots \\ - n \frac{dc}{c} - n' \frac{dc'}{c'} - \dots = 0.$$

Nun ist aber offenbar

$$n + n' + \dots = N' \\ n_1 + n'_1 + \dots = N''$$

und somit

$$n_1 + n'_1 + \dots - n - n' - \dots = N'' - N',$$

und wir haben daher:

$$(N'' - N') \frac{dP}{P} + \Sigma n_1 \frac{dc_1}{c_1} - \Sigma n \frac{dc}{c} = 0 \quad . \quad . \quad . \quad (2)$$

Die Gleichungen (1) und (2) lassen sich nun miteinander verbinden, wenn man bedenkt, dass dP in Gleichung (2) nur vom Volum abhängt, also $\frac{dP}{dv} \cdot dv$ geschrieben werden kann, während dP in Gleichung (1) nur von der Temperatur abhängt, also durch $\frac{dP}{dT} \cdot dt$ zu ersetzen ist. Man erhält so

$$L \cdot \frac{dT}{T^2} + AR \frac{(N_1 - N)}{P} \frac{dP}{dT} \cdot dt = 0 \quad . \quad . \quad . \quad (1)$$

und

$$\frac{(N_1 - N)}{P} \frac{dP}{dv} \cdot dv + \Sigma n_1 \frac{dc_1}{c_1} - \Sigma n \frac{dc}{c} = 0 \quad . \quad . \quad . \quad (2)$$

Multipliziert man nun die Gleichung (2) mit AR und addiert (1) und (2), so erhält man:

$$L \frac{dT}{T^2} + \frac{AR(N_1 - N)}{P} \left(\frac{dP}{dT} \cdot dt + \frac{dP}{dv} \cdot dv \right) + AR \Sigma n \frac{dc}{c} = 0$$

und, weil $\frac{dP}{dT} \cdot dt + \frac{dP}{dv} \cdot dv = dP$ ist, wenn man die Gleichung durch AR dividiert:

$$\frac{L}{AR} \cdot \frac{dT}{T^2} + (N_1 - N) \frac{dP}{P} + \Sigma n \frac{dc}{c} = 0.$$

Die Integration dieses Ausdruckes liefert dann

$$\frac{1}{AR} \int L \frac{dT}{T^2} + (N_1 - N) \int \frac{dP}{P} + \int \Sigma n \frac{dc}{c} = \text{Const.} \quad (3)$$

Setzt man für AR die bekannten Werte ein, nämlich:

$$AR = \frac{0,002242 \times 10330}{428 \times 273} \approx \frac{1}{500};$$

wenn man Meter und Kilogramm als Einheiten wählt, so kann man auch noch schreiben:

$$500 \int L \frac{dT}{T^2} + (N_1 - N) l \cdot P + l \cdot \frac{c_1^n \cdot c_1^{n'} \cdot \dots}{c^n \cdot c^{n'} \cdot \dots} = \text{Const.}$$

oder

$$- \frac{500 L}{T} + (N_1 - N) l \cdot P + \sum n_1 l c_1 - \sum n l \cdot c = l K.$$

Diese von H. Le Chatelier aufgestellte Gleichung ist übrigens identisch mit jenen von Gibbs und Van'tHoff.

Dritter Teil.

**Die Wechselwirkungen zwischen
Eisen und verschiedenen Agentien.**



Erstes Buch.

Allgemeines über das Verhalten von Eisen zu Agentien.

Wenden wir uns nun zu den Wechselwirkungen des metallischen Eisens mit anderen Agentien, so sind folgende von technischer Wichtigkeit:

1. Verhalten von Eisen gegen oxydierende Agentien,
2. „ „ Eisenoxyden gegen reduzierende Agentien,
3. „ des Eisens gegen Kohlenstoff,
4. „ „ „ „ andere Elemente,
5. „ „ „ „ Schlacken.

Da wir es jedoch, wie wir früher gesehen haben, bei chemischen Vorgängen in den allermeisten Fällen mit umkehrbaren Reaktionen zu thun haben, also beispielsweise den meisten Oxydationsvorgängen auch ein entgegengesetzter Reduktionsvorgang entspricht, werden wir im folgenden diese Einteilung nicht streng einhalten, sondern entgegengesetzte Reaktionen zusammen besprechen.

ERSTES KAPITEL.

Eisen und Sauerstoff.

Die Sauerstoffverbindungen des Eisens, welche metallurgisches Interesse besitzen, sind folgende:

1. Eisenoxyd, Fe_2O_3 , ist ein Hauptbestandteil vieler Erze, wie des Roteisensteins und gerösteter Eisenerze. Es bildet sich aus metallischem Eisen, wenn dieses unter oxydierenden Einflüssen bei nicht zu hoher Temperatur geglüht wird, sowie aus oxydulgaltigen Erzen und aus Eisenkies beim oxydierenden Rösten. Die günstigste Temperatur zur Oxydation von Carbonaten und Magnet-eisensteinen ist die Rotglut. Die Oxydation erfolgt um so lang-samer, je dichter das Erz ist, dauert also bei Magneteisenstein

weit länger als bei Spateisenstein oder Sphärosiderit. Vollständige Oxydation wird jedoch bei Erzen selten erreicht; sie wird um so vollständiger, je grösser die wirksame Oberfläche der Erzstücke ist, je länger die Erhitzung dauert, und je mehr Luft Zutritt.

Bei Weissglut giebt das Eisenoxyd Sauerstoff ab, eine Thatsache, die schon lange bekannt ist, und die auch Tholander¹⁾ experimentell bestätigte. Eisenoxyd wurde durch Glühen in Eisenoxyduloxyd umgewandelt, das in einzelnen Fällen einen noch niedrigeren Sauerstoffgehalt besass, als der mittlere des Magneteisensteins ist. Ja nach R. Åkerman²⁾ giebt Eisenoxyd im Kohlensäurestrom schon bei 900° C. einen Teil seines Sauerstoffes ab.

Bei Gegenwart von Reduktionsmitteln erfolgt teilweise Sauerstoffabgabe schon bei Rotglut.

Bei hohen Temperaturen kann sich das Eisen mit Basen verbinden (z. B. mit Kalk). Unter diesen Umständen spielt das Eisenoxyd somit die Rolle einer Säure; es kann daher in Schlacken nur dann auftreten, wenn diese basisch sind, während es um so leichter reduziert wird, je saurer die Schlacke ist, und bei je höherer Temperatur sie gebildet wurde. Aber selbst basische Schlacken enthalten neben Eisenoxyd noch erhebliche Mengen Eisenoxydul.

2. Eisenhydroxyd kommt mit verschiedenem Wassergehalt vor. Aus den Lösungen der Oxydsalze wird durch Alkalien $Fe_2(OH)_6$ gefällt. Der amorphe, sehr voluminöse Niederschlag hält Alkali zurück, das durch Waschen nicht entfernt werden kann. Bei längerem Stehen unter Wasser verliert er die Hälfte seines Hydratwassers und geht in das krystallinische $H_2Fe_4O_9$ über.³⁾ Einige Minuten mit Wasser gekocht, verwandelt es sich in HFe_2O_4 , und wenn es tagelang in geschlossenen Röhren auf 160—186° C. erhitzt wird, so verliert es nach Senarmont seinen Wassergehalt ganz.⁴⁾

Natürlich verlieren die Eisenhydroxyde auch ihr Wasser, wenn sie für sich allein erhitzt werden.

1) Experimentelle Untersuchungen über die Reduktion von Eisenerzen. Deutsch von J. v. Ehrenwerth, Wien 1878.

2) Stahl und Eisen 1883, S. 149.

3) Buchner, Gmelins Handbuch 5, S. 198.

4) Ann. de chim. et de phys. 1831, 32, p. 146.

Unterwirft man eine Lösung von sehr basischem Eisenchlorid der Dialyse, so erhält man nach Graham eine fast reine wässrige Lösung von Eisenoxyd von dunkelroter Farbe, die durch Einkochen, durch Zusatz von Spuren an Schwefelsäure, Alkalien u. s. w. zum Coaguliren gebracht wird, und dann nicht mehr in Wasser löslich ist.

Gewöhnlicher Brauneisenstein hat meist die Zusammensetzung $H_6Fe_4O_9$, während den krystallisierten Sorten (Göthit, Rubinglimmer, Nadeleisenstein oder Pyrrhosiderit) die Formel $HFeO_3$ zugeschrieben wird.¹⁾ Wasserreicheren Erzen (Gelbeisenerze) giebt man die empirische Formel $H_4Fe_3O_5$. Der Rost endlich entspricht meist der Zusammensetzung $H_6Fe_4O_9$, doch kommt auch solcher mit geringerem, ja ohne Hydroxyd-gehalt vor.

3. Eisenoxyduloxyd wird gewöhnlich als $Fe_3O_4 = Fe_3O_3 \cdot FeO$ angegeben, doch kommen Eisenoxyduloxyde von sehr verschiedenem Gehalt an Fe_3O_3 bzw. FeO vor. Man kann folgende Haupttypen unterscheiden:

- a) Magnetisches Eisenoxyduloxyd, $Fe_3O_4 = Fe_3O_3 \cdot FeO$,
 b) Hammerschlag, Fe_3O_3 bis $Fe_3O_9 (= Fe_3O_3 \cdot 6 FeO)$.

Er ist auch unter dem Namen Eisensinter (Schmiede- oder Walzensinter) und Glühspan bekannt. Die Analyse eines solchen ergab:

| | |
|-----------------------------|--------------------|
| äusserste Schicht | Fe_3O_3 |
| mittlere „ | $3Fe_3O_3 + 10FeO$ |
| innere „ | $Fe_3O_3 + 6FeO$ |

- c) Sammetglühspan: $4Fe_3O_3 + FeO$ ist eine besondere Art Glühspan mit krystallinischem Bruch und Sammetglanz.

- d) Glühoxidoxydul: $Fe_6O_7 = Fe_3O_3 \cdot 4FeO$.

Die Erscheinung der sogenannten Anlauffarben (s. Bd. I, S. 74, II, S. 64) beruht gleichfalls auf der Bildung dünner Häutchen von verschiedenen Eisenoxyduloxyden.

4. Eisenhydroxyduloxyd mit etwa 7% Wasser ist in dem grünen Niederschlag enthalten, welchen man durch Fällern von teilweise oxydierten FeO -Salzlösungen mit Laugen erhält. Es ist magnetisch und verliert sein Wasser beim Erhitzen. Es entsteht auch durch Kochen von Eisenfeilspänen mit Wasser und

1) Fittig, Grundriss der unorganischen Chemie, S. 343.

Eisenoxydhydrat, wobei das Wasser unter Entwicklung übelriechenden Wasserstoffgases zersetzt wird.

5. Eisenoxydul, FeO spielt namentlich in seinen Verbindungen eine wichtige Rolle. Vom siderologischen Standpunkte ist sein Auftreten in metallischem Eisen (s. I. Teil, S. 234, II. Teil, S. 308, 348, 364) von Wichtigkeit. Das FeO ist in geschmolzenem Eisen löslich. Nach Ledebur scheint das Eisen bei seinem Schmelzpunkte jedoch nicht mehr als 1,1% (entsprechend 0,25% Sauerstoff) lösen zu können. Bei höheren Temperaturen dürfte jedoch die Löslichkeit eine grössere sein, wie die Aussaigerungen anzudeuten scheinen, die man, namentlich in basischen Materialien, hin und wieder findet.¹⁾ Weniger löslich scheint das Manganoxydul zu sein, worauf die Zusätze von Ferromangan oder Spiegel-eisen zu Bessemer- und Martinchargen beruhen. Das Mangan setzt sich dann in flüssigem Eisen mit dem gelösten Eisenoxydul um, es bildet sich metallisches Eisen und MnO , und dieses wird, weil es weniger löslich ist als FeO , ausgeschieden. Diese Umsetzung erfolgt jedoch anscheinend nicht vollständig (vermutlich stellt sich ein Gleichgewichtszustand her), denn selbst kohlenstoff- und manganreichere Eisensorten können auch Eisenoxydul enthalten, wie die nachstehenden Untersuchungen von Ledebur zeigen:

| | I | II | III | IV | V | VI | VII |
|-----------------------|-------|-------|-------|------|------|------|------|
| Kohlenstoff | 0,037 | 0,123 | 0,050 | 0,24 | 0,16 | 0,12 | 0,25 |
| Silicium | 0,001 | 0,000 | 0,000 | 0,00 | 0,03 | 0,00 | 0,12 |
| Schwefel | 0,059 | 0,093 | 0,057 | 0,05 | 0,06 | 0,06 | 0,03 |
| Phosphor | 0,058 | 0,149 | 0,075 | 0,08 | 0,08 | 0,12 | 0,28 |
| Mangan | 0,080 | 0,180 | 0,115 | 0,12 | 0,17 | 0,12 | 0,37 |
| Kupfer | 0,046 | 0,095 | 0,061 | 0,18 | 0,11 | 0,02 | 0,16 |
| Kobalt und Nickel . . | 0,064 | 0,140 | 0,110 | 0,05 | 0,05 | 0,03 | 0,18 |
| Eisenoxydul | 1,098 | 0,837 | 0,774 | 0,32 | 0,32 | 0,18 | 0,12 |

Nachdem wir die Sauerstoffverbindungen des Eisens, welche hier in Frage kommen, kennen gelernt haben, wollen wir die Einwirkung von Sauerstoff auf das metallische Eisen studieren.²⁾ Natürlich wirkt der Sauerstoff nicht allein auf das Eisen, sondern auch auf die Begleitstoffe desselben ein, wir müssen daher auch diese hier in Betracht ziehen.

1) Jüptner, Grundzüge der Siderologie, I. Teil, S. 286.

2) Siehe auch im 2. Buche.

Die Einwirkung des Sauerstoffes ist nun, je nach der Temperatur, bei welcher sie stattfindet, eine verschiedene, weshalb wir auch diese zu berücksichtigen haben.

A. Einwirkung des Sauerstoffes auf geschmolzenes Eisen.

Reines geschmolzenes Eisen wird in Berührung mit Sauerstoff (oder Luft) teilweise zu Eisenoxydul oxydiert, das sich in dem geschmolzenen Eisen löst. Schreitet die Oxydation über den Sättigungspunkt des geschmolzenen Metalles mit FeO fort, so wird letzteres abgeschieden und zu Eisenoxyduloxyd oxydiert werden. Erfolgt diese Operation in einem SiO_2 -haltigen Gefässe (Ofen oder Tiegel), so wird dieses von dem abgeschiedenen Eisenoxyduloxyd angegriffen und Schlacke gebildet werden.

Bei technischen Eisensorten, die neben dem Eisen noch andere Elemente von teils grösserer, teils kleinerer Oxydierbarkeit enthalten, werden natürlich auch diese an den Oxydationsvorgängen beteiligt sein. Selbstverständlich werden hierbei die am leichtesten oxydierbaren Bestandteile zuerst oxydiert werden, so dass solche Bestandteile die anderen, weniger leicht oxydierbaren, vor der Oxydation zu schützen vermögen.

Dieser Schutz geht jedoch keineswegs so weit, dass beispielsweise das Eisen in einer kohlenstoff-, silicium- und manganhaltigen Legierung nicht früher oxydiert würde, als bis der letzte Rest dieser Begleitstoffe oxydiert worden wäre. Dies rührt teilweise davon her, dass sich diese Oxydationsvorgänge wie alle anderen chemischen Vorgänge nicht momentan vollziehen, dass also die Oxydation der fraglichen Elemente nur verhältnismässig langsam, und zwar um so langsamer durch die Metallmasse fortschreitet, je weniger von dem fraglichen Elemente in der Masse vorhanden ist, in je verdünnterem Zustande es also auftritt; die Hauptursache dieser Erscheinung dürfte aber wohl im Auftreten von Gleichgewichtszuständen zu suchen sein, doch sind diese Verhältnisse so kompliziert, dass ihr Studium zu den schwierigsten Aufgaben der physikalischen Chemie gehört. Dies ist der Grund, warum unsere Kenntnisse in dieser Richtung noch recht mangelhafte sind.

Die eben berührten Ursachen sind es auch, welche das Vorhandensein von Eisenoxydul im Flusseisen erklären, wenn das-

selbe auch gewisse Mengen von Sauerstoff, Silicium und Mangan enthält (siehe die oben mitgeteilten Analysen Ledeburs).

Aber es ist nicht allein unmöglich, ein Element nach dem andern in der Weise zu oxydieren, dass immer erst das eine vollständig oxydiert wird, bevor das andere an die Reihe kommt, sondern es ist sogar auch unmöglich, die Reihenfolge genau anzugeben, in welcher die Oxydation dieser verschiedenen Elemente beginnt, indem diese Reihenfolge je nach verschiedenen Umständen eine verschiedene sein kann. Diese Umstände sind: der Verdünnungsgrad (also das gegenseitige Massenverhältnis, in welchem die zu oxydierenden Körper vorhanden sind), die Temperatur, bei welcher sich die Oxydation vollzieht, und die Gegenwart dritter Körper, welche mit den zu oxydierenden Elementen Verbindungen einzugehen, oder welche die entstandenen Oxyde aufzulösen vermögen, welche also in einer oder der anderen Weise die entstehenden Oxydationsprodukte aus dem Metallbade entfernen.

Den Einfluss der Verdünnung haben wir schon oben erwähnt. Er ist es auch, welcher es unmöglich macht, bei den technischen Prozessen der Eisendarstellung absolut kohlenstoffreies Eisen zu erhalten, da die völlige Verbrennung desselben nur unter gleichzeitiger sehr bedeutender Oxydation (und Verschlackung) des Eisens erreicht werden könnte.

Mit der Temperatur steigt das Vereinigungsstreben (oder richtiger gesagt die Reaktionsgeschwindigkeit) zwischen den im Eisen vorkommenden Elementen und dem Sauerstoff, aber in ungleichem Masse, d. h. bei einem Stoffe rascher als bei einem andern. Besonders rasch steigt die Geschwindigkeit der Reaktion zwischen Kohlenstoff und Sauerstoff, so dass beispielsweise beim Bessemerprozess, wenn die Temperatur hoch ist, der Kohlenstoff gleichzeitig mit dem Silicium oxydiert wird, während bei niedrigeren Temperaturen die Oxydation des Siliciums früher beginnt und der Kohlenstoff erst dann oxydiert wird, wenn die Temperatur des Metallbades infolge der Wärmeentwicklung durch Verbrennung von Silicium genügend hoch gestiegen ist.

Einen eben so wichtigen Einfluss übt die Gegenwart eines dritten Körpers aus, der entweder mit den zu bildenden Oxyden eine Verbindung eingehen, oder auf dieselben lösend zu wirken vermag. So geht die Oxydation von Silicium stets mit einer gleich-

zeitigen Oxydation von Mangan oder Eisen Hand in Hand, indem sich eine Schlacke (Eisen- oder Mangan-Silikat) bildet. Bei Gegenwart kieselssäurereicher Schlacke oxydiert sich das Mangan (und Eisen) leicht, indem das gebildete Oxydul sich mit der Kieselssäure verbindet. Bei Gegenwart solcher Schlacken ist man jedoch absolut nicht im stande, Phosphor zu oxydieren, während dies bei Vorhandensein von basischen, namentlich kalkreichen Schlacken leicht gelingt. Bei kieselssäurereichem Ofenzustellungsmaterial oder sauren Schlacken ist der Kohlenstoff schwieriger und weniger vollständig zu oxydieren, also bei basischer Zustellung und basischen Schlacken, weil im ersten Falle das Vereinigungsstreben des Sauerstoffs zum Eisen (bei gleichzeitiger Bildung eines Eisensilikates) weit grösser ist als in letzterem.

Da diese Einflüsse, wie aus dem eben Gesagten hervorgeht, recht bedeutende sind, können wir die Einwirkung des Sauerstoffes auf das flüssige Eisen erst dann eingehender besprechen, wenn wir den Einfluss dritter Körper auf dieselbe näher kennen gelernt haben werden.

Die Einwirkung des Sauerstoffes auf Eisen im teigigen Zustande, welche der eben besprochenen sehr ähnlich ist, wird gleichfalls später zur Behandlung gelangen.

B. Einwirkung des Sauerstoffes auf festes Eisen.

Trockner Sauerstoff wirkt bei gewöhnlicher Temperatur auf das metallische Eisen nicht ein. Erst von etwa 200° C. angefangen, macht sich eine oxydierende Wirkung bemerklich, indem sich das Metall mit einer dünnen Oxyduloxyschicht überzieht und demzufolge (Farben dünner Blättchen) eine Färbung annimmt (Anlauffarben, s. Bd. I, S. 74, II, S. 64). Mit steigender Temperatur vergrössert sich die Dicke dieses Überzuges, und die Oberflächenfärbung geht successive von hellgelb in dunkelgelb, braun, rot, violett und blau bis grau über.

Steigt die Temperatur bis zum Glühen, so bildet sich bei Luftzutritt an der Metalloberfläche eine Schicht oxydierten Eisens, die man im allgemeinen als Glühspan bezeichnet. Entsteht dieser Überzug beim Schmieden, so wird er Hammerschlag, entsteht er beim Walzen, so wird er Walzsinter genannt. Derselbe besteht der Hauptsache nach aus Eisenoxyduloxiden, deren Sauerstoffgehalt um so grösser wird, je länger die oxydierende

Einwirkung dauert, und je höher die Temperatur steigt. Dementsprechend ändert sich auch die Farbe des Überzuges von rot (rostfarben) bis schwarz, so dass man aus dieser Farbe auf die Temperatur schliessen kann, bei welcher ein Blech ausgewalzt worden war.

Ledebur¹⁾ teilt folgende Analysen von Walzsinter und Hammerschlag mit:

| | Fe_2O_3 | FeO | MnO | SiO_2 | P_2O_5 | CuO |
|---------------------|-----------|-------|----------|----------|----------|----------|
| Schweisstahl . . . | 47,48 | 50,77 | 0,38 | 1,03 | 0,04 | 0,03 |
| Schweisseisen . . . | 46,37 | 53,62 | 0,07 | 0,40 | 0,58 | 0,01 |
| " . . . | 42,81 | 56,48 | 0,11 | 0,30 | 0,25 | 0,04 |
| " . . . | 48,74 | 50,73 | n. best. | n. best. | n. best. | n. best. |
| Flussstahl . . . | 51,85 | 46,74 | 0,23 | 0,80 | 0,04 | 0,01 |
| Flusseisen . . . | 39,48 | 60,08 | 0,43 | 0,00 | 0,09 | 0,05 |
| " . . . | 35,97 | 63,69 | 0,43 | 0,00 | 0,05 | 0,04 |
| " . . . | 37,41 | 62,32 | n. best. | n. best. | n. best. | n. best. |

Der mittlere Eisengehalt aller Proben beträgt 73,74 %, an das Eisen sind 25,44 % Sauerstoff gebunden, so dass wir ungefähr auf die Formel Fe_7O_8 kommen. Aber auch die übrigen Bestandteile des Eisens finden sich im oxydierten Zustande vor, und zwar so ziemlich in demselben Verhältnisse, wie sie im Metalle gegenwärtig waren. Der auffallend hohe Kieselsäuregehalt dürfte nach Ledeburs Vermutung aus den Wänden des Warmofens oder aus der Flugasche stammen; hingegen ist der Schwefelgehalt des Eisens im Glühspan vollständig verschwunden.

Bei lange fortgesetztem Glühen wird auch der Kohlenstoff oxydiert (Graphit jedoch nicht oder wenigstens nur unbedeutend). Anfangs tritt diese Oxydation mehr an der Oberfläche, später aber auch im Innern des Materiales auf; wir werden auf diese Erscheinung später, bei Besprechung des Glühfrischens näher einzugehen haben.

Unter diesen Umständen werden die Glühspanschichten immer dicker und oxydreicher; das anfangs entstehende Eisenoxyduloxyd verwandelt sich langsam in Oxyd und auch die darunter liegende Metallschicht wird sauerstoffhaltig; das Metall schwillt auf und kann schliesslich vollständig „verbrannt“ werden. So enthielt eine von Ledebur untersuchte Platte eines gusseisernen Stubenofens, welche jahrelang oberhalb der Feuerung gelegen und dabei voll-

1) Handbuch d. Eisenhüttenkunde, 4. Aufl., 1. Abteilung, S. 238. — Der Schweisstahl enthielt 0,14 %, der Flussstahl 0,31 % Silicium.

ständig — auch an der Bruchfläche — die rote Farbe des Eisenoxyds angenommen hatte.

| | |
|----------------------------------|-----------------|
| Eisen | 68,386 % |
| Mangan | 0,083 „ |
| Kupfer, Kobalt, Nickel | 0,125 „ |
| Silicium | 1,240 „ |
| Schwefel | 0,079 „ |
| Phosphor | 0,269 „ |
| Arsen | 0,056 „ |
| Graphit | 0,960 „ |
| Sauerstoff | 28,899 „ |
| | <hr/> 100,087 % |

Hierbei zeigen sich oft mehrere, deutlich unterscheidbare Schichten und häufig ist eine eigentümliche Wandung der Eisenbestandteile zu beobachten, indem die gebildeten Silikate, Phosphate und Sulfide sich in den an Eisenoxydul reichsten Partien ansammeln. Diese Vorgänge sind deutlich in den nachstehenden Analysen Ledeburs zu erkennen, welche sich auf den eisernen Anker eines Zinkröstofens beziehen, der an seiner Bruchfläche vier scharf voneinander gesonderte Schichten zeigte. Die äussere Schicht war deutlich rot mit ziemlich grossblättrigem Gefüge; die zweite Schicht war etwas dunkler gefärbt, von körnigem Gefüge; die dritte Schicht war blaurot, feinkörnig; im innersten fand sich als vierte Schicht ein seinem Ansehen nach metallischer Kern mit feinkörnigem Gefüge. Die vier Schichten besaßen folgende Zusammensetzung:

| | Eisen- oxyd | Eisen- oxydul | Mangan | Phos- phor | Silicium | Schwefel |
|--|----------------|------------------|--------|---------------|----------|----------|
| Äusserste Schicht . . | 76,17 | 23,05 | 0,33 | 0,021 | 0,140 | n. best. |
| Zweite " . | 28,96 | 70,60 | 0,23 | 0,012 | 0,047 | 0,005 |
| Dritte " . | 18,53 | 80,05 | 0,26 | 0,355 | 0,192 | 0,058 |
| | Eisen | | | | | |
| Kern | 98,15 | | 0,38 | 0,204 | 0,050 | 0,025 |
| Auf 100 Teile des ursprünglichen Eisens entfallen demnach: | | | | | | |
| in der äussersten Schicht | — | — | 0,465 | 0,029 | 0,194 | n. best. |
| " " zweiten " | — | — | 0,310 | 0,016 | 0,065 | 0,007 |
| " " dritten " | — | — | 0,477 | 0,468 | 0,226 | 0,076 |
| Kern | — | — | 0,387 | 0,204 | 0,050 | 0,025 |

Die dritte, an Eisenoxydul reichste Schicht enthält auch die grössten Mengen Phosphor, Silicium und Schwefel. Dass auch der Kern bereits Sauerstoff enthält, lässt sich aus dem geringen Be-

trage schliessen, den die gefundenen Bestandteile ausmachen. Aus der Gewichts Differenz würde sich der Sauerstoffgehalt zu 1,191 % berechnen.

Platz ¹⁾ hat unter anderem drei Schichten einer gusseisernen Ofenthür untersucht, die an der bei der Benutzung aussen liegenden Seite mit einer dicken Glühspanschicht bedeckt war. Er fand:

| | Eisen | Mangan | Silicium | Phosphor |
|---|---------|--------|----------|----------|
| Im gesunden Teile | 90,82 % | 0,88 % | 2,57 % | 1,71 % |
| In der mittleren verbrannten Schicht | 81,25 „ | 0,77 „ | 1,87 „ | 1,05 „ |
| Desgl., auf den Eisengehalt des gesunden Teiles umgerechnet . | — | 0,86 „ | 2,09 „ | 1,17 „ |
| In der Glühspanschicht | 60,84 „ | 0,78 „ | 3,88 „ | 2,81 „ |
| Desgl., auf den Eisengehalt des gesunden Teiles umgerechnet . | — | 1,16 „ | 5,79 „ | 4,19 „ |

Eisenoxydul und Eisenoxyd wurden nicht getrennt bestimmt; vermutlich enthielt die mittlere Schicht noch beträchtliche Mengen metallisches Eisen.

Aber auch in einer sogenannten „reduzierenden“ Flamme kann noch Verbrennen des Eisens stattfinden, wie Ledebur ²⁾ gezeigt hat. Stäbe von Quadrat- und Flacheisen wurden auf einer Seite zum Zwecke des Verbrennens in einem lebhaften Holzkohlenfeuer bis zur beginnenden Schmelzung erhitzt. Die Analysen ergaben folgende Resultate:

| | C | Si | P | S | O | Mn | Cu, Co, Ni |
|----------------------------|-------|-------|-------|-------|-------|-------|---------------|
| | % | % | % | % | % | % | % |
| A. Schweissstahl. | | | | | | | |
| Herdfrischstahl } gesund . | 0,807 | 0,023 | 0,010 | 0,003 | 0,058 | 0,101 | 0,045 |
| verbrannt | 0,726 | 0,026 | 0,024 | 0,007 | 0,039 | 0,098 | 0,028 |
| Puddelrohrstahl } gesund . | 0,832 | 0,113 | 0,031 | 0,007 | 6,060 | 0,187 | 0,045 |
| verbrannt | 0,868 | 0,081 | 0,023 | 0,004 | 0,054 | 0,126 | 0,026 |
| Gärbstahl . . } gesund . | 0,827 | 0,033 | 0,027 | 0,004 | 0,037 | 0,010 | 0,053 |
| verbrannt | 0,723 | 0,038 | Spur | 0,005 | 0,043 | 0,010 | 0,053 |
| B. Flussstahl. | | | | | | | |
| Bessemerstahl } gesund . | 0,673 | 0,207 | 0,066 | 0,010 | 0,007 | 0,478 | 0,045 |
| verbrannt | 0,681 | 0,209 | 0,070 | 0,015 | 0,024 | 0,473 | 0,084 |
| Tiegelgussstahl } gesund . | 0,917 | 0,098 | 0,025 | 0,005 | 0,045 | 0,125 | 0,137 |
| verbrannt | 0,916 | 0,093 | 0,025 | 0,008 | 0,063 | 0,150 | 0,136 |

1) Stahl und Eisen, 1885, S. 472.

2) „Über das Verbrennen des Stahles“. Sächs. Jahrbuch für Berg- und Hüttenwesen; Stahl und Eisen 1883, S. 502.

Ein weiteres Beispiel bietet die vom Verfasser analysierte Schlacke, welche sich auf einem basischen Stahlingot in einem Gasglühofen bildete.

| | | | | | | |
|-----------------|-------|-------|----------------------------|-------|--------|---|
| SiO_2 | . . . | 3,14 | %; darin Sauerstoff | . . . | 1,67 | % |
| P_2O_5 | . . . | 0,088 | „ „ „ | . . . | 0,039 | „ |
| Fe_2O_3 | . . . | 24,77 | „ „ „ | . . . | 6,83 | „ |
| FeO | . . . | 68,31 | „ „ „ | . . . | 15,18 | „ |
| MnO | . . . | 1,047 | „ „ „ | . . . | 0,232 | „ |
| CaO | . . . | 1,08 | „ „ „ | . . . | 0,294 | „ |
| MgO | . . . | 0,83 | „ „ „ | . . . | 0,332 | „ |
| S | . . . | 0,021 | „, entsprechend Sauerstoff | . . . | 0,0105 | „ |
| Summe: 99,216 % | | | | | | |

Das Rosten, d. i. die Oxydation von Eisen bei gewöhnlicher Temperatur und bei Gegenwart von Wasser wird an anderer Stelle besprochen werden.

Am Schlusse dieses Kapitels mögen noch die Bildungswärmen der bei der Oxydation technischer Eisensorten wichtigsten Sauerstoffverbindungen zusammengestellt werden:

| Anfangszustand | End- zustand | Molekul- gewicht | Bildungs- wärme in kl. Kal. | Aggregat- Zustand | Beobachter |
|------------------------|--------------------|---------------------|-----------------------------------|----------------------|-------------------------|
| Eisen: | | | | | |
| $Fe + O$ | FeO | 72 | + 75,656 | fest | Favre und Silbermann |
| $Fe + O + H_2O$ | $Fe(OH)_2$ | 90 | + 68,28 | „ | Thomsen |
| $FeO + H_2O$ | $Fe(OH)_2$ | 90 | — 7,376 | „ | — |
| $Fe_2(OH)_6 + Fe$ | $3Fe(OH)_2$ | 270 | + 13,7 | „ | Thomsen |
| $Fe_2 + 3O$ | Fe_2O_3 | 160 | + 210,08 | „ | Favre und Silbermann |
| $2FeO + O$ | Fe_2O_3 | 160 | + 60,90 | „ | Desgl. |
| $2Fe + 3O + 3H_2O$ | $Fe_2(OH)_6$ | 214 | + 191,15 | „ | Thomsen |
| $2Fe(OH)_2 + O + H_2O$ | $Fe_2(OH)_6$ | 214 | + 54,59 | „ | „ |
| $Fe_2O_3 + 3H_2O$ | $Fe_2(OH)_6$ | 214 | — 18,93 | „ | — |
| $3Fe + 4O$ | Fe_3O_4 | 232 | + 269 | „ | Berthelot |
| $FeO + Fe_2O_3$ | Fe_3O_4 | 232 | + 9,0 | „ | „ |
| $3FeO + O$ | Fe_3O_4 | 232 | + 45,23 | „ | — |
| Mangan: | | | | | |
| $Mn + O$ | MnO | 71 | + 99,9 | fest | Jahn |
| $Mn + O + H_2O$ | $Mn(OH)_2$ | 89 | + 94,8 | „ | Thomsen |
| $MnO + H_2O$ | $Mn(OH)_2$ | 89 | — 5,1 | „ | — |
| $Mn + O_2 + H_2O$ | $MnO_2 \cdot H_2O$ | 105 | + 116,3 | „ | Thomsen |
| $Mn(OH)_2 + O$ | $MnO_2 \cdot H_2O$ | 105 | + 21,56 | „ | „ |
| $MnO + O$ | MnO_2 | 87 | + 26,66 | „ | — |

| Anfangszustand | End- zustand | Molekul- gewicht | Bildungs- wärme in kl. Kal. | Aggregat- zustand | Beobachter |
|-----------------------------------|-----------------|---------------------|-----------------------------------|----------------------|----------------------------|
| Aluminium: | | | | | |
| $2Al + 3O$ | Al_2O_3 | 103 | + 391,6 | fest | Jahn |
| $2Al + 3O$ | Al_2O_3 | 103 | + 383,4 | " | Berthelot |
| $2Al + 3O + 3H_2O$ | $Al_2(OH)_6$ | 157 | + 388,9 | " | Thomsen |
| $Al_2O_3 + 3H_2O$ | $Al_2(OH)_6$ | 157 | + 2,7 | " | — |
| $Al_2O_3 + 3H_2O$ | $Al_2(OH)_6$ | 157 | — 5,5 | " | — |
| $Al_2 + 3O_2 + 3H_2$ | $Al_2(OH)_6$ | 157 | + 594,0 | " | Thomsen |
| Kohlenstoff: | | | | | |
| $C(\text{Diamant}) + O$ | CO | 28 | + 25,8 | gasf. | Favre |
| $C(\text{amorph}) + O$ | " | 28 | + 28,8 | " | " |
| $C(\text{amorph}) + O$ | " | 28 | + 29,0 ¹⁾ | " | Thomsen |
| $C(\text{amorph}) + O$ | " | 28 | + 29,29 ²⁾ | " | " |
| $CO + O$ | CO_2 | 44 | + 68,2 | " | Berthelot |
| $CO + O$ (bei 3000°) | " | 44 | + 37,0 | " | " |
| $CO + O$ (bei 4500°) | " | 44 | + 28,0 | " | " |
| $CO + O^1)$ | " | 44 | + 67,96 | " | Thomsen |
| $CO + O^2)$ | " | 44 | + 67,67 | " | " |
| $C(\text{Diamant}) + O_2$ | " | 44 | + 93,24 | " | Favre |
| $C(\text{amorph}) + O_2$ | " | 44 | + 96,97 | " | " |
| $C(\text{Graphit}) + O_2$ | " | 44 | + 93,56 | " | " |
| $C(\text{Hochofengraphit}) + O_2$ | " | 44 | + 96,56 | " | " |
| $C(\text{Retortengraphit}) + O_2$ | " | 44 | + 93,14 | " | " |
| $C(\text{Zuckerkohle}) + O_2$ | " | 44 | + 96,48 | " | " |
| $C(\text{Diamant}) + O_2$ | " | 44 | + 94,31 | " | Berthelot |
| $C(\text{Holzkohle}) + O_2$ | " | 44 | + 97,64 | " | " |
| $C(\text{Hochofengraphit}) + O_2$ | " | 44 | + 94,81 | " | " |
| $C(\text{Holzkohle}) + O_2$ | " | 44 | + 97,24 | " | Scheurer- Kestner |
| $C(\text{Zuckerkohle}) + O_2$ | " | 44 | + 95,78 | " | Schwackhöfer |
| Phosphor: | | | | | |
| $2P + 5O$ | P_2O_5 | 142 | + 369,9 | fest | Thomsen |
| $2P + 5O$ | P_2O_5 | 142 | + 405,5 | gelöst | " |
| $2P + 5O + 3H_2O$ | $2PO_4H_3$ | 196 | + 400,0 | fest | " |
| $2P + 5O + 3H_2O$ | $2PO_4H_3$ | 196 | + 404,5 | gelöst | " |
| Silicium: | | | | | |
| $Si(\text{amorph.}) + O_2$ | SiO_2 | 60 | + 219,2 | fest | Troost und Hautefeuille |
| $Si(\text{krist.}) + O_2$ | " | 60 | + 211,1 | " | Desgl. |
| $Si(\text{amorph}) + O_2$ | " | 60 | + 207,4 | gelöst | Berthelot |
| Schwefel: | | | | | |
| $S + 2O$ | SO_2 | 64 | + 71,08 | gasf. | Thomsen |
| " | " | 64 | + 77,28 | gelöst | " |

1) Bei konstantem Druck.

2) Bei konstantem Volum.

| Anfangszustand | End- zustand | Molekul- gewicht | Bildungs- wärme in kl. Kal. | Aggregat- zustand | Beobachter |
|---------------------|-----------------|---------------------|-----------------------------------|----------------------|-------------------------|
| Wasserstoff: | | | | | |
| $H_2 + O$ | H_2O | 18 | + 69,17 | flüss. | Dulong |
| " | " | 18 | + 69,584 | " | Hess |
| $H_2 + O^1)$ | " | 18 | + 68,43 | " | Andrews |
| $H_2 + O^2)$ | " | 18 | + 67,616 | " | " |
| " | " | 18 | + 68,924 | " | Favre und Silbermann |
| $H_2 + O$ | " | 18 | + 69,332 | flüss. | Grassi |
| " | " | 18 | + 67,106 | " | Joule |
| " | " | 18 | + 68,86 | " | Thomsen |
| " | " | 18 | + 69,2 | " | Berthelot |
| $H_2 + O^1)$ | " | 18 | + 68,54 | " | C. v. Than |
| $H_2 + O^1)$ | " | 18 | + 68,742 | " | " |
| $H_2 + O^2)$ | " | 18 | + 67,726 | " | " |
| $H_2 + O^2)$ | " | 18 | + 67,928 | " | " |
| $H_2 + O$ | " | 18 | + 68,252 | " | Schuller und Wartha |
| $H_2 + O^1)$ | " | 18 | + 69,186 | " | Witz |
| $H_2 + O^2)$ | " | 18 | + 68,322 | " | " |
| $H_2 + O$ bei 2000° | " | 18 | + 50,6 | gasf. | Berthelot und Vielle |
| $H_2 + O$ bei 4000° | " | 18 | + 37,0 | " | Desgl. |

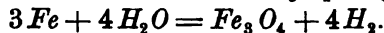
ZWEITES KAPITEL.

Verhalten der Sauerstoffverbindungen des Eisens gegen reduzierende Agentien.

Wir haben schon in der Einleitung gesehen, dass Eisenoxydul-
oxyd bei Rotglut durch Wasserstoffgas reduziert wird:



Diese Reaktion ist aber eine umkehrbare, d. h. es wird anderer-
seits auch metallisches Eisen beim Überleiten von Wasserdampf
unter Freiwerden von Wasserstoff in Fe_3O_4 umgewandelt:



Man stellt sich den tatsächlichen Vorgang nun so vor, dass beide
Prozesse gleichzeitig so lange nebeneinander verlaufen, bis Gleich-
gewicht eingetreten ist. Dieses Gleichgewicht bezieht sich jedoch nur
auf das Mischungsverhältnis zwischen Wasserdampf und Wasserstoff
in den Gasen und ist von den vorhandenen Mengen an metalli-
schem und oxydiertem Eisen unabhängig. Man kann sich dies

1) Bei konstantem Druck.

2) Bei konstantem Volum.

auch in folgender Weise zurechtlegen: hat man ein Gemenge von Wasserdampf und Wasserstoff von solcher Zusammensetzung, die für eine bestimmte Temperatur dem Gleichgewichtszustande entspricht, und leitet dieselbe bei der fraglichen Temperatur über metallisches Eisen oder über Sauerstoffverbindungen desselben, so wird weder ersteres oxydiert, noch werden letztere reduziert. Enthält das Gasgemenge mehr Wasserdampf als dem Gleichgewichtszustande entspricht, so wird es das metallische Eisen oxydieren, enthält es hingegen mehr Wasserstoff, so wird es auf die Sauerstoffverbindungen des Eisens reduzierend wirken.

Ausser dem Wasserstoff wirken bei den metallurgischen Operationen als Reduktionsmittel, und zwar in noch hervorragenderem Masse als dieses, fester Kohlenstoff und Kohlenoxyd, ferner in weniger ausgedehntem Masse Cyanverbindungen und Kohlenwasserstoffe.

Technisch ist, wie schon erwähnt, von besonderer Wichtigkeit die Reduktion der Sauerstoffverbindungen des Eisens durch festen Kohlenstoff und durch Kohlenoxyd, weshalb wir diese beiden Vorgänge in erster Linie betrachten wollen.

Wir wollen zunächst von dem Auftreten von Gleichgewichtszuständen absehen und annehmen, dass die Reduktion sowohl durch elementaren Kohlenstoff, als auch durch Kohlenoxyd glatt und vollständig verlaufe.

Betrachten wir den Fall zunächst vom rein thermochemischen Standpunkte aus, so können wir den zur Reduktion von 1 kg metallischem Eisen erforderlichen Wärmebedarf für die wichtigsten Fälle in folgender Weise einfach berechnen:

1. Reduktion von Eisenoxydul durch elementaren Kohlenstoff:

| | |
|-------------------------------------|--|
| Reaktionsgleichung | $FeO + C = Fe + CO$ |
| Mengen in Kilogramm | 72 + 12 = 56 + 28 |
| Bildungswärme in Kalorien | — 75656 Kal. + 29000 Kal. |
| oder für | $\frac{9}{7}$ kg + $\frac{1}{14}$ kg = 1 kg + $\frac{1}{2}$ kg |
| Wärmetönung | — 1350 Kal. + 518 Kal. |

Somit sind zur Reduktion von 1 kg Eisen aus Eisenoxydul mit Hilfe von elementarem Kohlenstoff 1350 — 518 = 832 Kalorien aufzuwenden.

2. Reduktionen von Eisenoxydul durch Kohlenoxyd:

| | |
|------------------------------|--|
| Reaktionsgleichung | $FeO + CO = Fe + CO_2$ |
| Bildungswärme | — 75656 — 29000 + 96970 Kal. |
| oder pro | $\frac{9}{7}$ kg + $\frac{1}{2}$ kg = 1 kg + $\frac{11}{14}$ |
| Wärmetönung | — 1350 — 518 + 1731 |

Somit Wärmeaufwand pro 1 kg reduziertes Eisen = 1350 + 518 — 171 = 137 Kalorien.

3. Reduktionen von Eisenoxyduloxyd durch elementaren Kohlenstoff:

Reaktionsgleichung . . $Fe_2O_4 + C_4 = Fe_2 + 4 CO$
 Mengen in Kilogramm . 232 + 45 = 168 + 112
 oder $\frac{29}{41} + \frac{9}{21} = 1 + \frac{14}{21}$
 Wärmetönung — 1650 Kal. + 707 Kal.

Die Reduktion von 1 kg metallischem Eisen erfordert somit einen Wärmeaufwand von 1650 — 707 = 943 Kalorien.

4. Reduktion von Eisenoxyduloxyd durch Kohlenoxyd:

Reaktionsgleichung . $Fe_2O_4 + 4 CO = Fe_2 + 4 CO_2$
 Mengen in Kilogramm 232 + 112 = 168 + 176
 oder $\frac{29}{41} + \frac{14}{21} = 1 + \frac{29}{21}$
 Wärmetönung . . . — 1650 Kal. + 1603 Kal.

Zur Reduktion von 1 kg metallischem Eisen sind somit 1650 — 1603 = 47 Kalorien aufzuwenden.

5. Reduktion von Eisenoxyd durch elementaren Kohlenstoff:

Reaktionsgleichung . . $Fe_2O_3 + C_3 = Fe_2 + 3 CO$
 Mengen in Kilogramm . 160 + 36 = 112 + 84
 oder $\frac{10}{7} + \frac{9}{28} = 1 + \frac{21}{28}$
 Wärmetönung — 1800 Kal. + 742 Kal.

Zur Reduktion von 1 kg metallischem Eisen müssen daher von aussen 1800 — 742 = 1058 Kalorien zugeführt werden.

6. Reduktion von Eisenoxyd durch Kohlenoxyd:

Reaktionsgleichung . $Fe_2O_3 + 3 CO = Fe_2 + 3 CO_2$
 Mengen in Kilogramm 160 + 84 = 112 + 132
 oder $\frac{10}{7} + \frac{21}{28} = 1 + \frac{23}{28}$
 Wärmetönung . . . — 1800 Kal. + 1801 Kal.

Bei der Reduktion von 1 kg Eisen und Eisenoxyd mit Hilfe von Kohlenoxyd ist keine fremde Energie erforderlich (die Rechnung giebt sogar einen Wärmegewinn von 1 Kalorie).

Die Zusammenstellung der vorstehenden Berechnungen ergibt:

| Wärmetönung in Kalorien bei der Reduktion von 1 kg metallischem Eisen | | |
|--|--------|-------|
| aus | mit | |
| | C | CO |
| FeO | — 832 | — 137 |
| Fe_2O_4 | — 943 | — 47 |
| Fe_2O_3 | — 1058 | + 1 |

Aus diesen Betrachtungen ergibt sich:

1. Dass die Reduktion gleicher Mengen Eisen aus seinen Sauerstoffverbindungen durch Kohlenoxyd in allen Fällen einen erheblich geringeren Wärmeaufwand erfordert als jene durch elementaren Kohlenstoff; dass also beim Hochofenprozesse die sogenannte direkte Reduktion durch Kohlenstoff möglichst vermieden werden muss;

2. dass bei der Reduktion durch Kohlenoxyd um so weniger Wärme von aussen zugeführt zu werden braucht, je mehr Sauerstoff das zu reduzierende Erz enthält, dass also eine möglichst vollständige oxydierende Röstung der im Hochofen zu verblasenden Erze vorteilhaft ist, und

3. dass bei der direkten Reduktion (durch elementaren Kohlenstoff) um so mehr Wärme von aussen zugeführt werden muss, je höher die zu reduzierende Oxydationsstufe des Eisens ist. In dieser Richtung ist es für den Hochofenprozess vorteilhaft, dass die Reduktion durch elementaren Kohlenstoff höhere Temperaturen erfordert als jene durch Kohlenoxyd, da infolgedessen das Erz im Hochofen, wenn nicht vollständig, doch schon zum grössten Teile durch Kohlenoxyd reduziert sein wird, wenn die direkte Reduktion durch Kohlenstoff beginnt.¹⁾

4. Vom stichiometrischen Standpunkte aus ist es natürlich vollkommen gleichgültig, ob die Reduktion durch Kohlenstoff oder Kohlenoxyd erfolgt, da in beiden Fällen für 1 kg reduziertes Eisen dieselbe Menge Kohlenstoff erforderlich ist.

1) Aus der vorstehenden Zusammenstellung ergibt sich, dass zur Reduktion der einem Kilogramm-Eisen entsprechende Mengen von Fe_2O_3 und Fe_3O_4 zu Fe_3O_4 , bzw. FeO folgende Wärmemengen aufzuwenden sind:

| Wärmemengen in Kalorien erforderlich zur Reduktion | | | |
|--|-----------|-----|-----|
| von | zu | mit | |
| | | C | CO |
| Fe_2O_3 | Fe_3O_4 | 95 | 48 |
| | FeO | 226 | 138 |
| Fe_3O_4 | FeO | 111 | 90 |

5. Hingegen wächst natürlich die Menge des zur Gewinnung von 1 kg Eisen erforderlichen Kohlenstoffes mit dem Sauerstoffgehalte des zu reduzierenden Oxydes und beträgt

$$\text{für } FeO : \frac{1}{14} \text{ kg} = 0,2143 \text{ kg}$$

$$,, \text{ } Fe_2O_3 : \frac{6}{31} \text{ „} = 0,2857 \text{ „}$$

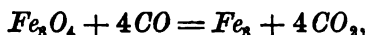
$$,, \text{ } Fe_3O_4 : \frac{9}{18} \text{ „} = 0,3214 \text{ „}$$

Aber ausser den bei der Reduktion direkt aufzuwendenden Energiemengen (also Kalorien) müssen wir auch die Temperaturen in Betracht ziehen, bei welchen sich die Reduktion vollzieht.

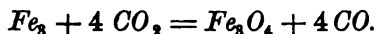
Nach Lowthian Bell¹⁾ geben geröstete Cleavelanderze schon bei 200° C. eine sehr geringe Menge Sauerstoff ab; bei 227° wurden dem Erze innerhalb einer Stunde nur etwa 0,25% des darin enthaltenen Sauerstoffes entzogen. Mit der Temperatur steigt jedoch die reduzierende Kraft des Kohlenoxydes. So wird nach Richard Åkerman²⁾ Fe_2O_3 bei 400—450° C. zu Fe_3O_4 reduziert, ja nach Wiborgh³⁾ kann nach hinreichend langer Einwirkung bei dieser Temperatur sogar Fe_6O_7 entstehen.

Metallisches Eisen entsteht nach Åkerman⁴⁾ sowie nach Peter Tunner erst bei mindestens 900°, während es nach Wiborgh bei 700° neben Fe_6O_7 auftreten kann. Im Durchschnitt kann man also die zur Reduktion von metallischem Eisen erforderliche Minimaltemperatur mit 800° C. annehmen.⁵⁾

Nun entsteht bei der Reduktion des Eisens aus seinen Oxyden mittels Kohlenoxyd Kohlensäure, z. B.



während andererseits bei derselben Temperatur auch der umgekehrte Vorgang stattfinden kann:



So wird z. B. reine Kohlensäure, wenn sie bei 417° C. über Eisenschwamm geleitet wird, fast vollständig zu CO reduziert.

1) Principles of the manufacture of iron and steel und Jour. Iron Steel Inst., 1872, I., p. 43.

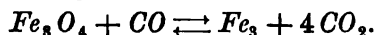
2) Stahl und Eisen 1883, S. 149.

3) l. c. 1897, S. 804, 858.

4) l. c.

5) Nach Boudouard scheint die Reduktion schon früher einzutreten.

Wir haben es somit mit zwei entgegengesetzten Vorgängen zu thun, die bei derselben Temperatur gleichzeitig verlaufen, was man bekanntlich in folgender Weise bezeichnet:



Alle derartigen, gleichzeitig in entgegengesetzter Richtung verlaufenden Reaktionen führen, wie schon erwähnt, zu Gleichgewichtszuständen, welche von der Temperatur (und bei Gasen und Flüssigkeiten auch vom Druck) abhängig sind.

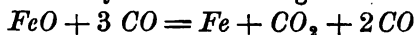
In diesem Sinne hat Lowthian Bell¹⁾ die Mengungsverhältnisse von CO und CO_2 ermittelt, welche bei verschiedenen Temperaturen sowohl auf metallisches Eisen, als auch auf die Eisenoxyde nicht einwirken, also diesem Gleichgewicht entsprechen und er fand folgende Werte:

| | |
|-----------------------------------|--------------------------------|
| Weissglut . . . (1200° C.) . . . | 100 Vol. CO + 11 Vol. CO_2 |
| Helle Rotglut . . (840° „) . . . | 100 „ „ + 47 „ „ |
| Dunkle „ . . . (570° „) . . . | 100 „ „ + 150 „ „ |

oder:

| | |
|------------------|--|
| bei 1200° C. . . | 90,1 Volumproz. CO + 9,9 Volumproz. CO_2 |
| „ 840° „ . . | 68,0 „ „ + 32,0 „ „ |
| „ 570° „ . . | 40,0 „ „ + 60,0 „ „ |

Wenn man daher irgend ein Eisenoxyd mit CO zu metallischem Eisen oxydieren will, so ist es unbedingt nötig, einen Überschuss von Kohlenoxyd anzuwenden, weil sonst die gebildete Kohlensäure wieder oxydierend auf das reduzierte Eisen wirken und eine vollständige Reduktion unmöglich sein würde. Richard Åkerman²⁾ hat nun gefunden, dass zu diesem Zwecke neben dem zur Reduktion verwendeten Volum mindestens noch eine doppelt so grosse Menge von überschüssigem Kohlenoxyd vorhanden sein muss, so dass man für den günstigsten Verlauf des Reduktionsprozesses mit Kohlenoxyd die Gleichung:



(oder eine ähnliche für andere Oxydationsstufen) aufstellen kann.²⁾

Dieser Überschuss an Kohlenoxyd wirkt allerdings ungünstig, weil er einen grösseren Brennstoffaufwand bedingt als den stichometrischen Verhältnissen entspricht. Die Sache ist jedoch nicht so gefährlich, als sie auf den ersten Blick aussieht, weil ja das

1) l. c.

2) Weitere Betrachtungen über diese Gleichgewichtsvorgänge folgen im 2. Buche.

Eisen durch den Prozess nicht allein zu Metall reduziert, sondern — ebenso, wie die vorhandene Gangart und die Zuschläge (welche mit der Gangart die Schlacke bilden) geschmolzen werden muss.

Um 1 kg Roheisen von 0° C. zu schmelzen, müssen demselben je nach seinem Kohlenstoffgehalte 260 bis 360 Kalorien (also im Mittel etwa 310 Kalorien) zugeführt werden.

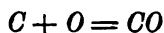
Gehen wir nun von dem günstigsten Falle aus, nämlich von der Gleichung:



oder in Kilogrammen

$$^{10}/_7 \text{ kg} + ^{63}/_{28} \text{ kg} = 1 \text{ kg} + ^{33}/_{28} \text{ kg} + ^{42}/_{28} \text{ kg}.$$

Dieser Prozess verläuft, wie wir früher gesehen haben, nahezu ohne jeden Wärmeverbrauch oder Wärmegewinn. Hingegen mussten die $^{63}/_{28}$ kg Kohlenoxyd, die hierbei in Verwendung kommen, früher durch Verbrennung von etwa $^{27}/_{28}$ kg Kohlenstoff nach der Gleichung:



gebildet worden sein. Da nun bei diesem Vorgange für je 1 kg Kohlenstoff 1060 Kalorien frei werden, geben obige $^{27}/_{28}$ kg offenbar 1022 Kalorien.

Davon werden zum Schmelzen des gebildeten Roheisens etwa

$$\frac{310}{712} \text{ „}$$

verbraucht, so dass noch

$$712 \text{ Kalorien}$$

übrig bleiben, welche sowohl zur Erwärmung des $Fe_2 O_3$ ($^{10}/_7$ kg) als der $^{63}/_{28}$ kg erforderlichen Kohlenoxydes, als endlich des von der vorhergehenden Verbrennung des Kohlenstoffes zu Kohlenoxyd mit Luft herrührenden Stickstoffes (etwa 4,3 kg) nutzbringend verwendet werden können, ja zu diesem Zwecke nicht einmal hinreichen, wie folgende Betrachtung zeigt.

Für 1 kg Eisen, das aus $Fe_2 O_3$ reduziert werden soll, benötigen wir nach obigem:

$$\begin{aligned} ^{10}/_7 &= 1,43 \text{ kg } Fe_2 O_3 \\ ^{63}/_{28} &= 2,25 \text{ „ } CO, \text{ welches aus} \\ &0,98 \text{ „ } C \text{ und aus} \\ &1,27 \text{ „ } O \text{ entstanden sind. Letzteres stammt aus Luft,} \\ &\text{welche mit sich bringt:} \\ &4,23 \text{ „ } N. \end{aligned}$$

Sehen wir von der Erwärmung des Fe_2O_3 ganz ab, so haben wir pro 1 kg reduziertes Eisen an Gasen:

2,25 kg CO + 4,23 kg N_2 = 6,48 kg, welche mindestens bis zur Reduktionstemperatur ($800^\circ C.$) oder bis zur Schmelztemperatur des Roheisens (ca. $1100 - 1250^\circ C.$) zu erwärmen sind. Nehmen wir nur die Erwärmung auf $800^\circ C.$ an, so haben wir:

| Gas | kg | × spez. Wärme | = Wärme-Kap. Temp. $^\circ C.$ | Wärmebedarf, Kal. |
|-------|------|---------------|--------------------------------|-----------------------------------|
| CO | 2,25 | × 0,2479 | = 0,5578 | |
| N_2 | 4,23 | × 0,2440 | = 1,0321 | |
| | 6,48 | | = 1,5899 | × $800^\circ C.$ = 1272 Kalorien. |

Wir brauchen somit für die Erwärmung auf nur $800^\circ C.$ allein 1272 Kalorien, während uns von der Kohlenoxydbildung her nur 712 Kalorien übrig bleiben, und hierbei haben wir noch auf die Erwärmung des Erzes und die verschiedenen unvermeidlichen Wärmeverluste durch Leitung und Strahlung sowie durch die Temperatur der entweichenden Gase gar keine Rücksicht genommen.

Wir müssen somit auf jeden Fall dem Prozesse noch weitere Wärme von aussen zuführen. Diese Wärmezufuhr kann nun bewirkt werden:

a) indem man unmittelbar im Ofen eine grössere Kohlenstoffmenge verbrennt, also mit einem Überschusse an Kohlenoxydgas arbeitet, oder

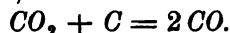
b) indem man die kohlenoxydreichen Abgase des Prozesses in geeigneten Apparaten verbrennt und die so gewonnene Wärme in der Weise wieder nutzbar macht, dass man den für den Prozess benötigten Gebläsewind damit vorwärmt (Winderhitzer).

Aus diesen Betrachtungen, die jedoch nur ein ungefähres Bild der im Hochofen herrschenden Verhältnisse geben sollen, lässt sich erkennen, in welcher Weise die Winderhitzung von Nutzen sein kann, aber auch, dass es eine Grenze giebt, über welche hinaus durch die Winderhitzung kein weiterer Nutzen mehr geschaffen werden kann.

Es dürfte dem Leser aufgefallen sein, dass wir früher, bei Vergleichung der Reduktion mit elementarem Kohlenstoff und mit Kohlenoxyd in letzterem Falle zur Bildung von Kohlensäure kamen, während wir in ersterem Falle nur die Bildung von Kohlenoxyd voraussetzten. Nach dem eben Gesagten könnte ja auch in diesem Falle ein Gemenge von etwa 1 Volum Kohlen-

säure mit 2 Volumen Kohlenoxyd entstehen, wodurch sich die Verhältnisse für den direkten Reduktionsprozess natürlich weit günstiger gestalten würden.

Die metallurgischen Lehrbücher weisen hier darauf hin, dass die bei der Reaktionstemperatur etwa auftretende Kohlensäure den stets im Überschusse vorhandenen Kohlenstoff zu Kohlenoxyd verbrennen würde, nach der Gleichung:



Dieser Vorgang beginnt sich schon unter 500° C. zu vollziehen und geht bei etwa 1000° C. vollständig vor sich. Er wird somit auch schon bei der Reduktion mit Kohlenoxyd (Reduktionstemperatur gewöhnlich mindestens 800°) in beträchtlichem Masse erfolgen und bei der direkten Reduktion mit festem Kohlenstoff (bei welchem die Reduktionstemperatur wahrscheinlich höher liegt) noch mehr vorherrschen.

Hingegen würde bei der direkten Reduktion allerdings theoretisch kein Überschuss des Reduktionsmittels erforderlich sein, weil ja das gebildete Kohlenoxyd auf das ausreduzierte metallische Eisen nicht oxydierend wirkt. Allein auch in diesem Falle muss Eisenoxyd und Kohlenstoff mindestens auf die Reduktionstemperatur (wenn nicht auf die Schmelztemperatur des gebildeten Roheisens) erhitzt werden. Setzen wir erstere nur auf 800° C. (wie im vorigen Falle) und sehen wir (um den Vergleich mit dem früheren Falle zu vereinfachen) von der Erwärmung des Eisenoxydes ganz ab, so brauchen wir zur Erwärmung von

$\frac{1}{28}$ kg Kohlenstoff von 0° C. auf 800° C.

| | |
|---|-----------------------|
| kg × spez. Wärme (von 0° bis 800°) = Wärme-Kapaz. × Temp. = Kalorien. | |
| $\frac{1}{28} \times 0,40$ | = 0,129 × 800 = 103,2 |
| wozu, wie wir früher gesehen haben, für die Reduktion selbst noch | <u>1058,00</u> |
| kommen, so dass wir von aussen | 1161,2 |
| zuführen müssten, während bei der Reduktion durch Kohlenoxyd | |
| (wie die früheren Rechnungen zeigten) | 1272,00 |

nötig wären.

Diese Rechnung weist allerdings zu Gunsten der direkten Reduktion einen Wärmegegewinn von etwa 110 Kalorien nach, der jedoch in Wirklichkeit nicht zu erreichen ist, weil ja das bei dem Prozesse gebildete Kohlenoxyd gleichfalls mit einer Temperatur von 800° C. entweichen und daher

$$\frac{21}{28} \times 0,2479 \times 800 = 116,7 \text{ Kalorien}$$

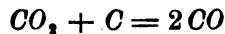
dem Prozesse entziehen würde, so dass sich der Wärmebedarf bei direkter Reduktion auf $1161,2 + 116,7 = 1277,9$ Kal. (gegen 1272 Kal. bei der Reduktion mit Kohlenoxyd) stellen würde.

Liegt jedoch die Reduktionstemperatur bei Anwendung festen Kohlenstoffes, wie wahrscheinlich, höher (etwa bei 1000°), so haben wir:

Zur Erwärmung des Kohlenstoffes:

| | |
|---|--------------|
| $\frac{9}{28} \times 0,47 \times 1000$ | 151,00 Kal. |
| Zur Reduktion selbst erforderlich | 1058,00 „ |
| Das entweichende Kohlenoxydgas entführt | |
| $\frac{21}{28} \times 0,2479 \times 1000$ | 186,00 „ |
| Somit Gesamtwärmebedarf | 1395,00 Kal. |
| während die Reduktion mit Kohlenoxyd an | |
| fremder Energie nur | 1272,00 „ |
| erfordert. | |

Wir haben früher die Reaktion



erwähnt und gefunden, dass dieselbe schon unter 600° C. aufzutreten beginnt, mit steigender Temperatur immer mehr hervortritt und bei 1000° sich vollständig vollzieht. Bei derselben Temperatur, namentlich aber zwischen etwa 300° und 500° findet nun die Reaktion auch in entgegengesetzter Richtung statt, d. h. das Kohlenoxyd verwandelt sich unter Abscheidung von Kohlenstoff in Kohlensäure. Wir haben es somit wieder mit einer umkehrbaren Reaktion zu thun, die zu einem Gleichgewichtszustande führt. Da nun bei niederen Temperaturen die Kohlensäure, bei höheren aber das Kohlenoxyd vorwaltet, muss erstere bei niederen, letztere bei höheren Temperaturen die stabilere Verbindung sein; eine Schlussfolgerung, die durch die mit steigender Temperatur fortschreitende Dissociation der Kohlensäure ($CO_2 = CO + O$) bestätigt wird.

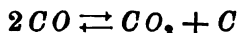
DRITTES KAPITEL.

Gleichgewichtserscheinungen bei den Reduktionsprozessen (Kohlenoxyd, Kohlensäure und Kohlenstoff).

Wir haben schon am Anfange des vorigen Kapitels (S. 25) bei Besprechung der Reduktion von Eisenoxyduloxyd durch Wasserstoff und der Oxydation von metallischem Eisen durch Wasserdampf gesehen, dass sich bei derartigen umkehrbaren Prozessen zwischen den gasförmigen Reaktionsprodukten ein Gleichgewichtszustand herstellt, der von den vorhandenen Mengen der an der Reaktion beteiligten festen Stoffe unabhängig ist.

Ein eben solches Gleichgewicht haben wir auch bei der Reduktion von Eisen-Sauerstoffverbindungen mit Kohlenoxyd kennen gelernt. Bei der hervorragenden praktischen Wichtigkeit der Reduktion durch Kohlenoxyd wollen wir die einschlägigen Verhältnisse näher kennen lernen.

Zu diesem Zwecke müssen wir zunächst die Dissociation von Kohlenoxyd studieren, welche sich nach der Gleichung



vollzieht. Diese Reaktion ist aus dem Grunde von besonderer Wichtigkeit, weil wir es bei allen hüttenmännischen Reduktionsprozessen, die sich bei Gegenwart eines Kohlenstoff-Überschusses vollziehen, mit dem Gleichgewichte zwischen Kohlenoxyd, Kohlensäure und festem Kohlenstoff zu thun haben.

Diese Reaktion ist umkehrbar und führt somit zu einem Gleichgewichte. Ihre Existenz wurde zuerst von Henry Sainte-Claire Deville¹⁾ nachgewiesen. Er sagt darüber:²⁾ „Es ergibt sich daraus, dass sich das Kohlenoxyd, selbst bei Gegenwart von Kohlenstoff, teilweise in Kohlensäure umwandelt. Wenn man in eine tarierte Glasröhre eine gewogene Menge von Russ bringt, der lange Zeit in einem Kohlenoxydstrom ausgeglüht wurde, und über denselben völlig reines Kohlenoxydgas streichen lässt, das austretende Gas aber durch Barytwasser oder Kalilauge leitet, so findet man, dass das Gewicht des Russes erheblich zunimmt in-

1) Compt. Rend. LIX, p. 873; LX, p. 317.

2) Leçons sur la dissociation, professées en 1864 devant la société chimique de Paris, p. 324.

dem sich Kohlenstoff ablagert, während gleichzeitig eine entsprechende Menge von Kohlensäure gebildet und im Absorptionsgefäße zurückgehalten wird. Diese Dissociation ist bei der Temperatur des schmelzenden Glases sehr gering, und doch muss diese Temperatur erreicht werden, was die Operation sehr heikel macht. Auch erhielt ich im Verlauf mehrerer Stunden nur 4 mg Russ abgeschieden, während 18 mg Kohlensäure absorbiert wurden. Vertauscht man jedoch die Glasröhre mit einer Porzellanröhre, und begnügt man sich die Kohlensäure zu wägen, so kann man bei einer unter dem Schmelzpunkte des Silbers liegenden Temperatur sehr rasch mehrere Decigramm Kohlensäure erhalten, wenn man 10 bis 15 Liter reines Kohlenoxydgas über den Russ leitet. Man kommt so zu der scheinbar paradoxen Erscheinung, dass sich Kohlenoxyd in Berührung mit rotglühendem Kohlenstoff teilweise in Kohlensäure umwandelt.“

Der elektrische Funke bewirkt eine ganz ähnliche Erscheinung wie die Wärme, weil das durch den elektrischen Funken hoch erhitze Gas eine plötzliche Abkühlung erfährt, so dass eine Rückbildung von Kohlenoxyd ausgeschlossen ist. „Bringt man in ein Eudiometer 220 Vol. reines Kohlenoxyd und lässt man 72 Stunden lang den elektrischen Funken durchschlagen, so vermindert sich das Volum auf 217 bis 217,5. Das Gas enthält dann, wie sich mit Kalilauge nachweisen lässt, 5 Vol. Kohlensäure, so dass durch den elektrischen Funken nur $\frac{22}{1000}$ der Gesamtkohlenoxydmenge zerlegt wurden. Die Dissociations-Spannung des Kohlenoxydes ist daher bei einer stark erhöhten Temperatur ausserordentlich gering“¹⁾ Nach Deville könnte der elektrische Funke zur Messung der Dissociationserscheinung benutzt werden, wenn die Temperatur bekannt wäre, welche den Gasteilchen durch denselben mitgeteilt wird.

Eisen scheint, besonders in feiner Verteilung, die Zerlegung des Kohlenoxydes durch die Wärme zu begünstigen. Stammer²⁾ war der erste, der beobachtete, dass sich, wenn Kohlenoxyd bei einer unter dem Erweichungspunkte des Glases liegenden Temperatur über Eisenoxyd streicht, neben dem reduzierten Eisen eine

1) Leçons, p. 325.

2) Pogg. Ann. 1851, S. 136; 1853, S. 135.

beträchtliche Menge von voluminösem Kohlenstoff abscheidet, der das Eisen gleichförmig imprägniert.

Caron¹⁾ hat ähnliche Beobachtungen gemacht.

Unter dem Erweichungspunkte des Glases arbeitend, erhielt er folgende Resultate:

| | |
|--|---------|
| Eisenoxyd (aus Oxalat) verwendet | 1,000 g |
| Nach der Reduktion mit Wasserstoff | 0,700 „ |
| 1 Stunde in Kohlenoxyd erhitzt | 0,928 „ |
| 7 Stunden in Kohlenoxyd erhitzt | 3,170 „ |

Die Gewichtszunahme rührt vom Kohlenstoff und Sauerstoff, möglicherweise auch vom Kohlenoxyd her.

Nickel verhält sich wie Eisen.

Im Gegensatze zu Deville und Gmelin glaubt Lowthian Bell, dass die Wärme allein keine Dissociation des Kohlenoxydes verursache. Nach ihm hätte Deville den Kohlenstoff aus dem Kohlenoxydgase an einem Punkte abgeschieden, wo die Wieder-oxydation desselben nicht mehr möglich gewesen sei. Um die Erscheinung zu ermöglichen, sei die Gegenwart von Metalloxyden erforderlich; die Oxyde von Eisen, Nickel und Kobalt gäben die besten Resultate.

Mit anderen Metalloxyden hat L. Bell bei Temperaturen zwischen dem Schmelzpunkt von Zink und Rotglut folgende Resultate erhalten:

1. mit Titan: das Metall erschien mit Kohlenstoff imprägniert;
2. mit Kupfer und Blei: keine Kohlenstoff-Abscheidung und Reduktion des Oxydes zu Metall;
3. mit Mangan: keine Kohlenstoffabscheidung und Reduktion zu MnO ;
4. mit Zink, Chrom, Zinn und Silicium: keine Reaktion.

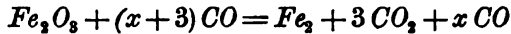
Schlagdenhauffen und Pagel²⁾ scheinen im Gegenteile zu glauben, dass die Kohlenstoffabscheidung mit allen Oxyden, besonders mit Bleioxyd erfolge. Aber die Versuche 387 und 388 von Lowthian Bell zeigen, dass man mit (durch Glühen von Nitrat erhaltenem) Bleioxyd bei Zinkschmelzhitze und bei Rotglut keine Kohlenstoff-Abscheidung erhält.

1) Compt. Rend. LII, p. 1190.

2) Compt. Rend. CXXVIII, p. 311.

Die Einwirkung von Kohlenoxyd auf Kupferoxyd und Bleioxyd ist sehr einfach, weil es sich nur um eine Reduktions-Erscheinung handelt; viel komplizierter ist die Einwirkung auf die Oxyde von Eisen, Nickel und Kobalt.

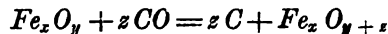
Lowthian Bell hat seine Untersuchungen ¹⁾ angestellt, um für die komplexen Reaktionen im Hochofen eine Erklärung zu finden. Die Reduktion des Eisenoxydes kann nach ihm durch die Gleichung



dargestellt werden. Er bemerkte hierbei einen schwarzen, in Salzsäure unlöslichen Rückstand, den er auf die Reaktion $2CO = CO_2 + C$ zurückführt. Seine zahlreichen Untersuchungen zeigen, dass die günstigste Temperatur für die Abscheidung von Kohlenstoff zwischen 400° und 450° C. liegt. Nach diesem Gelehrten rühren die beträchtlichen beobachteten Unterschiede in der Kohlenstoff-Ablagerung bei verschiedenen Eisenoxyden wahrscheinlich von Strukturunterschieden her, wie sie selbst durch verschiedene Glühtemperatur des Oxydes bedingt sein können. Ferner glaubt er, dass die Reduktion der Metalloxyde und die Abscheidung des Kohlenstoffes nicht bei derselben Temperatur beginnen.

Man kann sich die Einwirkung von Kohlenoxyd auf Eisenoxyd in verschiedene Stadien zerlegt denken, und erhält dann bei der Reduktion ein Gemenge von metallischem Eisen mit einem Eisenoxyd von der allgemeinen Zusammensetzung Fe_xO_y ²⁾ und Kohlenstoff.

Lowthian Bell stellte in diesem Sinn die Reaktionsgleichung



auf, ²⁾ und nahm an, dass dieselbe aus folgenden Reaktionen resultiere:

1. Einwirkung von Kohlenoxyd auf Fe_xO_y unter Bildung von Kohlensäure und eines niederen Oxydes;
2. Reaktion dieses niederen Oxydes auf Kohlenoxyd unter Abscheidung von Kohlenstoff und Bildung von Fe_xO_y ;
3. Einwirkung von Kohlenstoff auf Fe_xO_y unter Bildung von Metall, niederem Oxyd und einer Mischung von Kohlenoxyd und Kohlensäure;

1) Journ. Iron Steel Inst. 1871, I, p. 85.

2) $x > y$.

4. Einwirkung von metallischem Eisen auf Kohlenoxyd, wobei Fe_xO_y oder ein niederes Oxyd gebildet und Kohlenstoff abgeschieden wird;

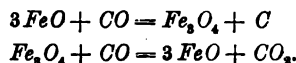
5. Einwirkung von Kohlensäure auf Kohlenstoff, metallisches Eisen und auf das niedere Oxyd.

Es müssten daher verschiedene Gleichgewichte zwischen diesen Reaktionen auftreten.

Alle Versuche L. Bells beziehen sich auf die Kohlenstoffmenge, die sich auf einem bekannten Gewichte der Metalloxyde bei verschiedenen Temperaturen ablagert. So lagert sich auf Eisenoxyd je nach seinem physikalischen Zustande und seiner Herkunft für je 100 Teile in Reaktion tretendes Eisen 2,3 bis 476,5 Teile Kohlenstoff ab. Bei derselben Temperatur ergaben sich bei Nickeloxyd auf 100 Teile Nickel 250 Teile Kohlenstoff.

Deville hat nachgewiesen, dass beim Überleiten eines Kohlenoxydstromes über ein Bündel Klavierdraht, das in einer Porzellanröhre steckte und nur auf eine kurze Strecke erhitzt wurde, so dass es in der Mitte 1300° , an den Enden aber nur 400° warm war, nur auf letzteren Kohlenstoff abgelagert wurde, während sich die rotglühenden Partien in Stahl verwandeln.

Nach Gruner¹⁾ erscheint diese Ablagerung von Kohlenstoff auf metallischem Eisen, sobald die Einwirkung des Kohlenoxydes durch Kohlensäure oder einen Sauerstoffüberschuss gemässigt ist. Die Reaktion würde, nach ihm, wahrscheinlich nicht eintreten, wenn das Eisen absolut oxydfrei wäre. Der abgelagerte Kohlenstoff enthält 7% Eisen, ferner eine geringe Menge von oxydiertem Eisen, grösstenteils magnetisch, dem anscheinend eine massgebende Rolle bei der Reaktion zukommt, welche die Kohlenstoffablagerung verursacht. Zur Abscheidung von Kohlenstoff ($2CO = CO_2 + C$) wäre somit die gleichzeitige Gegenwart von metallischem Eisen und von Eisenoxyd erforderlich: das Eisen würde zum Fixieren des Kohlenstoffes, das Eisenoxyd zur Zurückhaltung von Sauerstoff dienen. Ferner soll die Einwirkung des Kohlenoxydes durch Kohlensäure gemässigt sein:



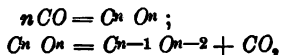
1) Compt Rend. CXXIII, p. 28; CXXIV, p. 226.

Moissan¹⁾ hat die Metalloxyde der Eisengruppe studiert und gezeigt, dass durch Wasserstoff oder Kohlenoxyd zuerst immer Fe_3O_4 gebildet wird; bei 500° entsteht FeO , bei 650° metallisches Eisen.

Schützenberger²⁾ hat die Untersuchungen von Deville wiederholt und hierbei vollständig kohlen säure freies Gas und vorher durch Wasserstoff reduzierten Eisendraht benutzt. Die Kohlenstoffablagerung bildet sich auf den kältesten Partien, während die Mitte des Bündels metallisch bleibt; gleichzeitig lässt sich in den aus der Röhre strömenden Gasen Kohlensäure nachweisen. Die anfängliche Gegenwart einer Sauerstoffverbindung scheint daher nicht unumgänglich nötig. Das Eisen wirkt auf Kohlenoxyd ebenso wie auf Ammoniak, und diese Einwirkung wird wahrscheinlich durch die Affinität des Metalles gegen Kohlenstoff begünstigt. Bei heller Rotglut tritt die Erscheinung nicht ein, weil bei dieser Temperatur der Kohlenstoff auf Kohlensäure einwirkt. Diese entgegengesetzte Reaktion wird vorherrschend und behindert somit zum grössten Teile die erstere Reaktion.

Berthelot³⁾ hat die Wirkung der Wärme auf Kohlenoxyd studiert. Er arbeitete mit Röhren, die 50 bis 60 ccm Gas enthielten und erhielt etwa 3 bis 4% Kohlensäure. Die Röhren wurden mit Gas so stark als möglich erhitzt, ohne sie zum Schmelzen zu bringen (etwa 500°).

Nach Berthelot besteht über den Mechanismus der Zersetzung kein Zweifel. Es ist keine einfache Dissociation, sondern der Zersetzung geht eine Polymerisation voraus. Das Kondensationsprodukt zerfällt sofort in CO_2 und ein Suboxyd. Zwischen diesen Verbindungen tritt nun eine komplexe Dissociation ein, bei welcher das Kohlenoxyd interveniert und die Umwandlung begrenzt:



Das einfachste dieser Suboxyde (entsprechend C_2H_2) wäre C_2O , das gasförmig sein würde. Der Mechanismus dieser Reak-

1) Ann. chim. phys., 5^{ème} série, t. 21, p. 199, 1880.

2) Traité de chimie générale, II, p. 475.

3) Compt. Rend. CXII, p. 394; — Ann. chim. phys. 6^{ème} série, XIV, p. 126.

tion folgt denselben Gesetzen wie die pyrogene Polymerisation und Zersetzung der Kohlenwasserstoffe.

Im ganzen sind wenig Untersuchungen quantitativ durchgeführt. Allerdings hat Lowthian Bell mehr als 400 Bestimmungen ausgeführt; aber sie beziehen sich auf die Kohlenstoffmenge, welche auf einem bekannten Gewichte der Metalloxyde bei verschiedenen Temperaturen abgelagert wurde, und nicht auf das relative Verhältnis der gebildeten Kohlensäure zum übrig bleibenden Kohlenoxyde.

Als Ergänzung zu dem oben Mitgeteilten ist noch zu erwähnen, dass Lowthian Bell¹⁾ die Zusammensetzung von Kohlenoxyd-Kohlensäuregemischen, welche bei den unten angeführten Temperaturen weder metallisches Eisen oxydieren, noch Eisenoxyde reduzieren, wie folgt angiebt:

| | |
|---------------------------|--------------------------------|
| bei Weissglut | 11 Vol. CO_2 + 100 Vol. CO |
| „ heller Rotglut | 47 „ „ + 100 „ „ |
| „ dunkler Rotglut | 150 „ „ + 100 „ „ |

Kürzlich hat Octave Boudouard²⁾ diese Reaktion eingehend studiert, indem er reines Kohlenoxyd auf die Oxyde von Eisen, Nickel und Kobalt einwirken liess, die teils in verschiedenen grossen Stücken, teils in feiner Verteilung auf Bimsstein, durch Ausglühen im Kohlenoxydgasstrome reduziert und mit einer Kohlenstoffabscheidung bedeckt worden waren. Seine Versuche mit verschiedenen Mengen der auf Bimsstein verteilten Oxyde ergab:

a) bei 445° C.

| Dauer der Erhitzung | Eisenoxyd | | | Nickeloxyd | | | Kobaltoxyd | | |
|---------------------------|-------------|-------------|-------------|------------|-----------|------------|------------|-----------|------------|
| | 0,0673 g | 0,0224 g | 0,0022 g | 0,15 g | 0,05 g | 0,005 g | 0,15 g | 0,05 g | 0,005 g |
| h m | CO_2 % | | | CO_2 % | | | CO_2 % | | |
| — 8 | 30,2 | 16,1 | 2,9 | 100,0 | 90,9 | 25,9 | 100,0 | 89,7 | 47,7 |
| — 40 | 57,4 | — | — | — | — | — | — | — | — |
| 1 — | — | — | — | — | 100,0 | 88,4 | — | 100,0 | 81,2 |
| 1 4 | — | 62,9 | 36,6 | — | — | — | — | — | — |
| 1 20 | 87,0 | — | — | — | — | — | — | — | — |
| 2 — | — | — | — | — | — | 96,8 | — | — | 93,9 |
| 3 — | 94,8 | — | — | — | — | — | — | — | — |
| 4 15 | — | — | — | — | — | 100,0 | — | — | 100,0 |
| 6 — | 100,0 | — | 52,3 | — | — | — | — | — | — |
| 7 — | — | 100,0 | — | — | — | — | — | — | — |

1) Principles of the manufacture of iron and steel, p. 185, 186.

2) Theses.

b) bei 650° C.

| Gramme der Oxyde | 8 ^m | | 6 ^h | | 7 ^h | | 9 ^h | |
|------------------|-----------------|------|-----------------|------|-----------------|------|-----------------|------|
| | CO ₂ | CO | CO ₂ | CO | CO ₂ | CO | CO ₂ | CO |
| Eisenoxyd | | | | | | | | |
| 0,0673 | 18,6 | 81,4 | 39,1 | 60,9 | — | — | — | — |
| 0,0224 | 9,8 | 90,2 | 23,1 | 76,9 | — | — | — | — |
| 0,0022 | 2,1 | 97,9 | 22,5 | 77,5 | — | — | — | — |
| Nickeloxyd | | | | | | | | |
| 0,15 | 31,3 | 68,7 | 42,1 | 57,9 | — | — | — | — |
| 0,05 | 6,9 | 93,1 | 27,5 | 72,5 | — | — | — | — |
| 0,005 | 1,5 | 98,5 | 25,0 | 75,0 | — | — | — | — |
| Kobaltoxyd | | | | | | | | |
| 0,15 | 39,7 | 60,3 | 61,5 | 38,5 | 61,0 | 39,0 | 61,5 | 38,5 |
| 0,05 | 33,3 | 66,7 | 60,9 | 39,1 | — | — | — | — |
| 0,005 | 20,0 | 80,0 | 59,2 | 60,8 | — | — | — | — |

c) bei 800° C.

| Dauer der Er- hitzung h m | Eisenoxyd | | Nickeloxyd | | Kobaltoxyd | |
|---------------------------------|-----------------|------|-----------------|------|-----------------|------|
| | CO ₂ | CO | CO ₂ | CO | CO ₂ | CO |
| — 8 | 4,4 | 95,6 | 3,0 | 97,0 | 3,2 | 96,8 |
| — 30 | 5,5 | 94,5 | 4,8 | 95,2 | — | — |
| — 45 | 5,6 | 94,4 | — | — | — | — |
| 2 15 | 7,0 | 93,0 | 6,3 | 93,7 | — | — |
| 4 — | 6,5 | 93,5 | 6,7 | 93,3 | — | — |

Aus den vorstehenden Tabellen ergibt sich, dass die Zersetzung des Kohlenoxydes um so schneller erfolgt, je grössere Oxydmengen vorhanden sind. Um zu entscheiden, ob man es hier mit Massenwirkung oder mit einer Wirkung der Kontaktfläche zu thun hat, wurden bei einer Versuchsreihe die Oxyde statt in feinsten Verteilung, in sehr kompaktem Zustande angewendet. Es wurden zu diesem Zwecke natürliche anhydrische Eisenoxyde gewählt und für jeden Versuch 10 g in verschiedener Korngrösse genommen.

Die Kontaktfläche betrug:

bei No. 1 ungefähr 15 cm²
 „ „ 2 „ 30 „
 „ „ 3 „ 125 „
 „ „ 4 (Pulver) war sie sehr beträchtlich.

Die bei 445° durchgeführte Untersuchung ergab bei Magnet-
 eisenstein:

| Dauer des Versuches | No. der Probe | CO ₂ % | CO % |
|---------------------|---------------|-------------------|------|
| 6 ^h | 1 | 31,8 | 68,2 |
| 6 ^h | 2 | 39,7 | 60,3 |
| 6 ^h | 3 | 47,8 | 52,2 |
| 6 ^h | 4 | 67,5 | 32,5 |

Es wird somit bei gleicher Behandlung in gleicher Zeit um
 so mehr CO₂ gebildet, je grösser die Oberfläche des Eisenoxides ist.

Mit einem anderen Eisenerz ergaben sich analoge Resultate:

| Dauer des Versuches | No. der Probe | CO ₂ % | CO % |
|---------------------|---------------|-------------------|------|
| 10 ^m | 1 | 87,5 | 14,3 |
| 10 ^m | 3 | 87,8 | 13,2 |
| 10 ^m | 4 | 89,8 | 10,2 |

Um zu entscheiden, ob die Reaktion auch bei Gegenwart
 grosser Kohlenstoffmengen stattfindet, wurde Holzkohle, die zur
 Entfernung vorhandenen Wasserstoffes in einem Chlorstrom aus-
 geglüht, dann gewaschen und getrocknet worden war, in hasel-
 nussgrossen Stücken mit Eisen-, Nickel- oder Kobaltnitrat getränkt
 und geglüht. Die Versuche ergaben:

| Metalloxyde in Grammen | 8 ^m | | 6 ^h | |
|---------------------------|-------------------|--------------------------------|-------------------|------|
| | CO ₂ % | CO % | CO ₂ % | CO % |
| Eisenoxyd | | | | |
| 0,244 | 33,3 | 66,7 | 84,1 | 15,9 |
| 0,008 | 7,9 | 92,1 | 79,7 | 20,3 |
| Nickeloxyd | | | | |
| 8 ^m | | 4 ^h 15 ^m | | |
| 0,474 | 64,0 | 36,0 | 99,1 | 0,9 |
| 0,158 | 25,3 | 74,7 | 65,4 | 34,6 |
| Kobaltoxyd | | | | |
| 0,417 | 96,0 | 3,6 | 98,8 | 1,2 |
| 0,139 | 17,4 | 82,8 | 84,4 | 15,6 |

Aus den vorstehenden Untersuchungen ergibt sich, dass die Zersetzung des Kohlenoxydes eine Funktion der Zeit und der Temperatur ist. Die Reaktionsgeschwindigkeit, die bei 800° grösser ist als bei 650° , hängt auch von der Menge des vorhandenen Metalloxydes ab. Dieser Einfluss ist aber keine Funktion der Massen der vorhandenen Oxyde, sondern eine solche der Berührungsflächen.

Bei den Oxyden von Nickel und Kobalt wird die Grenze der Zersetzung schneller erreicht als bei Eisenoxyd. Es würde scheinen, als ob das Nickeloxyd eine weniger beschleunigende Wirkung auf den Verlauf der Reaktion ausüben würde als Kobaltoxyd; aber bei der angewendeten Art der Erhitzung sind Temperaturschwankungen zwischen den einzelnen Proben unvermeidlich, die 25° erreichen können. Da nun das Gebiet, in welchem die Zersetzung zwischen 0 und 100% schwankt, in einem sehr engen Temperaturintervalle liegt, können zwischen Untersuchungen, die scheinbar bei gleicher Temperatur ausgeführt wurden, ziemlich beträchtliche Abweichungen vorkommen.

In den bei 445° mit imprägnierter Holzkohle angestellten Versuchen, bei welchen im Verhältnis zum Oxyd viel Kohle vorhanden war, sind die Erscheinungen dieselben; doch muss erwähnt werden, dass eine Verzögerung eintritt, dass also — alles übrige gleichgesetzt — die vollständige Zersetzung des angewendeten Kohlenoxydes langsamer erreicht wird.

Die Menge der gebildeten Kohlensäure wächst regelmässig. Bei 445° erfolgt die Zerlegung des Kohlenoxydgases nahezu vollständig. Bei höheren Temperaturen ist sie begrenzt. Bei 650° kommt die Reaktion zum Stillstand, wenn das Gasgemenge 61% CO_2 und 39% CO enthält, und bei 800° tritt das Gleichgewicht bei 7% CO_2 und 93% CO ein.

Sainte-Claire Deville hat gezeigt, dass sich das Gewicht von Russ vergrössert, wenn man Kohlenoxyd darüber leitet, indem sich — entsprechend der Kohlensäurebildung — Kohlenstoff abscheidet. Boudouard hat ähnliche Versuche bei 800° mit einem Gemenge von Kohlensäure und Stickstoff angestellt. Da aber die Menge der gebildeten Kohlensäure sehr klein ist, wurde die Gewichtsbestimmung durch die volumetrische ersetzt. Das verwendete Gasgemenge enthielt 27% reines CO .

1. 5,800 Liter des Gasgemenges enthielt 1,566 Liter CO . Nach $1\frac{1}{2}$ Stunde waren 0,68 Volumproz. CO^2 gebildet worden.

2. 5 Liter Gas enthielten nach einer Stunde 0,68 Volumproz. CO_2 .

Bei einer Temperatur von 800° giebt also ein Gemenge von 27 Volumproz. CO und 73 Volumproz. Stickstoff, nachdem es über Kohle geleitet wurde, 0,65% Kohlensäure.

Aber auch die entgegengesetzte Reaktion: $CO_2 + C = 2CO$, wurde von Boudouard studiert. Seine Versuche ergaben:

a) bei $650^\circ C$. (mit Holzkohle in Haselnussgrösse und durch Zersetzung von Kohlenoxyd erhaltenem Kohlenstoff):

| Zeit der Erhitzung h m | | I. Holzkohle | | II. C aus CO | |
|---------------------------|---|--------------|--------|----------------|--------|
| | | CO_2 % | CO % | CO_2 % | CO % |
| — | 8 | 81,8 | 18,2 | 93,0 | 7,0 |
| 1 | 4 | 71,7 | 28,3 | 83,1 | 11,9 |
| 6 | — | 65,2 | 34,8 | 70,9 | 29,1 |
| 8 | — | 63,1 | 36,9 | — | — |
| 9 | — | 62,4 | 37,6 | 69,2 | 30,8 |
| 12 | — | 61,5 | 38,5 | — | — |

In beiden Serien ist der Verlauf der Erscheinungen derselbe; in der zweiten Serie scheint die Reaktionsgeschwindigkeit kleiner zu sein; aber es war auch die Kohlenstoffmenge weit kleiner (etwa $\frac{1}{25}$);

b) bei $800^\circ C$. (mit Holzkohle, Hornkohle, Koke und Kohlenstoff aus Kohlenoxyd in verschieden grossen Stücken):

| Dauer der Erhitzung | | Holzkohle | | Hornkohle | | Kokes | | Kohlenstoff aus CO | |
|---------------------|----|-----------------------------|------|-------------------|------|-------------------|------|--------------------|------|
| | | in haselnussgrossen Stücken | | | | | | | |
| | | CO ₂ % | CO % | CO ₂ % | CO % | CO ₂ % | CO % | CO ₂ % | CO % |
| — | 8 | 17,1 | 82,9 | 86,7 | 13,3 | 83,6 | 16,4 | 13,6 | 86,4 |
| 1 | — | 6,1 | 93,9 | 65,8 | 34,2 | — | — | — | — |
| 1 | 30 | — | — | — | — | 42,6 | 57,4 | 8,0 | 92,0 |
| 2 | 30 | — | — | — | — | — | — | 7,1 | 92,9 |
| 6 | — | 6,7 | 93,3 | — | — | 11,0 | 89,0 | — | — |
| 7 | — | — | — | 48,8 | 56,7 | — | — | — | — |
| 9 | — | — | — | — | — | 12,8 | 87,2 | — | — |
| 9 | 30 | — | — | 29,7 | 70,3 | — | — | — | — |

| Dauer der Er- hitzung | | Holzkohle | | Hornkohle | | Kokes | |
|--------------------------|----|---------------------------|------|-------------------|------|-------------------|------|
| | | in Stücken von 2 bis 5 mm | | | | | |
| h | m | CO ₂ % | CO % | CO ₂ % | CO % | CO ₂ % | CO % |
| — | 8 | 39,9 | 60,1 | 80,1 | 19,9 | 79,1 | 20,9 |
| 1 | — | 9,9 | 90,1 | 41,2 | 58,8 | 39,8 | 60,2 |
| 1 | 30 | 10,1 | 89,9 | — | — | — | — |
| 6 | — | 6,3 | 93,7 | 17,2 | 82,8 | 15,6 | 84,4 |
| 9 | — | — | — | 12,7 | 87,3 | — | — |

c) bei 925° C.

Boudouard liess einen Strom von Kohlensäure verschieden lange Zeit über Kohle streichen. Die Versuche ergaben:

- 1,250 Liter Kohlensäure gaben in 30 Minuten noch 3,3 Volumproz. CO₂.
- 3,500 Liter Kohlensäure gaben nach 1½ Stunden 4,5 Volumproz. CO₂.

Aus diesen Versuchen ergibt sich: die Zersetzung der Kohlensäure schreitet bei Gegenwart von Kohle regelmässig fort, ohne jedoch vollständig zu sein. Sie ist eine Funktion der Zeit und der Temperatur. Die Grenze (d. i. das Gleichgewicht) entspricht:

bei 600° einem Gemenge von 61,5 Volumproz. CO₂ + 39 Volumproz. CO
 „ 800° „ „ „ 7,0 „ „ + 93 „ „
 „ 925° „ „ „ 4,0 „ „ + 96 „ „

Besonders interessant — wenn auch theoretisch von vornherein zu erwarten — ist es, dass diese Grenzen genau dieselben sind wie bei der Zersetzung von Kohlenoxyd in Gegenwart von Metalloxyden bei gleicher Temperatur.

Bei 800° wurden die Versuche mit verschiedenen Kohlenarten durchgeführt. Bei allen verlaufen die Erscheinungen in gleicher Weise; der einzige Unterschied liegt in der Reaktionsgeschwindigkeit.

Die Versuche, welche angestellt wurden, um den Einfluss des Druckes zu ermitteln, wurden bei 800° C. ausgeführt, indem Kohlenstoff mit Luft im geschlossenen Rohre erhitzt wurde. Der Sauerstoff verbindet sich hierbei mit Kohlenstoff und man erhält so mit Stickstoff verdünnte Kohlensäure (von $\frac{1}{5}$ Atm. Partialdruck), die sich mit dem überschüssigen Kohlenstoff ins Gleichgewicht setzt.

Die Versuchsergebnisse waren folgende:

| Zeit der Erhitzung | | CO_2 | CO |
|--------------------|----|--------|-------|
| h | m | % | % |
| — | 8 | 56,37 | 43,63 |
| 1 | — | 38,35 | 61,65 |
| 2 | — | 28,57 | 71,43 |
| 6 | — | 14,65 | 85,35 |
| 7 | 80 | 9,1 | 90,9 |
| 9 | — | 5,95 | 94,05 |

Bei neunstündigem Erhitzen wurde die bei Atmosphärendruck erhaltene Grenze von 7% überschritten. Sollte auch das Gleichgewicht noch nicht erreicht worden sein, so lässt sich doch der Einfluss des Druckes erkennen. Auch ist zu erwähnen, dass die Reaktionsgeschwindigkeit hier weit kleiner ist als bei Atmosphärendruck.

Schliesslich sind noch zwei bei 550° C. ausgeführte Versuchserien Boudouards zu erwähnen, welche derselbe in einer Fussnote anführt.

1. $2CO = CO_2 + C$. Die bei Gegenwart von Kobaltoxyd ausgeführten Untersuchungen ergaben:

| | h | m | % CO_2 | % CO_2 |
|------|---|----|----------|----------|
| nach | — | 10 | 70,5 | 29,5 |
| „ | 2 | — | 87,0 | 13,0 |
| „ | 7 | — | 89,5 | 10,5 |
| „ | 9 | — | 88,3 | 11,7 |

Die Grenze entspricht einer Mischung von etwa 88,9% CO_2 und 11,1% CO .

2. $CO_2 + C = 2CO$. Die bei Gegenwart von Holzkohle ausgeführten Untersuchungen ergaben:

| | h | m | % CO_2 | % CO_2 |
|------|----|---|----------|----------|
| nach | 1 | — | 94,8 | 5,7 |
| „ | 7 | — | 93,6 | 6,4 |
| „ | 10 | — | 89,7 | 10,3 |

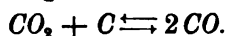
Boudouard hat nun die Ergebnisse seiner Versuche dazu benutzt, um mit Anwendung der allgemeinen Gleichgewichts-
gleichung:

$$500 \int L \frac{dT}{T^2} + (N'' - N') l \cdot P + l \cdot \frac{c_1^{n_1} \cdot c_1'^{n_1'}}{c^n \cdot c'^{n'}} \dots = \text{Konst.}^1)$$

die Gleichgewichts-Konstante zu berechnen.

1) Siehe S. 9.

Die Reaktionsgleichung ist:



Bezeichnen wir die Zahl der Moleküle von CO_2 , C und CO mit beziehungsweise $n, n' \quad ,, \quad n_1$,
ihre Konzentration aber mit $c, c' \quad ,, \quad c_1$,
so haben wir

$$n = 1; n' = 0; n_1 = 2,$$

und somit

$$N'' - N'' = 1.$$

Nimmt man mit Boudouard an, dass L nicht mit der Temperatur veränderlich und $= -42$ Kolorien sei, und setzt man $P = 1$ Atm., so kommt man zu der Gleichgewichtsgleichung:

$$-\frac{21000}{T} + l_0 \frac{c_1^2}{c} = \text{konst.}$$

Setzt man die von Boudouard für das Gleichgewicht bei verschiedenen Temperaturen ermittelten Werte ein, so erhält man folgende Werte der Konstanten:

für 650° : $l = 923$; $c = 0,61$; $c_1 = 0,39$; Konst. $= 21,4$
 800° : „ $= 1073$; „ $= 0,07$; „ $= 0,93$; „ $= 22,2$
 925° : „ $= 1198$; „ $= 0,04$; „ $= 0,96$; „ $= 20,6$

Mittelwert der Konstanten $= 21,4$.

Mit Hilfe dieser Konstanten berechnet Boudouard die Mengen von Kohlensäure und Kohlenoxyd, welche in einem bei Einwirkung von Kohlensäure auf Kohlenstoff bei verschiedenen Temperaturen entstehenden Gasgemenge enthalten sein können:

| Temperatur ° C. | berechnet | | gefunden | |
|--------------------|-----------|-------|----------|-------|
| | CO_2 | CO | CO_2 | CO |
| 450 | 0,98 | 0,02 | — | — |
| 500 | 0,95 | 0,05 | — | — |
| 550 | 0,89 | 0,11 | 0,893 | 0,107 |
| 600 | 0,77 | 0,23 | — | — |
| 650 | 0,61 | 0,39 | 0,61 | 0,39 |
| 700 | 0,42 | 0,58 | — | — |
| 750 | 0,24 | 0,76 | — | — |
| 800 | 0,10 | 0,90 | 0,07 | 0,93 |
| 850 | 0,06 | 0,94 | — | — |
| 900 | 0,035 | 0,965 | — | — |
| 925 | 0,03 | 0,97 | 0,04 | 0,96 |
| 950 | 0,015 | 0,985 | — | — |
| 1000 | 0,007 | 0,993 | — | — |
| 1050 | 0,004 | 0,996 | — | — |

Andererseits hat Boudouard auch die Zusammensetzung jener Gase berechnet, welche durch die Einwirkung von Luft auf Kohle bei verschiedener Temperatur entstehen können. Er fand:

| Temperatur °C. | CO ₂ % | CO % | Temperatur °C. | CO ₂ % | CO % |
|-------------------|----------------------|---------|-------------------|----------------------|---------|
| 450 | > 0,194 | < 0,014 | 800 | 0,025 | 0,308 |
| 500 | 0,186 | 0,024 | 850 | 0,0074 | 0,321 |
| 550 | 0,169 | 0,054 | 900 | 0,0032 | 0,328 |
| 600 | 0,14 | 0,099 | 950 | 0,002 | 0,33 |
| 650 | 0,102 | 0,163 | 1000 | 0,0009 | 0,3318 |
| 700 | 0,065 | 0,228 | 1050 | 0,0004 | 0,3326 |
| 750 | 0,033 | 0,279 | — | — | — |

Bei den vorstehenden Studien hat Boudouard angenommen, dass die Reaktionswärme L von der Temperatur unabhängig sei. Dies ist jedoch in Wirklichkeit nicht der Fall. Hingegen lässt sich der Wert derselben berechnen, wenn für jede beliebige Temperatur die mittlere spezifische Wärme aller an der Reaktion beteiligten Körper bekannt ist.

An dem hier betrachteten Gleichgewichtssystem sind beteiligt Kohlensäure, Kohlenoxyd und Kohlenstoff.

Die mittlere spezifische Wärme des festen Kohlenstoffs für verschiedene Temperaturintervalle ist zwar nicht genau bekannt, doch kann man dieselbe für die verschiedenen Formen des Kohlenstoffs zwischen 19° C. und 1040° auf etwa 0,34 schätzen, und erhält dann als molekulare spezifische Wärme des Kohlenstoffs, d. i. für die spezifische Wärme von 12 g festem Kohlenstoff etwa 4 Kalorien.

Nach H. Le Chatelier¹⁾ ist die spezifische Wärme der Retortenkohle:

zwischen 0° und 250° C.: $c = 1,92 + 0,0077 t$,

zwischen 250° C. und 1000° C.: $c = 3,54 + 0,00246 t$.

Hieraus berechnet sich die molekulare spezifische Wärme des Kohlenstoffs zu:

| t °C. | C _c | t °C. | C _c | t °C. | C _c |
|-------|----------------|-------|----------------|-------|----------------|
| 0 | 1,92 | 500 | 4,770 | 900 | 5,754 |
| 15 | 2,036 | 550 | 4,893 | 925 | 5,815 |
| 100 | 2,690 | 600 | 5,016 | 1000 | 6,000 |
| 200 | 3,460 | 650 | 5,133 | 1100 | 6,246 |
| 300 | 4,278 | 700 | 5,262 | 1200 | 6,492 |
| 400 | 4,524 | 800 | 5,508 | | |

1) Zeitschr. phys. Chemie 12, S. 530.

Für Gase haben wir nach Mallard und H. Le Chatelier die mittlere spezifische Wärme für ein Grammolekül:

$$C_p^{T_0-T} = 6,5 + a (T_0 + T),$$

beziehungsweise:

$$C_v^{T_0-T} = 4,5 + a (T_0 + T),$$

worin für

permanente Gase (Wasserstoff, Sauerstoff, Stickstoff, Kohlenoxyd) $a = 0,0006$

Kohlensäure $a = 0,0037$

ist.

Aus diesen Werten und der bei mittlerer Temperatur bestimmten Reaktionswärme (15°) berechnet sich letztere für jede beliebige Temperatur nach der Gleichung:

$L_t = L_{15} + (\Sigma \text{ der spezifischen Wärmen im Endzustande,} \\ - \Sigma \text{ der spezifischen Wärmen im Anfangszustande}) \times (T - T_0)$
(worin $T_0 = 273 + 15$, und $T = 273 + t$; also $T - T_0 = t - 15$).

In dieser Weise erhält man für die Wärmetönung der Reaktion: $\text{CO}_2 + \text{C} \rightleftharpoons 2\text{CO}$ bei verschiedenen Temperaturen die folgenden Werte:

| Temperatur in °C. | Wärmetönung L_t bei konstantem | | Temperatur in °C | Wärmetönung L_t bei konstantem | |
|-------------------------|-------------------------------------|--------|------------------------|-------------------------------------|--------|
| | Druck | Volum | | Druck | Volum |
| 15 | 42,054 | 41,284 | 700 | 43,411 | 44,011 |
| 100 | 41,880 | 41,280 | 800 | 43,998 | 44,794 |
| 200 | 41,864 | 41,464 | 850 | — | — |
| 300 | 42,066 | 41,866 | 900 | 44,678 | 45,678 |
| 400 | 42,254 | 42,254 | 925 | 44,852 | — |
| 500 | 42,540 | 42,740 | 1000 | 45,460 | 46,660 |
| 550 | — | 43,023 | 1100 | 46,342 | 47,742 |
| 600 | 42,926 | 43,326 | 1200 | 47,322 | 48,922 |
| 650 | — | 43,659 | — | — | — |

Die so berechneten Wärmetönungen zeigen zwischen 15° und 250°C. eigentümliche Unregelmässigkeiten, welche wahrscheinlich auf nicht ganz richtige Werte der spezifischen Wärmen des Kohlenstoffs zurückzuführen sein dürften. Da die Le Chatelier'sche Gleichung für die spezifische Wärme des Kohlenstoffs nur bis 1000°C. giltig ist, können auch die für höhere Temperaturen berechneten Wärmetönungen nur für annähernd richtig gelten.

Die berechneten Werte liegen für die Temperaturintervalle, für welche die Boudouardschen Versuche gelten, bei folgenden Grenzen:

$$\begin{array}{ll} \text{bei } 400^{\circ} \text{ C.} & L_p = -42,254 \quad L_v = -42,254 \\ \text{„ } 1000^{\circ} \text{ C.} & L_p = -46,460 \quad L_v = -46,660 \end{array}$$

weichen also für höhere Temperaturen nicht unerheblich von dem von Boudouard angenommenen Werte ab.

Boudouard hat seine Versuche zwischen 445° und 650° in zugeschmolzenen Glasröhren ausgeführt, so dass für diese Versuche ein höherer, als der Atmosphärendruck in Rechnung zu setzen ist. Freilich wurden die Röhren bei 650° durch den Innendruck bereits ausgebaucht, so dass in diesem Falle auch nicht von konstantem Volum gesprochen werden kann.

Im folgenden wollen wir nun für die bis zu 650° C. ausgeführten Bestimmungen den Druck unter der Annahme konstanter Volumina berechnen. Zu diesem Zwecke muss die thatsächlich gefundene Zusammensetzung der Gase:

$$\begin{array}{lll} \text{bei } 445^{\circ} \text{ C.} & 100 \% \text{ CO}_2 & 0,00 \% \text{ CO} \\ \text{„ } 550^{\circ} \text{ „} & 90 \text{ „ „} & 10,00 \text{ „ „} \\ \text{„ } 650^{\circ} \text{ „} & 61 \text{ „ „} & 39,00 \text{ „ „} \end{array}$$

in Betracht gezogen werden. Ausserdem wollen wir annehmen, dass die Röhren bei 450° C. mit Kohlenoxyd unter Atmosphärendruck gefüllt und dann zugeschmolzen worden seien. Wir haben dann:

$$\begin{array}{ll} \text{bei } 445^{\circ} \text{ C.} & PV = RT = 718 R \\ \text{„ } 4^{\circ} \text{ „} & P_1 V = RT_1 \end{array}$$

und daher:

$$\frac{P}{P_1} = \frac{T}{T_1} = \frac{718}{T_1}$$

und erhalten somit:

$$\begin{array}{ll} \text{für } 445^{\circ} \text{ C.} & P_1 = P \\ \text{„ } 550^{\circ} \text{ „} & P_1 = \frac{823}{718} P = 1,146 P \\ \text{„ } 650^{\circ} \text{ „} & P_1 = \frac{923}{718} P = 1,285 P. \end{array}$$

Da nun bei der Umwandlung aus je 2 Volumen CO nur 1 Volum CO_2 entsteht, sind die thatsächlichen Drucke in der Röhre:

$$\begin{array}{ll} \text{bei } 445^{\circ} \text{ C.} & P = \frac{1}{2} \text{ Atm.} \\ \text{„ } 550^{\circ} \text{ „} & P = 1,146 \cdot \frac{100}{198} = 0,603 \text{ Atm.} \\ \text{„ } 650^{\circ} \text{ „} & P = 1,285 \cdot \frac{100}{161} = 0,798 \text{ Atm.} \end{array}$$

Bei 650° C. wurde der Versuch auch in der Weise ausgeführt, dass in die Röhre bei 650° C. unter Atmosphärendruck Kohlensäure eingefüllt wurde. Hierbei entstanden aus je 1 Vol. CO_2 2 Vol. CO . Somit beträgt der Druck in diesem Falle:

$$P = \frac{100}{80,5} = 1,242 \text{ Atm.}$$

Für die übrigen Temperaturen und Drucke erhalten wir dann:

Bei 550° C. und 0,6 Atm. Druck:

$$-10,90 + 210,10 = -4,998.$$

Bei 650° C. und 0,8 Atm. Druck:

$$-10,60 + 210,40 = -1,3217.$$

Bei 650° C. und 1,25 Atm. Druck:

$$-10,617 + 210,385 = -1,4263$$

Bei 800° C. und 1 Atm. Druck:

$$-10,07 + 210,93 = +2,5141.$$

Bei 800° C. und 0,2 Atm. Druck:

$$-10,06 + 210,94 = +2,6896.$$

Bei 925° C. und 1 Atm. Druck:

$$-10,04 + 210,96 = +3,1371.$$

Wir haben schliesslich nur nach dem Ausdruck Σnlc aus den Beobachtungen Boudouards zu berechnen, und finden:

| Temperatur in °C. | Druck in Atm. | Gaszusammensetzung | | Σnlc |
|----------------------|------------------|--------------------|-------|--------------|
| | | CO_2 | CO | |
| 445 | 0,5 | 1,00 | — | — ∞ |
| 550 | 0,6 | 0,90 | 0,10 | —4,998 |
| 650 | 0,8 | 0,60 | 0,40 | —1,3217 |
| " | 1,25 | 0,615 | 0,385 | —1,4263 |
| 800 | 1,0 | 0,07 | 0,93 | +2,5141 |
| " | 0,2 | 0,06 | 0,94 | +2,6896 |
| 925 | 1,0 | 0,04 | 0,96 | +3,1371 |

Hiervon ist der erste Wert ($-\infty$) auszuschalten, weil die Reaktion bei 445° unmöglich vollständig verlaufen kann.

Setzen wir nun die speziellen Werte in die allgemeine Gleichung

$$500 \int L \frac{dT}{T^2} + (N'' - N') lP + l \frac{c_1^2}{c} = lK$$

ein, so erhalten wir:

α) Bei 550° C. und 0,6 Atm. Druck:

$$\frac{500 \times (-43,023)}{823} + l\,0,6 - 4,998 = lK$$

$$+ 26,144 - 0,511 + 4,998 = + 20,635$$

$$lK = + 20,635;$$

β) Bei 650° C. und 0,8 Atm. Druck:

$$\frac{500 \times (-43,659)}{923} + l\,0,8 - 1,3217 = lK$$

$$+ 23,651 - 0,223 - 1,322 = + 22,106$$

$$lK = + 22,106;$$

γ) Bei 650° C. und 1,25 Atm. Druck:

$$\frac{500 \times (-43,659)}{923} + l\,1,25 - 1,4263 = lK$$

$$+ 23,651 + 0,223 - 1,4263 = + 22,448$$

$$lK = + 22,448;$$

δ) Bei 800° C. und 1 Atm. Druck:

$$\frac{500 \times (-43,998)}{1073} + 2,5141 = lK$$

$$+ 20,503 + 2,5141 = + 23,017$$

$$lK = + 23,017;$$

ε) Bei 925° C. und 1 Atm. Druck:

$$\frac{500 \times (-44,852)}{1198} + 3,1371 = lK$$

$$+ 18,720 + 3,1371 = + 21,857$$

$$lK = + 21,857.$$

Die unsicherste von diesen Bestimmungen ist die mit γ bezeichnete, da bei dieser die Glasröhre aufgebläht wurde; der zu 1,25 Atm. berechnete Druck also jedenfalls zu hoch angesetzt ist. Rechnen wir für diesen Fall die Konstante unter der Annahme, dass der Prozess bei 1 Atm. Druck (also bei konstantem Drucke) durchgeführt worden sei,¹⁾ so haben wir:

ξ) Bei 650° C. und 1 Atm. Druck (bei konstantem Druck)

$$lK = 23,387 - 1,426 = + 21,9607.$$

Bei der Unsicherheit, welche dieser Beobachtungsreihe anhaftet, wollen wir dieselbe übrigens weiterhin unbeachtet lassen.

1) Dass also die Glasröhre bis zum Eintritt des Atmosphärendruckes aufgetrieben worden sei.

η) Boudouard hat noch eine Gleichgewichtsbestimmung bei 800° C. und einem Partialdrucke des Kohlenoxydes von 0,2 Atm. ausgeführt und hierbei nach neunstündigem Erhitzen erhalten:

$$\begin{aligned} CO_2 &= 6\% \\ CO &= 94\% \end{aligned}$$

Unter der Annahme, dass dieser Wert vom Gleichgewichte nicht mehr allzuweit entfernt sei, erhält man:

$$\frac{500(-43,998)}{1073} + 10,2 + 2,690 = +21,584$$

$$lK = +21,584.$$

Stellen wir die eben berechneten Werte der Konstanten mit den von Boudouard angegebenen zusammen, so haben wir:

| <i>t</i> | <i>P</i> | Gleichgewichtskonstante nach | |
|------------------------|----------|------------------------------|---------|
| | | Boudouard | Jüptner |
| 550° | 0,6 Atm. | 21,0 | 20,635 |
| 650° | 0,8 „ | 21,4 | 22,106 |
| „ | 1,25 „ | — | 22,448 |
| „ | 1,0 „ | — | 21,961 |
| 800° | 0,2 „ | 20,81 | 21,584 |
| „ | 1,0 „ | 22,22 | 23,017 |
| 925° | 1,0 „ | 20,6 | 21,857 |
| Mittel | | 21,21 | 21,944 |
| Maximale Abweichung. { | | — 0,61 | — 1,309 |
| | | + 1,01 | + 1,073 |

Schaltet man die Bestimmungen bei 550° C. (bei welcher Temperatur die Versuchsdaten stark variieren) ganz aus, so hat man:

$$\text{Mittelwert (Boudouard)} = 21,23$$

$$\text{„ (Jüptner)} = 22,162$$

und die Maximalabweichungen

$$\text{bei Boudouard . . . } - 0,63 \text{ und } + 0,99 (1,62)$$

$$\text{„ Jüptner } - 0,578 \text{ „ } + 0,855 (1,433).$$

Wie man sieht, ergeben die vorliegenden Neuberechnungen besser übereinstimmende Werte der Konstanten, als jene von Boudouard. — H. Le Chatelier giebt die Konstante (unter Annahme von $L = -42$ Kal.) zu $-22,09$ an.

Mit diesen neuen Konstanten (22,162) berechnet sich die Menge an Kohlenoxyd und Kohlensäure, welche in einem durch Ein-

wirkung von Kohlensäure auf Kohlenstoff bei verschiedenen Temperaturen und 1 Atm. Druck entstehenden Gasmenge enthalten sein können, wie folgt (die von Boudouard berechneten und direkt ermittelten Werte sind beigesetzt):

| Temperatur in ° C. | Neu berechnet für $tK = 22,162$ | | Nach Boudouards Berechnung $tK = 21,21$ | | Von Boudouard direkt ermittelt | |
|--------------------------|---------------------------------------|-----------------|---|-----------------|-----------------------------------|---------------------|
| | CO | CO ₂ | CO | CO ₂ | CO | CO ₂ |
| 400 | 0,0098 | 0,9902 | — | — | — | — |
| 500 | 0,066 | 0,934 | 0,05 | 0,95 | — | — |
| 550 | 0,139 | 0,861 | 0,11 | 0,89 | 0,107 ¹⁾ | 0,893 ¹⁾ |
| 600 | 0,260 | 0,740 | 0,23 | 0,77 | — | — |
| 650 | 0,416 | 0,584 | 0,39 | 0,61 | 0,39 ²⁾ | 0,61 ²⁾ |
| 700 | 0,612 | 0,388 | 0,58 | 0,42 | — | — |
| 800 | 0,859 | 0,141 | 0,90 | 0,10 | 0,93 | 0,07 |
| 900 | 0,951 | 0,049 | 0,965 | 0,035 | — | — |
| 925 | 0,969 | 0,031 | 0,97 | 0,03 | 0,96 ³⁾ | 0,04 ³⁾ |
| 1000 | 0,986 | 0,014 | 0,993 | 0,007 | — | — |
| 1100 | 0,995 | 0,005 | — | — | — | — |
| 1200 | 0,998 | 0,002 | — | — | — | — |

VIERTES KAPITEL

Gleichgewicht bei den Reduktionsprozessen (Kohlensäure; Kohlenoxyd und Sauerstoff).

Aus den im vorigen Kapitel besprochenen Untersuchungen ergibt sich, dass bei niederen Temperaturen Kohlensäure stabiler ist, als Kohlenoxyd, oder mit anderen Worten, dass Kohlenoxyd in um so stärkerem Masse in Kohlensäure und Kohlenstoff zerfällt, je niedriger die Temperatur ist.

Um Missverständnissen vorzubeugen, wollen wir darauf hinweisen, dass sich dieser Satz auf das erreichte Gleichgewicht bezieht, dass aber damit keineswegs gesagt sein soll, dass dieses Gleichgewicht auch um so rascher erreicht werden kann, je niedriger

1) 0,6 Atm. Druck.

2) Mittel für 0,8 und 1,25 Atm. Druck.

3) 1 Atm. Druck.

die Temperatur ist. Ganz im Gegenteile nimmt die Reaktionsgeschwindigkeit allgemein mit der Temperatur rasch ab; das Gleichgewicht wird also um so langsamer erreicht werden, je niedriger die Temperatur ist, und unterhalb einer gewissen Temperatur wird dies so langsam erfolgen, dass Kohlenoxyd praktisch als vollkommen stabil gelten kann.

Andererseits sehen wir, dass Kohlensäure in Berührung mit Kohlenstoff um so mehr Kohlenoxyd bildet, je höher die Temperatur steigt, dass also bei höheren Temperaturen Kohlenoxyd stabiler sein muss, als Kohlensäure. Dieses Verhalten lässt von vornherein vermuten, dass die Kohlensäure bei steigender Temperatur immer mehr und mehr in Kohlenoxyd und Sauerstoff zerfallen werde. Dies ist auch, wie Henry Sainte Claire-Deville gezeigt hat, thatsächlich der Fall.

Er zeigte, dass der Dissociationskoeffizient der Kohlensäure¹⁾ unter Atmosphärendruck bei 1300° C. etwa 0,002, und bei der Verbrennungstemperatur des Kohlenoxydknallgases etwa 0,4 betrage.²⁾ Später hat Krafts durch die Bestimmung des Ausdehnungskoeffizienten der Kohlensäure den Wert ihres Dissociationskoeffizienten bei 1500° C. zu 0,01 gefunden.

Endlich haben Mallard und Le Chatelier gelegentlich ihrer Forschungen über die Verbrennung explosibler Gasgemenge durch Untersuchung der Erkaltungsgeschwindigkeit ermittelt, dass die Dissociation der Kohlensäure erst oberhalb 2000° C. anfängt bemerklich zu werden. Sie schätzen den Dissociationskoeffizienten bei dieser Temperatur und 6 Atm. Druck auf kleiner als 0,05, und bei der Verbrennungstemperatur des Knallgases in geschlossenen Gefässen (3300° C.) auf 0,34 bis 0,39.³⁾

1) D. i. das Verhältnis der dissociierten Kohlensäure — also des gebildeten Kohlenoxydes — zu der ursprünglich vorhandenen Kohlensäuremenge (also nach Eintritt des Gleichgewichtes, zur Summe von CO_2 und CO).

2) Diese Temperatur liegt nach den Untersuchungen von Mallard und Le Chatelier bei 3000° C.

3) Erstere Zahl ergibt sich bei Anwendung des Ausdruckes

$$C_p = 6,8 + 0,0072 T$$

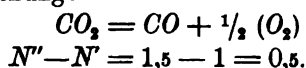
für die wahre spezifische Wärme, während letztere aus der Anwendung der älteren exponentiellen Gleichung von Mallard und Le Chatelier folgt. Beide Gleichungen sind aus Beobachtungen bis 2000° C. abgeleitet und stimmen auch bis zu dieser Temperatur gut überein, gehen aber bei höheren Temperaturen bedeutend auseinander.

Wir haben somit für die Dissociation der Kohlensäure folgende experimentellen Angaben:

| Temp. ° C. | Druck, Atm. | Dissociations- koeffizient | Autor |
|------------|-------------|-------------------------------|--------------------------|
| 1300 | 1 | 0,002 | Sainte Claire-Deville |
| 1500 | 1 | 0,01 | Krafts |
| 2000 | 6 | < 0,05 | Mallard und Le Chatelier |
| 3000 | 1 | 0,4 | Sainte Claire-Deville |
| 3300 | 10 | 0,34 bis 0,39 | Mallard und Le Chatelier |

Zur Berechnung der Gleichgewichtskonstanten benutzt H. Le Chatelier folgende Angaben: ¹⁾

Reaktionsgleichung:



| Bestandteil | Konzentration | Partialdruck |
|-------------|---------------|--------------|
| CO | c_{co} | p_{co} |
| O_2 | c_{o_2} | p_{o_2} |
| CO_2 | c_{co_2} | p_{co_2} |

Dissociationskoeffizient:

$$x = \frac{c_{co}}{c_{co} + c_{co_2}}.$$

Gleichgewichtsgleichung:

$$500 \int \frac{L dT}{T^2} + (N'' - N') lP + \sum n l c = \text{Konst.}$$

oder, wenn man bedenkt, dass

$$\frac{dp}{p} = \frac{dP}{P} + \frac{dc}{c},$$

also

$$lp = lP + lc$$

ist, auch:

$$500 \int L \frac{dT}{T^2} + l \frac{p'' \cdot p'^{n'} \cdot \dots}{p_1^{n_1} \cdot p_1'^{n'_1} \cdot \dots} = \text{Konst.}$$

Zur Berechnung der Konstanten benutzt er die Angaben von Deville, wonach für $t = 3000^\circ \text{C.}$:

$$T = 3273^\circ$$

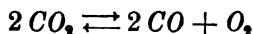
$$P = 1 \text{ Atm.}$$

$$x = 0,4$$

ist.

1) Zeitschrift für phys. Chemie, 2.

Der Berechnung des dritten Gliedes obiger Gleichung legt H. Le Chatelier die Reaktionsgleichung:



zu Grunde. Hieraus ergibt sich für das dritte Glied der Ausdruck

$$\Sigma n l C = 2 l C_{\text{co}} + l C_{\text{o}_2} - 2 l C_{\text{co}_2}.$$

Nun können wir die Konzentrationen durch den Dissociationskoeffizienten x ausdrücken. Es ist nämlich im vorliegenden Falle

$$x = \frac{C_{\text{co}}}{C_{\text{co}} + C_{\text{co}_2}} = 0,4,$$

$$C_{\text{co}} + C_{\text{o}_2} + C_{\text{co}_2} = 1$$

und

$$C_{\text{co}} = 2 C_{\text{o}_2}.$$

Hieraus ergibt sich:

$$C_{\text{co}} = \frac{2x}{2+x},$$

$$C_{\text{o}_2} = \frac{1}{2} C_{\text{co}} = \frac{x}{2+x}$$

und

$$C_{\text{co}_2} = \frac{2(1-x)}{2+x}.$$

Somit haben wir:

$$\Sigma n l C = l \frac{(C_{\text{co}})^2 \cdot C_{\text{o}_2}}{(C_{\text{co}_2})^2} = \frac{x^3}{(2+x)(1-x)^2}.$$

Da H. Le Chatelier (um Wurzelexponenten zu vermeiden) die Zerlegung von 2 Molen CO_2 in Betracht gezogen hat, müssen wir auch die übrigen Glieder der Gleichgewichtsgleichung auf 2 Mole CO_2 beziehen, und dieselbe daher schreiben:

$$500 \int 2 L_T \frac{dT}{T^2} + 2 (N'' - N') l P + l \frac{x^3}{(2+x)(1-x)^2} = l K,$$

oder, weil $N'' - N' = \frac{1}{2}$ ist,

$$500 \int 2 L_T \frac{dT}{T^2} + l P + l \frac{x^3}{(2+x)(1-x)^2} = l K.$$

Es bleibt uns mithin nur mehr der Wert von L_T zu berechnen. Die molekulare Bildungswärme der Kohlensäure aus Kohlenoxyd und Sauerstoff beträgt bei gewöhnlicher Temperatur 68 Kalorien,¹⁾ und wird mit steigender Temperatur erheblich

1) Sie ist hier negativ einzusetzen, weil (nach S. 6) L die Reaktionswärme beim Übergang des Systems aus dem Anfangs- in den Endzustand darstellt, wenn sich die Reaktion unter konstantem Drucke vollzieht.

kleiner. Die Abnahme derselben lässt sich als Funktion der spezifischen Wärme ausdrücken, so dass man erhält:

$$L_T = L_o + \Sigma_e (T - T_o).$$

Le Chatelier nimmt nun die spezifischen Wärmen der beiden vollkommenen Gase konstant an, und kommt zu dem Ausdrucke:

$$L_T = 68 + [3,4 - 0,0036 T] (T - T_o).$$

Er kommt so für L_T zu folgenden Werten:

| | | |
|------------------|------------------|---------------------------|
| $t = 15^\circ$ | $T = 288^\circ$ | $L_T = 68,0 \text{ Kal.}$ |
| " = 1000° | " = 1273° | " = $66,8$ " |
| " = 1500° | " = 1773° | " = $63,6$ " |
| " = 2000° | " = 2273° | " = $58,4$ " |
| " = 2500° | " = 2773° | " = $52,0$ " |
| " = 3000° | " = 3273° | " = $43,0$ " |
| " = 3500° | " = 3773° | " = $33,0$ " |

Hieraus berechnet sich die Gleichgewichtskonstante, wenn wir die Gleichgewichtsgleichung integrieren:

$$2lK = -\frac{500 \times 2L}{T} + lP + l \frac{x^3}{(2+x)(1-x)^2}$$

und für

$$T = 3273$$

$$L = -43$$

$$P = 1 \text{ Atm., und}$$

$$l \frac{x^3}{(2+x)(1-x)^2} = -2,6$$

setzen, die Konstante zu

$$2lK = 13,1 - 2,6 = 10,5$$

für die Reaktion: $2CO_2 \rightleftharpoons 2CO + O_2$ oder zu

$$lK = 5,25$$

für die Reaktion: $CO_2 \rightleftharpoons CO + \frac{1}{2}(O_2).$

Mit Hilfe dieser Konstanten berechnet nun Le Chatelier die Dissociationskoeffizienten x der Kohlensäure für verschiedene Temperaturen und Drucke, und erhält hierbei folgende Werte:

| Temperatur in ° C. | Druck in Atmosphären | | | | | |
|--------------------------|----------------------|-------|--------|--------|--------|---------|
| | 0,001 | 0,01 | 0,1 | 1 | 10 | 100 |
| 1000 | 0,007 | 0,003 | 0,0013 | 0,0006 | 0,0003 | 0,00015 |
| 1500 | 0,07 | 0,035 | 0,017 | 0,008 | 0,004 | 0,002 |
| 2000 | 0,40 | 0,125 | 0,08 | 0,04 | 0,03 | 0,035 |
| 2500 | 0,81 | 0,60 | 0,40 | 0,19 | 0,09 | 0,04 |
| 3000 | 0,94 | 0,80 | 0,60 | 0,40 | 0,21 | 0,10 |
| 3500 | 0,96 | 0,85 | 0,70 | 0,53 | 0,32 | 0,15 |
| 4000 | 0,97 | 0,90 | 0,80 | 0,63 | 0,45 | 0,25 |

Wie weit diese Zahlen mit den früher erwähnten Experimentaldaten übereinstimmen, zeigt folgende Tabelle:

| Temperatur in ° C. | Druck in Atm. | Dissociationskoeffizient | |
|--------------------------|------------------|--------------------------|---------------|
| | | berechnet | beobachtet |
| 1300 | 1 | 0,003 | 0,002 |
| 1500 | 1 | 0,008 | 0,01 |
| 2000 | 6 | 0,035 | < 0,05 |
| 3000 | 1 | 0,40 | 0,4 |
| 3300 | 10 | 0,27 | 0,34 bis 0,39 |

Le Chatelier erwähnt noch, dass in dem Gliede $500 \int L_T \frac{dT}{T^2}$ mit steigender Temperatur L_T immer kleiner, T^2 aber immer grösser wird. Er schliesst hieraus, dass für $L_T = 0$ die Dissociation ein Maximum erreicht, das nicht weiter überschritten werden kann, und das um so kleiner ausfällt, je höher der Druck steigt, unter welchem man arbeitet. Dies wäre jedoch nur dann richtig, wenn die Bildungswärme der Kohlensäure nicht auch negative Werte annehmen könnte. Dann wird $500 \int L_T \frac{dT}{T^2}$ negativ, $l \frac{x^3}{(2x+1)(1-x)^2}$ aber positiv, und der Wert der Dissociationskoeffizienten steigt noch weiter.

J. E. Trevor und F. J. Kortright¹⁾ verfahren bei Berechnung der Dissociationskoeffizienten der Kohlensäure folgender-

1) American Chemical Journal XVI, (1894) p. 611.

massen: Eliminieren wir in der Gleichung (3) auf S. 8 die äussere Arbeit, d. h. arbeiten wir bei konstantem Volum, so wird

$$-\frac{1}{AR} \int L \frac{dT}{T^2} = \Sigma n l c,$$

oder, wenn man differenziert:

$$d[\Sigma n l C] = -\frac{L dT}{AR T^2} \quad . \quad . \quad . \quad . \quad . \quad (1)$$

Um nun die Gleichgewichtsverschiebung für ein bestimmtes Temperaturintervall zu finden, müssen wir obige Gleichung zwischen Temperaturgrenzen integrieren. Das ist aber nicht so einfach, weil L von der spezifischen Wärme der reagierenden Substanzen abhängt, die Gesetze dieser Abhängigkeit aber nicht bekannt sind. Man kann hier wie folgt verfahren:

Die bei der absoluten Temperatur T absorbierte Reaktionswärme L_T , welche die Energiedifferenz des reagierenden Systems darstellt, ist offenbar gleich der, bei einer beliebig gewählten Normaltemperatur T_o auftretenden Wärme L_o , für jeden Grad Temperaturdifferenz vermehrt um den Überschuss der gesamten Molekülwärme des Systems II (Endsystem) über das System I (Anfangssystem):

$$L_T = L_o + \left(\frac{dQ_{II}}{dT} - \frac{dQ_I}{dT} \right) (T - T_o) \quad . \quad . \quad . \quad (2)$$

oder, wenn man für $\frac{dQ}{dT}$ die spezifische Wärme c einsetzt,

$$L_T = L_o + (c_{II} - c_I) (T - T_o) \quad . \quad . \quad . \quad . \quad (2a)$$

Setzt man diesen Ausdruck in Gleichung (1), so erhält man:

$$d[\Sigma n l C] = \frac{L_o}{AR} \cdot \frac{dT}{T^2} + \frac{c_{II} - c_I}{AR} \cdot \frac{(T - T_o) dT}{T^2} \quad . \quad . \quad (3)$$

oder, wenn man $c_{II} - c_I = \Delta c$ setzt,

$$\int_{\Sigma n l C_I}^{\Sigma n l C_{II}} d[\Sigma n l C] = \frac{L_o - T_o \cdot \Delta c}{AR} \int_{T_1}^{T_2} \frac{dT}{T^2} + \frac{\Delta c}{AR} \int_{T_1}^{T_2} \frac{dT}{T} \quad . \quad . \quad (4)$$

wobei die beiden Forscher die Annahme machen, dass die Differenz Δc der spezifischen Wärmen innerhalb weiter Temperaturgrenzen konstant sei. Die Integration giebt nun:

$$\frac{\Sigma n l C_{II}}{\Sigma n l C_I} = \frac{L_o - T_o \Delta c}{AR} \left(\frac{1}{T_1} - \frac{1}{T_2} \right) + \frac{\Delta c}{AR} l \cdot \frac{T_2}{T_1} \quad . \quad . \quad (5)$$

Für die Dissociation der Kohlensäure müssen wir zunächst die Reaktionswärme — d. i. die Dissociationswärme von CO_2 — als Temperaturfunktion ausdrücken. Die Dissociationswärme von 1 Molekül CO_2 (d. i. der negative Wert der Verbrennungswärme von CO ist nach den besten Bestimmungen (Berthelot, Ann. chim. phys. (5), 13, 11, 1878) bei konstantem Druck und $18^\circ \text{C.} = -68170 \text{ cal.}$, oder bei konstantem Volum und für 2 Mole CO_2 ¹⁾

$$\begin{aligned} L_{291} &= -2 \left(68170 - \frac{AR}{2} T \right) \\ &= -2 (68170 - 291). \end{aligned}$$

Wir haben somit für die absolute Temperatur T

$$L_T = -2 (68170 - 291) + \Delta c (T - 291) . . . (6)$$

worin Δc die Differenz der totalen Molekularwärme des Systemes im End- und Anfangszustande darstellt:

$$\Delta c = 2 c_{\text{co}} + c_{\text{o}_2} - 2 c_{\text{co}_2}$$

Nehmen wir die spezifischen Wärmen der permanenten Gase als unabhängig von der Temperatur an ²⁾ und setzen wir für die Kohlensäure den Le Chatelierschen Ausdruck ein, so haben wir:

$$\Delta c = 2 \times 6,79 + 6,96 - 2 (6,8 + 0,0072 T)$$

bei konstantem Druck, oder wenn wir die bekannten Verhältniszahlen

$k = \frac{c_p}{c_o}$ benutzen:

$$\Delta c = \frac{2 \times 6,79}{1,4} + \frac{6,96}{1,41} - \frac{2 (6,8 + 0,0072 T)}{1,3}$$

bei konstantem Volum.

Das giebt:

$$\Delta c = 4,17 - 0,011077 T (7)$$

Substituiert man diesen Wert in (6), so erhält man:

$$L_T = -133963 + 7,393407 T - 0,011077 T^2 . . . (8)$$

1) Da bei der vollständigen Dissociation aus 2 Molen CO_2 3 Mole CO und O_2 gebildet werden.

2) Wiedemann fand für CO :

zwischen 23° und 99°C. : $0,2425 \text{ Kal.}$ bei konstantem Druck,

„ 26° „ 198° „: $0,2426$ „ „ „ „

Régnauld fand für O_2 :

zwischen 13° und 207°C. : $0,2175 \text{ Kal.}$ bei konstantem Druck.

Nun können wir den vollständigen Ausdruck schreiben:

$$\begin{aligned} \log. \frac{n \Sigma C_{II}}{n \Sigma C_I} &= \frac{1}{AR} \int_{T_1}^{T_2} \frac{L_T}{T^2} \cdot dT \\ &= \frac{1}{4,6} \int_{T_1}^{T_2} \left(\frac{133963}{T^2} + \frac{7,393407}{T} - 0,011077 \right) dT \\ &= 29122,3 \left(\frac{1}{T_1} - \frac{1}{T_2} \right) + 3,698703 \log. \frac{T_2}{T_1} \\ &\quad + 0,002408 (T_1 - T_2)^2 \dots \dots \dots (9) \end{aligned}$$

Aus dieser Gleichung berechnen sich die Werte von $\log. n \Sigma C$ für jede beliebige Temperatur, aus einem einzigen für eine bestimmte beliebige Temperatur gültigen Werte. Trevor und Kortright legen dieser Berechnung dieselben Daten zu Grunde, wie Le Chatelier, und erhalten für L_t

| | | |
|-------------------------|---------------------------|-------------------------------|
| $t = 0^\circ \text{C.}$ | $T = 273^\circ \text{C.}$ | $L_t = 67578 \text{ Kal.}^1)$ |
| " = 18° " | " = 291° " | " = 67588 " |
| " = 500° " | " = 773° " | " = 66508 " |
| " = 1000° " | " = 1273° " | " = 62662 " |
| " = 1500° " | " = 1773° " | " = 56125 " |
| " = 2000° " | " = 2273° " | " = 46767 " |
| " = 2500° " | " = 2773° " | " = 34640 " |
| " = 3000° " | " = 3273° " | " = 19742 " |
| " = 3555° " | " = 3828° " | " = ± 0 " |
| " = 4000° " | " = 4273° " | " = -18343 " |

Ferner finden sie für den Dissociationskoeffizienten bei verschiedenen Temperaturen und Drucken:

| Temperatur ° C. | Druck in Atmosphären | | | | | |
|--------------------|----------------------|--------|---------|---------|---------|----------|
| | 0,001 | 0,01 | 0,1 | 1 | 10 | 100 |
| 1000 | 0,0011 | 0,0005 | 0,00024 | 0,00011 | 0,00005 | 0,000024 |
| 1500 | 0,095 | 0,046 | 0,022 | 0,01 | 0,005 | 0,002 |
| 2000 | 0,577 | 0,347 | 0,183 | 0,09 | 0,043 | 0,02 |
| 2500 | 0,870 | 0,698 | 0,460 | 0,257 | 0,130 | 0,063 |
| 3000 | 0,939 | 0,834 | 0,627 | 0,400 | 0,216 | 0,108 |
| 3500 | 0,954 | 0,870 | 0,697 | 0,461 | 0,257 | 0,130 |
| 3555 | 0,954 | 0,871 | 0,698 | 0,462 | 0,258 | 0,131 |
| 4000 | 0,951 | 0,864 | 0,686 | 0,450 | 0,249 | 0,126 |

1) $AR = 4,6$ gesetzt.

2) Hier sind bequemiheitshalber gemeine Logarithmen angewendet.

3) Dieser Wert ist kleiner als der folgende, also offenbar fehlerhaft.

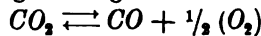
Trevor und Kortright berechnen also thatsächlich ein Dissociationsmaximum bei 3555° C.

Mit den Le Chatelierschen Zahlen stimmen die vorstehenden nur wenig überein, ein Vergleich mit den direkten Beobachtungen ergibt:

| Temperatur ° C. | Druck in Atmosph. | Dissociationskoeffizient | |
|--------------------|----------------------|--------------------------|---------------|
| | | berechnet | beobachtet |
| 1300 | 1 | 0,0024 | 0,002 |
| 1500 | 1 | 0,01 | 0,01 |
| 2000 | 6 | 0,05 | < 0,05 |
| 3000 | 1 | 0,40 | 0,40 |
| 3300 | 10 | zwisch. 0,257 u. 0,258 | 0,34 bis 0,39 |

Die mangelhafte Übereinstimmung zwischen diesen beiden Berechnungen untereinander, sowohl als mit den Beobachtungsdaten (namentlich für hohe Temperaturen) bieten Veranlassung, die Gleichgewichtskonstante nochmals zu berechnen, und dabei auch die Änderung der spezifischen Wärmen der permanenten Gase mit der Temperatur zu berücksichtigen.¹⁾

Für die Reaktionsgleichung



lautet die Gleichgewichtsgleichung:

$$500 \int L \frac{dT}{T^2} + \frac{1}{2} lP + l \cdot \frac{x^{2/2}}{(2+x)^{1/2} (1-x)} = lK.$$

Zur Berechnung von L_t diene die Gleichung:

$$L_t = L_{15} + [\Sigma C_{(\text{Endzustand})} - \Sigma C_{(\text{Anfangszustand})}] (T - T_o).$$

Für die mittleren spezifischen Wärmen der hier vorkommenden Gase wurden zunächst die von H. Le Chatelier²⁾ aufgestellten Gleichungen benutzt:

a) für Kohlensäure:

$$\frac{C}{T_o} = 6,5 + 0,0037 (T + T_o),$$

oder

$$\begin{aligned} \frac{C}{273} &= 6,5 + 0,0037 (546 + t) \\ &= 8,52 + 0,0037 t, \end{aligned}$$

1) Jüptner und Kaufmann.

2) Vorlesungen.

b) für permanente Gase:

$$C = 6,5 + 0,0006 (T + T_0),$$

oder

$$C = 6,5 + 0,0006 (546 + t) \\ = 6,83 + 0,0006 t.$$

Nach den Beobachtungen ist $L_{15} = -68,2$ Kal., somit erhalten wir

$$L_{8000} = -48,16 \text{ Kal.}$$

Setzen wir diesen Wert in die allgemeine Gleichung ein, so erhalten wir

$$lK = 7,3571 + 2,3025851 (-0,565167) = +6,0558$$

(also um etwa 0,8 grösser als Le Chatelier).

Hieraus berechnen sich die Werte von L_T sowie die Dissoziationskoeffizienten für verschiedene Temperaturen und Drucke wie folgt:

| Temp. ° C. | L_T in Kal. | Druck in Atmosphären | | | | | |
|---------------|---------------------|----------------------|-----------|----------|----------|----------|-----------|
| | | 0,001 | 0,01 | 0,1 | 1 | 10 | 100 |
| 1000 | -67,12 | 0,00002 | 0,0000075 | 0,000004 | 0,000002 | 0,000001 | 0,0000004 |
| 1500 | -64,48 | 0,004 | 0,002 | 0,0008 | 0,00044 | 0,00024 | 0,00008 |
| 2000 | -60,44 | 0,094 | 0,045 | 0,02 | 0,01 | 0,0048 | 0,0029 |
| 2500 | -55,00 | 0,575 | 0,355 | 0,19 | 0,092 | 0,044 | 0,02 |
| 3000 | -48,16 | 0,935 | 0,835 | 0,625 | 0,40 | 0,215 | 0,11 |
| 3500 | -39,92 | 0,981 | 0,974 | 0,92 | 0,805 | 0,575 | 0,36 |
| 4000 | -30,28 | 0,998 | 0,995 | 0,985 | 9,96 | 0,88 | 0,70 |

Also wieder ganz andere Zahlen, wie Le Chatelier oder Trevor und Kortright. Der Vergleich mit den Beobachtungen ergibt:

| Temperatur ° C. | Druck in Atmosph. | α | |
|--------------------|----------------------|-----------|---------------|
| | | berechnet | beobachtet |
| 1300 | 1 | 0,0001 | 0,002 |
| 1500 | 1 | 0,00044 | 0,01 |
| 2000 | 6 | 0,0056 | < 0,05 |
| 3000 | 1 | 0,40 | 0,40 |
| 3300 | 10 | 0,55 | 0,34 bis 0,39 |

Da sich auch mit den experimentellen Werten keine gute Übereinstimmung ergibt, wurden die Berechnungen nochmals wiederholt, und hierbei die von Berthelot und Vielle für das Temperaturintervall von 2000 bis 4000° C. ermittelten spezifischen Wärmen:

a) für Kohlensäure:

$$C = \frac{273+t}{273} 18,1 + 0,0015 t,$$

b) für permanente Gase:

$$C = \frac{273+t}{273} 3,5 + 0,0016 t.$$

benutzt.

Man erhielt so die folgenden Werte für den Dissociationskoeffizienten:

| Temperatur ° C. | Druck in Atmosphären | | | | | |
|--------------------|----------------------|-------|-------|-------|-------|-------|
| | 0,001 | 0,01 | 0,1 | 1 | 10 | 100 |
| 2000 | 0,32 | 0,285 | 0,075 | 0,043 | 0,016 | 0,007 |
| 2500 | 0,79 | 0,56 | 0,348 | 0,182 | 0,092 | 0,045 |
| 3000 | 0,95 | 0,865 | 0,670 | 0,400 | 0,255 | 0,125 |
| 3300 | — | 0,93 | 0,818 | 0,60 | 0,382 | 0,200 |
| 3500 | — | 0,96 | 0,870 | 0,695 | 0,46 | 0,255 |
| 4000 | — | — | 0,94 | 0,835 | 0,64 | 0,400 |

Diese Zahlen weichen von den vorher berechneten erheblich ab, stimmen aber dafür mit den Beobachtungen weit besser überein:

| Temperatur ° C. | Druck in Atm. | x | |
|--------------------|------------------|-----------|---------------|
| | | berechnet | beobachtet |
| 2000 | 6 | 0,0163 | < 0,05 |
| 3000 | 1 | 0,40 | 0,40 |
| 3300 | 10 | 0,382 | 0,34 bis 0,39 |

Die Ursache der Differenzen liegt in der Unsicherheit der spezifischen Wärmen, doch darf nicht vergessen werden, dass auch die experimentellen Beobachtungen (namentlich für die kleinen Werte der Dissociationskoeffizienten bei niedrigeren Temperaturen) nichts weniger als sicher sind.

Die Dissociation der Kohlensäure wurde hier ausführlich besprochen, um zu zeigen, dass die landläufigen Zahlen nichts weniger als verlässlich sind, dass also auf dieselben keine sicheren Schlüsse zu bauen sind.

FÜNFTES KAPITEL.

Verhalten des Eisens gegen Kohlenstoff.

Dass der Kohlenstoff sowohl von flüssigem als festem Eisen gelöst werden kann, wurde schon früher (Bd. I und II, mehrfach erwähnt; ebenso, dass derselbe in verschiedenen Formen im Eisen auftritt. — (Bd. I, S. 125 ff.).

Seither sind einige weitere Studien auf diesem Gebiete veröffentlicht worden, auf welche an dieser Stelle näher eingegangen werden muss.

Hugh P. Tiemann¹⁾ hat die Temperaturgrenzen untersucht, innerhalb welcher in reinem (d. i. an sonstigen Begleitstoffen möglichst armen) Roheisen Graphit oder Temperkohle abscheidet.²⁾

Ein Roheisen mit 4,5 % Gesamt-Kohlenstoff sollte nach Roozeboom's Annahme beim Erwärmen auf verschiedene Temperaturen an näheren Bestandteilen enthalten:

| | Über 1150° | Über 1130° | Unter 1130° | Über 1000° | Unter 1000° | Unter 690° |
|------------------|---------------|---------------|----------------|---------------|----------------|---------------|
| Fe | 95,5 | 95,5 | 95,5 | 95,5 | 95,5 | 95,5 |
| C (total) . . . | 4,5 | 4,5 | 4,5 | 4,5 | 4,5 | 4,5 |
| Graphit | — | 0,4 | 2,6 | 2,8 | — | — |
| Martensit . . . | — | — | 97,4 | 97,2 | 40,8 | — |
| Cementit | — | — | — | — | 58,2 | 65,8 |
| Perlit | — | — | — | — | — | 34,2 |

Die Berechnung erfolgte in nachstehender Weise.

Das gewählte Roheisen habe die Zusammensetzung:

Eisen 95,5 %

Kohlenstoff 4,5 „

Oberhalb 1130° wird der über 4,3 % enthaltene Kohlenstoff als Graphit abgeschieden:

$$\text{Graphit} = 4,5 - 4,3 \times 0,955 = 0,4 \text{ \%}.$$

1) „The Metallographist“, 1091, p. 313.

2) Die Studien von Backhuis-Roozeboom, auf welche sich diese Arbeit bezieht, sowie die einschlägigen Abhandlungen von Le Chatelier, Osmond, Stead und dem Verfasser sind im zweiten Teile dieses Werkes (S. 11—63) ausführlich behandelt worden.

Bei 1130° entsteht das eutektische Gemenge von Graphit und Martensit mit 2% Kohlenstoff, indem sich der überschüssige Kohlenstoff wieder als Graphit abscheidet:

$$= 4,1 - 2 \times 0,955 = 2,2\%$$

Der Gesamt-Graphitgehalt beträgt somit nur $2,2 + 0,4 = 2,6\%$ und der Martensitgehalt $= 100 - 2,6 = 97,4\%$.

Zwischen 1130° und 1000° sinkt der Kohlenstoffgehalt des Martensites von 2,0% auf 1,8%, während sich gleichzeitig als Graphit ausscheidet

$$= 1,9 - 0,955 \times 1,8 = 0,2\%,$$

so dass jetzt im ganzen an Graphit vorhanden sind:

$$0,2 + 2,2 + 0,4 = 2,8\%,$$

während der Martensitgehalt beträgt

$$= 100 - 2,8 = 97,2\%.$$

Unter 1000° verbindet sich der Martensit mit dem Graphit nach der Gleichung:

Martensit mit 1,8 % C + Graphit = Cementit (Fe_3C).

Da der Cementit 6,7% C enthält, wären zur Umwandlung des ganzen vorhandenen Eisens in Cementit $6,7 \times 0,955 = 6,4\%$ Kohlenstoff erforderlich. Da jedoch der Martensit schon 1,8% C enthält, verringert sich diese Menge auf $6,4 - 1,8 = 4,6\%$.

Stellt x die Cementitmenge dar, welche aus dem vorhandenen Graphit gebildet werden kann, so haben wir:

$$97,2 : x = 4,6 : 2,8,$$

oder

$$x = 59,2\%,$$

so dass noch an Martensit übrig bleibt:

$$= 100 - 59,2 = 40,8\%.$$

Unter 690° verwandelt sich der Martensit in Perlit und Cementit, da der Perlit nur 0,85% C enthält. Setzt man die Menge von

$$\text{Perlit} = x,$$

$$\text{Martensit} = y,$$

so haben wir:

$$x + y = 40,8$$

und

$$0,85x + 6,7y = 1,8 \times 40,8,$$

woraus folgt:

$$x = 34,2$$

$$y = 6,6.$$

Wir haben somit:

$$\text{Gesamt-Cementitgehalt} = 59,2 + 6,6 = 65,8 \%$$

$$\text{Perlit} = 34,2\%.$$

Um die Richtigkeit dieser Annahmen zu prüfen, hat Tiemann ein weiches schwedisches Eisen von folgender Zusammensetzung benutzt:

| | |
|----------------------------|---------|
| Phosphor | 0,031 % |
| Schwefel | 0,002 „ |
| Silicium | 0,000 „ |
| Mangan | 0,040 „ |
| Gebundener Kohlenstoff . . | 0,030 „ |

Dieses vollständig siliciumfreie Material wurde mit Zuckerkohle im Tiegel gekohlt. Das erhaltene Metall enthielt:

| | |
|----------------------------|---------|
| Gebundenen Kohlenstoff . . | 4,271 % |
| Graphit | 0,255 „ |
| Gesamt-Kohlenstoff . . . | 4,526 „ |
| Silicium | 0,030 „ |

(Das geschmolzene Metall war in Wasser von 15°C. gegossen worden.)

Dieses Metall wurde nun mittels des Howe'schen elektrischen Tiegelofens in einem Magnesiatiegel auf verschiedene Temperaturen erhitzt. Die Temperaturmessung erfolgte mit dem Le Chatelier-Pyrometer, das mit dem Metall in unmittelbare Berührung gebracht wurde. In allen Fällen (den letzten ausgenommen) wurde das erhitzte Metall in einer Kältemischung (—5°) ohne vorherige Kühlung gehärtet. Diese Härtung erfolgte entweder unmittelbar, nachdem das Metall die gewünschte Temperatur erreicht hatte, oder nachdem es längere Zeit auf dieser Temperatur erhalten worden war. Das Eisen war rings von *MgO* umgeben und das ganze mit einer dünnen Schicht Zuckerkohle bedeckt. Trotzdem fand eine oberflächliche Oxydation statt, doch wurde diese Oxydschicht vor der Analyse sorgfältig entfernt. Die Versuchsergebnisse sind in der folgenden Tabelle zusammengestellt.

| Temperatur °C. | Erhitzungsdauer | | Temperatur der Härtungs- flüssigkeit | Graphit % | Gesamt- Kohlenstoff % |
|-------------------|-----------------------------------|-----------------------------------|---|--------------|-----------------------------|
| | bis zur Maximal- Temperatur | bei der Maximal- Temperatur | | | |
| Original-Probe | | | 15 ° | 0,255 | 4,526 |
| 906 | 30 Min. | 0 | — 5 „ | 0,260 | nicht best. |
| 1006 | 10 „ | 0 | — 5 „ | 0,261 | „ „ |
| 1115 | 10 „ | 0 | — 5 „ | 0,263 | 4,254 |
| 996—1010 | 10 „ | 1 ^h | — 5 „ | 0,252 | nicht best. |
| 1056—1061 | 15 „ | 1 ^h | — 5 „ | 0,268 | „ „ |
| 1113—1116 | 30 „ | 1 ^h | — 5 „ | 0,262 | „ „ |
| 1053 | 10 „ | 0 | — 5 „ | 0,254 | „ „ |
| 998—1012 | 55 „ | 3 ^h | — 5 „ | 0,264 | 1,972 |

Aus vorstehendem ergibt sich, dass der Graphitgehalt ziemlich konstant bleibt. Während bei vorstehenden Versuchen die Proben erwärmt wurden, fand bei den folgenden vor der Härtung Abkühlung statt, wie es bei Roozeboom vorausgesetzt wird. Es ergab sich:

| | |
|---|----------|
| Maximaltemperatur | 1300° C. |
| Härtungstemperatur | 1040° „ |
| Erhitzungsdauer bis zum Temperatur- Maximum | 50 Min. |
| Erhitzungsdauer am Maximum | 0 „ |
| Abkühlungsdauer vom Maximum bis zur Härtungstemperatur | 8 „ |
| Temperatur der Härtingsflüssigkeit | 24° C. |
| Graphit ursprünglich | 0,255 % |
| „ nach dem Härten | 0,677 „ |

Dieses Ergebnis würde für die Roozeboom'sche Anschauung sprechen, während die ersten Versuche das Gegenteil andeuten. Möglicherweise übt das Silicium eine katalytische Wirkung aus, wofür ja zahlreiche Beispiele bei anderen Reaktionen sprechen. Leider wurde nur der Graphit, nicht aber auch der gebundene Kohlenstoff bestimmt, was wichtig gewesen wäre, weil ja bei dem Gleichgewicht zwischen den beiden Phasen Eisen und Graphit der Kohlenstoffgehalt des ersteren, nicht aber die Menge des letzteren massgebend ist. Übrigens zeigen die einzelnen Bestimmungen, dass der Gesamtkohlenstoff — also offenbar auch der gebundene Kohlenstoff eine Verminderung erlitten hat.

Welchen Einfluss ein Siliciumgehalt auf diese Verhältnisse ausübt, zeigen die Versuche mit einem Eisen von folgender Zusammensetzung:

| | |
|----------------------------------|-------|
| Gebundener Kohlenstoff | 3,438 |
| Graphit | 0,938 |
| Gesamt-Kohlenstoff | 4,367 |
| Silicium | 0,75 |

Die übrigen Verunreinigungen waren dieselben wie im vorigen Falle. Dieses Material ergab folgende Resultate:

| Temperatur °C. | Erhitzungsdauer | | Temperatur der Härtungs- flüssigkeit | Graphit % | Gesamt- Kohlenstoff % |
|-------------------|-----------------------------------|-----------------------------------|---|--------------|-----------------------------|
| | bis zur Maximal- temperatur | bei der Maximal- temperatur | | | |
| Original-Probe | | | 15 ° | 0,938 | 4,376 |
| 975 | 15 Min. | 0 | — 5 „ | 1,690 | nicht best. |
| 1125 | 80 „ | 0 | — 5 „ | 2,795 | „ „ |

Die Thatsache, dass unterhalb der kritischen Temperatur von 1000° C. Graphit gebildet worden war, zeigt, dass — wenn Roozeboom's Ansichten für nur Kohlenstoff enthaltendes Eisen richtig sind — die Gegenwart von Silicium hier einen bedeutenden Einfluss ausübt.

Dass diese Einwirkung des Silicium mit steigender Temperatur wächst, könnte aus der gleichzeitig steigenden Plastizität erklärt werden. Die Gegenwart von Silicium könnte dann auch die Royston'schen Ergebnisse (siehe Teil II, S. 37, 40 und 50) erklären und begreiflich machen, warum der bei hoher Temperatur gebildete Graphit bei der Abkühlung nicht in Cementit umgewandelt wurde (siehe übrigens die Ansicht Osmonds, II. Teil, S. 37).

Die Kühlungskurve zeigte ausser dem Umwandlungspunkte bei 690° C. keinerlei andere bestimmte Verzögerung, was jedoch möglicherweise auch auf eine der folgenden Ursachen zurückgeführt werden kann:

1. weil die Kühlung in den benutzten Laboratoriumöfen nicht langsam genug durchgeführt werden konnte;
2. weil — wie die Versuche zu zeigen scheinen — der Prozess möglicherweise nicht umkehrbar ist, oder

3. weil das Metall bei hohen Temperaturen an der Oberfläche kräftig entkohlt wird, und weil gerade diese Teile der Probe mit dem Thermoelemente in Berührung stehen.

G. Charpy und L. Grenet¹⁾ haben die Frage der Umwandlung von Graphit in Cementit an zahlreichen Eisenproben studiert, namentlich aber folgende fünf Metallproben in Untersuchung genommen, die bei annähernd gleichem Gesamtkohlenstoff und verschiedenem Siliciumgehalte nur sehr geringe Mengen anderer Begleitstoffe enthielten:

| No. | C | Si | Mn | S | P |
|-----|--------|--------|--------|--------|--------|
| 1 | 3,60 % | 0,07 % | 0,03 % | 0,01 % | Spur |
| 2 | 3,40 „ | 0,27 „ | Spur | 0,02 „ | 0,02 % |
| 3 | 3,25 „ | 0,80 „ | Spur | 0,02 „ | 0,03 „ |
| 4 | 3,20 „ | 1,25 „ | 0,12 % | 0,01 „ | 0,01 „ |
| 5 | 3,30 „ | 2,10 „ | 0,12 „ | 0,02 „ | 0,01 „ |

Die in kaltem Wasser abgekühlten Proben enthielten im allgemeinen keine merklichen Mengen Graphit; nur die letzte enthielt 0,20 %.

Stücke dieser Eisenproben wurden mehr oder weniger lange Zeit auf verschieden hohe Temperaturen erhitzt und dann in kaltem Wasser abgelöscht. In den so behandelten Proben wurde dann der Gehalt an Gesamtkohlenstoff und an Graphit²⁾ bestimmt; der Gehalt an gebundenem Kohlenstoff entspricht dann der Differenz. Ebenso wurde auch in jeder Probe der Siliciumgehalt ermittelt.

Aus diesen Untersuchungen ziehen die Verfasser folgende Schlüsse:

1. Die Abscheidung von Graphit beginnt bei einer um so niedrigeren Temperatur, je höher der Siliciumgehalt ist.

So zeigt sich bei Probe 1, die nur Spuren von Silicium enthält, bei längerem Erhitzen auf 1100° oder auf niedere Temperaturen keine Graphitabscheidung. Hingegen tritt eine solche bei 1150° ein.

In der Probe 2 ist nach vierstündigem Erhitzen auf 700°, 800°, 900° oder 1000°C. kein Graphit nachweisbar; beim Erhitzen auf 1100° tritt er jedoch auf.

1) Bulletin de la Société d'Encour, März 1902.

2) Inklusive Temperkohle.

In Probe 3 erschienen schon nach dem Erhitzen auf 800°C., Spuren von Graphit.

Bei Probe 4 und 5 genügte schon eine Erhitzung auf 650°C., um Kohlenstoffabscheidung zu bewirken. Bei letzterer Probe war schon sechsstündiges Erhitzen auf 650° hinreichend, um den Graphitgehalt von 0,10 auf 2,83% zu erhöhen.

2. Hat die Graphitabscheidung einmal begonnen, so schreitet sie auch bei niedrigeren Temperaturen, als jene, bei welchen sie begonnen hat, weiter fort.

So enthielt ein Stück der Probe 1 nach Erhitzen auf 1170° C. und Abschrecken nur 0,50% Graphit und 2,61% gebundenen Kohlenstoff. Ein anderes Stück desselben Metalles wurde gleichzeitig auf 1170° C. erhitzt, dann langsam auf 700° C. abgekühlt und abgeschreckt. Es enthielt dann 1,87% Graphit und 0,43% gebundenen Kohlenstoff. In ähnlicher Weise gab ein Stück der Probe 3 nach dem Erhitzen auf 1170° C. und Abschrecken 1,42% Graphit und 1,69% gebundenen Kohlenstoff; nach Erhitzen auf 1170° C., langsamem Abkühlen auf 700° C. und Abschrecken aber 2,56% Graphit und 0,38% gebundenen Kohlenstoff.

3. Bei konstanter Temperatur findet die Graphitabscheidung in um so schwächerem Grade statt, je niedriger diese Temperatur, und je kleiner der Siliciumgehalt ist.

Dies ist aus folgenden Zusammenstellungen deutlich erkennbar.

Probe 3; Eisen mit 0,80% Silicium.

| Temperatur °C. | Dauer der Erhitzung Stunden | Graphit % | geb. Kohlenstoff % |
|-------------------|--------------------------------|--------------|-----------------------|
| 800 | 1 | 0,10 | 3,19 |
| 800 | 4 | 0,22 | 3,07 |
| 900 | 1 | 0,30 | 2,97 |
| 900 | 2 | 0,60 | 2,40 |
| 900 | 4 | 1,58 | 1,14 |
| 1000 | 1 | 0,37 | 2,94 |
| 1000 | 2 | 1,50 | 1,41 |
| 1000 | 4 | 1,47 | 1,29 |

Probe 4; Eisen mit 1,20% Silicium.

| Temperatur °C. | Dauer der Erhitzung Stunden | Graphit % | geb. Kohlenstoff % |
|-------------------|--------------------------------|--------------|-----------------------|
| 700 | 1 | 0,06 | 3,42 |
| 700 | 2 | 0,11 | 3,30 |
| 700 | 4 | 0,20 | 3,13 |
| 800 | 1 | 0,12 | 3,08 |
| 800 | 2 | 0,51 | 2,47 |
| 800 | 4 | 1,64 | 1,56 |
| 900 | 1 | 2,28 | 0,90 |
| 900 | 2 | 2,32 | 0,90 |
| 900 | 4 | 3,35 | 0,99 |

Probe 5; Eisen mit 2% Silicium.

| Temperatur °C. | Dauer der Erhitzung Stunden | Graphit % | geb. Kohlenstoff % |
|-------------------|--------------------------------|--------------|-----------------------|
| 700 | 1 | 1,39 | 1,90 |
| 700 | 2 | 2,09 | 1,19 |
| 700 | 4 | 2,67 | 0,28 |
| 800 | 1 | 2,36 | 0,78 |
| 800 | 2 | 2,31 | 0,89 |
| 800 | 4 | 2,43 | 0,54 |
| 900 | 1 | 2,33 | 0,88 |
| 900 | 2 | 2,32 | 0,90 |
| 900 | 4 | 2,33 | 0,90 |

Aus diesen Zusammenstellungen ist ersichtlich, dass bei Probe 5 das Gleichgewicht bei 900°C. schon nach einer Stunde erreicht wurde, weil der Graphitgehalt auch bei weiterem Erhitzen keine Änderung mehr erleidet. Hingegen ist die Probe 3 selbst nach vierstündigem Erhitzen noch weit vom Gleichgewichte entfernt.¹⁾ Bei

1) Diese Ausdrucksweise ist nicht ganz richtig, weil für den Gleichgewichtszustand nicht der Gehalt des Eisens an Graphit (und Temperkohle), sondern nur jener an gebundenem Kohlenstoff massgebend ist. Hingegen ist es auffallend, dass namentlich bei Probe 5 bei vierstündigem Erhitzen der Gehalt an gebundenem Kohlenstoff um so kleiner wird, je niedriger die Erhitzungstemperatur liegt. Es scheint somit der gebundene Kohlenstoff — also vermutlich das Eisencarbid — (wenigstens bei Gegenwart von viel Silicium) bei niederen Temperaturen weniger stabil zu sein.

siliciumärmerem Eisen ist diese Erscheinung nicht bemerklich, weil bei diesem die Umwandlung erst bei weit höheren Temperaturen auftritt.

4. Der Gehalt an gebundenem Kohlenstoff, der dem Gleichgewichte bei einer gegebenen Temperatur entspricht, verringert sich mit wachsendem Siliciumgehalte.

Die folgende Tabelle giebt die Versuchsergebnisse nach vierstündigem Erhitzen auf verschiedene Temperaturen. Bei den Proben 1 und 2 wurde bis 1150° C. erhitzt und dann langsam bis auf die angegebene Temperatur erkalten lassen.

| Probe | 1100° C. | | 1000° C. | | 900° C. | | 700° C. | |
|-------|--------------|-------------|--------------|-------------|--------------|-------------|--------------|-------------|
| | Graphit % | geb. C % | Graphit % | geb. C % | Graphit % | geb. C % | Graphit % | geb. C % |
| 1 | 1,16 | 1,74 | 1,03 | 1,74 | — | — | 1,87 | 0,43 |
| 2 | 1,26 | 1,93 | 1,00 | 1,62 | — | — | — | — |
| 3 | 1,61 | 1,26 | 1,60 | 1,52 | 1,67 | 1,17 | 2,56 | 0,38 |
| 4 | 2,10 | 1,02 | 2,20 | 0,98 | 2,32 | 0,90 | — | — |
| 5 | 2,18 | 1,00 | 2,10 | 0,93 | 2,33 | 0,90 | 2,67 | 0,28 |

5. Der dem Gleichgewichte entsprechende Gehalt von gebundenem Kohlenstoff verringert sich mit der Temperatur.

Schon die früher mitgeteilten Zahlen zeigen diese Verringerung. Die folgende Zusammenstellung bezieht sich auf zwei Versuchsreihen, bei welchen eine möglichst grosse Annäherung an den Gleichgewichtszustand zu erreichen getrachtet wurde. Zu diesem Zwecke wurden die Proben 1 und 3 in Holzkohlenpulver eingebettet auf 1170° C. erhitzt und sehr langsam erkalten lassen, so dass die Temperaturabnahme 50° pro Stunde betrug. War die gewünschte Temperatur erreicht, so wurde die Probe zwei Stunden lang auf dieser Temperatur erhalten und dann abgeschreckt. Für Temperaturen unter 900° wurde die Erhitzung am Ende des Tages unterbrochen und am nächsten fortgesetzt.

Die Versuchsergebnisse sind in der folgenden Tabelle zusammengestellt:

| Temperatur in °C. | Probe 1 | | Probe 3 | |
|----------------------|--------------|-----------------------|--------------|-----------------------|
| | Graphit % | geb. Kohlenstoff % | Graphit % | geb. Kohlenstoff % |
| 1170 | 0,50 | 2,61 | 1,42 | 1,69 |
| 1100 | 1,15 | 1,74 | 1,49 | 1,48 |
| 1000 | 1,03 | 1,74 | 1,35 | 1,55 |
| 900 | — | — | 1,91 | 0,99 |
| 800 | 1,15 | 1,31 | 2,09 | 0,43 |
| 700 | 1,87 | 0,43 | 2,56 | 0,38 |

Die Resultate der mikroskopischen Untersuchung stimmten mit denen der chemischen Analyse überein, ohne neue Aufschlüsse zu geben. Im ursprünglichen Zustande zeigten alle Proben das bekannte Aussehen des weissen Roheisens (Fig. 1, Tafel I). Beim Erhitzen siliciumfreier Eisensorten auf verschiedene Temperaturen zeigten die Dimensionen der Bestandteile Veränderungen und auch die Konzentration des Martensites variierte nach bekannten Gesetzen. Bei siliciumhaltigen Eisensorten ist der Graphit nach dem Polieren ohne jede Ätzung leicht sichtbar. Die Natur des abgeschiedenen Kohlenstoffes ändert sich mit der Abscheidungstemperatur und mit dem Siliciumgehalte.

Die Fig. 2 bis 6, Tafel I und II stellen andere mikroskopische Präparate dieser Untersuchungsreihen dar.

Die Untersuchung von Proben, bei denen das Gleichgewicht bei niedrigeren Temperaturen erreicht worden war, zeigt, dass die Umwandlung in einzelnen Partien so weit fortgeschritten war, dass wir den Graphit in unmittelbarer Berührung mit Ferrit finden (Fig. 6, Tafel II). Offenbar sind dies jene Regionen, in welchen die Umwandlung eine vollständige war. Es muss somit das stabile Gleichgewicht in kalten Eisenkohlenstofflegierungen der Koexistenz der zwei Phasen: reines Eisen und Kohlenstoff entsprechen. Alle anderen in Eisen und Stahl vorkommenden Gefügebestandteile (namentlich der Cementit) würden daher bei niedrigerer Temperatur nicht stabil sein. Charpy und Grenet vergleichen dieses Verhalten mit dem des Phosphors, dessen rote Modifikation in der Kälte stabil ist, während die instabile weisse Form trotzdem oft gewonnen und benutzt wird.

Die hier betrachteten Eisensorten zeigten zwei sehr deutlich erkennbare kritische Punkte, deren einer in der Nähe von 700° der Umwandlung Martensit \rightleftharpoons Perlit entspricht, während der zweite, gleichfalls sehr scharf markierte, bei den verschiedenen Proben folgende Lage hat:

| Probe | Erhitzung | Abkühlung |
|-------|----------------|----------------|
| 1 | 1140° | 1120° |
| 2 | 1165° | 1145° |
| 3 | 1137° | 1130° |
| 4 | 1165° | 1137° |
| 5 | 1165° | 1145° |

Ob dieser kritische Punkt der Wiederlösung des eutektischen Gemenges Martensit-Graphit oder Martensit-Cementit, oder beider



Fig. 1.
Weisses Roheisen
3,60 % C.

Fig. 2.
Roheisen 3,40 % C.
Auf 1000° erhitzt; poliert.



Fig. 3.
Roheisen 3,25 % C.
Auf 1000° erhitzt, poliert.



Fig. 4.
Roheisen 3,30 % C.
Auf 1000° erhitzt, poliert.



Fig. 5.
Dasselbe, auf 800° erhitzt,
poliert.

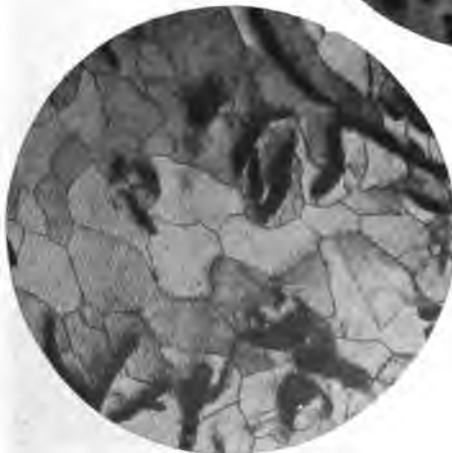
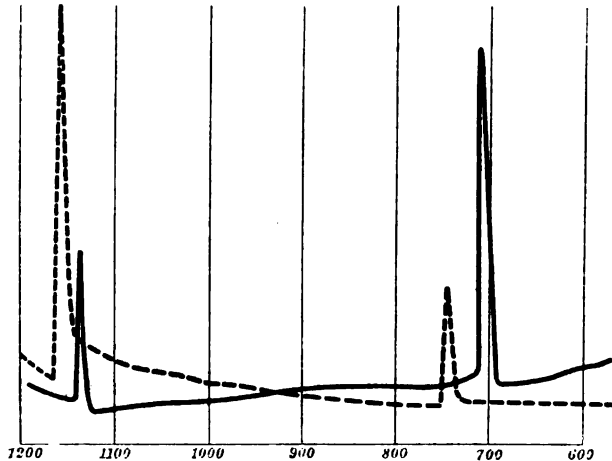


Fig. 6.
Ferrit und Graphit.

zusammen entspricht, konnte nicht ermittelt werden. Er hat jedoch die besondere Eigentümlichkeit, dass er (entgegengesetzt den übrigen kritischen Punkten) beim Erhitzen viel entschiedener auftritt, als bei der Abkühlung (Fig. 7).

Fig. 7.



Fassen wir die bisherigen Forschungen auf diesem Gebiete zusammen, so ist es nicht ganz leicht sich davon eine Vorstellung zu machen. Vielleicht kann folgender Erklärungsversuch hierzu beitragen.

In einem aus den beiden Phasen Eisen und Kohlenstoff bestehenden System wirken bei niederen Temperaturen beide nicht aufeinander ein. Im stabilen Gleichgewichte bleiben somit beide Phasen unverändert nebeneinander bestehen. Mit steigender Temperatur scheinen sich wachsende Mengen des Kohlenstoffes im Eisen zu Martensit zu lösen. Wird nun das System rasch unter A_1 abgekühlt, so tritt keine weitere Veränderung ein, d. h. der gebildete Martensit bleibt als solcher erhalten. Erfolgt die Abkühlung langsamer, so verwandelt sich der Martensit zuerst in Troostit, dann in Perlite, ohne dass es zu einer Kohlenstoffausscheidung kommt. Erst bei äusserst langsamer Abkühlung tritt die Ausscheidung von Kohlenstoff ein, und man gelangt zum stabilen Gleichgewichte.

Hat das Eisen bei hohen Temperaturen in Berührung mit Kohlenstoff bedeutende Mengen des letzteren aufgenommen, so scheidet sich bei der gewöhnlichen Abkühlung aus dem Martensit nicht Kohlenstoff, sondern Cementit ab; nur bei sehr langsamer Abkühlung findet wie im früheren Falle Ausscheidung von Kohlenstoff statt.

Bei noch höheren Temperaturen und kohlenstoffreichen Eisenlegierungen findet schon bei normaler Abkühlungsgeschwindigkeit leichter die Ausscheidung von Kohlenstoff (Graphit) statt (graues Roheisen). Bei etwas rascherer Abkühlung kann sie jedoch unterbleiben (weisses Roheisen), oder es kann an einzelnen Stellen Graphitabscheidung stattfinden, an anderen nicht (halbiertes Roheisen).

Die Form, in welcher der Kohlenstoff ausgeschieden wird (ob als Graphit oder Temperkohle), scheint von der Abscheidungstemperatur abzuhängen.

Bei Gegenwart von Mangan wird die Abscheidung des Kohlenstoffes erschwert (offenbar weil derselbe in Mangan weit leichter löslich ist), durch Silicium aber begünstigt (ein Vorgang, der dem „Aussalzen“ der Seifenlösungen analog zu sein scheint).

Ganz ähnlich, wie sich die Kohlenstoffeisenlösungen verhalten, scheint dies auch das Eisenkarbid zu thun, indem auch hier bei höheren Temperaturen Kohle ausgeschieden wird.

SECHSTES KAPITEL.

Verhalten des Eisens gegen andere Elemente (Phosphor).

Über das Verhalten von Eisen und Phosphor wurde schon früher (Teil I, S. 219 und 383, Teil II, S. 219) gesprochen. Von besonderer Wichtigkeit sind namentlich die Untersuchungen von Stead (2. Teil, Nachträge, S. 383). Zur Ergänzung des dort Gesagten möge noch folgendes erwähnt werden.

Von phosphorhaltigem kohlenstofffreiem Eisen unterscheidet Stead folgende Klassen:



Fig. 8.

Typus der Eisen-Phosphor-Legierungen mit weniger als 1,7% P.

(Polygonale krystallinische Körner. Feste Lösung von Fe, P in Fe . Bei gleicher thermischer Behandlung wächst die Korngrösse mit dem Phosphorgehalte.)

50

1

Fig. 9.

Kohlenstofffreies Eisen mit 1,8% Phosphor.
(Drei aneinanderstossende Körner, dazwischen eine Lage von Fe, P und etwas von der eutektischen Legierung am Schnittpunkte.)

350

1

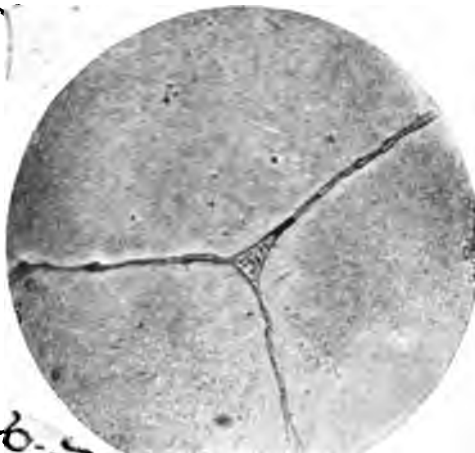


Fig. 10.

Eisen mit 8% Phosphor.
(Die breiten hellen Partien sind Krystallite mit 1,7% Phosphor. Die weisse, gefleckte Grundmasse ist die eutektische Legierung mit 10,2% Phosphor.)

250

1

1. Klasse. Phosphorgehalt bis 1,7%.

Die Mikrostruktur der hierher gehörigen Metalle ist eine sehr ähnliche. Sie erinnert an die des reinen Eisens, zeigt jedoch grössere Krystallkörner, und zwar wächst ihre Grösse mit dem Phosphorgehalte. Nach Oliver Arnold greift Salpetersäure die Grenzlinien der Krystallkörner stärker an, als die eigentliche Masse derselben; nach Stead ist dies zwar häufig, aber nicht immer der Fall. Fig. 8, Tafel III, ist ein typisches Bild der hierher gehörigen Metalle.

Wenn auch die Mikrostruktur des reinen Eisens und der hierher gehörigen Legierungen ähnlich ist, so zeigen sich doch gewisse charakteristische Unterschiede.

Ätzt man eine polierte Fläche von phosphorhaltigem Eisen mit sehr verdünnter Salpetersäure, so zeigen die einzelnen Körner eine verschiedene, aber rasch wechselnde Färbung. In einem speziellen Falle zeigten die verschiedenen Körner gleichzeitig folgende Farben: gelb, orange, rot, purpur, grün und blau. Der Übergang von einer Farbe zur anderen ist ein sehr rascher, und schliesslich entsteht ein brauner bis schwarzer Niederschlag.

Diese schwarze Masse kann durch leichtes Reiben entfernt werden, und eine saure Jodlösung zerstört sie teilweise, was bei hartem, reinem Kohlenstoffstahl nicht der Fall ist. Es bildet sich hierbei offenbar dieselbe Substanz, die beim Lösen des Metalles in Säuren ungelöst zurückbleibt.

2. Klasse. Phosphorgehalt zwischen 1,7% und 10,2%.

In Legierungen mit wenig mehr als 1,70% Phosphor bildet die zuletzt erstarrende eutektische Legierung im Schliß bandartige Einfassungen der Krystallkörner. Diese Bänder zerfallen bei der Erstarrung in ihre zwei Bestandteile: Eisen, welches 1,70% Phosphor in fester Lösung enthält, und das Eisenphosphid Fe_3P . Polierte und geätzte Schliffe zeigen diese netzförmige Struktur bei schwachen Vergrösserungen deutlich. Die in den Maschen des Netzes liegenden Kerne sind die erwähnte feste Lösung. Fig. 9, Tafel III, zeigt diese Konstitution bei Eisen mit 1,8% Phosphor.

Erreicht der Phosphorgehalt 8%, so ist der perlitähnliche Bestandteil (die eutektische Legierung) vorherrschend, während die feste Lösung baumförmige Krystallskelette bildet (Fig 10, Tafel III).

Mit wachsendem Phosphorgehalte verringern sich diese Krystalliten, und bei 10,2% Phosphor zeigt die ganze Schlißfläche ein perlitähnliches Aussehen, weil sie nur aus der fraglichen eutektischen Legierung besteht (Fig. 11, Tafel IV). Der Schmelzpunkt dieser Legierung liegt bei 980°C.

3. Klasse. Phosphorgehalt zwischen 10,2% und 15,58%.

Sobald der Phosphorgehalt 10,2% auch nur wenig überschreitet, treten wohl ausgebildete Krystalle und Krystallskelette von der Zusammensetzung Fe_3P auf (Fig. 12, Tafel IV), und wenn der Phosphorgehalt der Legierung 15,58% erreicht, so besteht die ganze Masse aus diesen Krystallen (Fig. 13, Tafel IV). Der Schmelzpunkt dieses Phosphides liegt bei 1060°C.¹⁾

4. Klasse. Phosphorgehalt zwischen 15,58% und 21,68%.

Werden die Schlißflächen soweit erhitzt, bis dem freien Auge eben die blaue Anlauffarbe erscheint, so lassen sich unter dem Mikroskop zwei Gefügeelemente unterscheiden, deren eins blau, das andere aber gelb gefärbt ist. Beide Bestandteile erscheinen homogen und sind bestimmte chemische Verbindungen, deren eine in Königswasser weniger löslich ist als die andere.

Der blau gefärbte und von Königswasser leichter angreifbare Gemengteil wird vom Magneten stark angezogen und ist das Phosphid Fe_3P .

Der gelb gefärbte Bestandteil wird von Königswasser weniger leicht angegriffen, vom Magnet aber nur schwach angezogen; er ist Fe_2P .

Das mikroskopische Aussehen führt zu der Vermutung, dass Fe_2P bei höheren Temperaturen früher auskrystallisiert als Fe_3P , weil seine Krystalle vollkommen ausgebildet erscheinen.

Im gepulverten Metalle lassen sich diese beiden Verbindungen mittels eines Magnetes leicht trennen.

1) Die in Fig. 50, Tafel 7 des I. Teiles dieses Buches ersichtlichen beiden Krystalle, welche Stead früher für Eisencarbid hielt, haben sich als Fe_2P erwiesen. Erst die hier besprochenen Untersuchungen Steads haben eine genaue Unterscheidung von Cementit und Eisencarbid ermöglicht.

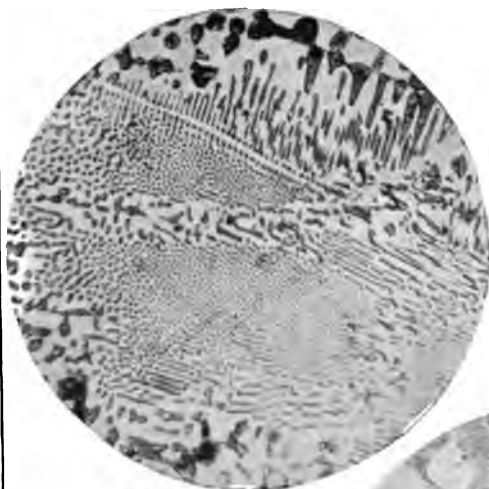


Fig. 11.

Legierung mit 10,2% P
und 89,8% Fe
(eutektische Legierung von
Phosphor und Eisen,
mit Salpetersäure geätzt).

$\frac{350}{1}$

Fig. 12.

Legierung mit 11,07% P
und 88,9% Fe .
(Die rhomboëdrischen
Krystallschnitte sind Fe_3P ,
eingelagert in die
eutektische Legierung.)¹⁾

$\frac{60}{1}$

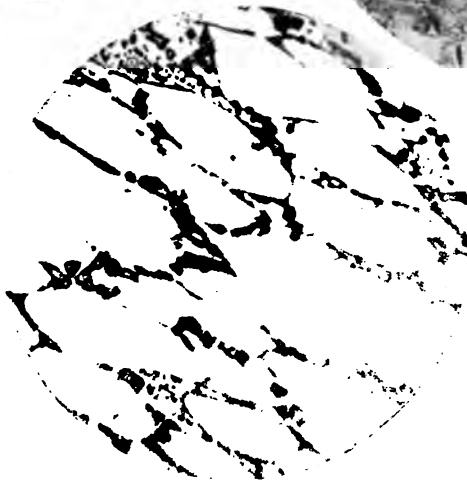
1) Die beiden in Band I, Tafel VII,
Fig. 50 ersichtlichen Krystalle wur-
den nachträglich von Stead als Fe_3P
erkannt.



Fig. 13.

Legierung mit 15,15%
Phosphor.
(Krystallkörner von Fe_3P
von der eutektischen
Legierung umgeben.)

$\frac{100}{1}$



5. Klasse. Phosphorgehalt zwischen 21,8 und 24 %.

Bei Anwendung eines sehr beträchtlichen Phosphorüberschusses und sehr hoher Temperatur lässt sich eine Legierung mit 24 % Phosphor darstellen. Lässt man eine Schlifffläche derselben anlaufen, so sind unter dem Mikroskop zwei Gefügeelemente zu unterscheiden, deren leichter oxydierbare Fe_3P ist. Die Zusammensetzung des zweiten Bestandteiles konnte nicht ermittelt werden.

Weiterhin hat Stead den Einfluss von Kohlenstoff auf phosphorhaltiges Eisen studiert. Hierbei war es in erster Linie wichtig, entscheiden zu können, ob man es bei vorliegenden Ausscheidungen mit Eisencarbid oder Eisenphosphid zu thun habe. Die Ätzmethode reichen zu diesem Zwecke nicht hin. Hingegen erwies sich hierzu die Benutzung der Anlauffarben vorzüglich geeignet. Die ersten, welche diese Methode zur Entwicklung des mikrographischen Gefüges in Anwendung brachten, waren A. Martens und H. Behrens; später wurde dieselbe von Osmond bei Untersuchung mancher Metalllegierungen benutzt. Diese Methode bietet den Vorteil, dass die ursprüngliche Oberfläche erhalten bleibt, und dass so behandelte Proben weniger leicht rosten als geätzte. Wie sich die verschiedenen Formelemente des Eisens (wie Cementit, Schwefelmangan, Eisenphosphid, reines Eisen und Perlit mit 0,6 % Phosphor) hierbei verhalten, wurde in folgender Weise ermittelt:

Eine langsam gekühlte Metallprobe, welche, abgesehen vom reinen Eisen, alle angeführten Gefügeelemente enthielt, wurde angebohrt und ein Stück Eisen in diese Bohrung eingesetzt. Nachdem letzteres durch Zusammenpressen scharf an die Wandung des Bohrloches angedrückt worden war, wurde das Stück poliert, in Sand eingepackt und langsam erhitzt. Hierbei traten folgende Farbenveränderungen ein.

Anlauffarben bei von 200° bis 400° C. wachsenden Temperaturen.

| Perlit mit 0,6% P und 0,75% C | Eisen | Eisencarbid | Eisen- phosphid | Schwefel- Mangan |
|-------------------------------------|-------|-------------|------------------------|---------------------------|
| weiss | weiss | weiss | weiss, gelb gefärbt | blass lavendel- farbig |
| sehr schwach gelb | dto. | dto. | dto. | dto. |

| Perlit mit 0,6% P und 0,75% C | Eisen | Eisencarbid | Eisen- phosphid | Schwefel- Mangan |
|-------------------------------------|-----------------------|------------------------------|--------------------------------|------------------------------------|
| sehr schwach gelb gelb | weiss | weiss | weiss, gelb gefärbt dto. | blass, lavendel- farbig dto. |
| dto. | sehr schwach gelb | dto. | dto. | dto. |
| gelbbraun | dto. gelb | dto. sehr schwach gelb | dto. | dto. |
| dto. | dto. | dto. | dto. | dto. |
| braun | gelbbraun | dto. | dto. | dto. |
| dto. | dto. | dto. | dto. | dto. |
| purpurrot | braun | gelb | sehr schwach gelb | schwach gelb |
| Purpur | purpurrot | gelbbraun | dto. | dto. |
| Blau | purpur | dto. | schwach gelb | dto. |
| dto. | blau | braun | gelb | dto. |
| blass blau | dto. | dto. | lachsfarbig | dto. |
| dto. | blass blau | rotbraun | heliotrop | bräunlich- weiss |
| dto. | dto. | purpurrot | grünlich | dto. |
| blass erbsen- grün | dto. | purpur | gelb | dto. |
| dto. | blass erbsen- grün | blau | dto. | dto. |
| blass gelb | blass gelb | — | — | — |
| weiss | weiss | — | — | — |

Noch bessere Resultate als die Erhitzung bei steigender Temperatur giebt jene bei konstanter Temperatur. Die Erhitzung in einem Zinnbade ergab folgendes:

Anlauffarben bei 232° C.

| Zeit in Minuten | Perlit mit 0,6% P und 0,75% C | Eisen | Eisencarbid | Eisen- phosphid |
|--------------------|-------------------------------------|-----------------|-----------------|--------------------|
| 1 | sehr blass gelb | weiss | sehr blass gelb | weiss |
| 4 | gelblichbraun | sehr blass gelb | blass gelb | dto. |
| 10 | dto. | dunkler gelb | dto. | dto. |

Anlauffarben bei 280° C.

| Zeit in Minuten | Perlit mit 0,6% P und 0,75% C | Eisen | Eisencarbid | Eisen-phosphid |
|-----------------|-------------------------------|--------------|---------------------|------------------|
| 1 | braun | gelb | bräunlichgelb | weiss |
| 2 | purpur | rotbraun | dto. | dto. |
| 3 | tief purpur | braun | dto. | dto. |
| 4 | blau | purpurrot | dto. | sehr blass gelb |
| 6 | dto. | purpur | orangebraun | blass gelb |
| 11 | dto. | blau | rotbraun | blass lachsfarb. |
| 15 | blass blau | dto. | wie gebrannte Siene | dto. |
| 30 | blässer blau | blässer blau | purpurbraun | heliotrop |

Anlauffarben bei 326° C.

| Zeit in Minuten | Perlit | Eisen | Eisencarbid | Eisen-phosphid |
|-----------------|----------------|-----------------|-------------|------------------|
| 1 | purpurrot | rot | gelbbraun | sehr blass gelb |
| 2 | tief blau | purpurrot | rotbraun | blass gelb |
| 3 | dto. | dto. | dto. | dto. |
| 4 | dto. | dto. | dto. | dto. |
| 5 | dto. | tief blau | dto. | blass lachsfarb. |
| 6 | blässer blau | lichter blau | purpurrot | lachsfarb. |
| 7 | blass meergrün | sehr licht blau | purpur | dto. |
| 8 | dto. | dto. | dto. | dto. |
| 9 | blass gelb | dto. | dto. | purpur |
| 10 | dto. | dto. | dto. | heliotrop |

In kohlenstoffreichem Stahl und weissem Roheisen findet sich das freie Phosphid stets in Begleitung von Carbid. Beide lassen sich leicht unterscheiden, wenn man die Probe 10 bis 15 Minuten auf 280°C. erwärmt. Unter solchen Umständen ist der Cementit rotbraun gefärbt, während das Phosphid je nach der Erhitzungsdauer blassgelb bis lachsfarben erscheint. Aber auch wenn man länger erhitzt, ist die Unterscheidung keineswegs schwierig, da das erste beim Phosphid erscheinende Blau (Heliotrop) ganz anders aussieht, als das der übrigen Bestandteile.¹⁾

1) Bezüglich weiterer Mitteilungen über die Entstehung von Anlauffarben unter der Einwirkung von Sauerstoff, Jod, Brom und Schwefelwasserstoff und ihre mikrographische Verwertung muss auf die Original-Abhandlung verwiesen werden. (Jour. Ir. St. Inst. 1900, II).

Nachdem es Stead in dieser Weise gelungen war, das Eisenphosphid mit Sicherheit von den übrigen Formelementen zu unterscheiden, konnte er sich der Aufgabe unterziehen, den Einfluss von Kohlenstoff auf phosphorhaltiges Eisen zu studieren. Er kam hierbei zu folgenden Ergebnissen:

1. Schmilzt man eine gesättigte feste Lösung von Eisenphosphid mit kohlenstoffhaltigem Eisen zusammen, so scheidet sich nahe dem Erstarrungspunkte ein eutektisches Gemenge ab, das aus Eisenphosphid und Perlit (statt der festen Lösung von Eisenphosphid) besteht. Die Menge dieser Ausscheidung wächst mit dem Kohlenstoffgehalte. Bei niederem Kohlenstoffgehalte tritt diese eutektische Legierung an den Berührungsstellen der einzelnen Körner auf, indem sie letztere mehr oder weniger vollständig einhüllt. Dieses eutektische Gemenge ist von fransenartig entwickeltem Perlit umgeben, wie in den Fig. 14 und 15, Tafel V deutlich erkennbar ist.

Bei 0,7% Kohlenstoff besteht die Masse der Körner hauptsächlich aus Perlit, obwohl noch immer Partien der festen gesättigten Phosphidlösung erkennbar sind (Fig. 16, Tafel VI).

Mit steigendem Kohlenstoffgehalte wächst auch die Menge der phosphorhaltigen eutektischen Legierung und des Perlits, bis bei 0,8% Kohlenstoff die Körner nur aus Perlit bestehen.

Steigt der Kohlenstoffgehalt auf 1,4%, so umgeben sich die Flächen der phosphorhaltigen eutektischen Legierung mit einer Cementithülle, deren Dicke mit wachsendem Kohlenstoffgehalt zunimmt. Erhitzt man ein derartiges Metall soweit, dass die eutektische Legierung gelbe Anlauffarbe annimmt, so zeigen die Cementitränder eine schöne rote Färbung, und man erkennt, dass sie sich scharf gegen die phosphidhaltigen Partien abgrenzen (Fig 17, Tafel VI).

Nach dem Wiedererhitzen auf 900° C. und mässig rascher Abkühlung hat sich die Hauptmasse des Cementits zu selbständigen Zellen vereinigt, wodurch die ursprünglichen grossen Perlitkörner zu kleineren gespalten werden. Die phosphidhaltige eutektische Legierung behält jedoch ihre ursprüngliche Lage.

Hieraus könnte man schliessen, dass die eutektische Phosphidlegierung bei 900°C. noch nicht diffundiert, während das Carbid bei dieser Temperatur bereits eine feste Lösung bildet, aus welcher sich bei der Abkühlung neue Perlitkörner bilden, zwischen denen

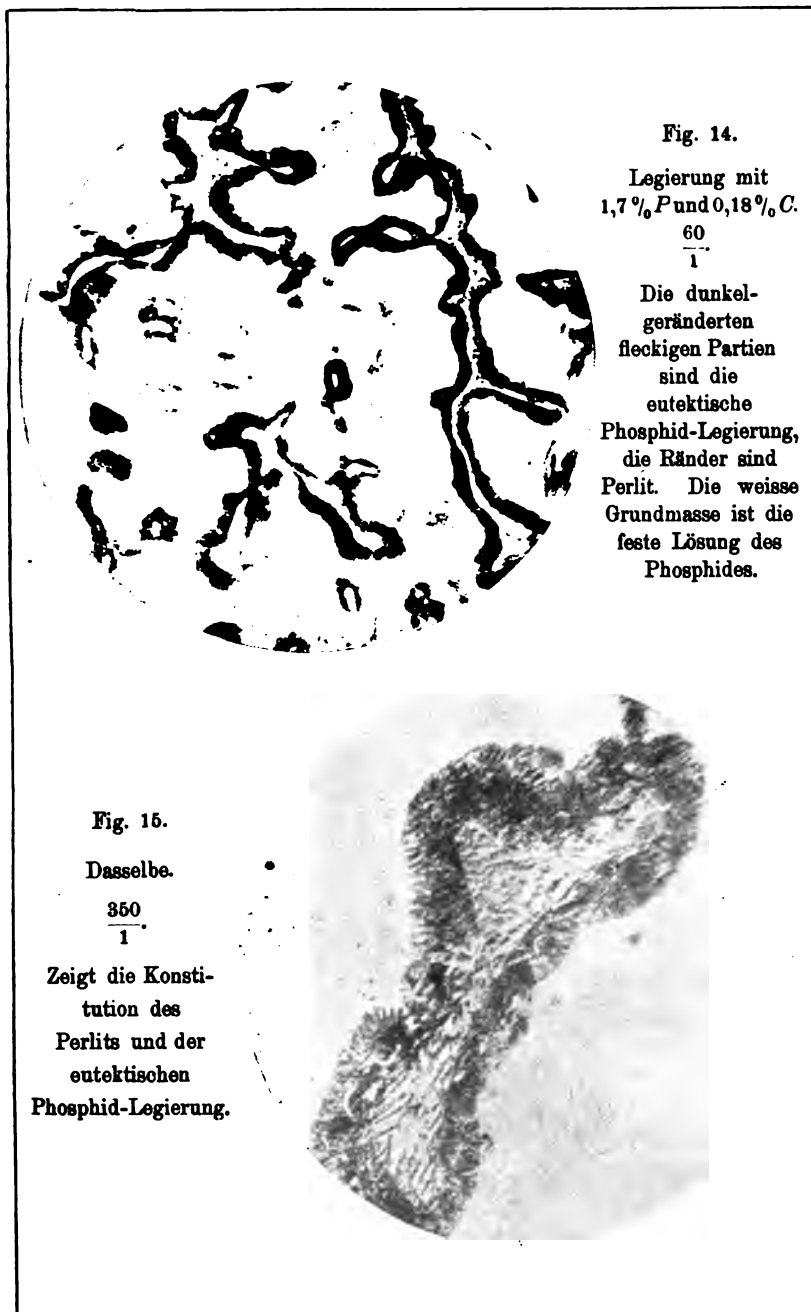


Fig. 14.

Legierung mit
1,7% P und 0,18% C.

$\frac{60}{1}$

Die dunkel-
geränderten
fleckigen Partien
sind die
eutektische
Phosphid-Legierung,
die Ränder sind
Perlit. Die weisse
Grundmasse ist die
feste Lösung des
Phosphides.

Fig. 15.

Dasselbe.

$\frac{350}{1}$

Zeigt die Konsti-
tution des
Perlits und der
eutektischen
Phosphid-Legierung.

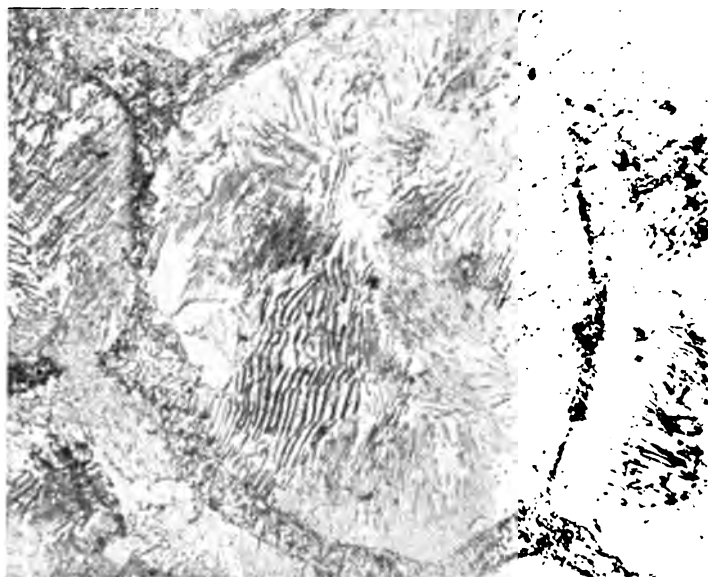


Fig. 16. 1,7% *P* und 0,71% *C*. (Grosses Krystallkorn aus Perlit und wenig fester Phosphorlösung, umgeben von der eutektischen Legierung.)

250
1



Fig. 17.

1,7% *P*,
1,4% *C*.

Poliert und bis zur blassgelben Färbung der eutektischen Legierung angelassen. Die dunklen Bänder sind Eisen-carbid. Die Perlitkörner sind blau mit braunen Cementitbändern.

350
1

sich der Cementit abscheidet. Aber auch die eutektische Phosphidlegierung muss, trotzdem sie ihre ursprüngliche Lage unverändert beibehält, zur Lösung gekommen sein, weil sie jetzt ein viel feineres Gefüge besitzt, das nur bei weit stärkeren Vergrößerungen erkennbar ist.

Die folgende Zusammenstellung giebt die Analysen einer Reihe von Metallproben mit etwa 1,75 % Phosphor und wachsendem Kohlenstoffgehalte:

| No. | Kohlenstoff % | Phosphor % | | |
|-----|------------------|--------------------|-----------|-------|
| | | als freies Fe_3P | in Lösung | Total |
| 1 | — | — | 1,75 | 1,75 |
| 2 | 0,125 | 0,18 | 1,87 | 1,65 |
| 3 | 0,180 | 0,59 | 1,18 | 1,77 |
| 4 | 0,70 | 1,00 | 0,75 | 1,75 |
| 5 | 0,80 | 1,06 | 0,70 | 1,76 |
| 6 | 1,40 | 1,16 | 0,60 | 1,76 |
| 7 | 2,00 | 1,18 | 0,55 | 1,73 |
| 8 | 3,50 | 1,40 | 0,31 | 1,71 |

Da diese Resultate mit kleinen Probestücken bei ziemlich rascher Abkühlung erhalten wurden, ist es wahrscheinlich, dass das Gleichgewicht nicht vollständig erreicht worden sei.

Aus dieser Versuchsreihe folgt, dass mit steigendem Kohlenstoffgehalte wachsende Mengen des Phosphides aus der Lösung ausgeschieden werden, dass aber selbst bei 3,5 % Kohlenstoff die Abscheidung des Phosphors noch nicht vollständig ist.

Bei einem Kohlenstoffgehalte von mindestens 2 % entsteht eine neue eutektische Legierung komplexer Zusammensetzung. Das ursprüngliche eutektische Gemenge von Phosphid und Perlit nimmt nämlich jetzt Eisencarbid auf und erstarrt zusammen mit diesem zu einem komplexen Gebilde, das Eisencarbidplättchen enthält, welche das Phosphid-Perlit-Gemenge durchschneiden. Diese unter dem Mikroskop leicht kenntliche Legierung ist stets in phosphorhaltigem weissen Roheisen enthalten und hat annähernd die folgende Zusammensetzung:

| | |
|-----------------------|-------------|
| Phosphor | 7,05 |
| Kohlenstoff | 1,30 |
| Eisen | 91,60 |
| | <hr/> 99,95 |

2. Es war nun zunächst die Einwirkung des Kohlenstoffes auf die ungesättigte feste Lösung des Eisenphosphides im Eisen zu studieren, und es ergab sich, dass auch dann eine Ausscheidung von Phosphid stattfindet, vorausgesetzt, dass der Kohlenstoffgehalt ein genügend grosser ist.

E. H. Saniter fand im Herde eines basischen Martinofens ein Metallstück, das sowohl von Stead als von Saniter untersucht wurde. Die beiden Analysen ergaben:

| | Stead | Saniter |
|-----------------------|-------|---------|
| | % | % |
| Kohlenstoff | 1,230 | 0,980 |
| Mangan | 0,450 | 0,420 |
| Silicium | 0,060 | 0,055 |
| Schwefel | 0,018 | 0,018 |
| Phosphor | 1,380 | 0,840 |

Die erheblichen Differenzen zwischen diesen Analysen erklären sich aus folgenden Beobachtungen:

Stead zerkleinerte ein Stück dieses Metalles im Stahlmörser zu grobem Pulver und fand darin:

| | |
|--|--------|
| Phosphor als freies Phosphid | 0,76 % |
| „ „ lösliches Phosphid | 0,62 „ |

Das Phosphid war ausserordentlich brüchig und fand sich hauptsächlich an der Aussenseite der Körner, so dass nach dem Zerkleinern der Probe die Hauptmasse desselben im feineren Teile des erhaltenen Pulvers zu finden war. Dieses feine Pulver wurde durch Sieben entfernt, und der gröbere Anteil für sich untersucht. Er enthielt:

| | |
|--|---------|
| Phosphor als freies Phosphid | 0,222 % |
| „ „ lösliches Phosphid | 0,606 „ |
| Summa | 0,828 % |

was ziemlich genau mit dem von Saniter gefundenen Phosphorgehalte übereinstimmt und zeigt, dass die Perlitkörner selbst 0,61 % Phosphor enthalten.

Die mikroskopische Untersuchung zeigte grosse Perlitkörner, umgeben von einer sehr dicken Hülle, die anscheinend aus Cementit bestand. Auch waren im Innern der Körner von Cementit umhüllte kugelige Massen des eutektischen Phosphidgemenges sowie Krystallen von Fe_3P erkennbar. Die Hüllen erschienen im allgemeinen homogen; nur an jenen Stellen, wo drei Körner aneinander stiessen, enthielten sie Einschlüsse von Perlit.

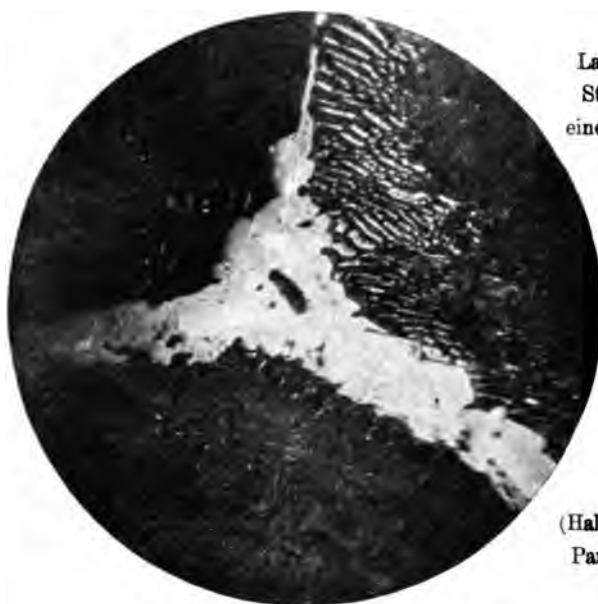


Fig. 18.

Langsam gekühlter
Stahl vom Boden
eines Martinofens mit
1,2% C und
1,3% P. Zuerst
mit Jod gekätzt (um
den Perlit dunkel
zu färben), dann
angelassen. Die
inneren Partien
der Zellwände
sind Eisenphos-
phid (weiss), die
äusseren Cementit
(Halbton), die dunklen
Partien sind Perlit.

$\frac{250}{1}$

Fig. 19.

Cleveland-Roh-
eisen No. 8
(schwarze
Graphit-
blättchen;
eutektische
Phosphid-
Legierung und
eine Grund-
masse von Eisen
mit Silicium
und Mangan).

$\frac{250}{1}$



Nach dem Anlaufenlassen zeigten sich jedoch die äusseren Partien der Hüllen rot gefärbt, während im Innern ein dickes, blass gelbliches Band sichtbar wurde. Diese Hüllen bestehen somit aus Eisenphosphid (im Innern) und Eisencarbid (aussern). Die verdickten Partien dieser Hüllen, die sich an jenen Stellen finden, wo drei Körner aneinanderstossen, und in welchen sich Perlit findet, bestehen jedoch hauptsächlich aus Eisenphosphid (Fig. 18, Tafel VII).

Wäre das Metall weniger langsam erkaltet, so hätten wir in diesen Hüllen wahrscheinlich die bekannte Struktur des eutektischen Phosphidgemenges gefunden, denn es ist bekannt, dass ganz allgemein bei Legierungen, die nur geringe Mengen der eutektischen Legierung enthalten, wenn die Abkühlung sehr langsam erfolgt, eine Saigerung der eutektischen Legierung in der Weise eintritt, dass sich der härtere Bestandteil im Innern ansammelt, während der weichere nach aussen tritt und sich mit der Hauptmasse des umgebenden Metalles vereinigt.

Nachdem das Stück auf 900°C. erhitzt und rasch bis 500° erkaltet worden war, zeigten die Hüllen die gewöhnliche eutektische Struktur. Sie waren jetzt viel dicker geworden und nahmen mehr Raum ein als die ursprünglichen Phosphidflächen; auch erinnerten sie ganz an die eutektischen Ausscheidungen im phosphorhaltigen weissen Roheisen.

Endlich hat Stead ein Stück des Metalles unter dem Mikroskop zerbrochen¹⁾ und es ergab sich, dass der Bruch längs der Phosphidbanden in diesen Hüllen erfolgte.

Schon früher hatte Saniter beobachtet, dass diese Hüllen beträchtlich dicker waren als bei dem Kohlenstoffgehalte von nur 0,98% möglich wäre, wenn dieselben nur aus Eisencarbid beständen. Da diese Hüllen nun weit spröder sind als die Perlitkörner, versuchte er durch Pulvern und Sieben beide voneinander zu trennen. Er berichtet hierüber folgendes:

Die mikroskopische Untersuchung hatte ergeben, dass die Brüchigkeit durch Abscheidung einer harten Substanz zwischen den zäheren Metallkörnern verursacht wird. Um die Zusammensetzung dieser Substanz zu ermitteln, wurde das Metall zerkleinert und das feinere Pulver der spröden Intergranularsubstanz von

1) Siehe Teil I, S. 77.

dem größeren der zähen Körnermasse durch Sieben getrennt. Hierbei ergab sich folgendes:

Das teilweise zerkleinerte Metall liess sich beim Sieben in folgende Gruppen trennen:

| Zusammensetzung: | | | | |
|--|---------|--------|--------|---------|
| <i>C</i> | 0,64 % | — | — | 1,10 % |
| <i>Si</i> | 0,006 „ | — | — | 0,093 „ |
| <i>S</i> | 0,014 „ | — | — | 0,472 „ |
| <i>P</i> | 0,620 „ | 0,88 % | 2,33 % | 8,200 „ |
| <i>Mn</i> | 0,430 „ | — | — | 1,510 „ |
| Phosphormenge, die in H_2SO_4 von 1,1 spec. Gewicht löslich ist. | | | | |
| — | — | — | — | 0,20 % |

Die links stehende Analyse entspricht der Zusammensetzung der Perlitkörner, die rechts stehende hingegen jener der intergranularen brüchigen Masse.

Es ist von besonderem Interesse zu sehen, dass ein Überschuss sowohl von Phosphid als von Eisencarbid zur Ausscheidung gelangt, wodurch sich offenbar die schädliche Einwirkung des Phosphors in kohlenstoffreichem Stahl erklärt.

Ein Teil der intergranularen Masse wurde mit einem grossen Überschusse von Schwefelsäure (1,1 spec. Gew.) 18 Stunden lang in der Kälte behandelt. Die Analyse des unlöslichen Rückstandes ergab:

| | |
|---------------------|---------|
| Kohlenstoff | 2,07 % |
| Phosphor | 10,77 „ |
| Eisen | 85,00 „ |
| | 97,84 % |

was ungefähr der Formel $2Fe_3P, Fe_3C$ entspricht.

Betrachten wir nun die Zusammensetzung der Körner mit 0,64 % C und 0,62 % P, so ergibt sich unter der Voraussetzung, dass der Kohlenstoff als gewöhnlicher Perlit ($Fe_{24}C$) vorhanden sei, die nähere Zusammensetzung dieser Körner zu:

$$\begin{array}{l} Fe_{24}C \dots\dots\dots 71,11 \% \\ Fe_{25}P \dots\dots\dots 28,77 \text{ „} \end{array}$$

oder etwa $2,6 Fe_{24}C$, $Fe_{25}P$.

Es ist möglich, dass bei Gegenwart grösserer Phosphormengen der Perlit mehr als 0,6 % Phosphor enthalten kann und dass der niedere, gelöste Phosphorgehalt der früher erwähnten Probe mit 3,5 % Kohlenstoff darauf zurückzuführen ist, dass dieses Metall nur etwa 41 % Perlit enthält. Beträgt der Kohlenstoffgehalt des Perlites 0,75 %, jener des Cementites aber 6,666 %, so berechnet sich die Zusammensetzung dieser Probe in folgender Weise:

| | % | % C | % P |
|---|----------------------|------|------|
| Eisencarbid (freier Cementit) | $48 \times 0,0666 =$ | 3,19 | — |
| Perlit | $41 \times 0,0075 =$ | 0,30 | — |
| Eisenphosphid (frei) | $9 \times 0,1556 =$ | — | 1,40 |
| „ (gelöst) | $2 \times 0,1556 =$ | — | 0,31 |
| | 100 | 3,49 | 1,71 |

Der Perlit würde in diesem Falle 0,75 % statt 0,60 % Phosphor enthalten; doch können auch die verschiedenen Abkühlungsgeschwindigkeiten die Ursache der auftretenden Differenzen sein.

Um die Frage zu entscheiden, welche Wirkung in gewöhnlichem Stahl mit verschiedenem Phosphorgehalte ein Kohlenstoffgehalt von 0,9 % oder mehr beim Erstarren ausübe, wurde Stahl mit 1 % Kohlenstoff und nur 0,02 % Phosphor mit wachsenden Mengen von Eisenphosphid zusammengeschmolzen und langsam erkalten lassen. Das Versuchsergebnis war folgendes:

| No. | Gramme | | P | Gewicht | | |
|-----|--------|---------------|------|---------------|--------|---------------------|
| | | | | vor | nach | Verlust oder Gewinn |
| | Stahl | Eisenphosphid | | dem Schmelzen | | |
| 1 | 11,810 | — | 0,02 | 11,810 | 11,814 | + 0,004 |
| 2 | 12,070 | 0,050 | 0,06 | 12,120 | 12,120 | — |
| 3 | 12,950 | 0,100 | 0,11 | 13,053 | 13,048 | 0,002 |
| 4 | 11,630 | 0,200 | 0,21 | 11,830 | 11,830 | — |

Die Analyse der Proben ergab:

| | $\% C$ | $\% P$ |
|-----------------|--------|--------|
| No. 1 | 1,06 | 0,020 |
| „ 2 | 1,06 | 0,058 |
| „ 3 | 1,05 | 0,118 |
| „ 4 | 1,06 | 0,245 |

Mikrostruktur:

No. 1 enthielt etwas Cementit, doch konnte kein Phosphid nachgewiesen werden;

No. 2 enthielt grössere Cementitmengen, aber auch Phosphid war nachweisbar;

No. 3 enthielt noch mehr Cementit und Phosphid;

No. 4 Phosphid beträchtlich.

Doch schien es, dass nur ein Bruchteil des zugesetzten Phosphides im freien Zustande vorhanden sei.

Es wurde nun ein Versuch in grösserem Massstabe ausgeführt, bei welchem der Phosphor als solcher dem Stahl zugesetzt wurde. Die Analyse des Metalles ergab:

| No. | $\% C$ | $\% P$ | P als freies Phosphid $\%$ |
|-----|--------|--------|---------------------------------|
| 1 | 0,95 | 0,037 | — |
| 2 | 0,96 | 0,099 | 0,002 |
| 3 | 0,95 | 0,122 | 0,035 |
| 4 | 0,96 | 0,347 | 0,065 |
| 5 | 1,02 | 0,548 | 0,163 |

In No. 1 konnte mittels des Mikroskopes kein freies Phosphid entdeckt werden; in No. 2 war die Gegenwart desselben zweifelhaft; No. 3 enthielt Spuren, No. 4 und 5 bestimmte Mengen davon. No. 5 war sehr rotbrüchig und zerbrach beim ersten Hammerschlage.

Es wäre zu erwarten gewesen, dass nicht früher freies Phosphid ausgeschieden würde, als bis der Perlit mehr als 0,60% Phosphor gelöst enthalten hätte. Dies ist jedoch, wie die vorstehenden Versuche zeigen, nicht der Fall. Hierbei ist die Schnelligkeit der Erstarrung von Einfluss, indem die Menge des abgeschiedenen Phosphides mit der Langsamkeit der Erstarrung wächst.

Es ist sehr wahrscheinlich, dass in geschmolzenem Kohlenstoff und phosphorhaltigem Stahl eine innige Mischung der Lösungen von Eisencarbid und Eisenphosphid im Eisen existiert, von

welchem die Lösung des Carbides die stabilere ist. Wenn der Stahl erstarrt, werden beide Lösungen fest. Beim Abkühlen unter A_1 scheidet sich das Carbid ab, wobei Ferrit, der mehr oder weniger mit Fe_3P gesättigt ist, entsteht.

Wird phosphorhaltiges Eisen durch Cementation gekohlt, so verursacht die Kohlenstoffaufnahme eine Abscheidung von Phosphid aus dem festen Eisen (wenn letzteres mit Phosphid gesättigt ist) und die Ausscheidung schreitet so lange fort, bis die zurückbleibende feste Lösung 0,6% Phosphor und 1,3% Kohlenstoff enthält. Hat das Eisen schon anfangs 0,6% Phosphor enthalten, so beginnt die Phosphidabscheidung erst dann, wenn der Kohlenstoffgehalt 1,2% erreicht hat. Ganz andere Resultate erhält man jedoch beim Schmelzen und Erstarren eines Metalles derselben Zusammensetzung.

Wird phosphorreicher Stahl, der viel Kohlenstoff enthält, in Berührung mit irgend einem absorbierenden Material bis über den Schmelzpunkt der eutektischen Phosphidlegierung erhitzt, so saigert die eutektische Legierung einfach aus und sammelt sich in den umgebenden Stoffen. Hierbei bleibt fast nur der in fester Lösung befindliche Phosphor zurück. In gleicher Weise saigert auch beim Cementationsprozesse eine grössere Menge der eutektischen Legierung aus.

Gesättigte feste Lösungen von Eisenphosphid im Eisen zeigen weder beim Erwärmen noch beim Abkühlen den kritischen Punkt A_3 ; es kann somit in diesem Falle selbst über 1000°C. keine Umwandlung von β -Eisen und γ -Eisen eintreten. Wird jedoch von dem Metall Kohlenstoff aufgenommen, so wird ein grosser Teil des Phosphides ausgeschieden und es tritt der Übergang von β - in γ -Eisen ein, der mit einer Rekristallisation verbunden ist. Unter günstigen Umständen entwickeln sich auf diese Weise säulenförmige, radial gegen den Mittelpunkt des Stückes gerichtete Krystalle.

Eine ähnliche Krystallbildung — aber in entgegengesetztem Sinne — begleitet die alotrope Zustandsänderung, wenn kohlenstoffhaltiger Stahl bei 750°C. in Erz oder Kalkstein entkohlt wird. Bei dieser Temperatur befindet sich das Eisen bei Gegenwart von gelöstem Carbid im γ -Zustande. Wird jedoch der Kohlenstoff entfernt, so geht es in den β -Zustand über; die Krystalli-

sation schreitet hierbei von aussen gegen das Innere der Masse fort und es entsteht so eine vollkommen säulenförmige Struktur.

Die Kohlenstoffmenge, welche von flüssigem Eisen im Hochofen oder im Tiegel aufgenommen werden kann, hängt von der Menge des vorhandenen Eisenphosphides ab. Reines, phosphorfreies Eisen vermag nahezu 5% Kohlenstoff zu lösen. Besteht die geschmolzene Eisenlegierung jedoch nur aus Eisenphosphid (Fe_3P), so wird gar kein Kohlenstoff aufgenommen, während bei Mischungen von Eisen und Eisenphosphid die Maximalmenge des löslichen Kohlenstoffes dem Phosphidgehalte nahezu umgedreht proportional ist. So erhielt Stead bei einer unterhalb des Schmelzpunktes von reinem Eisen liegenden, aber die Temperatur des Hochofens nicht überschreitenden Temperatur folgende Werte:

Analyse der C-freien Mischung:

| % Fe | % P | % C | Bruch |
|------|-------|------|-------|
| 100 | 0 | 4,15 | weiss |
| 96 | 4,10 | 3,25 | " |
| 93 | 7,90 | 2,00 | " |
| 87 | 13,00 | 0,70 | " |
| 83 | 16,00 | 0 | " |

während eine zweite Versuchsreihe bei einer niederen Temperatur ergab:

| % P | % C |
|-------|------|
| 1,85 | 3,50 |
| 4,17 | 2,50 |
| 6,03 | 1,50 |
| 10,15 | 0,65 |

Alle diese Legierungen enthielten keinen Graphit.

Sehr interessant ist das Eisen, das vor Jahren beim Ausblasen eines Hochofens unter Anwendung von basischer Schlacke (statt mit Kalkstein) gewonnen wurde. Seine Zusammensetzung war folgende:

| | |
|----------------------------------|-----------------|
| Eisen (Differenz) | 64,927 % |
| gebundener Kohlenstoff | Spur |
| Graphit | 0,000 „ |
| Mangan | 4,550 „ |
| Silicium | 0,396 „ |
| Schwefel | 0,050 „ |
| Phosphor | 17,910 „ |
| Vanadium | 1,711 „ |
| Chrom | 0,446 „ |
| | <hr/> 100,000 % |

Der Phosphor scheint die Form, in welcher der Kohlenstoff im Eisen auftritt (Graphit oder gebundener Kohlenstoff), nicht zu beeinflussen.

Wird Eisen mit 1,7% Phosphor, das kein mikroskopisch sichtbares, freies Phosphid enthält, in Schwefelsäure oder in Salzsäure gelöst, so bildet sich ein dichter, schwarzer, unlöslicher Rückstand, der nicht magnetisch ist und eine sehr komplexe Zusammensetzung besitzt. Er ist keine bestimmte chemische Verbindung von Eisen und Phosphor, sondern wahrscheinlich ein Zersetzungsprodukt des Eisenphosphides. Ein ähnlicher Körper bildet sich langsam, wenn reines Eisenphosphid von derselben Säure angegriffen wird.

Die bisher vorliegenden Untersuchungen über die Mengen des PH_3 , welche beim Lösen von phosphorhaltigem Eisen entwickelt werden, lassen heute noch keine bestimmten Schlüsse zu, nur scheint es, als ob dieselben mit wachsendem Phosphor- und Kohlenstoffgehalte abnehmen würden.

3. Frederic Abel war der erste,¹⁾ welcher beobachtete, dass, wenn phosphorhaltiges Roheisen unmittelbar nach dem Erstarren gebrochen wird, aus der Mitte des Stückes ein wenig flüssiges Metall ausfließt und dass der Phosphorgehalt dieser flüssigen Aussaigerung erheblich grösser ist als der durchschnittliche des ganzen Stückes. Seither wurde diese Beobachtung vielfach bestätigt.

Im Jahre 1870 unterwarf Stead²⁾ Cleveland-Roheisen, nachdem es fast ganz erstarrt war, dem Druck einer hydraulischen Presse, wobei eine kleine Menge flüssiges Metall ausgepresst wurde. Die Analyse ergab für das ursprüngliche Metall und die Aussaigerung folgende Zusammensetzung:

| | Ursprüngliches Metall | Aussaigerung |
|-----------------------|--------------------------|--------------|
| Kohlenstoff | 3,00 | 1,75 |
| Mangan | 0,35 | 0,29 |
| Silicium | 1,63 | 0,79 |
| Schwefel | 0,12 | 0,06 |
| Phosphor | 1,53 | 6,84 |

1) „On the Liquation of Phosphides from Solidifying Cast Iron“. In Percy's Metallurgy of Iron and Steel, 1864, p. 64.

2) Journ. Cleveland Inst. of Eng. 1875—76.

Osmond¹⁾ hat in phosphorhaltigem Roheisen von folgender Zusammensetzung:

| | |
|------------------------------|--------|
| Graphit | 1,50 ‰ |
| gebundener Kohlenstoff . . . | 1,20 „ |
| Mangan | 0,74 „ |
| Silicium | 1,89 „ |
| Schwefel | 0,03 „ |
| Phosphor | 1,98 „ |

einen kritischen Punkt in der Nähe von 900° gefunden,²⁾ der nur in phosphorhaltigem Roheisen auftritt, und der nach Lencau-chez³⁾ mit dem Auftreten einer leichtschmelzbaren, phosphorreichen Legierung zusammenhängt. Er erhielt bei 100 stündigem Erhitzen von Longwy-Eisen in reduzierender Atmosphäre auf 950° C. an der Oberfläche desselben zahlreiche, kleine, schrottförmige Metalltröpfchen, die teilweise zusammengefließen und an den Boden des Gefäßes geronnen waren, von folgender Zusammensetzung:

| | Metalltröpfchen | | Ausgeschmolzenes Metall am Boden | |
|------------------------|-----------------|------|-------------------------------------|------|
| | 1 | 2 | 1 | 2 |
| geb. Kohlenstoff . . . | 1,24 | — | 0,90 | — |
| Graphit | 0,75 | Spur | 1,50 | 1,50 |
| Silicium | 0,82 | 0,63 | 1,41 | 2,17 |
| Phosphor | 5,45 | 6,00 | 4,48 | 4,40 |

Vor dem Erhitzen enthielt das Metall:

| | |
|-----------------------|--------|
| Kohlenstoff | 3,50 ‰ |
| Silicium | 2,60 „ |
| Phosphor | 1,90 „ |

Die Zusammensetzung der Metalltröpfchen entspricht genau jener der von Stead durch Auspressen erhaltenen Masse.

Stead hat die Osmond'schen Untersuchungen sorgfältig wiederholt und fand gleichfalls, dass Cleveland-Roheisen, wenn es von einer über dem Schmelzpunkte liegenden Temperatur langsam abgekühlt wird, bei etwa 900° C. einen kritischen Punkt besitzt. Da die eutektische Legierung von Phosphor und reinem Eisen bei etwa 980° C. erstarrt, muss hier offenbar eine andere eutektische Legierung vorliegen.

1) „Etudes métallurgiques.“ — Ann. des Mines 1888, Juli—August.

2) Siehe II. Teil dieses Buches, S. 72.

3) Mémoires de la Société des Ing. Civiles, Mai 1887.

Schmilzt man etwas von der eutektischen Eisen-Phosphorlegierung mit Eisencarbid zusammen, so erstarrt die so gebildete eutektische Legierung bei 910°C . Ein ähnliches Resultat erhält man bei der Abkühlung einer geschmolzenen Mischung von siliciumhaltigem Roheisen mit der reinen eutektischen Legierung.

Leopold Schneider¹⁾ gelang es, das freie Eisenphosphid aus phosphorhaltigem Roheisen durch Lösen desselben in Kupferchlorid zu isolieren. Seine Zusammensetzung entsprach der Formel Fe_3P . — Stead hat graues Clevelandroheisen mit 1,56% Phosphor in verdünnter Säure gelöst. Aus dem Rückstande, der Graphit, die Zersetzungsprodukte des in fester Lösung befindlichen Phosphides, die eutektische Legierung und Eisencarbid enthielt, wurden letztere beiden Körper mittels eines Magnets entfernt. Dieser am Magnet haftende Teil wurde zur Zersetzung des freien Eisencarbides mit Kupferchlorid behandelt, und aus dem Rückstande die eutektische Phosphidlegierung mit dem Magnet extrahiert. Die Untersuchung eines kleinen Teiles desselben ergab einen Gehalt von 0,70% Silicium. Um das lösliche freie Eisen und das Eisensilicid zu entfernen, wurde eine zweite Partie dieses Materiales in einer Achatschale zerrieben und mit Salpetersäure von 1,20 spez. Gew. behandelt. Der Rückstand enthielt 15,1% Phosphor (statt 15,56%), kann also als nahezu reines Phosphid betrachtet werden.

Eine eingehende Untersuchung der im Roheisen auftretenden eutektischen Legierungen wäre wünschenswert.

Es war nun interessant zu untersuchen, ob diese eutektische Phosphidlegierung im Roheisen auch mittels des Mikroskopes aufzufinden sei. Thatsächlich haben die von Osmond und Stead unabhängig voneinander durchgeführten Untersuchungen ergeben, dass das schon von einem Phosphorgehalte des grauen Roheisens von 0,03% angefangen möglich sei.

In grauem Roheisen, das keine massigen Cementitabscheidungen enthält, genügt zu diesem Zwecke schon eine einfache Ätzung mit Säure.

Wenn graues phosphorhaltiges Roheisen erstarrt, scheiden sich die dicken Blättchen und halbkugelförmigen Schalen von Graphit zuerst aus der Lösung aus, während das übrige Metall

1) Siehe Teil I, S. 220.

im plastischen Zustande zurückbleibt. Bei der weiteren Abkühlung wird auch dieses — an den Flächen der Graphitabscheidungen beginnend — erstarren. Diese Erstarrung erfolgt jedoch nicht auf einmal. Die Hauptmenge des Eisens und Mangans mit dem Silicium wird zuerst auskrystallisieren, wobei sie die noch flüssig bleibende phosphorhaltige eutektische Legierung vor sich her treibt, so dass diese schliesslich in unregelmässig geformten Hohlräumen eingeschlossen sein wird, wo sie bei weiterer Abkühlung unter Zerfall in ihre zwei Komponenten gleichfalls erstarrt.

Hieraus ergibt sich, dass diese unregelmässig gestalteten eutektischen Massen zwischen den Graphitblättchen, und zwar in einer gewissen Entfernung von diesen gefunden werden müssen, und dies ist auch thatsächlich bei dem grössten Teile derselben der Fall.

Die Fig. 19, Tafel VII und 20, Tafel VIII zeigen dieses Verhalten. Sie beziehen sich auf zwei Roheisensorten von folgender Zusammensetzung:

| Bestandteile | Zusammensetzung des Roheisens zu | |
|--|----------------------------------|----------|
| | Fig. 19. | Fig. 20. |
| gebundener Kohlenstoff | 0,12 | 0,25 |
| Graphit | 3,59 | 3,86 |
| Mangan | 0,69 | 0,76 |
| Silicium | 2,76 | 2,83 |
| Schwefel | 0,05 | 0,04 |
| Phosphor | 1,49 | 0,04 |
| demselben entspricht Fe_3P | 9,50 | 0,25 |
| P in fester Lösung | 0,29 | 0,03 |

Die unregelmässigen weissen Flächen in der Mitte dieser Figuren sind die phosphidhaltigen eutektischen Legierungen.

Wird das Hämatitroheisen so stark geätzt, dass die Grundmasse dunkel erscheint, so bildet das Phosphid bei vertikaler Beleuchtung ein Relief, das ähnlich glänzend erscheint wie die Sterne am klaren Mondhimmel. Die Zahl und Grösse dieser Phosphidabscheidungen hängt vom Phosphorgehalt und der Schnelligkeit der Abkühlung ab: bei rascher Abkühlung ist ihre Anzahl grösser, während bei langsamer Abkühlung desselben Materiales sich ihre Zahl verringert, die Abscheidungen aber an Masse zunehmen.



Fig 20.
Hämatit-Roh-
eisen.
(Zeigt in der
Mitte Eisen-
phosphid, um-
geben von
Graphit-
blättchen.)

$\frac{250}{1}$



Fig. 21.
Weisses
Clarence-
Roheisen mit
Jod geätzt.
(Eisencarbid,
Phosphid
und Perlit).

$\frac{250}{1}$

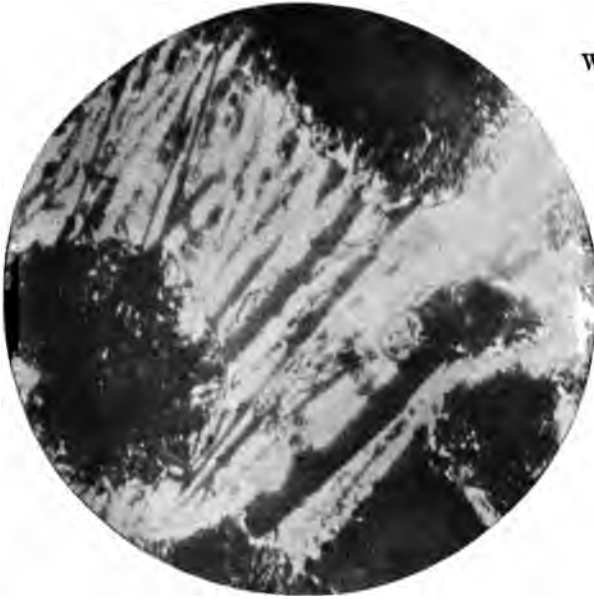


Fig. 22.

Weisses Clarence-Roh-
eisen, erst mit Jod
geätzt, dann anlaufen
gelassen.

(Dunkler und
unregelmässig
begrenzte
Partien = Perlit;
dunkel- und hell-
gestreifte Flächen
in der Mitte =
eutektische Phos-
phid-Legierung; der
dunkle, schärfer be-
grenzte Fleck ist
Cementit.)

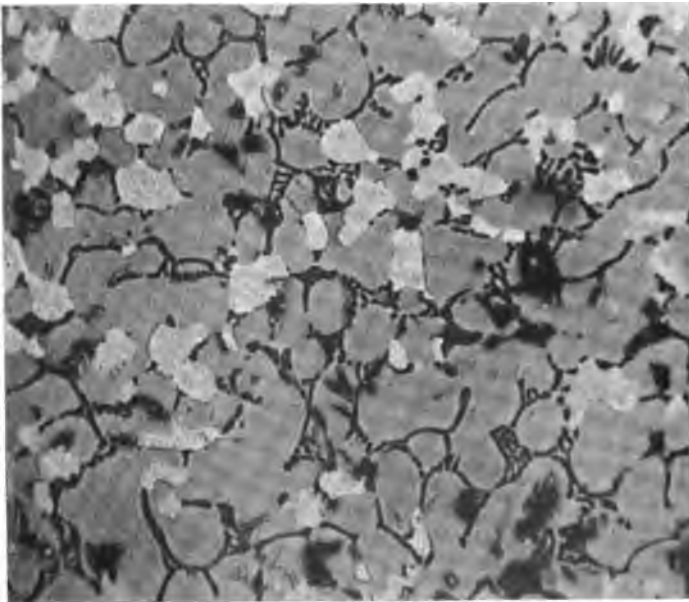


Fig. 23. Vergrößerung 650 linear.

In grauem Roheisen ist die Menge dieser eutektischen Legierung annähernd dem Phosphorgehalte proportional, so dass sich der Phosphorgehalt auf diese Weise schätzen lässt.

Wenn das Metall sehr langsam erkaltete, und wenn dasselbe wenig Silicium, aber grössere Mengen gebundenen Kohlenstoff enthält, so bildet der letztere Ausscheidungen von Cementit oder Eisencarbid, die aber im Gegensatze zum Phosphid in unmittelbarer Nachbarschaft der Graphitblättchen auftreten, während die eutektische Phosphidlegierung getrennt vom Carbid und möglichst weit von den Graphitblättchen erscheint.

Bei weissem phosphorhaltigen Roheisen ist die Beurteilung weniger leicht. Die Gegenwart grosser Mengen von Eisencarbid macht es hier unmöglich, bei Anwendung der gewöhnlichen Ätzmethode zu entscheiden, welche Partien Phosphid und welche Carbid sind. Man muss daher hier die Anlauffarben zu Hilfe nehmen.

Erhitzt man hierbei so lange, bis der Perlit blau erscheint, so nimmt der Cementit eine rote, das Phosphid aber eine gelbe Farbe an. Es ist dann leicht, diese Bestandteile zu unterscheiden und die Berührungslinien zwischen der eutektischen Legierung und dem Carbid zu erkennen. Noch besser ist es, zuerst mit Jodtinktur zu ätzen, bis der Perlit dunkel erscheint, und das Stück nach Abwischen mit einem reinen Leinenlappen so lange als nötig zu erhitzen. Der Perlit erscheint bei dieser Behandlung dunkel. Soll das Bild photographiert werden, so empfiehlt es sich, nur so lange zu erhitzen, bis der Cementit eine gelbliche Farbe angenommen hat, während das Phosphid ganz weiss bleibt. Bei Anwendung isochromatischer Platten erscheint das Phosphid weiss, das Carbid im Halbton, der Perlit aber dunkel.

Fig. 21, Tafel VIII und 22, Tafel IX zeigen das mikroskopische Gefüge von weissem Clarence-Roheisen nach dem Ätzen mit Jodtinktur, sowie nach dem Anlaufenlassen in der oben beschriebenen Weise.

Phosphorhaltiges Roheisen ist weniger brüchig, als nach seinem Phosphorgehalte zu erwarten wäre, weil die eutektische Legierung isolierte Ausscheidungen bildet und nicht die einzelnen Metallkörner einhüllt. Wenn der Phosphorgehalt 1,7% nicht überschreitet, ist das Metall verhältnismässig fest. Steigt der Phosphorgehalt jedoch noch um 0,3%, so verringert sich die Festig-

keit des Materiales bedeutend, weil sich dann die brüchigen Partien der eutektischen Legierung so sehr einander nähern, dass nur wenig feste Grundmasse dazwischen bleibt.

4. Diffusion des Eisenphosphides im Eisen.

J. O. Arnold und Mac William haben gezeigt,¹⁾ dass das Eisenphosphid in einem Eisen mit 1,36% Phosphor in reines Eisen diffundiert, wenn sich beide Metalle innig berühren und im Vacuum 10 Stunden lang auf 100° C. erhitzt werden.

Die Diffusionsgeschwindigkeiten von Phosphor und Eisen verhalten sich ungefähr wie 5:1.

Diese Beobachtungen wurden von Stead vollkommen bestätigt.

Auch nach A. Carnot ist der Phosphor in den gewöhnlichen Eisensorten als Fe_3P zugegen.

SIEBENTES KAPITEL.

Verhalten des Eisens gegen andere Elemente. (Schwefel.)

Nach den Studien von A. Carnot²⁾ lassen sich die im Eisen enthaltenen Schwefelverbindungen durch Behandeln des Metalles mit nahezu neutraler Kupfer-Kalium-Choridlösung isolieren. Bei dieser Behandlung findet sich der ganze vorhandene Schwefel im Rückstande. Selten ist der Schwefel in diesem Rückstande als FeS , häufiger als Kupfersulfur vorhanden, doch liess sich nachweisen, dass letzteres erst durch Zersetzung einer entsprechenden Menge von MnS durch das kupferhaltige Reagens entstanden war.

Im Eisen selbst tritt der Schwefel mit Vorliebe als MnS auf, doch erscheint ein Schwefelüberschuss als FeS .

Der Zustand, in welchem sich der Schwefel im Eisen befindet, wird durch Härten nicht geändert.

1) „The physical Influence of Elements of Iron.“ Journ. Iron Steel Inst. 1894, I, p. 107.

2) l. c.

Von besonderer Wichtigkeit ist eine Studie von H. Le Chatelier und Ziegler¹⁾ über die Beziehungen des Schwefels zu Eisen und Mangan, welche hier näher besprochen werden muss.

In der Natur findet sich häufig krystallisiertes Schwefeleisen, FeS_2 , das unter dem Namen Schwefelkies oder Pyrit bekannt ist. Unter dem Einflusse der Wärme verliert diese Verbindung bei ziemlich niederer, weit unter dem Schmelzpunkte des Eisens liegender Temperatur die Hälfte seines Schwefels. Es ist daher wenig Aussicht vorhanden, diese Verbindung in geschmolzenen metallurgischen Produkten anzutreffen, und thatsächlich wurde auch nie ein Anzeichen gefunden, welches auf seine Gegenwart in Metallen hingewiesen hätte.

Künstlich erhält man durch Zusammenschmelzen von Schwefel oder Pyrit mit metallischem Eisen ein krystallinisches Schwefeleisen, das in den Laboratorien zur Darstellung von Schwefelwasserstoff dient und das gewöhnlich als FeS angesehen wird. Man hat auch vermutet, dass es möglich sei, ein Schwefeleisen, mit noch geringerem Schwefelgehalte darzustellen, doch hat man es hier nur mit Gemengen von FeS mit metallischem Eisen zu thun.

Die Zusammensetzung des künstlichen geschmolzenen Schwefeleisens weicht beträchtlich von FeS ab. Sie ist jedoch wenig schwankend und weicht kaum von dem Verhältnisse 0,8 Äquivalent Schwefel auf 1 Äquivalent Eisen ab.

Die mikroskopische Untersuchung dieses Körpers liess drei Formelemente unterscheiden:

1. Gelbe Körner, die den vorherrschenden Bestandteil bilden und aus Schwefeleisen bestehen.

2. Glänzende Partien mit starkem Metallglanz und weisser Farbe, ganz wie Eisen aussehend. In einer Kupfervitriollösung bedecken sie sich sofort mit Kupfer und sind thatsächlich metallisches Eisen.

3. Zwischen den gelben Partien und oft die Eisenkörner umgebend, findet sich ein aus sehr zarten, abwechselnden Lamellen aufgebauter Körper, der ganz die gewöhnliche Struktur

1) „Sulfur de Fer, ses propriétés et son état dans le fer fondu“. (Bull. Soc. d'Encour. September 1902.)

eutektischer Gemenge zeigt. Der eine Bestandteil dieses Gemenges ist das gelbe FeS , der andere ist eine graue Masse, deren Farbe an Schlacken erinnert, wie sie sich oft im Eisen und Stahl eingelagert finden. Die Untersuchungen Le Chateliers und Zieglers haben sie auch als solche erwiesen.

Fig. 23 Tafel IX und 24, Tafel X, zeigen das Gefüge bei 650facher Vergrößerung, wie man es durch einfaches Polieren von geschmolzenem Schwefeleisen erhält. Die hellen Stellen entsprechen dem Eisen, die grauen dem FeS und die schwarzen Flecken Verletzungen oder kleinen Blasen. Das eutektische Gemenge ist zwischen den gelben Körnern mehr oder weniger leicht zu erkennen.

Fig. 25, Tafel X, giebt bei gleicher Vergrößerung ein etwas anders gestaltetes eutektisches Gemenge, wie es bei sehr langsamer Abkühlung der Masse gebildet wird.

Das gewöhnliche Schwefeleisen schmilzt bei etwa $950^{\circ}C$. zu einer beweglichen Flüssigkeit. Bei der Erstarrung entwickelt sich gewöhnlich etwas Gas und nach völliger Erstarrung tritt eine beträchtliche Kontraktion ein, welche $\frac{1}{10}$ des Flüssigkeitsvolums erreichen kann. Diese Gasentwicklung und Volumsverminderung ist die Ursache der zahlreichen Hohlräume, die im erstarrten Schwefeleisen auftreten.

Schmilzt man das Schwefeleisen unter einer Decke von Alkalisalz — um die Oxydation zu verhindern —, so erhält man nach dem Erstarren einen Kuchen, der an feuchter Luft langsam, bei Berührung mit Wasser schnell zu Pulver zerfällt. Die Ursache dieser Erscheinung ist eine hierbei auftretende dimorphe Zustandsänderung. Das Zerfallen des Schwefeleisens ist von einer langsamen Oxydation gefolgt, die sich in einer Gewichtszunahme äußert, wie folgende Zahlen zeigen:

Gewichtszunahme in Prozent

| | | | | | | |
|-------------------|------|------|------|------|------|------|
| Tage | 3 | 5 | 10 | 20 | 29 | 40 |
| Gewichtszunahme % | 2,77 | 4,41 | 5,65 | 6,96 | 7,70 | 8,44 |

Hierbei bildet sich der Hauptsache nach ein Gemenge von Fe_2O_3 und Schwefel, doch auch etwas Eisensulfat u. s. w.

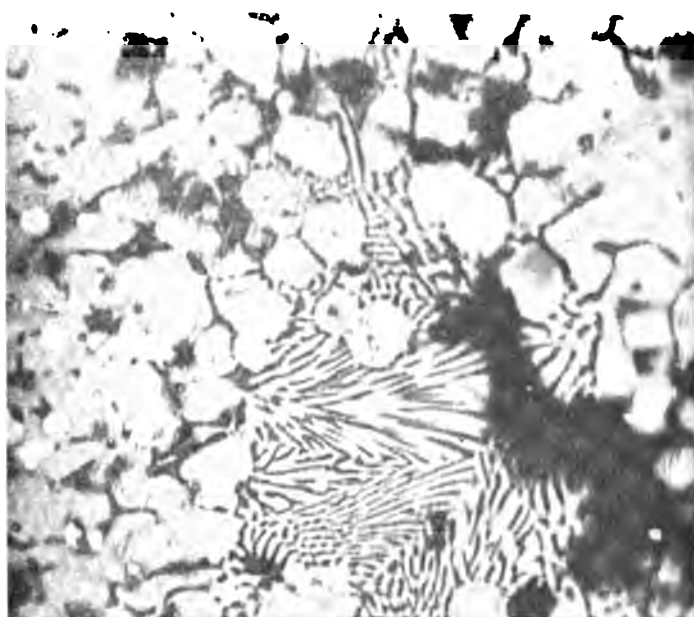


Fig. 24. Vergrößerung 650 linear.

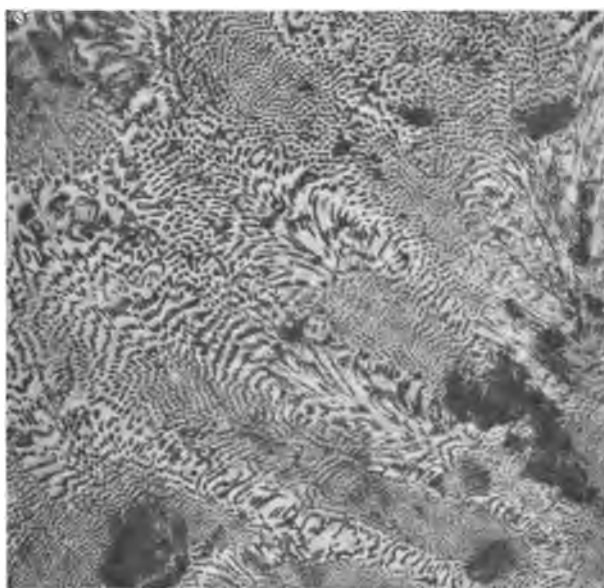


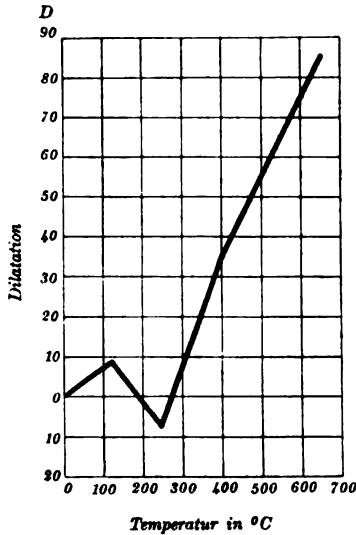
Fig. 25. Vergrößerung 650 linear.

Die thermische Ausdehnung des Schwefeleisens im grossen ganzen ergibt sich aus Fig. 26 und aus folgender Zusammenstellung:

Verlängerung in Prozenten der ursprünglichen Länge.

| | | | | | | |
|----------------|------|------|--------|------|------|------|
| Temperatur . . | 120 | 190 | 240 | 265 | 400 | 650 |
| Verlängerung . | 0,09 | 0,00 | — 0,06 | 0,00 | 0,35 | 0,85 |

Fig. 26.



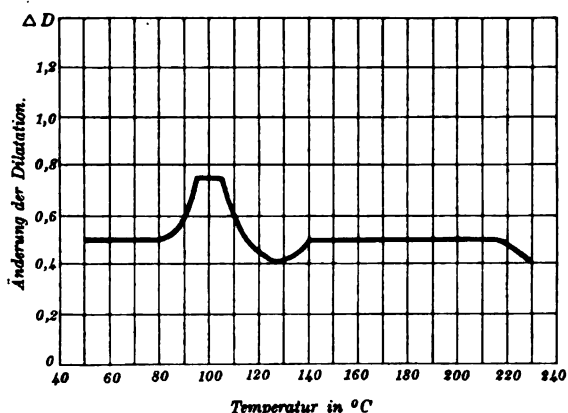
Man sieht, dass zwischen 100° und 200° eine Störung in der Ausdehnung eintritt, welche auf die Existenz einer dimorphen Zustandsänderung hinweist. Mit jeder Wiederholung des Versuchs ändert sich aber der Wert der in diesem Temperaturintervalle auftretenden Kontraktion und schliesslich zerbricht das Material in mehrere Stücke. Die fragliche Kontraktion ist somit die Resultierende aus einer umkehrbaren Volumsänderung und aus permanenten, durch das Auftreten kleiner Risse verursachten Volumsänderungen.

Um die Umwandlungstemperatur genau zu bestimmen, wurden die Messungen mittels eines Dilatometers mit Vaselineölfüllung wiederholt, wobei man die aus Fig. 27 ersichtlichen Werte für die Änderung der scheinbaren Ausdehnung erhielt. (Das Schwefeleisen wurde als Pulver verwendet). Es zeigten sich hierbei zwei

Störungen: eine zwischen 100° und 120° , die zweite oberhalb 220° , was auf zwei Umwandlungspunkte hinweist, doch verhinderten die Veränderungen des Öles oberhalb 200° das genaue Studium dieser zweiten Störung.

Die ersterwähnte Transformation zeigt sich auch aus der Änderung der Leitfähigkeit, während die zweite hierauf keine Einwirkung ausübt.

Fig. 27.



Bei erhöhter Temperatur verliert das Schwefeleisen Schwefel, und zwar um so mehr, je höher seine Temperatur steigt. So erhielt man beim Erhitzen von Pyrit (FeS_2) in einem geschlossenen Porzellantiegel mit Luftabschluss Massen von folgender Zusammensetzung:

| | auf 1200° erhitzt | auf 1500° erhitzt |
|---------------------------------|----------------------------|----------------------------|
| Eisen | 61,5 % | 79 % |
| Schwefel | 35,5 „ | 21,7 „ |
| unlöslicher Rückstand | 3,6 „ | 0,3 „ |
| | <u>100,6 %</u> | <u>101,0 %</u> |
| Atomverhältnis zwischen | | |
| Eisen und Schwefel | $FeS_{1,01}$ | $FeS_{0,48}$ |

Der beim Erhitzen auf 1200° erhaltene Körper, der ganz genau dem Monosulfide FeS entspricht, zeigt sich unter dem Mikroskop fast ausschliesslich aus grossen gelben Zellen aufgebaut, und nur stellenweise lassen sich einige Körner von metallischem Eisen erkennen (Fig. 28, Tafel XI). Mit wachsender Temperatur entstehen schwefelärmere Produkte, die früher als Halbschwefeleisen beschrieben

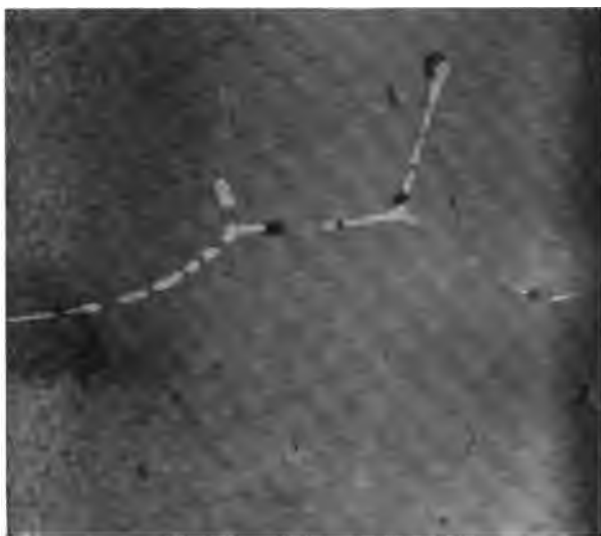


Fig. 28. Vergrößerung 650 linear.

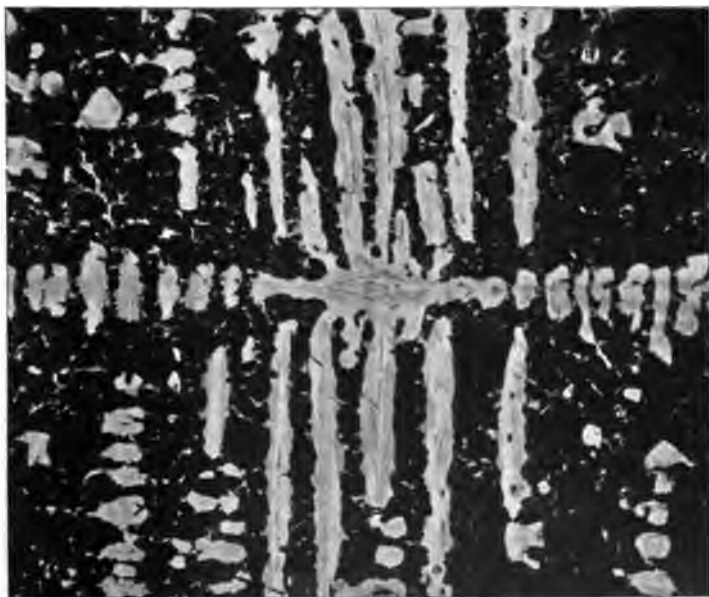


Fig. 29. Vergrößerung 125 linear.

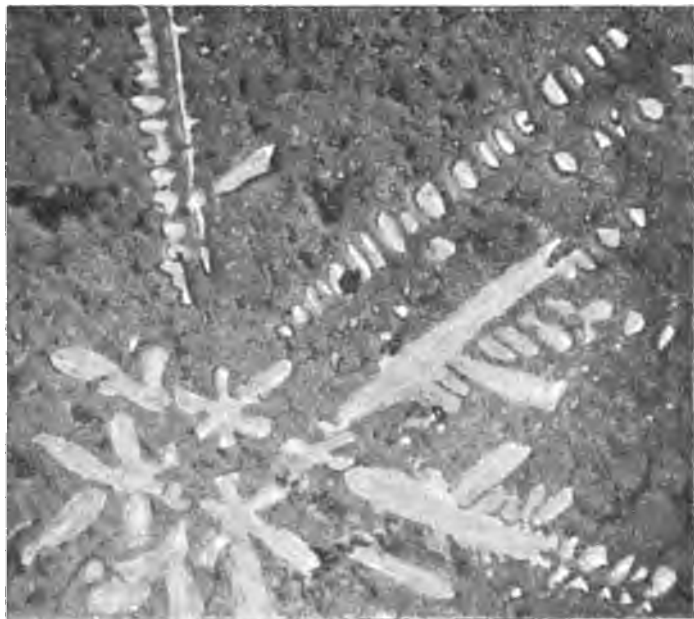


Fig. 30. Vergrößerung 125 linear.

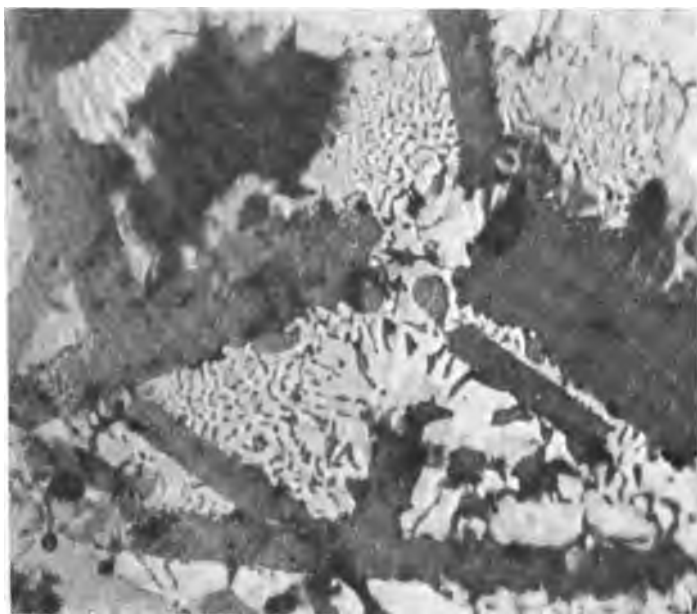


Fig. 31. Vergrößerung 650 linear.

1

wurden; doch zeigt die mikroskopische Untersuchung, dass sie aus einem Gemenge von FeS mit wachsenden Mengen metallischem Eisen bestehen. Diese Massen sind jedoch von besonderem Interesse, weil in denselben das Eisen krystallisiert in häufig wohl orientierten Tendriten erscheint (Fig. 29 Tafel XI und 30, Tafel XII). Auffallend ist die anscheinend hexagonale Symmetrie dieser Krystalle, wie sie sich in Fig. 30, Tafel XII, darstellt, was darauf hinzudeuten scheint, dass dieses Metall in seinem bei hohen Temperaturen stabilen Zustande in diesem System, und nicht im regulären krystallisiert. Offenbar ist übrigens das Eisen der beim Erstarren zuerst abgeschiedene Gemengteil. Gleichzeitig ergab die mikroskopische Untersuchung, dass sich im hoch erhitzten Schwefeleisen das eutektische Gemenge immer mehr verringert, und dass bei 1500° nahezu nichts mehr davon vorhanden ist.

Erhitzt man Schwefeleisen an der Luft, so entweicht SO_2 , während gleichzeitig FeO gebildet wird. Wahrscheinlich bildet letzteres den früher beschriebenen grauen Bestandteil des eutektischen Gemenges. Um hierüber Klarheit zu erhalten, wurde Schwefeleisen längere Zeit (etwa 2 Stunden lang) an der Luft auf verschiedene Temperaturen erhitzt, und die erhaltene Masse mit Brom behandelt, wobei ein beträchtlicher, hauptsächlich aus Eisenoxyd bestehender Rückstand verblieb, wie folgendes Beispiel zeigt:

| | |
|---------------------------------|---------|
| Schwefel | 10,61 % |
| Eisen | 27,89 „ |
| unlöslicher Rückstand | 61,24 „ |
| | <hr/> |
| | 99,74 % |

Die mikroskopische Untersuchung ergab, dass in dieser Masse das eutektische Gemenge weit stärker entwickelt war als im ursprünglichen Schwefeleisen. Ausserdem aber zeigten sich grosse längliche graue Krystalle, welche dem grauen Bestandteile des eutektischen Gemenges vollkommen ähnlich sind (Fig. 31, Tafel XII). Diese Beobachtung zeigt, dass FeS und FeO nebeneinander existieren können und giebt eine sehr einfache Erklärung der Konstitution des eutektischen Gemenges.

Allerdings taucht hierbei eine Schwierigkeit auf, die bisher nicht ganz behoben werden konnte. Beim Behandeln des rohen Schwefeleisens mit Kupfervitriol lagert sich auch auf den grauen Partien des eutektischen Gemenges Kupfer ab, wenn auch langsam und in geringeren Mengen als am Eisen. Dies tritt aber auf Eisenoxydul nicht ein. Möglicherweise ist diese graue Masse

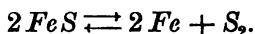
nicht homogen; aber wenn hier ein eutektisches Gemenge von Eisen und Eisenoxydul regelmässig gebildet werden sollte, so müssten die Bestandteile desselben so klein sein, dass sie unter dem Mikroskop nicht unterschieden werden können. Lässt man diese Erklärung nicht gelten, so müsste man annehmen, dass diese graue Masse eine feste Lösung von metallischem Eisen und Eisenoxydul sei.

Schmilzt man gewöhnliches Schwefeleisen in einem Strome trockenen Wasserstoffgases, so wird das Schwefeleisen nicht angegriffen, das Eisenoxyd aber reduziert.¹⁾ Bei dieser Behandlung gelingt es, das eutektische Gemenge fast vollständig zum Verschwinden zu bringen, womit wenigstens indirekt der Beweis erbracht ist, dass die fragliche graue Masse grösstenteils, wenn nicht gänzlich, aus Oxyd besteht. Fig. 32, Tafel XIII, stellt ein derartiges Präparat dar, das aus dem in Fig. 23 abgebildeten gewöhnlichen Schwefeleisen erhalten wurde. Die dunklen Partien scheinen Anhäufungen von Eisenkörnern zu entsprechen, die beim Polieren ausgefallen waren, so dass statt derselben Hohlräume zurückblieben, die in der Photographie schwarz erscheinen.

Im geschmolzenen Schwefeleisen treten zufolge seiner komplexen Konstitution eine Reihe von sehr interessanten Gleichgewichtserscheinungen auf, die — wenn auch noch nicht vollständig studiert — doch eine kurze Erwähnung verdienen.

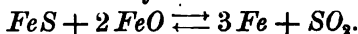
Die verschiedenen hier in Betracht kommenden Reaktionen sind folgende:

1. Dissociation des Schwefeleisens:



Die Reaktion absorbiert pro 64 g gasförmigen Schwefel in dem Polymerisationszustande, welcher einer unter 500° C. liegenden Temperatur entspricht, 26 Kalorien. Da nun bei 1000° die Depolymerisation nahezu vollständig ist, und weil die Dissociationswärme um jene der Depolymerisation des Schwefels vermehrt wird, können wir die erstere — in Ermangelung genauerer Angaben — mit 30 Kalorien für 2 Mole FeS annehmen.

2. Reaktion zwischen Oxydul und Sulfid:



Hierbei werden 94 Kalorien absorbiert.

1) Hierbei kann jedoch eine Einwirkung des Oxydes auf das Sulfid eintreten.

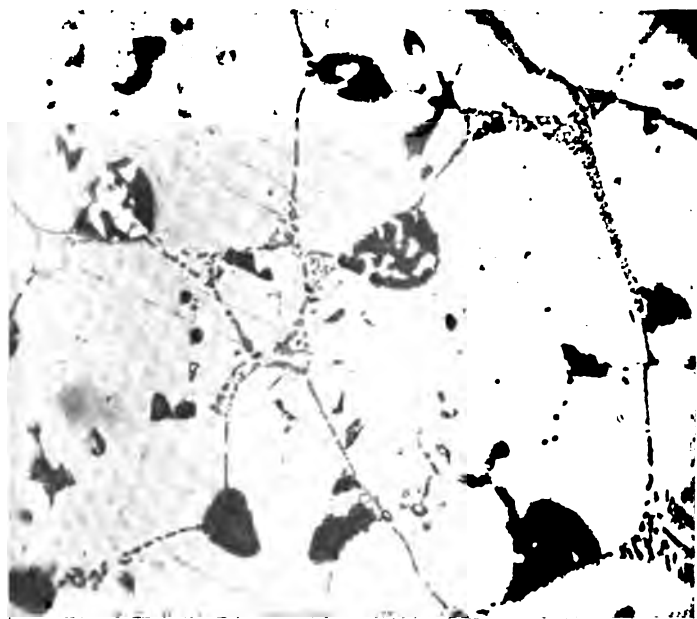


Fig. 32. Vergrößerung 650 linear.

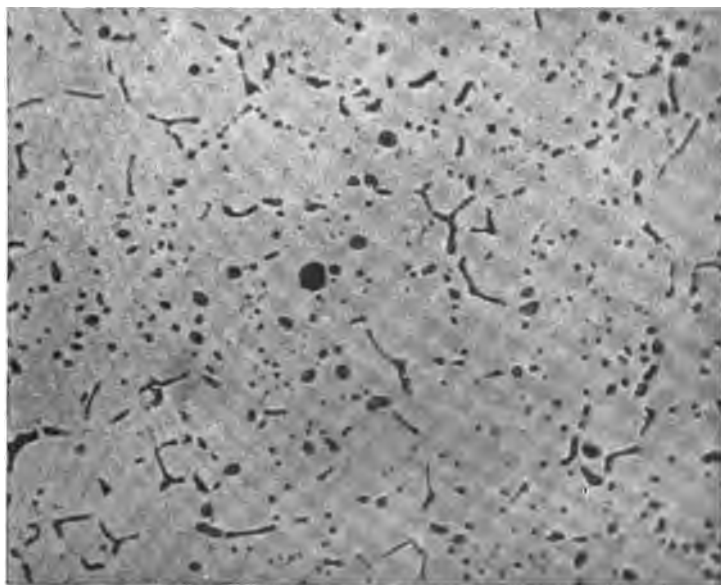


Fig. 33. Vergrößerung 125 linear.

3. Sättigungsgleichgewicht zwischen Eisen, Schwefeleisen und Eisenoxydul in Berührung mit der geschmolzenen Mischung.

Wir wollen in Kürze die Erscheinungen betrachten, welche diese verschiedenen Gleichgewichte verursachen.

1. Dissociation des Schwefeleisens. Bei Temperaturen unter dem Schmelzpunkte wird der Schwefeldampf für jede Temperatur eine bestimmte Dampfspannung besitzen, und diese wird mit der Temperatur wachsen.

Nun hat H. Le Chatelier gezeigt, dass der Quotient aus Dissociationswärme und absoluter Temperatur bei Atmosphärendruck konstant, und zwar dass $\frac{L}{T} = 0,024$ ist. Hieraus folgt, dass

(wenn die Dissociationswärme zu 30 Kalorien angenommen wird) die Temperatur, bei welcher die Dampfspannung des Schwefels 1 Atm. erreicht, in der Nähe von 1000°, also nur wenig höher als der Schmelzpunkt liegen muss. Beim Schmelzpunkte wird also die Tension des Schwefels schon einen beträchtlichen Wert erreichen, und es muss somit möglich sein, durch Erhitzen des festen Sulfides im leeren Raume auf etwa 900° C. vollständige Zersetzung zu erzielen. Da die Konstanz von $\frac{L}{T}$ nur annäherungsweise zutrifft, kann man auf diese Weise die Dissociationstemperatur nur auf etwa 100° genau berechnen, doch genügt dies, um zu zeigen, dass die Dampfspannung des Schwefels schon unter dem Schmelzpunkte des Sulfides beträchtlich sein muss.

Oberhalb des Schmelzpunktes von Schwefeleisen ist das Dissociationsgesetz ein anderes. Die Spannungen sind hier nicht mehr für eine gegebene Temperatur konstant, sondern sie ändern sich mit den relativen Mengen von Schwefel und Eisen, die in den geschmolzenen Massen in gegenseitiger Lösung enthalten sind.

Bezeichnen wir die Dampfspannung des Schwefels mit f , die Konzentrationen des Sulfides und des Eisens in der Schmelze mit C_s und C_{f_s} , so gilt für konstante Temperatur die Gleichung:

$$f = K \frac{C_s}{C_{f_s}}.$$

Hierin ist K eine Funktion der Temperatur, die mit letzterer rasch wächst.

Betrachten wir nun das feste Sulfid mit oder ohne Beimengung von Eisen. Hier wird die Dissociationsspannung regel-

mässig mit der Temperatur wachsen und von den bereits dissociierten Mengen unabhängig sein. Bei einer gegebenen Temperatur wird also die Zerlegung in Eisen und Schwefeldampf Null sein, wenn die Spannung in der umgebenden Gasphase grösser als die Dissociationsspannung ist, sie wird hingegen vollständig sein, wenn letztere kleiner ist als die Dissociationsspannung.

Im Augenblicke des beginnenden Schmelzens wird eine kleine Menge flüssiger Masse von der Zusammensetzung der eutektischen Schmelze (Schwefeleisen und Eisen) vorhanden sein. Die Dampftension dieser Schmelze wird natürlich gleich jener des damit in Berührung stehenden festen Sulfides sein. Mit steigender Temperatur werden sich neue Mengen des Schwefeleisens in der vorhandenen Schmelze lösen; aber so lange nicht alles Schwefeleisen geschmolzen ist, wird die Tension konstant und zwar gleich jener des festen Schwefeleisens bleiben. Bei genügend niederem Druck schreitet somit die Zersetzung weiter fort, doch entsteht jetzt nicht mehr metallisches Eisen, sondern eine geschmolzene Mischung, deren Zusammensetzung dem Gleichgewichte mit dem festen Schwefeleisen bei der gegebenen Temperatur entspricht.

Sobald das ganze Schwefeleisen geschmolzen ist, ändert sich das Gesetz des Gleichgewichtes, indem nur bei konstanter Temperatur die Tension von dem Verhältnisse zwischen Eisen und Schwefeleisen in der geschmolzenen Masse abhängig ist. Es muss jetzt — wenn die Dissociationsspannung nicht Null sein soll — freies Eisen in der Schmelze enthalten sein, und wirklich wird auch für $C_s = 0$ in der früher gegebenen Gleichung $C_s = \infty$. Dies ist die Ursache, warum durch Schmelzen erhaltenes Schwefeleisen stets einen Überschuss an Eisen enthalten muss.

2. Gleichgewicht zwischen Eisenoxydul und Schwefeleisen. Beim Schmelzen des Schwefeleisens in Luft ist das Auftreten von Eisenoxydul in der Schmelze unvermeidlich.

Unterhalb des Schmelzpunktes wird für eine gegebene Temperatur die Tension von SO_2 ebenfalls konstant sein. Bei Temperaturen oberhalb des Schmelzpunktes wird (aus dem nämlichen Grunde wie bei der Dissociation des Schwefeleisens) das Gleichgewicht einem ganz anderen Gesetze folgen. Es wird auch hier für eine gegebene Temperatur die SO_2 -Tension von dem Verhältnisse zwischen Schwefeleisen und Eisenoxydul in der Schmelze

abhängen; aber — und das ist ein sehr wichtiger Unterschied — es wird hierbei nicht mehr der Quotient, sondern das Produkt beider Konzentrationen in Betracht kommen. Wir haben nämlich jetzt:

$$f' = K' \cdot C \cdot C_o^2,$$

worin C die Konzentration des Sulfures, C_o aber jene des Oxyduls in der Schmelze darstellt.

Aus dieser Gleichung ergibt sich, dass wir in der Nähe des Schmelzpunktes (reines Schwefeleisen vorausgesetzt) für die SO_2 -Spannung Null erhalten, was ja leicht verständlich ist, da sich bei Abwesenheit von Oxydul kein SO_2 bilden kann. Andererseits werden wir für eine gegebene Temperatur das Dissociationsmaximum haben, wenn

$$C_o = 2 C_s$$

ist, d. h. wenn zweimal so viel Schwefeleisen als Oxydul vorhanden ist.

Nehmen wir eine an der Luft oxydierte geschmolzene Mischung, in welcher aber die Menge des geschmolzenen Oxyduls nicht hinreichen möge, um die SO_2 -Tension höher als 1 Atm. zu machen. Dieses System wird stabil sein. Lassen wir es nun erkalten und erstarren, so wird sich gewöhnlich zuerst eine an Schwefeleisen reiche Mischung im festen Zustande abscheiden und der flüssig bleibende Rest wird sich demzufolge an Oxydul anreichern. Unter diesen Umständen muss die SO_2 -Tension wachsen und wird endlich grösser als 1 Atm. werden. Es wird sich also SO_2 entwickeln, welche durch die Klüfte in der bereits erstarrten Masse entweicht, während die inneren Partien der Masse noch flüssig bleiben. Es entsteht so die bekannte Erscheinung des Spratzens, die tatsächlich beim Erstarren wenig oxydierten geschmolzenen Schwefeleisens auftritt.

Mit steigender Temperatur wächst auch die Konstante K' rasch. Hieraus ergibt sich, dass sich die Menge des in der Schmelze zurückbleibenden Oxydes und somit auch jene des eutektischen Gemenges um so stärker verringern muss, auf je höhere Temperatur das geschmolzene Schwefeleisen erhitzt wird und dies stimmt ganz mit den Beobachtungen (bei 1500°C.) überein.

3. Sättigungsgleichgewicht der geschmolzenen Körper. Bei der Abkühlung einer Schmelze von Schwefeleisen, Eisenoxydul und Eisen wird einer dieser drei Bestandteile zuerst erstarren.

Bei dem gewöhnlichen käuflichen Schwefeleisen ist dies im allgemeinen das Sulfid, weil dieses im Überschusse vorhanden ist (Fig. 23, Tafel IX und 24, Tafel X). Anders ist es jedoch bei Schwefeleisen, das auf 1500° C. erhitzt wurde und hierbei Schwefel verloren hat. Hier erstarrt zuerst das Eisen (Fig. 29, Tafel XI und 30, Tafel XII) und bildet die früher besprochenen grossen, anscheinend hexagonalen Krystalle. Endlich kann — wenn die Schmelze viel Oxydul enthält — dieses zuerst erstarren (Fig. 31, Tafel XII).

Sei nun der zuerst erstarrende Körper welcher immer, so wird er mit fortschreitender Abkühlung in immer grösseren Mengen auskrystallisieren, bis endlich ein Moment eintritt, wo sich noch ein zweiter Körper abzuscheiden beginnt.

Von jetzt an werden bei weiter fortschreitender Abkühlung beide Körper gleichzeitig auskrystallisieren, bis endlich auch der dritte sich abzuscheiden beginnt. Von diesem Augenblicke an erfolgt die Erstarrung bei konstanter Temperatur, und die hierbei erstarrende Mischung ist die mehrfach erwähnte eutektische, bestehend aus Eisenoxydul, Schwefeleisen und so fein verteiltem metallischen Eisen, dass es auch bei den stärksten Vergrösserungen nicht erkennbar ist.

Diffusion von Schwefeleisen in Eisen. E. D. Campbell¹⁾ und später J. O. Arnold²⁾ haben angegeben, dass Schwefel bei 1000° bis 1100° C. weichen Stahl und Gusseisen durchdringen könne, ohne dass mehr als Spuren desselben im Metalle zurückbleiben. Da diese Angabe sehr unwahrscheinlich erschien, haben H. Le Chatelier und Ziegler die fraglichen Untersuchungen wiederholt und die Ungenauigkeit der früheren Untersuchungen dargethan.

Campbell und Arnold haben Schwefel, oder besser (wie sie sagen) Eisenoxydsulfid in die Bohrung eines weichen Stahlblockes gebracht und diese mit einem Stöpsel desselben Metalles, der kalt eingewietet wurde, verschlossen. Nachdem der Block 1 bis 2 Stunden lang in einem Porzellanrohr erhitzt worden und wieder erkaltet war, wurde er der Länge nach zerschnitten. Die Bohrung zeigte sich fast immer vollkommen leer, ohne dass der Verschluss irgendwie gelockert worden wäre. Das Sulfid fand

1) Journ. Iron Steel Inst. 1897. II, p. 80.

2) Ebendasselbst. 1899, I, p. 85 ff.

sich im Porzellanrohre um die unteren Partien des Blockes. Die Analyse des Stahlblockes ergab keinen merklich höheren Schwefelgehalt, als jenen des ursprünglichen Stahles.

Le Chatelier und Ziegler erhielten bei Wiederholung des Versuches (auch wenn der Block in einem Bade von geschmolzenem NaCl erhitzt wurde) genau dasselbe Ergebnis. Nun machten sie einen durch die Stöpselachse gehenden Längsschnitt durch den Block und untersuchten die Berührungsstelle zwischen Block und Stöpsel mit dem Mikroskope. Hierbei zeigte sich die Fuge ihrer ganzen Länge nach mit Schwefeleisen erfüllt. Bestand der Block aus Puddeleisen, so hatte das Sulfid auch überall längs der in der Richtung des Auswalzens verlängerten Schlackenpartien einen Weg gefunden.

Das Sulfid war daher einfach infolge seiner ausserordentlichen Flüchtigkeit durch die vorhandenen Klüfte entwichen.

Dass das Schwefeleisen durch so zarte Spalten passieren kann, erklärt sich nicht allein durch die grosse Flüchtigkeit desselben, sondern auch aus seiner Fähigkeit, beträchtliche Mengen Eisen zu lösen, wodurch die vorhandenen Klüfte, in welche das flüchtige Schwefeleisen eindrang, erweitert wurden. Überdies entwickelt die Reaktion von Schwefeleisen auf Eisenoxydul SO_2 , dessen Druck die Weiterbeförderung begünstigt. So erklärt sich auch, warum die Diffusion leichter erfolgt, wenn man Campbells Oxy-sulfid (das in Wirklichkeit nur ein Gemenge von Schwefeleisen und Eisenoxydul ist) verwendet, weil in diesem Falle die Entwicklung von SO_2 viel beträchtlicher ist.

Zustand des Schwefels im gegossenen Eisen.

Le Chatelier und Ziegler haben sich derartiges Metall mit einem Gehalt von einigen Prozent Schwefel nach einer der folgenden Methoden dargestellt:

1. Ein Gemenge von Eisenoxyd oder eine entsprechende Menge von Gips wurde nach dem Goldschmidtschen Verfahren mit Aluminium reduziert. Hierbei entsprach der gefundene Schwefelgehalt des Metallkuchens nicht genau dem aus der Mischung berechneten.

2. Eine Mischung von Schwefeleisen mit metallischem Eisen wurde vor dem Acetylen-Sauerstoff-Gebläse geschmolzen. Hierbei erreicht man, wie Le Chatelier schon früher zeigte, ziem-

lich unabhängig davon, ob die Flamme oxydierend, neutral, oder reduzierend ist — eine Temperatur von etwa 4000°C .

Alle diese Metallkuchen zeigten ein ähnliches Aussehen. Bei niederem Schwefelgehalt bildet das Schwefeleisen mit etwas des eutektischen Gemenges gemischt, auf der polierten Metallfläche rundliche Flecken, welche bei wachsendem Schwefelgehalt oval und länglich werden. Bei weiter wachsendem Schwefelgehalte verlängern sie sich noch mehr und vereinigen sich schliesslich zu einem Netzwerk, das alle Eisenkörner umhüllt. Fig. 33 bis 36, Tafel XIII bis XV zeigen derartiges Eisen mit 0,3 bzw. 0,41 % Schwefel bei verschiedenen Vergrösserungen.

Es ist begreiflich, dass dieses Netzwerk von Schwefeleisen, das in der Kälte nur geringe Festigkeit besitzt und bei etwa 950°C schmilzt, die Festigkeit des Eisens in der Kälte beträchtlich verringern, in der Wärme aber gänzlich vernichten wird. Für die Existenz einer festen homogenen Lösung von Schwefeleisen und Eisen konnte keinerlei sicheres Anzeichen gefunden werden. Bedient man sich jedoch eines geeigneten Ätzmittels (z. B. der von Ischewsky empfohlenen 5prozentigen Lösung von Pikrinsäure in absolutem Alkohol), so bemerkt man, dass die dem Schwefeleisen benachbarten Partien des Metalles rascher angegriffen werden, so, als ob sie weniger rein wären. Tritt das Schwefeleisen in zerstreuten Körnern auf, so verschwinden ihre Konturen durch die Ätzung. Wie sich durch das Ätzen das Aussehen der Schlitze ändert, zeigen Fig. 37 und 38, Tafel XV und XVI, welche dieselben Präparate nach dem Ätzen bei gleicher Vergrösserung darstellen, wie Fig. 35 und 36 vor dem Ätzen. Hiernach scheint es, als ob das Metall in unmittelbarer Nachbarschaft der Schwefeleisenaussagerungen anders beschaffen wäre, als in grösserer Entfernung von denselben: doch lässt sich gegenwärtig noch nichts Bestimmtes darüber sagen.¹⁾

Es ist bekannt, dass das Mangan den schädlichen Wirkungen des Schwefels im Eisen in bedeutendem Grade entgegenwirkt, und

1) Es ist ganz gut denkbar, dass die Ursache dieser Erscheinung folgende seine könne: das Ausrystallisieren aus der festen Lösung erfordert eine gewisse Zeit oder mit anderen Worten, es erfolgt mit einer gewissen Krystallisationsgeschwindigkeit, die sich mit sinkender Temperatur verringert. Erfolgt nun die Abkühlung nicht langsam genug, so wird noch etwas Schwefeleisen im umgebenden Metalle fein verteilt auftreten und kann so obige Erscheinung bewirken.

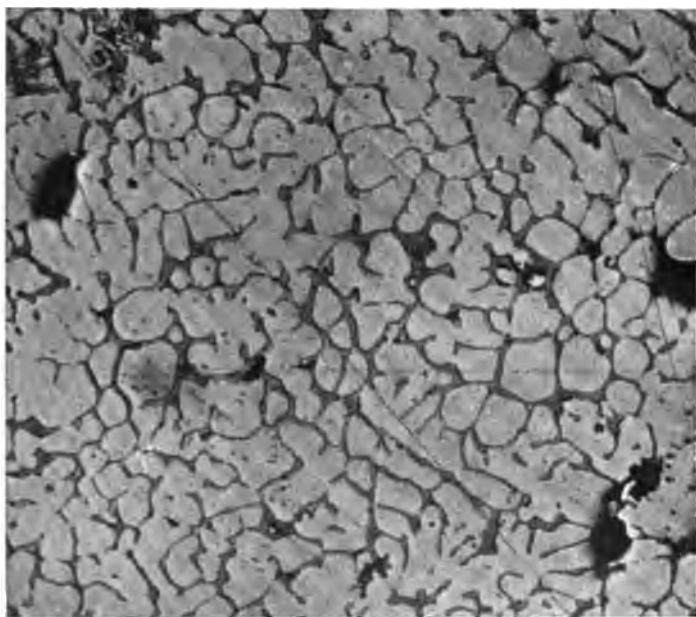


Fig. 34. Vergrößerung 125 linear.

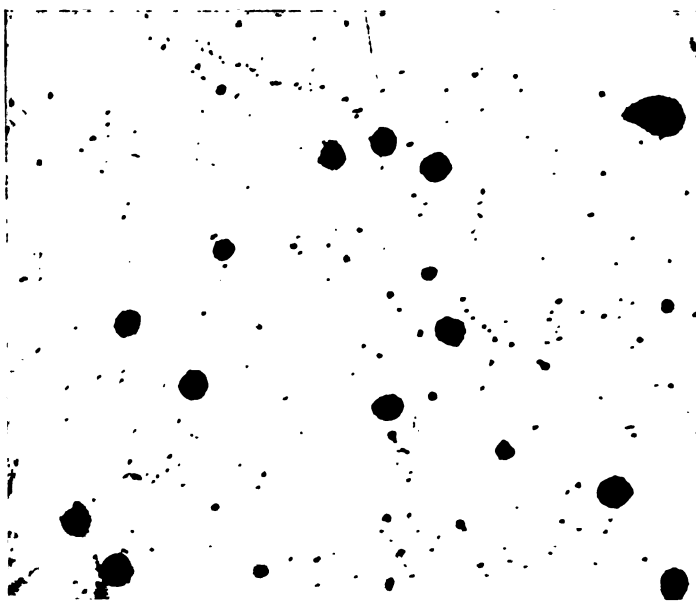


Fig. 35. Vergrößerung 650 linear.

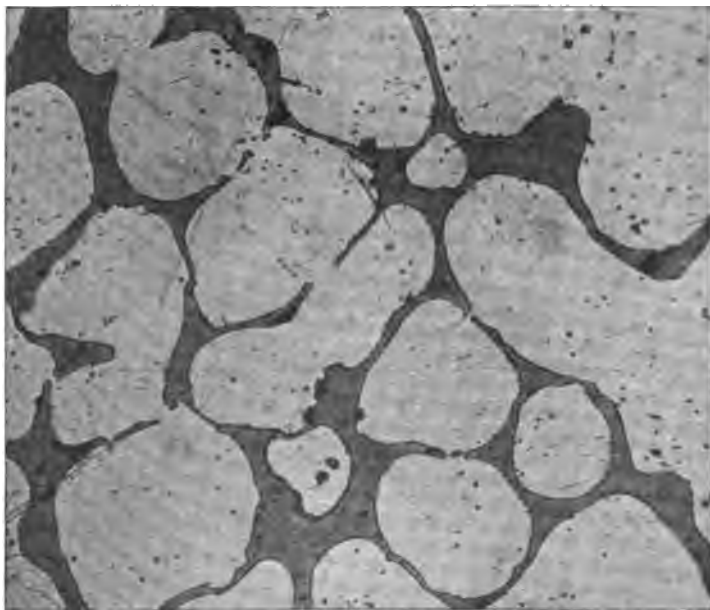


Fig. 36. Vergrößerung 650 linear.

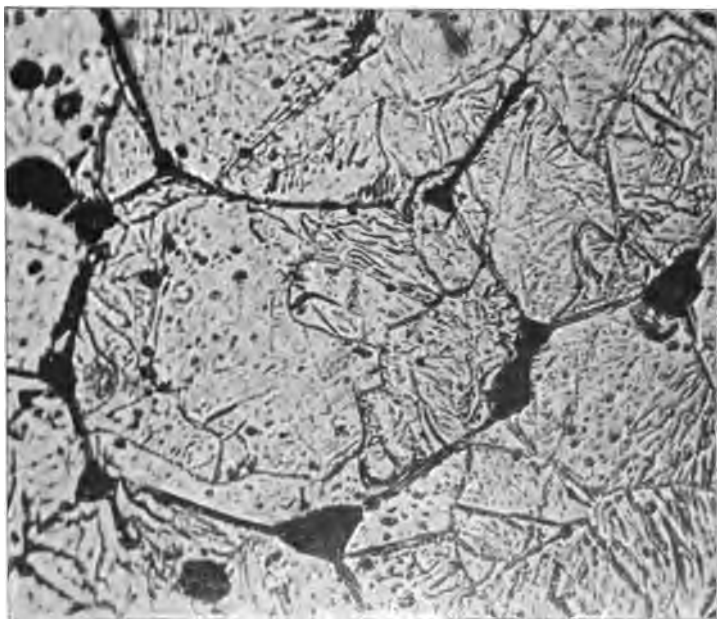


Fig. 37. Vergrößerung 650 linear.

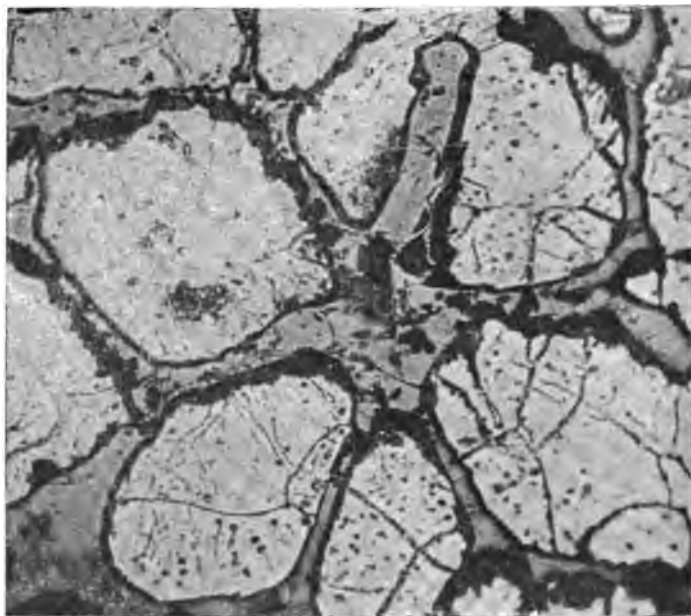


Fig. 38. Vergrößerung 650 linear.

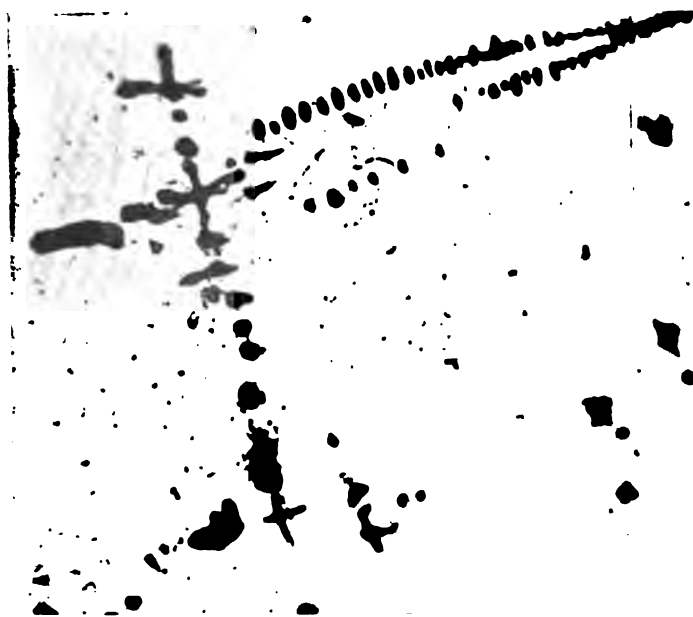


Fig. 39. Vergrößerung 650 linear.



Fig. 40. Vergrößerung 125 linear.

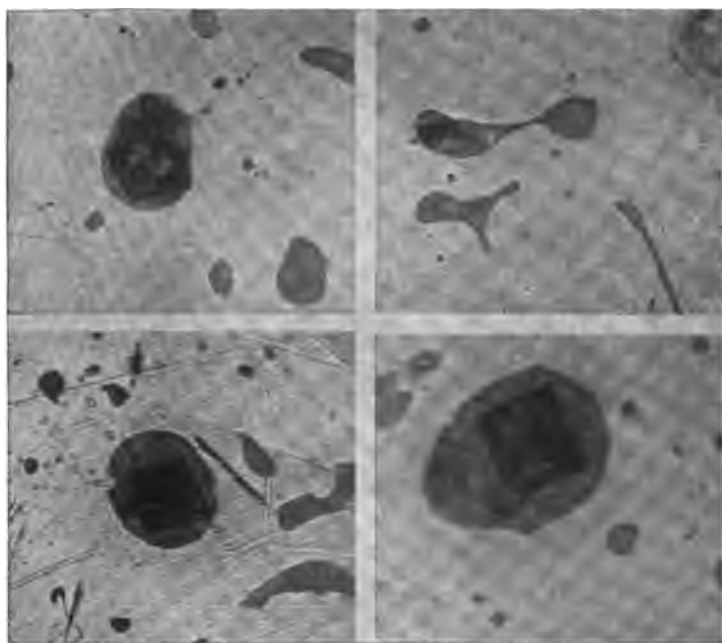


Fig 41. Vergrößerung 650 linear.



es war daher interessant, die Ursache dieser Erscheinung zu studieren. Zu diesem Zwecke haben Le Chatelier und Ziegler zunächst nach dem Goldschmidtschen Verfahren Mangan mit niederem Schwefelgehalte (0,14 %) dargestellt, dessen Gefüge — wie es nach einfachem Polieren ohne jede Ätzung sichtbar war — in Fig. 39 und 40, Tafel XVI und XVII dargestellt ist.

Aus diesen Figuren ergeben sich folgende zwei wichtige That- sachen: Das Schwefelmangan tritt krystallinisch auf, und ist daher offenbar der aus dem flüssigen Metall zuerst auskrystallisierende Bestandteil. Sein Schmelzpunkt liegt daher höher als jener des Mangans und Eisens, und sehr weit von dem des Schwefeleisens entfernt. Überdies ist das Schwefelmangan im Mangan ausser- ordentlich wenig löslich.

Diese Schwerschmelzbarkeit und Unlöslichkeit scheint a priori hinreichend, um die günstige Wirkung des Mangans auf schwefel- haltiges Eisen zu erklären. Das Metall kann sich mit der Gesamt- menge des vorhandenen Schwefels verbinden und so den grössten Teil desselben aus dem geschmolzenen Metalle entfernen. Der Rest des Schwefelmangans, der in dem geschmolzenen Metalle zurückbleibt, scheidet sich beim Erkalten in kleinen, isolierten Metallkörnchen aus, die keinen bemerkbaren schädlichen Einfluss ausüben. Andererseits wirkt das Schwefeleisen deshalb so schäd- lich, weil es zuletzt erstarrt, sich daher zwischen den Berührungs- flächen der Metallkörner konzentriert und so das erstarrte Metall nach allen Richtungen durchschneidet.

Le Chatelier und Ziegler haben auch Mischungen von Eisen, Mangan und Schwefel teils nach dem Goldschmidt- schen Verfahren, teils durch Schmelzen vor dem Acetylen-Sauer- stoff-Gebläse hergestellt; doch haben diese Studien den eben ent- wickelten Erwartungen nicht gänzlich entsprochen, indem sich der Schwefel zwischen Mangan und Eisen teilte. Freilich war die Masse der Metallreguli sehr klein (nur einige Gramm) und dem- zufolge die Abkühlung ziemlich schnell, so dass es nicht unwahr- scheinlich ist, dass der Gleichgewichtszustand nicht erreicht wurde.

Fig. 41, Tafel XVII, zeigt nach dem Goldschmidtschen Ver- fahren hergestelltes Metall. Im Innern der gelben Globuliten von Schwefeleisen sind die Krystalle von Schwefelmangan leicht er- kenntlich.

Fig. 42, Tafel XVIII zeigt in einem vor dem Acetylen-Sauerstoff-Gebläse geschmolzenen Metall Krystalle von Schwefelmangan und Globuliten von Schwefeleisen.

Fig. 43, Tafel XVIII endlich zeigt, dass in einem schwefelärmeren Metalle die Sulfide ganz ähnlich verteilt auftreten, wie das Kupferoxydul im metallischen Kupfer.

Um über die Verteilung des Schwefels zwischen Eisen und Mangan ins Klare zu kommen, sind weitere Untersuchungen erforderlich.

Bekanntlich ist der Schwefel ganz besonders in Nickelstahl gefährlich, weshalb es wichtig war, das Verhalten von Schwefel und Nickel zu studieren.

Das Schwefelnickel, NiS , hat Metallglanz und ist stabiler als Schwefeleisen. Ausserdem wurde noch ein Halb-Schwefelnickel, Ni_2S beschrieben. Le Chatelier und Ziegler haben versucht, letztere Verbindung durch Zusammenschmelzen von Ni_2 mit Nickel darzustellen. Die erstarrte Schmelze zeigt sowohl im Bruche als auf einer geschliffenen Fläche ein homogenes metallisches Aussehen. Untersucht man die polierte Fläche jedoch unter dem Mikroskope, so lassen sich zwei Gemengteile unterscheiden, und dies wird noch deutlicher, wenn man die polierte Fläche mit einem Ätzmittel ätzt. Das Schwefelnickel bleibt hierbei glänzend, während das Metall sehr leicht angegriffen wird. Das angenommene Halbschwefelnickel ist somit nichts als ein Gemenge von Nickel und NiS .

Fig. 44, Tafel XIX zeigt einen derartigen Regulus, der mit Hilfe eines schwachen aber lange einwirkenden elektrischen Stromes sehr tief geätzt war. Schliesslich wurden alle durch Weglösen von Nickel entstandenen Hohlräume mit einem schwarzen Lacke ausgefüllt, und nochmals poliert.

Ferronickel mit 25 % Nickel und 1 % Mangan wurde mit etwas Schwefeleisen vor dem Acetylen-Sauerstoff-Gebläse zusammengeschmolzen. Fig. 45, Tafel XIX, stellt eine polierte Schlifffläche dieses Metalles dar, in welchem das Schwefelmangan in seinen beiden Erscheinungsformen deutlich erkennbar ist.

In vorstehend besprochenen Untersuchungen wurde von kohlenstoffhaltigem Eisen ganz abgesehen. In solchem finden sich regelmässige Krystalle, deren Charakter ganz jenem des Schwefelmangans ähnelt, doch sind dieselben weniger dentritisch entwickelt als die

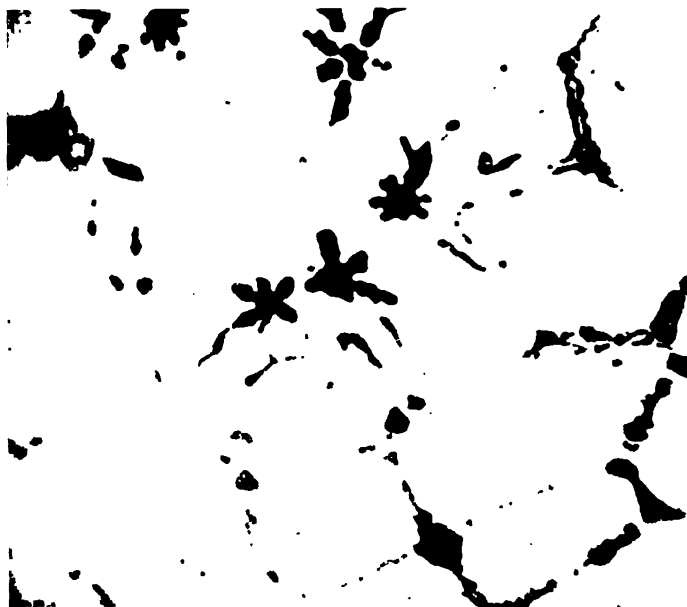


Fig. 42. Vergrößerung 650 linear.

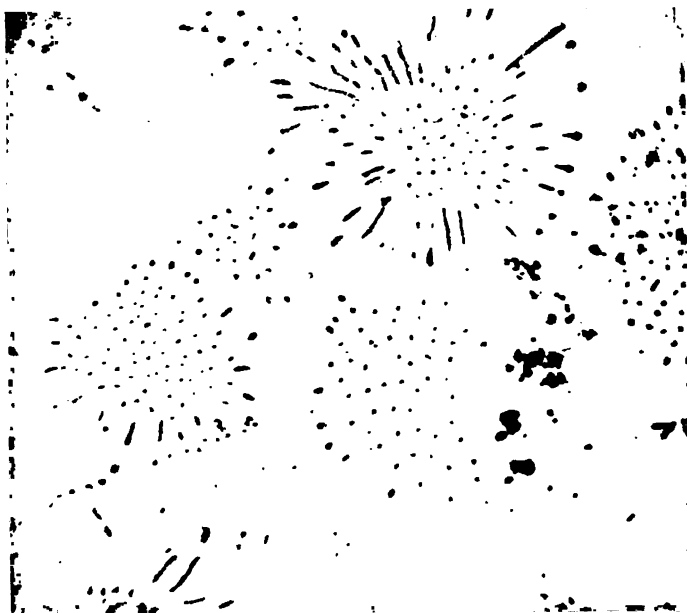


Fig. 43. Vergrößerung 650 linear.

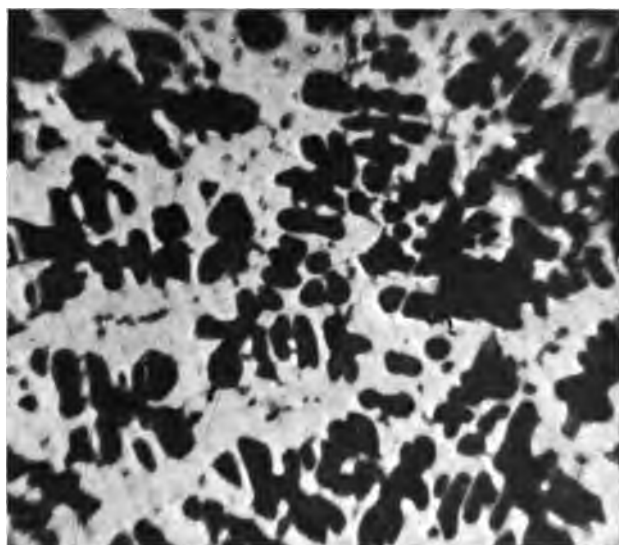


Fig. 44. Vergrößerung 125 linear.

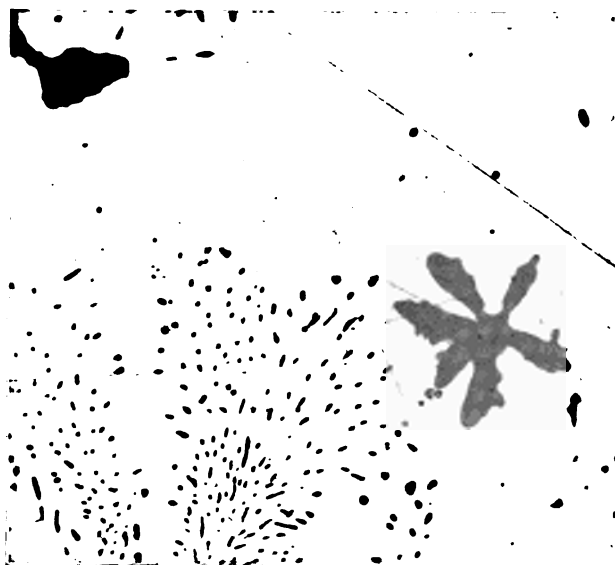


Fig. 45. Vergrößerung 650 linear.

früher erwähnten. Dies erklärt sich jedoch leicht aus der langsameren Erhaltung der technischen Produkte.

Anhangsweise muss hier erwähnt werden, dass sich im Lunker von Flusseisen (namentlich basischer Erzeugung) manchmal Ausfärbungen von schwarzer bis grünlichgelber und gelber Farbe finden. Einige vom Verfasser ausgeführte Analysen derartiger „Einschlüsse“ wurden bereits im I. Teile der Siderologie (S. 286) mitgeteilt. Hierher gehören weiter folgende Schlackenausscheidungen an der Oberfläche basischer Martin Stahl-Ingots:

| | I | II | |
|------------------------------------|-------|---------------------------|-------------------|
| | | bei kommunizierendem Guss | bei direktem Guss |
| <i>SiO₂</i> | 5,44 | 5,18 | 3,80 |
| <i>FeO</i> | 27,59 | 23,52 | 35,62 |
| <i>Fe₂O₃</i> | 1,48 | 1,50 | 0,88 |
| <i>Al₂O₃</i> | 1,80 | 3,21 | — |
| <i>MnO</i> | 59,51 | 53,54 | 58,63 |
| <i>CaO</i> | — | 0,58 | — |
| <i>MgO</i> | 1,30 | 0,21 | — |
| <i>P₂O₅</i> | 0,043 | 0,060 | 0,037 |
| <i>S</i> | 0,816 | 0,647 | 0,457 |
| <i>Mn</i> | 1,402 | 1,110 | 0,768 |

ACHTES KAPITEL.

Verhalten des Eisens gegen andere Elemente.

Das Verhalten des Eisens gegen andere Elemente ist noch wenig studiert worden. Es ist diesbezüglich kaum mehr als die Arbeiten von A. Carnot¹⁾ (teilweise gemeinsam mit Gontal) zu erwähnen, die gleichzeitig eine Ergänzung des im ersten Teile Gesagten darstellen.

a) Mangan.

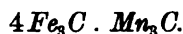
Die Untersuchung von etwa 40 Eisen-Mangan-Legierungen mit 5 bis 85% Mangan führten zur Unterscheidung von vier

1) l. c.

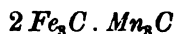
verschiedenen Eisen-Mangan-Doppelcarbiden. Je zwei dieser Carbide können in derselben Legierung gleichzeitig auftreten, doch ist es schwer dieselben voneinander zu trennen.

Zu diesem Zwecke wurden von Carnot und Gontal verwendet: HCl in verschiedener Verdünnung, Essigsäure ($\frac{1}{20}$), schwach ammoniakalische Ammonacetat-Lösung und kochendes Wasser. Die Untersuchungen führten zu folgenden Schlüssen:

1. In Gusseisen, Spiegeleisen und Ferromangan mit weniger als 18% Mangan existiert neben dem Eisencarbid Fe_3C (oder $Fe_{23}C_n$) ein Doppelcarbid mit 18% Mangan von der Zusammensetzung:

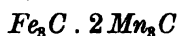


2. Wenn der Gesamt-Mangangehalt zwischen 18% und 30% liegt, so tritt wahrscheinlich neben letzterem das manganreichere Carbid¹⁾



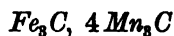
auf; doch gelang es nicht, dasselbe zu isolieren.

3. Behandelt man Ferromangan mit 31 bis 61% Mangan mit verdünnter Essigsäure ($\frac{1}{20}$), so bleibt ein Gemenge zweier Doppelcarbide als krystallinisches Pulver ungelöst, die sich mittels eines Magnetes trennen lassen. Das am Magneten haftende ist das früher erwähnte $2Fe_3C \cdot Mn_3C$, während das nicht magnetische etwa 61% Mangan enthält, und der Formel



entspricht.

4. Steigt der Mangangehalt noch weiter, von 61 bis 74%, so lässt die verdünnte Essigsäure nur das letzte Carbid unangegriffen. Sie löst jedoch ein anderes Carbid, das in Ferromangan mit 74% Mangan allein auftritt, und dessen Zusammensetzung der Formel



entspricht. Dieses Doppelcarbid wird von kochendem Wasser fast nicht angegriffen, während solche mit mehr als 74% Mangan hierdurch teilweise zersetzt werden.

1) Mit 31% Mangan.

5. Diese letzteren Carbide werden auch langsam von kochender, schwach ammoniakalischer Ammonacetatlösung gelöst. Auf diese Weise gelang es, aus Ferromangan mit mehr als 85% Mangan das Carbid Fe_3C , $4Mn_3C$ zu isolieren.

6. Sehr manganreiche Ferromangane geben beim Kochen mit Wasser flüssige und gasförmige Kohlenwasserstoffe, sowie freien Wasserstoff. Kaltes Wasser greift sie nur schwach an und giebt ein komplexes Gasgemenge, in welchem Wasserstoff vorherrscht. Dessenungeachtet glaubt Carnot nicht, dass Ferromangane mit bis 85% Mangan das einfache Carbid Mn_3C enthalten, weil nach den Erfahrungen Moissan's dieses Carbid mit Wasser behandelt, gleiche Volumina CH_4 und H_2 , aber keine flüssigen Kohlenwasserstoffe giebt. Er schliesst hieraus auf Doppelcarbide von Eisen und Mangan, deren Zusammensetzung jedoch nicht ermittelt werden konnte.

Die Ferromangane enthalten somit ein Gemenge der Doppelcarbide von Eisen und Mangan, von welchem folgende isoliert und gut definiert werden konnten:

$4Fe_3C \cdot Mn_3C$ (neben Fe_3C) bei $Mn < 18\%$.

$2Fe_3C \cdot Mn_3C$ (neben $4Fe_3C \cdot Mn_3C$) bei $Mn = 18-31\%$.

$Fe_3C \cdot 2Mn_3C$ (neben $2Fe_3C \cdot Mn_3C$) „ „ = $31-61\%$ „

$Fe_3C \cdot 4Mn_3C$ (neben $Fe_3C \cdot 2Mn_3C$) „ „ = $61-74\%$ „

$Fe_3C \cdot 4Mn_3C$ kommt auch neben noch manganreicheren Carbiden in Ferromangan mit mehr als 74% Mangan vor.

b) Silicium.

Behandelt man Ferrosilicium mit 10 bis 14% Silicium und sehr wenig Mangan mit verdünnter HCl (7prozentig) bei Ausschluss von Luft und einer Temperatur von $40^\circ C$., so findet man im Rückstande neben wenig Graphit und Flocken von $Si_2O_3H_2$ einen schwarzen, sehr magnetischen Rückstand von Eisensilicid mit 33% Silicium. Seine Zusammensetzung entspricht der Formel:



Diese Verbindung wird, wenn sie noch feucht ist oder nur einfach getrocknet wurde, von Alkalien schnell, von reinem Wasser langsam unter Wasserstoffentwicklung angegriffen.

Durch Anwendung sehr verdünnter kalter Schwefelsäure (5%) konnte aus demselben Ferrosilicium ein anderes Silicid:



abgeschieden werden, das 20 % Si enthält und sich von dem vorigen durch warme, verdünnte Ätzkalilösung trennen lässt. Andere fremde Substanzen können mittels eines Magnetes entfernt werden, der das Silicid allein anzieht.

Dieses Fe_2Si wurde auch in den magnetischen Teilchen gefunden, die sich aus gepulvertem Ferromangan ausziehen liessen; aber aus Silicospiegel mit 20 % Mangan und 12 % Silicium wurde ein Doppelsilicid von Eisen und Mangan abgeschieden, das mehr Metall als die vorigen enthielt und der Formel



($M = Fe$ und Mn) entsprach.

Im elektrischen Ofen wurde von vielen Gelehrten Eisensilicid erhalten: Moissan stellte Fe_2Si dar; Lebau hat es in einem Ferrosilicium wiedergefunden. Zwei andere Verbindungen: Fe_3Si_2 und $FeSi_2$ wurden in einem in Amerika von der Wilson Aluminium Company dargestellten Ferrosilicium mit 25 bis 50 % Silicium erwähnt.

In gewöhnlichem Gusseisen glauben Carnot und Gontal mit verdünnter Schwefelsäure Körner eines Mangansilicides



abgeschieden zu haben; aber komplexe Zusammensetzung des Rückstandes, in welchem es enthalten war, und die Schwierigkeit es zu isolieren, liessen die Frage nicht sicher entscheiden.

In gewöhnlichem Gusseisen konnte keins der im Ferrosilicium enthaltenen Silicide nachgewiesen werden, woraus Carnot und Gontal schlossen, dass sie darin auch nicht existieren, sondern entweder beim Erkalten zersetzt werden, oder mit überschüssigem Eisen eine feste Lösung bilden. Zu gleichem Schlusse kommt auch H. Le Chatelier bei seiner Untersuchung über den elektrischen Leitungswiderstand des Stahles.¹⁾ Da derselbe dem Siliciumgehalt proportional wächst, dürfte dieses Element im Stahl als feste Lösung enthalten sein.

Silicium ist also im Roheisen gewöhnlich frei und gelöst vorhanden. Bei hoher Temperatur kann es sich jedoch auch mit Mangan und Eisen zu $MnSi$ und $FeSi$ vereinigen. Nach langsamer Abkühlung existiert es nie im freien Zustande.

1) Siehe Siderologie, 2. Teil, S. 153.

Ferrosilicium kann $FeSi$ neben Fe_2Si enthalten; Silicospiegel ist ein Doppelsilicid von der Formel M_2Si .

c) Arsen.

Bei Untersuchung von Roheisen oder langsam gekühltem Stahl mit einem Gehalt von einigen Prozent Arsen, ergab sich, dass dieses Element von Kalium-Kupferchlorid gänzlich gelöst wird, während es beim Behandeln mit verdünnter Salzsäure unter Ausschluss von Luft ungelöst bleibt. Bei letzterer Operation wird das Arsen, solange noch Eisen in Lösung geht, vollständig abgeschieden, so dass nur Spuren desselben gasförmig entweichen. Das Arsen dürfte somit nicht mit dem Eisen verbunden, sondern nur einfach in letzterem gelöst sein.

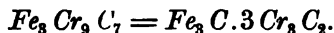
Die arsenhaltigen Stähle verhalten sich jedoch ganz anders, wenn sie gehärtet wurden. In diesem Falle löst sich in verdünnter Salzsäure oder Schwefelsäure eine merkliche Arsenmenge, während neben freiem Arsen ein Eisenarsenid mit 40 % Arsen ungelöst bleibt, dessen Zusammensetzung der Formel Fe_2As zu entsprechen scheint.

In gehärtetem Stahle ist also ein Teil des Arsens an Eisen gebunden, während es in langsam erkaltetem Stahl nur frei auftritt.

d) Chrom.¹⁾

Nach Carnot und Gontal existieren Eisen-Chrom-Doppelcarbide, deren Zusammensetzung mit dem Chromgehalt des Metalles variiert. Diese Carbide wurden mit mehr oder weniger stark verdünnter Salzsäure abgeschieden und durch Schlämmen mit Cadmium-Boro-Wolframatlösung gereinigt.

Ferrochrome mit 57 % und 59 % Chrom enthalten Carbide von der ungefähren Zusammensetzung

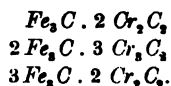


Zwei Stahlproben mit niederem Chromgehalt (2,35 % und 2,01 %) gaben einen Rückstand, dessen Zusammensetzung der Formel $Fe_3Cr_3O_5 = 3Fe_3C \cdot Cr_3C_2$ entsprach.

Eine Ferromanganprobe mit 0,97 % Chrom und 18,0 % Mangan gab bei der Behandlung mit Kupferkaliumchlorid einen Rückstand von gleicher Zusammensetzung ($3Fe_2C \cdot Cr_2C_3$).

1) Siehe auch Siderologie, 1. Teil, S. 232.

Vermutlich können in den Eisenlegierungen noch verschiedene andere Doppelcarbide existieren. Solche Verbindungen hat Williams im elektrischen Ofen erhalten:

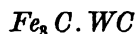


In Chromstahl mit niederem Kohlenstoffgehalt existiert neben Doppelcarbiden eine gewisse Menge von freiem Chrom und von kohlenstofffreiem Eisen. Eine bestimmte Verbindung dieser beiden Metalle konnten Carnot und Gontal nicht nachweisen.

Nach H. Spüller beruht die Eigenschaft der Chrom-Wolfram-Stähle bei Glühhitze die Härte nicht zu verlieren, darauf, dass im ausgeglühten Stahl nur Eisencarbid vorhanden ist, das sich bei höheren Temperaturen in Eisen und Chrom- (bezw. Wolfram-) Carbid umsetzt.

e) Wolfram.

Zwei kohlenstoffreiche Wolframstahlproben ($Wo = 6,8\%$, $C = 2,0\%$, und $Wo = 7,8\%$, $C = 2,2\%$) gaben bei Behandlung mit verdünnter Salzsäure unter Luftabschluss Doppelcarbide, die nach Schlämmen mit dichten Flüssigkeiten die gleiche Zusammensetzung ($Wo = 48,3\%$, $Fe = 45,1\%$, $C = 6,6\%$) besaßen, was der Formel



entspricht.

Die gleiche Behandlung ergab bei zwei viel kohlenstoffärmeren Stahlproben ($Wo = 6,0\%$; $C = 0,4$ bis $0,6\%$) einen Rückstand mit $51,7\%$ Wo und $48,3\%$ Fe , entsprechend der Formel



f) Molybdän.

Aus zwei kohlenstoffreichen Molybdän-Stählen ($Mo = 3,9\%$, $C = 1,7\%$ und $Mo = 3,5\%$, $C = 2,3\%$) erhielt man bei gleicher Behandlung Doppelcarbide mit $50,57\%$ Mo , $43,30\%$ Fe und $6,13\%$ C , was genau der Formel



entspricht.

Zwei andere sorgfältig entkohlte Proben mit 2,5 und 3,4 % Molybdän gaben einen Rückstand der Zusammensetzung $Mo = 53,34\%$ und $Fe = 46,66\%$, oder genau



Diese Entdeckung bestimmter Verbindungen zwischen den Elementen der Spezialstähle von Chrom, Wolfram und Molybdän stehen in voller Übereinstimmung mit den von H. Le Chatelier aus dem elektrischen Leitungswiderstande gezogenen Folgerungen.¹⁾

g) Titan.

Durch Auflösung der Legierung in Säuren oder in Kupfersalzlösungen wird das Eisen entfernt, und Titan bleibt als Rückstand. Dieses Element scheint somit keine Verbindungen einzugehen. (Bei diesen Untersuchungen wurde ein Ferrotitan mit 48,6 % Titan und ein Stahl mit 4,6 % Titan benutzt.)

h) Kupfer.

Beim Lösen eines Stahles mit 3,4 % Kupfer in Salzsäure oder Ammonsalzlösung und sorgfältig neutralisiertem Wasserstoffperoxyd liess sich unter dem Mikroskope erkennen, dass das Kupfer im Metall in Gestalt von Fäserchen auftritt, die im Augenblicke der Erstarrung des Stahles ausgeschieden wurden. Es bildet somit keine Verbindung mit dem Eisen.

i) Nickel.

Sowohl in langsam abgekühltem, als in gehärtetem Nickelstahl lösen sich — gleichgültig ob man neutrale Kupfersalzlösungen verdünnte Säuren oder Ammonsalze und Wasserstoffperoxyd anwendet — Nickel und Eisen gleichzeitig.

Nickel scheint somit im Stahl als feste Lösung oder Mischung, keinesfalls aber als Verbindung aufzutreten. Hierfür sprechen auch die Untersuchungen H. Le Chateliers über den elektrischen Leitungswiderstand von Nickelstahl.²⁾

Am Schlusse dieses Kapitels möge auf eine sehr interessante Arbeit von L. Dumas, „Recherches sur les Aciers au Nickel“ die kürzlich erschien, hingewiesen werden.³⁾

1) Grundzüge der Siderologie, 2. Teil, S. 154.

2) Ebenda, S. 154.

3) Ann. des Mines, April, Mai, Juni 1902; als Separatabdruck bei Ch. Dunod, Paris 1902.

NEUNTES KAPITEL.

Verhalten des Eisens gegen Schlacken.

Die Schlacken entstehen durch Oxydation des geschmolzenen Eisens und seiner Bestandteile, wobei das Ofenfutter sowohl als absichtlich angewendete Zuschläge an der Schlackenbildung Anteil nehmen.

Die Wechselwirkungen zwischen Schlacke und Eisen sind teils chemischer, teils physikalischer Natur, und werden erst dann völlig klargelegt werden, wenn es gelingt, alle hierbei auftretenden Prozesse den Gesetzen der physikalischen Chemie zu unterwerfen.

Die chemischen Wirkungen der Schlacke auf das Eisen sind hauptsächlich Oxydationswirkungen und treten namentlich beim Puddelprozesse und anderen Frischprozessen auf. Wir werden hierauf im zweiten Buche dieses Teiles zurückkommen.

Die physikalischen Wirkungen endlich beruhen auf der verschiedenen Löslichkeit der Körper im Eisen und in der Schlacke, und sind bisher noch wenig studiert. Am besten bekannt ist noch das Verhalten des Schwefels zu Eisen und Schlacke,¹⁾ weshalb dasselbe hier näher besprochen werden muss.

Die neueren Untersuchungen²⁾ haben gezeigt, dass der Schwefel in den Eisenlegierungen als Monosulfid auftritt, und zwar ist es zunächst an Mangan gebunden (MnS), während ein Überschuss desselben als FeS erscheint. Das darf jedoch keineswegs so verstanden werden, dass bei Vorhandensein von genügend viel Mangan der Schwefel im Eisen nur als MnS auftreten werde. Es wird immer noch etwas FeS gebildet werden, doch ist in diesem Falle die Menge des letzteren sehr gering.

Über das Auftreten des Schwefels in den Schlacken haben hauptsächlich die Untersuchungen von I. H. Vogt in Christiania³⁾

1) v. Jüptner: „Der Schwefelgehalt von Schlacken und Hüttenprodukten.“ (Stahl und Eisen, 1902, Nr. 7) und „The sulfur contents of slags and other metallurgical products“. (Journ. Iron Steel Inst. 1902, I.)

2) Siehe die vorigen beiden Kapitel.

3) Siehe Grundzüge der Siderologie, 1. Teil, 2. Buch, 5. Kap. u. 4. Buch.

entscheidenden Aufschluss gegeben. Nach demselben tritt dieser auch in den Schlacken als Monosulfid auf, und zwar kommen hier hauptsächlich CaS , MnS , FeS und ZnS in Frage, während MgS den vorigen gegenüber in den Hintergrund tritt. Alle diese Monosulfide können sowohl rein, wie als isomorphe Gemenge auftreten, und hängen die relativen Mengen, in welchen sie erscheinen — dem Massengesetze entsprechend — von der Zusammensetzung der Schlacke ab. Doch ist die Verwandtschaft, vom Schwefel zu Mangan grösser als zu Calcium, und zu diesem wieder grösser als zu Magnesium. Überdies hat Vogt nachgewiesen, dass beim Erkalten geschmolzener Schlacke die Monosulfide zuerst, und zwar vollständig zur Abscheidung gelangen.

Hieraus können wir folgende theoretische Schlüsse ziehen:

1. Die Schlacken vermögen im geschmolzenen Zustande Sulfide zu lösen.

2. Da die Abscheidung der Sulfide aus den geschmolzenen Schlacken zuerst erfolgt, was bekanntlich nur dann der Fall sein kann, wenn die Lösung bei der fraglichen Temperatur konzentriert ist, müssen wir auch die Lösungen der Monosulfide in den geschmolzenen Schlacken als ziemlich konzentrierte ansehen. Da nun der Schwefelgehalt aller bisher untersuchten Schlacken ein relativ sehr kleiner ist (er übersteigt kaum 2,5 bis 3,0%) und trotzdem dieser Schwefel (als Monosulfid) zuerst zur Abscheidung gelangt, so muss offenbar auch die Lösung der Monosulfide in den Schlacken bei den bei Hüttenprozessen vorkommenden Temperaturen eine kleine sein.

Unsere Kenntnis von den Schwefelmengen, die von reiner Schlacke aufgenommen werden können, ist noch ziemlich mangelhaft. Sie lässt sich in folgende Grundsätze zusammenfassen:

Die Aufnahmefähigkeit der Schlacken für Schwefel steigt:

1. mit der Temperatur,
2. mit der Basicität der Schlacken und
3. mit ihrem Gehalte an CaO und MnO .

4. Wird das Eisen wegen zu niedriger Temperatur (bei Hochofenprozessen) nicht in genügender Weise reduziert, und enthält somit die Schlacke einige Prozent FeO , so fällt das Roheisen immer relativ reich an Schwefel aus.

Alle älteren Untersuchungen konnten aus dem Grunde zu keinem tieferen Eindringen in die hier obwaltenden Verhältnisse

führen, weil man übersah, dass man es hier nicht mit einfachen Lösungserscheinungen, sondern mit dem Gleichgewichte zwischen Lösungen von Schwefel (oder richtiger von Monosulfid) in zwei verschiedenen Lösungsmitteln (Schlacke und Metall) zu thun habe. Wir wollen hier nicht auf die Theorie eines derartigen Gleichgewichtes näher eingehen, sondern nur den Nernstschen Satz über die Verteilung eines Stoffes zwischen zwei Lösungsmitteln anführen. Nennen wir das Verhältnis der räumlichen Konzentrationen, in welchen ein Stoff in zwei miteinander in Berührung stehenden Lösungsmitteln vorhanden ist, seinen Teilungskoeffizienten, so gelten folgende Sätze:

1. Besitzt der gelöste Stoff in beiden Lösungsmitteln die gleiche Molekulargrösse, so ist der Teilungskoeffizient bei gegebener Temperatur konstant.

2. Bei Gegenwart mehrerer gelösten Stoffe verteilt sich jede einzelne Molekulgattung so, als ob die anderen nicht zugegen wären.

3. Befindet sich der gelöste Stoff nicht in einem einheitlichen Molekularzustande, sondern ist er in Dissociation begriffen, so gilt Satz 1 für jede der bei der Dissociation entstandenen Molekulgattungen, was sich auch unmittelbar aus Anwendung des Satzes 2 ergibt.

Bei der Anwendung auf unseren Fall können wir wohl in erster Annäherung die Gleichheit der Molekulargrösse der hier in Betracht kommenden Monosulfide (RS) annehmen, weil jedes Molekül desselben nur 1 Atom Schwefel enthält. Wir können somit unseren Untersuchungen den ersten der obigen Sätze zu Grunde legen, dürfen aber nicht vergessen, dass dieser Satz nicht mit voller Strenge gelten wird, weil es nicht ganz gleichgültig sein wird, ob wir im Eisen MnS oder FeS , und in der Schlacke CaS , MnS oder FeS gelöst haben. Weitere Abweichungen werden sich wohl auch daraus ergeben, dass uns die Temperatur unbekannt ist, für welche wir den Teilungskoeffizienten ermitteln (diese Abweichungen scheinen jedoch, wie wir später sehen werden, nicht sehr bedeutend zu sein), und endlich deshalb, weil wir in den Fällen, wie sie uns die Betriebspraxis liefert, durchaus nicht sicher sind, den Gleichgewichtszustand erreicht zu haben. (Dieser Gleichgewichtszustand dürfte wohl am ersten im Hochofen erzielt werden.)

Bei den zu betrachtenden Fällen haben wir es mit zwei Lösungsmitteln für den Schwefel zu thun: mit der Schlacke und mit dem Metall, und es ist wohl klar, dass sich der Wert des Teilungskoeffizienten mit der Zusammensetzung beider dieser Lösungsmittel ändern wird, weil sich ja mit diesem auch die Natur des Lösungsmittels ändert. Noch ist hervorzuheben, dass sich die oben angeführten Verteilungssätze auf die räumlichen Konzentrationen, also in unserem Falle auf die in der Volumseinheit enthaltene Schwefelmenge beziehen. Da aber das spezifische Gewicht der Schlacken sowohl als der verschiedenen Eisensorten nur wenig variiert, können wir in den folgenden Betrachtungen den Prozentgehalt an Schwefel direkt in Rechnung stellen und somit das Verhältnis des Schwefelgehaltes von Schlacke und Metall als Teilungskoeffizient bezeichnen.

a) Roheisen und Hochofenschlacke.

Wir legen unseren Betrachtungen die folgenden Analysen verschiedener Roheisensorten zu Grunde. Dieselben sind (wie auch die später mitzuteilenden Analysen) teils der Litteratur entnommen, teils vom Verfasser ausgeführt.

Roheisenanalysen.

| Nr. | C % | Si % | Mn % | Cu % | P % | S % |
|-----|--------|---------|-------------|---------|--------|--------------------|
| 1 | ? | ? | 50,00 | ? | ? | höchstens 0,005 |
| 2 | 4,00 | 2,50 | 2,00 | — | 0,08 | 0,01 |
| 3 | 4,500 | 2,845 | 0,9 bis 0,4 | — | 0,048 | 0,010 |
| 4 | 3,793 | 0,322 | 2,221 | — | 0,098 | 0,057 |
| 5 | 4,500 | 2,463 | 2,042 | — | 0,060 | 0,014 |
| 6 | 3,610 | 0,114 | 1,225 | — | 0,083 | 0,0060 |
| 7 | 4,325 | 0,807 | 1,820 | — | 2,344 | 0,054 |
| 8 | 5,800 | 0,503 | 7,232 | — | 0,892 | 0 |
| 9 | 4,021 | 0,961 | 0,791 | — | 0,246 | 0,079 |
| 10 | 5,100 | 1,121 | 4,213 | — | 0,223 | Spur |
| 11 | 3,916 | 0,414 | 2,534 | — | 0,095 | 0,037 |
| 12 | 4,000 | 1,121 | 2,988 | — | 0,093 | Spur |
| 13 | 4,120 | 0,341 | 2,874 | — | 0,082 | 0,033 |
| 14 | 1,92 | 0,23 | 0,77 | — | 1,60 | 0,12 |
| 15 | 3,987 | 1,307 | 0,407 | — | 0,117 | 0,056 |
| 16 | 1,75 | 0,27 | 0,58 | — | 1,58 | 0,19 |
| 17 | 3,692 | 1,800 | 2,650 | 0,032 | 0,042 | 0,018 |
| 18 | 1,57 | 0,40 | 0,44 | — | 1,62 | 0,30 |
| 19 | 3,51 | 1,23 | 3,36 | — | 0,89 | 0,05 |
| 20 | 3,112 | 2,403 | 3,842 | Spur | 0,111 | 0,013 |
| 21 | 3,076 | 4,748 | 5,112 | Spur | 0,117 | 0,017 |
| 22 | 3,506 | 3,732 | 4,399 | — | 0,120 | 0,027 |

Schlackenanalysen.

| Nr. | SiO_2 % | MgO % | CaO % | CaO % | MgO % | FeO % | MnO % | CaS % | P_2O_5 % | P % | S % |
|-----|--------------|------------|------------|------------|------------|------------|------------|------------|---------------|----------|----------|
| 1 | 26,50 | 8,10 | — | 42,40 | 8,30 | Spur | 10,76 | 4,87 | — | — | 2,16 |
| 2 | 30,00 | 12,50 | — | 46,00 | 5,50 | 0,70 | 1,00 | 4,00 | — | — | 1,78 |
| 3 | 30,00 | 12,340 | — | 51,000 | 2,340 | 1,050 | 0,30 | — | — | 0,022 | 2,726 |
| 4 | 33,82 | 13,48 | — | 28,56 | 13,78 | 1,06 | 6,49 | 2,63 | 0,023 | 0,010 | 1,17 |
| 5 | 32,210 | 11,370 | — | 50,420 | 1,370 | 0,760 | 0,850 | — | — | 0,008 | 2,726 |
| 6 | 33,40 | 10,86 | — | 26,39 | 14,35 | 5,18 | 8,55 | 1,55 | 0,110 | 0,048 | 0,69 |
| 7 | 32,970 | 12,440 | — | 47,950 | 1,370 | 1,470 | 2,260 | — | — | 0,078 | 1,424 |
| 8 | 32,250 | 11,170 | — | 46,200 | 2,016 | 0,600 | 5,070 | — | — | 0,019 | 2,521 |
| 9 | 33,18 | 13,28 | — | 42,58 | 5,93 | 0,22 | 5,90 | — | — | — | 2,62 |
| 10 | 33,100 | 10,330 | — | 49,700 | 1,340 | 0,670 | 2,040 | — | — | 0,025 | 2,695 |
| 11 | 34,77 | 11,55 | — | 29,13 | 15,11 | 0,96 | 5,87 | 2,38 | 0,039 | 0,017 | 1,05 |
| 12 | 34,000 | 9,786 | — | 47,000 | 3,300 | 0,650 | 2,325 | — | — | 0,013 | 1,800 |
| 13 | 35,66 | 10,56 | — | 30,44 | 13,85 | 1,02 | 5,24 | 2,76 | — | 0,022 | 1,23 |
| 14 | 37,33 | 17,39 | — | 36,86 | 2,67 | 2,91 | 1,05 | 0,79 | 0,44 | 0,019 | 0,35 |
| 15 | 35,500 | 7,720 | — | 46,500 | 3,200 | 1,160 | 1,580 | — | — | 0,017 | 1,644 |
| 16 | 38,64 | 17,69 | — | 33,55 | 2,80 | 4,56 | 1,05 | 0,70 | 0,50 | 0,022 | 0,31 |
| 17 | 39,99 | 7,07 | — | 26,25 | 16,07 | 5,56 | 3,62 | — | 0,007 | 0,003 | 0,62 |
| 18 | 42,18 | 17,06 | — | 28,31 | 3,14 | 6,94 | 0,99 | 0,54 | 0,049 | 0,021 | 0,24 |
| 19 | 38,49 | 6,99 | — | 33,60 | 6,83 | 0,63 | 5,26 | 2,40 | — | — | 1,07 |
| 20 | 48,14 | 11,80 | 1,72 | 13,17 | 13,31 | 2,07 | 9,59 | 0,02 | — | — | 0,01 |
| 21 | 46,23 | 19,11 | 1,78 | 16,99 | 7,59 | 0,86 | 6,54 | 0,14 | — | — | 0,06 |
| 22 | 54,74 | 10,02 | 1,77 | 14,35 | 5,09 | 4,51 | 7,43 | 0,02 | — | — | 0,01 |

Den Sauerstoffgehalt dieser Schlacken geben die folgenden Tabellen:

Sauerstoffgehalt der Schlacken

| Nr. | Sättigungs- stufe $\frac{s}{b}$ 1) | SiO_2 % | Al_2O_3 % | BaO % | CaO % | MgO % | FeO % | MnO % |
|-----|---------------------------------------|--------------|----------------|------------|------------|------------|------------|------------|
| 1 | 0,65 | 14,12 | 3,81 | — | 12,11 | 3,32 | — | 2,42 |
| 2 | 0,74 | 15,98 | 5,88 | — | 13,14 | 2,20 | 0,16 | 0,23 |
| 3 | 0,74 | 15,98 | 5,80 | — | 14,57 | 0,94 | 0,23 | 0,07 |
| 4 | 0,83 | 18,02 | 6,34 | — | 8,16 | 5,51 | 0,24 | 1,46 |
| 5 | 0,83 | 17,17 | 5,34 | — | 14,40 | 0,47 | 0,17 | 0,19 |
| 6 | 0,84 | 17,79 | 4,87 | — | 7,54 | 5,74 | 1,14 | 1,43 |
| 7 | 0,84 | 17,56 | 5,85 | — | 13,70 | 0,55 | 0,33 | 0,51 |
| 8 | 0,84 | 17,18 | 5,25 | — | 13,20 | 0,81 | 0,14 | 1,14 |
| 9 | 0,85 | 17,67 | 6,24 | — | 12,15 | 2,37 | — | 0,05 |
| 10 | 0,87 | 17,63 | 5,03 | — | 14,20 | 0,54 | 0,15 | 0,46 |
| 11 | 0,88 | 18,47 | 5,43 | — | 8,32 | 6,04 | 0,21 | 1,32 |

1) Sauerstoffverhältnis: $\frac{\text{Säuresauerstoff}}{\text{Basensauerstoff}} = \frac{s}{b}$ (Al_2O_3 als Base gerechnet).

| Sauerstoffgehalt der Schlacken | | | | | | | | |
|--------------------------------|------------------------------------|-----------------------|-------------------------------------|----------|----------|----------|----------|----------|
| Nr. | Silicierungsstufe $\frac{s}{b}$ 1) | SiO ₂ % | Al ₂ O ₃ % | BaO % | CaO % | MgO % | FeO % | MnO % |
| 12 | 0,91 | 18,11 | 4,60 | — | 13,43 | 1,32 | 0,14 | 0,52 |
| 13 | 0,92 | 19,00 | 4,96 | — | 8,70 | 5,54 | 0,23 | 1,18 |
| 14 | 0,96 | 19,59 | 8,17 | — | 10,53 | 1,07 | 0,65 | 0,24 |
| 15 | 0,98 | 18,91 | 4,08 | — | 13,29 | 1,28 | 0,26 | 0,36 |
| 16 | 1,01 | 20,58 | 8,31 | — | 9,59 | 1,12 | 1,01 | 0,24 |
| 17 | 1,13 | 21,80 | 2,92 | — | 7,50 | 6,48 | 1,25 | 0,82 |
| 18 | 1,17 | 22,47 | 8,02 | — | 8,09 | 1,26 | 1,54 | 0,22 |
| 19 | 1,21 | 20,50 | 3,27 | — | 9,60 | 2,73 | 0,14 | 1,19 |
| 20 | 1,22 | 25,65 | 5,55 | 0,20 | 3,76 | 8,87 | 0,46 | 2,16 |
| 21 | 1,31 | 24,63 | 8,91 | 0,19 | 4,85 | 3,04 | 0,19 | 1,47 |
| 22 | 2,06 | 29,16 | 4,68 | 0,19 | 4,10 | 1,90 | 1,29 | 1,65 |

| Sauerstoff der Basen in Prozenten: | | | | | | | | | | | |
|------------------------------------|--------------------------------|-----|-----|-----|-----|-----|-------------------------------|-----|-----|-----|-----|
| Nr. | des Gesamt-Basensauerstoffes | | | | | | des Sauerstoffes der RO-Basen | | | | |
| | Al ₂ O ₃ | BaO | CaO | MgO | FeO | MnO | BaO | CaO | MgO | FeO | MnO |
| 1 | 18 | — | 56 | 15 | — | 11 | — | 68 | 19 | — | 13 |
| 2 | 27 | — | 61 | 10 | 1 | 1 | — | 84 | 15 | 1 | 1 |
| 3 | 27 | — | 68 | 4 | 1 | — | — | 92 | 6 | 2 | — |
| 4 | 29 | — | 38 | 25 | 1 | 7 | — | 53 | 35 | 2 | 10 |
| 5 | 26 | — | 70 | 2 | 1 | 1 | — | 95 | 3 | 1 | 1 |
| 6 | 23 | — | 35 | 28 | 5 | 9 | — | 46 | 35 | 7 | 12 |
| 7 | 28 | — | 65 | 3 | 2 | 2 | — | 92 | 3 | 2 | 3 |
| 8 | 26 | — | 64 | 4 | — | 6 | — | 87 | 5 | 1 | 7 |
| 9 | 30 | — | 58 | 12 | — | — | — | 83 | 16 | — | 1 |
| 10 | 25 | — | 70 | 3 | — | 2 | — | 93 | 8 | 1 | 3 |
| 11 | 25 | — | 39 | 29 | 1 | 6 | — | 52 | 39 | 1 | 9 |
| 12 | 22 | — | 67 | 7 | 1 | 3 | — | 87 | 9 | 1 | 3 |
| 13 | 24 | — | 42 | 27 | 1 | 6 | — | 56 | 35 | 1 | 8 |
| 14 | 40 | — | 51 | 5 | 3 | 1 | — | 84 | 9 | 5 | 2 |
| 15 | 21 | — | 69 | 7 | 1 | 2 | — | 87 | 8 | 2 | 3 |
| 16 | 41 | — | 47 | 6 | 5 | 1 | — | 80 | 10 | 8 | 2 |
| 17 | 15 | — | 40 | 34 | 7 | 4 | — | 50 | 43 | 8 | 6 |
| 18 | 42 | — | 42 | 7 | 8 | 1 | — | 73 | 11 | 14 | 2 |
| 19 | 19 | — | 57 | 16 | 1 | 7 | — | 70 | 20 | 1 | 9 |
| 20 | 27 | 1 | 18 | 42 | 2 | 10 | 1 | 24 | 58 | 3 | 14 |
| 21 | 48 | 1 | 26 | 16 | 1 | 8 | 2 | 50 | 31 | 2 | 15 |
| 22 | 34 | 1 | 30 | 14 | 9 | 12 | 2 | 45 | 21 | 14 | 18 |

1) Sauerstoffverhältnis: $\frac{\text{Säuresauerstoff}}{\text{Basensauerstoff}} = \frac{s}{b}$ (Al₂O₃ als Base gerechnet).

| Silicierungs- stufe | Auf 100 Teile Gesamt- Basen-Sauerstoff entfallen Teile Sauerstoff in | | | | | Auf 100 Teile <i>RO</i> -Basen- Sauerstoff entfallen Teile Sauerstoff in | | | | | Teilungskoeffizient: $\frac{S \text{ Schmelze}}{S \text{ Roheisen}} =$ | | Roheisenzusammensetzung in % | | | | |
|------------------------|--|------------|------------|------------|-------|--|------------|------------|-------------------|---------|---|-------------|------------------------------|-----------|----------|--|--|
| | $\frac{s}{b}$ | <i>BaO</i> | <i>CaO</i> | <i>MnO</i> | Summe | <i>BaO</i> | <i>CaO</i> | <i>MnO</i> | Summe | | $\frac{S \text{ Schmelze}}{S \text{ Roheisen}} =$ | <i>C</i> | <i>Ni</i> | <i>Mn</i> | <i>P</i> | | |
| | | | | | | | | | | | | | | | | | |
| 0,65 | — | 56 | 11 | 67 | — | 68 | 13 | 81 | wenigstens 432,00 | ca 6,00 | ? | 50,00 | ? | | | | |
| 0,74 | — | 61 | 1 | 62 | — | 84 | 1 | 85 | 178,00 | 4,00 | 2,50 | 2,00 | 0,08 | | | | |
| 0,74 | — | 68 | 1 | 69 | — | 92 | 2 | 94 | 272,6 | 4,600 | 2,845 | 0,9 bis 0,4 | 0,048 | | | | |
| 0,83 | — | 38 | 7 | 45 | — | 53 | 10 | 63 | 20,58 | 3,793 | 0,322 | 2,221 | 0,088 | | | | |
| 0,83 | — | 70 | 1 | 71 | — | 95 | 1 | 96 | 195,00 | 4,500 | 2,468 | 2,042 | 0,060 | | | | |
| 0,84 | — | 35 | 9 | 44 | — | 46 | 12 | 58 | 13,00 | 3,610 | 0,114 | 1,225 | 0,083 | | | | |
| 0,84 | — | 65 | 2 | 67 | — | 92 | 3 | 95 | 26,67 | 4,325 | 0,807 | 1,820 | 2,344 | | | | |
| 0,84 | — | 64 | 6 | 70 | — | 87 | 7 | 94 | ∞ | 5,800 | 0,503 | 7,232 | 0,892 | | | | |
| 0,85 | — | 68 | — | 68 | — | 83 | 1 | 84 | 33,16 | 4,021 | 0,86 | 0,791 | 0,246 | | | | |
| 0,87 | — | 70 | 2 | 72 | — | 93 | 3 | 96 | ∞ | 5,100 | 1,127 | 4,213 | 0,223 | | | | |
| 0,87 | — | 39 | 6 | 45 | — | 52 | 9 | 61 | 28,38 | 3,916 | 0,414 | 2,534 | 0,095 | | | | |
| 0,91 | — | 67 | 3 | 70 | — | 87 | 3 | 90 | 28,38 | 4,000 | 1,121 | 2,988 | 0,093 | | | | |
| 0,92 | — | 42 | 6 | 48 | — | 55 | 8 | 64 | 37,21 | 1,920 | 0,92 | 2,874 | 0,082 | | | | |
| 0,96 | — | 81 | 1 | 52 | — | 84 | 2 | 86 | 2,92 | 3,987 | 1,307 | 0,407 | 0,117 | | | | |
| 0,98 | — | 69 | 2 | 71 | — | 87 | 3 | 90 | 29,29 | 1,750 | 0,27 | 0,58 | 1,58 | | | | |
| 1,01 | — | 47 | 1 | 48 | — | 80 | 2 | 82 | 1,63 | 3,692 | 1,800 | 0,650 | 0,042 | | | | |
| 1,13 | — | 40 | 4 | 44 | — | 50 | 6 | 56 | 34,44 | 1,70 | 0,40 | 0,44 | 1,62 | | | | |
| 1,17 | — | 42 | 1 | 43 | — | 73 | 2 | 75 | 0,80 | 3,51 | 1,23 | 3,36 | 0,89 | | | | |
| 1,21 | — | 57 | 7 | 64 | — | 70 | 9 | 79 | 21,40 | 3,112 | 2,403 | 3,842 | 0,111 | | | | |
| 1,22 | — | 18 | 10 | 29 | — | 45 | 14 | 39 | 0,77 | 3,076 | 4,748 | 5,112 | 0,117 | | | | |
| 1,31 | 1 | 26 | 8 | 35 | — | 50 | 15 | 67 | 3,63 | 3,506 | 4,782 | 4,399 | 0,120 | | | | |
| 2,06 | 1 | 30 | 12 | 43 | — | 45 | 18 | 65 | 0,37 | | | | | | | | |

Die vorstehende Tabelle enthält den Teilungskoeffizienten und die wichtigsten, denselben beeinflussenden Faktoren, wie Silicierungsstufe, und relativen BaO -, CaO -, und MnO -Gehalt der Schlacke und C -, Si -, Mn - und P -Gehalt des Roheisens.

Die Daten der vorstehenden Tabelle sind nach steigenden Silicierungsgraden (Sauerstoffverhältnis) geordnet. Wie schon erwähnt, hängt die Verteilung des Schwefels zwischen Schlacke und Roheisen sowohl von der Zusammensetzung der Schlacke, als von jener des Roheisens ab, und wir wollen nun, um diese Einflüsse zu studieren, der Reihe nach die Zusammensetzung von Schlacke und Roheisen in Betracht ziehen.

Fassen wir zunächst die Zusammensetzung der Schlacke ins Auge, so sehen wir, dass im allgemeinen der Verteilungskoeffizient mit der Basicität der Schlacke wächst, d. h. dass die Schlacken im allgemeinen einen um so grösseren Anteil des vorhandenen Schwefels aufnehmen, je basischer sie sind. Ebenso scheint wachsender Gehalt der Schlacke an BaO , CaO und MnO in diesem Sinne zu wirken.

| $\frac{s}{b}$ | $BaO + CaO + MnO$ | Teilungs- koeffizient | C | Si | Mn |
|---------------|-------------------|--------------------------|-------|-------|-------|
| 0,74 | 62 (85) | 178,0 | 4,00 | 2,50 | 2,00 |
| 0,83 | 45 (63) | 20,53 | 3,793 | 0,322 | 2,534 |

Auch sonst entsprechen die höchsten Gehalte der Schlacken an $(BaO + CaO + MnO)$ durchaus den grössten Werten der Teilungskoeffizienten. Ob höhere Thonerdegehalte den Wert der Teilungskoeffizienten herabdrücken, lässt sich nicht mit Sicherheit entscheiden. Die folgenden Beispiele scheinen allerdings dafür zu sprechen:

| $\frac{s}{b}$ | Al_2O_3 | $BaO + CaO + MnO$ | Teilungs- koeffizient | C | Si | Mn |
|---------------|-----------|-------------------|--------------------------|------|------|------|
| 0,96 | 40 | 52 (86) | 2,92 | 1,92 | 0,23 | 0,77 |
| 1,01 | 41 | 48 (82) | 1,63 | 1,75 | 0,27 | 0,58 |
| 1,17 | 42 | 43 (75) | 0,80 | 1,57 | 0,40 | 0,44 |

Doch sind hier die Unterschiede im Thonerdegehalte ziemlich klein, und es machen sich andere Umstände (abnehmender Gehalt des Roheisens an Kohlenstoff und Mangan)¹⁾ geltend und das folgende Beispiel:

| $\frac{s}{b}$ | Al_2O_3 | $BaO + CaO + MnO$ | Teilungs- koeffizient | C | Si | Mn |
|---------------|-----------|-------------------|--------------------------|-------|-------|-------|
| 1,31 | 48 | 34 (65) | 3,53 | 3,076 | 4,748 | 5,112 |

1) Siehe unten.

zeigt trotz eines noch höheren Thonerdegehaltes und trotz eines höheren Wertes von $\frac{s}{b}$ einen grösseren Teilungskoeffizienten als die vorigen und die beiden in der Tabelle benachbarten Beispiele.

Studieren wir nun den Einfluss, welchen die Zusammensetzung des Roheisens auf diese Verhältnisse ausübt, so fällt uns zunächst in die Augen, dass die besonders niederen Werte der Teilungskoeffizienten (solange die Schlacke nicht zu sauer ist) sehr niederen Kohlenstoff- und Mangangehalten des Roheisens entsprechen:¹⁾

| $\frac{s}{b}$ | $BaO + CaO + MnO$ | Teilungs- koeffizient | C | Si | Mn |
|---------------|-------------------|--------------------------|------|------|------|
| 0,96 | 52 (86) | 2,92 | 1,92 | 0,23 | 0,77 |
| 1,01 | 48 (82) | 1,63 | 1,75 | 0,27 | 0,58 |
| 1,17 | 43 (75) | 0,80 | 1,57 | 0,40 | 0,44 |

während umgekehrt wieder hohen Kohlenstoff- und Mangangehalten des Roheisens (bei nahezu gleicher Silicierungsstufe und gleichem $BaO + CaO + MnO$ -Gehalte der Schlacken) auch hohe Werte der Teilungskoeffizienten zukommen:

| $\frac{s}{b}$ | $BaO + CaO + MnO$ | Teilungs- koeffizient | C | Si | Mn |
|---------------|-------------------|--------------------------|-------|-------|-------|
| 0,88 | 45 (63) | 20,53 | 3,793 | 0,322 | 2,221 |
| 0,88 | 45 (61) | 28,38 | 3,916 | 0,414 | 2,534 |
| 0,92 | 48 (64) | 37,21 | 4,120 | 0,920 | 2,874 |
| 1,13 | 44 (56) | 34,44 | 3,692 | 1,800 | 2,650 |

oder die folgenden, noch auffallenderen Beispiele:

| $\frac{s}{b}$ | $BaO + CaO + MnO$ | Teilungs- koeffizient | C | Si | Mn |
|---------------|-------------------|--------------------------|-------|-------|-------|
| 0,83 | 71 (96) | 195,0 | 4,500 | 2,463 | 2,042 |
| 0,84 | 70 (94) | ∞ | 5,800 | 0,503 | 7,252 |
| 0,87 | 72 (96) | ∞ | 5,100 | 1,127 | 4,213 |
| 0,91 | 70 (90) | ∞ | 4,000 | 1,121 | 2,988 |

Freilich geben jene Beispiele, welche sich auf saure Schlacken beziehen, trotz hohem Kohlenstoff- und Mangan Gehalt des Roheisens kleine Werte der Teilungskoeffizienten:

| $\frac{s}{b}$ | $BaO + CaO + MnO$ | Teilungs- koeffizient | C | Si | Mn |
|---------------|-------------------|--------------------------|-------|-------|-------|
| 1,22 | 28 (38) | 0,77 | 3,112 | 2,403 | 3,842 |
| 1,31 | 34 (65) | 3,53 | 3,076 | 4,748 | 5,112 |
| 2,06 | 42 (63) | 0,37 | 3,506 | 3,732 | 4,399 |

1) Die betreffenden Analysen beziehen sich auf Minette-Roheisen und sind von Wolters mitgeteilt.

Diese Erscheinung kann jedoch durch ein Überwiegen des Einflusses des Silicierungsgrades der Schlacken, wie durch den relativ niederen $BaO + CaO + MnO$ -Gehalt derselben erklärt werden, und thatsächlich zeigt sich auch hier, wenigstens im zweiten Beispiele, der Einfluss eines aussergewöhnlich hohen Mangangehaltes im Roheisen deutlich durch eine nicht unbeträchtliche Vergrösserung der Teilungskoeffizienten.

Welchen Einfluss der Mangangehalt des Roheisens allein auf diese Verhältnisse ausübt, zeigen folgende Beispiele:

| $\frac{s}{b}$ | $BaO + CaO + MnO$ | Teilungs- koeffizient | C | Si | Mn |
|---------------|-------------------|--------------------------|-------|-------|-------|
| 0,83 | 45 (63) | 20,53 | 3,793 | 0,322 | 2,221 |
| 0,84 | 44 (58) | 13,00 | 3,610 | 0,114 | 1,225 |
| 1,13 | 44 (56) | 34,44 | 3,692 | 1,800 | 2,650 |

Bei den ersten beiden derselben ist der Silicierungsgrad der Schlacke, bei allen dreien der $BaO + CaO + MnO$ -Gehalt derselben und der Kohlenstoffgehalt des Roheisens fast gleich und dem wachsenden Mangangehalte des Roheisens entspricht durchaus auch ein steigender Wert des Teilungskoeffizienten. Beim dritten Beispiele ist allerdings auch der Siliciumgehalt des Roheisens ein relativ hoher.

In gleicher Weise zeigen die folgenden Beispiele den ausschliesslichen Einfluss des Kohlenstoffgehaltes:

| $\frac{s}{b}$ | $BaO + CaO + MnO$ | Teilungs- koeffizient | C | Si | Mn |
|---------------|-------------------|--------------------------|-------|------|-------|
| 0,85 | 58 (84) | 33,16 | 4,021 | 0,85 | 0,791 |
| 0,96 | 52 (86) | 2,92 | 1,92 | 0,23 | 0,77 |

in welchen bei nahezu gleichem $BaO + CaO + MnO$ -Gehalt der Schlacke und gleichem Mangangehalte des Roheisens der Teilungskoeffizient mit dem Kohlenstoffgehalte des Roheisens abnimmt.

Über den Einfluss des Siliciumgehaltes des Roheisens auf den Wert der Teilungskoeffizienten lassen sich aus den vorstehenden Daten keine Schlüsse ziehen. Der Einfluss des Phosphorgehaltes im Roheisen wird später besprochen werden.

Aus vorstehendem ergeben sich folgende, für die Praxis nicht unwichtige Schlussfolgerungen:

1. Die Verteilung des Schwefels zwischen den beiden flüssigen Phasen: Schlacke und Roheisen hängt von der Zusammensetzung beider Phasen ab.

2. Das Verhältnis zwischen dem Schwefelgehalt der Schlacke und dem des Roheisens (der Teilungskoeffizient) dürfte bei gleicher Zusammensetzung beider Phasen und bei gleicher Temperatur konstant sein.

3. Hieraus folgt, dass die absolut vollständige Entfernung des Schwefels aus dem Roheisen nicht möglich ist; annähernd lässt sich derselbe durch eine passende Wahl der Schlacken- und namentlich der Roheisen-Zusammensetzung jedoch entfernen. Es ist dies der zweite eklatante Fall im Eisenhüttenwesen, dass theoretische Betrachtungen zu einem Grenzwerte führten, der in der Praxis auf keine Weise überschritten werden kann. Der erste Fall war der von H. Le Chatelier auf rein theoretischem Wege erbrachte Nachweis, dass Vergrößerung der Hochofendimensionen über eine gewisse Grenze hinaus zu keiner weiteren Brennstoffersparnis führt.

4. Die Schlacke kann um so mehr Schwefel aufnehmen, je basischer dieselbe ist, und je mehr $BaO + CaO + MnO$ sie enthält.

5. Die Aufnahmefähigkeit des Roheisens für Schwefel wird um so kleiner, je mehr Kohlenstoff und Mangan dasselbe enthält. Bei sehr hohen Mangan- (und Kohlenstoff-) Gehalten (Ferromangan) wird sie fast gleich Null.

6. Bei zu sauren Schlacken (etwa $\frac{s}{b} > 1,2$) ist die Wirksamkeit eines erhöhten Mangan- und Kohlenstoffgehaltes im Roheisen ziemlich klein, während ein hoher $BaO + CaO + MnO$ -Gehalt der Schlacken noch über diese Grenze hinaus ziemlich wirksam zu sein scheint.

7. Bei sehr basischen Schlacken hingegen scheint der Einfluss eines hohen Kohlenstoff- und Mangan-gehaltes im Roheisen grösser zu sein als jener eines hohen $BaO + CaO + MnO$ -Gehaltes der Schlacke.

b) Metall und Schlacke beim Siemens-Martin-Prozess.

Die beim Hochofenprozess gemachten Erfahrungen lassen es wünschenswert erscheinen, diese Verhältnisse auch für den Siemens-Martin-Prozess zu studieren. Wir legen diesen Untersuchungen die folgenden Daten zu Grunde:

Martinstahl-Analysen

| Nr. | C% | Si% | Mn% | P% | S% |
|-----|-------|-------|-------|-------|-------|
| 1 | 0,122 | 0,011 | 0,190 | 0,049 | 0,041 |
| 2 | 0,132 | 0,013 | 0,418 | 0,025 | 0,074 |
| 3 | 0,108 | 0,011 | 0,188 | 0,059 | 0,030 |
| 4 | 0,098 | 0,011 | 0,187 | 0,024 | 0,068 |
| 5 | 0,116 | 0,013 | 0,392 | 0,046 | 0,025 |
| 6 | 0,164 | 0,029 | 0,215 | 0,037 | 0,030 |
| 7 | 0,113 | 0,010 | 0,178 | 0,057 | 0,070 |
| 8 | 0,132 | 0,014 | 0,484 | 0,051 | 0,125 |
| 9 | 0,120 | 0,016 | 0,578 | 0,054 | 0,120 |
| 10 | 0,315 | 0,030 | 0,294 | 0,041 | 0,022 |
| 11 | 0,112 | 0,026 | 0,237 | 0,041 | 0,040 |
| 12 | 0,120 | 0,015 | 0,460 | 0,053 | 0,095 |
| 13 | 0,140 | 0,012 | 0,189 | 0,055 | 0,075 |
| 14 | 0,110 | 0,014 | 0,212 | 0,041 | 0,125 |
| 15 | 0,118 | 0,014 | 0,472 | 0,072 | 0,100 |
| 16 | 0,108 | 0,011 | 0,212 | 0,042 | 0,080 |
| 17 | 0,107 | 0,009 | 0,224 | 0,041 | 0,085 |
| 18 | 0,120 | 0,013 | 0,201 | 0,037 | 0,080 |

Schlacken-Analysen.

| Nr. | SiO ₂ % | Al ₂ O ₃ % | CaO% | MgO% | FeO% | MnO% | P ₂ O ₅ % | S% |
|-----|--------------------|----------------------------------|-------|-------|-------|-------|---------------------------------|-------|
| 1 | 14,10 | 3,02 | 17,05 | 13,30 | 28,73 | 22,84 | 0,939 | 0,192 |
| 2 | 15,33 | 2,29 | 24,23 | 12,69 | 24,07 | 19,45 | 1,452 | 0,161 |
| 3 | 15,31 | 2,16 | 17,43 | 12,94 | 27,12 | 23,32 | 0,955 | 0,161 |
| 4 | 15,35 | 3,35 | 16,39 | 10,25 | 35,01 | 18,02 | 1,070 | 0,195 |
| 5 | 15,48 | 3,03 | 16,18 | 9,44 | 27,02 | 26,90 | 0,955 | 0,211 |
| 6 | 19,40 | 3,96 | 18,86 | 11,61 | 21,01 | 24,26 | 1,008 | 0,183 |
| 7 | 18,34 | 2,76 | 11,84 | 9,68 | 29,19 | 26,90 | 0,584 | 0,262 |
| 8 | 20,89 | 3,71 | 17,81 | 14,79 | 17,64 | 24,45 | 0,524 | 0,181 |
| 9 | 21,12 | 3,48 | 17,42 | 14,65 | 17,89 | 24,71 | 0,554 | 0,242 |
| 10 | 20,19 | 3,56 | 19,75 | 12,43 | 16,74 | 26,32 | 1,019 | 0,241 |
| 11 | 20,04 | 3,25 | 18,76 | 12,37 | 19,47 | 24,13 | 0,836 | 0,143 |
| 12 | 21,48 | 3,60 | 17,31 | 14,31 | 17,72 | 24,71 | 0,474 | 0,263 |
| 13 | 20,37 | 2,87 | 12,71 | 11,89 | 21,50 | 29,36 | 0,673 | 0,253 |
| 14 | 21,78 | 3,21 | 18,23 | 13,72 | 19,29 | 22,98 | 0,570 | 0,217 |
| 15 | 22,05 | 3,65 | 17,96 | 13,70 | 18,22 | 24,85 | 0,552 | 0,265 |
| 16 | 22,40 | 3,51 | 17,88 | 11,65 | 19,64 | 23,45 | 0,623 | 0,233 |
| 17 | 22,48 | 3,57 | 17,70 | 12,71 | 19,88 | 22,73 | 0,568 | 0,288 |
| 18 | 22,89 | 3,92 | 17,51 | 11,76 | 19,68 | 22,98 | 0,612 | 0,235 |

Den Sauerstoffgehalt dieser Schlacken geben die folgenden Tabellen:

Sauerstoffgehalt der Schlacken.

| Nr. | Silicierungs- stufe $\frac{a}{b}$ | SiO_2 | Al_2O_3 | CaO | MgO | FeO | MnO |
|-----|---|---------|-----------|-------|-------|-------|-------|
| 1 | 0,34 | 7,51 | 1,42 | 4,87 | 5,32 | 5,08 | 5,15 |
| 2 | 0,36 | 8,17 | 1,08 | 6,92 | 5,08 | 5,35 | 4,38 |
| 3 | 0,36 | 8,16 | 1,02 | 4,98 | 5,18 | 6,03 | 5,26 |
| 4 | 0,37 | 8,18 | 1,57 | 4,68 | 4,10 | 7,78 | 4,06 |
| 5 | 0,38 | 8,24 | 1,42 | 4,62 | 3,78 | 5,98 | 6,06 |
| 6 | 0,45 | 10,33 | 1,86 | 5,39 | 4,64 | 4,65 | 5,47 |
| 7 | 0,45 | 9,77 | 1,90 | 3,38 | 3,87 | 6,48 | 6,06 |
| 8 | 0,47 | 11,13 | 1,74 | 5,09 | 5,92 | 5,44 | 5,51 |
| 9 | 0,48 | 11,25 | 1,64 | 4,98 | 5,86 | 5,49 | 5,57 |
| 10 | 0,49 | 10,76 | 1,67 | 5,64 | 4,97 | 3,72 | 5,93 |
| 11 | 0,50 | 10,72 | 1,53 | 5,36 | 4,95 | 4,33 | 5,47 |
| 12 | 0,52 | 11,44 | 1,69 | 4,95 | 5,72 | 3,94 | 5,57 |
| 13 | 0,52 | 10,85 | 1,35 | 3,39 | 4,76 | 4,78 | 6,68 |
| 14 | 0,53 | 11,60 | 1,50 | 5,24 | 5,49 | 4,29 | 5,18 |
| 15 | 0,54 | 11,75 | 1,72 | 5,13 | 5,48 | 4,05 | 5,50 |
| 16 | 0,54 | 11,32 | 1,65 | 5,11 | 4,66 | 4,36 | 5,23 |
| 17 | 0,56 | 11,98 | 1,68 | 5,06 | 5,08 | 4,42 | 5,12 |
| 18 | 0,58 | 12,19 | 1,84 | 5,00 | 4,70 | 4,37 | 5,18 |

Sauerstoffgehalt der Basen in Prozenten

| Nr. | des Gesamt-Basensauerstoffes | | | | | des Sauerstoffes der RO-Basen | | | |
|-----|------------------------------|-------|-------|-------|-------|-------------------------------|-------|-------|-------|
| | Al_2O_3 | CaO | MgO | FeO | MnO | CaO | MgO | FeO | MnO |
| 1 | 7 | 22 | 24 | 23 | 24 | 24 | 26 | 25 | 25 |
| 2 | 5 | 30 | 22 | 24 | 19 | 32 | 24 | 24 | 20 |
| 3 | 5 | 22 | 23 | 27 | 23 | 23 | 24 | 28 | 25 |
| 4 | 7 | 21 | 19 | 35 | 18 | 23 | 20 | 38 | 19 |
| 5 | 7 | 21 | 17 | 27 | 28 | 23 | 18 | 29 | 30 |
| 6 | 8 | 24 | 21 | 21 | 26 | 27 | 23 | 23 | 27 |
| 7 | 8 | 16 | 18 | 30 | 28 | 17 | 20 | 33 | 30 |
| 8 | 7 | 21 | 25 | 23 | 23 | 23 | 27 | 25 | 25 |
| 9 | 7 | 21 | 25 | 23 | 24 | 23 | 27 | 25 | 25 |
| 10 | 7 | 26 | 23 | 17 | 27 | 28 | 25 | 18 | 29 |
| 11 | 7 | 25 | 23 | 20 | 25 | 27 | 25 | 21 | 27 |
| 12 | 8 | 23 | 26 | 18 | 25 | 25 | 28 | 20 | 27 |
| 13 | 6 | 16 | 23 | 23 | 32 | 17 | 24 | 25 | 34 |
| 14 | 7 | 24 | 25 | 20 | 24 | 26 | 27 | 21 | 26 |
| 15 | 8 | 23 | 25 | 18 | 26 | 25 | 27 | 20 | 28 |
| 16 | 8 | 24 | 22 | 21 | 25 | 26 | 24 | 23 | 27 |
| 17 | 8 | 24 | 24 | 21 | 23 | 26 | 26 | 22 | 26 |
| 18 | 9 | 24 | 22 | 21 | 24 | 26 | 24 | 23 | 27 |

Zusammenstellung.

| Sili- cierungs- stufe $\frac{s}{b}$ | Auf 100 Teile Gesamt- Basensauerstoff entfallen Teile Sauerstoff in | | | | Auf 100 Teile RO-Basen- sauerstoff entfallen Teile Sauerstoff in | | | | Teilungs- koeffizient $\frac{S_{\text{Schlacke}}}{S_{\text{Metall}}}$ | Stahlzusammensetzung | | | |
|--|---|-----|-----|-----|--|-----|-----|-------|---|----------------------|-------|-------|----|
| | CaO | | MnO | | CaO | | MnO | | | C% | Si% | Mn% | P% |
| | CaO | MnO | CaO | MnO | CaO | MnO | CaO | MnO | | | | | |
| 0,34 | 22 | 24 | 46 | 24 | 24 | 25 | 49 | 4,68 | 0,122 | 0,011 | 0,190 | 0,041 | |
| 0,36 | 30 | 19 | 49 | 32 | 32 | 20 | 52 | 2,18 | 0,132 | 0,013 | 0,418 | 0,025 | |
| 0,36 | 22 | 23 | 45 | 23 | 23 | 25 | 48 | 5,87 | 0,108 | 0,011 | 0,188 | 0,059 | |
| 0,37 | 21 | 18 | 39 | 23 | 23 | 19 | 42 | 2,87 | 0,098 | 0,011 | 0,187 | 0,024 | |
| 0,38 | 21 | 28 | 49 | 23 | 23 | 30 | 53 | 8,04 | 0,116 | 0,013 | 0,392 | 0,046 | |
| 0,45 | 24 | 26 | 50 | 27 | 27 | 27 | 54 | 6,10 | 0,164 | 0,029 | 0,215 | 0,037 | |
| 0,45 | 16 | 28 | 44 | 17 | 17 | 30 | 47 | 3,74 | 0,113 | 0,010 | 0,178 | 0,057 | |
| 0,47 | 21 | 23 | 44 | 23 | 23 | 25 | 48 | 1,45 | 0,132 | 0,014 | 0,484 | 0,061 | |
| 0,48 | 21 | 24 | 45 | 23 | 23 | 25 | 48 | 2,02 | 0,120 | 0,016 | 0,578 | 0,054 | |
| 0,49 | 26 | 27 | 53 | 28 | 28 | 29 | 57 | 10,96 | 0,315 | 0,080 | 0,294 | 0,041 | |
| 0,50 | 25 | 25 | 50 | 27 | 27 | 27 | 54 | 3,68 | 0,112 | 0,026 | 0,237 | 0,041 | |
| 0,52 | 23 | 25 | 48 | 25 | 25 | 27 | 52 | 2,77 | 0,120 | 0,015 | 0,468 | 0,053 | |
| 0,52 | 16 | 32 | 48 | 17 | 17 | 34 | 61 | 3,87 | 0,140 | 0,012 | 0,189 | 0,065 | |
| 0,53 | 24 | 24 | 48 | 26 | 26 | 26 | 52 | 1,74 | 0,110 | 0,014 | 0,212 | 0,041 | |
| 0,54 | 23 | 26 | 49 | 25 | 25 | 28 | 53 | 2,65 | 0,118 | 0,014 | 0,472 | 0,042 | |
| 0,54 | 24 | 25 | 49 | 26 | 26 | 27 | 63 | 2,91 | 0,108 | 0,011 | 0,212 | 0,042 | |
| 0,56 | 24 | 23 | 47 | 26 | 26 | 26 | 62 | 3,39 | 0,107 | 0,009 | 0,224 | 0,041 | |
| 0,58 | 24 | 24 | 48 | 25 | 25 | 27 | 53 | 2,94 | 0,120 | 0,013 | 0,301 | 0,037 | |

Die vorstehende Tabelle enthält den Teilungskoeffizienten und die wichtigsten, denselben beeinflussenden Faktoren, wie Silicierungsstufe und relativen CaO - und MnO -Gehalt der Schlacken, und C -, Si -, Mn - und P -Gehalt des Stahles.

Vergleicht man die vorstehenden Daten mit jenen, welche früher über die Schwefelverteilung zwischen Hochofenschlacken und Roheisen mitgeteilt wurden, so fallen uns zunächst die ausserordentlich niederen Werte der Teilungskoeffizienten beim Martinprozeß auf, die — da die Martinschlacken noch basischer sind als die Hochofenschlacken — wohl mindestens teilweise aus dem niederen Kohlenstoff- und Mangangehalte des Martinmetalles und dem niederen $\text{CaO} + \text{MnO}$ -Gehalte der Schlacke erklärt werden können. Teilweise kann aber auch die höhere Temperatur im Martinofen hierbei mitwirken, indem die Löslichkeit des Schwefels (bzw. der Monosulfide) im Metall mit steigender Temperatur wahrscheinlich rascher zunimmt als jene in der Schlacke. Ein Vergleich dieser beiden Zusammenstellungen zeigt übrigens, dass der Einfluss der Temperatur auf den Teilungskoeffizienten im allgemeinen kein zu bedeutender sein kann.

Der höchste Wert des Teilungskoeffizienten fällt mit dem höchsten Kohlenstoffgehalte des Stahles und mit dem höchsten $\text{CaO} + \text{MnO}$ -Gehalte der Schlacke zusammen, und es werden also auch hier die früher entwickelten Schlussfolgerungen bestätigt. Die Regelmässigkeit kommt jedoch hier weniger zum Ausdruck, weil sich ein grosser Teil der angeführten Analysen auf Untersuchungsreihen bezieht, die von verschiedenen Martinchargen in den aufeinanderfolgenden Stadien des Prozesses durchgeführt wurden, wobei das Gleichgewicht zwischen Metall und Schlacke wohl kaum erreicht worden sein dürfte. Überdies erleidet dieses Gleichgewicht infolge des fortschreitenden Frischprozesses andauernd eine Störung.

c) Thomas-Prozess.

Um nun auch die Verteilung des Schwefels beim Thomas-Prozesse zu studieren, wollen wir die folgenden Angaben in Betracht ziehen:

Analysen von Thomas-Metall

| Nr. | C % | Si % | Mn % | Cu % | P % | S % |
|-----|--------|---------|---------|---------|--------|--------|
| 1 | 0,07 | — | 0,28 | — | 0,090 | 0,038 |
| 2 | 0,018 | Spur | 0,14 | — | 0,109 | 0,041 |
| 3 | 0,24 | " | 0,46 | 0,08 | 0,02 | 0,09 |
| 4 | 0,12 | " | 0,07 | Spur | 0,04 | 0,18 |
| 5 | 0,09 | " | 0,12 | " | 0,04 | 0,16 |
| 6 | 0,15 | " | 0,19 | " | 0,48 | 0,37 |
| 7 | 0,10 | " | 0,17 | " | 0,07 | 0,20 |
| 8 | 0,20 | 0,003 | 0,31 | 0,06 | 0,067 | 0,15 |
| 9 | 0,16 | Spur | 0,25 | Spur | 1,18 | 0,33 |
| 10 | 0,14 | " | 0,11 | " | 0,93 | 0,37 |
| 11 | 2,72 | " | 0,43 | " | 1,32 | 0,26 |
| 12 | 2,48 | " | 0,42 | " | 1,29 | 0,27 |
| 13 | 0,24 | " | 0,36 | 0,04 | 0,03 | 0,12 |
| 14 | 0,13 | " | 0,09 | Spur | 0,20 | 0,31 |
| 15 | 0,70 | " | 0,30 | " | 1,22 | 0,29 |
| 16 | 2,21 | " | 0,25 | " | 1,17 | 0,34 |
| 17 | 0,045 | — | 0,40 | — | 0,888 | 0,070 |
| 18 | 2,86 | Spur | 0,29 | Spur | 1,48 | 0,27 |
| 19 | 1,30 | " | 0,23 | " | 1,10 | 0,35 |

Thomas-Schlackenanalysen

| Nr. | SiO ₂ % | Al ₂ O ₃ % | Fe ₂ O ₃ % | CaO % | MgO % | FeO % | MnO % | CaS % | P ₂ O ₅ % | P % | S % |
|-----|-----------------------|-------------------------------------|-------------------------------------|----------|----------|----------|----------|----------|------------------------------------|--------|--------|
| 1 | 4,42 | 3,06 | 5,66 | 41,73 | 3,02 | 19,46 | 4,29 | — | 18,25 | 7,97 | 0,11 |
| 2 | 5,90 | 4,06 | 3,66 | 44,16 | 2,46 | 13,64 | 4,34 | — | 21,16 | 9,24 | 0,10 |
| 3 | 9,72 | 2,21 | 3,81 | 49,75 | 6,42 | 8,58 | 5,93 | 2,26 | 10,88 | 4,75 | 1,00 |
| 4 | 10,87 | 1,73 | 3,52 | 49,35 | 5,22 | 11,58 | 2,54 | 2,27 | 13,69 | 5,98 | 1,01 |
| 5 | 9,85 | 1,68 | 4,94 | 49,55 | 5,08 | 12,27 | 2,07 | 1,98 | 12,80 | 5,59 | 0,88 |
| 6 | 11,32 | 0,39 | 0,57 | 63,32 | 4,37 | 4,45 | 1,96 | 0,83 | 12,41 | 5,42 | 0,37 |
| 7 | 10,90 | 1,83 | 2,95 | 51,01 | 5,29 | 11,21 | 2,15 | 1,65 | 13,68 | 5,97 | 0,73 |
| 8 | 11,40 | 2,35 | 3,20 | 51,00 | 4,74 | 8,20 | 3,50 | 3,15 | 12,00 | 5,24 | 1,40 |
| 9 | 14,85 | 0,49 | 2,54 | 64,00 | 3,66 | 5,42 | 2,08 | 0,92 | 5,55 | 2,42 | 0,41 |
| 10 | 16,03 | 2,34 | 2,00 | 61,74 | 4,96 | 4,13 | 3,12 | 0,63 | 5,88 | 2,57 | 0,28 |
| 11 | 18,47 | 0,42 | 0,80 | 67,81 | 4,94 | 4,21 | 1,91 | 0,97 | 1,09 | 0,47 | 0,21 |
| 12 | 18,05 | 0,38 | 0,60 | 68,02 | 4,37 | 3,69 | 2,80 | 0,63 | 1,81 | 0,79 | 0,28 |
| 13 | 12,25 | 2,31 | 1,61 | 48,38 | 5,60 | 9,42 | 5,32 | 2,34 | 12,68 | 5,54 | 1,04 |
| 14 | 12,80 | 2,00 | 2,57 | 53,77 | 4,90 | 5,97 | 2,68 | 1,35 | 14,34 | 6,44 | 0,60 |
| 15 | 21,25 | 0,72 | 1,81 | 61,82 | 4,64 | 2,90 | 2,98 | 0,90 | 3,46 | 1,51 | 0,40 |
| 16 | 22,69 | 3,07 | 0,50 | 57,07 | 5,85 | 4,84 | 3,93 | 1,00 | 2,22 | 0,97 | 0,44 |
| 17 | 6,14 | 1,67 | 4,51 | 45,49 | 2,21 | 5,19 | 4,80 | — | 29,93 | 13,07 | 0,08 |
| 18 | 26,83 | 3,09 | 0,14 | 52,33 | 5,11 | 4,21 | 3,62 | 1,71 | 2,81 | 1,14 | 0,76 |
| 19 | 23,25 | 3,00 | 1,62 | 46,00 | 4,73 | 6,77 | 5,50 | 0,78 | 7,74 | 3,37 | 0,35 |

| Sauerstoff in den Schlacken | | | | | | | | | |
|-----------------------------|-----------------------------|---------|-----------|-----------|-------|-------|-------|-------|----------|
| Nr. | Silikierungsstufe s b | SiO_2 | Al_2O_3 | Fe_2O_3 | CaO | MgO | FeO | MnO | P_2O_5 |
| 1 | 0,14 | 2,85 | 1,44 | 1,70 | 11,49 | 1,20 | 4,31 | 0,97 | 10,28 |
| 2 | 0,28 | 3,14 | 1,91 | 1,10 | 12,62 | 0,98 | 3,03 | 0,98 | 11,92 |
| 3 | 0,80 | 5,18 | 1,04 | 1,14 | 14,21 | 2,57 | 1,91 | 1,34 | 6,13 |
| 4 | 0,32 | 5,79 | 0,81 | 1,06 | 14,10 | 2,09 | 2,57 | 0,57 | 3,73 |
| 5 | 0,33 | 5,25 | 0,79 | 1,68 | 14,16 | 2,03 | 2,73 | 0,47 | 7,21 |
| 6 | 0,38 | 6,03 | 0,19 | 0,17 | 18,09 | 1,75 | 0,99 | 0,44 | 6,99 |
| 7 | 0,38 | 5,81 | 0,86 | 0,85 | 14,57 | 2,12 | 2,49 | 0,48 | 7,71 |
| 8 | 0,39 | 6,07 | 1,10 | 0,96 | 14,57 | 1,89 | 1,82 | 0,79 | 6,76 |
| 9 | 0,40 | 7,91 | 0,23 | 0,76 | 18,29 | 1,46 | 1,20 | 0,46 | 3,13 |
| 10 | 0,42 | 8,54 | 1,10 | 0,60 | 17,64 | 1,98 | 0,92 | 0,70 | 3,31 |
| 11 | 0,43 | 9,83 | 0,20 | 0,24 | 19,37 | 1,98 | 0,94 | 0,43 | 0,62 |
| 12 | 0,43 | 9,62 | 0,18 | 0,18 | 19,43 | 1,75 | 0,82 | 0,63 | 1,02 |
| 13 | 0,43 | 6,53 | 1,09 | 0,48 | 13,82 | 2,24 | 2,09 | 1,20 | 7,14 |
| 14 | 0,46 | 6,82 | 0,94 | 0,77 | 15,36 | 1,96 | 1,33 | 0,64 | 7,90 |
| 15 | 0,56 | 11,32 | 0,34 | 0,54 | 17,66 | 1,86 | 0,64 | 0,67 | 1,95 |
| 16 | 0,57 | 12,09 | 1,45 | 0,15 | 18,31 | 2,34 | 1,08 | 0,89 | 1,25 |
| 17 | 0,67 | 3,27 | 0,78 | 1,35 | 13,00 | 0,88 | 1,15 | 1,19 | 16,86 |
| 18 | 0,75 | 14,23 | 1,45 | 0,04 | 14,95 | 2,04 | 0,94 | 0,82 | 1,67 |
| 19 | 0,77 | 12,39 | 1,41 | 0,48 | 13,14 | 1,89 | 1,51 | 1,24 | 4,37 |

| Sauerstoff der Basen in Prozenten des Gesamt-Basensauerstoffes | | | | | | | |
|--|-----------|-----------|-------|-------|-------|-------|---------------------------------------|
| Nr. | Al_2O_3 | Fe_2O_3 | CaO | MgO | FeO | MnO | Basensauerstoff in $Ca_4P_2O_9$ |
| 1 | 7 | 8 | 16 | 6 | 20 | 4 | 9 |
| 2 | 9 | 5 | 15 | 5 | 15 | 5 | 46 |
| 3 | 4 | 5 | 42 | 12 | 9 | 6 | 22 |
| 4 | 4 | 5 | 52 | 10 | 12 | 3 | 14 |
| 5 | 4 | 8 | 38 | 9 | 12 | 2 | 27 |
| 6 | 1 | — | 58 | 8 | 5 | 2 | 26 |
| 7 | 4 | 4 | 39 | 10 | 12 | 2 | 29 |
| 8 | 5 | 5 | 43 | 9 | 9 | 4 | 25 |
| 9 | 1 | 3 | 71 | 7 | 5 | 2 | 11 |
| 10 | 5 | 3 | 65 | 9 | 4 | 3 | 11 |
| 11 | 1 | 1 | 81 | 9 | 4 | 2 | 2 |
| 12 | 1 | 1 | 80 | 7 | 4 | 3 | 4 |
| 13 | 5 | 2 | 39 | 11 | 10 | 6 | 7 |
| 14 | 4 | 4 | 43 | 9 | 6 | 3 | 31 |
| 15 | 2 | 2 | 74 | 9 | 3 | 3 | 7 |
| 16 | 7 | 1 | 69 | 10 | 5 | 4 | 4 |
| 17 | 4 | 7 | — | 5 | 6 | 4 | 74 |
| 18 | 7 | — | 67 | 10 | 5 | 4 | 7 |
| 19 | 7 | 2 | 49 | 10 | 8 | 6 | 2 |

Zusammenstellung, geordnet nach dem Gesamt-Sauerstoffverhältnis:

| Gesamt- Sauerstoff- verhältnis $\frac{s}{b}$ | Sauerstoff- verhältnis des Silikates $\frac{s_1}{b_1}$ | Sauerstoff in Prozenten des Basensauerstoffes im | | | | Teilungs- koeffizient $\frac{S_{\text{Schlacke}}}{S_{\text{Metalle}}}$ | Zusammensetzung des Thomasmetalles in Prozenten | | | |
|---|---|---|-----|-----------|--------------------------|--|--|-------|------|-------|
| | | Silikat | | | CaO des Phosphates | | C | Si | Mn | P |
| | | CaO | MnO | CaO + MnO | | | | | | |
| 0,46 | 0,32 | 52 | 3 | 55 | 14 | 5,61 | 0,12 | Spur | 0,07 | 0,04 |
| 0,45 | 0,43 | 81 | 2 | 83 | 2 | 0,81 | 2,72 | " | 0,43 | 1,32 |
| 0,46 | 0,43 | 80 | 3 | 83 | 4 | 1,04 | 2,48 | " | 0,42 | 1,29 |
| 0,49 | 0,40 | 71 | 2 | 73 | 11 | 1,24 | 0,16 | " | 0,25 | 1,18 |
| 0,51 | 0,30 | 42 | 6 | 48 | 22 | 11,11 | 0,24 | " | 0,46 | 0,02 |
| 0,52 | 0,42 | 81 | 4 | 85 | 11 | 0,76 | 0,14 | " | 0,11 | 0,93 |
| 0,57 | 0,33 | 38 | 2 | 40 | 27 | 5,56 | 0,09 | " | 0,12 | 0,04 |
| 0,60 | 0,14 | 16 | 4 | 20 | 9 | 2,89 | 0,07 | — | 0,28 | 0,090 |
| 0,60 | 0,38 | 58 | 2 | 60 | 26 | 1,00 | 0,15 | Spur | 0,19 | 0,48 |
| 0,60 | 0,57 | 69 | 4 | 73 | 4 | 1,29 | 2,21 | " | 0,25 | 1,17 |
| 0,61 | 0,39 | 67 | 6 | 73 | 25 | 9,33 | 0,20 | 0,003 | 0,31 | 0,067 |
| 0,61 | 0,56 | 74 | 3 | 77 | 7 | 1,38 | 0,70 | Spur | 0,30 | 1,22 |
| 0,63 | 0,38 | 39 | 2 | 41 | 29 | 3,65 | 0,10 | " | 0,17 | 0,07 |
| 0,65 | 0,48 | 39 | 6 | 45 | 27 | 8,67 | 0,24 | " | 0,36 | 0,03 |
| 0,69 | 0,77 | 49 | 6 | 55 | 2 | 1,00 | 1,30 | " | 0,23 | 1,10 |
| 0,70 | 0,46 | 43 | 3 | 46 | 31 | 1,94 | 0,13 | " | 0,09 | 0,20 |
| 0,73 | 0,28 | 15 | 5 | 20 | 46 | 2,44 | 0,018 | — | 0,14 | 0,109 |
| 0,78 | 0,75 | 67 | 4 | 71 | 7 | 2,82 | 2,86 | Spur | 0,29 | 1,48 |
| 1,09 | 0,67 | — | 4 | 4 | 74 | 0,86 | 0,045 | — | 0,40 | 0,886 |

Zusammenstellung, geordnet nach der Silicierungsstufe des Silikates.

| Silicierungs- stufe der Schlacke nach Abzug des Calcium- phosphates | Sauerstoff in Prozenten des Basensaurestoffes im | | | | Teilungs- koeffizient | Zusammensetzung des Thomas-Metalles in Prozenten | | | | |
|--|---|-----|-----------|--------------------------|--------------------------|---|-------|-------|-------|---|
| | Silikat | | | CaO des Phosphates | | S Schlacke S Metall | C | Si | Mn | P |
| | CaO | MnO | CaO + MnO | | | | | | | |
| $\frac{a_1}{b_1}$ | | | | | | | | | | |
| 0,14 | 16 | 4 | 20 | 9 | 2,89 | 0,07 | — | 0,028 | 0,090 | |
| 0,28 | 15 | 5 | 20 | 46 | 2,44 | 0,18 | Spur | 0,14 | 1,09 | |
| 0,30 | 42 | 6 | 48 | 22 | 11,11 | 0,24 | " | 0,46 | 0,02 | |
| 0,32 | 62 | 3 | 65 | 14 | 6,61 | 0,12 | " | 0,07 | 0,04 | |
| 0,33 | 38 | 2 | 40 | 27 | 5,56 | 0,09 | " | 0,12 | 0,04 | |
| 0,38 | 58 | 2 | 60 | 26 | 1,00 | 0,15 | " | 0,19 | 0,48 | |
| 0,38 | 39 | 2 | 41 | 29 | 3,65 | 0,10 | " | 0,17 | 0,07 | |
| 0,39 | 67 | 6 | 73 | 25 | 9,33 | 0,20 | 0,003 | 0,31 | 0,067 | |
| 0,40 | 71 | 2 | 73 | 11 | 1,24 | 0,16 | Spur | 0,25 | 1,18 | |
| 0,42 | 81 | 4 | 86 | 11 | 0,76 | 0,14 | " | 0,11 | 0,98 | |
| 0,43 | 81 | 2 | 83 | 2 | 0,81 | 2,72 | " | 0,43 | 1,32 | |
| 0,43 | 80 | 3 | 83 | 4 | 1,04 | 2,48 | " | 0,42 | 1,29 | |
| 0,48 | 39 | 6 | 45 | 27 | 8,67 | 0,24 | " | 0,36 | 0,03 | |
| 0,46 | 43 | 3 | 46 | 31 | 1,94 | 0,13 | " | 0,09 | 1,20 | |
| 0,56 | 74 | 3 | 77 | 7 | 1,38 | 0,70 | " | 0,30 | 1,22 | |
| 0,57 | 69 | 4 | 73 | 4 | 1,29 | 2,21 | " | 0,25 | 1,17 | |
| 0,67 | — | 4 | 4 | 74 | 0,86 | 0,045 | — | 0,40 | 0,886 | |
| 0,76 | 67 | 4 | 71 | 7 | 2,82 | 2,86 | Spur | 0,29 | 1,48 | |
| 0,77 | 49 | 6 | 55 | 2 | 1,00 | 1,30 | " | 0,23 | 1,10 | |

Die Betrachtung der Verteilung des Schwefels zwischen Schlacke und Metall beim Thomas-Prozesse führt zu neuen Er-

gebnissen, da wir bei diesen Schlacken oft auf einen sehr bedeutenden Phosphorsäuregehalt stossen. Dementsprechend sind die hierher gehörigen Daten in der Tabelle auf Seite 137 nach wachsendem Verhältnis des Gesamt-Säuresauerstoffes ($SiO_2 + P_2O_5$) zum Gesamt-Basensauerstoff geordnet.

In der vorstehenden Tabelle sind dieselben Daten nach der Silicierungsstufe des nach Abzug des Calciumphosphates $Ca_4P_2O_7$ verbleibenden Schlackenrestes geordnet.

Hier fällt uns zunächst auf, dass die kleinsten Werte der Teilungskoeffizienten mit den kleinsten Gehalten der Schlacke an $Ca_4P_2O_7$ zusammenfallen:

| $\frac{s}{b}$ | CaO-Sauerstoff im Phosphate | Teilungs- koeffizient | C | Si | Mn | P |
|---------------|--------------------------------|--------------------------|------|------|------|-------|
| 0,45 | 2 | 0,81 | 2,72 | Spur | 0,42 | 1,32 |
| 0,69 | 2 | 1,00 | 1,30 | „ | 0,23 | 1,10 |
| 0,46 | 4 | 1,04 | 2,48 | „ | 0,42 | 1,29 |
| 0,60 | 4 | 1,29 | 2,21 | „ | 0,25 | 1,17 |
| 0,61 | 7 | 1,38 | 0,70 | „ | 0,30 | 1,22 |
| 0,78 | 7 $\frac{1}{2}$ | 2,82 | 2,86 | „ | 0,29 | 1,48 |
| 0,60 | 9 | 2,89 | 0,07 | — | 0,28 | 0,090 |

Eine Ausnahme bildet nur:

| $\frac{s}{b}$ | CaO-Sauerstoff im Phosphate | Teilungs- koeffizient | C | Si | Mn | P |
|---------------|--------------------------------|--------------------------|-------|----|------|-------|
| 1,09 | 74 | 0,86 | 0,045 | — | 0,40 | 0,886 |

wo aber die Schlackenanalyse fehlerhaft zu sein scheint, da in derselben nicht einmal genug CaO vorhanden ist, um die Phosphorsäure zu binden.

Diese Beispiele zeigen aber ausserdem (mit einer einzigen Ausnahme) auch einen hohen Kohlenstoff- und Phosphorgehalt des Metalles. Nun wissen wir aber aus dem vorhergehenden, dass ein hoher Kohlenstoffgehalt auf eine Vergrösserung des Teilungskoeffizienten hinwirkt. Wenn also dessenungeachtet kleine Teilungskoeffizienten auftreten, so liegt die Vermutung nahe, dass ein hoher Phosphorgehalt des Metalles eine Verkleinerung der Teilungskoeffizienten bewirke.

Stellen wir nun die übrigen Beispiele, bei welchen der Kohlenstoffgehalt des Stahles durchaus niedrig ist, nach steigen-

dem Phosphorgehalte der Schlacken geordnet, zusammen, so finden wir:

| $\frac{s}{b}$ | CaO-Sauerstoff im Phosphate | Teilungs- koeffizient | C | Si | Mn | P |
|---------------|--------------------------------|--------------------------|-------|-------|------|-------|
| 0,52 | 11 | 0,76 | 0,14 | Spur | 0,11 | 0,93 |
| 0,49 | 11 | 1,24 | 0,16 | „ | 0,25 | 1,18 |
| 0,45 | 14 | 5,61 | 0,12 | „ | 0,07 | 0,04 |
| 0,51 | 22 | 11,11 | 0,24 | „ | 0,46 | 0,02 |
| 0,61 | 25 | 9,33 | 0,20 | 0,003 | 0,31 | 0,067 |
| 0,60 | 26 | 1,00 | 0,15 | Spur | 0,19 | 0,48 |
| 0,57 | 27 | 5,56 | 0,09 | „ | 0,12 | 0,04 |
| 0,65 | 27 | 8,67 | 0,24 | „ | 0,36 | 0,03 |
| 0,63 | 29 | 3,65 | 0,10 | „ | 0,17 | 0,07 |
| 0,70 | 31 | 1,94 | 0,13 | „ | 0,03 | 0,20 |
| 0,73 | 46 | 2,44 | 0,018 | „ | 0,14 | 0,109 |
| 0,60 | 74 | 0,86 | 0,015 | — | 0,40 | 0,886 |

Auch hier sehen wir also, dass den hohen Phosphorgehalten des Metalles niedere Werte der Teilungskoeffizienten entsprechen, und umgekehrt. Diese Übereinstimmung wird ganz besonders auffallend, wenn wir die auf nahe gleiche Werte des Verhältnisses von $\frac{s}{b}$ (z. B. = 0,60) bezüglichen Daten zusammenstellen:

| $\frac{s}{b}$ | Teilungskoeffizient | P% (im Metall) |
|---------------|---------------------|----------------|
| 0,61 | 9,33 | 0,067 |
| 0,65 | 8,67 | 0,03 |
| 0,57 | 5,56 | 0,04 |
| 0,63 | 3,65 | 0,07 |
| 0,60 | 0,86 | 0,886 |
| oder | | |
| 0,65 | 8,67 | 0,03 |
| 0,73 | 2,44 | 0,109 |
| 0,70 | 1,94 | 0,20 |

Ordnen wir demnach unsere Beispiele nach wachsendem Phosphorgehalte des Metalles, so haben wir:

| Gesamt-Sauerstoff-verhältnis $\frac{s}{b}$ | Sauerstoff-verhältnis des Silikates $\frac{s_1}{b_1}$ | Sauerstoff in Prozenten des Basensauerstoffes im | | | | | Teilungs-koeffizient $\frac{S \text{ Schlacke}}{S \text{ Metall}}$ | Zusammensetzung des Metalles in Prozenten | | | | |
|---|--|--|-----|-----------|----------------------|-------|---|---|------|-------|--|--|
| | | Silikat | | | Cz O des Phos-phates | C | | Si | Mn | P | | |
| | | CaO | MnO | CaO + MnO | | | | | | | | |
| 0,51 | 0,30 | 42 | 6 | 48 | 22 | 11,11 | 0,24 | Spur | 0,46 | 0,02 | | |
| 0,55 | 0,43 | 39 | 6 | 45 | 27 | 8,67 | 0,24 | " | 0,36 | 0,03 | | |
| 0,57 | 0,33 | 38 | 2 | 40 | 27 | 5,56 | 0,09 | " | 0,12 | 0,04 | | |
| 0,45 | 0,32 | 52 | 3 | 55 | 14 | 5,61 | 0,12 | " | 0,07 | 0,04 | | |
| 0,61 | 0,39 | 57 | 6 | 73 | 25 | 9,33 | 0,20 | 0,003 | 0,31 | 0,067 | | |
| 0,63 | 0,38 | 39 | 2 | 71 | 29 | 3,65 | 0,10 | Spur | 0,17 | 0,07 | | |
| 0,50 | 0,14 | 16 | 4 | 20 | 9 | 2,89 | 0,07 | — | 0,28 | 0,090 | | |
| 0,73 | 0,28 | 15 | 5 | 20 | 46 | 2,44 | 0,18 | — | 0,14 | 0,109 | | |
| 0,70 | 0,46 | 43 | 3 | 46 | 31 | 1,94 | 0,13 | Spur | 0,09 | 0,20 | | |
| 0,60 | 0,38 | 58 | 2 | 60 | 26 | 1,00 | 0,15 | " | 0,19 | 0,48 | | |
| 1,09 | 0,67 | — | 4 | 4 | 74 | 0,86 | 0,046 | " | 0,40 | 0,886 | | |
| 0,52 | 0,42 | 81 | 4 | 85 | 11 | 0,76 | 0,14 | Spur | 0,11 | 0,93 | | |
| 0,69 | 0,77 | 49 | 6 | 55 | 2 | 1,00 | 1,80 | " | 0,23 | 1,10 | | |
| 0,60 | 0,57 | 69 | 4 | 73 | 4 | 1,29 | 2,21 | " | 0,26 | 1,17 | | |
| 0,49 | 0,40 | 71 | 2 | 73 | 11 | 1,24 | 0,16 | " | 0,25 | 1,18 | | |
| 0,61 | 0,56 | 74 | 3 | 77 | 7 | 1,88 | 0,70 | " | 0,30 | 1,22 | | |
| 0,46 | 0,43 | 80 | 3 | 83 | 4 | 1,04 | 2,48 | " | 0,42 | 1,29 | | |
| 0,45 | 0,43 | 81 | 2 | 83 | 2 | 0,81 | 2,72 | " | 0,43 | 1,32 | | |
| 0,78 | 0,75 | 67 | 4 | 71 | 7 | 2,82 | 2,86 | " | 0,29 | 1,48 | | |

Diese Zahlen scheinen auf einen überwiegenden Einfluss des Phosphorgehaltes im Metall hinzudeuten. Nächst dem Phosphorgehalte macht sich noch der Einfluss des Kohlenstoffgehaltes im Metallbade ziemlich bemerkbar. Leichte Abweichungen können auf nicht völlig erreichtes Gleichgewicht und ähnliches zurückgeführt werden.

Noch deutlicher scheint der Einfluss, den der Phosphorgehalt des Metalles auf den Teilungskoeffizienten des Schwefels ausübt, aus der folgenden Zusammenstellung hervorzugehen, in welcher jede einzelne Gruppe sich auf Schlacken bezieht, deren nach Abzug des Phosphates berechnetes Sauerstoffverhältnis annähernd gleich ist.

| s_1 b_1 | Teilungs- koeffizient | C | P |
|----------------|--------------------------|-------|-------|
| 0,30 | 11,11 | 0,24 | 0,02 |
| 0,32 | 5,61 | 0,12 | 0,04 |
| 0,33 | 5,56 | 0,09 | 0,04 |
| 0,14 | 2,89 | 0,07 | 0,090 |
| 0,28 | 2,44 | 0,018 | 0,109 |
| 0,39 | 9,83 | 0,20 | 0,067 |
| 0,38 | 3,65 | 0,10 | 0,07 |
| 0,38 | 1,00 | 0,15 | 1,18 |
| 0,43 | 8,67 | 0,24 | 0,03 |
| 0,46 | 1,94 | 0,18 | 0,20 |
| 0,42 | 0,76 | 0,14 | 0,93 |
| 0,40 | 1,24 | 0,16 | 1,18 |
| 0,43 | 1,04 ¹⁾ | 2,48 | 1,29 |
| 0,43 | 0,81 ¹⁾ | 2,72 | 1,32 |
| 0,57 | 1,29 | 2,21 | 1,17 |
| 0,56 | 1,38 | 0,70 | 1,22 |
| 0,67 | 0,86 ¹⁾ | 0,045 | 0,886 |
| 0,77 | 1,00 ¹⁾ | 1,30 | 1,10 |
| 0,76 | 2,82 ¹⁾ | 2,86 | 1,48 |

Hieraus erklärt sich, warum beim Thomasprozeße der Schwefelgehalt des Metalles erst dann abnehmen kann, wenn der Phosphorgehalt schon beträchtlich gesunken ist, wie unter anderem das folgende, einer Thomascharge von Peine entnommene Beispiel zeigt.

| Blasezeit in Minuten | C | Si | Mn | P | S |
|--------------------------------|-------|-------|------|-------|-------|
| 8 | 3,163 | 0,007 | 1,19 | 2,982 | 0,052 |
| 4 | 1,983 | — | 0,40 | 2,525 | 0,065 |
| 7 | 0,755 | — | 0,40 | 2,012 | 0,077 |
| 9 | 0,046 | — | 0,40 | 0,465 | 0,050 |
| 10 | 0,045 | — | 0,40 | 0,886 | 0,070 |
| 11 | 0,018 | — | 0,32 | 0,206 | 0,048 |
| 12 ¹ / ₄ | 0,018 | — | 0,14 | 0,109 | 0,041 |
| 13 ¹ / ₄ | 0,018 | — | 0,11 | 0,090 | 0,046 |
| nach Manganzusatz | 0,07 | — | 0,28 | 0,090 | 0,038 |

1) Hier macht sich der wachsende Kohlenstoffgehalt des Metalles bemerklich.

Noch besser lassen sich diese Verhältnisse aber aus dem folgenden Beispiele (Thomascharge von Hoerde) erkennen, da hier auch der Teilungskoeffizient angeführt werden konnte.

| Blasezeit in Minuten und Sekunden | | Zusammensetzung des Metalles in Prozenten | | | | S-Gehalt der Schlacke in Proz. | Teilungs- koeffizient $\frac{S \text{ Schlacke}}{S \text{ Metall}}$ | Sili- cierungs- grad |
|--|-------|--|------|------|------|---|---|----------------------------|
| | | C | Mn | P | S | | | |
| Min. | Sek. | | | | | | | |
| — | — | 2,82 | 0,52 | 1,28 | 0,29 | — | — | — |
| 2 | — | 2,72 | 0,43 | 1,32 | 0,26 | 0,21 | 0,81 | 0,43 |
| 4 | — | 2,48 | 0,42 | 1,29 | 0,27 | 0,28 | 1,04 | 0,43 |
| 6 | — | 1,70 | — | 1,25 | — | 0,34 | — | — |
| 8 | — | 0,70 | 0,30 | 1,22 | 0,29 | 0,40 | 1,38 | 0,56 |
| 9 | 45 | 0,16 | 0,25 | 1,18 | 0,33 | 0,41 | 1,24 | 0,40 |
| 10 | 45 | 0,15 | 0,19 | 0,48 | 0,37 | 0,37 | 1,00 | 0,38 |
| 11 | 45 | 0,10 | 0,17 | 0,07 | 0,20 | 0,73 | 3,65 | 0,38 |
| 11 | 55 | 0,09 | 0,12 | 0,04 | 0,16 | 0,88 | 5,50 | 0,33 |
| fertiger | Stahl | 0,24 | 0,46 | 0,02 | 0,09 | 1,00 | 11,11 | 0,30 |

Aus dieser Zusammenstellung ersieht man, dass der Schwefelgehalt des Roheisens während des Blasens solange beständig zunimmt, bis der Phosphorgehalt desselben unter 0,1% gefallen ist. Der Teilungskoeffizient hingegen wächst solange, bis der Kohlenstoffgehalt unter 0,2% gefallen ist; verringert sich dann bis zu dem früher erwähnten Phosphorgehalte, und steigt dann neuerdings rapid.

Das anfängliche Wachsen des Teilungskoeffizienten entspricht genau dem Saurerwerden der Schlacke. Sobald die Schlacke (nach 9 Minuten 45 Sekunden Blasezeit) anfängt immer mehr und mehr basisch zu werden, wächst der Schwefelgehalt des Roheisens, während der Teilungskoeffizient und der Schwefelgehalt der Schlacke abnehmen, bis (nach 11 Minuten 45 Sekunden Blasezeit), sobald der Phosphorgehalt des Roheisens 0,07% nicht mehr übersteigt, die entgegengesetzte Bewegung aller dieser Werte eintritt.

Der hier so auffallende Einfluss eines hohen Phosphorgehaltes im Metalle lässt sich übrigens schon bei den früher angeführten Hochofenbeispielen erkennen, wenn er auch dort durch den meist stark überwiegenden Einfluss des hohen Kohlenstoff- und Mangan-gehaltes erheblich abgeschwächt ist.

Anhangsweise mögen noch einige Beispiele über die Verteilung des Schwefels zwischen Schlacken und Steinen besprochen werden, die deshalb von einigem Interesse sein dürften, weil der Schwefelgehalt der Steine ein sehr hoher ist. Diese Beispiele sind J. H. L. Vogts „Mineralbildung in Schmelzmassen“ entnommen.

| Steine | | | | | | | |
|--|--|---|--|--|--------------------|--------------------|-------|
| Kupfer | 38 % | 29 % | — | 15,8 % | 16,6 % | | |
| Schwefel | 36 „ | 25 „ | 24 bis 25 % | 21,96 „ | 23,5 „ | | |
| | Rohschlacke von Mansfeld | Kupfer- rohschlacke von Vignäs | Konzentrations- schlacke von Kongsberg | Kupferstein-Schlacke nach Arnold | | | |
| SiO ₂ | 50,00 | 48,22 | 48,32 | 32,34 | 29,90 | 30,05 | |
| Al ₂ O ₃ | 15,67 | 16,35 | 3,68 | 6 bis 9 | 2,15 | 2,06 | |
| Fe ₂ O ₃ | — | — | 0,22 | 0,20 | 3,00 | 3,71 | |
| CaO | 20,29 | 19,29 | 10,06 | 6 bis 8 | 0,40 | 0,37 | |
| MgO | 4,37 | 3,23 | 1,23 | 1 bis 3 | 0,46 | 0,45 | |
| FeO | 8,73 | 10,75 | 30,35 | 43 bis 45 | 53,36 | 54,62 | |
| CuO | 0,67 | 0,75 | — | — | 0,16 | 0,22 | |
| ZnO | 1,01 | 1,26 | — | 0,5 bis 1,0 | 1,15 | 1,75 | |
| Cu | — | — | 0,29 | — | — | — | |
| CaS | — | — | 1,41 | — | — | — | |
| Ag | — | — | — | 0,038 bis 0,046 | — | — | |
| MnO | — | — | — | — | 0,32 | 0,37 | |
| P | — | — | — | — | 0,12 | 0,20 | |
| As ₂ O ₃ | — | — | — | — | Spur | Spur | |
| S | 9,29 | 0,25 | 0,46 ¹⁾ | 0,62 ¹⁾ | 3,17 ¹⁾ | 2,24 ¹⁾ | |
| Sauerstoff in | SiO ₂ | 26,67 | 25,72 | 25,74 | 17,58 | 15,93 | 16,03 |
| | Al ₂ O ₃ | 7,30 | 7,62 | 1,73 | 3,53 | 1,00 | 0,96 |
| | Fe ₂ O ₃ | — | — | 0,07 | 0,06 | 0,90 | 1,11 |
| | CaO | 5,80 | 5,51 | 3,45 | 2,00 | 0,11 | 0,11 |
| | MgO | 1,75 | 1,29 | 0,49 | 2,80 | 0,18 | 0,18 |
| | FeO | 1,94 | 2,37 | 6,74 | 9,78 | 11,84 | 12,14 |
| | MnO | — | — | — | — | 0,07 | 0,08 |
| | Cu ₂ O u. s. w. | 0,29 | 0,33 | — | — | — | — |
| ZnO | — | | | 0,15 | 0,27 | 0,39 | |
| $\frac{s}{b}$ | 1,56 | 1,50 | 2,06 | 1,08 | 1,11 | 1,07 | |
| Teilungs- koeffizient | 1 | 1 | 1 | 1 | 1 | 1 | |
| S Schlacke | 89,4 | 104,0 | 416,67 | 39,5 | 6,93 | 10,49 | |
| S Eisen | | | | | | | |

1) Durch Abzug der in den eingeschlossenen Steinkügelchen enthaltenen Schwefels reduziert.

Das Wichtigste aus dieser Tabelle ist in der folgenden übersichtlich zusammengestellt:

| | | | | | | |
|--|--------------------|------------------|-------------------|------------------|------------------|-------------------|
| Silicierungsstufe der Schlacke | 2,06 | 1,56 | 1,50 | 1,11 | 1,08 | 1,07 |
| Sauerstoff in $CaO + FeO + MnO + ZnO$ in % des Gesamt-Basen-Sauerstoffes | 81,00 | 57,00 | 52,00 | 83,00 | 73,00 | 85,00 |
| Schwefelgehalt des Steines | 25,00 | 26,00 | 26,00 | 21,96 | 24,50 | 23,50 |
| (Reduzierter) Schwefelgehalt der Schlacke | 0,06 | 0,29 | 0,25 | 3,17 | 0,62 | 2,24 |
| Teilungskoeffizient $\frac{S_{Schlacke}}{S_{Stein}}$ | $\frac{1}{416,67}$ | $\frac{1}{89,4}$ | $\frac{1}{104,0}$ | $\frac{1}{6,93}$ | $\frac{1}{39,5}$ | $\frac{1}{10,49}$ |

Wie man sieht, wächst auch hier der Wert des Teilungskoeffizienten mit der Basizität der Schlacke, ist aber durchaus viel kleiner als zwischen Schlacke und Eisen. Grösserer Gehalt der Schlacke an $CaO + FeO + MnO + ZnO$ scheint den Wert des Teilungskoeffizienten gleichfalls zu erhöhen. Diese Andeutungen, welche zeigen, dass auch in diesem Falle dieselben Gesetze gültig zu sein scheinen, wurden deshalb erwähnt, weil auch bei Eisen ähnliche, an Steinbildung erinnernde Erscheinungen aufzutreten scheinen.

Ein Stein wird nämlich offenbar immer dann gebildet werden, wenn der Schwefelgehalt des Metalles im geschmolzenen Zustande ein so grosser ist, dass das beim Abkühlen sich stark vermindernde Lösungsvermögen von Metall sowohl als Schlacke nicht hinreicht, um die ganze vorhandene Sulfidmenge in Lösung zu erhalten. In diesem Falle wird sich die überschüssige Sulfidmenge als selbständige dritte Phase abscheiden, und diese Phase heisst Stein.

Es wird nur davon abhängen, ob die Abscheidung dieses Sulfidüberschusses im geschmolzenen Zustande von Eisen und Schlacke, oder erst beim Erstarren des Metalles erfolgt. In ersterem Falle wird es bei der geringen Menge, in welcher

diese überschüssigen Sulfide auftreten können, leicht möglich sein, dass diese Phase übersehen wird, und dies ist auch thatsächlich der Fall. Im zweiten Falle wird diese Sulfidausscheidung in Form von Seigerungen auftreten, die jedoch nicht selten noch mit Schlacken verunreinigt sein werden.¹⁾

Am besten werden diese Ausscheidungen dort beobachtet werden können, wo die Hauptmenge der Schlacke bereits entfernt ist, wie z. B. in den Pfannenschalen der Roheisenpfannen, und den Ausscheidungen an der Oberfläche von Stahlingots:

| Ausscheidungen an der Oberfläche der Ingots | Von einem Ingot bei | | Von einem anderen Ingot bei kommunizierendem Guss |
|---|---------------------|----------|---|
| | kommunizierendem | direktem | |
| | Guss | | |
| SiO_2 | 5,18 | 3,80 | 5,44 |
| FeO | 23,52 | 35,62 | 27,59 |
| Fe_2O_3 | 1,50 | 0,88 | 1,48 |
| Al_2O_3 | 3,21 | — | 1,80 |
| MnO | 58,54 | 58,63 | 59,51 |
| CaO | 0,58 | — | — |
| MgO | 0,21 | — | 1,30 |
| P_2O_5 | 0,060 | 0,037 | 0,043 |
| S | 0,647 | 0,447 | 0,816 |
| Mn | 1,110 | 0,768 | 1,402 |

Natürlich sind bei allen diesen der Praxis entstammenden Materialien Beimengungen von Schlacken oder Bruchstücken von feuerfesten Materialien aus der Form nie ausgeschlossen; letztere machen sich namentlich beim kommunizierenden Gusse bemerklich.²⁾

1) Näheres siehe Grundzüge der Siderologie, 1. Teil, S. 286, 2. Teil, S. 96 und 3. Teil, Erstes Buch, Kapitel VII.

2) Hiervon sind natürlich die beim Erstarren des Ingots zuerst fest werdenden und an der Oberfläche schwimmenden metallischen Partien zu unterscheiden, deren Zusammensetzung aus folgender Analyse zu ersehen ist:

| | |
|------|--------|
| O | 0,002 |
| Si | 0,029 |
| Mn | 0,227 |
| P | 0,027 |
| S | 0,032 |
| Fe | 99,358 |
| | 99,675 |

Wahrscheinlich ist übrigens auch diese Probe mit etwas Schlacke u. s. w. verunreinigt.

Aus den vorstehenden Beobachtungen lassen sich nun folgende Schlüsse ziehen:¹⁾

1. Wenn bei hüttenmännischen Prozessen zwischen Schlacke und dem gleichzeitig auftretenden anderen Hüttenprodukte (Metall, Stein u. s. w.) Gleichgewicht eingetreten ist, so verteilt sich der Schwefel zwischen beiden in einem konstanten Verhältnisse (Teilungskoeffizient), dessen Wert von der Zusammensetzung beider in Rede stehenden Phasen und von der Temperatur abhängt.

2. Der Wert dieses Teilungskoeffizienten ($S_{\text{Schlacke}} : S_{\text{(andere Phase)}}$) steigt allgemein mit der Basizität der Schlacke.

3. Er steigt aber auch anscheinend mit der Menge an $\text{CaO} + \text{MnO}$ (vielleicht auch FeO und ZnO) in der Schlacke.

4. Bei Eisenlegierungen steigt der Wert des Teilungskoeffizienten, und zwar erheblich, mit wachsendem Gehalt an Kohlenstoff und Mangan und mit abnehmendem Gehalt an Phosphor.

5. Der Einfluss der Zusammensetzung der Eisenlegierungen auf den Teilungskoeffizienten nimmt mit der Basizität der Schlacke ab und zu.

6. Das Gleiche scheint auch von dem Einflusse eines höheren $\text{CaO} + \text{MnO}$ -Gehaltes der Schlacken zu gelten.

7. Das unter 4 Gesagte erklärt sich durch die geringere Löslichkeit des Schwefelmangans im Eisen²⁾ und wahrscheinlich auch aller Sulfide in carbidhaltigem Eisen, während diese Sulfide in reinem Eisen (und vielleicht auch in eisenphosphidhaltigem) relativ sehr gross sein dürfte.

8. Aus dem vorstehenden folgt, dass man bei hüttenmännischen Operationen im allgemeinen nicht im stande ist, den in der Beschickung enthaltenen Schwefel aus dem einen Hüttenprodukte ganz vollständig zu entfernen. Wieweit dies möglich ist, hängt vom Teilungskoeffizienten, also von der Zusammensetzung der beiden bei dem fraglichen Prozesse auftretenden Phasen und von der Temperatur ab.

9. Aus diesem Grunde ist die Entschweflung bei kohlenstoff- und manganreicheren Eisensorten (Ferromangan und Roh-

1) Natürlich sind zur völligen Klarlegung der anscheinend ziemlich komplizierten Vorgänge zwischen Schlacke und Metall weitere eingehende Studien sehr erwünscht.

2) Siehe Dritter Teil, Erstes Buch, Kapitel VII.

eisen) eine vollständigere als bei kohlenstoff- und manganarmem Eisen (Martin- und Bessemer-Prozess.¹⁾)

10. Beim Thomasprozeß wirkt einer weitgehenden Entschwefelung überdies anscheinend noch dem Phosphorgehalt entgegen; sie wäre demnach hier erst dann möglich, wenn der Phosphorgehalt stark abgenommen hat, in welchem Falle aber auch der Kohlenstoff- und Mangangehalt schon verschwindend klein geworden ist.

11. Um also ein kohlenstoff- und manganarmes Eisen mit möglichst niederem Schwefelgehalte erzielen zu können, bleiben (da die Basizität der Schlacke ein gewisses Mass nicht überschreiten kann) nur zwei Wege offen:

α) die Wahl einer möglichst schwefelarmen Beschickung (Wahl reiner Rohmaterialien, Entschwefelung des Roheisens im Mischen), oder

β) wiederholte Entfernung der alten und Bildung neuer Schlacke (in diesem Sinne wirkt auch ein Mischer, welcher nicht nur ein schwefelärmeres Rohmaterial liefert, sondern auch durch Entfernung der Mischerschlacke die Bildung neuer Schlacken bedingt).

12. Es ist gar nicht ausgeschlossen, dass namentlich bei sinkender Temperatur — neben Schlacke und Metall — noch eine dritte Phase (ein Gemenge von Oxyden und Sulfiden) auftreten kann. Dieser Fall scheint bei gewissen Ausseigerungen einzutreten.

Es wäre noch die Frage zu beantworten, ob eine Schwefelaufnahme aus SO_2 haltigen Flammgasen erfolgen kann? Diese Frage erledigt sich von selbst aus dem im Kapitel VII des Ersten Buches über die Dissociationsspannung Gesagten.²⁾

Die Verhältnisse, welche bei der Schlackenbildung und Entphosphorung (Thomas- und basischer Martinofenschlacke u. s. w.) massgebend sind, wurden bisher vom physikalisch-chemischen Standpunkte aus noch nicht studiert, weshalb wir uns hier auf wenige allgemeine Bemerkungen beschränken müssen.

1) Vermutlich auch im „Mischer“, doch stehen zur Entscheidung dieser Frage leider keine genügenden Angaben zur Verfügung.

2) S. 105.

Bei der Schlackenbildung hängt die Zusammensetzung der entstehenden Schlacke von der Temperatur ab, die in allen Fällen dem Schmelzpunkte der entstehenden Schlacke mindestens gleich sein muss. Je höher die Ofentemperatur somit steigt, desto schwerschmelzbarere Schlacken können entstehen. Freilich wirken hierauf noch andere Faktoren, wie Zusammensetzung des Einsatzes und des Ofenfutters sowie oxydierende oder reduzierende Einflüsse des Brennstoffes bzw. der Flammengase modifizierend ein, so dass wir es hier mit sehr komplizierten Gleichgewichten zu thun haben werden.

Beim Thomas-, sowie beim basischen Martinprozeß findet nur dann eine kräftige Oxydation des Phosphors im Metalle und Aufnahme der Phosphorsäure in die Schlacke statt, wenn die Schlacke freies CaO gelöst enthält, wenn also ein Kalküberschuss vorhanden ist.

Die Besprechung der einzelnen hüttenmännischen Prozesse wird Gelegenheit geben, auf diese Verhältnisse nochmals zurückzukommen.

ZEHNTES KAPITEL.

Wechselwirkungen zwischen Metall und darin eingeschlossener Schlacke.

Wenn die Wechselwirkungen, die zwischen dem Metalle und der darin eingeschlossenen Schlacke u. s. w. auftreten können, eigentlich mit den im vorigen Kapitel behandelten Vorgängen identisch sind, so sollen dieselben doch hier besonders besprochen werden, weil sie bei der Bearbeitung der technischen Eisensorten auftreten, und daher eine gesonderte Besprechung verdienen.

Besonders wichtig sind dieselben bei der Herstellung von Schweisseisen aus Rohluppen, weshalb wir die hierbei stattfindenden chemischen Vorgänge an Hand der Untersuchungen des Verfassers¹⁾ besprechen wollen.

Die Analyse von vier Rohluppen und dem dazugehörigen fertigen Schweisseisen ergab:

1) Österr. Zeitschr. f. Berg- und Hüttenwesen 1894, No. 20, S. 237.

| Bestandteile | I | | II | | III | | IV | |
|-----------------------------------|----------|--------------------------------|----------|--------------------------------|----------|--------------------------------|----------|--------------------------------|
| | Rohluppe | Fertiges Schweiss- eisen | Rohluppe | Fertiges Schweiss- eisen | Rohluppe | Fertiges Schweiss- eisen | Rohluppe | Fertiges Schweiss- eisen |
| Kohlenstoff | 0,207 | 0,121 | 0,287 | 0,1271 | 0,1162 | 0,101 | 0,2806 | 0,1204 |
| Silicium | 0,1076 | 0,074 | 0,132 | 0,094 | 0,1694 | 0,069 | 0,207 | 0,133 |
| Mangan | 0,644 | 0,518 | 0,587 | 0,558 | 0,628 | 0,581 | 0,706 | 0,658 |
| Schwefel | 0,005 | 0,004 | 0,005 | 0,006 | 0,006 | 0,005 | 0,018 | 0,012 |
| Phosphor | 0,0831 | 0,0214 | 0,0878 | 0,0271 | 0,0884 | 0,0484 | 0,1208 | 0,1087 |
| Kupfer | Spur | Spur | Spur | Spur | 0,003 | 0,002 | 0,004 | 0,003 |
| Kobalt und Nickel . | — | — | — | — | — | — | — | — |
| Metallisches Eisen . | 98,8923 | 99,1026 | 99,8217 | 99,1538 | 98,8704 | 99,0436 | 98,8916 | 98,5859 |
| Schlacke SiO_2 . . . | 0,018 | 0,040 | 0,026 | 0,042 | 0,012 | 0,054 | 0,018 | 0,048 |
| " Fe_2O_3 | 0,189 | 0,166 | 0,100 | 0,088 | 0,161 | 0,095 | 0,242 | 0,319 |
| " Mn_2O_3 | 0,011 | 0,009 | 0,005 | 0,004 | 0,009 | 0,005 | 0,012 | 0,017 |
| Summe | 100,0000 | 100,0000 | 100,0000 | 100,0000 | 100,0000 | 100,0000 | 100,0000 | 100,0000 |

I und II waren aus Holzkohlenroheisen, III und IV aus Koksroheisen erzeugt worden. Selbstverständlich muss der Schlackengehalt beim Fertigprodukte kleiner sein als in der Rohluppe, und dies ist auch bei I und III der Fall:

| Schlacken- gehalt | Rohlupe | Fertiges Schweisseisen | Differenz |
|----------------------|---------|---------------------------|-----------|
| I | 0,218% | 0,202% | — 0,013% |
| II | 0,130 „ | 0,134 „ | + 0,004 „ |
| III | 0,182 „ | 0,154 „ | — 0,028 „ |
| IV | 0,272 „ | 0,384 „ | + 0,112 „ |

Bei der Probe II blieb die Schlackenmenge fast unverändert, und die Probe IV zeigt im fertigen Schweisseisen mehr Schlacke als in der Rohlupe, ein Verhältnis, das durch die Schwierigkeit erklärt ist, von Rohluppen verlässliche Durchschnittsproben zu erhalten.

Auffallend ist die Thatsache, dass der Kieselsäuregehalt des fertigen Schweisseisens durchaus erheblich grösser ist als der der zugehörigen Rohluppen:

| SiO_2 | Rohlupe | Fertiges Schweisseisen | Differenz |
|---------|---------|---------------------------|-----------|
| I | 0,018% | 0,040% | + 0,022% |
| II | 0,025 „ | 0,042 „ | + 0,017 „ |
| III | 0,012 „ | 0,054 „ | + 0,042 „ |
| IV | 0,018 „ | 0,048 „ | + 0,030 „ |

Ebenso zeigt sich die Zusammensetzung der Schlacke im fertigen Schweisseisen stets weit saurer als jene der Rohlupe:

| Bezeichnung der Schlacke | | SiO_2 % | Fe_2O_3 % | Mn_2O_3 % |
|--------------------------|------------------------|-----------|-------------|-------------|
| I | Rohlupe | 8,25 | 86,69 | 5,06 |
| | Fertiges Schweisseisen | 19,51 | 76,09 | 4,40 |
| II | Rohlupe | 19,23 | 76,92 | 3,85 |
| | Fertiges Schweisseisen | 31,24 | 65,67 | 2,99 |
| III | Rohlupe | 6,59 | 88,46 | 4,95 |
| | Fertiges Schweisseisen | 35,06 | 61,69 | 3,25 |
| IV | Rohlupe | 6,61 | 88,97 | 4,42 |
| | Fertiges Schweisseisen | 12,15 | 83,09 | 4,41 |

Während also einerseits die Schlackenmenge durch die mechanische Arbeit verringert worden sein müsste, hat andererseits eine Anreicherung an Kieselsäure (und zwar sowohl relativ als absolut) stattgefunden, welche wohl nur teilweise durch Aufnahme aus dem Boden u. s. w. erklärt werden kann. Betrachtet man nämlich die Veränderungen, welche der Siliciumgehalt erleidet:

| SiO_2 | Rohlupe | Schweisseisen | Differenz | |
|----------------|----------|---------------|---------------------------------------|----------|
| | | | Silicium: entsprechend SiO_2 | |
| I | 0,1076 % | 0,0740 % | 0,0336 % | 0,0720 % |
| II | 0,1320 „ | 0,0940 „ | 0,0380 „ | 0,0814 „ |
| III | 0,1694 „ | 0,0690 „ | 0,1004 „ | 0,2151 „ |
| IV | 0,2070 „ | 0,1330 „ | 0,0740 „ | 0,1586 „ |

so ergibt sich daraus eine bedeutende Abnahme an diesem Elemente, welche nur durch Oxydation desselben zu Kieselsäure erklärt werden kann, wobei es natürlich ist, dass im allgemeinen einem steigenden Zuwachs an Schlacken Kieselsäure auch eine wachsende Abnahme an elementarem Silicium entspricht.

Diese Bildung von Kieselsäure aus dem Silicium des Metalles kann aber wohl nur durch gleichzeitige Reduktion der Metalloxyde der Schlacke (hauptsächlich des Eisenoxydes) erklärt werden; eine Annahme, die durch Vergleichung der Bildungswärmen der betreffenden Verbindungen (bezogen auf deren Molekulargewicht) bestätigt wird, die für Kieselsäure höher ist als für Eisenoxyd:

$$(\text{Si} + \text{O}_2) = + 219240 \text{ cal.}$$

$$(\text{Fe}_2 + \text{O}_2) = + 211344 \text{ „}$$

Dies stimmt auch mit dem sogenannten dritten Berthelotschen Gesetze (Prinzip des Arbeitsmaximums) vollkommen überein, das ja, wenn auch nicht allgemein gültig, doch einen wichtigen Orientierungsbehelf darstellt.

Bezüglich der Änderungen bei den übrigen Bestandteilen, welche aus den oben angeführten Analysen ersichtlich sind, ist nichts zu erwähnen; es zeigt sich überall eine Verminderung an Kohlenstoff, Phosphor und (mit einer Ausnahme) an Schwefel; ja sogar an Mangan und Kupfer.

Zweites Buch.

Die hüttenmännischen Prozesse.

Einleitung.

Haben wir im ersten Buche dieses Teiles der „Grundzüge der Siderologie“ die Wechselwirkungen zwischen Eisen und anderen Agentien vom theoretischen Standpunkte aus soweit systematisch besprochen, als dies beim gegenwärtigen Standpunkte unserer Forschungen möglich war, so wollen wir nun die Theorie der einzelnen Hüttenprozesse behandeln.

Wir wollen uns hierbei auf die wichtigsten jener metallurgischen Prozesse beschränken, welche mit der Darstellung, bezw. Umwandlung von Eisenlegierungen zu thun haben, und von den vorbereitenden Operationen (wie Rösten der Erze u. s. w.) absehen.

Hiernach werden wir folgende Operationen zu besprechen haben:

1. Hochofenprozess,
2. die wichtigsten sonstigen Reduktionsprozesse,
3. Frischprozesse:
 - a) Puddeln,
 - b) Bessemerprozess (sauer und basisch),
 - c) Siemens-Martinprozess (sauer und basisch),
4. Glühfrischen,
5. Cementieren.

A. Hochofenprozess.

ERSTES KAPITEL.

Der Hochofenprozess und die wichtigsten sonstigen Reduktionsprozesse.

Die in den Hochofen gebrachten Erze werden zum grössten Teile reduziert, während der Rest (der Hauptsache nach die Gangart) mit den beigemengten Zuschlägen Schlacke giebt. Das so entstandene Metall (Roheisen), das die Hauptmenge des im Erze enthaltenen Eisens, ferner Mangan, Silicium, Schwefel, Phosphor u. s. w. aus der Beschickung enthält und Kohlenstoff aus dem Brennmateriale aufnimmt, sowie die Schlacke werden geschmolzen, und beide trennen sich nach dem spezifischen Gewichte. Dies ist der hauptsächliche Vorgang im Hochofen. Daneben treten aber noch andere Erscheinungen auf. Erz, Zuschlag und Brennstoffe enthalten gewöhnlich Wasser; die beiden ersteren oft auch Carbonate. Das Wasser wird im obersten Teile des Hochofens verdampft; etwas tiefer findet eine Zersetzung der Carbonate statt. Weiterhin treten noch andere Reaktionen (Reduktion, Cyanbildung u. s. w.) auf, und im unteren Teile des Hochofens wird der Brennstoff teilweise vergast, d. h. durch den Sauerstoff des Gebläsewindes zu CO_2 und CO verbrannt. Auch der Wassergehalt des Windes nimmt an den Vorgängen im Hochofen teil; er wird in Sauerstoff und Wasserstoff zerlegt; ersterer verbindet sich mit dem Kohlenstoff des Brennmateriales, letzterer beteiligt sich an der Reduktion des Erzes, bildet aber auch teilweise Kohlenwasserstoffe. Wie man sieht, sind die Vorgänge im Hochofen ziemlich komplizierte, und es erscheint notwendig, dieselben — soweit sie überhaupt bis jetzt studiert sind — im einzelnen zu besprechen. Bevor wir dies jedoch thun, wollen wir noch kurz die Veränderungen besprechen, welche im Hochofen die nach abwärts sinkende Beschickung, bzw. der nach aufwärts streichende Gasstrom erleidet.

Die an der Gicht in horizontalen Schichten ausgebreiteten abwechselnden Lagen von Brennstoff und Erz (samt Zuschlägen) bewegen sich, und zwar (wegen der Reibung) an den Wänden langsamer als in der Mitte, nach abwärts; gleichzeitig rollen die grösseren Erzstücke gegen die Mitte vor. Umgekehrt steigen die

Gase hauptsächlich dort auf, wo sie den kleinsten Widerstand finden (an den Wänden), Erscheinungen, welche für den regelmässigen Ofenbetrieb schädlich wirken.

Die frisch aufgegebene Beschickung wird in den obersten Teilen des Schachtes (nach Ebelmann bis etwa 4,5 m unter der Gicht) entwässert, indem nicht nur das hygroskopische, sondern auch das chemisch gebundene Wasser verflüchtigt wird. Dieser Vorgang verbraucht Wärme und bedingt so Schwankungen in der Gichttemperatur (und zwar sowohl in ihren Extremen als in ihren Mittelwerten). Die Versuche, Braunerze (mit hohem Wassergehalt) zu rösten, haben zwar eine Steigerung der Gichttemperatur, aber keine oder doch nur unerhebliche Brennstoffersparnis ergeben.

Bei etwa 300° C. beginnen die niedersinkenden Erze durch das aufsteigende Kohlenoxydgas reduziert zu werden (aber nicht zu Metall); verweilen sie längere Zeit bei einer Temperatur von etwa 400° im Hochofen, so wird auf denselben Kohlenstoff abgelagert (nach der Gleichung: $2CO = C + CO_2$). Dass diese Kohlenstoffablagerung nicht unbedeutend ist, zeigen folgende von Ledebur ermittelten Zahlen:

| Versuchszeit | Pro Stunde abgelagerte Kohlenstoff- menge in % des Ersgewichts |
|---|---|
| 0 bis 6 ^h (zu niedrige Temperatur) | 0% |
| 6 „ 11 ^h | 1,6% |
| 11 „ 16 ^h | 3,2 „ |
| 16 „ 20 ^h | 4,2 „ |
| 20 „ 24 ^h | 4,5 „ |
| 24 „ 29 ^h | 7,2 „ |
| 0 „ 41 ^h etwa | 12 „ |

Erst bei einer Temperatur von etwa 900° C. beginnt die Reduktion von metallischem Eisen nach Åkerman ($FeO + 3CO = Fe + CO_2 + 2CO$).

Die Zersetzung der Carbonate findet bei einer Temperatur von etwa 800° C. (und höher) statt. Der Nutzen vorherigen Brennens der Kalksteine ist ein kaum bemerklicher, weil der gebrannte Kalk in kurzem Wasser und Kohlensäure aufnimmt, und weil die durch Zersetzung desselben im Hochofen bewirkte Abkühlung der Entstehung von Oberfeuer, also dem Schmelzen unreduzierten Erzes entgegenwirkt. Überdies wird der Brennstoff- und Arbeitsaufwand u. s. w., welcher ein separates Brennen

des Zuschlagkalkes verursacht, oft grösser ausfallen, als wenn das Kalkbrennen im Hochofen selbst durchgeführt wird.

Bei der Anwendung rohen Brennstoffes findet auch trockene Destillation desselben statt (Holz zwischen 150 und 400° C., Mineralkohle bei höherer Temperatur).

Die Schlackenbildung erfolgt bei Temperaturen, die über dem Schmelzpunkte der fertigen Schlacken liegen. Schon vorhandene Silikate erniedrigen, freie Kieselsäure (besonders grobkörniger Quarz), ebenso Gegenwart von Kalk, erhöhen die Bildungstemperaturen der Schlacken. Jedenfalls ist die im Hochofen zuerst entstehende Schlacke ganz anders zusammengesetzt als das Endprodukt.

Gleichzeitig mit dem Sintern der unreduzierten Beschickungsanteile schreitet die Kohlung des reduzierten Eisens fort, wodurch sich der Schmelzpunkt derselben erniedrigt und bei seinem fortgesetzten Sinken endlich Temperaturen erreicht (1100—1400°), bei denen es zu schmelzen beginnt. Aus den gleichfalls in immer tiefere und heissere Ofenregionen gelangenden Schlacken wird in Berührung mit fester, weissglühender Kohle Eisen und Phosphor, und unter günstigen Verhältnissen auch Silicium und Mangan reduziert (letztere jedoch erst, wenn der Eisengehalt der Schlacke schon stark reduziert ist). Vom Phosphor bleiben nur bei sehr phosphorreichen Beschickungen und niederer Ofentemperatur Spuren in der Schlacke zurück.

Die Reduktion des Mangans erfolgt leicht bei basischer Beschickung, die des Siliciums am leichtesten bei saurerer Beschickung, jedoch auch bei basischer Beschickung leicht, wenn die Ofentemperatur hoch genug ist. Die geschmolzenen Endprodukte (Eisen und Schlacke) tropfen nach abwärts und sammeln sich im Herde (die Schlacke oberhalb des Eisens).

Die Reduktion von Zink erfolgt unter starkem Wärmeverbrauch und Verflüchtigung des Metalles bei 1100° C. In den oberen Ofenpartien wird es durch vorhandenen Wasserdampf und Kohlensäure zu Zinkoxyd oxydiert, welches teils als Gichtstaub mit den Gasen entführt, teils an den Ofenwänden unterhalb der Gicht als Gichtschwamm abgelagert wird. Im Roheisen ist nie, in der Schlacke selten eine Spur von Zink enthalten.

Blei wird vollständig reduziert; ein Teil desselben wird verflüchtigt, die Hauptmenge desselben sammelt sich unter dem

Roheisen, sickert durch den Bodenstein und kann gewonnen werden.

Kupfer, Nickel, Kobalt, Antimon und Arsen werden gleichfalls vollständig reduziert und vom Eisen (Arsen fast gänzlich) aufgenommen.

Verfolgen wir nun den von unten nach oben sich bewegenden Gasstrom, so finden wir folgende Erscheinungen:

Die Verbrennung der heruntersinkenden Kohle beginnt, sobald sie mit dem gepressten Winde in Berührung kommt, und verläuft um so rascher, je höher die Temperatur des Verbrennungsraumes, und je inniger die Berührung zwischen Luft und Brennstoff ist (Nutzen der Winderhitzung, zahlreicher Düsen, porösen Brennstoffes und stärkere Windpressung). Das Resultat dieser Verbrennung ist Bildung von Kohlenoxydgas. Durch den Wassergehalt des Windes sinkt die im Verbrennungsraume erzielte Temperatur und steigt somit der Brennstoffverbrauch; aus diesem Grunde ist bei kleinen Hochofen der Brennstoffaufwand im Winter häufig kleiner als im Sommer. Bei der hohen Temperatur, die im Verbrennungsraume herrscht, bilden sich aus dem Stickstoffe der Luft, der Kohle und den Alkalien der Asche flüchtige Cyanide (zu deren Gewinnung Vorschläge gemacht wurden). Diese werden natürlich auf das Erz reduzierend einwirken, und es scheint, dass diese Reduktion durch Cyan im Hochofen eine weit grössere Rolle spielt als man gewöhnlich annimmt; wenigstens wäre sonst das Auftreten nicht unbeträchtlicher Mengen von Cyanverbindungen im Gichtstaube schwer begreiflich.

Durch die Reduktion von Mangan, Silicium und Eisen aus der Schlacke durch feste Kohle wächst der Kohlenoxydgehalt der Gase. Beim weiteren Aufsteigen der Gase in die Reduktionszone vermindert sich ihr Kohlenoxydgehalt durch die stattfindende Reduktion des Eisens; gleichzeitig kann aber auch durch Einwirkung der hierbei gebildeten Kohlensäure auf den festen Brennstoff Kohlenoxyd neu gebildet werden ($CO_2 + C = 2CO$), welches — unausgenützt entweichend — den Brennstoffaufwand erheblich erhöht. Um diesen schädlichen Vorgang thunlichst zu beschränken, muss die Temperatur des fraglichen Ofenteiles niedrig gehalten werden (Schacht ohne Raughemäuer und Umhüllungen; Zuschlag von rohem Kalkstein); auch Vermeidung zu grosser Ofenhöhen wirkt günstig, weil hierdurch die Zeit der Einwirkung der Gase

auf die Beschickung reduziert wird. Die Ofenhöhe kann um so grösser gewählt werden, je dichter und schwerer verbrennlich der benutzte Brennstoff ist.

Von bedeutendem Einflusse auf den Hochofengang ist die Geschwindigkeit des aufsteigenden Gasstromes. Bei zu grosser Geschwindigkeit ist die Reduktion eine unvollständige; bei zu kleiner Geschwindigkeit wird die Verbrennung der Kohle durch Kohlensäure vermehrt. Die Geschwindigkeit des Gasstromes, also die Menge des eingeblasenen Windes soll mit der Ofenhöhe wachsen.

| Tiefe der Gas- entziehungs- stelle unter der Gicht m | | | | | | Auf 100 Volumteile Stickstoff kommen | | CO_2 CO Verhältnis |
|---|---------|-------|--------|-------|-------|---|-----------------------------------|--------------------------------------|
| | CO_2 | CO | CH_4 | H_2 | N_2 | Sauerstoff aus der Be- schickung | Kohlen- stoff (gas- förmig) | |
| | Volum % | | | | | Volumteil | | |
| Gicht . . . | 13,96 | 24,44 | 0,34 | 4,85 | 55,42 | 19,5 | 34,6 | 0,57 |
| 4,4 m (8,3 m über den Formen | 14,64 | 26,30 | — | 8,20 | 50,86 | 26,7 | 40,2 | 0,55 |
| 5,7 m (7,0 m über den Formen) | 12,67 | 25,99 | 0,93 | 6,90 | 53,15 | 24,1 | 36,3 | 0,49 |
| 9,1 m (3,6 m über den Formen) | 12,78 | 28,57 | 0,20 | 2,84 | 56,23 | 20,3 | 36,8 | 0,44 |
| 10,1 m (2,6 m über den Formen) | 12,07 | 29,33 | 0,03 | 2,78 | 56,55 | 19,5 | 36,7 | 0,41 |
| 10,7 m (2,0 m über den Formen) | 7,92 | 29,01 | — | 2,31 | 60,76 | 9,2 | 30,4 | 0,27 |
| Formen- gegend | 2,07 | 33,72 | 0,06 | 1,39 | 62,63 | 2,7 | 28,5 | 0,06 |

Die im heissesten Teile des Ofens entstehenden Cyanide wirken bei ihrem Zusammentreffen mit unreduziertem Erze reduzierend, so dass nur ein verhältnismässig kleiner Teil derselben bis zur Gicht gelangt. Dass diese reduzierende Wirkung des Cyans nicht unbeträchtlich sein dürfte, wurde schon oben erwähnt.

Die immer sauerstoffreicher werdenden Gase nehmen in den oberen Teilen des Ofens noch Wasser aus dem Möller und (bei rohen Brennstoffen) Destillationsprodukte auf. Von letzteren treten nur Wasserstoff, Kohlensäure, Kohlenoxyd und Methan in den Gichtgasen auf, da die schweren Kohlenwasserstoffe, auf die Erze reduzierend wirkend, in dieses übergehen. Da jedoch Methan auch in solchen Hochöfen auftritt, die mit Holzkohle betrieben werden, ist es wahrscheinlich, dass dieses Gas auch auf anderem Wege (vielleicht direkte Synthese) entstehen könne.

Weitere Aufschlüsse über die Zusammensetzung der Hochofengase giebt die nebenstehende Tabelle, welche sich auf die Untersuchungen von Kupelwieser und Schöffel an einem Holzkohlenhochofen in Eisenerz beziehen. Über denselben mögen folgende Höhenangaben mitgeteilt werden:

| | |
|--|--------|
| Gesamthöhe des Ofens | 13,3 m |
| Höhe des unteren Teiles bis zum Kohlensack . | 3,8 „ |
| Höhe des oberen Teiles bis zum Kohlensack . | 9,5 „ |

Wie ungleichmässig die Zusammensetzung der Gase in demselben Ofenhorizonte ist, zeigen folgende Rinmansche Analysen, die sich auf einen Holzkohlenhochofen von 12,02 m Höhe von der Formebene bis zur Gicht beziehen, der geröstete Magneteisenerze verarbeitete:

| | | | Höhe über den Formen in Metern | | | |
|--|-------------|------------|-----------------------------------|-------|-------|-------|
| | | | 10,09 | 6,97 | 4,38 | 2,15 |
| Gas- zusammensetzung an den Wänden | Stickstoff. | Volumproz. | 58,80 | 61,90 | 65,44 | 68,80 |
| | Kohlensäure | „ | 11,20 | 4,90 | 1,10 | 4,20 |
| | Kohlenoxyd | „ | 25,50 | 30,75 | 32,35 | 26,30 |
| | Wasserstoff | „ | 3,60 | 2,45 | 1,10 | 0,70 |
| | Methan | „ | 0,90 | — | — | — |

| | | | Höhe über den Formen in Metern | | | |
|--|---|------------|-----------------------------------|-------|------|-------|
| | | | 10,09 | 6,97 | 4,38 | 2,15 |
| Gas- zusammensetzung in der Mitte | Stickstoff | Volumproz. | — | 61,00 | — | 64,05 |
| | Kohlensäure | " | — | 8,75 | — | 2,35 |
| | Kohlenoxyd | " | — | 26,65 | — | 33,05 |
| | Wasserstoff | " | — | 3,50 | — | 0,55 |
| | Methan | " | — | 0,10 | — | — |
| Auf 100 Raumteile Stickstoff entfallen im Durchschnitt | Raumteile Sauerstoff aus der Beschickung | | 14,2 | 8,8 | 0,0 | 0,8 |
| | „ (gasförm.) Kohlenstoff | | 31,2 | 28,9 | 25,5 | 24,4 |
| Durchschnittliches Verhältnis $\frac{CO_2}{CO}$ | | | 0,44 | 0,24 | 0,08 | 0,18 |

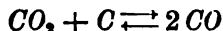
Der Vergleich dieser Tabelle mit den Daten des Eisenerzhochofens lehrt; dass im zweiten Falle der Schmelzprozess weit langsamer verlief.

Schliesslich ist noch zu erwähnen, dass nach der gewöhnlichen Annahme die Kohlunng des Eisens schon in der Schmelzzone (also oberhalb den Formen) vollständig vor sich geht, dass also das fertige Roheisen dort geschmolzen wird, durch das Gestell tropft und sich im Eisenkasten ansammelt. Da man jedoch bei Betrachtung des Ofeninnern durch die in diesen angebrachten Schaulöcher beobachten kann, dass beständig Kohlenstücke, die Formebene passierend, nach abwärts sinken, also im unteren Teile des Gestelles verbraucht werden müssen, eine Verbrennung derselben aber an dieser Stelle ausgeschlossen erscheint, kam der Verfasser auf die Vermutung, dass die Kohlunng in der Schmelzzone nur eine unvollständige sein müsse und erst im Eisenkasten (durch direkte Lösung von fester Kohle im geschmolzenen Eisen) beendet werde. Thatsächlich gab die Analyse eines im Winkel zwischen Gestellwandung und Formrüssel aufsitzenden Eisenstückes einen Kohlenstoffgehalt von weniger als 1 %.

ZWEITES KAPITEL.

Verbrennung der Kohle vor den Formen.

Vor den Formen kommt der gepresste und meist auch erwärmte Wind mit dem heissen Brennmateriale in Berührung, wobei letzteres oxydiert wird. Früher glaubte man, dass hierbei zunächst Kohlensäure gebildet werde, die dann in Berührung mit glühender Kohle vollständig in Kohlenoxyd übergeht. Nach den neueren Anschauungen entsteht hierbei gleichzeitig Kohlensäure und Kohlenoxyd, und das Verhältnis, in welchem beide Reaktionen nebeneinander auftreten, hängt von der Reaktionstemperatur, sowie dem Druck und der Konzentration des Sauerstoffes ab. Wir haben es hier mit dem Gleichgewicht



zu thun, das im ersten Buche (3. Kapitel) dieses Teiles ausführlich besprochen wurde.

Hieran knüpft Boudouard eine Reihe von Betrachtungen, die — obwohl ursprünglich zur Beurteilung von Gasgeneratoren bestimmt — auch für das Studium der Verbrennungsvorgänge im untersten Teile des Hochofens von Interesse sind.

Die Verbrennung von Kohlenstoff kann Kohlensäure oder Kohlenoxyd geben. Thatsächlich finden sich in dem Produkte dieser Verbrennung beide Stoffe in veränderlichen Verhältnissen. Diese Verhältnisse sind von einer Reihe von Bedingungen abhängig, die einzeln behandelt werden müssen.

Das Luftgas, das bei der unvollständigen Verbrennung fester Brennstoffe in Gasgeneratoren entsteht, enthält neben Kohlenoxyd noch Stickstoff aus der Luft. Seine theoretische Zusammensetzung ist:

| | | |
|------------------|------------------------|---------------------|
| Kohlenoxyd . . | 34,3 Volumproz. . . | 34,3 Gewichtsproz. |
| Stickstoff . . . | 65,7 " . . | 65,7 " |
| Summe | 100,0 Volumproz. . . | 100,0 Gewichtsproz. |

In der Praxis hat es jedoch diese Zusammensetzung nicht. Das Luftgas enthält stets eine gewisse Menge Kohlensäure, welche den Brennwert (bezw. die Reduktionsfähigkeit) verringert, und von der Dissociation des Kohlenoxyds stammt. Diese Dissociation — welche besonders bei niedriger Temperatur schwer nachzuweisen ist —, bedingt auch die Ablagerung von Russ in der Gasleitung.

Wenn die Vergasung unter ungünstigen Umständen erfolgt, kann die Menge der Kohlensäure infolge vollständiger Verbrennung einer grösseren Kohlenstoffmenge erheblich zunehmen. Gleichzeitig wächst aber auch die Stickstoffmenge, weil zur Bildung von Kohlensäure statt Kohlenoxyd mehr Sauerstoff, also auch mehr Luft erforderlich ist.

Manche Zahlendaten zeigen auch wirklich, dass, wenn ein Luftstrom durch rotglühenden Koks streicht, Gelegenheit zur Bildung von CO_2 mit Spuren von CO gegeben ist, sobald die Geschwindigkeit des Luftstroms genügend gross ist.

Die Versuche wurden bei $800^\circ C$. ausgeführt; der Koks in Stücken von etwa 5 mm Durchmesser war in einer Porzellanröhre enthalten. Diese Kohlerschicht hatte eine Länge von 27 cm und einen Durchmesser von 3 cm. Der erforderliche Luftzug wurde mittels einer Mariotteschen Flasche hergestellt. Man erhielt:

| % | Geschwindigkeit pro Minute | | | | |
|--------|----------------------------|-------------|-------------|-------------|-------------|
| | 0,100 Liter | 0,270 Liter | 1,300 Liter | 1,465 Liter | 3,200 Liter |
| CO_2 | 18,2 | 18,43 | 18,92 | 19,9 | 19,4 |
| CO | 5,2 | 3,8 | 1,88 | 1,83 | 0,93 |
| O_2 | — | 0,47 | 0,94 | — | 0,93 |

Ein bei $950^\circ C$. ausgeführter Versuch ergab bei einer Geschwindigkeit von 3,200 Liter pro Minute

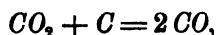
| | |
|-----------------------|------|
| Kohlensäure | 18,0 |
| Kohlenoxyd | 5,6 |

Der Unterschied zwischen den Kohlenoxydgehalten bei $950^\circ C$. und $800^\circ C$. für gleiche Geschwindigkeit beruht auf der Nebenreaktion $CO_2 + C = 2CO$, welche bei 950° viel stärker eintritt, als bei $800^\circ C$.¹⁾

1) Bei der Verbrennung der Kohle in einem Luftstrom wird sich natürlich das definitive Gleichgewicht erst dann einstellen können, wenn so viel Kohlenstoff oxydiert ist, als von dem Luftstrom entsprechend seiner Temperatur und dem herrschenden Drucke aufgenommen werden kann. Immerhin wird sich aber in jedem Momente ein Gleichgewicht zwischen CO_2 , CO und O_2 herstellen müssen und das definitive Gleichgewicht zwischen CO_2 , CO , O_2 und C kann in keinem Falle überschritten werden.

Die Zusammensetzung des Luftgases wird durch die Temperatur des Raumes, in welchem die unvollständige Verbrennung erfolgt, beeinflusst; ebenso auch durch die grössere oder kleinere Porosität des Brennstoffes.

Die Kohle ist gegenüber der Luft stets in genügend grossem Überschuss vorhanden, oder mit anderen Worten, die Luft passiert eine genügend dicke Brennstoffschicht. Die Kohlensäuremenge, welche in dem Momente entsteht, wo die Luft mit der Kohle in Berührung kommt, vermindert sich daher infolge der Reaktion:



und man kann sie so lang machen, dass die Menge der Kohlensäure die kleinst mögliche wird.

Die Kohlenoxydmenge wird also bis zum Eintritt des Gleichgewichtes um so grösser werden, je höher die durchströmte Brennstoffschicht wird, weil dann der Kohlenstoff in grösserem Überschusse gegenüber dem Gase vorhanden ist.

Sehr bedeutend ist der Einfluss der Temperatur. Die Reduktion der Kohlensäure durch Kohlenstoff, oder wenn man will, die Verbrennung von Kohlenstoff durch Kohlensäure unter Bildung von Kohlenoxyd beginnt bei einer Temperatur, die weniger hoch liegt als jene, wo die Dissociation ins Spiel tritt.

Naumann und Pistor¹⁾ haben gefunden, dass sich diese Reaktion bei 550° fühlbar macht; nach Boudouard ist sie schon bei 500° C. bemerkbar, weil hier schon 5% CO gebildet werden. Diese Reduktion der Kohlensäure durch Kohlenstoff wächst sehr rasch mit der Temperatur:

| | |
|-----------------|----------|
| 600° | 23 % CO |
| 700° | 58 „ „ |
| 800° | 93 „ „ |
| 900° | 96,5 „ „ |
| 1000° | 99,3 „ „ |

Für praktische Zwecke kann man annehmen, dass sie bei 1000° vollständig ist. Man kann sagen, dass die Reaktionsgeschwindigkeit bei höherer Temperatur weit grösser ist als bei niedrigeren Temperaturen. Man kommt daher viel schneller zu einem maximalen Kohlenoxydgehalt, wenn die Temperatur höher ist. Das ist ein sehr wichtiges Resultat.

1) Ber. d. d. chem. Ges. 18, 1647, 1885.

Auch der physikalische Zustand, in welchem der Brennstoff zur Verwendung kommt, übt einen sehr grossen Einfluss auf die Verbrennung aus. Lowthian Bell hat den Einfluss untersucht, welchen die Dichte der Brennstoffe auf die Einwirkung der Kohlensäure ausübt. Er liess das Gas unter gleichen Bedingungen über harten Koks, porösen Koks und Holzkohle streichen:

| | CO_2 % | CO % |
|------------------------|----------|--------|
| harter Koks | 94,56 | 5,41 |
| poröser Koks | 69,81 | 30,19 |
| Holzkohle | 85,20 | 64,80 |

Die mehr oder weniger grosse Porosität übt daher einen mehr oder weniger beschleunigenden Einfluss auf die Reduktion der Kohlensäure durch Kohlenstoff aus. Zum gleichen Ergebnisse führten die Untersuchungen Boudouards mit verschiedenen Kohlenarten bei 800° C.:

| | |
|---------------------|--|
| Holzkohle | } die Grenze der Reaktion (93% CO) Kohlenstoff aus CO } wurde nach einstündigem Erhitzen erreicht. |
| Koks | |
| Hornkohle | |
| | nach 9stündigem Erhitzen nur 87,2% CO . |
| | nach 9 $\frac{1}{2}$ " " " 70,3 " " |

Die kleinere oder grössere Dichte der Brennstoffe erlaubt den Gasmolekülen mehr oder weniger tief in die Poren der Brennstoffe einzudringen und die angewendete Kohlensäure kommt daher mit einer grösseren oder kleineren Kohlenstoffmenge in Berührung. Die Menge der Kohlensäure ist daher eine Funktion des physikalischen Zustandes der Brennstoffe.

Die Stückgrösse des Brennmaterials wirkt in gleicher Weise. Bei Holzkohle findet sich in dieser Richtung kein merkbarer Unterschied; Koks und Hornkohle geben jedoch nach ihrer Stückgrösse verschiedene Resultate. Boudouard führte seine Versuche bei 800° C. aus. Einmal wurden Stücke von Haselnussgrösse, das andere Mal solche von 2 bis 5 mm Durchmesser angewendet:

| Zeit | Kohlenoxyd % | | | |
|--------------------------------|--------------|--------|-----------|--------|
| | Koks | | Hornkohle | |
| | grob | fein | grob | fein |
| 1 ^h 30 ^m | 57,4 % | 84,4 % | — | — |
| 9 ^h — | — | — | 70,3 % | 87,3 % |

Die Zersetzung der Kohlensäure wird also um so vollständiger sein, in je feinerer Verteilung der Brennstoff vorhanden ist.

Der Einfluss der Geschwindigkeit des Gasstromes wurde schon früher erwähnt. Wenn ein Gasstrom eine hohe Brennstofflage passiert, so verlangsamt sich seine aufsteigende Bewegung und es verlängert sich demzufolge die Berührung zwischen der Kohlensäure und dem Brennstoff, weshalb die Menge an Kohlenoxyd wachsen wird. Die Versuche über die Verbrennung von Kohlenstoff in Luft zeigen, dass man bei einer hinreichend grossen Geschwindigkeit nur Kohlensäure ohne merkbare Spuren von Kohlenoxyd erhält. Dies erklärt sich aus dem hierbei vorhandenen Sauerstoffüberschusse. Ebenso vermindert sich die Produktion der Kohlensäure, wenn der Kohlensäurestrom die Brennstoffschicht mit beträchtlicher Geschwindigkeit passiert, und der beabsichtigte Zweck wird nicht erreicht.

Schlussfolgerungen: Man sieht aus vorstehendem, dass die Reaktion $CO_2 + C = 2CO$ durch verschiedene wichtige Faktoren beeinflusst wird, und dass die günstigsten Bedingungen zur Erzielung praktischer Resultate folgende sind:

1. möglichst hohe Temperatur,
2. grosse Porosität des Brennstoffes,
3. möglichst feine Verteilung des Brennstoffes,
4. möglichst kleine Geschwindigkeit des Gasstroms.

Bei Hochöfen ist die Temperatur vor den Formen eine so hohe, dass sich in dem Augenblicke, wo der Wind eintritt, nur Kohlenoxyd bildet, weil die Kohlensäure, welche eventuell entstehen könnte infolge der hohen Temperatur dissociiert.¹⁾ Diese Bildung von Kohlenoxyd wird noch begünstigt durch Porosität und Feinstückigkeit des angewendeten Brennstoffes. Allerdings erhöht kleine Stückgrösse desselben den Widerstand, welchen die Beschickungssäule dem aufsteigenden Gasstrome entgegenstellt; es muss daher die Windpressung erhöht werden. Dies ist jedoch hier nicht schädlich, weil durch den erhöhten Widerstand der Beschickungssäule die Gasgeschwindigkeit verringert wird, und weil durch Vergrösserung der Reaktionsfläche (d. i. durch Verkleinerung der Stückgrösse und Erhöhung der Porosität der an-

1) Nach H. Le Chatelier hat die Kohle vor den Formen bei Erzeugung von grauem Roheisen eine Temperatur von 1930° C.

gewendeten Kohle) die Verbrennungsgeschwindigkeit, d. i. die Menge der in der Zeit- und Raumeinheit verbrennenden Kohle vergrössert wird.

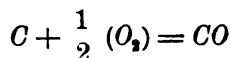
Andererseits wirkt eine Vergrösserung der Windpressung der Dissociation der Kohlensäure entgegen, wird also die Bildung von Kohlenoxyd beeinträchtigen, doch wird diese schädliche Wirkung durch die Vergrösserung der Reaktionsfläche bei porösem und feinstückigem Materiale wieder aufgehoben.

Freilich darf die Korngrösse des Brennstoffes nicht allzusehr abnehmen, weil sonst — bei der im Hochofen notwendigen Höhe der Beschickungssäule — der Widerstand so gross wird, dass er durch die Gebläsemaschinen nicht mehr überwunden werden kann.

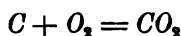
DRITTES KAPITEL.

Verbrennung der Kohle vor den Formen.

Man kann diesen Vorgang aber auch noch von einem anderen Gesichtspunkte aus betrachten, indem man sich das Gleichgewicht in der Weise entstanden denkt, dass eine gewisse Menge Kohlenstoff zu Kohlensäure, eine andere aber zu Kohlenoxyd verbrennt, dass also die beiden Reaktionen



und



gleichzeitig nebeneinander verlaufen.

Nach dem zweiten Hauptsatze der mechanischen Wärmetheorie kann jeder Vorgang, der sich in einem beliebigen Systeme von selbst, d. h. ohne Zufuhr von äusserer Energie abspielt, ein Maximum an äusserer Arbeit leisten. Besteht dieser Vorgang darin, dass eine gewisse Wärmemenge Q von der absoluten Temperatur $T + dT$ auf T sinkt, so ist diese maximale Arbeitsleistung

$$dA = Q \cdot \frac{dT}{T} \quad . \quad . \quad . \quad . \quad . \quad . \quad (1)$$

oder

$$Q = T \frac{dA}{dT},$$

wobei natürlich A und Q in gleichem Energiemasse ausgedrückt werden müssen. Es ist somit die latente Wärme des betreffenden Vorganges Q gleich der absoluten Temperatur multipliziert mit dem Temperaturkoeffizienten der maximalen Arbeit.

A , d. i. jene Energiemenge, die bei dem betreffenden Vorgange in äussere Arbeit u. s. w., kurz in beliebige andere Energieformen umgewandelt werden kann, nennt Helmholtz, weil sie frei verwandelbar ist, Änderung der freien Energie, während er Q als Änderung der gebundenen Energie bezeichnet. Somit stellt

$$U = A - Q$$

die Änderung der Gesamtenergie dar.¹⁾

Soll sich nun ein System bei konstanter Temperatur im Gleichgewichte befinden, so darf in demselben offenbar weder Wärme frei, noch gebunden werden. Es muss also $Q = 0$ sein, d. h. es wird auch

$$dA = 0$$

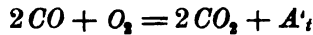
werden müssen.

Da nun ein beliebiger Vorgang, also auch jeder chemische Prozess ohne Zufuhr äusserer Energie nur dann erfolgen kann, wenn er im stande ist äussere Arbeit zu leisten, kann man diese Fähigkeit eines chemischen Prozesses äussere Arbeit zu leisten (oder richtiger die maximale äussere Arbeit der chemischen Prozesse, d. i. die hierbei eintretende Änderung der freien Energie) als Mass der Affinität benutzen. Lassen wir den betreffenden Vorgang isotherm und reversibel vor sich gehen, so können wir unmittelbar die maximale äussere Arbeit ermitteln, die hierbei gewonnen werden kann, und es ist klar, dass dieselbe unabhängig von dem Wege sein muss, auf welchem sich der Übergang des Systems vom Anfangs- in den Endzustand vollzieht, und nur von diesen beiden Zuständen selbst abhängig sein wird. Man kann daher mit den Änderungen der freien

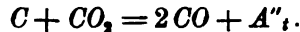
1) Zählen wir U und A von einem geeigneten Anfangspunkte an, so können wir auch einfach von der gesamten oder der freien Energie u. s. w. sprechen und sagen: Die Differenz der freien und der gesamten Energie (d. i. die gebundene Energie) ist gleich der absoluten Temperatur multipliziert mit dem Temperaturkoeffizienten der freien Energie.

Energie ganz ebenso, wie mit denen der Gesamtenergie rechnen, und es wird daher die bei einem chemischen Prozesse auftretende Änderung der freien Energie gleich sein den Summen der freien Bildungsenergien der neu entstehenden Verbindungen weniger der Summe der freien Bildungsenergien der ursprünglich vorhandenen.¹⁾

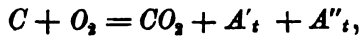
Natürlich wird die Affinität von der Temperatur abhängig sein, d. h. jedem bestimmten Vorgange wird nur bei einer bestimmten Temperatur t eine konstante AffinitätsgröÙe (freie Energie A_t) zukommen. Wir können dann für unsere beiden Reaktionen nach Art der gewöhnlichen thermochemischen Gleichungen schreiben:



und

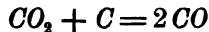


Addieren wir diese beiden Energiegleichungen, so erhalten wir:



d. i. die Affinität der Verbrennung des Kohlenstoffes, deren Ermittlung sich der direkten Bestimmung entzieht.

Auf diese Weise hat Nernst²⁾ die Bildungsenergie der Kohlensäure wenigstens angenähert berechnet. Er ging von dem Dissociationsgleichgewichte zwischen Kohlensäure, Kohlenoxyd und Sauerstoff aus, das von Deville bestimmt und von H. Le Chatelier für verschiedene Temperaturen und Drucke auf Grund der Devilleschen Messungen berechnet wurde.³⁾ Bei 1000° C. ist noch Sauerstoff neben Kohlenoxyd in geringen Mengen existenzfähig. Bei derselben Temperatur ist aber auch nach Boudouard⁴⁾ die Umsetzung zwischen Kohlensäure und Kohlenstoff nach der Gleichung



noch nicht vollständig. Unter diesen Umständen können also Kohlenstoff, Sauerstoff, Kohlenoxyd und Kohlensäure nebeneinander

1) Hierbei verstehen wir unter freier Bildungsenergie einer Verbindung die maximale Arbeit, die bei der Bildung derselben aus ihren Elementen erhalten werden kann.

2) Nernst, theoret. Chemie, 3. Aufl., S. 639.

3) Siehe „Grundzüge der Siderologie“ III Teil, 1. Buch, Kapitel IV.

4) Siehe S. 55.

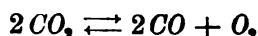
existieren. Nun beträgt für das Gleichgewicht $CO_2 + C \rightleftharpoons 2CO$ bei $1000^\circ C.$ und 1 Atm. Druck der Gehalt des Gasgemenges an

$$\begin{array}{l} CO \dots\dots\dots 0,993\% \\ CO_2 \dots\dots\dots 0,007\% \end{array}$$

Andererseits ist nach Le Chatelier bei $1000^\circ C.$ und 1 Atm. Druck Kohlensäure zu $0,08\%$ dissociiert.

Die Menge des Sauerstoffes x , die neben Kohlenoxyd von $0,993$ und Kohlensäure von $0,007$ Atm. zugegen ist, finden wir nach dem Gesetze der Massenwirkung in folgender Weise:

Für die Dissociation der Kohlensäure nach der Gleichung



ist

$$\frac{(C_{CO})^2 C_{O_2}}{(C_{CO_2})^2} = \text{Konst.}$$

Die Zusammensetzung des Gasgemenges ist im Gleichgewichtszustande nach Le Chatelier

| | | | |
|-------------|-------|------|--------|
| Kohlenoxyd | . . | etwa | 0,0008 |
| Sauerstoff | . . . | „ | 0,0003 |
| Kohlensäure | . . . | „ | 0,9991 |

Setzen wir letzteren Wert rund $= 1$, so wird

$$\begin{aligned} \text{Konst.} &= \frac{(0,0008)^2 \cdot 0,0003}{(1)^2} \\ &= 0,000000000108. \end{aligned}$$

Andererseits haben wir aber nach den Angaben von Boudouard für das Gleichgewicht $CO_2 + C = CO$ bei $1000^\circ C.$ und 1 Atm. Druck die Konzentrationen von:

| | | |
|-------------|-------|-----------|
| Kohlensäure | . . . | $= 0,007$ |
| Kohlenoxyd | . . . | $= 0,993$ |

Setzen wir diese Werte in obige Gleichgewichtsgleichung

$$\frac{(C_{CO})^2 \cdot C_{O_2}}{(C_{CO_2})^2} = \text{Konst.}$$

ein, so erhalten wir, da der Wert der Konstanten nach obiger Berechnung zu $0,000000000108$ gefunden wurde,

$$\begin{aligned} \frac{(0,993)^2 \cdot C_{O_2}}{(0,007)^2} &= 0,000000000108 \\ &= 1,08 \times 10^{-10} \end{aligned}$$

oder

$$C_{O_2} = \frac{0,000\,000\,000\,108\,(0,007)^2}{(0,993)^2} \\ = 5,4 \times 10^{-15}.$$

Um festen Kohlenstoff und Sauerstoff unter Atmosphärendruck reversibel zu vereinigen, können wir uns in das von Boudouard ermittelte Gleichgewicht Sauerstoff hinein-, Kohlensäure aber herausgedrückt denken und erhalten so für die gesuchte Affinität bei 1000°C. :

$$\begin{aligned} A_{1000} &= A_{1000}' + A_{1000}'' \\ &= RT \cdot \ln \frac{1}{C_{O_2}} - RT \cdot \ln \frac{1}{C_{CO_2}} \\ &= RT \cdot \ln \frac{C_{CO_2}}{C_{O_2}} \\ &= RT \cdot 2,30258 \log. \frac{C_{CO_2}}{C_{O_2}} \\ &= 4,58 (1000 + 273) \log. \frac{0,007}{5,4 \times 10^{-15}} \\ &= 4,58 \cdot 1273 \log. \frac{0,007 \times 10^{-15}}{5,4} \\ &= 70625 \text{ cal.} \end{aligned}$$

Die Wärmetönung der Reaktion beträgt bei Zimmertemperatur 97650 cal. Da die Wärmekapazität von $C + O_2$ nahe gleich jener von CO_2 ist, kann die Verbrennungswärme des Kohlenstoffes beim absoluten Nullpunkte nur wenig von jener bei Zimmertemperatur verschieden sein, so dass wir sie in erster Annäherung gleich setzen können. Da aber beim absoluten Nullpunkte die Verbrennungswärme der freien Bildungsenergie gleich wird, haben wir auch einen zweiten Wert der letzteren, nämlich

$$A_{-273} = 97650 \text{ cal.}$$

gefunden.

Nehmen wir nun, gleichfalls in erster Annäherung an, dass die freie Bildungsenergie der Kohlensäure eine lineare Funktion der Temperatur sei, so ergibt sich für dieselbe folgende einfache Interpolationsformel:

$$\begin{aligned} A_{C, O_2} &= 97650 - \frac{97650 - 70625}{1000 + 273} T \\ &= 97650 - 21,2 T. \end{aligned}$$

Dies gilt für den Fall, dass sich der zur Verbrennung des Kohlenstoffes dienende Sauerstoff, sowie die hierbei gebildete Kohlensäure unter Atmosphärendruck befinden. Ist dies nicht der Fall, sondern befinden sich (wie in praxi) Sauerstoff und Kohlensäure unter dem kleineren Partialdruck p_{O_2} und p_{CO_2} , so wird die gewinnbare Energie um die Arbeit, welche der Ausdehnung des Sauerstoffes von 1 Atm. Druck auf p_{O_2} entspricht, d. i. um

$$R \cdot T \cdot \ln p_{O_2}$$

vergrössern, und um die zur Kompression der Kohlensäure von p_{CO_2} auf eine Atm., die um

$$R \cdot T \cdot \ln p_{CO_2}$$

aber verringern. Wir kommen somit für die freie Bildungsenergie der Kohlensäure zu der Gleichung:¹⁾

$$\begin{aligned} A_{C, O_2} &= 97650 - 21,2 T + RT \ln \frac{p_{O_2}}{p_{CO_2}} \\ &= 97650 - 21,2 T + 1,982 \times 2,30258 T \cdot \log \frac{p_{O_2}}{p_{CO_2}} \\ &= 97650 - 21,2 T + 4,58 T \cdot \log \frac{p_{O_2}}{p_{CO_2}} \end{aligned}$$

Es ändert sich also, namentlich bei hohen Temperaturen, die freie Bildungsenergie der Kohlensäure je nach der Konzentration derselben in den gasförmigen Reaktionsprodukten erheblich; je kleiner letztere ist, desto grösser wird erstere.

In ähnlicher Weise lässt sich die Bildungsenergie des Kohlenoxydes berechnen.²⁾ Steht Sauerstoff mit Kohle und Kohlenoxyd im Gleichgewichte, so erfolgt offenbar die Bildung des Kohlenoxydes arbeitslos. Wir erhalten daher die freie Bildungsenergie von 2 Molen Kohlenoxyd, wenn wir von dem Energiegewinn, der der Ausdehnung von 1 Mol Sauerstoff von 1 Atm. Druck auf den Partialdruck p_{O_2} (bei Gleichgewicht) entspricht, die Kompressionsarbeit von 2 Molen Kohlenoxyd vom Partialdruck p_{CO} auf 1 Atm. Druck abziehen. Das giebt für die Bildungsenergie von 1 Mol Kohlenoxyd:

1) Eine etwas abweichende Art der Berechnung wurde vom Verfasser (Zeitschr. f. anorg. Chemie, 1904) gegeben. Es wurde hierbei von der vereinfachenden Annahme abgesehen, dass die freie Energie eine lineare Funktion der Temperatur sei, doch kann hier nicht näher darauf eingegangen werden.

2) G. Bodländer, Zeitschrift f. Elektrochemie, 1902, S. 833.

$$A_{c,o} = \frac{1}{2} R \cdot T \cdot l \frac{1}{p_{O_2}} - R \cdot T \cdot l \frac{1}{p_{CO}},$$

oder für 1000° C.:

$$\begin{aligned} A_{c,o} &= \frac{1}{2} R \cdot T \cdot l \frac{1}{5,4 \times 10^{-15}} - R \cdot T \cdot l \frac{1}{0,993} \\ &= 4,58 \times 1273 \log. \frac{0,993^2}{5,4 \times 10^{-15}} \\ &= 41570 \text{ cal.} \end{aligned}$$

Während also die Bildungswärme des Kohlenoxydes bei gewöhnlicher Temperatur 29650 cal. beträgt, ist die freie Bildungsenergie bei 1000° C. bedeutend höher (41570 cal.). Bei dem absoluten Nullpunkte wird die freie Bildungsenergie gleich der Bildungswärme, also 29650 cal. Nehmen wir auch hier an, dass sich erstere linear mit der Temperatur ändert, so erhalten wir:

$$\begin{aligned} A_{c,o} &= 29650 + \frac{41570 - 29650}{1273} T \\ &= 29650 + 9,36 T. \end{aligned}$$

Während also die Bildungsenergie der Kohlensäure mit steigender Temperatur abnimmt, wächst jene des Kohlenoxydes mit der Temperatur.

Befindet sich der Sauerstoff nicht unter Atmosphärendruck, sondern unter dem Partialdrucke p_{O_2} , so erhöht sich die zu gewinnende Energie pro Mol CO um

$$\frac{1}{2} RT l \cdot p_{O_2} = 2,39 T \log. p_{O_2},$$

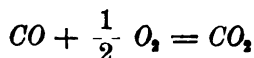
während sie sich — da der Partialdruck des Kohlenoxydes statt 1 Atm. nur p_{CO} beträgt — um

$$4,58 T \log. p_{CO}$$

erniedrigt, so dass wir für die Bildungsenergie des Kohlenoxydes erhalten:

$$A_{c,o} = 29650 + 9,36 T + 2,39 T \log. \frac{p_{O_2}}{(p_{CO})^2}$$

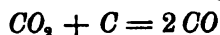
Die freie Energie der Oxydation des Kohlenoxydes zu Kohlensäure ergibt sich nach der Gleichung



aus der Differenz zwischen den Bildungsenergien der Kohlensäure und des Kohlenoxydes, also zu:

$$\begin{aligned}
 A_{co, o} &= 97650 - 21,2 T + 4,58 T \log. \frac{p_{o_2}}{p_{co_2}} \\
 &- 29650 - 9,36 T - 2,29 T \log. \frac{p_{o_2}}{(p_{co})^2} \\
 &= 68000 - 30,56 T + 2,29 T \log. \frac{p_{o_2} (p_{co})^2}{(p_{co_2})^2}.
 \end{aligned}$$

Endlich erhält man für die Reduktion der Kohlensäure durch Kohlenstoff nach der Gleichung:



die Bildungsenergie, wenn man die freie Bildungsenergie der Kohlensäure von der doppelten Bildungsenergie des Kohlenoxydes abzieht:

$$\begin{aligned}
 A_{co_2, c} &= 59300 + 18,72 T + 4,58 T \log. \frac{p_{o_2}}{(p_{co})^2} \\
 &- 97650 + 21,2 T - 4,58 T \log. \frac{p_{o_2}}{p_{co_2}} \\
 &= - 38350 + 39,92 T + 4,58 T \log. \frac{p_{co_2}}{(p_{co})^2}.
 \end{aligned}$$

Aus dieser Gleichung folgt, dass die freie Energie bei niederen Temperaturen, d. h. unterhalb einer gewissen Grenztemperatur, deren Höhe von den Partialdrucken der Kohlensäure und des Kohlenoxydes abhängt, negativ wird.¹⁾ Diese Grenztemperatur liegt

beispielsweise weiter für $p_{co_2} = p_{co} = 1$ Atm. (weil dann $\log. \frac{p_{co_2}}{(p_{co})^2} = 0$ wird) bei $T = \frac{38350}{39,92} = 960,6^\circ$ absolut, oder etwa bei 688° C.

Unter dieser Temperatur überwiegt der Zerfall des Kohlenoxydes in Kohle und Kohlensäure, während oberhalb derselben die für uns wichtige Reduktion der Kohlensäure durch Kohlenstoff vorherrscht.

Sind die hier abgeleiteten Werte für die freie Energie der betrachteten Reaktionen auch nur als erste Annäherungen zu betrachten,¹⁾ die durch weitere Untersuchungen Berichtigungen erfahren werden, so können doch auch diese schon mit Vorteil benutzt werden.

So können wir uns die freien Energien dieser Reaktionen beispielsweise für den Fall, dass alle hierbei entstehenden Gase

1) Wir werden später genauere Ausdrücke für die eben besprochenen freien Bildungsenergien kennen lernen.

unter dem Drucke von 1 Atm. stehen, graphisch darstellen. Wählen wir die Reaktionen so, dass bei denselben 1 Mol Sauerstoff in Aktion tritt, so finden wir (weil in diesem Falle das Glied mit dem Logarithmus = 0 wird) für die freien Energien:

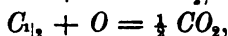
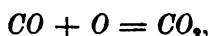
$$A_{C_{1/2}, O} = 48825 - 10,6 T \text{ calorien,}$$

$$A_{C, O} = 29650 - 9,36 T \quad ,$$

$$A_{CO, O} = 68000 - 30,59 T \quad ,$$

$$A_{CO_2, C} = - 38350 - 39,72 T \quad ,$$

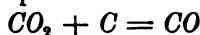
Die betreffenden Kurven sind in Fig. 46 Tafel XX dargestellt. Hieraus ergibt sich, dass sich die Kurven für die drei Reaktionen



und



in einem einzigen Punkte (bei etwa 690° C.) schneiden, und dass genau bei derselben Temperatur die freie Energie der Reaktion



das Zeichen wechselt. Dies ist auch leicht begreiflich, wenn man im Auge behält, dass die freien Energien ein Mass der Affinitäten darstellen, und dass jene Reaktionen vorherrschend stattfinden müssen, bei welchen unter den obwaltenden Umständen (Temperatur und Druck) die Affinität am grössten ist.

Nun ist unter 690° C. die freie Energie der Reaktion $CO + O = CO_2$ sowohl, als jene der Reaktion $C_{1/2} + O = \frac{1}{2} CO_2$ grösser als die freie Bildungsenergie von CO ; es wird somit die Tendenz der CO_2 -Bildung vorherrschen und somit CO in CO_2 und C zerfallen, oder mit anderen Worten CO wird auf Kohlenstoff oxydierend wirken. Oberhalb 690° C. hingegen ist umgekehrt die Bildungsenergie des Kohlenoxydes grösser als jene der Kohlensäure aus Sauerstoff und Kohle oder Kohlenoxyd; es wird somit die Tendenz zur Kohlenoxydbildung überwiegen und daher Kohlenstoff auf Kohlensäure reduzierend einwirken.

Ferner ist die freie Bildungsenergie von Kohlensäure aus Kohlenstoff und $\frac{1}{2}$ Mole Sauerstoff das Mittel aus den freien Bildungsenergien von Kohlensäure aus CO und von Kohlenoxyd aus Kohlenstoff, wenn beide auf $\frac{1}{2}$ Mol Sauerstoff bezogen werden oder mit anderen Worten, unter gleichen Umständen ist bei niederen Temperaturen die Affinität des Kohlenoxydes zum Sauerstoff um ebensoviel grösser, als die des Kohlenstoffes zum Sauerstoff bei der

Bildung von Kohlensäure, wie diese gegenüber der Affinität des Kohlenstoffes zum Sauerstoff bei der Kohlenoxydbildung, während bei höheren Temperaturen das entgegengesetzte Verhalten eintreten wird.

Anhangsweise möge noch bemerkt werden, dass sich die oben entwickelten Gleichungen für die freie Energie auf die allgemeine Form

$$A_T = A_0 + BT - RT \sum n \ln p$$

bringen lassen, wobei A_T und A_0 die freien Energien der betrachteten Reaktion bei den absoluten Temperaturen T und 0° p die Partialdrucke und n die Molezahlen der reagierenden Stoffe, B aber den Temperaturkoeffizienten darstellen.

Für uns sind besonders die freien Energien für den Fall von Interesse, dass die Verbrennung mit Luft, also mit Sauerstoff von 0,2 Atm. Druck erfolgt.

Um die entsprechenden Kurven zu ermitteln, müssen wir bedenken, dass für $T = 0$ das zweite und dritte Glied des obigen allgemeinen Ausdruckes Null wird, dass sich also die neuen und alten Kurven bei T_0 schneiden. Verlaufen die Reaktionen vollständig, so haben wir:

$$\begin{aligned} \text{a) für } A_{c,0}: \quad p_{O_2} &= 0,2, \quad p_{CO_2} = 0,2 \\ \frac{p_{O_2}}{p_{CO_2}} &= 1, \end{aligned}$$

die Kurve wird somit mit der früheren identisch;

$$\begin{aligned} \text{b) für } A_{c,0}: \quad p_{O_2} &= 0,2, \quad c_{CO} = \frac{0,4}{0,4 + 0,8} = 0,33 \\ \frac{p_{O_2}}{(p_{CO})^2} &= \frac{0,2}{(0,333)^2} = 1,8 \end{aligned}$$

und daher

$$\begin{aligned} A_{c,0} &= 29650 + 9,36 T + 2,29 T \cdot \log 1,8 \\ &= 29650 + 9,36 T + 2,29 \times 0,2552725 T \\ &= 29650 + 9,36 T + 0,58 T \\ &= 29650 + 9,94 T; \end{aligned}$$

$$\begin{aligned} \text{c) für } A_{co,0}: \quad p_{O_2} &= 0,2; \quad p_{CO} = 0,333; \quad p_{CO_2} = 0,2 \\ \frac{p_{O_2} (p_{CO})^2}{(p_{CO_2})^2} &= \frac{0,2 \times 0,1111}{0,04} = 0,5556 \end{aligned}$$

und daher

$$\begin{aligned}
 A_{\infty, e} &= 68000 - 30,56 T + 2,29 T \cdot \log. 0,5556 \\
 &= 68000 - 30,56 T - 2,29 (0,7447810 - 1) T \\
 &= 68800 - 30,56 T - 0,58 T \\
 &= 68000 - 31,14 T.
 \end{aligned}$$

d) für $A_{\text{co}_2, c}$: $p_{\text{co}_2} = 0,2$; $p_{\text{co}} = 0,333$

$$\frac{p_{\text{co}_2}}{(p_{\text{co}})^2} = \frac{0,2}{(0,333)^2} = 1,8$$

und daher

$$\begin{aligned}
 A_{\text{co}_2, c} &= -38350 + 39,92 T + 4,58 T \cdot \log. 1,8 \\
 &= -38350 + 39,92 T + 1,17 T \\
 &= -38350 + 41,09 T.
 \end{aligned}$$

VIERTES KAPITEL.

Verbrennung der Kohle vor den Formen. Einfluss des Wasserdampfes und des Stickstoffes.

Bekanntlich wirkt Wasserdampf oxydierend auf glühenden Kohlenstoff, bezw. wird Wasserdampf durch glühende Kohle reduziert. Ist dies doch ein Vorgang, auf welchem die technisch wichtige Erzeugung von Wasser- und Mischgas (Dowson-Gas) beruht. Die Zersetzung verläuft je nach der Temperatur, bei welcher sie sich vollzieht, verschieden. Bei höheren Temperaturen herrscht die Reaktion



vor, während bei niedrigeren Temperaturen die Reaktion



in den Vordergrund tritt.

Dies rührt daher, dass zwar beide Reaktionen nur unter Aufwand fremder Energie (also bei Wärmezufuhr) vor sich gehen können, der Energiebedarf für die zweite Reaktion aber kleiner ist als für die erste. Wir haben nämlich bei gewöhnlicher Temperatur und konstantem Druck eine Wärmetönung

für die erste Reaktion:

$$29,0 - 68,43 = -39,43 \text{ cal.}$$

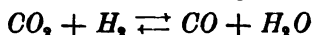
für die zweite Reaktion:

$$\frac{1}{2} (96,97 - 2 \times 68,43) = - 24,945 \text{ Kal.}$$

Im allgemeinen werden also beide Reaktionen gleichzeitig nebeneinander eintreten, und das gegenseitige Verhältnis zwischen diesen beiden Reaktionen wird von der Temperatur, bei welcher sie sich vollziehen, abhängen.

Das Anfangssystem besteht aus zwei Phasen: einer festen (Kohlenstoff) und einer gasförmigen (Wasserdampf), während das Endsystem eine gasförmige Phase darstellt, die Kohlenoxyd, Kohlensäure, Wasserstoff und Wasserdampf enthalten wird.

Soll zwischen diesen Phasen Gleichgewicht eintreten, so muss auch in der Gasphase allein Gleichgewicht vorhanden sein. Wir können somit zunächst das Gleichgewicht des Systems



studieren. Die besten über dieses Gleichgewicht ausgeführten Untersuchungen sind jene von Oscar Hahn.¹⁾ Sie wurden in der Weise ausgeführt, dass ein Gasstrom von konstanter Geschwindigkeit durch ein mit kapillaren Zu- und Ableitungsröhren versehenes, mit Platinfolie oder Platinschwamm gefülltes Rohr geleitet wurde. Die Geschwindigkeit des Gasstroms wurde so lange variiert, bis eine weitere Verringerung derselben keine Veränderung in der Gaszusammensetzung mehr bewirkte. Die Versuche wurden unter verschiedenen Konzentrationsverhältnissen ausgeführt. Die Verwendung des Platinkatalysators ermöglichte es einerseits bis zu 800° C. herab das Gleichgewicht zu erreichen, andererseits aber die Geschwindigkeit des Gasstroms so gross zu halten, dass (wenigstens bis zu einer Temperatur von 1100° C. hinauf) ein merkbarer Rückgang der Reaktion beim Durchströmen der Austrittskapillare vermieden wurde.

Die Erwärmung des Reaktionsgefässes geschah in einem elektrischen Widerstandsofen mit Platin-Iridium-Drahtwicklung, dessen Klemmenspannung mit Hilfe eines automatisch wirkenden Regulators konstant gehalten wurde, so dass die Temperaturschwankungen im allgemeinen 2° C. nicht überstiegen.

1) Zeitschr. f. phys. Chemie 42, S. 705 (1903). 44, S. 513 (1903).

Da das in Rede stehende Gleichgewicht vom Drucke unabhängig ist (weil $N'' - N' = 0$), konnte auf diesem Wege unmittelbar der Wert von

$$K_t = \frac{C_{CO} \cdot C_{H_2O}}{C_{CO_2} \cdot C_{H_2}}$$

bestimmt werden. Hahn fand so:

| $t = ^\circ \text{C.}$ | $T = ^\circ \text{C.}$ | $K_t =$ |
|------------------------|------------------------|---------|
| 786 | 1059 | 0,81 |
| 886 | 1159 | 1,19 |
| 986 | 1259 | 1,54 |
| 1005 | 1278 | 1,68 |
| 1086 | 1359 | 1,95 |
| 1205 | 1478 | 2,10 |
| 1400 | 1678 | 2,49 |

Um die Gleichgewichtskonstante für beliebige Drucke und Temperaturen zu finden, bedienen wir uns der bekannten Gleichung

$$500 \int Q_T \frac{dT}{T^2} + (N'' - N') lP + l \cdot \frac{C_{CO} \cdot C_{H_2O}}{C_{CO_2} \cdot C_{H_2}} = lK$$

oder (weil, wie oben erwähnt, $N'' - N' = 0$ ist)

$$500 \int Q_T \frac{dT}{T^2} + lK_t = lK.$$

Die Abhängigkeit der Wärmetönung von der Temperatur ergibt sich aus der von Berthelot für Zimmertemperatur ermittelten Wärmetönung und aus den von Mallard und Le Chatelier berechneten mittleren Molekularwärmen der Gase.

Berthelot fand die Bildungswärme von $CO + H_2O$ aus $CO_2 + H_2$ zu 10100 cal. (= 10,1 Cal.) für 15°C. , während die mittleren Molekularwärmen nach Mallard und Le Chatelier betragen:¹⁾

$$4,76 + 0,00122 t \text{ (für permanente Gase),}$$

$$6,50 + 0,00387 t \text{ („ } CO_2),$$

$$5,78 + 0,00286 t \text{ („ Wasserdampf)}$$

oder

$$5,44 + 0,00387 T \text{ (für } CO_2),$$

$$5,00 + 0,00286 T \text{ („ } H_2O \text{ Dampf) und}$$

$$4,44 + 0,00122 T \text{ („ permanente Gase).}$$

1) t in $^\circ \text{C.}$ ausgedrückt.

Wir haben also:

$$Q_{15} = -10100 \text{ cal.} = -10,1 \text{ Cal.}$$

$$Q_T = Q_0 + (c_{II} - c_I) T$$

$$c_I = 4,44 + 0,00122 T + 5,00 + 0,00286 T$$

$$c_{II} = 4,44 + 0,00122 T + 5,44 + 0,00387 T$$

$$\begin{aligned} c_{II} - c_I &= + 0,44 + 0,00101 T \\ Q_T &= Q_0 + 0,44 T + 0,00101 T^2 \end{aligned}$$

oder

$$\begin{aligned} Q_{15} &= -10100 \\ &= Q_0 + 0,44 \times 288 + 0,00101 (288)^2 \\ &= Q_0 + 210,49. \end{aligned}$$

Es ist also

$$Q_0 = -10310,49$$

und daher

$$Q_T = \frac{(-10310,49 + 0,44 T + 0,00101 T^2)}{1000} \text{ cal.}$$

Setzt man diesen Wert in die Gleichgewichtsgleichung:

$$500 \int Q_T \cdot \frac{dT}{T^2} + 2,30259 \log. K = \text{Konst.}$$

ein, so erhalten wir:

$$\begin{aligned} 500 \int \frac{(-10,31 + 0,00044 T + 0,00000101 T^2)}{T^2} dT + \\ + 2,30259 \log. K = \text{Konst.} \end{aligned}$$

Integriert man diesen Ausdruck, so erhält man:¹⁾

$$\begin{aligned} -\frac{500(-10,31)}{T} + 500 \times 0,00044 l. T + 0,00000101 \times 500 T + \\ + 2,30259 \log. K = \text{Konst.} \end{aligned}$$

oder

$$\begin{aligned} \frac{5155}{T} + 0,5066 \log. T + 0,000505 T + \\ + 2,30259 \log. K = \text{Konst.} \end{aligned}$$

Setzt man hierin nach O. Hahn für $t = 966^\circ \text{ C.}$ (1059° abs.)

$$K = 1,54$$

also

$$l. K = 2,30259 \log. K = 0,4338,$$

1) Man erhält so richtigere Resultate, als wenn man — wie das früher geschah — die Wärmetönung für die gewünschte Temperatur berechnet und dann diesen Wert in die Gleichung einsetzt.

so erhält man:

$$\frac{5155}{1259} + 0,5066 \times 3,1000 + 0,000505 \times 1259 + 0,4338 = \text{Konst.}$$

oder:

$$\text{Konst.} = 6,7246.$$

Hieraus berechnet sich $\log. K$ für beliebige Temperaturen nach der Gleichung:

$$\begin{aligned} \log. K &= \frac{6,7246}{2,30259} - \frac{5155}{2,30259 T} - \frac{0,5066}{2,30259} \log. T - \frac{0,000505 T}{2,30259} \\ &= 2,9248 - \frac{2259}{T} - 0,22 \log. T - 0,00022 T. \end{aligned}$$

Man erhält so folgende Werte:¹⁾

| $t^{\circ}\text{C.}$ | T° absolut | $\log. K$ | K | | Differenz |
|----------------------|------------------------|------------|-----------|------------|-----------|
| | | | berechnet | beobachtet | |
| 786 | 1059 | 0,9121 — 1 | 0,8168 | 0,81 | + 0,0068 |
| 886 | 1159 | 0,0639 | 1,159 | 1,19 | — 0,031 |
| 986 | 1259 | 0,1884 | 1,543 | 1,54 | + 0,003 |
| 1006 | 1278 | 0,2083 | 1,615 | 1,68 | — 0,065 |
| 1086 | 1359 | 0,2890 | 1,945 | 1,95 | — 0,005 |
| 1206 | 1478 | 0,3874 | 2,440 | 2,10 | + 0,34 |
| 1406 | 1678 | 0,5118 | 3,249 | 2,49 | + 0,759 |

Wie man sieht, stimmen die berechneten Werte bis 1086° C. sehr genau mit den beobachteten überein. Bei höheren Tempe-

1) Hahn findet statt dessen

| $t^{\circ}\text{C.}$ | K | | Differenz |
|----------------------|-----------|------------|-----------|
| | berechnet | beobachtet | |
| 786 | 0,80 | 0,81 | — 0,01 |
| 886 | 1,15 | 1,19 | — 0,04 |
| 986 | 1,54 | 1,54 | ± 0 |
| 1006 | 1,62 | 1,68 | — 0,06 |
| 1086 | 1,96 | 1,95 | + 0,01 |
| 1206 | 2,49 | 2,10 | + 0,39 |
| 1406 | 3,37 | 2,49 | + 0,88 |

Die Übereinstimmung ist also nach der oben gegebenen Berechnung eine bessere als nach jener von Hahn.

raturen zeigen sich jedoch Abweichungen, die noch einer Aufklärung harren. Vielleicht liegt die Ursache in der bei höherer Temperatur auftretenden Dissociation der Kohlensäure und des Wasserdampfes; doch ist es gar nicht unwahrscheinlich, dass hierbei auch flüchtige organische Stoffe entstehen. (Siehe beispielsweise das Auftreten von Kohlenwasserstoffen in den Hochofengasen.)

Da bei den vorerwähnten Versuchen entsprechend der Reaktion:



d. h. wenn man von einem Gemenge von CO_2 und H_2 ausgeht, die Konzentrationen von Kohlenoxyd und Wasserdampf gleich sein müssen, können wir statt

$$K = \frac{C_{CO} \cdot C_{H_2O}}{C_{CO_2} \cdot C_{H_2}}$$

auch schreiben:

$$K = \frac{(C_{CO})^2}{C_{CO_2} \cdot C_{H_2}} = \frac{(C_{H_2O})^2}{C_{CO_2} \cdot C_{H_2}} \quad ^1)$$

Nehmen wir ferner an, dass ursprünglich ein äquivalentes Gemenge von Kohlensäure und Wasserstoff vorhanden gewesen sei, so muss auch $C_{CO_2} = C_{H_2}$ sein, und wir erhalten in diesem Falle

$$K = \left(\frac{C_{CO}}{C_{CO_2}} \right)^2 = \left(\frac{C_{H_2O}}{C_{H_2}} \right)^2$$

oder

$$\sqrt{K} = \frac{C_{CO}}{C_{CO_2}} = \frac{C_{H_2O}}{C_{H_2}}$$

Da nun ein äquivalentes Gemenge von CO_2 und H_2 offenbar 0,5 CO_2 und 0,5 H_2 enthalten muss, ist

$$C_{CO} = 0,5 - C_{CO_2}$$

und

$$C_{H_2O} = 0,5 - C_{H_2},$$

also

$$\begin{aligned} \sqrt{K} &= \frac{0,5 - C_{CO_2}}{C_{CO_2}} \\ &= \frac{0,5 - C_{H_2}}{C_{H_2}}. \end{aligned}$$

Hieraus folgt weiter

$$C_{CO_2} = C_{H_2} = \frac{0,5}{1 + \sqrt{K}}$$

1) Würden wir von einem Gemenge von CO und H_2O ausgehen, so wäre natürlich $C_{CO_2} = C_{H_2}$.

Diese Gleichung gestattet die Gaszusammensetzung für den Fall zu berechnen, dass

$$C_{CO_2} + C_{CO} = C_{H_2} + C_{H_2O}$$

ist. Man erhält so:¹⁾

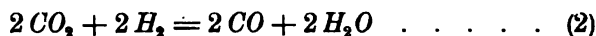
| $t^{\circ}C.$ | CO_2 | CO | H_2 | H_2O |
|---------------|--------|-------|-------|--------|
| 786 | 0,263 | 0,237 | 0,263 | 0,237 |
| 886 | 0,241 | 0,259 | 0,241 | 0,259 |
| 986 | 0,223 | 0,277 | 0,223 | 0,277 |
| 1005 | 0,220 | 0,280 | 0,220 | 0,280 |
| 1086 | 0,209 | 0,291 | 0,209 | 0,291 |
| 1205 | 0,195 | 0,305 | 0,195 | 0,305 |
| 1405 | 0,178 | 0,322 | 0,178 | 0,322 |

Bei höherer Temperatur wird auch der Wasserdampf zerlegt (er dissociiert). Wir werden somit auch das Dissociationsgleichgewicht des Wasserdampfes studieren müssen.

Wir wollen hierbei zunächst G. Preuner²⁾ folgen. Er leitet die Konstante für die Dissociation des Wasserdampfes aus folgenden Reaktionen ab:



und



Subtrahiert man beide Gleichungen, so gelangt man zu



Suchen wir die Gleichgewichtskonstante für einen bestimmten Druck und eine bestimmte Temperatur (also die Grösse $K_{t,p}$), so haben wir:

a) für die Reaktion (1).

$$\frac{(C_{CO})^2 \cdot C_{O_2}}{(C_{CO_2})^2} = K'_{t,p}; \quad . \quad . \quad . \quad . \quad . \quad (4)$$

b) für die Reaktion (2) (von rechts nach links gelesen):

$$\frac{C_{CO_2} \cdot C_{H_2}}{C_{CO} \cdot C_{H_2O}} = K''_{t,p}; \quad . \quad . \quad . \quad . \quad . \quad (5)$$

1) Aus den berechneten Werten von K abgeleitet.

2) Über die Dissociationskonstante des Wassers und die elektromotorische Kraft der Knallgaskette.

c) für die Reaktion (3) (von rechts nach links gelesen):

$$\frac{(C_{H_2})^2 \cdot C_{O_2}}{(C_{H_2O})^2} = K'''_{t,p} \dots \dots \dots (6)$$

Die dritte dieser Gleichungen lässt sich aus den beiden ersten ableiten. Man erhält so:

$$\frac{(C_{H_2})^2 \cdot C_{O_2}}{(C_{H_2O})^2} = K'''_{t,p} = K_{t,p} \cdot (K''_{t,p})^2 \dots \dots \dots (7)$$

Preuner berechnet nun die Dissociationskonstante des Wasserdampfes für 1000° C. Hierzu berechnet er zunächst den Wert der Dissociationskonstanten für Kohlensäure nach den Angaben von Le Chatelier bei 1000° C. Der Partialdruck der Kohlensäure weicht bei dieser Temperatur nur sehr wenig vom Gesamtdrucke P ab, wir können also setzen

$$p_{CO_2} = P.$$

Bezeichnet man weiter den aus der Le Chatelierschen Tabelle abzuleitenden Dissociationsgrad der Kohlensäure mit α , so haben wir

$$p_{CO} = \alpha P,$$

und

$$p_{O_2} = \frac{\alpha}{2} P,$$

und somit:

$$RTK'_p = \frac{p_{O_2} (p_{CO})^2}{(p_{CO_2})^2}.$$

Man erhält somit folgende Werte:

| Druck P | RTK'_p |
|--------------------|------------------------|
| 0,001 Atm. | $17,2 \times 10^{-11}$ |
| 0,01 „ | $13,5 \times 10^{-11}$ |
| 0,1 „ | $11,0 \times 10^{-11}$ |
| 1 „ | $10,8 \times 10^{-11}$ |
| 10 „ | $13,5 \times 10^{-11}$ |
| 100 „ | $15,8 \times 10^{-11}$ |

Diese Werte sollten eigentlich untereinander gleich sein. Dies ist hier nicht der Fall, weil zur Berechnung die abgerundeten Zahlen aus Le Chateliers Tabelle benutzt wurden. Um die hierdurch entstehenden Fehler möglichst zu eliminieren, bedient sich Preuner des Mittelwertes

$$R \cdot TK'_{1000} = 13,6 \times 10^{-11}$$

Hieraus folgt weiter:

$$\begin{aligned} K'_{1000} &= \frac{13,6 \times 10^{-11}}{RT} \\ &= \frac{13,6 \times 10^{-11}}{0,0815 \times 1273} \\ &= 13,10 \times 10^{-131}) \end{aligned}$$

Zur Berechnung der Konstanten des Gleichgewichts $\text{CO}_2 + \text{H}_2 \rightleftharpoons \text{CO} + \text{H}_2\text{O}$ bei 1000°C . bedient sich Preuner der Boudouardschen Daten. Aus dem Gleichgewichte bei 1100°C . findet er die Konstante für 1000°C . zu 1,8; die Berechnung aus den (weniger sicheren) Gleichgewichtsdaten bei 850° hingegen ergibt dieselbe zu 3,5. Unter Berücksichtigung des letzteren Wertes rundet er die Konstanten nach aufwärts, d. i. auf 2,0 ab. Diese allerdings nicht einwurfsfreie Korrektur kann hier im Notfalle angewendet werden, weil die Konstante K_t'' bei der Berechnung von K_t''' nur als Logarithmus auftritt, so dass im wesentlichen nur ihre Grössenordnung in Betracht kommt.

Benutzt man die verlässlicheren Daten von O. Hahn,²⁾ so erhält man für K_t'' den Wert 1,61.

Aus den eben berechneten Konstanten K_t' und K_t'' ergibt sich nun K_t''' nach der Gleichung

$$K_t''' = K_t' \cdot (K_t'')^2.$$

Man erhält so nach Preuner

$$\begin{aligned} K_t''' &= 13,10 \times 10^{-13} \times 2^2 \\ &= 5,2 \times 10^{-12}, \end{aligned}$$

während wir bei Benutzung der Hahnschen Beobachtungen erhalten:

$$\begin{aligned} K_t''' &= 13,10 \times 10^{-13} \times 1,6^2 \\ &= 3,35 \times 10^{-12} \end{aligned}$$

Würde man den Nernstschen Wert $K'_{1000} = 1,08 \times 10^{-10}$ einsetzen, so erhielte man

$$\begin{aligned} K_{1000}''' &= 1,08 \times 10^{-10} \times 1,6^2 \\ &= 3,62 \times 10^{-11}. \end{aligned}$$

1) Nernst hat diese Konstante zu ungefähr $1,08 \times 10^{-10}$ gefunden.

2) Siehe S. 177.

Wenn diese Zahlen untereinander auch nicht absolut genau übereinstimmen, so sind sie doch alle von ungefähr derselben Grössenordnung, was bei dem Mangel an genauer Kenntnis der spezifischen Wärme u. s. w., ein ganz befriedigendes Resultat genannt werden kann.

Die Bildungsenergie des Wasserdampfes berechnet G. Bodländer¹⁾ in folgender Weise:

Nach Boudouards allerdings nicht ganz einwandfreien Untersuchungen entspricht dem Gleichgewichte zwischen Kohlenoxyd, Kohlensäure, Wasserstoff, und Sauerstoff bei 1000° folgende Gaszusammensetzung:

| | | |
|--------|-----------|------|
| CO | | 33 % |
| CO_2 | | 17 „ |
| H_2 | | 38 „ |
| H_2O | | 17 „ |

Für 1000° C. ist die Konstante des Gleichgewichts zwischen Kohlensäure, Kohlenoxyd und Sauerstoff nach Nernst:²⁾

$$K' = \frac{(C_{CO})^2 \cdot C_{O_2}}{(C_{CO_2})^2} = \frac{(0,0006)^2 (0,0003)}{(1)^2} = 1,08 \times 10^{-10}.$$

Mithin ist beim Gleichgewichte zwischen 0,33 CO und 0,17 CO_2 Sauerstoff von

$$\frac{1,08 \times 10^{-10} (0,17)^2}{(0,33)^2} = 2,865 \times 10^{-11} \text{ Atm.}$$

Partialdruck vorhanden.³⁾ Dieselbe Menge Sauerstoff steht aber auch im Gleichgewicht mit Wasserstoff von 0,33 und Wasserdampf von 0,17 Atm. Partialdruck. Will man aus Wasserstoff und Sauerstoff von Atmosphärendruck bei 1000° C. ein Mol Wasserdampf von Atmosphärendruck herstellen, so gewinnt man dabei an Arbeit:

$$\begin{aligned} & \frac{1}{2} R T \ln \frac{1}{2,865 \times 10^{-11}} + \frac{1}{2} R T \ln \left(\frac{1}{0,33} \right)^2 + \\ & + \frac{1}{2} R T \ln \left(\frac{0,17}{1} \right)^2 = \end{aligned}$$

1) Zeitschrift f. Elektrochemie 1902, S. 833.

2) Siehe oben.

3) Legen wir die Daten von O. Hahn zu Grunde, so erhalten wir

$$\frac{1,08 \times 10^{-10}}{1,61} = 6,7 \times 10^{-11} \text{ Atm.}$$

$$\begin{aligned}
 &= \frac{1}{2} R T \left[\ln \frac{1}{2,865 \times 10^{-11}} + \ln \left(\frac{0,17}{0,33} \right)^2 \right] \\
 &= 2,29 T \cdot \log. \frac{(0,17)^2}{(2,865 \times 10^{-11}) (0,33)^2} \\
 &= 29050 \text{ cal.}^1)
 \end{aligned}$$

Bei gewöhnlicher Temperatur ist die Bildungswärme des Wasserdampfes 58000 cal., beim absoluten Nullpunkte etwa 57600 cal. Da beim absoluten Nullpunkte die freie Bildungsenergie desselben ebensogross ist, erhalten wir als Interpolationsformel für die freie Bildungsenergie des Wasserdampfes bei der absoluten Temperatur T den Ausdruck:

$$A_{(H_2 + \frac{1}{2} O_2)} = 57600 - 22,4 T.$$

Stehen jedoch Wasserstoff, Sauerstoff und Wasserdampf statt unter je 1 Atm. unter den Partialdrücken p_{H_2} , p_{O_2} und p_{H_2O} , so beträgt die freie Bildungsenergie:

$$A_{(H_2 + \frac{1}{2} O_2)} = 57600 - 22,4 T + 2,29 T \log. \frac{(p_{H_2})^2 (p_{O_2})^2}{(p_{H_2O})^2}.$$

Diese Gleichung gestattet auch die elektromotorische Kraft der Knallgaskette zu berechnen. Nach Bose³⁾ beträgt dieselbe bei 25° C. $1,139 \pm 0,015$ Volt. Dabei ist der Wasserdampfdruck 23,6 mm, der Druck des Wasserstoffes und des Sauerstoffes $760 - 23,6 = 736,4$ mm. Rechnet man diese Partialdrücke in Atmosphären um und setzt sie in die Gleichung ein, so erhält man für A bei $T = 273 + 25 = 298^\circ$ den Wert 52955 cal., der durch 2×23111 dividiert, die elektromotorische Kraft 1,145 Volt ergibt, was mit der direkten Beobachtung sehr gut übereinstimmt,⁴⁾ wodurch die Brauchbarkeit obiger Interpolationsformel nachgewiesen ist.⁵⁾

- 1) Benutzt man die Hahnschen Angaben, so erhält man:

$$2,29 \times 1273 \cdot \log. \frac{1}{10,787 \times 10^{-11}} = 26350 \text{ cal.}$$

- 2) Unter Benutzung der Hahnschen Daten hätte sich ergeben:

$$A_{(H_2 + \frac{1}{2} O_2)} = 57600 - 24,5 T + 2,29 T \log. \frac{(p_{H_2})^2 \cdot p_{O_2}}{p_{H_2O}}.$$

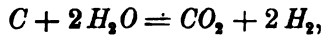
- 3) Zeitschr. f. anorganische Chemie, 30, 406 (1902).

- 4) Unter Zugrundelegung der Hahnschen Beobachtungen erhält man 52970 cal. oder 1,146 Volt, also eine noch etwas bessere Übereinstimmung.

- 5) Im nächsten Kapitel wird eine genauere Berechnung der Bildungsenergien mitgeteilt werden.

Wir können nun wieder zur Bildung des Wassergases zurückkehren.

Bei niedrigerer Temperatur verläuft diese Bildung hauptsächlich nach der Gleichung:



deren freie Energie sich aus den Bildungsenergien von Kohlensäure und Wasserdampf¹⁾ wie folgt berechnet:

$$\begin{aligned} A_{(C, 2H_2O)} &= A_{(C, O_2)} - 2 A_{(H_2, H_2O)} \\ &= 97650 - 21,2 T + 4,58 T \log. \frac{p_{O_2}}{p_{CO_2}} - \\ &\quad - 115200 + 44,8 T + 4,58 T \log. \frac{(p_{H_2})^2 \cdot p_{O_2}}{(p_{H_2O})^2} \\ &= -17550 + 23,6 T + 4,58 T \log. \frac{(p_{H_2})^2}{(p_{H_2})^2 \cdot p_{CO_2}}. \end{aligned}$$

Bei höheren Temperaturen herrscht hingegen die Reaktion



vor, deren freie Energie sich in analoger Weise berechnet zu

$$\begin{aligned} A_{(C, H_2O)} &= A_{(C, H_2O)} - A_{(H_2, H_2O)} \\ &= 29650 + 9,36 T + 2,29 T \log. \frac{p_{O_2}}{(p_{CO})^2} - \\ &\quad - 57600 + 22,4 T - 2,29 T \log. \frac{(p_{H_2})^2 \cdot p_{O_2}}{(p_{H_2O})^2} \\ &= -27950 + 31,76 T + 4,54 T \log. \frac{p_{H_2O}}{p_{CO} \cdot p_{H_2}}. \end{aligned}$$

Fig. 47, Tafel XX stellt die hierher gehörigen Verhältnisse graphisch dar. Aus derselben ersieht man, dass beide Reaktionen bei tiefen Temperaturen nicht stattfinden können, sowie, dass die Wassergasreaktion, bei welcher Kohlensäure gebildet wird, bei tieferer, jene Reaktion aber, bei welcher Kohlenoxyd entsteht, bei höherer Temperatur vorherrschen muss. Unter keinen Umständen kann aber ganz reines Kohlensäure-Wassergas oder ganz reines Kohlenoxyd-Wassergas gebildet werden, sondern es müssen stets CO_2 , CO , H_2 und H_2O nebeneinander existieren.

1) Siehe das vorige Kapitel.

Soll zwischen beiden Reaktionen Gleichgewicht herrschen, so muss die freie Bildungsenergie des Kohlenoxyd-Wassergases jener des Kohlensäure-Wassergases gleich sein. Es muss also sein:

$$\begin{aligned}
 -17550 + 23,6 T + 4,58 T \log. \frac{(p_{H_2O})^2}{(p_{H_2})^2 \cdot p_{CO_2}} = \\
 = -27950 + 31,76 T + 4,58 T \log. \frac{p_{H_2O}}{p_{CO} \cdot p_{H_2}}.
 \end{aligned}$$

Hieraus ergibt sich für die Abhängigkeit der Zusammensetzung des Wassergases von der Temperatur die Gleichung:

$$10400 = 8,16 T - 4,58 T \log. \frac{p_{H_2O}}{p_{H_2}} \cdot \frac{p_{CO}}{p_{CO_2}}.$$

Hieraus folgt:

$$\begin{aligned}
 \log. \frac{p_{H_2O} \cdot p_{CO}}{p_{H_2} \cdot p_{CO_2}} &= \frac{8,16 T - 10400}{4,58 T} \\
 &= 1,782 - \frac{2270}{T},
 \end{aligned}$$

eine Gleichung, die wir zur Beurteilung der Zusammensetzung der vor den Formen gebildeten Gase benutzen können, wenn wir annehmen, dass reiner Kohlenstoff als Brennmaterial benutzt worden sei. Wir haben dann:

| $t^{\circ}C.$ | T | $\frac{2270}{T}$ | $\log. \frac{p_{H_2O} \cdot p_{CO}}{p_{H_2} \cdot p_{CO_2}} = 1,782 - \frac{2270}{T}$ | $\frac{p_{H_2O} \cdot p_{CO}}{p_{H_2} \cdot p_{CO_2}}$ |
|---------------|------|------------------|---|--|
| 400 | 673 | 3,373 | 0,409 — 2 | 0,026 |
| 500 | 773 | 2,937 | 0,846 — 2 | 0,073 |
| 600 | 873 | 2,600 | 0,182 — 1 | 0,15 |
| 700 | 973 | 2,353 | 0,449 — 1 | 0,28 |
| 800 | 1073 | 2,116 | 0,666 — 1 | 0,46 |
| 900 | 1173 | 1,935 | 0,847 — 1 | 0,70 |
| 1000 | 1273 | 1,783 | 0,999 — 1 | 1,00 |
| 1100 | 1373 | 1,653 | 0,129 | 1,35 |
| 1200 | 1473 | 1,541 | 0,191 | 1,56 |
| 1300 | 1573 | 1,443 | 0,339 | 2,18 |
| 1400 | 1673 | 1,357 | 0,425 | 2,66 |
| 1500 | 1773 | 1,280 | 0,502 | 3,18 |
| 1600 | 1873 | 1,212 | 0,570 | 3,71 |
| 1700 | 1973 | 1,151 | 0,633 | 4,30 |
| 1800 | 2073 | 1,095 | 0,687 | 4,86 |
| 1900 | 2173 | 1,045 | 0,737 | 5,46 |
| 2000 | 2273 | 0,999 | 0,783 | 6,07 |

Wenn auch die hier berechneten Zahlen mit den früher (S. 180) aus den Hahnschen Beobachtungen berechneten nur annähernd übereinstimmen, so zeigen sie doch gleichfalls, dass das Verhältnis $\frac{p_{H_2O} \cdot p_{CO}}{p_{H_2} \cdot p_{CO_2}}$ oder $\frac{C_{H_2O} \cdot C_{CO}}{C_{H_2} \cdot C_{CO_2}}$ mit der Temperatur wächst.

Vergleichen wir hiermit die Zusammensetzung des Gasgemisches, wie es aus den Hahnschen Beobachtungen für das Gleichgewicht berechnet ist, das aus einem Gemenge gleicher Volumina von Kohlensäure und Wasserstoff, beziehungsweise von Kohlenoxyd und Wasserdampf bei verschiedenen Temperaturen resultiert, so finden wir die interessante Thatsache, dass das Verhältnis $\frac{CO}{CO_2}$ ebenso wie jenes $\frac{H_2O}{H_2}$ mit der Temperatur wächst, d. h. mit anderen Worten, je höher die Temperatur steigt, desto mehr Kohlenoxyd und Wasserdampf, andererseits aber desto weniger Kohlensäure und Wasserstoff wird gebildet werden.¹⁾

Für den Hochofenprozess ergibt sich hieraus noch weiter, dass die vor den Formen gebildeten Gase bei gleichem Feuchtigkeitsgehalte der Verbrennungsluft um so wasserstoffärmer ausfallen müssen, bei je höherer Temperatur die Verbrennung erfolgt, oder mit anderen Worten, dass die Erzreduktion durch Wasserstoff — die ja wegen des im allgemeinen ziemlich niedrigen Feuchtigkeitsgehaltes der Luft an und für sich nicht sehr erheblich sein kann — umsoweniger ins Gewicht fällt, je höher die Ofen-

1) Das obige Beispiel zeigt übrigens noch die weitere Thatsache, dass die Summe der gebildeten brennbaren Gase hier von der Temperatur ganz unabhängig ist. In diesem Beispiele ist nämlich $H_2 + CO$ bei allen Temperaturen = 0,500. Diese Erscheinung, die anfangs allerdings befremdet, ist übrigens ganz natürlich, weil ja nach der Gleichung: $CO + H_2O = CO_2 + H_2$ für jedes Molekül Wasser, das zu Wasserstoff reduziert wird, ein Molekül CO zu CO_2 oxydiert werden muss. Unter diesen Umständen ist also die rein chemische Reduktionsfähigkeit des Gasgemisches (d. i. die Anzahl der reduzierend wirkenden Valenzen) von der Temperatur unabhängig. Da aber die Verbrennungswärmen gleicher Volumina von CO und H_2 praktisch gleichgross sind, muss auch der Heizeffekt des so erhaltenen Gases von der Erzeugungstemperatur unabhängig sein. Natürlich gilt dies nur für ein gegebenes Verhältnis des H_2O - und CO -Gehaltes im ursprünglich vorhandenen Gasgemenge. Bei der Wassergas- (oder richtiger Mischgas-) Erzeugung wird — vorausgesetzt, dass die Temperatur im Generator zur Durchführung des Prozesses hinreicht — dasselbe für ein gegebenes Verhältnis von Luft und Wasserdampf gelten müssen.

temperatur in der Formengegend ist, mit je heisseren Winde man also arbeitet.¹⁾ Dies stimmt auch mit den früher mitgeteilten Gasanalysen überein.

Damit sind freilich alle Reaktionen, welche bei Einwirkung von Sauerstoff und Wasserdampf auf glühende Kohlen eintreten können, noch nicht erschöpft. Es können nämlich hierbei neben CO , CO_2 , H_2 und H_2O auch noch verschieden organische Verbindungen, namentlich Kohlenwasserstoffe wie CH_4 , C_2H_4 , C_2H_2 u. s. w. gebildet werden. Dass wenigstens die beiden ersten dieser Reaktionen thatsächlich im Hochofen stattfinden, geht aus den Gasanalysen hervor, welche die Existenz von CH_4 und C_2H_4 in den Hochofengasen stets nachweisen; doch treten dieselben nur in relativ geringen Mengen auf. Überdies sind diese Verhältnisse theoretisch noch nicht studiert.

Das letztere gilt auch von der Einwirkung des Stickstoffes auf glühende Kohlen, d. i. von der Cyanbildung, die vermutlich beim Hochofenprozesse eine grössere Rolle spielt, als man heute gewöhnlich annimmt. Die Cyanbildung erfolgt unter Wärmebindung, wird also bei höherer Temperatur energischer erfolgen als bei niederer.

FÜNFTES KAPITEL.

Genauere Berechnung der Bildungsenergien der früher besprochenen Verbindungen.*)

Die Bodländerschen Bestimmungen der freien Bildungsenergien stützen sich einerseits auf die nur approximative Berechnung Nernsts für die Bildungsenergie der Kohlensäure, die ihrerseits wieder auf die Dissociation der Kohlensäure fusst, die ja, wie wir früher gesehen haben, noch eines eingehenden Studiums harret; andererseits gehen sie von der Annahme aus, dass die freien Bildungsenergien geradlinige Funktionen der absoluten Temperatur seien, eine Annahme, die ja als erste Annäherung zulässig, aber bestimmt unrichtig ist.

1) Im selben Sinne würde auch die Anwendung sauerstoffreicheren Gebläsewindes wirken.

2) Der Inhalt dieses Kapitels stellt eine Ergänzung der vorigen dar.

Aus diesem Grunde hat der Verfasser versucht, die Berechnung dieser Energien auf etwas geänderter Basis durchzuführen. Zunächst wurde hierbei wieder von der Annahme ausgegangen, dass es sich hier um lineare Temperaturfunktionen handle. Bei der Unsicherheit, welche jedoch den Beobachtungen über die Dissociation der Kohlensäure anhaftet, wurde hier von der Knallgaskette ausgegangen.

a) Freie Bildungsenergie des Wasserdampfes.

Nach Bose¹⁾ beträgt die elektromotorische Kraft der Knallgaskette bei 25° C. $1,139 \pm 0,015$ Volt. Hieraus folgt als Grösse der freien Bildungsenergie des Wasserdampfes bei 25° C. $(1,139 \pm 0,015) \times 2 \times 2311 = 52646,9$ cal. Hierbei betragen die Partialdrucke von

| | |
|-----------------------|------------------------|
| Wasserdampf | 23,6 mm = 0,0310 Atm.. |
| Wasserstoff | 786,4 „ = 0,9690 „ |
| Sauerstoff | 786,4 „ = 0,9690 „ |

Würden alle diese Gase unter dem Drucke einer Atmosphäre stehen, so wäre die allgemeine Gleichung für die freie Bildungsenergie des Wasserdampfes

$$A_{H_2+O} = A_0 + aT,$$

befinden sich jedoch die Gase unter einem anderen Drucke, ist also beispielsweise der Druck von

| | |
|-----------------------|--------------|
| Wasser | p_{H_2O} , |
| Wasserstoff | p_{H_2} , |
| Sauerstoff | p_{O_2} . |

so wird die bei der Wasserbildung gewinnbare Energie sich um jene Arbeit vergrössern, welche die Ausdehnung des Wasserstoffes und Sauerstoffes von 1 Atm. Druck auf die Drucke p_{H_2} und p_{O_2} entspricht, d. i. um

$$\frac{1}{2} RT \ln p_{O_2} + RT \ln p_{H_2},$$

während sie sich um die zur Kompression des gebildeten Wasserdampfes von p_{H_2O} auf 1 Atm. Druck erforderliche Arbeit, d. i. um

$$RT \ln p_{H_2O}$$

verringert wird. Wir dürfen also als allgemeinen Ausdruck für die freie Bildungsenergie des Wasserdampfes schreiben:

$$A_{H_2+O} = A_0 + aT + RT \ln \frac{(p_{O_2})^{1/2} (p_{H_2})}{(p_{H_2O})}.$$

1) Zeitschrift f. anorganische Chemie, 30, S. 406 (1902).

Setzen wir in diese Gleichung die auf die Knallgaskette bezüglichen Werte ein, so erhalten wir:

$$RT \ln \frac{(0,969)^{3/2}}{0,031} = 1,982 (273 + 25) \ln \frac{(0,969)^{3/2}}{0,031} \\ = 2029,5.$$

Wir haben somit für die freie Bildungsenergie des Wasserdampfes bei 25° C.:

$$A_0 + aT + 2029,5 = 52646,9 \text{ cal.}$$

und es ist somit

$$A_0 + aT = 50617,4 \text{ cal.}$$

Andererseits ist aber $A_0 = q_0$. Nun ist die Bildungswärme von 1 Mol Wasserdampf bei 18° C. (291° absolut):

$$q_{291} = 58730 \text{ cal.} \\ = q_0 + (c_H - c_I) 291,$$

worin c_H und c_I die Wärmekapazität des Systems im End- beziehungsweise Anfangs-Zustande darstellt. Setzt man hierin die mittleren spezifischen Molarwärmen der betreffenden Stoffe (nach Le Chatelier) ein, so erhält man:

$$58730 = q_0 + (6,5 + 0,0029 \times 291) 291 - \\ - 1,5 (6,5 + 0,0006 \times 291) 291 = q_0 - 776,4$$

oder

$$q_0 = 59506,4 \text{ cal.}$$

Setzen wir diesen Wert in die frühere Gleichung ein, so erhalten wir:

$$A_{298} = 59506,4 + 298 a = 50617,4$$

und somit

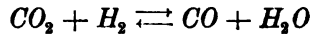
$$a = -29,83.$$

Nun haben wir alle Konstanten berechnet und erhalten somit für die freie Bildungsenergie des Wasserdampfes bei beliebigen Temperaturen und Drucken:

$$A_{H_2 + O} = 59506,4 - 29,83 T + 4,56 T \log. \frac{(p_{H_2})(p_O)^{1/2}}{(p_{H_2O})}$$

b) Freie Bildungsenergie der Kohlensäure aus Kohlenoxyd und Sauerstoff.

Wir wollen von dem Gleichgewichte:



ausgehen, das von Oscar Hahn¹⁾ eingehend studiert wurde. Die aus seinen Angaben berechneten Werte der Konstanten des isothermen Gleichgewichts stimmen²⁾ bis 1100° C. vorzüglich mit den unmittelbar berechneten überein. Aus diesen Konstanten berechnet sich für eine Temperatur von 986° C. (1259° absolut) die Zusammensetzung eines Gasgemenges, das aus gleichen Volumen Kohlensäure und Wasserstoff entstanden ist, zu

| | | |
|-------|-----------|-------------|
| 0,223 | | Vol. CO_2 |
| 0,277 | | „ CO |
| 0,223 | | „ H_2 |
| 0,277 | | „ H_2O |

Addieren wir zu $CO + H_2O = CO_2 + H_2$

die Gleichung $H_2 + O = H_2O$

so erhalten wir $CO + O = CO_2$.

Die Zerlegung des Wassers erfolgt somit auf Kosten der freien Bildungsenergie der Kohlensäure aus Kohlenoxyd und Sauerstoff, und Gleichgewicht wird offenbar dann eintreten, wenn die freien Energien beider Reaktionen gleich, wenn also

$$A_{(CO+O)} - A_{(H_2+O)} = 0$$

wird. Setzen wir für beide Bildungsenergien die allgemeinen Ausdrücke ein, so erhalten wir:

$$\begin{aligned} A_{(CO+O)} + aT + 4,56 T \log. \frac{(p_{CO})(p_{O_2})^{1/2}}{(p_{CO_2})} &= A_{(H_2+O)} + \\ &+ a'T + 4,56 T \log. \frac{(p_{H_2})(p_{O_2})^{1/2}}{(p_{H_2O})} \\ &= 59506,4 - 29,83 T + 4,56 T \log. \frac{(p_{H_2})(p_{O_2})^{1/2}}{(p_{H_2O})} \end{aligned}$$

oder

$$A_{(CO+O)} + aT = 59506,4 - 29,83 T + 4,56 T \log. \frac{(p_{H_2})(p_{CO_2})}{(p_{H_2O})(p_{CO})}$$

Dies gibt für 986° C. (1259° absolut)

1) l. c.

2) Siehe S. 180.

$$A_{(CO+O)_0} + aT = 59506,4 - 29,83 \times 1259 + 4,56 \times 1259 \log. \frac{1}{1,54} \\ = 21949,57 \text{ cal.}$$

Wir haben somit nur noch die Verbrennungswärme des Kohlenoxydes beim absoluten Nullpunkte zu berechnen. Die Verbrennungswärme dieses Gases ist bei 18° C. (291° absolut)

$$68600 \text{ cal.} = q_0 + (c_H - c_I) 291$$

oder nach Einsetzung der Le Chatelierschen Molarwärmen:

$$68600 = q_0 + (6,5 + 0,0037 \times 291) - 291 \\ - 1,5 (6,5 + 0,0006 \times 291) 291 \\ = q_0 - 710,0,$$

woraus folgt:

$$q_0 = 69310,0 \text{ cal.}$$

Es ist also:

$$A_{(CO+O)_0} + 1259a = 69310,0 + 1259a = 21949,57,$$

und daher:

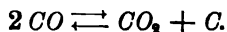
$$a = -37,62.$$

Hieraus ergibt sich für die gesuchte freie Bildungsenergie der Kohlensäure aus Kohlenoxyd und Sauerstoff:

$$A_{(CO+O)} = 69310,0 - 37,62 T + 4,56 T \log. \frac{(p_{CO})(p_{O_2})^{1/2}}{(p_{CO_2})}$$

c) Freie Bildungsenergie des Kohlenoxydes aus amorphem Kohlenstoff und Sauerstoff.

Zur Berechnung benutzen wir die Studien Boudouards¹⁾ über das Gleichgewicht



Der Zerfall des Kohlenoxydes in Kohlenstoff und Sauerstoff erfolgt unter Energieaufwand, während die Oxydation von Kohlenoxyd zu Kohlensäure unter Freiwerden von Energie sich vollzieht. Es wird somit Gleichgewicht eintreten, wenn

$$A_{CO+O} - A_{C+O} = 0$$

wird. Setzen wir weiter die allgemeinen Ausdrücke für beide Bildungsenergien ein, so finden wir:

1) l. c.; siehe S. 45.

$$A_{(CO+O)_0} + aT + 4,56 T \cdot \log. \frac{(p_{CO})(p_{O_2})^{1/2}}{(p_{CO_2})} A_{(C+O)_0} + a'T + \\ + 4,56 T \cdot \log. \frac{(p_{O_2})^{1/2}}{(p_{CO})},$$

oder:

$$69310,0 - 37,62 T + 4,56 T \log. \frac{(p_{CO})(p_{O_2})^{1/2}}{(p_{CO_2})} = A_{(C+O)_0} + a'T + \\ + 4,56 T \cdot \log. \frac{(p_{O_2})^{1/2}}{(p_{CO})},$$

oder endlich:

$$A_{(C+O)_0} + a'T = 69310,0 - 37,62 T + 4,56 T \log. \frac{(p_{CO})^2}{(p_{CO_2})}.$$

Setzen wird die Boudouardschen Werte für 925° C. (1198° absolut) ein, so erhalten wir:

$$A_{(CO+O)_0} + a'T = 69310,0 - 37,62 \times 1198 + 4,56 \times 1198 \log. \frac{(0,96)^2}{0,04} \\ = 31684,4 \text{ cal.}$$

Wir haben nun noch die Wärmetönung beim absoluten Nullpunkte zu berechnen. Bei 18° C. ist die Bildungswärme des Kohlenoxydes = 29000 Kal. und daher:

$$q_{291} = q_0 + (c_H - c_I) 291 = 29000 \text{ cal.}$$

Das Einsetzen der spezifischen Wärme bietet hier einige Schwierigkeiten, da jene des amorphen Kohlenstoffes nicht genügend bekannt ist. H. Le Chatelier giebt für die Molarwärme der Retortenkohle zwischen 0° C. und 250° C. den Ausdruck:

$$1,92 + 0,0077 t.$$

Nehmen wir an, dass dieselbe bis zum absoluten Nullpunkte annähernd demselben Gesetze folgt, so hätten wir:

$$1,92 - 2,10 + 0,0077 T,$$

was für den absoluten Nullpunkt eine zwar kleine, aber doch negative spezifische Wärme geben würde. Da dies unmöglich ist, wollen wir als annähernden Wert

$$C_0^T = 0,0077 T$$

setzen, und erhalten dann:

$$29000 = q_0 + (6,5 + 0,0006 T) T - \frac{1}{2} (6,5 + 0,0006 T) T - 0,0077 T^2 \\ = q_0 + 745,8 - 398,0$$

und daher:

$$q_0 = 28652,2 \text{ cal.}$$

Setzen wir diesen Wert in die Gleichung:

$$A_{(C+O)_0} + aT = 31684,4$$

ein, so erhalten wir:

$$a = 2,53.$$

Hieraus ergibt sich die Gesamtgleichung für die freie Bildungsenergie des Kohlenoxydes zu:

$$A_{C+O} = 28652,2 + 2,53 T + 4,56 T \log. \frac{(p_{O_2})^{1/2}}{(p_{CO})}.$$

d) Freie Bildungsenergie der Kohlensäure aus amorphem Kohlenstoff und Sauerstoff.

Durch Addition der beiden Gleichungen $C + O = CO + A_{(C+O)}$

und

$$CO + O = CO_2 + A_{(CO+O)}$$

erhält man

$$C + O_2 = CO_2 + A_{(C+O_2)}$$

Es ist somit:

$$\begin{aligned} A_{(C+O_2)} &= A_{(C+O)} + A_{(CO+O)} \\ &= 97962,2 - 35,09 T + 4,56 T \log. \frac{(p_{O_2})}{(p_{CO_2})}. \end{aligned}$$

Fig. 48, Tafel XX stellt die Abhängigkeit der eben entwickelten Bildungsenergien von der Temperatur für den Fall graphisch dar, dass die Drucke der Bestandteile des betrachteten Systems in freiem Zustande alle = 1 seien.

Die Annahme, dass die Änderung der freien Energie eine lineare Funktion der absoluten Temperatur sei, gilt nur dann, wenn die spezifische Wärme der Körper von der Temperatur unabhängig ist. Dies ist jedoch in Wirklichkeit nicht der Fall, da wir für letztere empirische Gleichungen von der allgemeinen Form

$$c = \alpha + \beta T + \gamma T^2 + \dots$$

aufstellen können.

Es ist daher wichtig, die Abhängigkeit der Änderung der freien Energie von der Temperatur näher zu studieren, zu welchem Zwecke wir von der Gleichung¹⁾

$$A - U = T \frac{dA}{dT}$$

1) Siehe das zweite Kapitel.

ausgehen wollen. In derselben ist die Abnahme der Gesamtenergie U , gleich der Wärmeentwicklung der Reaktion q_T , also

$$A - q_T = T \frac{dA}{dT} \quad . \quad . \quad . \quad . \quad . \quad . \quad (1)$$

Andererseits ist

$$A = RT \ln K + RT [\Sigma n' \ln C' - \Sigma n'' \ln C''],$$

und daher, wenn man letztere Gleichung differenziert,

$$\begin{aligned} \frac{dA}{dT} &= R \ln K + RT \frac{d \ln K}{dT} + R \Sigma n' \ln C' + \\ &+ RT \frac{d(\Sigma n' \ln C')}{dT} - R \Sigma n'' \ln C'' - \\ &- RT \frac{d(\Sigma n'' \ln C'')}{dT}. \end{aligned}$$

Hierin sind $\Sigma n' \ln C'$ und $\Sigma n'' \ln C''$ — die ja nach Belieben gewählt werden können — von der Temperatur unabhängig; ihre Differentiale werden daher Null, und wir erhalten somit:

$$\frac{dA}{dT} = R \ln K + RT \frac{d \ln K}{dT} + R [\Sigma n' \ln C' - \Sigma n'' \ln C''].$$

Setzen wir diesen Wert, sowie den für A in Gleichung (1) ein, so erhalten wir:

$$\begin{aligned} RT \ln K + RT [\Sigma n' \ln C' - \Sigma n'' \ln C''] - q_T &= RT \ln K + \\ + RT^2 \frac{d \ln K}{dT} + RT [\Sigma n' \ln C' - \Sigma n'' \ln C''], \end{aligned}$$

oder:

$$-q_T = RT^2 \frac{d \ln K}{dT},$$

die bekannte van 't Hoff'sche Gleichung, aus welcher sich ergibt:

$$d \ln K = -q_T \frac{dT}{RT^2} \quad . \quad . \quad . \quad . \quad . \quad (2)$$

Nun ist

$$q_T = q_0 + (c_H - c_I) T,$$

und wir haben somit nur mehr den Wert von $(c_H - c_I)$ zu ermitteln. Wie schon erwähnt, lassen sich die spezifischen Molekulärwärmen der Körper allgemein durch eine empirische Gleichung von der Form:

$$c = \alpha + \beta T + \gamma T^2 + \dots$$

ausdrücken. Es wird sich somit auch c_H und c_I auf die Form

$$c_H = \alpha_2 + \beta_2 T + \gamma_2 T^2 + \dots$$

und $c_l = \alpha_1 + \beta_1 T + \gamma_1 T^2 + \dots$

bringen lassen müssen, und hieraus ergibt sich:

$$(c_H - c_l) = (\alpha_2 - \alpha_1) + (\beta_2 - \beta_1) T + (\gamma_2 - \gamma_1) T^2 + \dots$$

Wir haben somit:

$$q_T = q_0 + (\alpha_2 - \alpha_1) T + (\beta_2 - \beta_1) T^2 + (\gamma_2 - \gamma_1) T^3 + \dots$$

und erhalten durch Substitution in Gleichung (2):

$$\begin{aligned} d \ln K &= \\ &= - \frac{[q_0 + (\alpha_2 - \alpha_1) T + (\beta_2 - \beta_1) T^2 + (\gamma_2 - \gamma_1) T^3 + \dots] dT}{R T^2} \\ &= - \frac{q_0 dT}{R T^2} - \frac{(\alpha_2 - \alpha_1)}{R T} dT - \frac{(\beta_2 - \beta_1)}{R} dT - \frac{(\gamma_2 - \gamma_1)}{R} T dT - \dots \end{aligned}$$

Durch Integration erhält man hieraus:

$$\ln K = \frac{q_0}{R T} - \frac{(\alpha_2 - \alpha_1)}{R} \ln T - \frac{(\beta_2 - \beta_1)}{R} T - \frac{(\gamma_2 - \gamma_1)}{2 R} T^2 - \dots$$

Multipliziert man beide Seiten der Gleichung mit $R T$, so hat man (weil $R T \ln K = A$ ist):

$$\begin{aligned} A_T = q_0 - (\alpha_2 - \alpha_1) T \ln T - (\beta_2 - \beta_1) T^2 - (\gamma_2 - \gamma_1) \frac{T^3}{2} - \dots \\ + R T \times \text{Konst.} \end{aligned}$$

Hieraus ergibt sich zunächst, dass sich der mathematische Ausdruck für die freie Bildungsenergie in der Form:

$$\begin{aligned} A_T = q_0 + [R \times \text{Konst.} - (\alpha_2 - \alpha_1) \ln T] T - (\beta_2 - \beta_1) T^2 \\ - (\gamma_2 - \gamma_1) \frac{T^3}{2} - \dots \end{aligned}$$

bringen lassen muss. Setzen wir hierin $T=0$, so erhalten wir:

$$A_0 = q_0$$

wie schon bekannt. Setzen wir endlich $R \times \text{Konst.} = B$, so können wir schreiben:

$$\begin{aligned} A_T = A_0 + B T - (\alpha_2 - \alpha_1) T \ln T - (\beta_2 - \beta_1) T^2 - \frac{(\gamma_2 - \gamma_1)}{2} T^3 - \dots \\ = A_0 + B T - 2,30259 (\alpha_2 - \alpha_1) T \log. T - (\beta_2 - \beta_1) T^2 - \\ - \frac{\gamma_2 - \gamma_1}{2} T^3 - \dots \end{aligned}$$

Für viele Körper wird dieses letzte Glied = Null, so dass wir diese Gleichung noch weiter vereinfachen können zu:

$$A_T = A_0 + B T - 2,30259 (\alpha_2 - \alpha_1) T \log. T - (\beta_2 - \beta_1) T^2.$$

Es bleibt uns nur noch übrig den Wert der Integrations-Konstanten, oder mit anderen Worten den Wert von B zu ermitteln, wozu folgende Angaben dienen können:

| Reaktion | $H_2 + O = H_2O$ | $CO + O = CO_2$ | $C + O = CO$ | $C + O_2 = CO_2$ |
|-----------------------|------------------|--------------------|--------------------|--------------------|
| $A_0 = q_0$ | 59506,4 | 69310,0 | 28652,2 | 97961,2 |
| A_T | 50617,4 | 21949,7 | 31684,4 | 56854,2 |
| T | $298 = 273 + 25$ | $1259 = 273 + 986$ | $1198 = 273 + 925$ | $1200 = 273 + 927$ |
| α_1 | $1,5 \times 6,5$ | $1,5 \times 6,5$ | $0,5 \times 6,5$ | $6,5$ |
| α_2 | 6,5 | 6,5 | 6,5 | 6,5 |
| $\alpha_2 - \alpha_1$ | -3,25 | -3,25 | +3,25 | 0 |
| β_1 | 0,0009 | 0,0009 | 0,0080 | 0,0088 |
| β_2 | 0,0029 | 0,0037 | 0,0006 | 0,0087 |
| $\beta_2 - \beta_1$ | 0,0020 | 0,0028 | -0,0074 | -0,0046 |

Die Berechnung ergibt nun folgendes:

a) Freie Bildungsenergie des Wasserdampfes.

Nach der oben entwickelten Gleichung ist:

$$BT = A_T - A_0 + 2,30259 (\alpha_2 - \alpha_1) T \cdot \log. T + (\beta_2 - \beta_1) T^2.$$

Setzen wir die Werte für $T = 298$ ein, so erhalten wir:

$$298 B = 50617,4 - 59506,4 - 2,30259 \times 3,25 \times 298 \log. 298 + \\ + 0,0020 \times (298)^2$$

und

$$B = -47,74.$$

Wir haben somit:

$$A_{H_2 + O} = 59506,4 - 47,74 T + 7,48 T \cdot \log. T - 0,0020 T^2 + \\ + 4,56 T \log. \frac{(p_{H_2})(p_{O_2})^{1/2}}{(p_{H_2O})} \\ = 59506,4 + 7,48 T (\log. T - 6,38) - 0,0020 T^2 + \\ + 4,56 T \log. \frac{(p_{H_2}) \cdot (p_{O_2})^{1/2}}{(p_{H_2O})}.$$

b) Freie Bildungsenergie der Kohlensäure aus Kohlenoxyd und Sauerstoff.

Es ist:

$$BT = 21949,7 - 69310,0 - 2,30259 \times 3,25 T \log. T + 0,0028 T^2,$$

oder nach Einsetzen von $T = 1259$:

$$1259 B = -47360,3 - 7,48 \times 1259 \log. 1259 + 0,0028 (1259)^2$$

und daher

$$B = -57,28.$$

Somit:

$$\begin{aligned} A_{CO+O} &= 69310,0 - 57,28 T + 7,48 T \cdot \log. T - 0,0028 T^2 + \\ &\quad + 4,56 T \log. \frac{(p_{CO}) \cdot (p_{O_2})^{1/2}}{(p_{CO_2})} \\ &= 69310,0 + 7,48 T (\log. T - 7,66) - 0,0028 T^2 + \\ &\quad + 4,56 T \log. \frac{(p_{CO}) (p_{O_2})^{1/2}}{(p_{CO_2})} \end{aligned}$$

c) Freie Bildungsenergie des Kohlenoxydes.

Wir haben:

$$\begin{aligned} BT &= 31684,4 - 28652,2 + 2,30259 \times 3,25 T \cdot \log. T - 0,0074 T^2 \\ &= 3032,2 + 7,48 T \log. T - 0,0074 T^2 \end{aligned}$$

oder für $T = 1198^\circ$:

$$1198 B = 3032,2 + 7,48 \times 1198 \times 3,0785 - 0,0074 (1198)^2$$

und daher

$$B = 16,7.$$

Hieraus folgt:

$$\begin{aligned} A_{C+O} &= 28652,2 + 16,7 T - 2,3059 \times 3,25 T \cdot \log. T + 0,0074 T^2 + \\ &\quad + 4,56 T \log. \frac{(p_{O_2})^{1/2}}{(p_{CO})} \\ &= 28652,2 + 16,7 T - 7,48 T \log. T + 0,0074 T^2 + \\ &\quad + 4,56 T \log. \frac{(p_{O_2})^{1/2}}{(p_{CO})} \\ &= 28652,2 + 7,48 T (2,23 - \log. T) + 0,0074 T^2 + \\ &\quad + 4,56 T \log. \frac{(p_{O_2})^{1/2}}{(p_{CO})} \end{aligned}$$

d) Freie Bildungsenergie der Kohlensäure aus amorpher Kohle und Sauerstoff.

Es ist:

$$\begin{aligned} BT &= 55854,2 - 97962,2 - 0,0046 T^2 \\ &= -42108,0 - 0,0046 T^2, \end{aligned}$$

oder für $T = 1200$:

$$B = -40,61,$$

und daher:

$$A_{C+O_2} = 97962,2 - 40,61 T + 0,0046 T^2 + 4,56 T \log. \frac{(p_{O_2})}{(p_{CO_2})}.$$

Fig. 49, Taf. XX giebt die so berechneten Bildungsenergien in graphischer Darstellung, wobei die Partialdrucke sämtlicher reagierenden Stoffe im freien Zustande = 1 gesetzt wurden. Es ist interessant, dass die Bildungsenergie der Kohlensäure aus amorphem Kohlenstoff und Sauerstoff bei 4410° (absolut) ein Minimum erreicht.

SECHSTES KAPITEL.

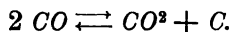
Veränderungen des Gasstromes im oberen Teile des Ofenschachtes.

Wenn wir nun die Veränderungen betrachten, welche die Gase beim Aufwärtsströmen im oberen Teile des Ofenschachtes erleiden, so wollen wir vorläufig ganz von den Einwirkungen absehen, die durch vorhandene Oxyde u. s. w. auf den Gasstrom ausgeübt werden, und nur die Wechselwirkungen zwischen Gas und Kohle betrachten.

Gehen wir zunächst von der Annahme aus, dass diese Gase einzig und allein durch die Einwirkung von trockener Luft auf die glühenden Kohlen entstanden seien, so bestehen sie nach dem früher Gesagten (wenn wir von der Cyanbildung absehen) im Formenniveau praktisch nur aus Kohlenoxyd und Stickstoff. Sie müssen also enthalten:

$$\begin{array}{rcl} \frac{2 \times 21}{100 + 21} & = & 34,71 \text{ Volumproz. Kohlenoxyd, und} \\ \frac{79}{100 + 21} & = & 65,29 \quad \text{,,} \quad \text{Stickstoff} \\ \hline \text{Summe} & = & 100,00 \text{ Volumproz.} \end{array}$$

Indem die Gase nach aufwärts strömen und mit der kälteren, nach abwärts sinkenden Gicht in Berührung kommen, kühlen sie sich ab, und hierbei zerfällt das Kohlenoxydgas in Kohlenstoff und Kohlensäure, entsprechend der Gleichung:



Es ist dies, wie wir gesehen haben,¹⁾ eine umkehrbare Reaktion, die zu einem Gleichgewichte führt, das von der Temperatur

1) Seite 35 ff.

und dem Drucke abhängt, und zwar ist diese Abhängigkeit gegeben durch die Gleichung:

$$500 \int Q \frac{dT}{T^2} + (N'' - N') lP + l \frac{(C_{CO})^2}{(C_{CO_2})} = 1.22$$

(wenn wir die Reaktion $CO^2 + C = 2 CO$ zu Grunde legen).

Ausgehend von dem Zusammenhange der trockenen Luft:

| | |
|----|---------------------------|
| 21 | Volumproz. Sauerstoff und |
| 79 | „ Stickstoff |

(also rund 20 Volumenproz. Sauerstoff) haben wir früher $P = 0,2$ Atm. gesetzt und diesen Wert zur Berechnung der Gaszusammensetzung benutzt. Dies ist jedoch nicht ganz richtig. Der Druck P , den wir hier in Rechnung setzen müssen, ist nämlich keineswegs dem Partialdrucke des Sauerstoffes in der Verbrennungsluft gleich, sondern er ist gleich der Summe der Partialdrucke des Kohlenoxydes und der Kohlensäure nach Eintritt des Gleichgewichtes. Ist nun Kohlenoxyd und Stickstoff vorhanden, wie das in der Formenebene der Fall ist, so haben wir nach obigem den Druck $P = 0,347$ Atm.; würde hingegen das Kohlenoxyd gänzlich in Kohlensäure und Kohlenstoff zerfallen, so wäre $P = 0,21$ Atm. Dies sind die Grenzwerte, zwischen welchen P schwanken kann.

Setzen wir die Gesamtmenge des ursprünglich (d. i. in der Formenebene) vorhandenen Kohlenoxydes (34,71 Volumenproz.) gleich 1, und jenen Teil desselben, welcher bei der im oberen Teile des Ofenschachtes infolge der dort herrschenden niederen Temperatur unter Abscheidung von Kohlenstoff in Kohlensäure umgewandelt werden kann $= x$, so beträgt die Gaszusammensetzung offenbar:

| | | |
|-----------------------|------------|------------|
| Stickstoff | 79 | Volumteile |
| Kohlenoxyd | 42 (1 - x) | „ |
| Kohlensäure | 21 x | „ |
| <hr/> | | |
| Zusammen | 121 - 21 x | Volumteile |

oder auf ein Volumen des Gasgemenges

| | | |
|-----------------------|---------------------------------|------------|
| Stickstoff | $\frac{79}{121 - 21 x}$ | Volumteile |
| Kohlenoxyd | $\frac{42 (1 - x)}{121 - 21 x}$ | „ |
| Kohlensäure | $\frac{21 x}{121 - 21 x}$ | „ |
| <hr/> | | |
| Summe | 1,000 | Volumteile |

Es wird somit:

$$\begin{aligned}
 P &= \frac{42(1-x) + 21x}{121 - 21x} \\
 &= \frac{21(2-x)}{21(5.762-x)} \\
 &= \frac{2-x}{5.762-x}
 \end{aligned}$$

Führt man die Division aus, so erhält man:

$$P = 0,347 - 0,113x - 0,01962x^2 - \dots$$

Da x unter allen Umständen kleiner als 1 sein muss, x^2 also noch kleiner wird, kann man das dritte Glied: $0,01962x^2$ ohne erheblichen Fehler vernachlässigen, und erhält so:

$$P = 0,347 - 0,113x.$$

Weil ferner für unsere Zwecke angenäherte Werte genügen, können wir x aus der für $P = 0,2$ Atm. berechneten Tabelle¹⁾ ableiten. Es ist nämlich:

$$x = \frac{2CO_2}{CO + 2CO_2},$$

und wir erhalten daher:

| Temperatur in °C. | x | Temperatur in °C. | x |
|----------------------|---------|----------------------|-------|
| 450 | > 0,990 | 750 | 0,191 |
| 500 | 0,935 | 800 | 0,139 |
| 550 | 0,862 | 850 | 0,044 |
| 600 | 0,739 | 900 | 0,019 |
| 650 | 0,556 | 950 | 0,012 |
| 700 | 0,363 | 1000 | 0,005 |
| | | 1050 | 0,002 |

Hieraus ergeben sich für P folgende angenäherte Werte:

| Temperatur in °C. | P in Atm. | Temperatur in °C. | P in Atm. |
|----------------------|----------------|----------------------|----------------|
| 450 | < 0,235 | 750 | 0,325 |
| 500 | 0,241 | 800 | 0,331 |
| 550 | 0,250 | 850 | 0,342 |
| 600 | 0,263 | 900 | 0,345 |
| 650 | 0,284 | 950 | 0,346 |
| 700 | 0,306 | 1000 | 0,346 |
| | | 1050 | 0,347 |

1) Seite 55.

Durch Einsetzen dieser Werte in die Gleichgewichtsgleichung kann man nun $\frac{(C_{co})^2}{C_{co_2}}$ berechnen; doch wollen wir zu diesem Zwecke die Gleichung vereinfachen, indem wir statt der natürlichen, gemeine Logarithmen einsetzen. Wir erhalten dann:

$$500 \int Q \frac{dT}{T^2} + 2,30259 \log. P + 2,30259 \log. \frac{(C_{co})^2}{C_{co_2}} = 2,30259 \log. K$$

oder:

$$\log. \frac{(C_{co})^2}{C_{co_2}} = \log. K - \log. P - 217 \int Q \frac{dT}{T^2},$$

worin wir noch $\log. K = 22$, also $\log. K = 9,5544$ setzen können, so dass wir schliesslich haben:

$$\begin{aligned} \log. \frac{(C_{co})^2}{C_{co_2}} &= 9,5544 - \log. P - 217 \int Q \frac{dT}{T^2} \\ &= 9,5544 + 217 \frac{Q}{T} - \log. P. \end{aligned}$$

Wir erhalten so:

| Tem- peratur t ° C. | Druck P Atm. | $9,5544 + 217 \frac{Q}{T}$ | $-\log. P$ | $\log. \frac{(C_{co})^2}{C_{co_2}}$ | $\frac{(C_{co})^2}{C_{co_2}} = K_t$ |
|-----------------------------|----------------------|----------------------------|------------|-------------------------------------|-------------------------------------|
| 500 | 0,241 | - 2,4437 | 0,6180 | 0,0743 - 2 | 0,01187 |
| 600 | 0,263 | - 1,2153 | 0,5800 | 0,3647 - 1 | 0,2316 |
| 700 | 0,306 | - 0,2605 | 0,5143 | + 0,2538 | 1,794 |
| 800 | 0,331 | + 0,4955 | 0,4802 | 0,9757 | 9,456 |
| 900 | 0,345 | + 1,1044 | 0,4622 | 1,5666 | 36,86 |
| 1000 | 0,346 | + 1,6007 | 0,4609 | 2,0616 | 115,2 |

Setzen wir nun zunächst $C_{co} + C_{co_2} = 1$, so haben wir

$$C_{co_2} = 1 - C_{co}$$

und somit

$$(C_{co})^2 = K_t (1 - C_{co})$$

und

$$C_{co} = -\frac{K_t}{2} \pm \frac{1}{2} \sqrt{K_t^2 + 4K_t}$$

Hieraus berechnet sich dann die in 1 Volum des Gemisches von Kohlensäure und Kohlenoxyd enthaltene Sauerstoffmenge und das Verhältnis $\frac{CO_2}{CO}$ sowie (weil 21 Moleküle dieses Sauerstoffes auf 79 Moleküle Stickstoff kommen müssen) die Zusammensetzung der Gase selbst.

| Temperatur in °C. | In 1 Volum $CO_2 + CO$ sind enthalten Volum | | | | Gaszusammensetzung in Volumproz. | | |
|----------------------|--|--------|--------|----------------|-------------------------------------|-------|-------|
| | CO_2 | CO | O_2 | CO_2 CO | CO_2 | CO | N_2 |
| 500 | 0,8968 | 0,1032 | 0,9444 | 8,69 | 19,69 | 2,28 | 78,03 |
| 600 | 0,6209 | 0,3791 | 0,8105 | 1,64 | 15,33 | 9,37 | 75,30 |
| 700 | 0,2920 | 0,7080 | 0,6510 | 0,412 | 8,48 | 20,52 | 71,00 |
| 800 | 0,0880 | 0,9120 | 0,5440 | 0,0965 | 2,90 | 29,93 | 67,17 |
| 900 | 0,0257 | 0,9743 | 0,5129 | 0,0264 | 0,88 | 33,26 | 65,86 |
| 1000 | 0,0085 | 0,9915 | 0,5042 | 0,00857 | 0,29 | 34,23 | 65,48 |

Diese Daten sind in Fig. 50, Tafel XX graphisch dargestellt. Bei dieser Umwandlung von Kohlenoxyd in Kohlensäure wird fester Kohlenstoff abgeschieden, dessen Menge (ausgedrückt in Prozenten des vor den Formen vergasten Kohlenstoffes) sich wie folgt berechnet:

| Temperatur in °C. | Ausgeschiedener fester Kohlenstoff in Proz. des vor den Formen vergasten Kohlenstoffes |
|----------------------|---|
| 500 | 47,29 |
| 600 | 38,30 |
| 700 | 22,60 |
| 800 | 8,09 |
| 900 | 2,51 |
| 1000 | 0,84 |

Auch diese Werte sind in Fig. 50 graphisch dargestellt.

Der eben besprochene Vorgang ist für den Hochofenprozess nicht günstig, weil hierdurch einerseits die reduzierende Kraft des Gases verringert, andererseits aber ein Teil des abgeschiedenen Kohlenstoffes mit dem Gichtstaube ungenützt dem Hochofen entzogen wird. Weiter wird aber dieser feste Kohlenstoff nicht nur auf, sondern auch innerhalb der gegichteten Erzstücke abgelagert. Letztere schwellen daher auf und zerfallen schliesslich zu Pulver, das mit der abgeschiedenen Kohle gemischt ist. Auf diese Weise werden die Zugverhältnisse im Hochofen in ungünstiger Weise beeinflusst. Werden eisenoxxydhaltige feuerfeste Ziegel zum Hochofenbau benutzt, so kann es geschehen, dass diese mit der Zeit von Kohlenstoff durchsetzt werden, und endlich zerfallen.

In Wirklichkeit ist der Zerfall des Kohlenoxydes in Kohlensäure und Kohle nicht so bedeutend, als wir oben berechnet haben, da der Gleichgewichtszustand — auf den sich ja unsere Rechnung bezog — in der Hochofenpraxis nicht erreicht werden kann. Die

Zersetzung des Kohlenoxydes erfordert nämlich eine gewisse Zeit und kann deshalb nicht bis zur Erreichung des Gleichgewichtes fortschreiten, weil die aufströmenden Gase nicht lange genug in jeder Temperaturzone verharren. Überdies ist zwar die Geschwindigkeit des aufsteigenden Gasstromes in den verschiedenen Ofenquerschnitten ziemlich konstant, aber die Reaktionsgeschwindigkeit der Kohlenoxydzersetzung nimmt mit der Temperatur rasch ab, und so wird die thatsächliche Zerlegung von Kohlenoxyd um so mehr hinter der theoretischen zurückbleiben, je kältere Ofenzonen der Gasstrom erreicht.

Die Verhältnisse werden auch für den Betrieb um so günstiger werden, mit je grösserer Geschwindigkeit die Gase aufsteigen, je niedriger der oberste Teil des Ofenschachtes ist, und je rascher und stärker die Ofentemperatur gegen die Gicht hin abnimmt. In diesem Sinne wirkt also ebensowohl das Einbringen einer wasser- und karbonathaltigen Beschickung, als der Mangel eines Rauhschachtes günstig, weil dadurch eine stärkere Abkühlung des obersten Ofenschachtteiles hervorgerufen wird.

Bei höherer Temperatur (also innerhalb der Reduktionszone) wirkt auch die Sauerstoffabgabe von seiten des Erzes günstig, weil hierdurch das vorhandene CO zu CO_2 oxydiert, also die Gaszusammensetzung dem Gleichgewichtszustande in nutzbarer Weise genähert wird.

SIEBENTES KAPITEL.

Veränderungen, welche die Beschickung im obersten Teile des Hochofens erleidet.

Im obersten Teile des Hochofens verliert die Beschickung zunächst die hygroskopische Feuchtigkeit, dann in den tieferen Partien das Hydratwasser und die Kohlensäure. Dort, wo neben Holzkohlen oder Koks auch rohe Brennstoffe vergichtet werden, kommt hierzu noch die trockene Destillation derselben; doch wollen wir, da dieser Fall nur selten eintritt, hiervon absehen.

Wir wollen nun diese einzelnen Vorgänge der Reihe nach besprechen.

a) Verdampfen der Feuchtigkeit.

Das Wasser beginnt bekanntlich unter Atmosphärendruck bei 100°C . (373° absolut) zu sieden, d. h., die Dampfspannung des Wassers wird bei dieser Temperatur gleich einer Atmosphäre. Die latente Verdampfungswärme beträgt unter diesen Umständen

$$\text{pro 1 kg} \dots\dots 606,5 \text{ Cal. (Régnauld),}$$

die gesamte Verdampfungswärme des Wassers, λ , d. i. jene Wärmemenge, welche erforderlich ist, um 1 kg Wasser von 0°C . in Dampf von $t^{\circ}\text{C}$. zu verwandeln, ist offenbar gleich der Summe von Flüssigkeitswärme q und Verdampfungswärme r . Erstere verwandelt 1 kg Wasser von 0°C . in Wasser von $t^{\circ}\text{C}$., letztere 1 kg Wasser von $t^{\circ}\text{C}$. in Dampf von $t^{\circ}\text{C}$. Es ist also

$$\lambda = q + r.$$

Nach Régnauld ist nun

$$\lambda = 606,5 + 0,305 t \text{ Cal.}$$

und

$$q = t + 0,00002 t^2 + 0,0000003 t^3 \text{ Cal.}$$

Somit beträgt die Verdampfungswärme bei $t^{\circ}\text{C}$.

$$r = \lambda - q = 606,5 - 0,695 t - 0,00002 t^2 - 0,0000003 t^3 \text{ Cal.}$$

Beziehen wir diese Ausdrücke auf Mole (Grammmoleküle) Wasser statt auf 1 kg, so erhalten wir:

$$\text{Gesamtverdampfungswärme} = 50891,7 + 5,49 t \text{ cal.}$$

$$\text{Flüssigkeitswärme} = 13 t + 0,00036 t^2 + 0,0000054 t^3 \text{ cal.}$$

$$\text{Verdampfungswärme} = 50891,7 - 12,51 t - 0,00018 t^2 - 0,0000054 t^3 \text{ cal.}$$

Die Verdampfungswärme r lässt sich noch weiter zerlegen in die zur Disgregation verwendete Wärme, d. i. in die innere latente Wärme q und in die zur Verrichtung der äusseren Arbeit aufgewendete Wärme Apu d. h., es ist

$$r = q + A.p.u$$

und

$$\lambda = q + q + A.p.u.$$

Ferner ist das spezifische Volum ein Kilogramm Dampf in Litern, d. i. das Dampfolum, welches aus 1 Volum Wasser gebildet wird, nach dem Boyle Gay-Lussacschen Gesetze $= 4,543 \cdot \frac{273 + t}{p} = 4,543 \frac{T}{p}$ worin p den Druck in Atmosphären bedeutet.

Bezeichnet man mit Zeuner das spezifische Volum des Wassers (d. i. das Volum von 1 kg Wasser = $0,001 m^3$) mit σ , das spezifische Volum des Dampfes aber mit δ , so ist

$$u = \delta - \sigma = \delta - 0,001.$$

Für ϱ hat Zeuner die empirische Gleichung:

$$\varrho = 575,40 - 0,791 t$$

aufgestellt, woraus folgt:

$$\begin{aligned} A p u &= \lambda - q - \varrho = 606,5 - 0,695 t - 0,00002 t^2 - 0,0000003 t^3 - \\ &\quad - (575,40 - 0,791 t) = 31,10 + 1,096 t - q. \end{aligned}$$

Clausius stellt für die latente Verdampfungswärme des Wassers bei der Temperatur t die sehr gut passende Formel

$$r = 607 - 0,708 t$$

auf, während er für das Volum v , welches 1 kg gesättigter Wasserdampf bei der absoluten Temperatur T einnimmt, hat:

$$v = \frac{424 \cdot r}{T \varrho} + 0,001,$$

wobei ϱ die der Siedetemperatur entsprechende Spannungsdifferenz für 1°C . ist.

Setzt man hier für r den Clausiusschen Wert ein, so erhält man

$$\delta = \frac{424 (607 - 0,708 t)}{T \varrho} + 0,001$$

oder, wenn man durchaus mit absoluten Temperaturen rechnet:

$$\begin{aligned} \delta &= \frac{424 (413,716 - 0,708 T)}{T \varrho} + 0,001 \\ &= \frac{175415,58 - 300,19 T}{T \varrho} + 0,001. \end{aligned}$$

Bekanntlich hängt der Siedepunkt des Wassers von dem Drucke ab, unter welchem sich derselbe befindet. Der Zusammenhang zwischen Druck und Siedetemperatur ist durch die bekannte Clapeyron-Clausiusche Gleichung

$$\frac{r}{u} = A T \frac{dp}{dt}$$

gegeben, in welcher die Buchstaben dieselbe Bedeutung wie früher haben. Setzen wir die betreffenden Werte für Wasser, nämlich:

$$\begin{aligned} r &= 607 - 0,708 t \\ &= 413,716 - 0,708 T \\ u &= \delta - \sigma = \delta - 0,001 \end{aligned}$$

Jüptner, Grundzüge der Siderologie II.

Fig. 46. Freie Energie einiger Reaktionen (amorphe Kohle).

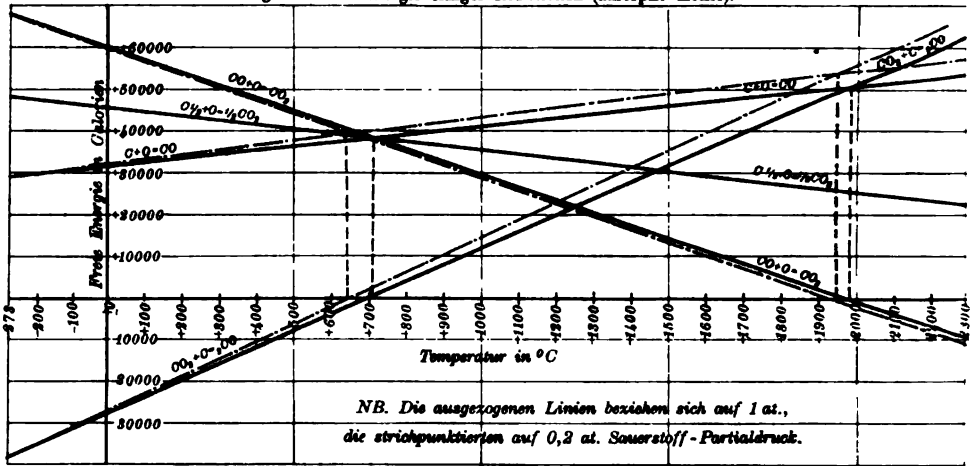


Fig. 48. Freie Bildungsenergie einiger Reaktionen (amorpher Kohlenstoff).

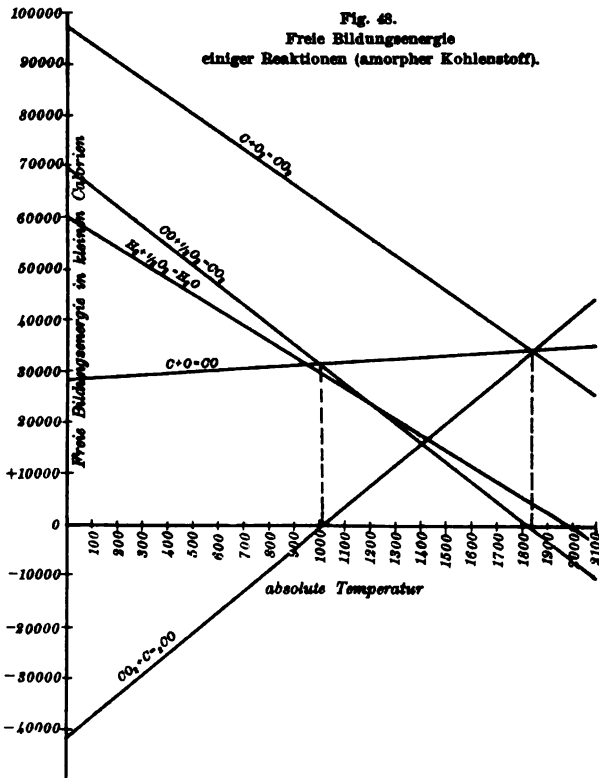


Fig. 49. Abhängigkeit der

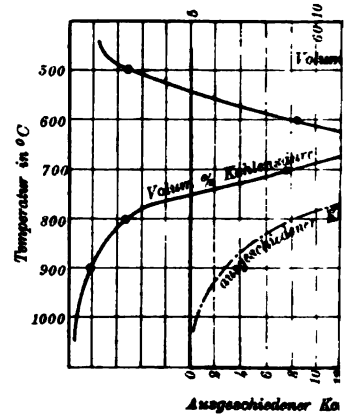
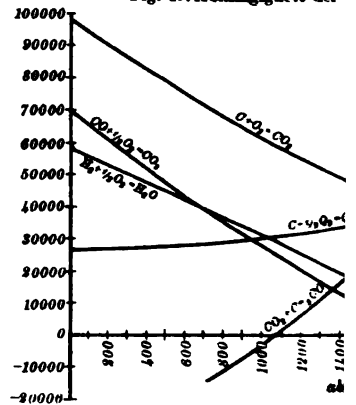
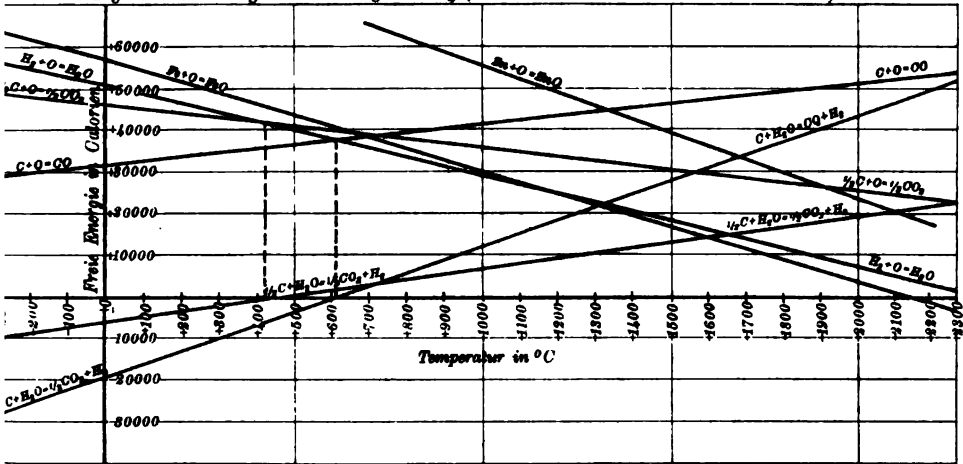
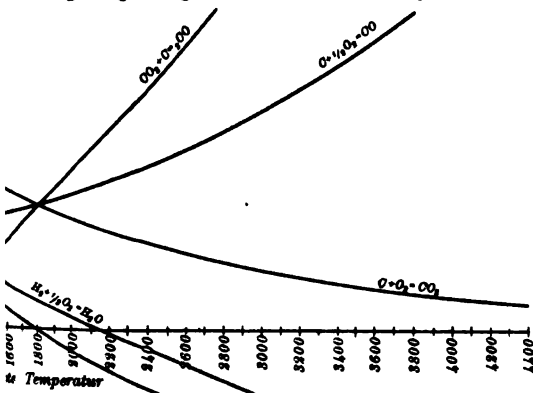


Fig. 47. Freie Energie der Wassergasbildung (alle Gasbestandteile unter 1 at. Partialdruck) etc.



1. Bildungsenergie einiger Reaktionen von der Temperatur.



prozent Kohlenäure und Kohlenoxyd

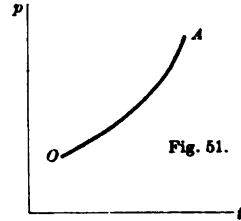
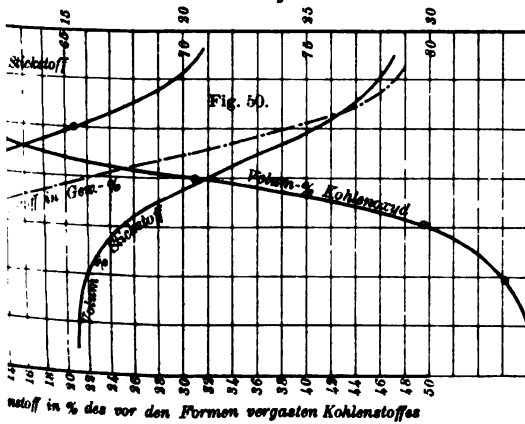
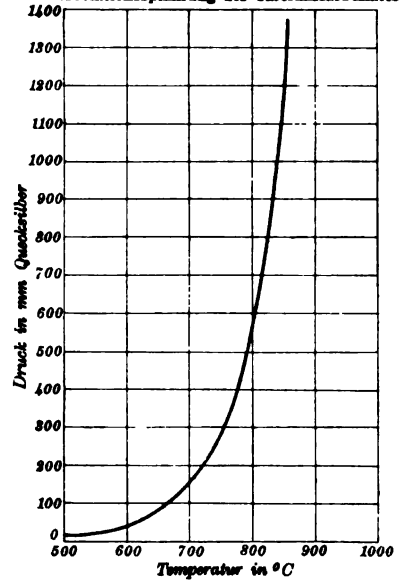


Fig. 52.

Dissociationsspannung des Calciumcarbonates.



ein, so erhalten wir

$$\frac{413,716 - 0,708 T}{\delta - 0,001} = A T \frac{dp}{dT}.$$

Setzt man hierin nach dem Boyle Gay Lussacschen Gesetze

$$\begin{aligned} \delta &= 4,543 \frac{273 + t}{p} \\ &= 4,543 \frac{T}{p}, \end{aligned}$$

so erhält man schliesslich

$$\frac{413,716 - 0,708 T}{4,543 T - 0,001 p} = A T \frac{dp}{dT}.$$

Vom Standpunkte der Gleichgewichtslehre kommen wir zu folgendem Ergebnis:

Wenn wir in ein geschlossenes Gefäss Wasser bringen, so wird im allgemeinen ein Teil desselben verdampfen, und zwar so lange, bis der Partialdruck des Wasserdampfes der Dampftension des flüssigen Wassers bei der Beobachtungstemperatur gleich ist. Bestimmen wir die Beziehungen zwischen Temperatur und Gleichgewichtsdruck auf empirischem Wege, so können wir dieselben graphisch durch die Kurve *OA*, Fig. 51 Tafel XX, darstellen. Es ist dies eine Kurve, die mit wachsender Temperatur immer steiler ansteigt, und die einerseits begrenzt ist durch den Punkt *O*, wo das flüssige Wasser erstarrt, andererseits aber durch den kritischen Punkt *A*, wo die flüssige und die gasförmige Phase identisch werden. In letzterem Punkte erhalten nicht allein *p* und *t*, sondern auch die Dichte für beide Phasen den gleichen Wert, und die Verdampfungswärme wird gleich Null.

Um einen mathematischen Ausdruck für diese Beziehungen zu finden, wollen wir bedenken, dass nach dem zweiten Hauptsatze der mechanischen Wärmetheorie die von einem Körpersystem bei seiner Abkühlung von der Temperatur $T + dT$ auf T abgegebene Wärmemenge Q in maximo an äusserer Arbeit leisten kann:

$$\frac{Q dT}{T} = dL.$$

In unserem Falle ist Q die latente Verdampfungswärme des Wassers, während die Arbeit L gleich dem Produkte aus der beim Verdampfen eintretenden Volumsvergrößerung und dem zu überwindenden Drucke sein wird. Nennen wir das Volum des

verdampften Wassers V'' , die des flüssigen V' und bezeichnen wir den Druck mit p , so ist offenbar

$$L = (V'' - V')p$$

und somit

$$\frac{QdT}{T} = (V'' - V')dp$$

oder

$$\frac{Q}{V'' - V'} = T \frac{dp}{dT}$$

ein Ausdruck, der mit der früher gegebenen Clapeyron-Clausiusschen Gleichung¹⁾ identisch ist, wenn wir $Q = r$ und $V'' - V' = u$ setzen und die Arbeit $(V'' - V') dp$ in Wärmemass ausdrücken.

Nun ist aber auch ²⁾ nach den Lehren der physikalischen Chemie:

$$-\frac{Q_r dT}{T} = RT d \ln K,$$

worin K die Konstante des isothermen Gleichgewichtes darstellt, oder

$$\frac{d \ln K}{dT} = \frac{Q_r}{RT^2},$$

d. h. der Temperaturkoeffizient der Reaktion ist von der Reaktionswärme abhängig und eine Funktion der absoluten Temperatur.

Um aus $\frac{1}{R} \cdot T \cdot \frac{Q_r}{T}$ den Betrag der betreffenden Änderung

für ein bestimmtes Temperaturintervall zu finden, müssen wir diese Gleichung zwischen den fraglichen Temperaturgrenzen integrieren. Dies ist aber nicht so einfach, weil Q von der spezifischen Wärme der reagierenden Substanzen abhängt. Gewöhnlich wird die Reaktionswärme innerhalb eines sehr kleinen Temperaturintervalles konstant angenommen; aber ein solcher Vorgang beschränkt die Anwendung bedeutend und lässt im allgemeinen viel zu wünschen übrig, weshalb hier ein anderer Weg eingeschlagen werden soll.

Die bei der absoluten Temperatur T absorbierte Reaktionswärme Q_r , welche die Energiedifferenz der reagierenden Systeme

1) Seite 208.

2) Wir folgen hier einer Arbeit von J. E. Trevor und F. J. Kortright, On chemical Equilibria as Temperature-Functions (Am. Chem. Jour. XVI, 1894, S. 611).

darstellt, ist die bei einer beliebig gewählten Normaltemperatur T_0 auftretende Wärme Q_0 , für jeden Grad vermehrt um den Überschuss der gesamten Molekularwärmen des Endsystems über jene des Anfangssystems, oder:

$$Q_T = Q_0 + (c_{II} - c_I) (T - T_0).$$

Setzt man diesen Wert in die früher entwickelte van't Hoff'sche Gleichung ein, so erhält man:

$$d \ln K = \frac{Q_0}{R} T^{-2} dT + \frac{c_{II} - c_I}{R} (T - T_0) T^{-2} dT$$

oder

$$\int_{K_1}^{K_2} d \ln K = \frac{Q_0 - T_0 (c_{II} - c_I)}{R} \int_{T_1}^{T_2} T^{-2} dT + \frac{(c_{II} - c_I)}{R} \int_{T_1}^{T_2} T^{-1} dT,$$

wobei Trevor und Kortright die immerhin annähernde Annahme machen, dass die Differenz der spezifischen Wärmen innerhalb weiterer Temperaturgrenzen konstant sein.

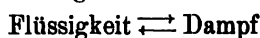
Die Integration giebt dann:

$$\begin{aligned} l. n \frac{K_2}{K_1} &= \frac{Q_0 - T_0 (c_{II} - c_I)}{R} \left(\frac{1}{T_1} - \frac{1}{T_2} \right) + \\ &+ \frac{(c_{II} - c_I)}{R} \cdot l. n \frac{T_2}{T_1} \end{aligned}$$

oder für die Reaktionswärme:

$$Q_T = \frac{T_1 \cdot T_2}{T_2 - T_1} \left(R l n \frac{K_2}{K_1} - (c_{II} - c_I) l n \frac{T_2}{T_1} \right) + T (c_{II} - c_I). \quad (1)$$

Nun ist für das Gleichgewicht:



die Gleichung der Reaktionsisotherme

$$K = \frac{c}{C},$$

worin c und C die Konzentrationen von Dampf und Flüssigkeit darstellen. Nach dem Boyle Gay-Lussacschen Gesetze ist aber

$$pv = RT,$$

also

$$v = \frac{RT}{p}.$$

Es ist daher die molekulare Konzentration c des gesättigten Dampfes seinem Dampfdrucke direkt, der absoluten Temperatur aber umgekehrt proportional, oder

$$c = \frac{p}{T} \times \text{Konst.},$$

und, da wir die Konzentrationen des flüssigen Wassers annähernd konstant annehmen können, auch

$$K = \frac{p}{T} \times \text{Konst.}$$

Man erhält also:

$$\ln K = \ln \frac{p}{T} + \ln \cdot \text{Konst.}$$

und

$$\begin{aligned} \ln \frac{K_2}{K_1} &= \ln \frac{\frac{p_2}{T_2}}{\frac{p_1}{T_1}} \\ &= \ln \frac{p_2 \cdot T_1}{p_1 \cdot T_2}. \end{aligned}$$

Die Gleichung (1) gilt für jedes Temperaturintervall; wir wollen im folgenden 50° und 100° C. wählen. Die genauesten Daten für Dampfspannung und spezifische Wärme bei konstantem Volum sind in diesem Falle:

| | |
|--|------------------------|
| $T_1 = 323^\circ$ | $T_2 = 373^\circ$ |
| $p_1 = 91,98 \text{ mm Quecksilber}$ | $p_2 = 760 \text{ mm}$ |
| $c_1 = 18 \times 1,02 \text{ cal. (Mittel)}$ | $c_H = 18 \times 0,47$ |
| $c_H - c_I = -9,90 \text{ cal.}$ | |

Durch Substitution in (1) erhält man dann:

$$Q_0 = 10201 \text{ cal.}$$

als Verdampfungswärme von 1 Mol Wasser bei 0° C. und konstantem Volum. Addiert man hierzu die Volumsenergie von 1 Mol expandierendem Dampf:

$$pv = RT = 546 \text{ cal.},$$

so erhält man

$$e_0 = 10201 + 546 = 10747 \text{ cal.},$$

während die zwei in den letzten Jahren ausgeführten experimentellen Bestimmungen (in 0° calorien ausgedrückt) ergaben:

| | |
|------------------------------|------------|
| Dieterici | 10742 cal. |
| Hartrog und Harker | 10722 „ |

Betrachten wir nochmals die Gleichung:

$$\frac{QdT}{T} = (V'' - V') dp,$$

und nehmen wir an, dass die Volumdifferenz $V'' - V'$ gerade der Verdampfung von 1 Mol flüssigem Wasser entspreche, so ist nach dem Boyle Gay-Lussacschen Gesetze

$$(V'' - V') p = RT$$

und daher

$$V'' - V' = \frac{RT}{p}.$$

Wir können daher obige Gleichung auch schreiben:

$$\frac{QdT}{T} = RT \frac{dp}{p}$$

oder

$$d \ln p = \frac{QdT}{RT^2}$$

oder, wenn wir integrieren:

$$\ln p = - \frac{Q}{RT} + \text{Konst.}$$

als Ausdruck für die Dampftension.

Wollen wir hierfür einen genauen Ausdruck finden, so setzen wir

$$Q_T = Q_0 + (c_H - c_L) T$$

oder, weil

$$c_H = 7,00 + 0,00287 T$$

und

$$c_L = 18 \times 1,02 = 18,36$$

ist, haben wir

$$d \ln p = \frac{Q_0 - (11,36 - 0,00287 T) T dT}{RT^2}.$$

Die Integration dieses Ausdruckes liefert dann:

$$\ln p = - \frac{Q_0}{RT} - \frac{11,36}{R} \cdot \ln T + 0,00287 T + \text{Konst.}$$

b) Austreiben des Krystall- und Hydratwassers.

Wir sind früher zu der Gleichgewichtsgleichung

$$d \ln p = \frac{QdT}{RT^2}$$

gelangt. Vergleichen wir dieselbe mit der gewöhnlichen Form der van't Hoff'schen Gleichung

$$d \ln K = \frac{Q dT}{RT^2},$$

so finden wir, dass

$$p = K$$

ist, d. h. dass beim isothermen Gleichgewichte zwischen Wasser und Wasserdampf, d. i. bei der Verdampfung des Wassers bei bestimmter Temperatur p konstant wird, oder mit anderen Worten, dass die Verdampfung dann aufhört, wenn der Dampfdruck einen gewissen, für jede bestimmte Temperatur konstanten Wert erreicht hat.

Dasselbe Gesetz gilt auch hier, wobei jedoch Q jene Wärmemenge ausdrückt, welche beim Freiwerden von 18 g Wasserdampf beim Drucke p und der Temperatur T absorbiert wird, wobei also auch die auf Volumsvergrößerung bei Bildung des Wasserdampfes verbrauchte Arbeit $pv = RT$ eingerechnet ist.

Wird ein krystallwasserhaltiges Salz bei konstanter Temperatur entwässert, indem man nach erreichter Maximaltension einen Teil des Dampfes entführt, so stellt sich in normalen Fällen diese Maximaltension so lange wieder her, als noch überhaupt Krystallwasser vorhanden ist. Dies gilt auch bei vielen Hydraten. Anders liegt jedoch die Sache, wenn bei der Entwässerung andere, wasserärmere Hydrate oder krystallwasserärmere Salze gebildet werden. In diesem Falle ändert sich die Dampftension sprunghaft von einem Hydrate zum andern. Die uns hier interessierenden Hydrate sind leider noch nicht in dieser Richtung untersucht worden, so dass wir uns hier auf diesen Hinweis beschränken müssen.

c) Austreiben der Kohlensäure aus den Carbonaten.

Bei höheren Temperaturen zerfällt der kohlensaure Kalk nach der Gleichung:



Wenden wir hierauf das Massengesetz an, so erhalten wir

$$K = \frac{C_{\text{CaO}} \cdot C_{\text{CO}_2}}{C_{\text{CaCO}_3}}$$

oder

$$lK = lC_{\text{CaO}} + lC_{\text{CO}_2} - lC_{\text{CaCO}_3}.$$

Die Konzentrationen des CaO - und CaCO_3 -Dampfes in der Gasphase müssen einen bestimmten Maximalwert erreichen, und können daher als Konstante auf die linke Seite der Gleichung

gebracht werden; überdies sind sie gewiss so ausserordentlich klein, dass hierdurch der Wert von K nur unmerklich verändert wird, so dass man sie ganz vernachlässigen kann. Man erhält somit:

$$C_{CO_2} = K,$$

also ein Ausdruck, der den vorigen völlig analog ist. Ebenso wie früher können wir auch hier statt der Konzentration den Partialdruck einsetzen und erhalten:

$$p_{CO_2} = K.$$

H. Le Chatelier¹⁾ hat die Dissociation des Calciumcarbonates studiert, und folgende Resultate erhalten:

| t °C. | p in mm Hg | t °C. | p in mm Hg |
|---------|-----------------|---------|-----------------|
| 547 | 27 | 745 | 289 |
| 610 | 46 | 810 | 678 |
| 625 | 56 | 812 | 753 |
| 740 | 255 | 865 | 1333 |

Fig. 52, Tafel XX, zeigt den Zusammenhang zwischen Temperatur und Dissociationsspannung graphisch.

Aus dieser Kurve kann man unter Benutzung der Clapayronschen Gleichung

$$Q \frac{dT}{T} + A V dp = 0$$

das Verhältnis $\frac{Q}{t}$ berechnen, das dem Werte desselben Verhältnisses für die latente Verdampfungswärme entspricht. Nach der Troutonschen Regel ist dieser Wert für die Siedepunkte aller Körper der nämliche, und zwar gleich 0,0024.²⁾ Le Chatelier hat nachgewiesen, dass dieses Gesetz ebenso wie für die Verdampfung, auch für alle Dissociationserscheinungen gilt, und das Verhältnis $\frac{Q}{T}$ hierbei stets denselben Wert besitzt.

1) Compt. rend. 102, p. 1243 (1886).

2) Wenn die Wärmemengen in grossen Calorien ausgedrückt werden; dieselben beziehen sich auf die Verdampfung von 1 Mol. Benutzt man kleine Calorien, so wird $\frac{Q}{T} = 24$ (im Mittel). Diese Regel ergibt sich übrigens aus dem Satze von den übereinstimmenden Zuständen.

Erhitzt man Calciumcarbonat bei Atmosphärendruck, so sollte es sich zersetzen, sobald eine Temperatur von 812°C . erreicht ist. Dies geschieht jedoch nur bei unendlich langsamer Erhitzung. Unter gewöhnlichen Umständen tritt eine Verzögerung der Zersetzung ein, die um so bedeutender ist, je schneller die Erhitzung erfolgt, und die bis zu 900° gehen kann, während die wirkliche, durch seine Natur gegebene Dissociationstemperatur des CaCO_3 bei 812° liegt.

Untersuchungen über die Dissociation von rasch erhitztem Magnesit und Dolomit ergaben, dass bei letzterem die Dissociation in zwei Phasen auftritt, die dem MgCO_3 und CaCO_3 entsprechen, aber etwas höher als bei den reinen Carbonaten liegen:

| | Mischung | Dolomit |
|---------------------------|-------------------------|---------------|
| MgCO_3 | 680° | 765° |
| CaCO_3 | 890° | 895° |

Wo — wie in Kalköfen oder in Hochöfen — die durch Zersetzung gebildete Kohlensäure von den Ofengasen entführt wird, kann die Dissociation der Carbonate schon bei niederen Temperaturen vollständig erreicht werden.

Dass sich im oberen Teile des Hochofens aus dem CO der Ofengase fester Kohlenstoff abscheiden kann, wurde bereits im vorigen Kapitel erwähnt.

ACHTES KAPITEL.

Veränderungen, welche die Beschickung in den unteren Teilen des Ofenschachtes erleidet.

Indem die Beschickung in immer tiefere und damit auch heissere Partien des Ofenschachtes gelangt, beginnt die Reduktion der Erze, und zwar sowohl durch Kohlenoxyd, als auch durch festen Kohlenstoff. Es sind dies Verhältnisse, die schon im ersten Buche, Kapitel II und III eingehend besprochen wurden.

Es bleibt uns hier nunmehr übrig, diese Vorgänge vom Standpunkte der Affinitätslehre an der Hand einiger neuer Arbeiten zu beleuchten.

Bei technischen Reduktionsprozessen kommen (nach Bodländer¹⁾) hauptsächlich die drei Reaktionen:

1. $C + 2O = CO_2 + 97650 \text{ cal.}$
2. $CO + O = CO_2 + 68000 \text{ „}$
3. $C + O = CO + 29650 \text{ „}$

in Betracht.

Vom ökonomischen Standpunkte aus würde die erste dieser Reaktionen die günstigste sein, da man mit der gleichen Menge Kohlenstoff doppelt so viel Sauerstoff anderen Stoffen entziehen kann als bei den anderen Reaktionen, und gleichzeitig hierbei die grösste Wärmemenge produziert wird. Auch sollte man erwarten, dass gerade die am schwersten reduzierbaren Stoffe auf diese Weise reduziert werden müssten, insofern die starke Wärmenentwicklung als Zeichen einer grossen Bildungsenergie angesehen werden kann, durch welche die Verwandtschaft anderer Stoffe zum Sauerstoff leicht überwunden wird.

Thatsächlich ist jedoch gerade das Gegenteil der Fall. Unter Bildung von Kohlensäure reduziert Kohle nur die leichtest reduzierbaren Verbindungen, wie Silber-, Kupfer- und Bleioxyd.

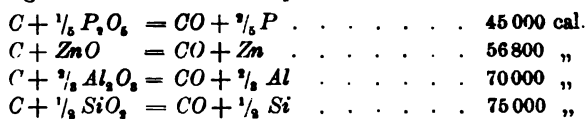
In der Metallurgie des Eisens spielt hingegen die zweite, und in geringerem Umfange auch die dritte Reaktion eine wichtige Rolle. Je schwieriger die Verbindungen reduzierbar sind, destomehr tritt letztere Reaktion in den Vordergrund. Nach ihr erfolgt beim Eisenhochofenprozesse die Reduktion von Verbindungen, die schwerer reduzierbar sind als das Eisen, der Kieselsäure, Phosphorsäure, der Manganoxyde und des Zinkoxydes. Man muss demnach annehmen, dass die freien Reduktionsenergien der besprochenen drei Reaktionen gerade die umgekehrte Reihenfolge haben, wie die Reaktionswärmen.

Dass die Reduktion nach Gleichung (2) mehr Energie liefert als nach Gleichung (1) ergibt sich übrigens auch aus den Wärmetönungen. Zum Vergleiche muss man ja solche Mengen der verschiedenen Reaktionsmittel verwenden, die den zu reduzierenden Verbindungen gleiche Sauerstoffmengen entziehen. Bei der Bindung von 1 Atm. Sauerstoff werden aber nach Gleichung (1) 48800 Cal. frei, nach Gleichung (2) hingegen 68000 Cal. Es

1) „Beitrag zur Theorie einiger technischen Reduktions- und Oxydationsprozesse“, Zeitschr. f. Elektrochemie 1902, S. 833.

würde also schon die rein thermochemische Betrachtung lehren, dass CO ein stärkeres Reduktionsmittel ist als Kohlenstoff, wenn beide zu CO_2 oxydiert werden. Die Reduktion des Fe_2O_3 erfordert für jedes Sauerstoffatom 66200 cal., und nahezu ebensogross ist die Bindungswärme von 1 Atom Sauerstoff in Fe_2O_3 und FeO . Um sie zu überwinden, reicht eben die Wärmetönung aus, die frei wird, wenn sich 1 Atom Sauerstoff mit CO zu CO_2 verbindet, nicht aber jene, die bei der Bildung von $\frac{1}{2}$ Molekül CO_2 aus Kohlenstoff frei wird. In dieser Weise könnte man die Wirksamkeit des Kohlenoxydes als Reduktionsmittel im Hochofen aus rein thermochemischen Zahlen zu erklären versuchen.

Völlig versagen dieselben jedoch bei der Reduktion solcher Oxyde, die nur durch Bildung von Kohlenoxyd aus festem Kohlenstoff gelingt. So brauchen beispielsweise die Reaktionen:



Alle diese Reaktionen müssen somit beträchtliche Wärmemengen aus der Umgebung aufnehmen und können daher nur bei sehr hohen Temperaturen stattfinden. Allerdings ändern sich die Reaktionswärmen mit der Temperatur, doch sind diese Änderungen nicht so bedeutend, dass sich diese Erscheinung hierdurch erklären liesse. So verbraucht beispielsweise die Reaktion zwischen ZnO und C bei $1000^\circ C$. noch immer 55000 cal.

Diese Reaktionen verlaufen also selbst bei den höchsten Temperaturen noch immer unter Wärmeaufnahme, und die Tatsache, dass sie wirklich verlaufen, ist ein Beweis dafür, dass jene Bedingung erfüllt sein muss, an welche das Eintreten eines jeden Vorganges geknüpft ist: Es muss die freie Bildungsenergie des Kohlenoxydes grösser sein als beispielsweise jene des Zinkoxydes. Bei tiefer Temperatur, z. B. beim absoluten Nullpunkte, wo die Bildungswärmen mit der Bildungsenergie zusammenfällt, ist die Bildungsenergie des Zinkoxydes etwa dreimal so gross als die des Kohlenoxydes. In diesem, wie in den übrigen Fällen muss sich also die Bildungsenergie des Kohlenoxydes und der betreffenden Verbindungen mit der Temperatur beträchtlich ändern und zwar entweder in der Art, dass beide abnehmen, aber verschieden schnell, oder dass die eine Bildungsenergie abnimmt,

während die des Kohlenoxydes konstant bleibt, oder endlich, dass die Bildungsenergie des Kohlenoxydes zunimmt.

Die Bildungsenergie von CO_2 und CO aus Kohlenstoff, bezw. Kohlenoxyd und Sauerstoff haben wir schon früher¹⁾ kennen gelernt, und haben gesehen, dass die Bildungsenergie des Kohlenoxydes auch noch über $1000^\circ C.$ wächst. Hieraus liesse sich die Reduktion der früher besprochenen Oxyde auch dann erklären, wenn die Bildungswärme der letzteren mit der Temperatur sich nicht ändern würden. Es ergäben sich aber dann für die Reduktionstemperaturen meistens Zahlen, die weit höher liegen als die tatsächlich beobachteten. In Wirklichkeit nimmt eben die freie Bildungsenergie derselben mit steigender Temperatur ab, und man kann diese Abnahme zum Teil aus den eintretenden Gleichgewichten und den Minimal-Reduktionstemperaturen berechnen. Sind die so erhaltenen Zahlen auch nur angenähert richtig, so zeigt doch die Rechnung den Weg, der zur experimentellen genauen Bestimmung der freien Bildungsenergien und damit zur Beherrschung der technischen Reduktionsprozesse einzuschlagen sein wird.

Zinkoxyd hat bei $-373^\circ C.$ eine Bildungswärme²⁾ und somit auch eine freie Bildungsenergie von 85800 cal. Würde dieselben bei höheren Temperaturen ungeändert bleiben, so könnte es weder durch CO noch durch Kohlenstoff, der in CO_2 übergeht, reduziert werden. Zur Reduktion durch Kohlenstoff, der in CO übergeht, wäre aber dann eine Temperatur von etwa $6000^\circ C.$ erforderlich. Boudouard³⁾ fand aber, dass Kohle das Zinkoxyd bei $1100^\circ C.$ noch nicht, hingegen von 1125° an schon merklich reduziert. Bei letzterer Temperatur muss also die Bildungsenergie des Zinkoxydes jener des CO gleich geworden sein, und daher bei 1125°

$$29650 + 9,36(1125 + 273) = 42740 \text{ cal.}$$

betragen. Nimmt man näherungsweise an, dass dieselbe eine lineare Funktion der Temperatur sei, so erhält man für die Bildungsenergie desselben bei der Temperatur T :

$$(A_{Zn, O})_T = 85800 - 30,8 T + 2,29 T \log p_{O_2}.$$

1) Zweites Buch, 2. bis 4. Kapitel.

2) Dieselbe ändert sich, wie wir früher gesehen haben, nur wenig mit der Temperatur.

3) Ann. de chimie et de phys. (7) 24, p. 76.

Bei gewöhnlicher Temperatur ist also die freie Bildungsenergie des Zinkoxydes 76 850 cal.

Durch Kohlenoxyd kann Zinkoxyd nur reduziert werden, solange die Konzentration der Kohlensäure sehr gering ist.

Bei 1000° C. werden die Bildungsenergien des Zinkoxydes und die der Kohlensäure aus Kohlenoxyd gleich werden, wenn der Partialdruck der Kohlensäure durch die Gleichung gegeben ist:

$$85\,800 - 30,8 \times 1273 = 68\,000 - 30,56 \times 1273$$

$$+ 2,29 \times 1373 \log. \frac{1}{x^2},$$

woraus sich

$$x = 0,001$$

ergibt. Es würde also Kohlenoxyd schon bei 1000° C. reduzierend auf das Zinkoxyd wirken; diese Wirkung würde aber nur so lange andauern, bis der CO_2 -Gehalt des Gases 0,1% beträgt. Bei höherem CO_2 -Gehalte wird das Zink durch Kohlensäure in Oxyd verwandelt.¹⁾ Bei 1125° C. kann der Kohlensäuredruck schon grösser sein; er beträgt hier nach der Gleichung 0,2%; bei 1500° C. beträgt er für das Gleichgewicht 0,76%. Den wesentlichsten Anteil an der Reduktion hat aber, wie auch die technische Erfahrung zeigt, die Oxydation von Kohlenstoff zu Kohlenoxyd. Daneben tritt noch CO_2 bis zu 1% auf. Wegen der Reduktion der CO_2 durch die Kohle können aber bei hohen Temperaturen nicht einmal jene CO_2 -Mengen erreicht werden, die nach obiger Gleichung neben ZnO existenzfähig wären.

Ähnlich wie gegen Kohlensäure, verhält sich das Zink auch gegen Wasserdampf. Wasserdampf oxydiert Zink, und das hat beim Zinkentsilberungsprozesse des Bleies praktische Bedeutung. Andererseits wird Zinkoxyd bei hoher Temperatur durch trockenen Wasserstoff reduziert, wenn dieser sehr schnell über das Oxyd geleitet wird, so dass sich keine grösseren Wassermengen bilden können. Bei 1000° C. wird das Gleichgewicht zwischen Zink, Zinkoxyd, Wasserstoff und Wasserdampf erreicht, wenn die Bildungsenergie des Zinkoxydes und des Wasserdampfes gleich sind, wenn also

$$85\,800 - 30,8 \times 1273 = 57\,600 - 22,4 \times 1273$$

$$+ 2,29 \times 1273 \log. \frac{1}{x^2}$$

1) Hierdurch erklärt sich das Auftreten des Gichtschwammes in Hochöfen.

wird, worin x den Partialdruck des Wasserdampfes darstellt. Es ergibt sich hieraus $x = 0,001$, d. h. eine maximale Spannung des Wasserdampfes von 0,76 mm.

Bei der Reduktion der Eisenerze¹⁾ geht der Abscheidung des Metalles die Umwandlung der höheren Oxyde in FeO voran. Die Bindung des Sauerstoffes ist um so fester, je niedriger die Oxydationsstufe ist. Es geht dies unter anderem aus Versuchen von Braithwaite hervor,²⁾ welcher fand, dass bei Dunkelrotglut Fe_2O_3 im Überschusse CO völlig in CO_2 verwandelt und dass sich Fe_3O_4 mit FeO , CO und CO_2 ins Gleichgewicht setzt, wenn das Gasgemisch 2 Volum CO_2 auf 1 Volum CO enthält, während die Reduktion des FeO zu Metall schon aufhört, wenn auf 2 Volumen CO 1 Volum CO_2 kommt. Es ist also der Sauerstoff, der über der Oxydulstufe im Eisen enthalten ist, loser gebunden, und wird durch Kohlenoxyd entfernt, ehe die Bildung von metallischem Eisen beginnt.

Die Bildungswärme des FeO ist nach Le Chatelier³⁾ 64 600 Calorien. Da bei etwa 900° C. das Eisenoxydul mit Eisen und einem Gichtgase mit 24% CO und 12% CO_2 im Gleichgewichte steht, ist die Bildungsenergie des Eisenoxyduls bei dieser Temperatur der Energie der Oxydation des Kohlenoxydes gleich, also

$$68000 - 30,56 \times 1173 + 2,29 \times 1173 \log. \frac{(0,24)^2}{(0,12)^2} = 34240 \text{ cal.}$$

Daraus ergibt sich für die Bildungsenergie des Eisenoxyduls die Gleichung:

$$A_{Fe, O} = 64600 - 25,9 T + 2,29 T \log. p_{O_2}.$$

Es herrscht somit Gleichgewicht zwischen Eisen, Eisenoxydul, Kohlenoxyd und Kohlensäure, wenn

$$64600 - 25,9 T = 68000 - 30,56 T + 4,58 \log. \frac{p_{CO}}{p_{CO_2}}$$

oder wenn

$$4,58 \log. \frac{p_{CO}}{p_{CO_2}} = 4,66 - \frac{3400}{T}$$

ist. Hieraus ergibt sich, dass bei Steigerung der Temperatur

1) Siehe übrigens das später zu Erwähnende.

2) Chem. News, 72, p. 211 (1895).

3) Compt. rend. 120, p. 623 (1895).

das Verhältnis $\frac{CO}{CO_2}$ beim Gleichgewichte zunimmt. Damit stimmen auch die Versuche von Bell¹⁾ überein.

Für die freie Energie der Reduktion des Eisenoxyduls durch Kohle unter Bildung von Kohlenoxyd gilt die Gleichung:

$$\Delta F_{O, C} = -34950 + 35,26 T - 4,58 \log. p_{CO}.$$

Die Bildungsenergie des Kohlenoxydes wird bei 718° C. so gross wie die des Eisenoxyduls, und übertrifft sie um so mehr, je höher die Temperatur steigt. Bei 1200° C. ist die Bildungsenergie des CO aus Kohlenstoff nach den früher entwickelten Gleichungen um etwa 17000 cal. grösser als die des Eisenoxyduls; dagegen überwiegt die Reduktionsenergie des Kohlenoxydes, wenn dieses zur Kohlensäure im Verhältnisse 4:1 steht, bei 1200° C. die Bildungsenergie des Eisenoxyduls nur um 1000 cal. Hieraus erklärt sich, dass an jenen Stellen des Hochofens, an denen die Temperatur am höchsten ist, die Reduktion durch Kohle bedeutend überwiegt.

Je höher die Temperatur, desto mehr überwiegt die Bildungsenergie des Kohlenoxydes diejenige des Eisenoxyduls. Daher kommt es, dass beim Durchblasen von Luft bei 1300 bis 1500° C. durch das geschmolzene Roheisen in der Bessemerbirne nur der Kohlenstoff und nicht das Eisen oxydiert wird. Es ist aber bekannt, dass man den Kohlenstoff nicht vollständig aus dem Eisen entfernen kann, ohne das Eisen zum Teil zu oxydieren. Das liegt zum Teil daran, dass sich kein völliges Gleichgewicht einstellt, dass die Oxydation des Eisens, obwohl sie weniger Energie liefert, der grossen Menge des vorhandenen Eisens wegen schneller erfolgt, als die der kleinen Mengen Kohlenstoff. Es ist aber auch die Energie der Oxydation des Kohlenstoffes kleiner, wenn die Mengenverhältnisse einen bestimmten Wert erreichen. In einer überblasenen Charge fand z. B. Ledebur neben 1,10% FeO, die im Eisen gelöst waren, 0,037% Kohlenstoff. — Eisen löst bei 1500° C. etwa 7% Kohlenstoff als Graphit. Die Verbrennung des Kohlenstoffes aus der gesättigten Lösung würde ebensoviel Energie liefern, wie die Verbrennung des festen Graphites. Wenn aber Kohlenstoff aus einer 0,037prozentigen Lösung verbrannt wird, so verringert sich die gewonnene Energie um den Betrag,

1) Siehe Seite 30.

welcher der bei der Verdünnung der Lösung zu gewinnenden Arbeit entspricht. Das sind $4,58 T \log. \frac{7}{0,037}$, wenn, was wahrscheinlich ist, der Kohlenstoff in Form einzelner Atome, oder von Molekülen Fe_3C im Eisen enthalten ist. Ausserdem verringert sich die Bildungsenergie um den Unterschied der Verbrennungswärme von Holzkohle und Graphit, d. h. um 2840 cal. Das Kohlenoxyd hat einen Partialdruck von etwa 0,33 Atm. Es ist also die freie Bildungsenergie des Kohlenoxydes bei $1500^\circ C$. unter den angegebenen Bedingungen:

$$29650 - 2840 + 9,36 \times 1773 - 4,58 \times 1773 \log. \frac{7}{0,037} \\ - 4,58 \times 1733 \log. 0,33 = 29000 \text{ cal.}$$

Die Bildungsenergie des FeO ist bei $1500^\circ C$. nach der Gleichung 18700 cal. Der Unterschied erklärt sich daraus, dass das Eisen bei einem Gehalte von 1,10 % FeO zwar für Eisenoxydul bei Gegenwart von Kieselsäure (die sich damit verbindet) nahezu gesättigt ist, nicht aber für reines Eisenoxydul. Solange es noch nicht für Eisenoxydul gesättigt ist, erhöht sich dessen Bildungsenergie um den Betrag der Lösungsenergie des Eisenoxyduls, kommt also der Bildungsenergie des Kohlenoxydes noch näher. Auch hier stimmen die Beobachtungen mit dem, was sich aus den Gleichungen für die Bildungsenergien berechnen lässt, sehr nahe überein.¹⁾

In ähnlicher Weise lassen sich die beim Hochofenprozesse und bei den Frischprozessen eintretenden Verteilungsgleichgewichte von Mangan, Silicium, Phosphor u. s. w. zwischen Metall und Schlacke zur Bestimmung der freien Bildungsenergien der Oxyde dieser Elemente benutzen, oder aus diesen vorausbestimmen. Doch sind hier die Verhältnisse noch weniger einfach, besonders, weil die freien Energien der Schlacken-, d. h. der Salzbildung bei den hohen Temperaturen nur wenig bekannt sind.

Im vorstehenden wurden die von Bodländer abgeleiteten Gleichungen benutzt, in derselben Weise kann man auch die vom

1) Aus dieser Betrachtung ergibt sich auch, dass die im Hochofen herabtropfenden Eisenpartikelchen noch nicht hoch gekohlt sein können (siehe erstes Kapitel dieses Buches, S. 160), indem ja bei den hier herrschenden hohen Temperaturen die Bildungsenergie des Kohlenoxydes grösser sein muss als die des Eisenoxyduls.

Verfasser entwickelten benutzen. Es scheint kaum nötig, zu den dort gegebenen Diagrammen noch etwas hinzuzufügen, ausser, dass auch hier die Bildungsenergien von ZnO und FeO als geradlinige Temperaturfunktion angenommen, und einfach dadurch erhalten wurden, dass durch die für T_0 geltenden Werte derselben (nach den Angaben Bodländers) und durch die den betreffenden Temperaturen entsprechenden Kurvenpunkte der diversen C - bzw. CO -Linien Gerade gezogen wurden.

Anschliessend an die vorstehenden Betrachtungen ist noch eine wichtige Arbeit von E. Bauer und A. Glaessner¹⁾ über das Gleichgewicht der Eisenoxyde mit Kohlenoxyd und Kohlensäure zu besprechen.

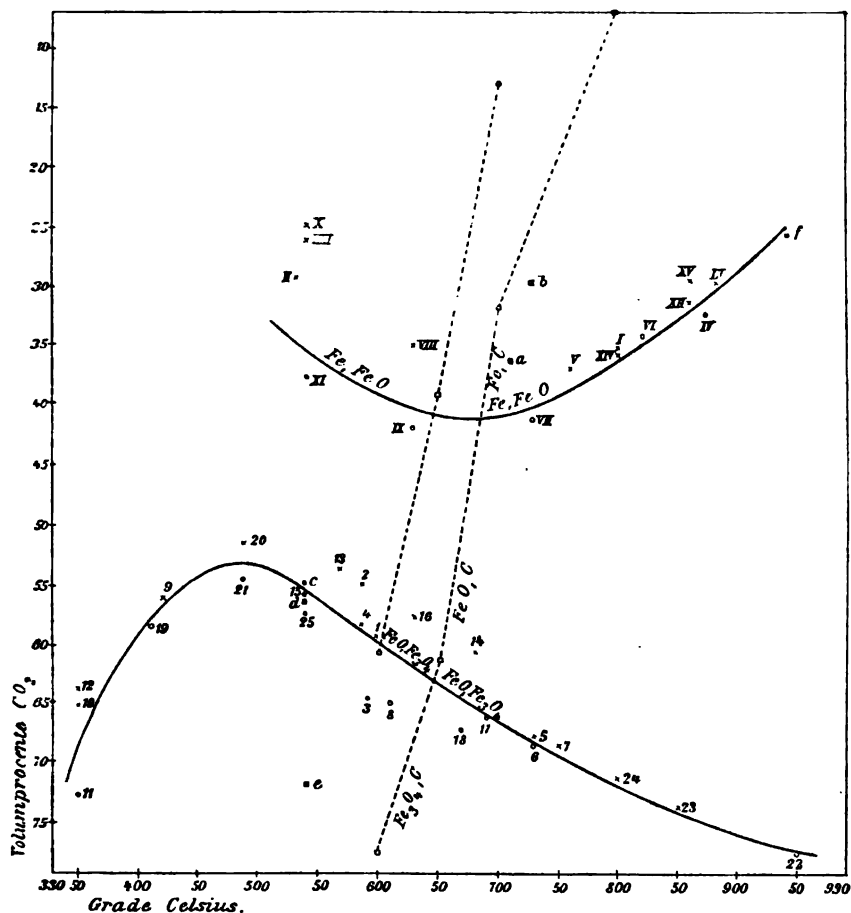
Zunächst wurde das Gleichgewicht zwischen Fe_3O_4 , FeO , CO und CO_2 studiert und zu diesem Zwecke ein Gemenge von Fe_3O_4 und FeO einmal mit Kohlenoxyd, das andere Mal mit Kohlensäure in Berührung gebracht und stundenlang auf eine bestimmte Temperatur erhitzt. Die folgende Tabelle giebt die schliessliche Gaszusammensetzung, sowie die übrigen Versuchsdaten:

| Nr. | beschickt mit | Dauer der Erhitzung Stunden | Temperatur °C. | Gaszusammensetzung Volumproz. | |
|-----|---------------|-----------------------------|----------------|-------------------------------|------|
| | | | | CO_2 | CO |
| 1 | CO | 14 | 600 | 59,3 | 40,7 |
| 2 | CO | 15 | 590 | 54,7 | 45,3 |
| 3 | CO_2 | 16 | 590 | 64,6 | 35,4 |
| 4 | CO | 24 | 590 | 58,4 | 41,6 |
| 5 | CO | 22 | 730 | 67,7 | 32,3 |
| 6 | CO_2 | 22 | 730 | 68,1 | 31,9 |
| 7 | CO | 22 | 750 | 68,4 | 31,6 |
| 8 | CO_2 | 22 | 610 | 64,9 | 35,1 |
| 9 | CO | 23 | 420 | 56,0 | 44,0 |
| 10 | CO | 47 | 350 | 65,0 | 34,4 |
| 11 | CO_2 | 46 | 350 | 72,8 | 27,2 |
| 12 | CO | 53 | 350 | 64,0 | 36,0 |
| 13 | CO | 18 | 570 | 53,4 | 46,6 |
| 14 | CO | 19 | 680 | 60,5 | 39,5 |
| 15 | CO_2 | 24 | 540 | 55,5 | 44,5 |
| 16 | CO | 21 | 630 | 57,5 | 42,5 |
| 17 | CO_2 | 17 | 690 | 65,5 | 34,5 |
| 18 | CO_2 | 17 | 670 | 67,0 | 33,0 |
| 19 | CO_2 | 24 | 410 | 58,5 | 41,5 |
| 20 | CO | 24 | 490 | 51,7 | 48,3 |
| 21 | CO_2 | 23 | 590 | 54,4 | 45,6 |
| 22 | CO_2 | 4 | 950 | 77,0 | 23,0 |
| 23 | CO_2 | 15 | 850 | 73,4 | 26,6 |
| 24 | CO | 8 | 800 | 71,2 | 28,8 |
| 25 | CO_2 | 24 | 540 | 56,7 | 43,3 |

1) Zeitschr. f. phys. Chemie, 43, S. 354.

Die korrespondierenden Versuche unter 700° C. zeigen zum Teil recht bedeutende Abweichungen voneinander, was auf eine unvollständige Einstellung des Gleichgewichtes zurückgeführt

Fig. 53.



werden kann. Eine Verlängerung der Versuchsdauer musste vermieden werden, weil sonst durch Diffusion von Kohlensäure Fehler verursacht würden. Die oben tabellierten Werte sind in Fig. 53 graphisch dargestellt, wobei die mit Kohlensäure erhaltenen Werte mit O, die mit Kohlenoxyd erhaltenen mit einem x

bezeichnet wurden. Die durch diese Punkte gezogene Kurve giebt die Zusammensetzung des Gases an, das bei Temperaturen zwischen 330° und 950° C. mit Fe_3O_4 und FeO im Gleichgewichte steht.

Die nächste Versuchsreihe bezieht sich auf das Gleichgewicht zwischen FeO , Fe , CO , und CO_2 . Die ähnlich wie früher erhaltenen Versuchsergebnisse sind folgende:

| No. | beschickt mit | Dauer der Erhitzung Stunden | Temperatur $^{\circ}$ C. | Gaszusammensetzung Volumproz. | |
|------|---------------|-----------------------------|--------------------------|-------------------------------|--------|
| | | | | CO | CO_2 |
| I | CO | 15 | 800 | 35,2 | 64,8 |
| II | CO | 18 | 530 | 29,1 | 70,9 |
| III | CO | 13 | 880 | 30,2 | 69,6 |
| IV | CO_2 | 24 | 870 | 32,3 | 67,7 |
| V | CO | 18 | 760 | 36,9 | 63,1 |
| VI | CO_2 | 16 | 820 | 34,7 | 65,3 |
| VII | CO_2 | 18 | 730 | 41,1 | 58,9 |
| VIII | CO | 18 | 630 | 34,9 | 65,1 |
| IX | CO_2 | 17 | 630 | 61,6 | 58,4 |
| X | CO | 18 | 540 | 25,0 | 75,0 |
| XI | CO_2 | 25 | 540 | 36,5 | 63,5 |

Dieser Tabelle entsprechen die Punkte I bis XI der Fig 53. Die durch selbe gezogene Kurve giebt die Zusammensetzung des Gases, das zwischen 530° und 880° C. mit Eisen und Eisenoxydul im Gleichgewicht steht.

Hieraus ergibt sich, dass die von Bell¹⁾ angeführten Werte dahin zu verstehen sind, dass zwar die für Weissglut und helle Rotglut angeführten Zusammensetzungen der Gasphase dem Gleichgewichte mit Eisen und Eisenoxydul entsprechen, der für dunkle Rotglut angeführte Wert (40% CO und 60% CO_2) offenbar zu dem Eisenoxydul — Eisenoxyduloxyd-Gleichgewichte gehört. Ferner ergibt sich hieraus, dass das von Bodländer²⁾ angeführte Gleichgewichtsverhältnis $\frac{CO_2}{CO} = \frac{1}{2}$ nicht bei 900° , sondern bei 840° C. besteht.

1) Siehe S. 30.

2) Siehe oben, S. 221.

Als dritte Kurve wurde in Fig. 53 diejenige eingezeichnet, welche dem Gleichgewichte zwischen CO , CO_2 und C bei Atmosphärendruck und bei einem Druck von $\frac{1}{4}$ Atm. nach den von Boudouard¹⁾ ermittelten Werten entspricht.

Man erhält so Schnittpunkte der C -Kurve mit der Fe -, FeO - und mit der FeO -, Fe_3O_4 -Kurve. In diesen Schnittpunkten kann Kohle neben beziehungsweise FeO , Fe_3O_4 und Fe , FeO bestehen, und erhellt aus dem Anblicke der Kurventafel ohne weiteres, was geschehen wird, wenn bei einer anderen Temperatur Kohle neben Eisen oder einem seiner Oxyde vorhanden ist.

Hat sich z. B. bei Temperaturen rechts von den Schnittpunkten ein Gleichgewicht $FeO + CO \rightleftharpoons Fe + CO_2$ eingestellt, so enthält die Gasphase eine höhere Konzentration an Kohlensäure, als dem Gleichgewichte $C + CO_2 \rightleftharpoons 2 CO$ entspricht. Setzt man also dem Systeme Kohle zu, so wird folgender Vorgang eintreten müssen: $C + CO_2 \rightarrow 2 CO$, dadurch wird aber FeO -Gleichgewicht gestört; es findet die Reaktion $FeO + CO \rightarrow Fe + CO_2$ statt, und offenbar geht dieser Prozess so lange weiter, bis eine der Phasen aufgebraucht ist. Angenommen man setzt dem System weniger Kohle zu als FeO vorhanden war (Äquivalente gerechnet), so verschwindet schliesslich die Kohle; im andern Falle verschwindet das FeO . Man bleibt daher entweder auf der Fe - FeO -Kurve, oder man überschreitet dieselbe, um sich nach der C -Kurve hin zu bewegen. Dort angekommen, existiert bei Anwesenheit von Eisen Gleichgewicht zwischen Kohle und den Gasen. Der ganze Vorgang ist mit einer Volumvergrösserung verbunden, da aus 1 Volum Kohlensäure 2 Volumen Kohlenoxyd entstehen.

Das Analoge findet statt, wenn zu einem Gemenge von Eisenoxydul und Eisenoxyduloxyd Kohle hinzugefügt wird und man sich rechts von dem Schnittpunkt befindet.

Umgekehrt verläuft aber der Vorgang links von den Schnittpunkten. Hat man wieder ein Gleichgewicht zwischen Eisen, Eisenoxydul, Kohlenoxyd und Kohlensäure und setzt Kohlenstoff zu, so ist im Systeme eine höhere Konzentration des Kohlenoxydes vorhanden als dem Gleichgewichte $C + CO_2 \rightleftharpoons 2 CO$ entspricht, so dass also der Vorgang $2 CO \rightarrow C + CO_2$ eintritt. Die dadurch

1) l. c.

bewirkte Störung des Eisenoxydulgleichgewichtes veranlasst nun den Vorgang $Fe + CO_2 \rightarrow FeO + CO$ u. s. f., bis eine der vorhandenen Phasen aufgebraucht ist. Verschwindet das Eisen zuerst, so kommt man möglicherweise auf einen Punkt der Kohlenstoffkurve, wo dann bei Anwesenheit von FeO Gleichgewicht zwischen Kohlenstoff, Kohlenoxyd und Kohlensäure herrscht. Dies wird eintreten, wenn man die Kohlenstoffkurve zwischen den beiden Schnittpunkten, also in Temperaturen zwischen 647° und 685° C. trifft. Bei Temperaturen unterhalb 647° überschreitet man zunächst die FeO - Fe_3O_4 -Kurve. Hier findet der Vorgang $3FeO + CO_2 \rightarrow Fe_3O_4 + CO$ statt. Solange diese Umwandlung dauert, bleibt das Verhältnis $\frac{CO}{CO_2}$ im Gase stationär, in-

dem die verschwindende Kohlensäure durch die Reaktion $2CO \rightarrow C + CO_2$ nachgeliefert wird. Ist dann alles FeO aufgebraucht, so bewegt man sich nach dem der betreffenden Temperatur entsprechenden Punkt der C -Kurve hin, bis sich schliesslich ein Gleichgewicht zwischen Kohlenstoff und den Gasen bei Anwesenheit von Fe_3O_4 einstellt. Diese Reaktion ist, wie ersichtlich, mit einer Volumskontraktion verbunden, und mit einer Zunahme der Kohlenstoffmenge. Die Abschnitte der Fe - FeO - und der FeO - Fe_3O_4 -Kurve, welche links von der Kohlenstoffkurve liegen, sind in gewissem Sinne metastabil gegen die Kohlenstoffkurve.

Zu bemerken ist noch, dass — wenn man in einem geschlossenen Gefässe arbeitet — der Kohlenstoffumsatz sich auf Kosten der Gasphase vollzieht. Ist so viel FeO vorhanden, dass dasselbe nicht aufgebraucht werden kann, so muss schliesslich ein fast völliges Vakuum entstehen. Strenge genommen tritt erst dann Gleichgewicht ein, wenn bei der gewählten Temperatur der Druck so weit gesunken ist, dass der Schnittpunkt der Kohlenstoffkurve, die sich mit fallendem Druck nach links verschiebt, mit der FeO - Fe_3O_4 -Kurve in diese Temperatur fällt. — Befindet man sich auf der rechten Seite der Kohlenstoffkurve und arbeitet man in einem geschlossenen Gefässe und bei Anwesenheit einer genügenden Menge Kohle, so findet das Umgekehrte statt: es entsteht ein Überdruck, der so lange anwächst, bis die entsprechende Verschiebung der Kohlenstoffkurve nach rechts stattgefunden hat.

Ist Kohle im Gleichgewichte mit CO und CO_2 unterhalb der Temperatur des Schnittpunktes mit der FeO - Fe_3O_4 -Kurve gegeben, und wird Fe_3O_4 hinzugesetzt, so findet bei Steigerung der Temperatur nach dem Überschreiten des Schnittpunktes mit der FeO - Fe_3O_4 -Kurve eine Umwandlung des Fe_3O_4 in FeO statt, das nun bei weiterer Steigerung der Temperatur neben Kohlenstoff und den Gasen beständig ist, bis der Schnittpunkt mit der Fe - FeO -Kurve erreicht ist. Steigern wir nun die Temperatur noch weiter, so findet eine Umwandlung von FeO in Fe statt. Hierdurch werden die Temperaturen festgelegt, bei denen die Kohle das Fe_3O_4 und das FeO reduziert. Es sind dies bei Atmosphärendruck 647° und $685^\circ C$.

Gleichzeitig teilt die Kohlenstoffkurve die Fig. 53 in zwei Felder. Im linken ist Kohlenstoff neben Eisen, respektive seinen Oxyden beständig, während im rechten die Kohle verschwinden muss. Hierdurch werden die Umstände umgrenzt, unter denen im Hochofen eine Kohlenstoffabscheidung aus CO auftreten kann.¹⁾ Damit ist in Übereinstimmung, dass das auf Kohlenstoffabscheidung zurückzuführende „Hängen“ nur bei niedrigen Temperaturen eintreten kann, und durch eine Steigerung der Temperatur beseitigt wird. Ferner erkennt man, dass die direkte Reduktion des Eisenoxyduls durch Kohle im Hochofen erst oberhalb $700^\circ C$ stattfinden kann.²⁾

Zur Kontrolle des eben entwickelten haben Bauer & Glässner einige Versuche mit kohlehaltigen Präparaten angestellt. Es wurde frisch reduziertes Eisen bei etwa $600^\circ C$ der Einwirkung von Kohlenoxyd ausgesetzt, wobei sich unter beträchtlicher Gasabsorption ein Gemenge von FeO , Fe und C bildete. Dieses Gemenge wurde in ein Schiffchen gebracht und im geschlossenen Rohre mit Kohlenoxyd bei $700^\circ C$ behandelt. Es zeigte sich eine bedeutende Volumsvermehrung und das nach 14 Stunden ent-

1) Siehe Seite 201.

2) Hieraus ergibt sich aber auch weiter, dass das Eisen, wie es die Formebene passiert — eingetretenes Gleichgewicht vorausgesetzt —, überhaupt keinen Kohlenstoff enthalten kann. Wenn es trotzdem solchen enthält, so ist dies ein Beweis, dass eben kein Gleichgewichtszustand herrscht weil ja, wie schon früher erwähnt, zur Erreichung des Gleichgewichtes Zeit erforderlich ist.

nommene Gas enthielt 36,5% CO_2 und 63,5% CO . Dies ist Punkt *a* in Fig. 53. Er gehört, wie vorauszusehen war, der Kohlenstoffkurve an. Hierauf wurde der Apparat aufs neue mit Kohlenoxyd beschickt und die Temperatur auf 730° C. gesteigert. Entsprechend dem Vorgange $2CO \rightarrow C + CO_2$ trat Kontraktion ein, und das nach sechs Stunden entnommene Gas enthielt 30,0% CO_2 und 70% CO . Auch dieser Punkt (*b*) gehört der Kohlenstoffkurve an. Nun wurde Kohlensäure eingeführt und die Temperatur auf 540° C. erniedrigt. Es trat eine bedeutende Volumsverringering auf, und das Gas zeigte nach acht Stunden eine Zusammensetzung von 54,5% CO_2 und 45,5% CO (Punkt *c*). Um das FeO aufzubrauchen, wurde nun bei derselben Temperatur weiter mit CO_2 behandelt. Es trat abermals Kontraktion ein, und das Gas enthielt 55,7% CO_2 und 44,3% CO (Punkt *d*). Die beiden Punkte *c* und *d* gehören der FeO - Fe_3O_4 -Kurve an. Es erklärt sich dies in der Weise, dass die Zusammensetzung der Gasphase — wie schon oben erwähnt — so lange stationär bleibt, bis alles FeO verschwunden ist. Bei weiterer Behandlung mit CO_2 bei derselben Temperatur bildete sich nach 15 Stunden unter abermaliger Kontraktion ein Gas von der Zusammensetzung 71,8% CO_2 und 28,2% CO (Punkt *e*). Bei Fortsetzung dieser Behandlungsweise hätte schliesslich die Kohlenstoffkurve erreicht werden müssen. Statt dessen wurde die Temperatur auf 940° C. gesteigert. Es trat — wie auch erwartet wurde — bedeutende Volumsteigerung ein, und das nach sechs Stunden entnommene Gas hatte die Zusammensetzung 25,8% CO_2 und 74,2% CO (Punkt *f*). Es war somit ein Punkt der Fe - FeO -Kurve erreicht, was auch dadurch bewiesen wurde, dass noch die folgenden Punkte dieser Kurve erzielt wurden:

| No. | beschickt mit | Dauer der Erhitzung Stunden | Temperatur ° C. | Gaszusammensetzung Volumproz. | |
|------|---------------|-----------------------------|-----------------|-------------------------------|------|
| | | | | CO_2 | CO |
| XII | CO | 17 | 860 | 31,6 | 68,4 |
| XIII | CO | 16 | 540 | 26,6 | 73,4 |
| XIV | CO | 15 | 800 | 35,9 | 64,1 |
| XV | CO | 17 | 860 | 30,2 | 69,8 |

Bei diesen Versuchen wurde weder Kontraktion noch Ausdehnung konstatiert; auch stimmen diese Punkte innerhalb der Fehlergrenzen mit den früher gefundenen überein.

Die vorstehenden Betrachtungen geben gute Aufschlüsse über die Vorgänge, welche sich bei der Reduktion der Eisenoxyde durch Kohlenstoff und Kohlenoxyd im Hochofen vollziehen. Bezüglich der übrigen Reduktionserscheinungen haben wir allerdings nur erfahren, warum SiO_2 , P_2O_5 und die Manganoxyde nur durch festen Kohlenstoff reduziert werden können, da hier noch eingehendere Studien fehlen.

Noch weniger ist die Frage der Cyanbildung und Reduktion von Oxyden durch Cyan, die anscheinend beim Hochofenprozesse keine unwichtige Rolle spielen, studiert.

NEUNTES KAPITEL.

Gaszusammensetzung und Hochofengang.

Die Aufstellung einer vollständigen Wärmebilanz für einen Hochofen ist eine sehr umständliche Arbeit, deren Ausführung an einem vom Verfasser durchgeführten Beispiele gezeigt werden mag:

In der Untersuchungswoche wurden

| | | | |
|----------|---|--------------------------------|----------|
| vergicht | { | Erz | 249,6 t |
| | | Wascheisen | 6,0 t |
| | | Kalkstein | 26,1 t |
| | | Holzkohle | 106,48 t |
| gewonnen | { | Roheisen | 114,6 t |
| | | Schlaacke | 64,6 t |
| | | Gichtstaub (trocken) | 3,275 t |
| | | Wascheisen | 6,0 t |

| | |
|----------------------------------|----------------------|
| Mittlere Windtemperatur . . . | = 350° C. |
| „ Windpressung | = 60 mm Wassersäule |
| Düsenweite | = 55 mm |
| Mittlere Gichtgastemperatur . . | = 127° C. |
| Feuchtigkeitsgehalt des Windes . | = 0,87 Gewichtsproz. |
| Lufttemperatur | = 17° C. |
| Barometerstand | = 710 mm. |

Zusammensetzung der Gichtungsmaterialien.

| Bestandteile | Erz | Kalkstein | Schlacke | Gicht- staub | Holz- kohle |
|-------------------|---------|-----------|----------|-----------------|----------------|
| K_2O | — | — | — | { 0,85 | { 0,10 |
| Na_2O | — | — | — | | { 0,06 |
| CaO | 0,92 | 84,08 | 26,25 | 6,35 | 0,79 |
| MgO | 4,72 | 0,60 | 16,07 | 3,39 | 0,17 |
| FeO | 20,27 | — | 5,56 | 16,59 | — |
| Fe_2O_3 | 41,18 | — | — | 40,50 | 0,01 |
| Al_2O_3 | 2,11 | 0,16 | 7,07 | 2,95 | — |
| Mn_2O_3 | 2,80 | — | 3,89 | 2,98 | — |
| CuO | 0,076 | — | 0,13 | 0,06 | — |
| SiO_2 | 12,85 | 0,44 | 39,99 | 13,75 | 0,47 |
| SO_2 | 0,288 | 0,03 | 1,04 | 0,30 | 0,03 |
| P_2O_5 | 0,228 | 0,03 | 0,007 | 0,072 | 0,06 |
| CO_2 | 2,32 | 43,15 | — | 6,79 | 0,63 |
| H_2O | 12,50 | 1,58 | — | — | 10,25 |
| C | — | — | — | 4,75 | 86,25 |
| N_2 | — | — | — | — | 0,52 |
| disponibler H_2 | — | — | — | — | 1,01 |
| Summe | 100,262 | 100,07 | 100,007 | 99,332 | 100,34 |

Zusammensetzung des Roh- und Waseisens.

| | | |
|---------------------------|---------|---------|
| Eisen | 91,761 | |
| Kohlenstoff, geb. | 0,892 | } 3,692 |
| Graphit | 2,800 | |
| Silicium | 1,800 | |
| Schwefel | 0,018 | |
| Phosphor | 0,042 | |
| Mangan | 2,650 | |
| Kupfer | 0,032 | |
| | 100,000 | |

Durchschnittliche Zusammensetzung der Gichtgase.

Volumproz. \times Molekulargewicht = Gewichtsteile

| | | | | |
|-----------------|---------------|----|---|--------|
| Kohlensäure . . | 8,5 \times | 44 | = | 374,0 |
| Sauerstoff . . | 0,4 \times | 32 | = | 12,8 |
| Kohlenoxyd . . | 28,1 \times | 28 | = | 786,8 |
| Methan . . . | 0,8 \times | 16 | = | 12,8 |
| Wasserstoff . . | 7,1 \times | 2 | = | 14,2 |
| Stickstoff . . | 55,1 \times | 28 | = | 1542,8 |
| Summe 100,0 | | | | 2743,4 |

Pro 100 q Roheisenerzeugung (abzüglich des Wascheisens)
wurden vergichtet:

| Bestandteile | Erz, q | Kalkstein, q | Holzkohle, q | Summe, q |
|---------------------------------------|---------|--------------|--------------|----------|
| K_2O | — | — | 0,097 | 0,097 |
| Na_2O | — | — | 0,066 | 0,066 |
| CaO | 1,981 | 12,314 | 0,739 | 15,034 |
| MgO | 10,198 | 0,187 | 0,158 | 10,443 |
| FeO | 43,765 | — | — | 43,765 |
| Fe_2O_3 | 88,925 | — | 0,004 | 88,929 |
| Al_2O_3 | 4,562 | 0,036 | — | 4,598 |
| Mn_2O_4 | 6,046 | — | — | 6,046 |
| CuO | 0,124 | — | — | 0,124 |
| SiO_2 | 27,677 | 0,100 | 0,070 | 27,847 |
| SO_2 | 0,623 | 0,007 | 0,026 | 0,656 |
| P_2O_5 | 0,061 | 0,007 | 0,049 | 0,117 |
| CO | 5,010 | 9,824 | 0,636 | 15,471 |
| H_2O | 26,984 | 0,360 | 9,581 | 36,925 |
| C | — | — | 80,624 | 80,624 |
| N_2 | — | — | 0,487 | 0,487 |
| disponibler H_2 | — | — | 0,947 | 0,947 |
| Summe | 215,956 | 22,786 | 93,474 | 332,216 |
| Hierzu Wascheisen, wie oben | | | | 5,230 |
| | | | Summe | 337,446 |

Hieraus wurden gewonnen:

| | |
|---|----------|
| Roheisen | 100,00 q |
| Wascheisen | 5,23 „ |
| Summe | 105,23 q |
| Hiervon ab das aufgegichtete Wascheisen . . . | 5,23 „ |
| Bleibt erzeugtes Roheisen | 100,00 q |

welches enthält:

| | |
|-----------------------|-----------|
| Eisen | 91,761 q |
| Kohlenstoff | 3,692 „ |
| Silicium | 1,800 „ |
| Schwefel | 0,018 „ |
| Phosphor | 0,042 „ |
| Mangan | 2,650 „ |
| Kupfer | 0,037 „ |
| | 100,000 q |

Ausserdem wurden pro 100 *q* erzeugtes Roheisen gewonnen:

| Bestandteile | Schlacke, <i>q</i> | Gichtstaub, <i>q</i> | Summe, <i>q</i> |
|--|---------------------|----------------------|-----------------|
| K_2O | — | } 0,024 | } 0,024 |
| Na_2O | — | | |
| CaO | 14,801 | 0,181 | 14,982 |
| MgO | 9,061 | 0,112 | 9,173 |
| FeO | 3,121 | 0,472 | 3,593 |
| Fe_2O_3 | — | 1,154 | 1,154 |
| Al_2O_3 | 3,986 | 0,084 | 4,070 |
| Mn_2O_4 | 2,193 ¹⁾ | 0,090 | 2,283 |
| CuO | 0,063 | 0,002 | 0,075 |
| SiO_2 | 22,547 | 0,391 | 22,938 |
| SO_2 | 0,586 ²⁾ | 0,009 | 0,595 |
| P_2O_5 | 0,004 | 0,002 | 0,006 |
| CO_2 | — | 0,194 | 0,194 |
| C | — | 0,135 | 0,135 |
| Summe | 56,362 | 2,850 | 59,222 |
| Hierzu das produzierte Roh- und Wascheisen | | | 105,230 |
| Summe " | | | 164,452 |

Berechnung der Zusammensetzung der Gichtgase.

| Bestandteile | Pro 100 <i>q</i> Roheisen- erzeugung ³⁾ ver- gichtet, <i>q</i> | Davon erscheinen in Schlacke und Gichtstaub, <i>q</i> | Verbleiben für Roheisen und Gichtgase, <i>q</i> |
|-------------------|---|---|---|
| K_2O | 0,097 | } 0,024 ⁴⁾ | } 0,097 |
| Na_2O | 0,056 | | |
| CaO | 15,034 | 14,982 | 0,052 |
| MgO | 10,493 | 9,173 | 1,320 |
| FeO | 43,765 | 3,593 | 40,172 |
| Fe_2O_3 | 88,929 | 1,154 | 87,775 |
| Al_2O_3 | 4,598 | 4,070 | 0,528 |
| Mn_2O_4 | 6,046 | 2,283 | 3,763 ⁵⁾ |
| CuO | 0,124 | 0,075 | 0,049 |
| SiO_2 | 27,847 | 22,938 | 4,909 |
| SO_2 | 0,656 | 0,595 | 0,061 |
| P_2O_5 | 0,117 | 0,006 | 0,111 |
| CO_2 | 15,471 | 0,194 | 15,277 |
| H_2O | 36,925 | — | 36,925 |
| C | 80,624 | 0,135 | 80,489 |
| N_2 | 0,487 | — | 0,487 |
| disponibler H_2 | 0,947 | — | 0,947 |
| Summe | 332,216 | 59,222 | 272,994 |

1) Als Oxyd vorhanden.

2) Grösstenteils als Schwefelcalcium vorhanden.

3) Exklusive Wascheisen.

4) Die Zahl wird im folgenden ihrer Kleinheit wegen als Natron berechnet.

5) Siehe die Anmerkung bei der folgenden Tabelle.

| Von dem gebildeten Roheisen waren in der Beschickung verbunden: | mit q Sauerstoff | zu q |
|--|-----------------------|------------------|
| 61,443 q \ 91,761 q Eisen { | 36,332 | 87,775 Fe_2O_3 |
| 30,318 „ | 8,663 | 38,981 FeO |
| 3,692 „ Kohlenstoff | — | 3,692 C |
| 1,800 „ Silicium | 2,057 | 3,857 SiO_2 |
| 0,016 „ Schwefel | 0,027 | 0,047 SO_2 |
| 0,042 „ Phosphor | 0,054 | 0,096 P_2O_5 |
| 2,650 „ Mangan | 1,028 | 3,678 Mn_2O_3 |
| 0,037 „ Kupfer | 0,009 | 0,046 CuO |
| 99,998 q | 38,170 | 138,172 |

Zieht man dies vom obigen Reste ab, so bleibt:

| Bestandteile | Rest aus der vorletzten Ta- belle, q | Hiervon entfallen auf | |
|-------------------|--|-----------------------|----------------------|
| | | das Roheisen q | die Gichtgase q |
| K_2O | 0,097 | — | 0,097 |
| Na_2O | 0,032 | — | 0,032 |
| CaO | 0,052 | — | 0,052 |
| MgO | 1,320 | — | 1,320 |
| FeO | 40,172 | 38,981 | 1,191 |
| Fe_2O_3 | 87,775 | 87,775 | — |
| Al_2O_3 | 0,528 | — | 0,528 |
| Mn_2O_3 | 3,763 | 3,678 | 0,085 ¹⁾ |
| CuO | 0,049 | 0,046 | 0,003 |
| SiO_2 | 4,909 | 3,857 | 1,052 |
| SO_2 | 0,061 | 0,045 | 0,016 ²⁾ |
| P_2O_5 | 0,111 | 0,096 | 0,015 |
| CO_2 | 15,277 | — | 15,277 |
| H_2O | 36,925 | — | 36,925 |
| C | 80,489 | 3,692 | 76,797 |
| N_2 | 0,487 | — | 0,487 |
| disponibler H_2 | 0,947 | — | 0,947 |
| Summe | 272,994 | 138,170 | 134,824 |

Bedenkt man, dass es sehr schwierig ist, die Menge des Gichtstaubes, ja selbst der erzeugten Schlacke genau zu bestimmen, sowie genaue Durchschnittsproben zur Analyse zu erhalten, so ist die Übereinstimmung sehr befriedigend.

In 100 Litern der Gichtgase wurden 0,0287 g Cyan gefunden; es entfallen daher auf 100 q erzeugtes Roheisen 0,154 q Cyankalium, worin enthalten sind:

1) Sollte nach dem Früheren 0,164 Sauerstoff sein.

2) Ist Sauerstoff, da der grösste Teil des Schwefels als Schwefelcalcium in der Schlacke vorhanden ist.

| | |
|-----------------------|---------|
| Kalium | 0,088 q |
| Kohlenstoff | 0,033 „ |
| Stickstoff | 0,033 „ |
| Summe | 0,154 q |

Daher kommen aus dem K_2O (von der Cyankaliumbildung) 0,022 q Sauerstoff in die Gichtgase.

Kohlenstoff der Gichtgase =

$$= 76,797 - 0,033 = 76,764 \text{ q aus der Kohle,}$$

und

$$\frac{4,166 \text{ „ „ „ } CO_2}{80,930 \text{ q}}$$

Die Elementarzusammensetzung der Gichtgase berechnet sich aus ihrer volumprozentischen Zusammensetzung, wie folgt:

| Bestandteile | Volumproz. | Enthaltene Volumteile | | | |
|--------------|------------|-----------------------|-------|-------|-------|
| | | C_1 | O_2 | H_2 | N_2 |
| CO_2 | 8,5 | 4,25 | 8,5 | — | — |
| O_2 | 0,4 | — | 0,4 | — | — |
| CO | 28,1 | 14,05 | 14,05 | — | — |
| CH_4 | 0,8 | 0,40 | — | 1,60 | — |
| H_2 | 7,1 | — | — | 7,10 | — |
| N_2 | 55,1 | — | — | — | 55,1 |
| Summe | 100,0 | 18,70 | 22,95 | 8,70 | 55,1 |

Hieraus berechnet sich die elementare Zusammensetzung der Gichtgase nach Gewichtsteilen in nachstehender Weise:

| | Volumproz. | × | Molekulargewicht | = | Gewichtsteile |
|-----------------|------------|---|------------------|---|---------------|
| Kohlenstoff . . | 18,70 | × | 24 | = | 448,8 |
| Sauerstoff . . | 22,95 | × | 32 | = | 734,5 |
| Wasserstoff . . | 8,70 | × | 2 | = | 17,4 |
| Stickstoff . . | 55,10 | × | 28 | = | 1542,8 |
| | 106,45 | | | | 2743,5 |

Aus diesen und den obigen Zahlen für den Kohlenstoffgehalt der Gichtgase berechnet sich die Menge an Elementarbestandteilen der Gichtgase pro 100 q Roheisenerzeugung:

| | |
|---|--|
| Kohlenstoff in den Gichtgasen, wie oben | 80,930 q |
| Sauerstoff „ „ „ „ „ | $\frac{734,5 \times 80,930}{448,8} = 134,125 \text{ „}$ |
| Wasserstoff „ „ „ „ „ | $\frac{17,4 \times 80,930}{448,8} = 3,316 \text{ „}$ |
| Stickstoff „ „ „ „ „ | $\frac{1542,8 \times 80,930}{448,8} = 277,980 \text{ „}$ |
| | <u>506,351 q</u> |

Hiervon stammt aus der Gichtung:

| | |
|--|----------|
| Kohlenstoff, wie oben | 80,930 q |
| Sauerstoff von der Cyankaliumbildung | 0,022 q |
| „ „ „ Roheisenbildung | 38,170 „ |
| „ „ „ <i>MnO</i> -Bildung | 0,164 „ |
| „ „ „ <i>CO</i> ₂ des Kalksteins. | 11,111 „ |
| Zusammen | 49,467 q |
| Disponibler Wasserstoff der Kohle | 0,947 q |
| Stickstoff = 0,487 — 0,033 = | 0,454 q |

Es ergibt sich somit:

| Bestandteile | Aus der Be- schickung q | Durch Zer- setzung von Wasser q | Aus dem Gebläse- wind q | Summe q | Nach der Analyse q | Differenz q |
|---------------|-------------------------------|---|----------------------------------|------------|--------------------------|----------------|
| Kohlenstoff . | 80,930 | — | — | 80,930 | 80,930 | — |
| Sauerstoff . | 49,467 | 18,752 | 82,897 | 151,116 | 144,125 | — 6,991 |
| Wasserstoff . | 0,947 | 2,369 | — | 3,316 | 3,316 | — |
| Stickstoff . | 0,454 | — | 277,526 | 277,980 | 277,980 | — |
| Summe | 131,798 | 21,121 | 360,423 | 513,342 | 506,351 | — 6,991 |

In der Differenz beim Sauerstoff summieren sich alle Fehler der einzelnen Bestimmungen; teilweise kann dieselbe aber auch durch Schwankungen in der Luftzusammensetzung erklärt werden.

Somit stellt sich die vollständige Zusammensetzung der pro 100 q Roheisen entweichenden Gichtgase auf:

| | |
|---|-----------|
| Kohlenstoff | 80,930 q |
| Sauerstoff | 151,116 „ |
| Wasserstoff | 3,316 „ |
| Stickstoff | 277,980 „ |
| Wasser aus der Gichtung | 36,925 q |
| „ „ dem Winde $\frac{360,420 \times 0,87}{100} = 3,136$ „ | |
| | 40,061 q |

| | | |
|------------------------------------|----------|-----------|
| Hiervon ab: zerlegtes Wasser . . . | 21,121 „ | 18,940 „ |
| | Summe | 532,282 q |

oder in näheren Bestandteilen:

| | |
|--|--|
| <i>CO</i> ₂ | 67,432 mit 18,391 C + 49,091 <i>O</i> ₂ |
| <i>CO</i> | 141,860 „ 60,797 „ + 81,063 „ |
| <i>CH</i> ₄ | 2,308 „ 1,731 „ + — + 0,577 <i>H</i> ₂ |
| <i>H</i> ₂ | 2,739 „ — + — + 2,739 „ |
| <i>N</i> ₂ | 207,636 „ — + — + — 207,636 <i>N</i> ₂ |
| Luft | 91,356 „ — + 21,012 „ + — 70,344 „ |
| <i>H</i> ₂ <i>O</i> | 18,940 „ — + 18,836 „ + 2,104 „ — |
| | 532,271 |

Die eingeblasene Windmenge wiegt 360,423 g; da aber 1 Liter Luft bei 0° C. und 760 mm Barometerstand und 45° Breite 1,293052 g wiegt, ist dies im Luftvolum von $\frac{36042,3}{1,293052} = 27874 \text{ m}^3$, oder, da 1 q Roheisen in 8,8 Minuten gewonnen wird, pro Minute $\frac{278,74}{8,8} = 31,67 \text{ m}^3$.

Die eingeblasenen 360,423 q Luft enthielten aber $\frac{360,423 \times 0,87}{100} = 3,136 \text{ q}$ Wasserdampf.

Analog der verbrauchten Windmenge berechnet sich das Volum der auf 100 q Roheisen entfallenden Gichtgasmenge und man erhält:

| | | |
|-------------|---------------------------|---|
| Kohlensäure | $= \frac{6743,2}{1,965}$ | $= 3431,6 \text{ m}^3$ |
| Kohlenoxyd | $= \frac{1418,6}{1,250}$ | $= 11348,8 \text{ „}$ |
| Methan | $= \frac{230,8}{0,715}$ | $= 322,8 \text{ „}$ |
| Wasserstoff | $= \frac{273,9}{0,0895}$ | $= 3060,3 \text{ „}$ |
| Stickstoff | $= \frac{20763,6}{1,254}$ | $= 16557,9 \text{ „}$ |
| Luft | $= \frac{9135,6}{1,293}$ | $= 7065,4 \text{ „}$ |
| | | <hr/> 41787,8 m ³ von 0° C. und 760 mm |

Wärmeberechnung.

1. Durch den Wind eingeführte Wärmemenge.

$$\begin{aligned}
 & \text{Wärmekapazität} \\
 36042,2 \text{ kg (trockene Luft)} & \times 0,238 \text{ (spez. Wärme)} = 8578,8674 \text{ Cal.} \\
 313,6 \text{ „ (Wasserdampf)} & \times 0,481 \text{ „ „} = 150,8416 \text{ „} \\
 & \quad \quad \quad 8729,7090 \times 350 \text{ (°C.)} = \\
 & \quad \quad \quad = 3055398,2 \text{ Cal.}
 \end{aligned}$$

2. Durch die Gichtmaterialien eingeführte Wärmemengen.

| | kg | Spez. Wärme | Wärmekapas. |
|-----------------|---------|-------------|--|
| Erz | 21618 × | 0,160 = | 2318,880 |
| Kalkstein . . . | 2277 × | 0,210 = | 478,170 |
| Kohle | 9378 × | 0,241 = | 2260,098 |
| Wascheisen . . | 523 × | 0,130 = | 67,990 |
| | | | <hr/> 5125,138 × 17° C. = 87127,3 Cal. |

3. Durch chemische Prozesse im Hochofen gebildete Wärmemengen.

Die Zahlen lassen sich allerdings nicht ganz genau ermitteln, da einige Bildungswärmen (Schlacke u. s. w.) nicht bekannt sind.

| | |
|---|-----------------|
| 14,3 kg <i>CyK</i> geben bei ihrer Bildung | |
| $\frac{33915 \times 14,3}{65,1} =$ | 7449,9 Cal. |
| 1839,1 kg Kohlenstoff geben bei der Verbrennung zu <i>CO</i> ₂ | |
| $1839,1 \times 8080 =$ | 14859928,0 „ |
| 6079,7 kg Kohlenstoff geben bei der Verbrennung zu <i>CO</i> | |
| $6079,7 \times 2473 =$ | 15041098,1 „ |
| 173,1 kg Kohlenstoff geben bei Bildung von Methan | |
| $\frac{230,8 \times 22000}{16} =$ | 31735,0 „ |
| Summe | 29940211,0 Cal. |

4. Durch chemische Prozesse im Hochofen verbrauchte Wärmemengen.

Zur Zerlegung von

| | | |
|---|-------------------------------------|--------------|
| 11,0 kg <i>K₂O</i> | $\frac{11 \times 140000}{94} =$ | 16383,0 Cal. |
| 8777,5 „ <i>Fe₂O₃</i> | $6144,3 \times 1887 =$ | 1216014,1 „ |
| 3898,1 „ <i>FeO</i> | $3031,8 \times 1258 =$ | 3814004,4 „ |
| 385,7 „ <i>SiO₂</i> | $180,0 \times 7830 =$ | 1409400,0 „ |
| 4,5 „ <i>SO₂</i> | $\frac{4,5 \times 103230}{32} =$ | 14491,7 „ |
| 367,8 „ <i>Mn₂O₄</i> | $102,8 \times 4134 =$ | 424975,2 „ |
| 4,6 „ <i>CuO</i> | $0,9 \times 2394 =$ | 2154,6 „ |
| 2112,1 „ <i>H₂O</i> | $236,9 \times 34180 =$ | 8097242,0 „ |
| 2684,6 „ <i>CaCO₃</i> | $\frac{2684,6 \times 42490}{100} =$ | 1140686,5 „ |
| 661,5 „ <i>MgCO₃</i> | $\frac{661,5 \times 42490}{84} =$ | 334493,2 „ |

Zur Reduktion von

| | | |
|---|-------------------------------------|-----------------|
| 235,7 kg <i>Mn₂O₄</i> zu <i>MnO</i> | $\frac{2435,7 \times 53200}{232} =$ | 54048,4 „ |
| Summe | | 16523893,1 Cal. |

5. Wärmeentgang durch Roheisen und Schlacke.

| | |
|---|------------------|
| Roheisen: 10523,0 kg × 310 (Schmelzwärme) | = 3262130,0 Cal. |
| Schlacken: 5640,0 „ × 440 (Schmelzwärme) | = 2481600,0 „ |
| Summe | 5743730,0 Cal. |

6. Wärmeentgang durch den Gichtstaub.

$$285,0 \text{ kg} \times 0,175 \text{ (spez. Wärme)} \times 350 \text{ (Temperatur)} = 24456,3 \text{ Cal.}$$

7. Wärmeentgang durch die Gichtgase.

| | | | | | |
|--------|-----------|-----------|------------------------------|---|-----------|
| CO_2 | | 6743,4 kg | $\times 0,216$ (spez. Wärme) | = | 1456,5312 |
| CO | | 14186,0 „ | $\times 0,246$ „ „ | = | 3489,7560 |
| CH_4 | | 230,8 „ | $\times 0,593$ „ „ | = | 136,8645 |
| H_2 | | 275,9 „ | $\times 3,490$ „ „ | = | 953,4110 |
| N_2 | | 29763,6 „ | $\times 0,244$ „ „ | = | 5065,3184 |
| Luft | | 9135,6 „ | $\times 0,238$ „ „ | = | 2174,2728 |
| Wasser | | 1894,0 „ | $\times 0,481$ „ „ | = | 911,0140 |

Wärmekapazität 14167,1679

Wärmekapazität \times Temperatur = Wärmemenge

$$14167,1679 \times 127 = 1799230,3 \text{ Cal.}$$

8. Zur Verdampfung des in der Beschickung enthaltenen Wassers verwendete Wärme.

| kg | Totale Verdampfungswärme | Wärmemenge |
|-----------------|--------------------------|------------------|
| 3692,5 \times | 689,5 | = 2545978,8 Cal. |

Wärmebilanz.

A. Produzierte Wärme.

| | Cal. | % |
|--|------------|--------|
| Mit dem Winde in den Ofen eingeführte Wärmemenge | 3055398,2 | 9,23 |
| Durch die Gicht eingeführte Wärmemenge | 87127,3 | 0,26 |
| Im Ofen produzierte Wärmemenge | 29940211,0 | 90,51 |
| Summe | 33082736,5 | 100,00 |

B. Konsumierte Wärme.

| | Cal. | % |
|---|------------|--------|
| Im Ofen zu chemischen Prozessen | 16521893,5 | 49,94 |
| „ „ zur Verdampfung des Wassers der Gichtung | 2545978,8 | 7,69 |
| Zum Schmelzen von Roheisen und Schlacke | 5748730,0 | 17,36 |
| Wärmeverlust durch den Gichtstaub | 24456,3 | 0,07 |
| „ durch die Gichtgase | 1799230,3 | 5,43 |
| „ durch Leitung und Strahlung | 6447447,6 | 19,51 |
| Summe | 33082736,5 | 100,00 |

Die Verbrennung der Gichtgase (pro 100 q Roheisenerzeugung) liefert:

$$\begin{aligned}
 CO: & 14186,0 \times 2403 = 34469960 \text{ Cal.} \\
 CH_4: & 230,8 \times 13063 = 3014940 \text{ „} \\
 H_2: & 273,9 \times 34180 = 9361900 \text{ „} \\
 & \text{zusammen: } 46846800 \text{ Cal.}
 \end{aligned}$$

Hierzu die von den Gichtgasen durch ihre Temperatur dem Ofen entzogene Wärme $\frac{1799230,3}{\text{„}}$
macht zusammen: 48646030,3 Cal.

wovon durch Erhitzung des Gebläsewindes 30553982 Calorien (oder etwa $6\frac{1}{4}\%$) nutzbar gemacht wurden. Diese ausserordentlich kleine Ausnutzung der Gichtgase erklärt sich einestheils durch die Abkühlung der Gase auf dem Wege von der Gicht zu den Winderhitzern, theils aber auch durch die offene Gicht, bei welcher ja nur ein Teil der Gase zur Verbrennung gelangen kann.¹⁾

Für die Zwecke der Praxis hat Gruner ein weit einfacheres Verfahren angegeben und das Verhältniss $\frac{CO_2}{CO}$ in den Gichtgasen als Mass für die Güte des Hochofenganges aufgestellt. Seine Berechnung ist folgende:

Ist a die pro 1 kg Roheisen verbrannte Kohlenstoffmenge, b der aus dem Zuschlage (inkl. Gangart) stammende Kohlenstoff und enthält das Roheisen 3 % Kohlenstoff, so beträgt der Kohlenstoffgehalt der Gase pro 1 kg Roheisen

$$p = a + b - 0,03.$$

Setzt man

y = Gewicht des CO in den Gasen, und

$$m = \frac{CO_2}{CO},$$

so ist

my = Gewicht der CO_2 .

Nun ist der Kohlenstoffgehalt von CO und CO_2 zusammen gleich dem Gesamtkohlenstoffgehalte der Gase,²⁾ nämlich:

$$\frac{3}{7}y + \frac{8}{11}my = p$$

und daher

$$y = \frac{77p}{33 + 21m}.$$

Bezeichnet

d den Sauerstoffgehalt des Möllers

x " " " " Windes,

so ist der Sauerstoffgehalt der Gase

$$\frac{4}{7}y + \frac{8}{11}my = d + x,$$

1) Bei geschlossener Gicht und steinernen Winderhitzern lassen sich die Gichtgase weit besser ausnutzen, indem nicht nur der Wind weit höher bis etwa 800° C. erhöht werden kann, sondern die Gichtgase überdies auch zur Dampfkesselfeuerung und zum Betriebe von Röstöfen, in neuester Zeit auch zum Betriebe von Gasmotoren dienen.

2) Wobei man von dem kleinen CH_4 -Gehalte absieht.

und somit der Luftsauerstoff

$$x = \frac{y}{77} (44 + 56 m) - d$$

$$= p \left(\frac{44 + 56 m}{33 + 21 m} \right) - d$$

d berechnet sich aus den Analysen von Roheisen und Möller, oder man geht nach Gruner von einer durchschnittlichen Zusammensetzung des Roheisens (graues Puddelroheisen No. III bis IV der englischen Klassifikation) aus, nämlich:

$$\begin{aligned} Fe &= 0,94 \\ C &= 0,03 \\ Si &= 0,02 \\ \text{Erden, u. s. w.} &= 0,01 \end{aligned}$$

wobei in keinem Falle für die Praxis erhebliche Fehler unterlaufen können. Unter dieser Annahme berechnet sich der Sauerstoffgehalt des Möllers zu:

$$\begin{aligned} d &= \frac{8}{3} b + \frac{8}{7} \times 0,94 + \frac{8}{7} \times 0,02 + \frac{8}{7} \times 0,01 \\ &= \frac{8}{3} b + \frac{1}{7} (2,84 + 0,16 + 0,05) \\ &= \frac{8}{3} b + \frac{1}{7} 3,03 \\ &= \frac{8}{3} b + 0,433. \end{aligned}$$

Die Windmenge ist $= 4,33 x$, deren Stickstoffgehalt $= 3,33 x$, ihr Wassergehalt (im Mittel zu 8 g pro 1 m³ angenommen) $= \frac{8}{1800} = 0,0044$ pro 1 m³, dessen Sauerstoffgehalt $= \frac{8}{9} 0,0044 = 0,0055$ (pro 1 m³ Wind).

Hat man also den zum Betriebe erforderlichen Luftsauerstoff gefunden, und will man nicht, wie oben trockene, sondern mittel-feuchte Luft in Rechnung ziehen, so hat man (wenn man den trockenen Luftsauerstoff mit z bezeichnet)

$$a = z + 0,0055 \times 4,33 z = (1 + 0,0238) z$$

und

$$z = \frac{x}{1,0238} = 0,97677 x$$

und somit:

$$\text{Stickstoffgehalt der feuchten Luft} = 3,33 \times 0,97677 x$$

$$\text{trockene Luft in der feuchten Luft} = 4,33 \times 0,97677 x$$

$$\text{Gewicht der feuchten Luft} = 1,0062 \times 4,33 \times 0,97677 x = 4,33 \times 0,9828.$$

Die im Hochofen produzierte Wärme berechnet sich nach Gruner zu:

$\frac{2}{7} y \times 2473 + (\frac{2}{11} m y - b) \times 8080$ Calorien,
welche sich wie folgt auf die einzelnen Ofenpartien verteilt.

1. An den Düsen:

$$[(a - 0,08) - (0,802 + b - \frac{2}{11} m y)] \times 2473 \text{ Calorien.}$$

2. In der Reduktionszone durch Kohlenstoffoxydation ($CO_2 + C = 2 CO$):

$$(0,802 + b - \frac{2}{11} m y) \times 2473 \text{ Calorien.}$$

3. In der Reduktionszone durch CO_2 -Bildung (nach der Gleichung: $Fe_2O_3 + 3 CO = Fe_2 + 3 CO_2$):

$$[\frac{7}{8} (\frac{2}{11} m y - b)] \times 2402 \text{ Calorien.}$$

Der Hochofengang ist um so günstiger, je grösser $\frac{CO_2}{CO}$ wird, dieser Wert erreicht sein Maximum beim idealen Gange, bei welchem die Reduktion der Erze ausschliesslich durch CO bewirkt wird. Unter der Annahme, dass zur Erzeugung von 1 kg Roheisen ($0,97 Fe + 0,08 C$) 3748 Calorien erforderlich sind und dass durch Erze und Kalksteine 0,072 kg C (als CO_2) in den Ofen gebracht werde, berechnet sich für den idealen Gang:

Zur Reduktion erforderliche Kohlenstoffmenge $= \frac{2}{4} \times \frac{2}{7} \times 0,97 = 0,312$ kg. Totale Verbrennungswärme derselben $= 0,312 \times 8080 = 2521$ Calorien. Es fehlen somit noch 1227 Calorien, um den erforderlichen Wärmeeinsatz zu decken. Um dieselben zu gewinnen, müssen $\frac{1227}{2473} = 0,496$ kg Kohlenstoff zu CO verbrannt werden.

Somit beträgt der Kohlenstoffgehalt der

| | |
|------------------------------|-----------------|
| Gichtgase | 0,312 + 0,072 = |
| (aus dem Kalkstein u. s. w.) | 0,384 kg C |
| als CO_2 , und | 0,396 „ C |
| als CO | |
| zusammen | 0,780 kg C |

Ferner enthalten die Gichtgase beim idealen Gange:

$$CO_2 = \frac{11}{8} \times 0,384 = 1,408 \text{ kg}$$

$$CO = \frac{7}{8} \times 0,496 = 1,157 \text{ „}$$

und es ist

$$\frac{CO_2}{CO} = 1,217.$$

Wendet man diese Berechnung auf das oben gegebene Beispiel an, so hat man:

| | |
|--------------------------------------|----------|
| Kohlenverbrauch pro 1 t Roheisen . . | 937,8 kg |
| Kohlenstoff | 806,24 „ |
| Erz | 2161,8 „ |
| Kalkstein | 227,7 „ |
| Schlacke | 564,0 „ |
| Windtemperatur | 350° C |
| Gastemperatur | 127° C |

Hieraus berechnet sich zunächst pro 1 kg Roheisen:

| | |
|--|--------------------|
| Kohlenstoff des Brennstoffes . . | $a = 0,806$ kg |
| „ „ Kalksteins . . | $b = 0,008$ „ |
| | $a + b = 0,809$ kg |
| Ab Kohlenstoff des Roheisens . . | 0,030 „ |
| Bleibt Kohlenstoff in den Gasen . . | $p = 0,779$ kg |
| Die Gasanalyse ergibt: $\frac{CO_2}{CO} = m = 0,475$ | |

Gasgewicht:

| | |
|--|----------|
| $CO_2 = m \cdot y =$ | 0,581 kg |
| darin Kohlenstoff | 0,159 kg |
| $CO = y = \frac{77 p}{33 + 21 m} =$ | 1,395 „ |
| darin Kohlenstoff | 0,598 „ |
| Luftsauerstoff $x = p \left(\frac{44 + 56 m}{33 + 21 m} \right) - (\frac{1}{2} b + 0,433)$ $= 1,279 - 0,435 = 0,844$ | |
| Trockener Luftsauerstoff $\alpha = 0,97677 x = 0,824$ | |
| Stickstoff $= 3,38 \alpha =$ | 2,744 „ |
| Kohlenstoffsumme | 0,757 kg |
| Wahres Gewicht der Gase | 4,720 kg |
| Wasser der Kohle | 0,096 „ |
| Nassgewicht der Gase | 4,816 kg |

Luftgewicht:

| | |
|--|----------|
| Sauerstoff der trockenen Luft $\alpha =$ | 0,824 kg |
| Stickstoff $N =$ | 2,744 „ |
| Summa | 3,568 kg |
| Feuchtigkeit $= 0,0062 \times 3,568 =$ | 0,022 „ |
| Nassgewicht der Luft | 3,590 kg |
| Windwärme $= 3,590 \times 0,24 \times 350 =$. . | 302 Cal. |

Produzierte Wärme:

| | | |
|--|--------|-----------|
| durch $CO_2: (\frac{2}{11} m \cdot y - b)$ | 8080 = | 1260 Cal. |
| „ $CO: \frac{2}{7} y \times 2473$ | = | 1479 „ |
| | Summa | 2739 Cal. |
| Mithin pro 1 kg Kohlenstoff | | 8632 „ |

Verteilung der Wärmeproduktion:

| | |
|---|------------|
| Reduktionszone: C zu CO | |
| $(0,302 + b - \frac{2}{11} m \cdot y) \times 2473$ | = 361 Cal. |
| Reduktionszone: CO zu CO_2 | |
| $[\frac{1}{2} (\frac{2}{11} m \cdot y - b)] \times 2402$ | = 874 „ |
| An den Düsen: | |
| $[(a - 0,08) - (0,302 + b - \frac{2}{11} m \cdot y)] \times 2473$ | = 1558 „ |
| dazu die Windwärme | 302 „ |
| Totalwärme des Hochofens | 3095 Cal. |

Wärmeverbrauch:

| | |
|-------------------------------|-----------|
| Eisenreduktion und Schmelzung | 2052 Cal. |
| Schlackenschmelzung | 248 „ |
| Kalkzersetzung | 148 „ |
| Wasserverdampfung | 255 „ |
| Gaswärme | 180 „ |
| sonstige Verluste (Differenz) | 212 „ |
| Summa | 3095 Cal. |

Ein Vergleich dieser Werte mit den beim vollständigen Heizversuche ermittelten zeigt, welche Abweichungen durch Anwendung der gekürzten Methode hervorgerufen werden.

C. Cochrane trachtete das Verfahren noch weiter zu vereinfachen. Im folgenden soll ein kurzer Auszug seines beim Meeting der Mechanical Engineers in London gehaltenen Vortrags samt den vereinfachten (und auf metrisches Gewicht umgerechneten) Tabellen gegeben werden.

Jede Ersparnis in den zum Erblasen von 100 kg Roheisen erforderlichen Brennmaterialien hängt von folgenden Bedingungen ab:

1. Von der Temperatur des dem Ofen zugeführten Windes,
2. von der Temperatur der abziehenden Gase,
3. von der Kohlenstoffmenge, welche als CO entweicht, ohne Rückreduktion zu erleiden.

Allgemein gilt, wenigstens bis zu gewissen Grenzen, die oben schon erwähnt wurden:

1. Je heisser der Wind, desto geringer der Brennmaterialeverbrauch,
2. je kälter die abziehenden Gase, desto geringer der Verlust an Brennmateriale, und
3. je grösser das Verhältnis $\frac{CO_2}{CO}$, desto grösser die Ersparnis an Brennmateriale.

Den folgenden Betrachtungen liegt die Annahme eines Roheisens mit 94% *Fe*, 3% *C* und 3% anderen Bestandteilen zu Grunde. Zur Reduktion von 94 kg *Fe* aus *Fe*₂*O*₃ sind 30,215 kg *C* (= 110,77 kg *CO*₂) erforderlich.

Einfluss der Windtemperatur. Die Wärmemenge, welche durch den Wind in den Ofen gelangt, ist vom Gewicht und Temperatur desselben abhängig. Tabelle I enthält in Spalte 3 die diesbezüglichen Angaben, in welchen die Wärmemengen in Gewichtsteilen Kohlenstoff ausgedrückt sind, welche zu *CO* verbrennen müssten, wenn Wind von 0° C. eingeblasen würde. Die spezifische Wärme des Windes ist mit 0,239 und die Bildungswärme von *CO* (bezogen auf 1 Gewichtsteil *C*) mit 2473 Calorien angenommen. Beispiel: Erhöht man die Wärmetemperatur von 316° C. auf 593° C. bei einer Windmenge von 300 kg pro 100 kg Roheisen, so resultiert hieraus eine Kohlenstoffersparnis von $3 \times 5,72 - 3 \times 3,05 = 3 \times 2,67 = 8,01$ kg, wobei noch überdies eine Verminderung des Windquantums um rund 46 kg eintreten würde. Die thatsächliche Ersparung würde somit $2,54 \times 5,72 - 3 \times 3,05 = 14,53 - 9,15 = 5,38$ kg Kohlenstoff betragen. Hätte die verwendete Kohle 66 $\frac{2}{3}$ % Kohlenstoff enthalten, so betrüge die Brennstoffersparnis etwa 8,07 kg.

Einfluss der Gichtgastemperatur. Tabelle I enthält in Spalte 4 die hierdurch verursachten Wärmeverluste in derselben Masse wie oben ausgedrückt. Hierbei wurde die spezifische Wärme der Gichtgase mit 0,237 angenommen.

Die wichtigste Anwendung, welche diese Tabelle finden kann, ist wohl die, dass sie bei einem bestimmten Ofen, dessen Normalzustand der Gichtgase bekannt ist, eine durch Versetzungen u. s. w. entstandene Unregelmässigkeit anzeigt. In dergleichen Fällen zeigt die Tabelle, dass der Hochofen eine Verringerung seiner Leistungsfähigkeit erlitten hat.

Tabelle I. Wärmemengen, welche durch 100 kg Wind und Gichtgase von verschiedenen Temperaturen dem Hochofen zugeführt, bezw. entzogen werden, ausgedrückt durch die zu deren Erzeugung erforderlichen Kilogramme Kohlenstoff, wenn er zu CO verbrennt.

| Temperatur in | | 100 kg Wind | 100 kg Gichtgase |
|---------------|------|--|------------------|
| | | nebenstehender Temperatur | |
| | | bringen mit sich | entführen |
| °C. | °F. | eine Wärmemenge, entsprechend der Verbrennung von kg Kohlenstoff zu Kohlenoxyd | |
| 10 | 50 | 0,10 | — |
| 38 | 100 | 0,35 | — |
| 66 | 150 | 0,65 | — |
| 98 | 200 | 0,90 | — |
| 121 | 250 | 1,17 | 1,16 |
| 149 | 300 | 1,44 | 1,43 |
| 177 | 350 | 1,82 | 1,70 |
| 204 | 400 | 1,97 | 1,97 |
| 232 | 450 | 2,24 | 2,22 |
| 260 | 500 | 2,51 | 2,49 |
| 288 | 550 | 2,79 | 2,76 |
| 316 | 600 | 3,05 | 3,03 |
| 344 | 650 | 3,32 | 3,30 |
| 371 | 700 | 3,59 | 3,56 |
| 399 | 750 | 3,86 | 3,82 |
| 427 | 800 | 4,13 | 4,09 |
| 454 | 850 | 4,39 | 4,35 |
| 482 | 900 | 4,66 | 4,62 |
| 510 | 950 | 4,93 | 4,89 |
| 538 | 1000 | 5,20 | 5,16 |
| 566 | 1050 | 5,47 | — |
| 593 | 1100 | 5,72 | — |
| 621 | 1150 | 6,00 | — |
| 649 | 1200 | 6,27 | — |
| 677 | 1250 | 6,54 | — |
| 707 | 1300 | 6,81 | — |
| 732 | 1350 | 7,07 | — |
| 760 | 1400 | 7,35 | — |
| 788 | 1450 | 7,61 | — |
| 816 | 1500 | 7,88 | — |
| 843 | 1550 | 8,15 | — |
| 871 | 1600 | 8,41 | — |

Der Einfluss der Reduktion ist der wichtigste, wie aus der Vergleichung der Verbrennungswärme von 1 kg C zu CO

(2473) und CO_2 (8080 Cal.) hervorgeht; es liefert nämlich 1 kg zu CO_2 verbrannter Kohlenstoff soviel Wärme, wie 3,27 kg zu CO verbrannter Kohlenstoff.

Tabelle II enthält nun den Kohlenstoffverbrauch pro 100 kg Roheisen und das Verhältnis $\frac{CO_2}{CO}$ sowohl für ideale Hochöfen (bei welchen keine Rückreduktion stattfindet) als für solche, in welchen $2\frac{1}{2}$, 5, $7\frac{1}{2}$, 10, $12\frac{1}{2}$ und 15 kg Kohlenstoff von CO_2 zu CO rückreduziert werden, was die Bedeutung der Gichtgasanalysen klar vor Augen führt. Hierbei wurde ein Kalkzuschlag von 62,5 kg (mit 27,5 kg CO_2) pro 100 kg Roheisen angenommen, so dass sich der CO_2 -Gehalt der Gase (bei idealem Gange) zu $110,77 + 27,50 = 137,27$ kg berechnet.

Tabelle II zeigt, dass sich aus dem Verhältnisse $\frac{CO_2}{CO}$ in den Gichtgasen der Kohlenstoffverbrauch nicht ableiten lässt. Die Verhältniszahl $\frac{CO_2}{CO} = 0,61$ könnte ebensogut vom idealen Betriebe mit 130 kg Kohlenverbrauch, als bei Rückreduktion von 2,5 kg C und 120,65 kg Kohlenverbrauch, oder bei Rückreduktion von 5 kg C und 111 kg Kohlenverbrauch u. s. w. herrühren.

Betrachtet man jedoch die Gasanalyse im Zusammenhang mit dem Kohlenverbrauche und anderen gleichzeitigen Umständen, so wird sie unschätzbar. Um dies deutlich zu machen, sowie um aus den erwähnten Daten ohne langwierige Rechnung Nutzen ziehen zu können, dient Tabelle III, welche den Koksverbrauch pro 100 kg Roheisen, den CO_2 -, CO - und N_2 -Gehalt der Gichtgase, die Menge des von Roheisen, sowie durch Rückreduktion von CO_2 absorbierten Kohlenstoffes, die vor den Formen zu verbrennende Kohlenstoffmenge, sowie den Sauerstoff- und Stickstoffgehalt des Windes für idealen Gang und bei Rückreduktion von $2\frac{1}{2}$, 5, $7\frac{1}{2}$, 10, $12\frac{1}{2}$ und 15 kg C enthält.

Tabelle II.

| C werden von CO_2 zu CO rückreduziert; hieraus berechnet sich der Mehrbedarf an C zur Ausgleichung des Wärmeverlustes | | | | | | | | | |
|---|--------------------------|-------------------------|--------------------------|-------------------------|--------------------------|-------------------------|--------------------------|-------------------------|--------------------------|
| C in CO_2 aus $Fe_2O_3 =$ | | | | | | | | | |
| | 2,5 kg | 5,0 kg | 7,5 kg | 10,0 kg | 12,5 kg | 15,0 kg | | | |
| Idealer Hochofen (kein CO_2 wird zu CO rückreduziert); im Roheisen: 3% C; C im $CaCO_3 = 7,5$ kg; C im CO_2 aus $Fe_2O_3 = 80,215$ kg | 27,715 kg | 25,215 kg | 22,715 kg | 20,215 kg | 17,715 kg | 15,215 kg | | | |
| C pro 100 kg Roheisen | CO_2 $\frac{CO_2}{CO}$ | C pro 100 kg Roheisen | CO_2 $\frac{CO_2}{CO}$ | C pro 100 kg Roheisen | CO_2 $\frac{CO_2}{CO}$ | C pro 100 kg Roheisen | CO_2 $\frac{CO_2}{CO}$ | C pro 100 kg Roheisen | CO_2 $\frac{CO_2}{CO}$ |
| 50 | 3,53 | 55,65 | 2,22 | 1,55 | 67,0 | 1,15 | 72,65 | 78,35 | 0,69 |
| 55 | 2,72 | 60,65 | 1,85 | 1,35 | 72,0 | 1,03 | 76,65 | 83,35 | 0,63 |
| 60 | 2,21 | 65,65 | 1,58 | 1,19 | 77,0 | 0,92 | 82,65 | 88,35 | 0,59 |
| 65 | 1,86 | 70,65 | 1,38 | 1,07 | 82,0 | 0,84 | 86,65 | 93,35 | 0,54 |
| 70 | 1,61 | 75,65 | 1,23 | 0,97 | 87,0 | 0,77 | 92,65 | 98,35 | 0,51 |
| 75 | 1,41 | 80,65 | 1,11 | 0,88 | 92,0 | 0,72 | 96,65 | 103,35 | 0,47 |
| 80 | 1,27 | 85,65 | 1,01 | 0,81 | 97,0 | 0,66 | 102,65 | 108,35 | 0,45 |
| 85 | 1,14 | 90,65 | 0,92 | 0,76 | 102,0 | 0,62 | 106,65 | 113,35 | 0,43 |
| 90 | 1,04 | 95,65 | 0,85 | 0,70 | 107,0 | 0,58 | 112,65 | 118,35 | 0,40 |
| 95 | 0,96 | 100,65 | 0,80 | 0,66 | 112,0 | 0,55 | 116,65 | 123,35 | 0,38 |
| 100 | 0,89 | 105,65 | 0,74 | 0,62 | 117,0 | 0,52 | 122,65 | 128,35 | 0,37 |
| 105 | 0,83 | 110,65 | 0,70 | 0,58 | 122,0 | 0,49 | 126,65 | 133,35 | 0,35 |
| 110 | 0,77 | 115,65 | 0,65 | 0,55 | 127,0 | 0,47 | 132,65 | 138,35 | 0,34 |
| 115 | 0,72 | 120,65 | 0,61 | 0,52 | 132,0 | 0,45 | 136,65 | 143,35 | 0,32 |
| 120 | 0,68 | 125,65 | 0,58 | 0,49 | 137,0 | 0,43 | 142,65 | 148,35 | 0,31 |
| 125 | 0,64 | 130,65 | 0,55 | 0,47 | 142,0 | 0,41 | 146,65 | 153,35 | 0,30 |
| 130 | 0,61 | 135,65 | 0,52 | 0,45 | 147,0 | 0,39 | 152,65 | 158,35 | 0,29 |
| 135 | 0,58 | 140,65 | 0,50 | 0,44 | 152,0 | 0,38 | 156,65 | 163,35 | 0,28 |
| 140 | 0,55 | 145,65 | 0,48 | 0,42 | 157,0 | 0,36 | 162,65 | 168,35 | 0,27 |
| 145 | 0,53 | 150,65 | 0,46 | 0,40 | 162,0 | 0,35 | 166,65 | 173,35 | 0,26 |
| 150 | 0,51 | 155,65 | 0,44 | 0,38 | 167,0 | 0,34 | 172,65 | 178,35 | 0,25 |
| 155 | 0,49 | 160,65 | 0,42 | 0,37 | 172,0 | 0,32 | 176,65 | 183,35 | 0,24 |
| 160 | 0,47 | 165,65 | 0,41 | 0,36 | 177,0 | 0,31 | 182,65 | 188,35 | 0,23 |
| 165 | 0,45 | 170,65 | 0,39 | 0,35 | 182,0 | 0,30 | 186,65 | 193,35 | 0,23 |
| 170 | 0,43 | 175,65 | 0,38 | 0,34 | 187,0 | 0,29 | 192,65 | 198,35 | 0,22 |

Tabelle III. Wind- und Gichtgasmengen pro 100 kg erzeugtes Roheisen mit 3% C.

| C pro 100 kg Roheisen | | Gichtgase | | | | Absorbierter Kohlensstoff | C, für den durch den Wind Sauerstoff au- geführt werden muss | Wind | | |
|--------------------------|--|-----------------|----|---|-------|------------------------------|--|-----------|-----------|------------------|
| in idealen Hochöfen | bei Rück- reduktion der unten ge- gebenen Menge | CO ₂ | CO | N | Summe | | | O = 1/2 C | N = 3/2 O | Summe = O + N |

A. Ideale Hochöfen.

| | | | | | | | | |
|-----|---|--------|--------|---------|-------|--------|--------|--------|
| 50 | — | 39,15 | 208,60 | 386,00 | 47,0 | 62,65 | 208,60 | 271,25 |
| 55 | — | 50,80 | 230,95 | 420,00 | 52,0 | 69,35 | 230,95 | 300,30 |
| 60 | — | 62,50 | 253,10 | 453,85 | 57,0 | 76,00 | 253,10 | 329,10 |
| 65 | — | 74,15 | 275,20 | 487,60 | 62,0 | 82,65 | 275,20 | 357,85 |
| 70 | — | 85,80 | 297,55 | 521,65 | 67,0 | 89,35 | 297,55 | 386,90 |
| 75 | — | 97,50 | 319,70 | 555,40 | 72,0 | 96,00 | 319,70 | 415,17 |
| 80 | — | 109,15 | 341,80 | 589,20 | 77,0 | 102,65 | 341,80 | 444,45 |
| 85 | — | 120,75 | 364,15 | 623,15 | 82,0 | 109,35 | 364,15 | 479,50 |
| 90 | — | 132,35 | 386,25 | 657,15 | 87,0 | 116,00 | 386,25 | 502,25 |
| 95 | — | 144,20 | 408,45 | 690,90 | 92,0 | 122,65 | 408,45 | 531,10 |
| 100 | — | 155,35 | 430,55 | 724,65 | 97,0 | 129,35 | 430,55 | 559,90 |
| 105 | — | 167,55 | 452,70 | 758,50 | 102,0 | 136,00 | 452,70 | 588,70 |
| 110 | — | 179,20 | 475,00 | 792,45 | 107,0 | 142,65 | 475,00 | 617,65 |
| 115 | — | 190,35 | 497,20 | 826,30 | 112,0 | 149,35 | 497,20 | 646,55 |
| 120 | — | 202,55 | 519,40 | 860,30 | 117,0 | 156,00 | 519,40 | 675,40 |
| 125 | — | 214,20 | 541,60 | 894,50 | 122,0 | 162,65 | 541,60 | 704,25 |
| 130 | — | 225,35 | 563,80 | 927,90 | 127,0 | 169,35 | 563,80 | 733,15 |
| 135 | — | 237,55 | 586,00 | 961,80 | 132,0 | 176,00 | 586,00 | 762,00 |
| 140 | — | 249,20 | 608,20 | 995,65 | 137,0 | 182,65 | 608,20 | 790,85 |
| 145 | — | 260,35 | 630,40 | 1029,50 | 142,0 | 189,35 | 630,40 | 819,75 |
| 150 | — | 272,55 | 652,60 | 1063,50 | 147,0 | 196,00 | 652,60 | 848,60 |
| 155 | — | 284,20 | 674,80 | 1097,25 | 152,0 | 202,65 | 674,80 | 877,45 |
| 160 | — | 295,35 | 697,00 | 1131,10 | 157,0 | 209,35 | 697,00 | 906,95 |
| 165 | — | 307,65 | 719,20 | 1165,10 | 162,0 | 216,00 | 719,20 | 935,20 |
| 170 | — | 319,20 | 741,40 | 1198,85 | 167,0 | 222,65 | 741,40 | 964,05 |
| 175 | — | 330,85 | 763,60 | 1232,70 | 172,0 | 229,35 | 763,60 | 992,95 |

B. Bei Rückreduktion von 2,5 kg C.

| | | | | | | | | |
|-----|--------|--------|--------|--------|--------|--------|--------|--------|
| 50 | 55,65 | 58,20 | 222,60 | 409,90 | 50,15 | 66,85 | 222,60 | 289,45 |
| 55 | 60,65 | 69,85 | 244,90 | 443,85 | 55,15 | 73,55 | 244,90 | 318,45 |
| 60 | 65,65 | 81,50 | 267,05 | 477,65 | 60,15 | 80,20 | 267,05 | 347,25 |
| 65 | 70,65 | 93,50 | 289,20 | 511,45 | 65,15 | 86,85 | 289,20 | 376,05 |
| 70 | 75,65 | 104,85 | 311,50 | 545,45 | 70,15 | 93,55 | 311,50 | 405,05 |
| 75 | 80,65 | 116,50 | 333,65 | 579,25 | 75,15 | 100,20 | 333,65 | 433,85 |
| 80 | 85,65 | 128,20 | 355,80 | 613,10 | 80,15 | 106,85 | 355,80 | 462,65 |
| 85 | 90,65 | 139,80 | 378,10 | 647,00 | 85,15 | 113,55 | 378,10 | 491,65 |
| 90 | 95,65 | 151,70 | 400,25 | 681,05 | 90,15 | 120,20 | 400,25 | 520,45 |
| 95 | 100,65 | 163,25 | 422,40 | 714,75 | 95,15 | 126,85 | 422,40 | 549,25 |
| 100 | 105,65 | 174,90 | 444,70 | 748,70 | 100,15 | 133,55 | 444,70 | 578,25 |
| 105 | 110,65 | 186,60 | 466,85 | 782,55 | 105,15 | 140,20 | 466,85 | 607,05 |
| 110 | 115,65 | 198,25 | 489,00 | 816,35 | 110,15 | 146,85 | 489,00 | 635,85 |
| 115 | 120,65 | 209,90 | 511,30 | 850,30 | 115,15 | 153,55 | 511,30 | 664,85 |
| 120 | 125,65 | 221,70 | 533,45 | 884,25 | 120,15 | 160,20 | 533,45 | 693,65 |

| C pro 100 kg Roheisen | | Gichtgase | | | | Absorbierter Kohlenstoff C, für den durch den Wind Sauerstoff zu- geführt werden muss | Wind | | |
|--------------------------|--|-----------------|----|---|-------|---|---------------------|----------------------|------------------|
| in idealen Hochofen | bei Rück- reduktion der unten ge- gebenen Menge | CO ₂ | CO | N | Summe | | O = $\frac{1}{2}$ C | N = $3\frac{1}{2}$ O | Summe = O + N |

B. Bei Rückreduktion von 2,5 kg C.

| | | | | | | | | |
|-----|--------|--------|--------|---------|--------|--------|--------|--------|
| 125 | 130,65 | 283,25 | 555,60 | 917,95 | 125,15 | 166,85 | 555,60 | 722,45 |
| 130 | 135,65 | 244,90 | 577,90 | 951,90 | 130,15 | 173,55 | 577,90 | 751,45 |
| 135 | 140,65 | 256,60 | 600,05 | 985,75 | 135,15 | 180,20 | 600,05 | 780,25 |
| 140 | 145,65 | 268,25 | 622,20 | 1019,55 | 140,15 | 186,85 | 622,20 | 809,05 |
| 145 | 150,65 | 279,90 | 644,50 | 1053,50 | 145,15 | 193,55 | 644,50 | 838,05 |
| 150 | 155,65 | 291,70 | 666,65 | 1087,45 | 150,15 | 200,20 | 666,65 | 866,85 |
| 155 | 160,65 | 303,25 | 688,80 | 1121,15 | 155,15 | 206,85 | 688,80 | 895,65 |
| 160 | 165,65 | 314,95 | 711,10 | 1155,15 | 160,15 | 213,55 | 710,10 | 924,65 |
| 165 | 170,65 | 326,70 | 733,25 | 1189,05 | 165,15 | 220,20 | 733,25 | 953,45 |
| 170 | 175,65 | 338,25 | 755,40 | 1222,75 | 170,15 | 226,85 | 755,40 | 982,25 |

C. Bei Rückkohlung von 5 kg C.

| | | | | | | | | |
|-----|-------|--------|--------|---------|-------|--------|--------|--------|
| 50 | 61,3 | 77,20 | 286,60 | 433,70 | 53,3 | 71,05 | 286,60 | 307,65 |
| 55 | 66,3 | 88,25 | 258,90 | 467,65 | 58,3 | 77,75 | 258,90 | 336,65 |
| 60 | 71,3 | 100,55 | 281,05 | 501,50 | 63,3 | 84,40 | 281,05 | 365,45 |
| 65 | 76,3 | 112,20 | 303,15 | 535,25 | 68,3 | 91,05 | 303,15 | 394,20 |
| 70 | 81,3 | 123,85 | 325,50 | 569,25 | 73,3 | 97,75 | 325,50 | 423,25 |
| 75 | 86,3 | 135,55 | 347,65 | 603,10 | 78,3 | 104,40 | 347,65 | 452,05 |
| 80 | 91,3 | 147,20 | 369,95 | 637,05 | 83,3 | 111,10 | 369,95 | 481,05 |
| 85 | 96,3 | 158,80 | 392,10 | 670,80 | 88,3 | 117,75 | 392,10 | 509,85 |
| 90 | 101,3 | 170,70 | 414,25 | 704,85 | 93,3 | 124,40 | 414,25 | 538,65 |
| 95 | 106,3 | 182,25 | 436,35 | 738,50 | 98,3 | 131,05 | 436,35 | 567,40 |
| 100 | 111,3 | 193,90 | 458,65 | 772,45 | 103,3 | 137,75 | 458,65 | 596,40 |
| 105 | 116,3 | 205,60 | 480,85 | 806,35 | 108,3 | 144,40 | 480,85 | 625,25 |
| 110 | 121,3 | 217,25 | 502,95 | 840,10 | 113,3 | 151,05 | 502,95 | 654,00 |
| 115 | 126,3 | 228,90 | 525,30 | 874,10 | 118,3 | 157,75 | 525,30 | 683,05 |
| 120 | 131,3 | 240,70 | 547,45 | 908,05 | 123,3 | 164,40 | 547,45 | 711,85 |
| 125 | 136,3 | 252,25 | 569,55 | 941,70 | 128,3 | 171,05 | 569,55 | 740,60 |
| 130 | 141,3 | 263,90 | 591,90 | 975,70 | 133,3 | 177,75 | 591,90 | 769,65 |
| 135 | 146,3 | 275,60 | 614,05 | 1009,55 | 138,3 | 184,40 | 614,05 | 798,45 |
| 140 | 151,3 | 287,25 | 636,15 | 1043,30 | 143,3 | 191,05 | 636,15 | 827,20 |
| 145 | 156,3 | 298,90 | 658,50 | 1077,30 | 148,3 | 197,75 | 658,50 | 856,25 |
| 150 | 161,3 | 310,70 | 680,65 | 1111,25 | 153,3 | 204,40 | 680,65 | 885,05 |
| 155 | 166,3 | 322,25 | 702,75 | 1144,90 | 158,3 | 211,05 | 702,75 | 913,80 |
| 160 | 171,3 | 333,90 | 725,10 | 1178,90 | 163,3 | 217,55 | 725,10 | 942,85 |
| 165 | 176,3 | 345,70 | 747,25 | 1212,85 | 168,3 | 224,40 | 747,25 | 971,85 |

D. Bei Rückkohlung von 7,5 kg C.

| | | | | | | | | |
|----|------|--------|--------|--------|------|--------|--------|--------|
| 50 | 67,0 | 96,35 | 250,90 | 458,00 | 56,5 | 76,85 | 250,90 | 326,25 |
| 55 | 72,0 | 108,05 | 273,05 | 491,85 | 61,5 | 82,00 | 273,05 | 355,05 |
| 60 | 77,0 | 119,70 | 295,20 | 525,65 | 66,5 | 88,65 | 295,20 | 383,85 |
| 65 | 82,0 | 131,35 | 317,50 | 559,60 | 71,5 | 95,35 | 317,50 | 412,85 |
| 70 | 87,0 | 143,05 | 339,65 | 593,45 | 76,5 | 102,00 | 339,65 | 441,65 |
| 75 | 92,0 | 154,70 | 361,80 | 627,25 | 81,5 | 108,65 | 361,80 | 470,45 |

| C pro 100 kg Roheisen | | Gichtgase | | | | Absorbierter Kohlenstoff | C, für den durch den Wind Sauerstoff zu- geführt werden muss | Wind | | |
|--------------------------|--|-----------------|----|---|-------|-----------------------------|--|----------|----------|------------------|
| in idealen Hochöfen | bei Rück- reduktion der unten ge- gebenen Menge | CO ₂ | CO | N | Summe | | | O = 4% C | N = 8% O | Summe = O + N |

D. Bei Rückkohlung von 7,5 kg C.

| | | | | | | | | | | |
|-----|-------|--------|--------|--------|---------|---------------------|-------|--------|--------|--------|
| 80 | 97,0 | 110,75 | 166,30 | 384,10 | 661,15 | 8,0 + 7,5 = 10,5 kg | 86,5 | 115,35 | 384,10 | 499,45 |
| 85 | 102,0 | | 177,90 | 406,25 | 694,90 | | 91,5 | 122,00 | 406,25 | 528,25 |
| 90 | 107,0 | | 189,80 | 428,40 | 728,95 | | 96,5 | 128,65 | 428,40 | 557,05 |
| 95 | 112,0 | | 201,85 | 450,70 | 762,80 | | 101,5 | 135,35 | 450,70 | 586,05 |
| 100 | 117,0 | | 213,00 | 472,85 | 796,60 | | 106,5 | 142,00 | 472,85 | 614,85 |
| 105 | 122,0 | | 224,70 | 495,00 | 830,45 | | 111,5 | 148,65 | 495,00 | 643,65 |
| 110 | 127,0 | | 236,35 | 517,30 | 864,40 | | 116,5 | 155,35 | 517,30 | 672,65 |
| 115 | 132,0 | | 248,00 | 539,45 | 898,20 | | 121,5 | 162,00 | 539,45 | 701,45 |
| 120 | 137,0 | | 259,80 | 561,70 | 932,50 | | 126,5 | 168,65 | 561,60 | 730,25 |
| 125 | 142,0 | | 271,35 | 583,90 | 966,00 | | 131,5 | 175,35 | 583,90 | 759,25 |
| 130 | 147,0 | | 283,00 | 606,05 | 999,80 | | 136,5 | 182,00 | 606,05 | 788,05 |
| 135 | 152,0 | | 294,70 | 628,20 | 1033,65 | | 141,5 | 188,65 | 628,20 | 816,85 |
| 140 | 157,0 | | 306,30 | 650,50 | 1067,55 | | 146,5 | 195,35 | 650,50 | 845,85 |
| 145 | 162,0 | | 317,95 | 672,65 | 1101,35 | | 151,5 | 202,00 | 672,65 | 874,65 |
| 150 | 167,0 | | 329,65 | 694,80 | 1135,20 | | 156,5 | 208,65 | 694,80 | 903,45 |
| 155 | 172,0 | | 341,30 | 717,10 | 1169,15 | | 161,5 | 215,35 | 717,10 | 932,45 |
| 160 | 177,0 | | 352,95 | 739,25 | 1202,95 | | 166,5 | 222,00 | 739,25 | 961,25 |

E. Bei der Rückkohlung von 10 kg C.

| | | | | | | | | | | |
|-----|--------|-------|--------|--------|---------|----------------------|--------|--------|--------|--------|
| 50 | 72,65 | 101,6 | 115,40 | 264,90 | 481,90 | 8,0 + 10,0 = 18,0 kg | 59,65 | 79,55 | 264,90 | 344,45 |
| 55 | 77,65 | | 127,05 | 287,00 | 515,65 | | 64,65 | 86,20 | 287,00 | 379,70 |
| 60 | 82,65 | | 138,75 | 309,20 | 549,55 | | 69,65 | 92,85 | 309,20 | 402,05 |
| 65 | 87,65 | | 150,40 | 331,50 | 583,50 | | 74,65 | 99,55 | 331,50 | 431,05 |
| 70 | 92,65 | | 162,05 | 353,65 | 617,30 | | 79,65 | 106,20 | 353,65 | 459,85 |
| 75 | 97,65 | | 173,70 | 375,80 | 651,10 | | 84,65 | 112,85 | 375,80 | 488,65 |
| 80 | 102,65 | | 185,35 | 398,10 | 685,05 | | 89,65 | 119,55 | 398,10 | 517,65 |
| 85 | 107,65 | | 196,95 | 420,25 | 718,80 | | 94,65 | 126,20 | 420,25 | 546,45 |
| 90 | 112,65 | | 208,85 | 442,40 | 752,85 | | 99,65 | 132,85 | 442,40 | 575,25 |
| 95 | 117,65 | | 220,40 | 464,70 | 786,70 | | 104,65 | 139,55 | 464,70 | 604,25 |
| 100 | 122,65 | | 232,05 | 486,85 | 820,50 | | 109,65 | 146,20 | 486,85 | 633,05 |
| 105 | 127,65 | | 243,75 | 509,00 | 854,35 | | 114,65 | 152,85 | 509,00 | 661,85 |
| 110 | 132,65 | | 255,40 | 531,30 | 888,30 | | 119,65 | 159,55 | 531,30 | 690,85 |
| 115 | 137,65 | | 267,05 | 553,45 | 921,10 | | 124,65 | 166,20 | 553,45 | 719,65 |
| 120 | 142,65 | | 278,85 | 575,60 | 956,05 | | 129,65 | 172,85 | 575,60 | 748,45 |
| 125 | 147,65 | | 290,35 | 597,90 | 989,85 | | 134,65 | 179,55 | 597,90 | 777,45 |
| 130 | 152,65 | | 302,00 | 620,05 | 1023,65 | | 139,65 | 186,20 | 620,05 | 806,25 |
| 135 | 157,65 | | 313,65 | 642,15 | 1057,40 | | 144,65 | 192,85 | 642,15 | 835,05 |
| 140 | 162,65 | | 325,30 | 664,50 | 1091,40 | | 149,65 | 199,55 | 664,50 | 864,05 |
| 145 | 167,65 | | 337,00 | 686,60 | 1125,20 | | 154,65 | 206,20 | 686,60 | 892,80 |
| 150 | 172,65 | | 348,65 | 708,75 | 1159,00 | | 159,65 | 212,85 | 708,75 | 921,60 |
| 155 | 177,65 | | 360,30 | 731,10 | 1193,00 | | 164,65 | 219,55 | 731,10 | 950,65 |

| C pro 100 kg Roheisen | in idealen Hochofen bei Rück- reduktion der unten ge- gebenen Menge | Gichtgase | | | | Absorbierter Kohlenstoff | C, für den durch den Wind Sauerstoff zu- geführt werden muss | Wind | | |
|--------------------------|--|-----------------|----|---|-------|-----------------------------|--|---------------------|---------------------|------------------|
| | | CO ₂ | CO | N | Summe | | | O = $\frac{1}{2}$ C | N = $\frac{8}{3}$ O | Summe = O + N |

F. Reduktion von 12,5 kg C.

| | | | | | | | | |
|-----|--------|--------|--------|---------|--------|--------|--------|--------|
| 50 | 78,35 | 184,50 | 279,05 | 505,95 | 62,85 | 88,80 | 279,05 | 362,85 |
| 55 | 83,35 | 146,20 | 301,20 | 539,80 | 67,85 | 90,45 | 301,20 | 391,65 |
| 60 | 88,35 | 157,85 | 323,50 | 573,75 | 72,85 | 97,15 | 323,50 | 420,65 |
| 65 | 93,35 | 169,50 | 345,65 | 607,55 | 77,85 | 103,80 | 345,65 | 449,45 |
| 70 | 98,35 | 181,20 | 367,80 | 641,40 | 82,85 | 110,45 | 367,80 | 478,25 |
| 75 | 103,35 | 192,85 | 390,10 | 675,35 | 87,85 | 117,15 | 390,10 | 507,25 |
| 80 | 108,35 | 204,45 | 412,25 | 709,10 | 92,85 | 123,80 | 412,25 | 536,05 |
| 85 | 113,35 | 216,05 | 434,40 | 742,85 | 97,85 | 130,45 | 434,40 | 564,85 |
| 90 | 118,35 | 227,95 | 456,55 | 776,90 | 102,85 | 137,10 | 456,55 | 593,65 |
| 95 | 123,35 | 239,50 | 478,85 | 810,75 | 107,85 | 143,80 | 478,85 | 622,65 |
| 100 | 128,35 | 251,15 | 501,00 | 844,55 | 112,85 | 150,45 | 501,00 | 651,45 |
| 105 | 133,35 | 262,85 | 523,15 | 878,40 | 117,85 | 157,10 | 523,15 | 680,25 |
| 110 | 138,35 | 274,50 | 545,45 | 912,35 | 122,85 | 163,80 | 545,45 | 709,25 |
| 115 | 143,35 | 286,15 | 567,60 | 946,15 | 127,85 | 170,45 | 567,60 | 738,05 |
| 120 | 148,35 | 297,80 | 589,90 | 980,10 | 132,85 | 177,15 | 589,90 | 767,05 |
| 125 | 153,35 | 309,45 | 612,05 | 1013,90 | 137,85 | 183,80 | 612,05 | 796,85 |
| 130 | 158,35 | 321,15 | 634,20 | 1047,57 | 142,85 | 190,45 | 634,20 | 824,65 |
| 135 | 163,35 | 332,80 | 656,50 | 1081,70 | 147,85 | 197,15 | 656,50 | 853,65 |
| 140 | 168,35 | 344,45 | 678,65 | 1115,50 | 152,85 | 203,80 | 678,65 | 882,45 |
| 145 | 173,35 | 356,10 | 700,80 | 1149,30 | 157,85 | 210,45 | 700,80 | 911,25 |

3,0 + 12,5 = 15,5 kg

G. Bei Rückkohlung von 15 kg C.

| | | | | | | | | |
|-----|-------|--------|--------|---------|--------|--------|--------|--------|
| 50 | 84,0 | 153,55 | 239,05 | 529,85 | 66,00 | 88,00 | 239,05 | 381,05 |
| 55 | 89,0 | 165,20 | 315,20 | 563,65 | 71,00 | 94,65 | 315,20 | 409,85 |
| 60 | 94,0 | 176,85 | 337,50 | 597,60 | 76,00 | 101,35 | 337,50 | 438,85 |
| 65 | 99,0 | 188,55 | 359,65 | 631,45 | 81,00 | 108,00 | 359,65 | 467,65 |
| 70 | 104,0 | 200,20 | 381,80 | 665,25 | 86,00 | 114,65 | 381,80 | 496,45 |
| 75 | 109,0 | 211,85 | 404,10 | 699,20 | 91,00 | 121,35 | 404,10 | 525,45 |
| 80 | 114,0 | 223,50 | 426,25 | 733,00 | 96,00 | 128,00 | 426,25 | 554,25 |
| 85 | 119,0 | 235,10 | 448,40 | 766,75 | 101,00 | 134,65 | 448,40 | 583,05 |
| 90 | 124,0 | 246,80 | 470,70 | 800,75 | 106,00 | 141,35 | 470,70 | 612,05 |
| 95 | 129,0 | 258,55 | 492,85 | 834,65 | 111,00 | 148,00 | 492,85 | 640,85 |
| 100 | 134,0 | 270,15 | 514,95 | 868,35 | 116,00 | 154,65 | 514,95 | 669,60 |
| 105 | 139,0 | 281,80 | 537,30 | 902,35 | 121,00 | 161,35 | 537,30 | 698,65 |
| 110 | 144,0 | 293,45 | 559,45 | 936,15 | 126,00 | 168,00 | 559,45 | 727,45 |
| 115 | 149,0 | 305,15 | 581,60 | 970,00 | 131,00 | 174,65 | 581,60 | 756,25 |
| 120 | 154,0 | 316,80 | 604,00 | 1004,05 | 136,00 | 181,35 | 604,00 | 785,35 |
| 125 | 159,0 | 328,45 | 626,05 | 1037,75 | 141,00 | 188,00 | 626,05 | 814,05 |
| 130 | 164,0 | 340,15 | 648,20 | 1071,60 | 146,00 | 194,65 | 648,20 | 842,85 |
| 135 | 169,0 | 351,80 | 670,50 | 1105,55 | 151,00 | 201,35 | 670,50 | 871,85 |
| 140 | 174,0 | 363,45 | 692,65 | 1139,35 | 156,00 | 208,00 | 692,65 | 900,65 |
| 145 | 179,0 | 375,10 | 714,75 | 1173,10 | 161,00 | 214,65 | 714,75 | 929,40 |

3,0 + 15,0 = 18,0 kg

Diese Tabelle bietet nun die Möglichkeit, für den Gang eines jeden Hochofens, vorausgesetzt, dass er auf Clevelander Erze mit 41—42% Eisengehalt in geröstetem Zustande und einem Schlacken-falle von ca. 150 kg Schlacke pro Meterzentner Roheisen geht, einen Normalbetrieb festzustellen und hiernach den Unterschied gegen einen unter idealen Verhältnissen arbeitenden Hochofen zu be-stimmen. Um ein Beispiel herauszugreifen, gab der Hochofen No. 3 (20454 Kubikfuss Rauminhalt) der Ormesby-Eisenwerke (Tabelle IV) das Verhältnis

$$\frac{CO_2}{CO} = 0,424.$$

Die Windtemperatur betrug 700° C., die der Gichtgase 340° C., der Kohlenstoffgehalt der Kohle 109,90 kg. Der Tabelle II zufolge entspricht die Verhältniszahl 0,424 einer ganzen Reihe von unter verschiedenen Verhältnissen arbeitenden Hochofen. Ziehen wir indes den Kohlenstoffverbrauch von 109,90 kg in Betracht, so ergibt sich sofort, dass die in den vorletzten Hauptreihen angegebenen Ziffern 0,45 für die Verhältniszahl, und 108,35 für den Kohlenstoffverbrauch die am nächsten stehenden sind; mit anderen Worten, dass unser Hochofen unter Bedingungen ar-beitet, welche eine Rückreduktion von 12,5 kg C. aus CO₂ zu CO gestatten, während der korrespondierende ideale Hochofen, bei welchem diese Rückreduktion nicht stattgefunden hätte, nur 80 kg C beanspruchen würde. Der entstehende Verlust beziffert sich daher auf 109,90 — 80 = 29,90 kg C, welche man ersparen könnte, wenn es gelänge die Rückreduktion zu vermeiden.

Um die Verhältnisse der Tabellen I, II und III beurteilen zu können, sind in Tabelle IV eingehende Betriebsangaben mehrerer Werke zusammengestellt und daraus mit Hilfe der ersten Tabellen die Wärmewerte berechnet.

Tabelle IV. Betriebsverhältnisse einiger Hochofen.

| Datum u. Nummer des Ofens | November 1881 | | Mai 1882 No. 1 u. 2 (Mittel) | Mai 1882 No. 3 u. 4 (Mittel) | November 1881 No. 4 |
|---|--|--|------------------------------------|------------------------------------|---------------------------|
| | No. 2 | No. 3 | | | |
| Rauminhalt in Kubikfuss (engl.) | 35013 | 20454 | 33400 + 35013 2 = 34206 | 20454 | 20454 |
| Chemische Zu- sammensetzung der Gichtgase | CO ₂ CO H ₂ N ₂ | CO ₂ CO H ₂ N ₂ | — | — | — |
| Gewichtsproz. | 18,36 26,06 0,07 54,51 | 13,42 51,66 0,12 54,80 | — | — | — |

| Datum und Nummer des Ofens | November 1881 | | Mai 1882 No. 1 u. 2 (Mittel) | Mai 1882 No. 3 u. 4 (Mittel) | November 1881 No. 4 |
|--|-----------------|------------------|------------------------------------|------------------------------------|---------------------------|
| | No. 2 | No. 3 | | | |
| Gewichtsverhältnis: $\frac{CO_2}{CO}$. . . | 0,688 | 0,424 | berechnet auf 0,90 | berechnet auf 0,59 | berechnet auf 0,37 |
| Durchschnittstemperatur des Windes im betreffenden Mo- nate | 680° | 700° | 810° | 800° | 727° |
| Temperatur der Gichtgase t° C | 179° | 340° | 214° | 305° | — |
| Koksverbrauch per 100 kg Roh- eisen, kg. | 99,05 | 120,60 | 92,00 | 107,25 | 128,90 |
| Aschengehalt der Koke in kg. (8,91%) | 8,80 (8,91%) | 10,70 (8,91%) | 9,00 (9,79%) | 10,50 (9,79%) | 11,0 (8,87%) |
| Kohlenverbrauch, pro 100 kg Roheisen, Differenz | 90,25 | 109,90 | 83,00 | 96,75 | 118,80 |
| Kohle aus dem Kalkstein . . | 7,25 | 7,20 | 6,50 | 6,65 | 7,15 |
| Rückreduktionsstufe, auf welche das angegebene Verhältnis $\frac{CO_2}{CO}$ und der Koksverbrauch be- zogen werden müssen (= kg rückreduzierter C) | 8,75 | 13,30 | 5,75 | 10,00 | 15,00 |
| Durch den Wind zugeführte Wärme in kg C nach Tab. I | 30,00 | 36,20 | 33,65 | 37,50 | 39,35 |
| Wirklicher Kohlengehalt der Koke wie oben | 90,25 | 109,90 | 83,00 | 96,75 | 118,80 |
| Summe | 120,25 | 146,10 | 116,65 | 184,25 | 153,15 |
| Durch die Gichtgase entführte Wärme in kg C nach Tab. II | 10,55 | 23,30 | 11,90 | 18,75 | 25,40 |
| Kohlenstoffgehalt des Roheisens (3 %) | 3,00 | 3,00 | 3,00 | 3,00 | 3,00 |
| Durch Rückkohlung der CO_2 absorbierter C in kg . . . | 8,75 | 13,30 | 5,75 | 10,00 | 15,00 |
| Extrakohle zur Ausgleichung des durch diese Rückreduktion ent- standenen Verlustes nach der Formel $\frac{8080 \times a}{2473} - a$, worin a = Gewicht der rückredu- zierten Kohle | 17,30 | 30,20 | 13,00 | 22,70 | 34,00 |
| Zur Zersetzung des Kalksteines erforderliche Kohle | 9,05 | 9,00 | 8,15 | 8,30 | 8,95 |
| Als CO_2 verbleibende Kohle . | 21,45 | 16,90 | 24,45 | 20,20 | 15,20 |
| An den Formen zu CO ver- brannte Kohle, um 150 kg Schlacken zu schmelzen . . | 33,35 | 33,35 | 33,35 | 33,35 | 33,35 |

| Datum und Nummer des Ofens | November 1881 | | Mai 1882 No. 1 u. 2 (Mittel) | Mai 1882 No. 3 u. 4 (Mittel) | November 1881 No. 4 |
|---|---------------|--------|------------------------------------|------------------------------------|---------------------------|
| | No. 2 | No. 3 | | | |
| Kohle für Verschiedenes, einschliesslich Strahlung, Verdampfung des Wassers in Koke, Zersetzung des Wassers im Winde, Wärmeabfuhr durch Formenkühlung | 17,20 | 17,20 | 17,20 | 17,20 | 17,20 |
| Die zum Schmelzen des Eisens erforderliche Kohle ist in der für seine Reduktion erforderlichen inbegriffen, da nach Gruner die bei der Reduktion entwickelte Wärme zur Schmelzung hinreicht | 0,00 | 0,00 | 0,00 | 0,00 | 0,00 |
| Insgesamt | 120,65 | 146,25 | 116,80 | 133,50 | 152,10 |
| Fehler | — 0,40 | — 0,15 | — 0,15 | + 0,75 | + 1,05 |
| | 120,25 | 146,10 | 116,65 | 134,25 | 153,15 |

Wie schon erwähnt, ist bei den Betrachtungen dieses Kapitels die Reduktion durch Cyanverbindungen nicht berücksichtigt worden, sie würde sich jenen Werten einreihen, die als direkte Reduktion durch festen Kohlenstoff bezeichnet wurden. Cochrane nimmt auch auf diese direkte Reduktion keine Rücksicht, sie bildet hier einen Teil des Kohlenstoffverbrauches durch Rückreduktion von CO_2 .

ZEHNTES KAPITEL.

Die Vorgänge im Hochofen, theoretisch betrachtet.

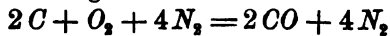
Die neueren physikalisch-chemischen Untersuchungen gestatten, die Vorgänge im Hochofen etwas schärfer zu fassen, als dies früher möglich war. Wir wollen dies in diesem Kapitel versuchen, wobei wir die Reduktion durch Cyanbildung unberücksichtigt lassen, weil diese Vorgänge noch nicht genügend studiert sind, andererseits aber auch ohne grossen Fehler sich unter die sogenannte direkte Reduktion einreihen lassen.

1. Verbrennung der Kohle vor den Formen.

Die Temperatur der Kohle vor den Formen wurde bei einem auf Graneisen gehenden Hochofen von H. Le Chatelier zu 1930°C . bestimmt. Wie wir gesehen haben, kann diese Verbrennung praktisch nur Kohlenoxyd geben. Es ist daher interessant, die Verbrennungstemperatur des Kohlenstoffes (amorphe Kohle) zu CO zu kennen. Dieselbe beträgt:¹⁾

| | |
|---------------------------------------|--------------------------|
| bei gewöhnlicher Temperatur | 1290°C . |
| „ 250°C | 1350° „ |
| „ 500° „ | 1430° „ |
| „ 750° „ | 1500° „ |
| „ 1000° „ | 1570° „ |
| „ 1500° „ | 1740° „ |

Nach der Gleichung:



werden die Verbrennungsgase enthalten:

| |
|--|
| $33\frac{1}{3}$ Volumproz. CO |
| $66\frac{2}{3}$ „ N_2 . |

Demzufolge müssen für 1 Molekularvolum der Verbrennungsgase $\frac{1}{3}$ Mol C verbrannt werden, und die Verbrennungswärme ist daher bei gewöhnlicher Temperatur:

$$L_{15} = \frac{1}{3} \times 29,4 = 9,8 \text{ Cal.} = 9808 \text{ cal.}$$

Für andere Temperaturen gilt die Gleichung:

$$L_T = L_0 + (c_{II} - c_I) T,$$

worin c_{II} und c_I die spezifische Wärme des Systems im End- bzw. Anfangszustande darstellen. Setzen wir hierin die Le Chatelierschen Werte ein, so erhalten wir, weil aus 1 Mol O_2 2 Mole CO entstehen:

$$L_T = L_0 + 6,5 T + 0,0006 T^2$$

und hieraus berechnet sich

$$L_0 = 27478 \text{ cal.},$$

also

$$L_T = 27478 + 6,5 T + 0,0006 T^2,$$

1) Die Berechnung ist folgende: Angenommene Zusammensetzung der Verbrennungsluft: 20 Volumproz. O_2 + 80 Volumproz. N_2 . Zur Berechnung werden solche Mengen gewählt, dass das auf 0°C . und 760 mm Barometerstand reduzierte Volum der Verbrennungsgase 22,42 Liter (1 Mol) beträgt, weil dann die volumprozentische Zusammensetzung der Verbrennungsgase unmittelbar die Zahl der vorhandenen Gasmoleküle angiebt.

von welcher Zahl hier überall $\frac{1}{8}$ in Rechnung zu setzen ist. Wir erhalten so für die Verbrennungswärme von $\frac{1}{8}$ Mol amorpher Kohle

| | | | |
|-----|---------|-----------|-----------|
| bei | 15° C. | | 9800 cal. |
| „ | 250° „ | | 10314 „ |
| „ | 500° „ | | 10954 „ |
| „ | 750° „ | | 11585 „ |
| „ | 1000° „ | | 12242 „ |
| „ | 1500° „ | | 13630 „ |

Andererseits erfordert die Erhitzung der Verbrennungsprodukte bei

| | | | | | |
|-----------|-------|-------|-------|-------|-------|
| 1200° C. | 1400° | 1500° | 1600° | 1800° | 2000° |
| 9000 Cal. | 10700 | 11600 | 12500 | 14200 | 16000 |

Durch Interpolation ergeben sich hieraus die obigen Werte.

Aus diesen Angaben folgt, dass selbst bei einer Windtemperatur von 750° C. die Verbrennungstemperatur noch um 440° niedriger liegt, als die Temperatur vor den Formen tatsächlich beträgt. Da überdies der Wind stets Wasserdampf enthält, der offenbar vor der Form zerlegt wird, wodurch die Verbrennungswärme verringert wird, muss die tatsächliche Verbrennungstemperatur noch etwas niedriger liegen. Die Ursache, dass die vor den Formen gemessene Temperatur so hoch ist, könnte darin gesucht werden, dass bei der Verbrennung nicht nur CO , sondern auch CO_2 gebildet wird, die Verbrennungstemperatur der amorphen Kohle mit Luft zu CO_2 bei gewöhnlicher Temperatur 2040° C. beträgt.

Allein nimmt man auch an, dass im ersten Momente wirklich CO_2 gebildet werde, so wird diese doch sofort mit C zu CO reduziert und überdies nimmt die Bildungswärme des CO_2 aus dem Elemente mit steigender Temperatur ziemlich rasch ab. Die Ursache dürfte somit wohl darin zu suchen sein, dass die Beschickung des Hochofens als eine Art Regenerator wirkt. Der Ofeninhalt sammelt von den aufströmenden heißen Gasen beträchtliche Wärmemengen auf, die durch die herabrutschende Gicht in immer tiefere Ofenzonen gelangen, und endlich vor der Form gleichfalls zur Erhöhung der Verbrennungstemperatur beitragen.

2. Die Kohlung des Eisens.

Wie wir früher gesehen haben, findet oberhalb der Formenebene wahrscheinlich nur eine ziemlich unvollkommene Kohlung des

Eisens statt, während die Hauptmenge des Kohlenstoffes anscheinend erst im Eisenkasten unmittelbar vom flüssigen Eisen gelöst wird.

Nach Gruner beträgt die latente Schmelzwärme von

| | |
|----------------------------|---------|
| weissem Roheisen | 33 Cal. |
| grauem „ | 23 „ |

woraus zu schliessen wäre, dass die Lösung des Kohlenstoffes im Eisen unter Wärmeentwicklung erfolgt.

Andererseits spricht der Umstand, dass der Schmelzpunkt von grauem Roheisen gleicher Zusammensetzung durchaus höher liegt als der des entsprechenden weissen, dafür, dass die Lösung des Kohlenstoffes im geschmolzenen Eisen unter Wärmebindung vor sich geht. So macht R. Moldenke¹⁾ folgende Angaben:

| geb. C | Graphit | Bruch | Schmelzpunkt | Anmerkung |
|--------|---------|-------|--------------|----------------------------|
| 1,60 | 3,16 | grau | 1210° C. | } aus derselben Gusspfanne |
| 4,67 | 0,03 | weiss | 1095° „ | |
| 1,57 | 2,90 | grau | 1230° „ | } dto. |
| 4,20 | 0,20 | weiss | 1090° „ | |
| 1,20 | 2,90 | grau | 1230° „ | } dto. |
| 3,90 | 0,16 | weiss | 1095° „ | |

In gleicher Weise spricht für eine Wärmebindung bei der Kohlenstoffaufnahme, dass die vorliegenden Angaben über die Gesamtschmelzwärme, d. i. über die Wärmemengen, welche das eben geschmolzene Metall bei seiner Abkühlung auf 0° C. abgibt, durchaus für graues Roheisen grösser sind als für weisses:

| | | |
|------------------------|-----------------|--------------|
| nach Gruner: | graues Roheisen | 278—280 Cal. |
| | weisses „ | 258 „ |
| „ De Vathair: | graues „ | 330 „ |
| | weisses „ | 280 „ |
| „ Boulanger u. Dulait: | graues „ | 337 „ |
| | weisses „ | 309 „ |

Völlig beweiskräftig aber ist die Thatsache, dass die Löslichkeit des Kohlenstoffes im geschmolzenen Eisen mit der Temperatur wächst.

Damit im Zusammenhange — wenn auch nicht allein davon abhängig — ist auch der Umstand, dass die Temperatur des Roheisens beim Ausfliessen aus dem Hochofen weit niedriger ist

1) Stahl und Eisen 1899, No. 1.

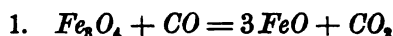
als jene vor den Formen. So fand Le Chatelier bei einem auf Graueisen gehenden Hochofen die

Temperatur der Kohle vor den Formen 1930° C.
 „ des ausfliessenden Metalles . . 1400 bis 1520° „

3. Reduktion des Eisens.

Wir wollen zunächst von einem idealen Hochofen ausgehen und hierunter einen solchen verstehen, bei welchem reines Fe_2O_4 nur von CO allein reduziert wird, bei welchem also weder Schlacke gebildet, noch andere Elemente, als Eisen reduziert werden, noch endlich Wärmeverluste durch Leitung und Strahlung entstehen.

Die Reduktion erfolgt bekanntlich nicht auf einmal, sondern in zwei hintereinander, unter Umständen wohl auch teilweise nebeneinander verlaufenden Phasen:



und



Wir wollen zunächst letzteren Prozess in Betracht ziehen.

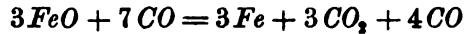
Die Reduktion von FeO zu Fe durch CO bei Gegenwart von Kohlenstoff beginnt bei einem Drucke von 1 Atm.¹⁾ bei 680° C. und die betreffenden Gleichgewichte sind für eine Reihe von Temperaturen folgende:

| Temperatur ° C. | Volumprocente | | Volum- Verhältnis | Gewichts- $\frac{CO_2}{CO}$ |
|--------------------|---------------|------|----------------------|--------------------------------|
| | CO_2 | CO | | |
| 680 | 42 | 58 | 0,724 | 1,137 |
| 700 | 32 | 68 | 0,471 | 0,739 |
| 750 | 20 | 80 | 0,250 | 0,392 |
| 800 | 5 | 95 | 0,052 | 0,082 |

Es interessiert uns hier nur die niedrigste Temperatur, bei welcher ja die Reduktion des Eisens bereits vollendet sein soll.

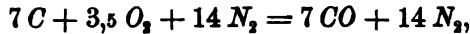
1) Einfachheitshalber sehen wir hier von dem Stickstoffgehalte der Gase ab, nehmen also an, dass nur Sauerstoff eingeblasen worden wäre. Der hierdurch entstehende Fehler ist so klein, dass in erster Annäherung diese Vereinfachung zulässig erscheint.

Nach dem Volumverhältnisse $\frac{CO_2}{CO} = 0,724$ kommen bei dieser Temperatur für das erreichte Gleichgewicht 72,4 Vol. CO_2 auf 100 Vol. CO , oder annähernd auf 3 Moleküle CO_2 4 Moleküle CO . Wir können also für diese Temperatur die Reaktionsgleichung

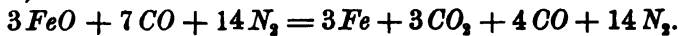


aufstellen. Es müssen somit zur Reduktion von 3 Atomen Eisen aus FeO 7 Atome Kohlenstoff vor den Formen zu CO verbrennen, wozu 7 Atome Sauerstoff und rund $4 \times 7 = 28$ Atome Stickstoff eingeblasen werden müssen. Wir gelangen somit zu folgenden Reaktionsgleichungen:

a) Vor den Formen:



b) in der Reduktionszone:



Nehmen wir an, dass hierbei ein Roheisen mit 3% C gebildet werde, so werden offenbar von je 3 Atomen Eisen 0,09 Atom C als solcher gelöst.

Hieraus lässt sich für den idealen Fall, d. h. wenn unter den früher erwähnten Umständen das Eisen bei 680° C. bereits vollständig ausreduziert ist, die Windmenge und der Kohlenstoffverbrauch wie folgt berechnen:

a) Windmenge:

| | |
|--------------------------------|--------------------------------|
| pro 3 Atome reduziertes Eisen: | 3,5 Mol. O_2 |
| | <u>14,0 „ N_2</u> |
| | 17,5 Mol. Luft |

| | |
|-------------------------------|---------------------------------|
| pro 1 Atom reduziertes Eisen: | 1,167 Mol. O_2 |
| | <u>4,667 „ N_2</u> |
| | 5,834 Mol. Luft |

| | |
|----------------------------------|---------------------------------|
| oder pro 1 kg reduziertes Eisen: | 0,667 kg O_2 |
| | <u>2,333 „ N_2</u> |
| | 3,000 kg Luft |

beziehungsweise $\frac{5,834 \times 22,42}{56} = 2,3175 \text{ m}^3$ Luft in trockenem Zustande.

b) Kohlenmenge:

Pro 3 Atome Eisen:

| | |
|-------------------------|-----------------|
| zur Reduktion | 7 Atome C |
| zur Kohlunng | <u>0,09 „ „</u> |
| | 7,09 „ C |

Pro 1 Atom Eisen:

| | |
|---------------------------------|---------------------|
| zur Reduktion | 2,333 Atome C |
| zur Kohlun \ddot{g} | 0,030 „ „ |
| | <hr/> 2,363 Atome C |

oder endlich pro 1 kg Eisen:

| | |
|---------------------------------|------------------|
| zur Reduktion | 0,500 kg C |
| zur Kohlun \ddot{g} | 0,030 „ „ |
| | <hr/> 0,530 kg C |

Stellen wir die eben besprochenen Vorgänge übersichtlich zusammen, so erhalten wir:

| | Pro 3 Atome Fe | Pro 1 Atom Fe | Pro 1 kg Fe |
|--------------------------------------|----------------|----------------|-------------|
| a) Vor den Formen: | | | |
| Kohle | 7 Atome | 2,333 Atome | 0,50 kg |
| Verbrennen mit Luft | 17,5 Moleküle | 5,834 Moleküle | 3,00 „ |
| zu | | | |
| Kohlenoxyd | 7,0 Moleküle | 2,333 Moleküle | 1,167 „ |
| Stickstoff | 14,0 „ | 4,667 „ | 2,333 „ |
| während der unver- | | | |
| brannte Kohlenstoff | 0,09 Atom | 0,03 Atom | 0,030 „ |
| von geschmolzenem Eisen gelöst wird. | | | |
| b) In der Reduktionszone: | | | |
| Aus FeO | 3 Moleküle | 1 Molekül | 1,286 kg |
| und oben angegebenen CO entsteht: | | | |
| Eisen | 3 Atome | 1 Atom | 1,000 „ |
| CO_2 | 3 Moleküle | 1 Molekül | 0,833 „ |
| CO | 4 „ | 1,333 „ | 0,407 „ |
| N_2 | 14 „ | 4,667 „ | 2,333 „ |

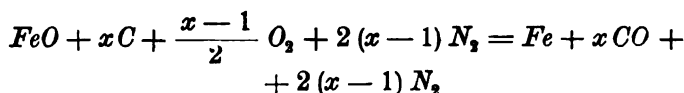
Wir wollen nun betrachten, in welcher Weise sich diese Verhältnisse ändern würden, wenn die Reduktion des FeO nicht durch CO , sondern direkt, d. i. durch festen Kohlenstoff erfolgen würde.

Unmittelbar oberhalb der Formenebene kann hierbei nur Kohlenoxyd gebildet werden. Die Reaktion muss somit nach der Gleichung



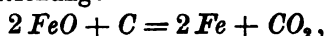
verlaufen.

Freilich kann diese Reaktion allein in keinem Falle auftreten, weil ja dem Ofen durch die Formen Luft zugeführt werden muss, durch welche eine gewisse Menge Kohlenstoff zu Kohlenoxyd verbrannt wird. Wir werden also oberhalb der Formenebene die Reaktion:



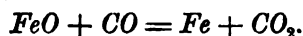
haben. Wenn nun die Temperatur der Gase beim Aufwärtsströmen sinkt, so muss neben CO auch CO_2 auftreten, und es können jetzt zwei Fälle eintreten: Entweder kann

1. auch in den oberen Partien noch direkte Reduktion stattfinden nach der Gleichung:



oder

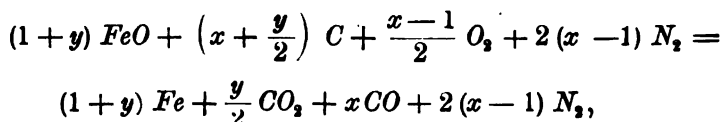
2. die Kohlensäurebildung erfolgt durch indirekte Reduktion nach der Gleichung:



In jedem Falle müssen wir aber — Gleichgewicht vorausgesetzt — in jenem Ofenquerschnitte, in welchem die Reduktion des metallischen Eisens ihr Ende erreicht, in welchem also eine Temperatur von $680^\circ C.$ herrscht, ein Volumverhältnis von $\frac{CO_2}{CO} = 0,724$ haben.

Wir wollen nun untersuchen, wie sich in den beiden eben betrachteten Fällen der Brennstoffverbrauch stellt.

ad 1. Bezeichnen wir die durch direkte Reduktion von FeO gebildete CO_2 -Menge mit $\frac{y}{2}$, so haben wir:



wobei

$$\frac{CO_2}{CO} = \frac{y}{2x} = 0,724$$

sein muss. Hieraus folgt:

$$y = 1,448 x$$

$$x = \frac{1}{1,448} y = 0,6906 y.$$

Nach der Reaktionsgleichung werden $1+y$ Atome Eisen durch gleichzeitige Oxydation von $y + \frac{y}{2}$ Atomen Kohlenstoff gewonnen. Der Brennstoffbedarf pro 1 Atom Fe beträgt somit:

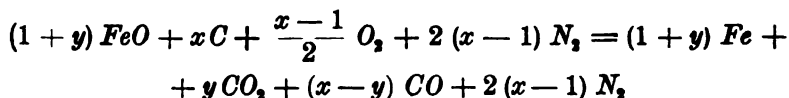
$$\frac{x + \frac{y}{2}}{1 + y} = \frac{1,724 x}{1 + 1,448 x}$$

Da nun in keinem Falle $x < 1$ sein kann, erhalten wir pro 1 Atom reduziertes Fe für

| | | | |
|-------|-------------------|-----|----------------|
| $x =$ | 1 Kohlenverbrauch | $=$ | 0,704 Atom C |
| $„ =$ | 2 „ | $=$ | 0,885 „ „ |
| $„ =$ | 3 „ | $=$ | 0,968 „ „ |
| $„ =$ | 4 „ | $=$ | 1,015 „ „ |
| $„ =$ | 5 „ | $=$ | 1,046 „ „ |
| $„ =$ | 10 „ | $=$ | 1,114 „ „ |
| $„ =$ | 100 „ | $=$ | 1,183 „ „ |
| $„ =$ | 1000 „ | $=$ | 1,189 „ „ |
| $„ =$ | 10000 „ | $=$ | 1,189 „ „ |
| $„ =$ | 100000 „ | $=$ | 1,190 „ „ |

Der Kohlenstoffverbrauch würde somit erheblich kleiner ausfallen als bei der indirekten Reduktion, und im ungünstigsten Falle 1,19 Atom C pro 1 Atom Fe oder 0,255 kg pro 1 kg Eisen betragen. Rechnet man hierzu noch die 3% vom Eisen gelösten Kohlenstoff, so hätte man in maximo einen Kohlenverbrauch von 0,285 kg pro 1 kg Eisen.

ad 2. Bezeichnen wir hier die aus Kohlenoxyd gebildete Kohlensäuremenge mit y , so haben wir die Reaktionsgleichung:



wobei

$$\frac{CO_2}{CO} = \frac{y}{x - y} = 0,724$$

sein muss. Hieraus ergibt sich:

$$y = \frac{0,724}{1,724} x = 0,42 x$$

$$x = \frac{1,724}{0,724} y = 2,38 y$$

und für den Kohlenverbrauch pro 1 Atom Fe :

$$\frac{x}{1 + y} = \frac{x}{1 + 0,42 x}$$

oder, weil auch hier keinesfalls $x < 1$ sein kann, für:

| | | | | |
|-------|-----|-----------------|-----------|-----------|
| $x =$ | 1 | Kohlenverbrauch | $= 0,704$ | Atome C |
| " | 2 | " | $= 1,087$ | " " |
| " | 3 | " | $= 1,327$ | " " |
| " | 4 | " | $= 1,493$ | " " |
| " | 5 | " | $= 1,613$ | " " |
| " | 10 | " | $= 1,932$ | " " |
| " | 100 | " | $= 2,326$ | " " |

Es tritt also auch hier durch direkte Reduktion eine Verringerung des Brennstoffverbrauches ein, die aber um so kleiner wird, je mehr die Reduktion durch CO vor den Formen dominiert.

Ganz ähnlich stellen sich die Verhältnisse auch hinsichtlich der Windmenge, welche zur Reduktion von 1 Atom Fe erforderlich ist, und welche durch den Ausdruck

$$\frac{2,5(x-1)}{1+y}$$

gegeben ist. Wir wollen auch hier die Rechnung für beide Fälle durchführen.

ad 1. Hier ist $y = 1,448x$, und daher die Windmenge

$$= \frac{2,5(x-1)}{1+1,448x} = \frac{2,5x-2,5}{1,448x+1}.$$

Dies giebt für:

| | | | | | |
|-------|--------|-----------|-----------|-----------|------|
| $x =$ | 1 | | Windmenge | $= 0$ | Mole |
| " | 2 | | " | $= 0,642$ | " |
| " | 3 | | " | $= 0,936$ | " |
| " | 4 | | " | $= 1,104$ | " |
| " | 5 | | " | $= 1,214$ | " |
| " | 10 | | " | $= 1,453$ | " |
| " | 100 | | " | $= 1,543$ | " |
| " | 1000 | | " | $= 1,708$ | " |
| " | 10000 | | " | $= 1,725$ | " |
| " | 100000 | | " | $= 1,726$ | " |

ad 2. In diesem Falle ist $y = 0,42x$ und daher die Windmenge

$$= \frac{2,5(x-1)}{1+0,42x} = \frac{2,5x-2,5}{0,42x+1}.$$

Das giebt für

| | | | | | |
|-------|-----|-----------|-----------|-----------|------|
| $x =$ | 1 | | Windmenge | $= 0$ | Mole |
| " | 2 | | " | $= 1,359$ | " |
| " | 3 | | " | $= 2,212$ | " |
| " | 4 | | " | $= 2,798$ | " |
| " | 5 | | " | $= 3,226$ | " |
| " | 10 | | " | $= 4,327$ | " |
| " | 100 | | " | $= 5,756$ | " |

Wie aus diesen Betrachtungen hervorgeht, ist die direkte Reduktion für den Hochofenbetrieb durchaus nicht schädlich, im Gegenteil bewirkt dieselbe einen Minderverbrauch an Brennstoff sowohl wie an Wind, und — da die Menge und das gegenseitige Verhältnis von CO_2 und CO in den Abgasen ziemlich ungeändert bleibt, infolge der reduzierten Windmenge aber ein kleinerer Stickstoffgehalt derselben resultiert — auch ein besseres Gas.

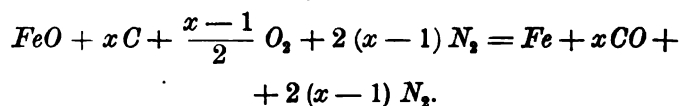
Freilich entsteht nun die Frage, ob und in welchem Grade die direkte Reduktion im Hochofen überhaupt auftreten kann?

Zur Beantwortung dieser Frage müssen wir die Sachlage vom Standpunkte der Wärmelehre aus betrachten.

Einerseits bedürfen wir einer gewissen Wärmemenge zur Durchführung der Reduktion, andererseits, müssen wir aber auch die Schmelztemperatur des Eisens und der Schlacke erreichen.

In ersterer Beziehung können wir die früher entwickelten Ausdrücke für die freien Bildungsenergien benutzen und sagen, dass, um die Reduktion durchzuführen, die Summe der von der Verbrennung des Kohlenstoffes und des CO zu Kohlenoxyd und Kohlensäure gelieferten freien Energien gleich sein muss der Bildungsenergie des Eisenoxyduls. Wir müssen jedoch auch diesen Vorgang für die Formengegend und für die Temperaturzone $680^\circ C$. getrennt betrachten.

In der Formengegend verläuft die Reaktion nach dem früheren wie folgt:



Wir wollen die zuletzt berechneten Werte in Betracht ziehen und der Rechnung die Angabe zugrunde legen, dass bei etwa $900^\circ C$. Eisenoxydul mit Eisen und einem Gichtgase mit 24 Volumproz. CO und 12 Volumproz. CO_2 im Gleichgewichte steht. Die Bildungsenergie des Eisenoxyduls ist also bei dieser Temperatur der Energie der Oxydation des CO gleich, somit ist:

$$69310,0 + 7,48 T (\log. T - 7,86) - 0,0028 T^2 + 4,56 T \log. \frac{0,24}{0,12} = \\ = 26792,5 \text{ cal.}$$

Hieraus ergibt sich für die Bildungsenergie des Eisenoxyduls (unter der Annahme, dass sie eine lineare Funktion der absoluten Temperatur sei) der Ausdruck:¹⁾

$$A_{FeO+O} = 64600 - 32,23 T + 4,56 T \log. (p_{O_2})^{1/2}.$$

Andererseits ist die freie Bildungsenergie des CO:

$$A_{C+O} = 28652,2 + 7,48 T (2,23 - \log. T) + 0,0074 T^2 + 4,56 T \log. \frac{(p_{O_2})^{1/2}}{p_{CO}}.$$

Es herrscht somit Gleichgewicht zwischen Eisenoxydul, Eisen, Kohlenoxyd und Sauerstoff, wenn

$$64600 - 32,23 T + 4,56 T \log. (p_{O_2})^{1/2} = 28652,2 + 7,48 T (2,23 - \log. T) + 0,0074 T^2 + 4,56 T \log. \frac{(p_{O_2})^{1/2}}{(p_{CO})},$$

oder wenn:

$$35947,8 - 48,93 T + 7,48 T \log. T - 0,0074 T^2 = -4,56 T \log. (p_{CO})$$

wird.

Wir haben also:

$$\log. (p_{CO}) = 10,73 - \frac{7882,9}{T} + 0,0016 T - 1,64 \log. T$$

und hieraus berechnet sich für

| | | | |
|-----------------------------|----------------------|-------------------------|-------------------|
| $t = 2000^\circ \text{ C};$ | $T = 2273:$ | $\log. p_{CO} = 5,3940$ | $p_{CO} = 247700$ |
| $t = 1000^\circ \text{ „}$ | $\text{ „ } = 1273:$ | $= 2,0396$ | $= 109,5$ |
| $t = 727^\circ \text{ „}$ | $\text{ „ } = 1000:$ | $= 0,5271 - 1$ | $= 0,3366$ |

u. s. w.

Die Reaktion ist somit möglich, solange die Temperatur hoch genug liegt. Ob die Temperatur unter diesen Umständen im Hochofen hoch genug gehalten werden kann, lässt sich allerdings nicht genau nachweisen;²⁾ immerhin ist es — wenn nur eine genügende Menge Kohlenstoff durch den Gebläsewind zu CO verbrannt wird — nicht unwahrscheinlich, da ja — wie wir früher gesehen haben — die tatsächlich vor den Formen gemessene Temperatur (1930° C.) um 400° bis 500° höher liegt als die berechnete. Freilich wächst die Bildungswärme des Eisenoxyduls

1) Der jetzt natürlich von dem S. 221 gegebenen abweicht.

2) Eine annähernde Berechnung folgt unten.

mit der Temperatur. Sie beträgt beispielsweise nach Bauer & Glässner¹⁾

bei 273° C.: 64600 cal.

„ 17° „ 66183 „

„ 490° „ 66540 „

„ 680° „ 67850 „

es wird sich also bei einer nicht näher bestimmbar Temperatur ein Temperaturoptimum einstellen, bei welchem die Reaktion am günstigsten verläuft.

In der Nähe der Formenebene ist übrigens überhaupt nur diese direkte unter CO -Bildung verlaufende Reduktion möglich, weil ja bei den dort herrschenden hohen Temperaturen CO_2 neben Kohlenstoff nicht beständig ist. Erst wenn die Temperatur so weit gesunken ist, dass merkbare Mengen von CO_2 in den Gasen auftreten können, ist es möglich, dass auch die Reduktion von FeO durch C oder durch CO unter Bildung von CO_2 in merklichem Masse stattfindet.

Die Bildungsenergie der Reduktion von FeO durch CO finden wir in folgender Weise:

$$A_{Fe+O} = 64600 - 32,28 T + 4,56 T \log. (p_{O_2})^{1/2}$$

$$A_{CO+O} = 69310 - 57,28 T + 7,48 T \log. T - 0,0028 T^2 + \\ + 4,56 T \log. \frac{(p_{CO})(p_{O_2})^{1/2}}{(p_{CO_2})}$$

Zieht man die erste Gleichung von der zweiten ab, so erhält man:

$$A_{FeO+CO} = 4710 - 25,05 T + 7,48 T \log. T - 0,0028 T^2 + \\ + 4,56 T \log. \frac{(p_{CO})}{(p_{CO_2})}$$

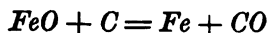
und dies giebt:

| $t^{\circ}C.$ | T | $\frac{p_{CO}}{p_{CO_2}}$ | A_{FeO+CO} |
|---------------|------|---------------------------|--------------|
| 680 | 953 | $\frac{1}{1,137}$ | — 705 cal. |
| 700 | 973 | $\frac{1}{0,739}$ | + 15 „ |
| 750 | 1023 | $\frac{1}{0,392}$ | + 1075 „ |
| 800 | 1073 | $\frac{1}{0,082}$ | + 4245 „ |

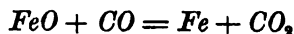
1) l. c.

Wie man sieht, wächst die Bildungsenergie dieser Reaktion mit der Temperatur, die Reduktion wird somit um so kräftiger erfolgen, je höher die Temperatur ist.¹⁾

Da nun sowohl



als auch

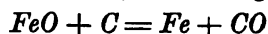


möglich sind, wird natürlich auch die Reaktion



auftreten können.

Es ist nun noch interessant, die Bildungsenergien der Reaktion



für einige Temperaturen zu berechnen.

Es ist:

$$\begin{aligned} A_{FeO+C} &= A_{C+O} - A_{Fe+O} \\ &= -35947,8 - 15,55 T - 7,48 T \log. T + \\ &\quad + 0,0074 T^2 + 4,56 T \log. \frac{1}{(p_{CO})} \end{aligned}$$

und dies giebt:

| $t^{\circ}C.$ | T | $p_{CO}^2)$ | A_{FeO+C} |
|---------------|------|-------------|-------------|
| 700 | 973 | 0,2052 | - 62767 |
| 800 | 1073 | 0,2993 | - 65874 |

Die Bildungswärmen sind somit negativ und wachsen mit der Temperatur; die Reaktion kann somit nur in geringem Grade neben der vorigen auftreten. Bei $800^{\circ}C.$ könnte etwa auf $\frac{65874}{4245} = 15$ Atome durch CO reduziertes Eisen ein durch C reduziertes Eisenatom kommen. Mit steigender Temperatur wächst dieses Verhältnis jedoch.

1) Bei 680 hätte die freie Energie dieser Reaktion $= 0$ gefunden werden sollen, wenn der Druck des $CO = 1$ wäre. Die Differenz rührt von der nicht völligen Genauigkeit der benutzten Gleichungen her.

2) Die Drucke von CO sind nach dem sechsten Kapitel eingesetzt und entsprechen den Gleichgewichten zwischen Luft und Kohle, was annäherungsweise erlaubt ist, da ja die Verbrennung der Kohle durch den Wind jedenfalls dominieren wird.

Wir haben somit:

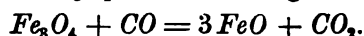
a) vor den Formen: vorherrschend Oxydation der Kohle durch den Wind zu CO , daneben direkte Reduktion durch FeO unter CO -Bildung.

b) Mit sinkender Temperatur, also mit wachsendem Abstand von der Formenebene tritt immer stärkere Reduktion durch CO auf, die in abnehmendem Masse von direkter Reduktion begleitet wird. In der Nähe von $700^{\circ}C$. hat die direkte Reduktion ihr Ende erreicht, und bei etwa $680^{\circ}C$. hört die Reduktion zu Metall überhaupt auf.

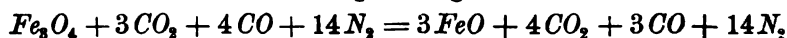
Da bei den herrschenden hohen Temperaturen die Reaktionsgeschwindigkeiten noch sehr gross sind, steht zu erwarten, dass bis hierher das Gleichgewicht annähernd erreicht sein wird.

4. Reduktion zu Eisenoxydul.

Die Reduktion Fe_3O_4 zu FeO erfolgt nach der Gleichung:



Gehen wir von dem früher besprochenen idealen Hochofengange aus und berücksichtigen wir die Zusammensetzung, mit welcher die Ofengase in die hier in Frage kommende Ofenzone eintreten, so können wir die Reaktionsgleichung schreiben:



Das giebt ein Verhältnis:

$$\begin{aligned} \frac{CO_2}{CO} &= \frac{4}{3} = 1,333 \text{ (dem Volumen nach) oder} \\ &= \frac{176}{84} = 2,095 \text{ (dem Gewichte nach),} \end{aligned}$$

während nach Bauer & Glässner dem Gleichgewichte zwischen CO , CO_2 , FeO und Fe_3O_4 bei $650^{\circ}C$. (dem Schnittpunkt mit der Kohlenstoffkurve, Fig. 53, S. 225) entspricht:

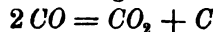
$$\begin{array}{ll} 64 & \text{Volumproz. } CO_2 \\ 36 & \text{,, } CO, \end{array}$$

also

$$\begin{aligned} \frac{CO_2}{CO} &= 1,778 \text{ (dem Volumen nach) oder} \\ &= 2,771 \text{ (dem Gewichte nach).} \end{aligned}$$

Ist also bei dieser Temperatur die Reduktion von Fe_3O_4 zu FeO vollendet, und soll hierbei gleichzeitig Gleichgewicht ein-

getreten sein, so muss ein Teil des bei der Reduktion übrig gebliebenen CO nach der Gleichung:



zerfallen sein. Nennen wir die Menge der durch diesen Vorgang gebildeten CO_2 x , so ist

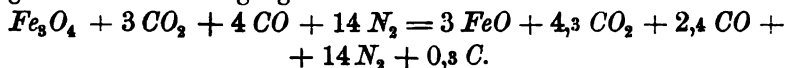
$$\frac{4+x}{3-2x} = 1,778$$

(dem Volumen nach), und daher

$$x = 0,2928$$

oder rund $= 0,30$.

Wir haben somit — Eintreten des Gleichgewichts vorausgesetzt — den Vorgang in dieser Zone:



Da wir von der Annahme ausgingen, dass reines Fe_3O_4 und C vergichtet wurden, ist hiermit der Vorgang im oberen Teile des Hochofens beendet, wenn, was allerdings nicht leicht der Fall ist, die Gichtgase mit $650^\circ C$. den Ofen verlassen.

Wäre die Reduktion bei $650^\circ C$. noch nicht vollendet, sondern etwa erst bei $450^\circ C$., so würde — für den Fall eingetretenen Gleichgewichts — entsprechend dem Gleichgewichte zwischen C , CO und CO_2 das Volumenverhältnis

$$\frac{CO_2}{CO} = \frac{0,98}{0,02} = 49$$

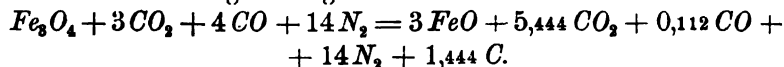
sein müssen. Es wäre also dann

$$\frac{4+x}{3-2x} = 49$$

und

$$x = 1,444.$$

Die Reaktionsgleichung würde somit lauten:



Wie wir früher gesehen haben, wurden bei idealem Hochofengänge im unteren Teile des Hochofens verbraucht:

| | | |
|---------------------------------|------|-----------|
| zur Reduktion von 3 Atomen Fe | 7 | Atome C |
| zur Kohlung | 0,03 | „ „ |
| zusammen | 7,03 | Atome C |

Im oberen Teile des Hochofens können

hingegen durch Zerfall von CO 1,444 „ „

gewonnen werden, so dass der tatsächliche C -Verbrauch nur

5,586 Atome C

beträge. Dies wäre eine beträchtliche Ersparnis, wenn man den so ausgeschiedenen Kohlenstoff vor die Formen bringen und dort verbrennen könnte. In Wirklichkeit wirkt diese Kohlenstoffabscheidung jedoch störend, in erster Linie, weil er die Ursache von Betriebsstörungen (Hängen der Gichten, u. s. w.) sein kann, weil sich der C auch in den Poren von Erz und Brennstoff ablagert, somit die Porosität der Beschickung beeinträchtigt, die Erzstücke von aussen belegt, also die Reduktion verzögert, den Zug des Ofens beeinträchtigt und Zerfallen des Erzes sowie Zerstörung des Ofenmauerwerks bewirken kann.

Glücklicherweise tritt diese Reaktion in Wirklichkeit lange nicht in dem Masse auf, als die obigen Betrachtungen befürchten lassen könnten, und zwar deshalb, weil bei den Temperaturen, um welche es sich hier handelt, die Reaktionsgeschwindigkeit schon stark herabgedrückt ist und daher im oberen Teile des Hochofenschachtes überhaupt nicht mehr der Gleichgewichtszustand erreicht wird. Diese Kohlenstoffabscheidung wird um so mehr zurückgedrängt, je rascher die Beschickung die fragliche Zone durchschreitet, je rascher also die Temperatur gegen die Gicht hin abnimmt. In dieser Richtung wirkt der Mangel eines Raugemäuers am Oberschachte, kalte Witterung und der Zuschlag von ungebranntem Kalk günstig. Letzterer wirkt auch dadurch nützlich, dass er beim Brennen CO_2 entwickelt, wodurch der Partialdruck der Kohlensäure erhöht und so die Zerlegung des CO zurückgedrängt wird.

Wenn wir beim idealen Hochofengange die Reaktion $2 CO = CO_2 + C$ ganz ausschliessen, so erhalten wir für denselben also

$$\frac{CO_2}{CO} = 1,333 \text{ (dem Volumen nach) oder}$$

$$= 2,095 \text{ (dem Gewichte nach).}$$

Wenn die vorstehenden Betrachtungen auch noch ziemlich unvollständig sind, so zeigen sie doch, dass die Anwendung der physikalischen Chemie auf den Hochofenprozess neue Aufschlüsse verspricht und in mancher Beziehung die älteren Ansichten modifiziert. Gerade die früher so gefürchtete direkte Reduktion stellt sich jetzt als nützlich heraus.

Die entwickelten Betrachtungen lassen sich ohne weiteres auch auf die übrigen Reduktionsprozesse anwenden.

ELFTES KAPITEL.

Die Rolle der Schlacken im Hochofenprozesse.

Die Schlackenbildung erfolgt bei Temperaturen, die über dem Schmelzpunkt der fertigen Schlacken liegen. Schon vorhandene Silikate erniedrigen, freie Kieselsäure (besonders grobkörniger Quarz), ebenso die Gegenwart von Kalk erhöhen die Bildungstemperatur der Schlacken.

Nach dem bereits über den Verlauf des Hochofenprozesses Mitgeteilten ist es klar, dass die im Hochofen zuerst entstehende Schlacke ganz anders zusammengesetzt ist als das Endprodukt.

So ergaben die Untersuchungen von F. Kupelwieser und R. Schöffel¹⁾ folgende Zusammensetzungen:

| | Vergichtetes Erz | 34' unter der Gicht (6' ober- halb der Form ²⁾) | Schlacke |
|---------------------|---------------------|---|----------|
| SiO_2 | 8,77 | 12,87 | 46,09 |
| Al_2O_3 | 0,41 | 0,29 | 5,32 |
| Fe_2O_3 | 52,50 | — | — |
| FeO | 11,25 | 59,01 | 3,17 |
| Mn_2O_3 | 2,93 | — | — |
| MnO | — | 3,93 | 8,21 |
| CaO | 10,02 | 11,51 | 29,54 |
| MgO | 1,53 | 2,49 | 6,30 |
| CO_2 | 12,11 | 6,88 | — |
| Alkalien, u. s. w. | — | — | 1,37 |
| Summe | 99,52 | 99,98 | 100,00 |

Da die Temperatur 34' unter der Gicht nach den Angaben von Kupelwieser und Schöffel nur 960 ° C. bis 970 ° C. betrug, haben wir es an dieser Stelle noch nicht mit wirklicher Schlacke zu thun; ja es ist hier sogar die Reduktion des Eisens noch eine sehr unvollkommene. Da aber die Reduktion von SiO_2 und MnO erst bei höheren Temperaturen und durch festen Kohlenstoff erfolgt, muss die anfangs gebildete Schlacke mehr SiO_2 und MnO enthalten als die Endschlacke.

Die direkte Reduktion durch CO erfolgt hauptsächlich im noch ungeschmolzenen, porösen Erze, während jene durch festen

1) Beiträge zum Studium des Hochofenprozesses.

2) Nach Abzug des metallischen Eisens.

Kohlenstoff vorwiegend ein geschmolzenes Produkt (die Anfangsschlacke) voraussetzt. Je leichter schmelzbar daher die Schlacke ist, d. h. bei je niedriger Temperatur und somit in je höheren Ofenzonen die Schmelzung derselben erfolgt, desto mehr wird die direkte Reduktion vorwalten und umgekehrt. Da nun die direkte Reduktion wohl nie ganz fehlen wird, muss die Anfangsschlacke auch an FeO reicher sein als die Endschlacke. Hingegen wird sie sich an jenen Stoffen, welche der Kohlenasche entstammen, immer mehr anreichern, je tiefer sie im Ofen nach abwärts gelangt.

Es wird hier am Platze sein, nochmals auf die Verteilung des Schwefels zwischen Roheisen und Schlacke zurückzukommen. Die Gesetze für diese Verteilung gestalten sich nämlich viel einfacher, wenn man statt der Silicierungsstufe den von Zulkowski vorgeschlagenen Sättigungsgrad der Schlacke in Betracht zieht.

Unter Sättigungsgrad versteht Zulkowski das Molekularverhältnis $\frac{RO}{SiO_2 + R_2O_3}$. Bei Benutzung der Daten des neunten Kapitels des ersten Buches erhält man so folgende Tabelle:

| Sättigungs- grad | Silicierungs- stufe | Auf 100 Moleküle RO-Basen entfallende Moleküle | | | | Teilungs- koeffizient | Roheisenzusammensetzung in Prozenten | | | | |
|---------------------|------------------------|--|-----|-----|----|--------------------------|---|------------|-----------|-------|----|
| | | BaO | CaO | MnO | Σ | | | | | | |
| | | | | | | | S-Schlacke | S-Roheisen | C | Si | Mn |
| 2,143 | 0,65 | — | 68 | 13 | 81 | > 432 | ca. 6,00 | ? | 50,00 | ? | |
| 1,594 | 0,74 | — | 92 | 2 | 94 | 272,6 | 4,500 | 2,845 | 0,9 bis 0 | 0,048 | |
| 1,581 | 0,74 | — | 84 | 1 | 85 | 178,00 | 4,000 | 2,50 | 2,00 | 0,08 | |
| 1,563 | 0,84 | — | 46 | 12 | 58 | 13,00 | 3,610 | 0,114 | 1,225 | 0,083 | |
| 1,479 | 0,84 | — | 87 | 7 | 94 | ∞ | 5,800 | 0,508 | 7,232 | 0,892 | |
| 1,469 | 0,83 | — | 95 | 1 | 96 | 195,00 | 4,500 | 2,468 | 2,042 | 0,060 | |
| 1,462 | 0,87 | — | 98 | 3 | 96 | ∞ | 5,100 | 1,127 | 4,213 | 0,223 | |
| 1,455 | 0,91 | — | 87 | 8 | 90 | ∞ | 4,000 | 1,121 | 2,988 | 0,093 | |
| 1,438 | 0,88 | — | 52 | 9 | 61 | 28,38 | 3,916 | 0,414 | 2,534 | 0,095 | |
| 1,406 | 0,84 | — | 92 | 3 | 95 | 26,67 | 4,325 | 0,807 | 1,820 | 2,344 | |
| 1,404 | 0,92 | — | 56 | 8 | 64 | 37,21 | 4,120 | 0,92 | 2,874 | 0,082 | |
| 1,404 | 0,98 | — | 87 | 3 | 90 | 29,29 | 3,987 | 1,307 | 0,407 | 0,117 | |
| 1,382 | 0,83 | — | 53 | 10 | 63 | 20,53 | 3,793 | 0,322 | 2,221 | 0,098 | |
| 1,377 | 1,13 | — | 50 | 6 | 56 | 34,44 | 3,692 | 1,800 | 2,650 | 0,042 | |
| 1,334 | 0,85 | — | 88 | 1 | 84 | 33,16 | 4,021 | 0,85 | 0,791 | 0,246 | |
| 1,204 | 1,21 | — | 70 | 9 | 79 | 21,40 | 3,51 | 1,23 | 3,36 | 0,89 | |
| 1,052 | 1,22 | 1 | 24 | 14 | 39 | 0,77 | 3,112 | 2,403 | 3,842 | 0,111 | |
| 0,986 | 0,96 | — | 84 | 2 | 86 | 2,92 | 1,920 | 0,23 | 0,770 | 1,60 | |
| 0,916 | 1,01 | — | 80 | 2 | 82 | 1,63 | 1,750 | 0,27 | 0,58 | 1,58 | |
| 0,791 | 1,17 | — | 73 | 2 | 75 | 0,80 | 1,70 | 0,40 | 0,44 | 1,62 | |
| 0,637 | 1,31 | 2 | 50 | 15 | 67 | 3,53 | 3,076 | 4,748 | 5,112 | 0,117 | |
| 0,566 | 2,06 | 2 | 45 | 18 | 65 | 0,37 | 3,506 | 3,782 | 4,399 | 0,120 | |

Der Einfluss der Schlackenzusammensetzung ist hauptsächlich von dem Sättigungsgrade derselben abhängig und aus vorstehender Tabelle deutlich erkennbar. Mit dem Sättigungsgrade wächst auch der Teilungskoeffizient.

Betrachten wir die Zusammensetzung des Roheisens, so fällt uns zunächst auf, dass hohen Kohlenstoff- und Mangangehalten auch grosse Werte der Teilungskoeffizienten entsprechen. Um dies deutlicher zu machen, wollen wir den Gehalt des Roheisens an diesen Elementen und an Phosphor in Atomen angeben und zu diesem Zwecke die Prozentgehalte an Kohlenstoff, Mangan und Phosphor bezw. mit $\frac{2}{3}$, $\frac{1}{7}$ und $\frac{1}{4}$ multiplizieren. Wir ordnen dann die Daten nach der Summe von $\frac{2}{3}C + \frac{1}{7}Mn - \frac{1}{4}P$ (wobei wir darauf Rücksicht nehmen, dass der Phosphorgehalt in entgegengesetztem Sinne wirkt, wie ein Mangan- oder Kohlenstoffgehalt) und erhalten so folgende Zusammenstellung:

| Atomverhältnisse im Roheisen | | | | | Teilungs- koeffizient | Sättigungs- grad |
|------------------------------|-----------------|----------|----------------|-----------|--------------------------|---------------------|
| $\frac{2}{3}C$ | $\frac{1}{7}Mn$ | Σ | $\frac{1}{4}P$ | Δ | | |
| 4,000 | 7,14 | 11,14 | ? | ca. 11,14 | > 432,00 | 2,143 |
| 3,866 | 1,033 | 4,899 | 0,446 | 4,453 | ∞ | 1,479 |
| 3,400 | 0,602 | 4,000 | 0,056 | 3,944 | ∞ | 1,462 |
| 3,000 | 0,292 | 3,292 | 0,009 | 3,283 | 195,0 | 1,469 |
| 2,746 | 0,411 | 3,151 | 0,021 | 3,130 | 87,21 | 1,404 |
| 3,00 | 0,18—0,06 | ca. 3,1 | 0,012 | ca. 3,088 | 272,6 | 1,594 |
| 2,666 | 0,427 | 3,093 | 0,023 | 3,070 | ∞ | 1,465 |
| 2,610 | 0,362 | 2,972 | 0,024 | 2,948 | 28,38 | 1,438 |
| 2,338 | 0,628 | 2,966 | 0,030 | 2,936 | 0,37 | 0,566 |
| 2,666 | 0,286 | 2,952 | 0,02 | 2,932 | 178,0 | 1,581 |
| 2,462 | 0,379 | 2,841 | 0,011 | 2,830 | 84,44 | 1,377 |
| 2,528 | 0,317 | 2,845 | 0,025 | 2,820 | 20,53 | 1,382 |
| 2,050 | 0,730 | 2,780 | 0,029 | 2,751 | 3,53 | 0,637 |
| 2,680 | 0,113 | 2,793 | 0,062 | 2,731 | 33,16 | 1,334 |
| 2,340 | 0,480 | 2,820 | 0,127 | 2,693 | 21,40 | 1,204 |
| 2,658 | 0,065 | 2,713 | 0,029 | 2,684 | 29,29 | 1,404 |
| 2,074 | 0,549 | 2,623 | 0,028 | 2,595 | 0,77 | 1,052 |
| 2,406 | 0,175 | 2,581 | 0,021 | 2,560 | 13,00 | 1,563 |
| 2,884 | 0,260 | 3,144 | 0,586 | 2,558 | 26,67 | 1,406 |
| 1,280 | 0,110 | 1,390 | 0,400 | 0,990 | 2,92 | 0,986 |
| 1,166 | 0,083 | 1,249 | 0,395 | 0,854 | 1,63 | 0,916 |
| 1,134 | 0,063 | 1,197 | 0,405 | 0,792 | 0,80 | 0,791 |

Einzelne Ausnahmen erklären sich einfach aus anderen Umständen. So ist der Teilungskoeffizient von No. 5 viel kleiner

(37,21) als jener von No. 4 (195,0), jener von No. 6 hingegen grösser (272,6), weil die Schlacke von No. 5 weit weniger $\text{CaO} + \text{MnO}$ (64) enthält als die beiden anderen, der Sättigungsgrad von No. 6 hingegen (1,594) höher ist als der der anderen beiden (1,469 und 1,404). — Ebenso ist der Teilungskoeffizient von No. 10 (178,0) weit höher als jener der beiden vorhergehenden (28,38 und 0,37), weil die Schlacke wenig sauer und ihr $\text{CaO} + \text{MnO}$ -Gehalt (85) grösser ist. Hingegen ist der Teilungskoeffizient von No. 9 (0,37) auffallend klein, weil der Sättigungsgrad der Schlacke ausserordentlich niedrig ist. In ähnlicher Weise erklären sich auch die übrigen Abweichungen.

Wir kommen somit zu folgenden Regelmässigkeiten.

Der Teilungskoeffizient wächst:

1. mit wachsendem Sättigungsgrade und relativem $\text{CaO} + \text{MnO}$ -Gehalt der Schlacken,
2. mit wachsendem Kohlenstoff- und Mangangehalt des Roheisens, und
3. mit abnehmendem Phosphorgehalt desselben.
4. Der Siliciumgehalt des Roheisens scheint ziemlich belanglos zu sein.

Die übrigen Reduktionsprozesse sind zu wenig eingehend studiert, um sie hier spezieller abhandeln zu können. Die allgemeinen Betrachtungen in den vorstehenden Kapiteln lassen sich jedoch ohne weiteres auf dieselben anwenden, und dürften zu ihrem Verständnisse genügen.

B. Frischprozesse.

ZWÖLFTES KAPITEL.

Allgemeines.

Je nach der Temperatur, bei welcher sich die Frischprozesse vollziehen, lassen sich dieselben in folgender Weise einteilen.

1. bei sehr hoher Temperatur: Das zu frischende Roheisen sowie das Endprodukt sind flüssig (Darstellung von Flusseisen und Flussstahl).

2. bei weniger hoher Temperatur: Das zu frischende Roheisen ist flüssig, das Endprodukt jedoch teigig (Schweisseisen-Darstellung).

3. bei niederen Temperaturen: Das angewendete Roheisen wie das Frischprodukt sind fest (das Glühfrischen).

Je nach den angewendeten Apparaten und oxydierenden Agentien lassen sich dieselben noch weiter in folgender Weise einteilen.

Übersicht der Frischprozesse.

| Das Frischen erfolgt | Oxydierendes Agens | Frischapparat | Prozess |
|-----------------------------|--------------------|---|---|
| in festem Zustande | Luft Erz | in Glühkästen | Glühstahlbereitung schmiedbarer Guss |
| im teigigen Zustande | Luft | am Frischfeuer(Herd) | Herdfrischen |
| | | <div> <div>im Puddelofen</div> <div> <div>durch Rühren</div> <div>„ Drehen des Ofens</div> </div> </div> | Puddeln |
| | Erz | <div> <div>im Puddelofen</div> <div> <div>durch Rühren</div> <div>„ Drehen des Ofens</div> </div> </div> | Erzpuddeln |
| im flüssigen Zustande | Luft | <div> <div>in Birnen od. Konvertern</div> <div> <div>mit sauerem Futter</div> <div>mit basischem Futter</div> </div> </div> | <div> <div>Bessemer</div> <div> <div>sauer</div> <div>basisch (Thomasprozess)</div> </div> </div> |
| | Luft oder Erz | <div> <div>im Flammofen</div> <div> <div>mit sauerem Futter</div> <div>mit basischem Futter</div> </div> </div> | <div> <div>Siemens-Martin-Prozess</div> <div> <div>sauer</div> <div>basisch</div> </div> </div> |
| | Erz | im Tiegel | Erzstahl-Verfahren |

Wie aus dieser Zusammenstellung hervorgeht, ist es in allen Fällen Sauerstoff, der bei dem Frischprozesse wirksam auftritt.

Schon im ersten Buche dieses Teiles¹⁾ wurde erwähnt, dass sich geschmolzenes Eisen in Berührung mit Sauerstoff teilweise zu Eisenoxydul oxydiert, das vom geschmolzenen Eisen gelöst wird. Bei Anwesenheit von Kieselsäure verbindet sich diese mit dem Eisenoxydul und giebt Schlacke.

Enthält das Eisen — was ja bei allen technischen Eisensorten der Fall ist — noch andere Begleitstoffe, so werden auch diese dem oxydierenden Einflusse des Sauerstoffes unterliegen. Hierbei werden natürlich die am leichtesten oxydierbaren Bestandteile zuerst oxydiert werden. Erstere werden daher die weniger leicht oxydierbaren vor der Oxydation schützen.

An derselben Stelle wurde auch bereits erwähnt, dass dieser Schutz keineswegs so weit geht, dass die einzelnen Bestandteile des Eisens der Reihe ihrer Oxydierbarkeit entsprechend, einer nach dem andern aus dem Metalle entfernt werden können, ja dass es nicht einmal möglich ist, die Reihenfolge, in welcher die Oxydation dieser verschiedenen Elemente beginnt, ein für allemal zu fixieren, indem hierbei das gegenseitige Massenverhältnis, die Temperatur, bei welcher sich die Oxydation vollzieht, und die Gegenwart fremder Stoffe eine wesentliche Rolle spielen.

Da in den technischen Eisensorten das Eisen gewöhnlich in weit überwiegender Menge vorhanden ist, wird dieses Element immer mit oxydiert und teils durch gleichzeitig oxydiertes Silicium oder durch schon vorhandene Kieselsäure verschlackt, teils reagiert erst die so entstandene Sauerstoffverbindung desselben (und des Mangan) auf die Begleitstoffe des Eisens, so dass die Sauerstoffverbindungen des Eisens quasi als Sauerstoffüberträger angesehen werden können.

Die Wirkung der Temperatur und fremden Stoffe wurde gleichfalls bereits an der erwähnten Stelle an Beispielen erörtert, doch sollen hier noch einige Beispiele angeführt werden.

Phosphor wird bei Gegenwart einer kieselsäurereichen Schlacke überhaupt nicht oxydiert. Bei Gegenwart basischer Schlacke hingegen, wo die Möglichkeit zur Bildung von Phosphaten gegeben ist, erfolgt die Oxydation des Phosphors gleichzeitig mit jener des Siliciums, und — vorausgesetzt, dass die Arbeitstemperatur die Schmelztemperatur des Roheisens nicht wesentlich überschreitet

1) Seite 17.

— vor der Verbrennung des Kohlenstoffes. Liegt die Frischtemperatur jedoch sehr hoch, so verbrennt zuerst der Kohlenstoff, und erst wenn dieses Element fast vollständig verschwunden ist, kann die Oxydation des Phosphors beginnen. Ja, bei hohen Temperaturen kann es sogar vorkommen, dass der im Eisen enthaltene Kohlenstoff Phosphor aus etwa in der Schlacke enthaltenen Phosphaten reduziert.

Wie das eben Gesagte erkennen lässt, ist es bei Gegenwart basischer Stoffe (Eisenoxydul, Manganoxydul, Kalk u. s. w.) bei niedriger Temperatur möglich, den Phosphor vor dem Kohlenstoffe zu oxydieren — wobei allerdings die Bildungsenergie der Phosphate eine Rolle spielt.

In Öfen mit basischer Zustellung verbrennt der Kohlenstoff viel rascher und vollständiger als in solchen mit kieselsäurereichem Futter. Dies rührt daher, weil in letzteren das oxydierte Eisen mit der Kieselsäure Schlacke bildet, während es bei Öfen mit basischer Zustellung nur in geringem Grade verschlackt, hingegen aber oxydierend auf den Kohlenstoff wirkt und so — wie schon erwähnt — die Rolle eines Sauerstoffüberträgers spielt.

Kupfer, Kobalt, Nickel, Antimon und Arsen lassen sich beim Frischen des Eisens nicht oxydieren; sie bleiben daher im Eisen zurück, und da die Masse des Metalles durch Oxydation seiner anderen Bestandteile sich verringert, steigt beim Frischen der Prozentgehalt des Metalles an diesen Stoffen.

Der Schwefelgehalt des Eisens wird beim Frischen nur zu sehr geringerem Teile als SO_2 entfernt; hingegen gelingt es bei Gegenwart basischer, namentlich manganreicher Schlacken einen Teil desselben als Sulfid (also unoxydiert) in die Schlacke zu bringen.¹⁾

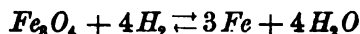
Die Wirkung des Sauerstoffs auf Eisen im teigigen Zustande ist nach dem Gesagten ohne weiteres verständlich, wenn man bedenkt, dass in diesem Falle die Oxydation bei relativ niedriger Temperatur erfolgt, wenn man also den Einfluss der niederen Arbeitstemperatur berücksichtigt. Welche Rolle hier die eingeschlossenen Oxyde, beziehungsweise Schlacken spielen, wurde bereits angedeutet.²⁾

1) Siehe Seite 120—149.

2) Siehe Seite 149—152.

Die Einwirkung des Sauerstoffes auf festes erhitztes Eisen wurde gleichfalls schon früher besprochen.¹⁾

Wir haben schon in der Einleitung und a. a. O. gesehen, dass die Wechselwirkung zwischen Wasserstoff und Eisenoxyduloxyd:



zu einer umkehrbaren Reaktion führt, indem sich zwischen dem Wasserdampf- und Wasserstoffgehalte der Gasphase ein Gleichgewicht einstellt. Ein derartiges Gasgemenge kann nur dann oxydierend wirken, wenn es mehr Wasserdampf enthält als dem Gleichgewichte entspricht, während es reduzierend wirkt, wenn sein Wasserstoffgehalt grösser ist.

Genau dasselbe tritt auch dann ein, wenn die Oxydation durch Sauerstoff oder Kohlensäure bewirkt wird. Auch hier tritt ein Gleichgewicht zwischen Kohlensäure und Kohlenoxyd ein, und es werden somit alle hierüber im ersten und zweiten Buche dieses Teiles bereits entwickelten Betrachtungen und Gesetze ebenso wie für die Reduktionsprozesse auch für die Oxydationsvorgänge Geltung haben.

Namentlich aber ist zur Beurteilung der Frischprozesse die Kenntnis der freien Energien der betreffenden Reaktionen von Wichtigkeit, die wir ja²⁾ als Mass der Affinität kennen gelernt haben. Leider sind dieselben noch zu wenig bekannt, um eine theoretische Behandlung der hierher gehörigen Vorgänge zu ermöglichen. Es wird hier genügen, auf die betreffenden Kapitel des vorliegenden Teiles, namentlich auf das achte Kapitel des zweiten Buches, hinzuweisen, in welchem das Wichtigste hierüber zusammengefasst ist.

Wir wollen nun die einzelnen Gruppen von Frischprozessen der Reihe nach besprechen.

1) Seite 19—23.

2) Zweites Buch, drittes Kapitel.

DREIZEHNTES KAPITEL.

Frischen des Eisens im festen Zustande (Glühstahlbereitung und schmiedbarer Guss).

Das Glühfrischen, das ist die Entkohlung des Roheisens im festen Zustande durch Glühen mit Sauerstoff abgebenden Körpern wurde bereits im 17. Jahrhundert ausgeführt. Natürlich findet das Verfahren hauptsächlich zur Erzeugung kleinerer Gussstücke Anwendung, doch wurden bis in die jüngste Zeit in Steiermark auch dünne Roheisenscheiben hergestellt (das sogenannte Blattelreissen) und durch Glühfrischen entkohlt.

Der Vorgang beruht darauf, dass an der Oberfläche der Gussstücke, sei es durch unmittelbare Einwirkung von Luftsauerstoff, sei es durch Sauerstoff abgebende Oxyde, der Kohlenstoff verbrannt wird. Bei längerem Glühen wandert nun infolge des so entstehenden Konzentrationsgefälles Kohlenstoff aus dem Innern gegen die Oberfläche, wird dort wieder verbrannt, und so schreitet die Entkohlung in das Innere hinein fort. Wird das Glühen zu früh unterbrochen, so bleibt das Innere der Gussstücke kohlenstoffreich, und es entsteht so der „Kern“.

Als Oxydationsmittel („Glühmittel“) verwendet man Roteisenerze, sowie geröstete Magnet-, Spat- und Brauneisensteine. Eine zu rasche Oxydation bewirkt eine Lockerung des Metallgefüges durch das entwickelte Kohlenoxydgas; ja es kann zur Abtrennung einer entkohlten Schale vom kohlenstoffreichen Kern kommen. Da nun die verwendeten Erze während des Prozesses Sauerstoff verlieren, kann man ihre oxydierende Wirkung durch Beimengung von schon gebrauchten Glühmitteln abschwächen. Manchmal setzt man dem Erze auch unwirksame Verdünnungsmittel (gebrannten Kalk, u. s. w.) zu. Erze, die wegen niederem Eisenoxyd-gehalte zu wenig energisch wirken, können durch Zusatz von Braunstein brauchbarer gemacht werden. Jedenfalls sollen dieselben schwefelarm sein, um eine Anreicherung des Metalles an diesem schädlichen Elemente zu vermeiden.

Soll (wie beim Tunnerschen Glühstahl) der atmosphärische Sauerstoff als Oxydationsmittel verwendet werden, so packt man,

um ein Verbrennen des Eisens¹⁾ zu vermeiden, die Gussstücke in groben Quarzsand.

Als Rohmaterialie verwendet man weisses Roheisen mit mässigem Siliciumgehalt (um dichte und scharfe Abgüsse zu erhalten, soll der Siliciumgehalt nicht unter 0,4 %, am besten zwischen 0,6 und 0,8 % betragen). Der Kohlenstoffgehalt soll 3 % nicht wesentlich übersteigen, und auch der Phosphor- und Schwefelgehalt soll gering sein. Da Graphit nicht, oder doch nur in unmittelbarer Berührung mit den Glühmitteln verbrannt wird, wählt man graphitfreies, also weisses Roheisen.

Ein hoher Mangangehalt verzögert die Oxydation des Kohlenstoffes, weshalb derselbe 0,4 % nicht übersteigen soll.

Kleinere Gegenstände werden aus Tiegeln gegossen (schmiedbarer Guss), während der Guss grösserer Gegenstände aus Kupolöfen erfolgt (Temperstahl).²⁾

Die gegossenen und sorgfältig von anhängendem Formmaterialie gereinigten Gegenstände werden — wenn sie klein sind — in cylindrische, gusseiserne Glühtöpfe — wenn sie grösser sind — in die gemauerten Behälter des Glühofens verpackt. Die Behälter werden (nachdem solche aus Eisen innen mit Kalk bestrichen wurden) mit einer Schicht des Glühmittels beschickt, die Gussstücke in gleichmässiger Verteilung (jedoch ohne einander oder die Wände zu berühren) eingelegt, die Zwischenräume mit Glühmittel ausgefüllt, eine Schicht des Glühmittels darüber gedeckt, eine zweite Schicht der Gussstücke eingelegt, u. s. w. Nun werden die Glühtöpfe (wo solche zur Anwendung kommen) mit eisernen oder blechernen Deckeln geschlossen und in den Ofen eingesetzt, während die im Ofen selbst eingebetteten Gussstücke mit Ziegeln bedeckt werden. Man verschliesst die Einsatzöffnung und beginnt zu feuern. Je nach der Grösse der Gegenstände und dem Grade der zu erzielenden Entkohlung ist die Dauer des Prozesses (mindestens eine Woche) eine verschiedene. Wichtig ist die Einhaltung der richtigen Temperatur (Rotglut). Nach dem Abkühlen des Ofens wird derselbe geöffnet, die Gefässe werden entleert und

1) Seite 20 dieses Teiles, siehe auch zweiter Teil, Seite 81.

2) Nicht zu verwechseln mit Temperguss. Beim eigentlichen Tempern wird nur der gebundene Kohlenstoff in Temperkohle übergeführt, wodurch das Material schmiedbar wird, während beim Glühfrischen der Kohlenstoff durch Oxydation derselben aus dem Metalle entfernt wird.

jeder einzelne Gegenstand auf Weichheit und Dehnbarkeit geprüft und die anhaftende Glühmasse entfernt.

Über den chemischen Verlauf des Prozesses geben die folgenden Untersuchungsreihen Aufschluss.

I. Versuche von Davenport.¹⁾

Erster Versuch:

| | <i>C</i> | <i>Si</i> | <i>P</i> | <i>S</i> | <i>Mn</i> |
|--------------------------------|----------|-----------|----------|----------|-----------|
| Vor dem Glühen | 3,44 | 0,44 | 0,31 | 0,059 | 0,53 |
| nach einmaligem Glühen | 1,51 | 0,44 | 0,32 | 0,067 | 0,58 |
| „ zweimaligem „ | < 0,10 | 0,45 | 0,31 | 0,083 | 0,52 |

Zweiter Versuch:

| | <i>C</i> | <i>Si</i> | <i>P</i> | <i>S</i> | <i>Mn</i> |
|--------------------------------|----------|-----------|----------|----------|-----------|
| Vor dem Glühen | 3,48 | 0,58 | 0,28 | 0,10 | 0,58 |
| nach einmaligem Glühen | 0,43 | 0,61 | 0,29 | 0,14 | 0,61 |
| „ zweimaligem „ | < 0,10 | 0,61 | 0,29 | 0,16 | 0,57 |

Die Versuche zeigen, was sich ja übrigens von vornherein erwarten lässt, dass sich nur der Kohlenstoffgehalt, und zwar bedeutend verringert, während der Silicium-, Phosphor-, und Mangan-gehalt keine Veränderung erfahren. Der Schwefelgehalt kann durch Aufnahme aus dem Glühmittel eine Vergrößerung erfahren.

Ebenso fand auch Forquignon,²⁾ dass der Siliciumgehalt selbst nach 144 stündigem Erhitzen ungeändert bleibt:

| | | | | |
|-------------------------------|--------|-----------|--------|-----------|
| Vor dem Glühen | 0,45% | <i>Si</i> | 0,77% | <i>Si</i> |
| nach dem Glühen in Sand . . . | 0,44 „ | „ | — „ | „ |
| „ „ „ „ Erz | — „ | „ | 0,76 „ | „ |

Hingegen fand Richter,³⁾ dass beim Glühen in Sand der Silicium- und Mangangehalt abnehmen könne.

1) Chemische Untersuchungen über einige Punkte der Darstellung schmiedbaren Gusses. Dingl. polyt. Journ. 207, p. 51; Mechanics Magazine 1871, p. 392.

2) Recherches sur la fonte malléable et sur la recuit des aciers (Ann. chim. phys. 5^{ème} Serie, 23, p. 433, 1881; Stahl und Eisen 1886, S. 380, 777.

3) Jahrb. der österr. Bergakademien, 1860, S. 359.

II. Untersuchungen Richters über das Glühfrischen in Quarzsand (Tunners Glühstahlerzeugung).

| | C | Si | S | Mn |
|--------------------------|------|-------|-------|------|
| 1. Probe | | | | |
| Vor dem Glühen | 3,57 | 0,18 | 0,009 | 0,61 |
| nach „ „ | 1,17 | 0,002 | 0,010 | 0,19 |
| 2. Probe | | | | |
| Vor dem Glühen | 3,42 | 0,11 | 0,008 | 0,58 |
| nach „ „ | 1,20 | 0,008 | 0,011 | 0,21 |

Ähnlich fand auch Gottlieb¹⁾ bei der Tunnerschen Glühstoffbereitung eine Verringerung des Siliciumgehalts von 1,01 auf 0,25 %

Wahrscheinlich wurde in beiden Fällen eine ausserordentlich hohe Temperatur angewendet. Der Vorgang findet übrigens eine Analogie in der Schlackenbildung an Ingots aus Soaking pits oder Glühöfen.²⁾

Die Oxydation des Kohlenstoffes erfolgt beim Glühfrischen nicht unmittelbar, sondern der chemisch gebundene Kohlenstoff wird (wenigstens im Innern der Glühstücke) zunächst in Temperkohle umgewandelt, wie folgende Versuche zeigen.

III. Unternehmungen Forquignons³⁾ über die Veränderungen des Kohlenstoffes beim Glühfrischen.

| | Vor dem Glühen | Nach | | |
|--------------------------------|-------------------|------------------|------|------|
| | | 36-, | 72-, | 144- |
| | | ständigem Glühen | | |
| 1. Versuch | | | | |
| Härtungs- und Carbid-Kohle . . | 2,94 | 2,13 | 0,96 | 0,84 |
| Temperkohle | Spur | 0,47 | 0,84 | 0,26 |
| Zusammen | 2,94 | 2,60 | 1,80 | 1,10 |
| 2. Versuch | | | | |
| Härtungs- und Carbid-Kohle . . | 3,27 | 1,55 | 1,25 | 0,90 |
| Temperkohle | — | 1,45 | 1,09 | 1,51 |
| Zusammen | 3,27 | 3,00 | 2,34 | 1,41 |

1) Jahrb. d. österr. Bergakademien 1857, S. 105.

2) Siehe die Schlackenanalyse im ersten Teil, S. 287.

3) l. c.

| | Vor dem Glühen | Nach | | |
|--------------------------------|-------------------|------------------|------|------|
| | | 36-, | 72-, | 144- |
| | | stündigem Glühen | | |
| 3. Versuch | | | | |
| Härtungs- und Carbid-Kohle . . | 3,12 | 0,94 | 1,02 | 0,81 |
| Temperkohle | Spur | 1,61 | 1,19 | 0,50 |
| Zusammen | 3,12 | 2,55 | 2,21 | 1,31 |
| 4. Versuch | | | | |
| Härtungs- und Carbid-Kohle . . | 3,51 | 1,17 | 0,85 | 0,71 |
| Temperkohle | 0,02 | 2,28 | 1,56 | 0,81 |
| Zusammen | 3,53 | 3,45 | 2,41 | 1,52 |

IV. Untersuchungen Forquignons¹⁾ über das Glühen in Quarzsand.

| | Vor dem Glühen | Nach | |
|--------------------------------|-------------------|------------------|------|
| | | 72-, | 144- |
| | | stündigem Glühen | |
| 1. Versuch | | | |
| Härtungs- und Carbid-Kohle . . | 2,94 | 1,45 | 1,00 |
| Temperkohle | 0,00 | 0,16 | 0,50 |
| Zusammen | 2,94 | 1,61 | 1,50 |
| 2. Versuch | | | |
| Härtungs- und Carbid-Kohle . . | 3,27 | 1,82 | 1,26 |
| Temperkohle | 0,00 | 1,20 | 1,18 |
| Zusammen | 3,27 | 3,02 | 2,44 |

Ähnliche Versuche wurden auch von Watanabe²⁾ ausgeführt, wobei die Proben in den kalten Ofen eingesetzt wurden. Nach vier Tagen war Rotglut erreicht, worauf noch vier Tage lang geheizt wurde.

1) l. c.

2) Stahl und Eisen 1897, S. 633.

V. Versuche von Watanabe.¹⁾

| | Härtungs- kohle | Carbid- kohle | Temper- kohle | Gesamt- Kohlenstoff |
|--------------------------------|--------------------|------------------|------------------|------------------------|
| ungeglüht. | 0,741 | 2,597 | — | 3,338 |
| nach 4tägigem Glühen | 0,815 | 2,246 | — | 3,061 |
| " 5 " " | 0,859 | 2,073 | — | 2,932 |
| " 6 " " | 0,835 | 1,874 | 0,179 | 2,888 |
| " 7 " " | 0,681 | 0,430 | 1,037 | 2,098 |
| " 8 " " | 0,245 | 0,492 | 0,823 | 1,570 |
| " 10 " " | — | 0,656 | 0,443 | 1,099 |

Die Zunahme der Härtungskohle nach dem ersten Tage des Glühens ist darauf zurückzuführen, dass das gegossene Stück (Analyse der mit „ungeglüht“ bezeichneten Probe) langsam, die aus dem Ofen entnommenen Proben jedoch verhältnismässig rasch erkaltet waren. Überdies liegt die Entkohlungstemperatur ober der Umwandlungstemperatur von Härtungskohle in Carbidkohle, so dass die getrennte Bestimmung dieser beiden Kohlenstoffformen in vorstehender Untersuchung ganz überflüssig erscheint.

Die Entkohlung erfolgt erst dann rascher, wenn Temperkohle aufzutreten beginnt.

Diese Beobachtungen werden durch die Untersuchungen Roystons²⁾ vollkommen bestätigt.

Überdies hat Forquignon³⁾ auch noch gezeigt, dass auch durch Überleiten von trockenem Wasserstoff oder Stickstoff über kohlenstoffhaltiges Eisen bei Gelbglut eine Entkohlung desselben bewirkt werden könne.

VI. Untersuchungen Forquignons über das Glühen im Wasserstoff- oder Stickstoffstrom.

| | C% |
|--|------|
| 1. Versuch | |
| Vor dem Glühen | 3,27 |
| Nach 46stündigem Glühen im Wasserstoffstrom | 1,83 |
| 2. Versuch | |
| Vor dem Glühen | 2,94 |
| Nach 46stündigem Glühen im Wasserstoffstrom, der bereits auf die Probe des ersten Versuches eingewirkt hatte | 2,30 |

1) l. c.

2) Journ. Iron Steel Inst. 1897 I, p. 154.

3) l. c.

| | C% |
|---|------|
| 3. Versuch | |
| Vor dem Glühen | 2,94 |
| Nach 62stündigem Glühen im Wasserstoffstrome bei dunkler Rotglut | 3,02 |
| Nach abermaligem 48stündigem Glühen im Wasserstoffstrome bei heller Rotglut | 1,79 |
| 4. Versuch | |
| Vor dem Glühen | 2,91 |
| Nach 48stündigem Glühen im Stickstoffstrom | 2,44 |

Übrigens beobachtete auch Osmond¹⁾ beim Glühen im Wasserstoffstrome eine Kohlenstoffabnahme.

Die nach dem Glühen entweichenden Gase enthielten Kohlenwasserstoff, bezw. Cyan.

Diese Erscheinung kann übrigens auch die auffallende Tatsache erklären, dass der Kohlenstoffgehalt des weissen Roheisens auch beim Glühen in Holzkohle abnimmt:

1. Versuch (Forquignon).

| | |
|---------------------------------------|----------|
| Vor dem Glühen | 2,94% C |
| nach 144stündigem Glühen in Holzkohle | 2,26 „ „ |

2. Versuch (Ledebur)²⁾

| | |
|---------------------------------------|----------|
| Vor dem Glühen | 2,82 „ „ |
| nach 108stündigem Glühen in Holzkohle | 2,29 „ „ |

3. Versuch (Ledebur)²⁾

| | |
|--------------------------------------|----------|
| Vor dem Glühen | 2,31 „ „ |
| nach 72stündigem Glühen in Holzkohle | 1,86 „ „ |

4. Versuch (Ledebur)²⁾

| | |
|---------------------------------------|----------|
| Vor dem Glühen | 3,83 „ „ |
| nach 108stündigem Glühen in Holzkohle | 3,39 „ „ |

In anderen Fällen wird jedoch der Kohlenstoffgehalt des Roheisens durch Glühen in Holzkohle nicht verändert.

Schliesslich mögen noch die folgenden Ergebnisse aus der Praxis³⁾ mitgeteilt werden:

1) Transformation du fer et du carbone, p. 66.

2) Stahl und Eisen 1886, S. 381, 777.

3) B. Osann, Stahl und Eisen 1903, S. 32.

| | C % | Mn % | Si % | P % | S % |
|---|--------|---------|---------|--------|--------|
| Zusammensetzung des Roheisens vor dem Glühen ¹⁾ | 8,23 | 0,50 | 0,56 | 0,057 | 0,44 |
| nach 8tägigem Glühen | „ | 0,33 | 0,54 | 0,095 | 0,161 |
| „ 10 „ „ | „ | 0,33 | 0,54 | 0,100 | 0,181 |
| am Ende des Verfahrens | „ | 0,33 | 0,54 | 0,109 | 0,209 |

Der Kohlenstoffgehalt betrug:

| | bei einer Wandstärke von | | | |
|------------------------------|--------------------------|--------|-------|-------|
| | 4,5 mm | 9,7 mm | 20 mm | 40 mm |
| | % | | | |
| Nach 8tägigem Glühen | 1,81 | 1,79 | 2,92 | 2,98 |
| " 10 " " " | 1,19 | 1,54 | 2,77 | 2,86 |
| am Ende des Verfahrens . . . | 0,31 | 0,87 | 2,54 | 2,68 |

Ein Flusseisenstab, der getempert wurde, hatte:

| | C % | Mn % | Si % | P % | S % |
|---------------------------|--------|---------|---------|--------|--------|
| Vor dem Tempern | 0,065 | 0,40 | 0,37 | 0,086 | 0,024 |
| nach „ „ | 0,058 | 0,40 | 0,37 | 0,105 | 0,047 |

Welche Veränderungen das Glühmittel erleidet, zeigen folgende Analysen:

| | Eisen als | | P | S |
|---|----------------|------------|------|------|
| | Fe_2O_3 % | FeO % | % | % |
| Neues Tempererz vor dem Tempern | 44,78 | 1,73 | 0,30 | — |
| Gemisch aus alter und neuer Tempermasse vor dem Tempern . | 30,00 | 17,0 | 0,30 | 0,35 |
| Tempermasse nach dem Tempern: | | | | |
| 1. unmittelbar am Gussstück gelagerte Kruste | 25,98 | 38,41 | 0,19 | 0,29 |
| 2. weiter vom Gussstück entfernte Masse | 7,98 | 39,59 | 0,29 | 0,27 |

1) Nur der Kohlenstoff wurde direkt bestimmt, die übrige Zusammensetzung ist aus der Gattierung der im Kupolofen umgeschmolzenen Roheisensorten berechnet.

2) Siehe die nächste Tabelle.

Neben den schon früher erwähnten Untersuchungen Roy-stons¹⁾ und anderer, sind noch jene von A. F. Child und W. P. Heineken²⁾ über die Veränderungen zu erwähnen, welche das Kleingefüge und die mechanischen Eigenschaften des Gusseisens durch kurzes Ausglühen, sowie bei der Darstellung von schmiedbarem Guss erleiden. Die Ergebnisse ihrer Untersuchungen lassen sich kurz in folgender Weise zusammenfassen.

1. Bei der Erzeugung von schmiedbarem Guss spielen sich zwei Vorgänge ab:

a) das Carbid Fe_3C zerfällt in der Hitze in fein verteilte Temperkohle und in Ferrit,

b) die Temperkohle wird durch das Eisenoxyd der Packung in Kohlenoxyd umgewandelt, das später zu Kohlensäure verbrennt.

2. Die Zerlegung des Carbids nimmt nur kurze Zeit in Anspruch. (?)

3. Der graphitische Kohlenstoff wird nur schwer aus Gusseisen entfernt. (Selbst nach 40tägigem Glühen war noch ein kleiner schwarzer Kern von Graphit und Ferrit im Gusseisen unverändert zurückgeblieben.

4. Der Perlit hat das Bestreben, sich bei langem Glühen und nachfolgendem langsamen Abkühlen um Graphitausscheidungen zu bilden.

5. Mässig langes Erhitzen ist vorteilhaft für Grauguss.

6. Die starke Porosität des grauen Gusseisens, die durch bei langem Glühen erfolgende Entfernung des Graphites hervorgerufen wird, ist die Hauptursache seiner geringen Festigkeit.

7. Der Austenit nimmt im Gefüge des von hohen Temperaturen plötzlich abgekühlten weissen Eisens dieselbe Stellung ein wie der Perlit im Gefüge von weissem Eisen, das von hohen Temperaturen langsam erkaltete.³⁾

8. Perlit erteilt dem Eisen Festigkeit.

9. Der Punkt A_{r_1} scheint durch die Gegenwart von viel gebundenem Kohlenstoff (weisses Eisen) herabgedrückt zu werden. (?)⁴⁾

1) Siehe auch zweiter Teil, S. 50.

2) Trans. Amer. Inst. Mining. Eng. 1900, p. 734—759.

3) Das ist wohl begreiflich, da ja bei der langsamen Abkühlung die Hauptmasse des Austenites in Martensit, und dieser in Perlit übergeht.

4) Neuere Untersuchungen von Carpenter und Keeling sprechen für das Gegenteil.

VIERZEHTES KAPITEL.

Frischprozesse, bei welchen das Frischprodukt in teigigem Zustande aus flüssigem Roheisen gewonnen wird. (Herdfrischen.)

Die hierher gehörigen Verfahren unterscheiden sich je nach den Metallmengen, welche auf einmal dem Frischprozesse untergezogen werden, in das

Herdfrischen, wobei kleine Partien des Roheisens von dem Gebläse niedergeschmolzen und gefrischt werden, und das

Puddeln oder Flammofenfrischen, wobei grössere Roheisenmengen in einem Flammofen geschmolzen und dann gefrischt werden.

In beiden Fällen wird der zum Frischen erforderliche Sauerstoff entweder nur der Luft, oder aber einem sauerstoffhaltigen Erze entnommen, so dass man Luftfrischen und Erzfrischen unterscheiden kann. Beide Prozesse gehen jedoch ohne scharfe Grenzen ineinander über, da ja auch beim Luftfrischen sauerstoffhaltige Schlacken gebildet werden, die dann auf das Eisen oxydierend wirken.

Die Theorie des Prozesses ist kurz folgende: Wenn auf geschmolzenes Roheisen bei einer dem Schmelzpunkte desselben nahe liegenden Temperatur Sauerstoff einwirkt, so oxydiert sich in erster Linie Silicium neben Mangan und Eisen und bildet eine leicht schmelzbare *MnO*- und *FeO*-Silikat-Schlacke.

Wenn auch das Eisen weniger leicht oxydierbar ist als das Mangan, so wird es doch gleichzeitig mit diesem verschlackt, weil es in weit grösserer Menge vorhanden ist als letzteres.

Ist einmal die Hauptmenge des im Roheisen enthaltenen Siliciums oxydiert, so wird die Schlacke infolge fortgesetzter Bildung von Metalloxyd immer basischer und nimmt endlich neben *FeO* und *MnO* noch sehr erhebliche Mengen von *Fe₂O₃* auf. Hierdurch wird die Schlacke strengflüssig.

Da aber hierbei das Eisen immer ärmer an Begleitstoffen wird, sinkt gleichzeitig auch sein Schmelzpunkt, und man muss — um den Prozess nicht zu unterbrechen und die Masse flüssig zu erhalten — die Temperatur steigern. Infolgedessen wird aber jetzt der Kohlenstoff, der wegen der niederen Arbeitstemperatur

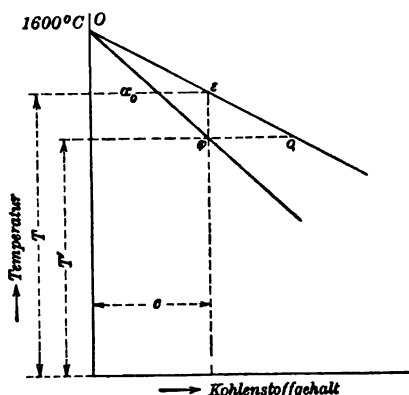
bisher nicht berührt worden war, teils durch freien Sauerstoff, teils (und zwar hauptsächlich) durch den Sauerstoff der in der Schlacke enthaltenen Oxyde des Eisens verbrannt, wobei ein Teil des Eisens der Schlacke wieder zu Metall reduziert wird. Man sagt dann: das Eisen „gart“ oder „wird gar“.

Vor dem Kohlenstoff wird noch der Phosphor oxydiert. Da aber die gebildete Phosphorsäure nur von einer sehr basischen Schlacke aufgenommen werden kann, so wird sie — wenn die Schlacke sauer ist — entweder überhaupt nicht gebildet, oder von dem im Metall enthaltenen Mangan, Eisen oder Kohlenstoff wieder „rückreduziert“.

Der Schwefel wird zu SO_2 oxydiert, und zwar um so vollständiger, je höher die Temperatur ist, und je länger der Prozess dauert.

Einen noch klareren Einblick in diese Verhältnisse erhält man — den Betrachtungen E. Heyns¹⁾ folgend —, wenn man die Vorgänge bei der Erstarrung flüssiger Eisenkohlenstofflegierungen betrachtet.²⁾

Fig. 54.



Eine flüssige Legierung mit $c\%$ Kohlenstoff (Fig. 54) wird beim Sinken der Temperatur auf T^0 zu erstarren beginnen, indem sich aus der Schmelze Mischkrystalle abscheiden, während flüssige Mutterlauge zurückbleibt. Die Mischkrystalle ändern mit weiter sinkenden Temperaturen ihrem Kohlenstoffgehalt entsprechend den

1) Die Metallographie im Dienste der Hüttenkunde, S. 41.

2) Siehe auch zweiter Teil, Einleitung und erstes Buch.

wachsenden Abscissen der Punkte α_0 bis φ . Gleichzeitig wächst ihre Menge von Null, bis sie bei T^0 (Punkt φ) der Menge der gesamten Legierung entsprechen.

Der Kohlenstoffgehalt der flüssigen Mutterlauge wächst gleichfalls entsprechend den wachsenden Abscissen der Punkte von ε bis φ . Bei ε entspricht die Menge der Mutterlauge derjenigen der ganzen Legierung. Ihre Menge nimmt mit sinkender Temperatur ab, bis sie bei T^0 gleich Null geworden ist. Bei dieser Temperatur ist der vorübergehende Zerfall der Legierung beendet, die ganze Masse ist wieder homogen geworden.

Der geschilderte Erstarrungsvorgang entspricht der (langsamen) Erstarrung von Flusseisen. Der Vorgang vollzieht sich bei unverändertem Kohlenstoffgehalt, aber bei sinkender Temperatur.

Bei den uns hier interessierenden Frischprozessen ist der Kohlenstoffgehalt des angewendeten Flusseisens im allgemeinen kleiner als 4,3 % (eutektischer Punkt), und überdies vollzieht sich ein Teil des Frischens bereits im geschmolzenen Metall.

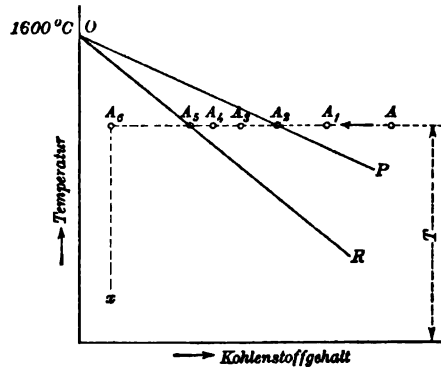
Sehr lehrreich ist nun der Vorgang, der sich bei der Herstellung des Schweisseisens im Puddelofen (oder im Frischherde) und nach Herstellung der Luppe bis zu ihrer Erkalting vollzieht. Um die Überlegung nicht verwickelt zu machen, nehmen wir an, dass die Temperatur im Puddelofen von der Beendigung des Einschmelzens des Satzes ab unverändert bleibt. (Dies trifft ja in Wirklichkeit nicht zu; die Abweichungen beeinflussen aber das Gesamtbild unserer Betrachtung nicht wesentlich; die entsprechende Berichtigung ist leicht anzubringen.)

Der geschmolzene Einsatz habe die Temperatur T , sein Kohlenstoffgehalt sei durch die Abscisse des Punktes A (Fig. 55) dargestellt. Unter dem Einflusse der frischenden Wirkung der Schlacke und der Ofengase (bezw. des Windes) sinkt der Kohlenstoffgehalt des Bades; er wird zu einer bestimmten Zeit der Abscisse des Punktes A_1 entsprechen. Andere Veränderungen sind noch nicht eingetreten, denn A_1 liegt noch oberhalb OP , also im Bereiche der flüssigen Legierung. Erst wenn der Kohlenstoffgehalt so weit gesunken ist, dass der Punkt A_2 (der mit φ in Fig. 54 zusammenfällt) erreicht ist, tritt die Legierung in das Bereich der teils flüssigen, teils festen Legierung zwischen POR ein. Es beginnen sich Mischkrystalle, deren Zusammensetzung der Abscisse von φ , Fig. 54

entspricht (kurz als Mischkrystalle φ bezeichnet), abzuscheiden; ihre Menge ist aber vorläufig noch nahezu Null.

Ist infolge weiterer Frischwirkung der Kohlenstoffgehalt so weit herabgedrückt, dass A nach A_3 ¹⁾ gelangt, so bestehen Mischkrystalle φ neben einer Mutterlauge, deren Kohlenstoffgehalt durch die Abscisse des Punktes φ Fig. 54 angegeben wird (kurz Mutterlauge φ genannt).

Fig. 55.



Das Verhältnis μ zwischen Krystallen φ und Mutterlauge φ ist nun gestiegen von Null auf den Wert $\frac{A_5\varphi}{A_5\varphi}$ ²⁾. Das Ausscheiden dieser Krystalle ist eine bekannte Erscheinung beim Puddelverfahren, die man mit dem Auge beobachten kann. Der Gesamt-Kohlenstoffgehalt des Systems (Kohlenstoff in Krystallen + Kohlenstoff in Mutterlauge) sinkt weiter. Punkt A gelangt nach A_4 . Die Zusammensetzung der ausgeschiedenen Krystalle ändert sich dabei nicht, ihr Kohlenstoffgehalt entspricht immer noch der Abscisse von φ ; ebensowenig hat sich der Kohlenstoffgehalt der Mutterlauge, φ , geändert. Einzig allein verändert hat sich das Verhältnis zwischen Krystallen und Mutterlauge, und zwar zu Gunsten der Krystalle; es ist jetzt $\mu = \frac{A_4\varphi}{A_4\varphi}$. Bei weiter fortgesetzter Frischung gelangt schliesslich A nach A_3 , entsprechend dem Punkte φ , d. h. jetzt hat sich die ganze Legierung in feste Mischkrystalle

1) A_3 giebt den Kohlenstoffgehalt des ganzen Metalles, also von Mischkrystallen und Mutterlauge zusammen.

2) Siehe zweiter Teil, I. c.

umgewandelt, die Menge der flüssigen Mutterlauge ist Null geworden. Die einzelnen Mischkrystalle bilden keine dichte Masse, sie sind durch Schlackenteilchen voneinander getrennt und bilden mit diesen einen Teig. Die Frischwirkung setzt sich (im Puddelofen) auch jetzt weiter fort. Der Kohlenstoffgehalt der Krystalle sinkt beispielsweise bis zu dem der Abscisse von A_6 entsprechenden Betrage; natürlich kann sich das nur auf den Durchschnittskohlenstoff beziehen, denn die einzelnen Mischkrystalle werden nicht gleichmässig von der Frischwirkung betroffen, und zeigen wechselnden Kohlenstoffgehalt. Hat der Durchschnittskohlenstoffgehalt den gewünschten Wert erreicht, z. B. bei A_6 , so werden die Luppen aus dem Ofen genommen; bei ihrer Weiterverarbeitung sinkt die Temperatur, so dass die weitere Änderung des Systems durch die Linie A_6x dargestellt wird.¹⁾

Jetzt ist es auch klar, warum beim Puddelprozesse zum Zwecke des Garens die Temperatur gesteigert wird, und welchen Zweck die Zweimal- bzw. Dreimalerschmelzerei beim Herdfrischen verfolgt.

Wir wollen nun zunächst das Herdfrischen noch etwas näher betrachten.

Der Prozess beruht darauf, dass das Roheisen in kleinen Partien geschmolzen und partienweise durch den Windstrom gefrischt wird.

Je nach der Art des verwendeten Roheisens und der zu erzeugenden Produkte (Stahl oder Schmiedeeisen) lassen sich drei Haupttypen unterscheiden, die noch weiter in zahlreiche, lokal angewendete Unterarten zerfallen:

1. die Einmalschmelzerei oder Schwalarbeit liefert durch einmaliges Niederschmelzen von mangan- und siliciumarmem Roheisen als Fertigprodukt Frischstahl.

2. Die Zweimalerschmelzerei oder Wallonenfrischerei liefert durch zweimaliges Schmelzen von halbiertem oder weissem Roheisen mit niederem Siliciumgehalt schiedbares Eisen.

1) Dass der Frischprozess auch bei der weiteren Bearbeitung noch fortschreitet, haben wir auf S. 149 dieses Teiles bereits gesehen.

3. Die Dreimalerschmelzerei oder das deutsche Frischverfahren verwendet graues, stark siliciumhaltiges Roheisen und erfordert mindestens dreimaliges Niederschmelzen.

Wir wollen hier nur die heute noch am meisten verbreitete Methode, das sogenannte Lancashirefrischen — eine Abart des Wallonenfrischens —, bei welchem licht graues (stark halbiertes) oder weisses Roheisen zur Verwendung gelangt, besprechen.

Das während des vorausgehenden Frischens am Vorwärmerde kräftig erwärmte Roheisen wird in das Frischfeuer gebracht, dessen Boden vorher mit einer Schicht Kohl lösche, dann mit Garschlacke (Endschlacke) oder Hammerschlag, hierauf mit einer Lage Kohlen bedeckt wurde. Nun wird das Roheisen noch mit einer Lage Kohlen überdeckt, das Gebläse in Thätigkeit gesetzt und auf die Kohlen nochmals Garschlacke oder Hammerschlag gebracht. Nach beendetem Schmelzen bricht man die an den „Zacken“¹⁾ entstandenen Ansätze von Eisen und Schlacke los und schmilzt sie nochmals vor der Form nieder. Sollten die Eisenmassen noch nicht in teigigem Zustande am Boden des Herdes liegen, so wird Garschlacke nachgetragen und mit kaltem Wind weiter geblasen.

Nun wird die teigige Masse „aufgebrochen“, mit einer Brechstange bis zur Oberkante des Feuers emporgehoben und nochmals vor dem Winde niedergeschmolzen. Dies wird so lange wiederholt, als noch flüssiges Eisen ausseigert.

Bei dem nun folgenden „Luppenmachen“ oder Garfrischen wird die nun stahlartige Masse zu einem einzigen Klumpen vereinigt und nochmals bei stark gepresstem Winde niedergeschmolzen, worauf der Wind abgestellt, die Luppe ausgebrochen, unter einem Hammer „gezängt“ und in einige Stücke zerteilt wird, die nun behufs Schweissung in einen Schweisssofen gelangen.

Von den wenigen und noch überdies nicht sehr verlässlichen Untersuchungen über den chemischen Verlauf des Herdfrischens möge die von Botischew²⁾ im Eisenwerk Nischneturinski angestellte als eine der vertrauenswürdigsten mitgeteilt werden.

1) Den Herdwänden und den Boden.

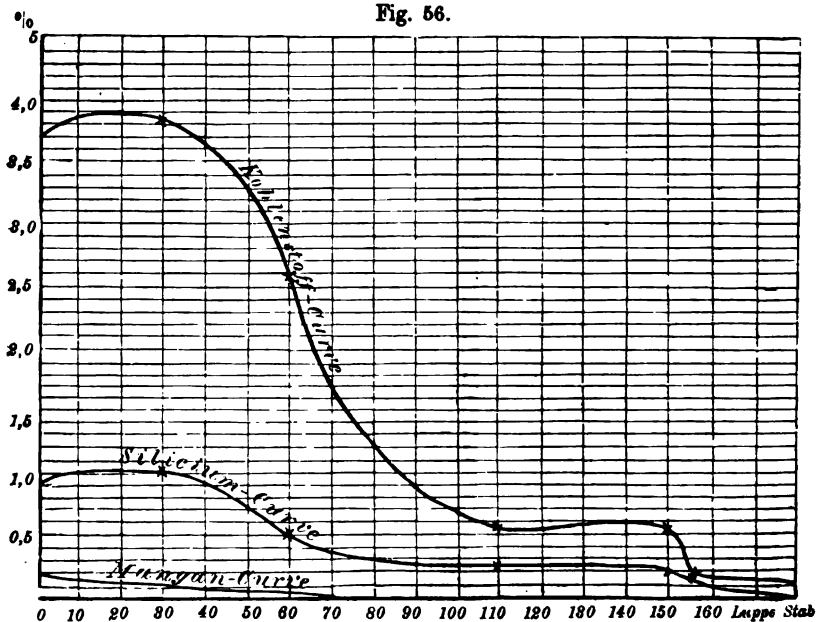
2) Österr. Zeitschr. für Berg- und Hüttenwesen 1862, S. 228.

| Bezeichnung der Probe | Graphit | Gebundener Kohlenstoff | Gesamt-Kohlenstoff | Silicium | Mangan |
|--|---------|------------------------|--------------------|----------|--------|
| | % | % | % | % | % |
| Roheisen | 3,30 | 0,40 | 3,70 | 0,94 | 0,17 |
| nach 30 Minuten . . . | 2,56 | 1,25 | 3,81 | 1,10 | 0,09 |
| " 60 " . . . | 1,45 | 1,02 | 2,46 | 0,47 | 0,04 |
| " 110 " . . . | — | 0,54 | 0,54 | 0,26 | — |
| " 150 " . . . | — | 0,58 | 0,58 | 0,20 | — |
| " 165 " . . . | — | 0,20 | 0,20 | 0,16 | — |
| Die Luppe vor dem Zängen (160 Minuten) | — | 0,17 | 0,17 | 0,06 | — |
| Die Luppe nach dem Zängen | — | 0,16 | 0,16 | 0,04 | — |
| Das geschweisste und ausgeschmiedete Eisen | — | 0,11 | 0,11 | 0,03 | — |

Fig. 56 gibt eine graphische Darstellung dieser Verhältnisse.

Das anfängliche Ansteigen des Kohlenstoffgehaltes erklärt sich leicht daraus, dass zu Beginn des Frischens (neben Silicium)

Fig. 56.



hauptsächlich Eisen und Mangan oxydiert werden. Hingegen scheint die gleichzeitige Zunahme des Siliciumgehaltes auf einem Irrtum zu beruhen.

Zu Beginn des Frischens entstehen eisenärmere (Rohschlacken), gegen Ende aber eisenreichere Schlacken (Garschlacken). Ihre Zusammensetzung ist auf den folgenden Analysen¹⁾ ersichtlich:

| Bestandteile | Rohschlacken | | | Garschlacken | | |
|-----------------|-------------------------|------------------|------------------|----------------------------------|----------------------------------|--------------------------------|
| | Vom Rybnik nach Karsten | nach Rammelsberg | nach Rammelsberg | Harzer Schlacke nach Rammelsberg | Harzer Schlacke nach Rammelsberg | Luppen-schlacke nach Botischew |
| SiO_2 . . . | 28,00 | 30,50 | 31,47 | 17,60 | 14,18 | 3,10 |
| FeO . . . | 61,20 | 48,33 | 44,34 | 67,71 | 65,06 | } $Fe = 71,63$ |
| Fe_2O_3 . . . | 2,25 | 4,57 | 7,72 | 6,14 | 14,93 | |
| MnO . . . | 6,70 | 7,21 | 9,13 | 5,09 | 4,78 | 0,41 |
| MgO . . . | 2,40 | 4,20 | 3,58 | 0,86 | — | — |
| CaO . . . | 0,90 | 4,82 | 4,02 | 0,89 | 1,28 | 0,23 |
| Al_2O_3 . . . | 0,20 | — | — | 0,47 | 1,23 | 0,73 |
| P_2O_5 . . . | n. best. | n. best. | n. best. | 2,32 | 0,62 | n. best. |
| S . . . | " " | " " | " " | 0,25 | 0,13 | " " |

FÜNFZEHNTE KAPITEL.

Frischprozesse, bei welchen das Frischprodukt in teigigem Zustande aus flüssigem Roheisen gewonnen wird. (Puddeln.)

Der stets steigende Preis der Holzkohlen bot die nächste Veranlassung zur Erfindung des Puddelprozesses. Henry Cort wendete im Jahre 1784 statt der Frischfeuer zuerst einen Flammofen, sowie das Rühren des Metallbades mit eisernen Stangen (das Puddeln) an. 1818 ersetzte Baldwin Rodger den saueren Herd des Cortschen Ofens durch einen eisernen, und einige Jahre später fütterte Josef Hall den letzteren mit eisenoxydreichen Materialien aus, wodurch die Leistung des Ofens auf das Dreifache stieg, Abbrand und Brennstoffverbrauch sich verringerten und unsere heutigen Puddelöfen geschaffen waren. Anfangs erzeugte man nur weiches Puddeleisen und erst 1835 wurde der erste Puddelstahl (in Kärnthen) produziert.

1) Nach Ledeburs Handbuch der Eisenhüttenkunde.

Je nachdem man auf Korn (Schweisseisen mit mindestens 0,3 % Kohlenstoff und Stahl) oder auf Sehne (Schweisseisen mit niederem Kohlenstoffgehalt) arbeiten will, verläuft der Prozess etwas verschieden. Je weniger Kohlenstoff und Mangan ein Roheisen enthält, desto schneller und billiger lässt es sich verpuddeln. Solches Roheisen bezeichnet man als garschmelzig oder rasch garend (luckiges Weisseisen). Im Gegensatze hierzu werden strahliges Weisseisen, Spiegeleisen und Graueisen (die wegen ihres hohen Kohlenstoff-, Mangan- und Siliciumgehaltes weit langsamer frischen) als rohschmelzige Eisen bezeichnet. Während es beim Puddeln auf Korn ziemlich gleichgültig ist, was für Roheisen man verwendet, zieht man beim Puddeln auf Sehne garschmelziges Roheisen vor.

Der Arbeitsgang ist in Kürze folgender:

Nach erfolgtem Anheizen des Ofens wird das Roheisen eingesetzt, bzw. vom Vorwärmherd auf den Puddelherd gebracht und das Einschmelzen begonnen. Zur Erzeugung von Feinkorn-eisen (mit ca. 0,3 % Kohlenstoff) oder Stahl wählt man mangan-reiches Weissstrahl- oder Spiegeleisen (allein, oder als Zusatz zu manganärmerem Roheisen), um die Entkohlung zu verzögern und eine dünnflüssige Schlacke zu erhalten. Silicium, das die Entkohlung zwar gleichfalls verzögert, liefert eine weniger basische Schlacke, weshalb man dort, wo man gezwungen ist, silicium-reiches Roheisen zu verarbeiten, Weisseisen zusetzt. Hingegen wird halbiertes Roheisen mit 1 % Silicium gern zum Puddeln verwendet. Für Feinkorneisen oder Stahl oder für kaltbruchfreies Schmiedeeisen ist die Auswahl phosphorarmen Roheisens notwendig, da der Phosphorgehalt desselben nur bis zu einem gewissen Grade entfernt und daher der Phosphorrückhalt des Schlussproduktes um so grösser wird, je mehr Phosphor im eingesetzten Roheisen enthalten war. Andererseits erhitzt der Phosphor die Schweissbarkeit des Produktes, weshalb sogar manchmal Thomaseisen zugesetzt wird.

1. Periode: Das Einschmelzen.

Der Einsatz wird nun am Herde möglichst ausgebreitet, und entweder sogleich, oder nach erfolgtem Einschmelzen Garschlacke oder Hammerschlag zugesetzt. (Bei Graueisen, das wegen seines höheren Schmelzpunktes eine höhere Ofentemperatur erfordert,

die überdies noch durch die Oxydation des Siliciums während des Einschmelzens erheblich steigt, erfolgt der Zusatz — um eine Abkühlung des Ofens zu erzielen — erst nach dem Einschmelzen.) Die Menge des Zusatzes hängt sowohl von der Natur des Einsatzes als von dem beabsichtigten Schlussprodukte ab. Beim Verpuddeln von phosphorarmem Roheisen auf sehniges Eisen genügt oft die im Herde verbliebene Schlacke des vorigen Einsatzes; beim Verpuddeln phosphorreichen Roheisens muss jedoch diese, gleichfalls phosphorreiche Schlacke abgelassen und Schweisschlacke, Hammerschlag oder Eisenerz in erheblicher Menge (25 bis 50 % des Einsatzes) zugesetzt werden. Nach Schliessen der Einsatzthüre, Verlegen der Arbeitsöffnung mit einem Bleche und Bedecken der Schwelle mit einigen Kohlenstücken (um den Zutritt vom Luft-sauerstoff zu verhindern) wartet man das beginnende Schmelzen ab, worauf man zum „Aufstechen“ schreitet, d. h. die unteren, weniger heissen Teile des Eisens mittels Brechstangen an die Oberfläche bringt.

Bei siliciumreicherem Roheisen verbrennt hierbei hauptsächlich das Silicium, bei siliciumärmerem beginnt jedoch schon während des Einschmelzens die Entkohlung.

2. Periode: Die Kochperiode.

Nun beginnt das Rühren mit dem „Rührhaken“, der „Kratze“ oder der „Krücke“, einer 2,5 bis 3 m langen Eisenstange, die man durch die Arbeitsöffnung so in den Ofen einführt, dass ihr hakenförmig abgebogenes Ende auf den Boden des Ofens reicht. Durch abwechselndes Vor- und Zurückziehen des Rührhakens wird die ganze Eisenmasse und die darauf schwimmende Schlacke von der Fuchsbrücke bis zur Feuerbrücke und wieder zurück förmlich durchpflügt. Die so bewirkte Mischung der Schlacke mit der Eisenmasse befördert die Oxydation des Kohlenstoffes und das Entweichen des entstehenden Kohlenoxydes (Kochperiode). Durch Schliessen der Essenklappe trachtet man hierbei eine Erniedrigung der Ofentemperatur zu erzielen.

Die Bildung von Kohlenoxydblasen nimmt im Verlaufe des Rührens immer zu. Das Eisen wird immer kohlenstoffärmer und daher dickflüssiger; es zeigen sich immer mehr Eisenkörner an der Oberfläche und die Arbeit des Rührens wird immer schwie-

riger, so dass man, um ein vorzeitiges Erstarren zu verhindern, die Ofentemperatur wieder erhöhen muss.

Mit dem Aufhören der Gasentwicklung ist die Kochperiode beendet, und beim Puddeln auf Stahl hat man nur mehr das Eisen so auszubreiten, dass es — um vor der Oxydation durch den Luftsauerstoff geschützt zu sein — überall mit Schlacke bedeckt ist.

3. Periode: Die Garfrischperiode oder das Umsetzen.

Beim Puddeln auf Sehne folgt nun die Garfrischperiode, bei welcher die weitere Entkohlung sowohl durch Einwirkung der Schlacke, als der Gase bewirkt wird. Hierbei werden die Eisenmassen, um eine gleichmässige Einwirkung zu erzielen, mittels Brechstangen unausgesetzt gewendet und grössere Klumpen zerteilt. Gleichzeitig (oder bei der Puddelstahlerzeugung ohne diese Operation) wird das Eisen in Klumpen von etwa 40 kg Gewicht abgeteilt und gegen die Fuchsbrücke zu geschoben (das „Umsetzen“).

4. Periode: Das Luppenmachen.

Bei dem nun folgenden Luppenmachen werden diese Klumpen mittels der Brechstangen möglichst gut zusammengedrückt, zu Kugeln geformt und zur Feuerbrücke gerollt, um durch stärkere Hitze das Ausfliessen der Schlacke zu befördern. Nachdem nun durch Schliessen der Arbeitsöffnungen die Hitze der Klumpen (Luppen) noch weiter gesteigert worden, bringt man dieselben mittels eines eisernen Wagens aus dem Ofen unter den Hammer (Luppenhammer) oder die Luppenquetsche, um sie zu „zängen“, d. h. die eingeschlossene Schlacke auszupressen und sie zu vierseitigen Blöcken zu formen.

Hierbei deutet leichtes Zusammenschweissen auf gleichmässig entkohltes Eisen, das Auftreten einzelner blauer Flämmchen auf ungare Stellen, Zerfallen der Luppen aber auf ganz ungares Frischen (in welchem Falle die Luppen nochmals in den Ofen gebracht werden müssen).

Die noch glühenden, gezängten Luppen werden nun im Rohschienenwalzwerk zu Rohschienen ausgewalzt.

Zur Beschleunigung der Entkohlung, noch mehr aber zur Abscheidung von Phosphor und Schwefel, wurden zahlreiche Vorschläge gemacht, von denen jene, welche als Oxydationsmittel, ferner als kräftige Schlackenbasen und als Flussmittel dienen, nicht ohne Wirkung sind. Derartige Zusätze sind Manganoxydul, Alkalien, Braunstein, Salpeter, Chloride und Fluoride. Heute werden aber diese Zuschläge nicht mehr benutzt, da sie bei phosphorarmem Roheisen überflüssig sind, phosphorreiches aber besser auf basischem Herde zu Flusseisen verarbeitet wird.

Dass zum Ersatze der menschlichen Arbeitskraft verschiedene mechanische Vorrichtungen, wie Puddelmaschinen und Drehpuddelöfen zur Anwendung kamen und kommen, möge hier nur der Vollständigkeit wegen erwähnt werden.

Die Theorie des Prozesses ist schon im vorigen Kapitel besprochen worden, und es sind daher hier nur mehr einige Beispiele über den Verlauf desselben anzuführen.

1. Darstellung von sehnigem Schweisseisen (C-arm) aus halbiertem, mässig garfrischem Roheisen. (Nach H. Louis.¹⁾)

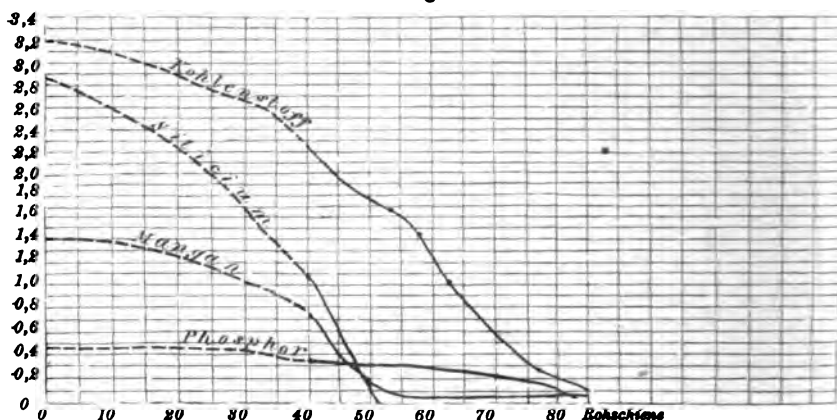
Der Herd wurde vor dem Einsetzen des Roheisens mit etwa 50 kg Hammerschlag besetzt, der Roheiseneinsatz betrug 200 kg.

| Bezeichnung der Proben | Metall | | | | Schlacke | | | | | |
|---|------------------|------|----------|------|------------------|--------------------------------|--------------------------------|-------|------|-------------------------------|
| | C | Si | Mn | P | SiO ₂ | Al ₂ O ₃ | Fe ₂ O ₃ | FeO | MnO | P ₂ O ₅ |
| Einsatz (halbiertes Eisen) . . | nicht untersucht | | | | — | — | — | — | — | — |
| Zusatz (Hammerschlag) . . | — | — | — | — | 14,69 | 1,51 | 15,07 | 63,92 | 3,18 | 1,60 |
| Nach d. Einschmelzen (40 Min nach dem Einsatz) . . . | 2,36 | 1,11 | 0,78 | 0,36 | 24,04 | 0,19 | 18,74 | 51,22 | 4,42 | 1,30 |
| Während des Kochens (48 Min. nach dem Einsatz) . . . | 1,89 | 0,14 | n. best. | 0,25 | 27,17 | n. best. | 5,28 | 59,56 | 5,17 | 2,12 |
| Höhepunkt des Kochens (53 Min. nach dem Einsatz) | 1,75 | 0,00 | 0,09 | 0,26 | 27,77 | „ | 4,81 | 59,95 | 5,29 | 2,19 |
| Ende des Kochens, Beginn der Ausscheidung d. Eisenkörner (58 Min. nach dem Einsatz) | 1,57 | 0,00 | n. best. | 0,23 | 27,46 | „ | 4,19 | 58,41 | 5,45 | 2,22 |
| Beginn des Umsetzens (62 Min. nach dem Einsatz) | 1,10 | 0,00 | „ | 0,23 | 25,72 | „ | 4,20 | 60,61 | 4,65 | 2,07 |
| Beginn des Luppenmachens (78 Min. nach dem Einsatz) | 0,25 | 0,00 | „ | 0,25 | 15,79 | „ | 9,21 | 69,52 | 2,81 | 1,66 |
| Rohschiene | 0,16 | 0,00 | 0,09 | 0,09 | — | — | — | — | — | — |

1) Journ. Iron Steel Inst 1879 I, p. 219.

Fig. 57 giebt eine graphische Darstellung der Veränderungen, welche die Zusammensetzung des Metalles beim Puddeln erleidet.

Fig. 57.



2. Darstellung von Feinkorneisen aus silicium- und manganreichem, rohschmelzigem Roheisen. (Nach J. Kollmann.)¹⁾

| Bezeichnung der Probe | Metall | | | | | Schlacke | | | | | | |
|---|--------|------|------|-------|------|------------------|-------|--------------------------------|-------|--------------------------------|------|-------------------------------|
| | C | Si | Mn | S | P | SiO ₂ | FeO | Fe ₂ O ₃ | MnO | Al ₂ O ₃ | CuO | P ₂ O ₅ |
| Roheisen und Schlacke ²⁾ | 2,57 | 3,21 | 5,14 | 0,040 | 0,97 | 15,32 | 52,18 | 22,31 | 6,56 | 0,33 | 0,70 | 2,30 |
| Nach dem Einschmelzen (43 Min.) | 2,80 | 1,09 | 2,68 | 0,016 | 0,58 | 20,50 | 54,61 | 7,72 | 12,38 | 0,41 | 0,80 | 4,30 |
| Beginn des Kochens (62 Min.) | 2,89 | 0,23 | 2,53 | 0,013 | 0,56 | 23,18 | 52,43 | 6,94 | 12,51 | 0,49 | 0,83 | 4,22 |
| Während des Kochens (65 Min.) | 2,78 | 0,21 | 2,20 | 0,012 | 0,30 | 20,37 | 57,06 | 9,04 | 10,10 | 0,30 | 0,51 | 3,49 |
| Beginn des Umsetzens, heft. Kochen (62 Min.) | 2,63 | 0,22 | 1,31 | 0,012 | 0,25 | 19,95 | 51,68 | 11,45 | 11,69 | 0,27 | 0,50 | 4,26 |
| Während des Umsetzens (91 Min.) | 1,65 | 0,23 | 0,65 | 0,012 | 0,21 | 21,91 | 46,76 | 12,36 | 15,87 | 0,30 | 0,43 | 3,10 |
| Beginn d. Luppenmachens (96 Min.) | 1,38 | 0,21 | 0,32 | 0,011 | 0,18 | 19,45 | 48,04 | 13,48 | 14,40 | 0,34 | 0,62 | 4,17 |
| Luppe (109 Min.) . . . | 0,86 | 0,11 | 0,28 | 0,010 | 0,17 | 16,29 | 51,62 | 19,32 | 8,46 | 0,38 | 0,61 | 3,78 |
| Rohschienen | 0,63 | 0,09 | 0,15 | 0,009 | 0,12 | — | — | — | — | — | — | — |

Fig. 58 stellt die Veränderungen des Metallbades graphisch dar,

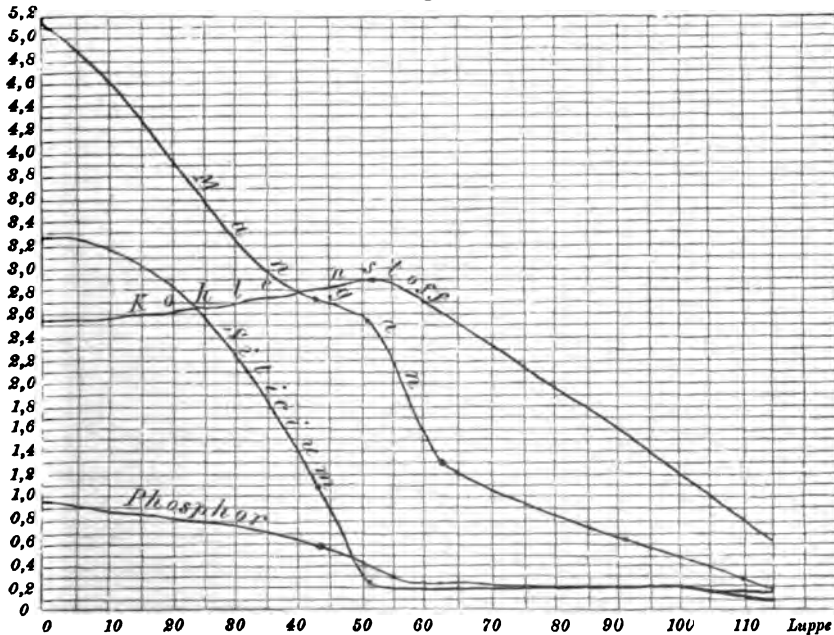
1) Zeitschr. Ver. deutscher Ing. 1874, S. 326.

2) Im Herd zurückgebliebene Schlacke; Schlackenzusatz wurde erst nach dem Einschmelzen des Roheisens gegeben.

3. Darstellung von Puddelstahl aus silicium- und manganhaltigem, mässig frischemdem Roheisen (in Zorge, nach A. Schilling).¹⁾

| Bezeichnung der Probe | Metall | | | | | Schlacke | | | | | | |
|--|--------|------|------|-------|------|------------------|-------------------------------|--------------------------------|-------|--------------------------------|-------------|---------|
| | C | Si | Mn | S | P | SiO ₂ | P ₂ O ₅ | Fe ₂ O ₃ | FeO | Al ₂ O ₃ | MnO | CaO+MgO |
| Roheisen | 2,92 | 1,24 | 1,66 | 0,098 | 0,47 | — | — | — | — | — | — | — |
| Im Ofen zurück- bleibende Schlacke . | — | — | — | — | — | 20,52 | n. best. | 6,24 | 59,88 | 2,86 | n. best. | 3,48 |
| Nach dem Einschmelzen (47 Min.) | 2,49 | 0,34 | 0,47 | 0,030 | 0,24 | 20,98 | 5,26 | 7,12 | 58,98 | 2,78 | 1,64 | 3,46 |
| Beginn des Kochens (66 Min.) | 2,86 | 0,16 | 0,47 | 0,027 | 0,17 | 20,51 | 5,25 | 4,09 | 62,03 | 2,82 | 1,64 | 3,64 |
| Während des Kochens (80½ Min.) | 2,26 | 0,11 | 0,47 | 0,012 | 0,17 | 20,12 | n. best. | 4,12 | 62,14 | 2,87 | n. best. | 3,67 |
| Höhe der Kochperiode (98 Min.) | 1,77 | 0,11 | 0,31 | Spur | 0,08 | 20,34 | „ | 5,20 | 61,20 | 2,87 | „ | 3,21 |
| Umsetzen (118 Min.) | 1,33 | 0,11 | 0,31 | „ | 0,07 | 20,27 | „ | 5,20 | 61,20 | 2,91 | „ | 4,16 |
| Luppenmachen (122 Min.) | 1,08 | 0,11 | 0,27 | „ | 0,07 | 20,40 | „ | 4,95 | 61,34 | 3,05 | „ | 3,58 |
| Luppe | 0,94 | 0,11 | 0,27 | „ | 0,07 | — | — | — | — | — | — | — |

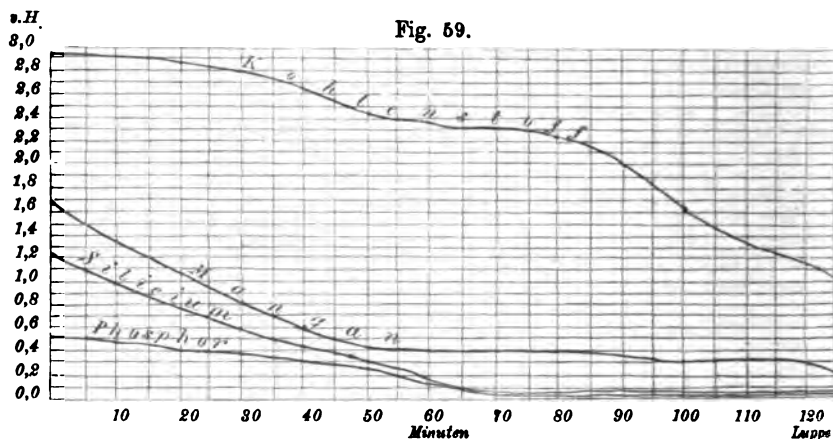
Fig. 58.



1) Berg- und hüttenmännische Zeitung 1863, S. 313.

Fig. 59 giebt wieder im Diagramm die Veränderungen des Metallbades.

Vergleicht man die drei Schaubilder (Fig. 57—59), so zeigt sich der Einfluss von Silicium und Mangan deutlich. Beim niedersten *Si*- und *Mn*-Gehalte (Fig. 57) fallen diese und der *C*-Gehalt gleichzeitig und vom Beginn an; beim nächst höheren



Si- und *Mn*-Gehalte (Fig. 59) fallen diese beiden Stoffe von Anfang an, und zwar fast ganz gleichmässig, während der Kohlenstoffgehalt sich anfangs nur sehr wenig ändert. Beim höchsten *Si*- und *Mn*-Gehalte hingegen (Fig. 58) verringern sich diese beiden Stoffe zwar im Anfange sehr bedeutend, während der Kohlenstoffgehalt (infolge der Oxydation von *Si*, *Mn* und *Fe* und der hierdurch bewirkten Verringerung der Metallmasse) bis zur 5. Minute sogar nicht unerheblich steigt.

Vergleicht man die relativen Abnahmen von *Si* und *Mn* in diesen drei Diagrammen, so zeigt sich, dass um so mehr *Mn* oxydiert wird, je mehr *Si* im Einsatz vorhanden war. Es ist dies offenbar eine Massenwirkung: Je mehr Mangan gegenüber dem Eisen im Roheisen vorhanden ist, desto mehr wird ersteres Metall oxydiert und verschlackt, und umgekehrt.

L. Cubillo¹⁾ untersuchte, ob der Sauerstoff, der zur Durchführung des Puddelprozesses erforderlich ist, aus der eisenoxydreichen Ausfütterung des Ofens stammt oder mit den Verbrennungs-

1) Iron and Steel Trades Journ. 1900, 1. Dezember, S. 515; 15. Dezember S. 548; Journ. Iron Steel Inst. 1901, I, S. 452; Jahrb. f. d. Eisenhüttenw., I, S. 260.

produkten zugeführt wird; bezw. in welchem Verhältnisse beide Sauerstoffquellen daran beteiligt sind. Die Schlacke dient, wie dies bereits von Gruner gezeigt wurde, hauptsächlich als Sauerstoffüberträger.

Die Versuche wurden in einem einfachen Puddelofen mit Boëtiusfeuerung und einem kleinen Vorherd zum Vorwärmen des Roheisens durchgeführt. Der Einsatz bestand aus 220 kg Roheisen von La Felguera in Spanien. Die Auskleidung des Ofens bestand aus 189 kg Erz. Gewonnen wurden 184 kg Luppen und 189 kg Schlacke, und zwar 164 kg Ofenschlacke, 23 kg Hammerschlag und 1,5 kg Walzensinter. 25 Minuten nach dem Einsetzen war das Eisen geschmolzen, 14 Minuten später begann das Rühren, nach weiteren 28 Minuten das Luppenmachen, 8 Minuten später, also 75 Minuten nach dem Einsetzen wurde die erste Luppe aus dem Ofen genommen.

Das verwendete Eisenerz und die Schlacken ergaben bei der Analyse:

| Bestandteile | Erz | Puddel- schlacke | Hammer- schlag | Walzsinter |
|---------------------------------|-------|---------------------|-------------------|------------|
| SiO_2 | 11,45 | 13,75 | 16,98 | 8,18 |
| FeO | — | 59,54 | 56,57 | 62,36 |
| Fe_2O_3 | 75,98 | 16,92 | 15,00 | 23,14 |
| Al_2O_3 | 2,89 | — | 1,74 | 0,89 |
| CaO | 1,85 | 4,10 | 4,65 | 2,18 |
| MgO | 0,56 | 1,83 | 1,91 | 1,25 |
| S | 0,027 | 0,091 | 0,148 | 0,097 |
| P_2O_5 | 0,022 | 0,68 | 0,904 | 0,352 |
| MnO | 1,03 | 1,16 | 2,04 | 1,26 |
| Fe | — | 58,16 | 54,50 | 64,70 |
| P | — | 0,297 | 0,375 | 0,153 |

Roheisen und Luppen enthielten an fremden Beimengungen:

| Bestandteile | Roheisen | Luppen |
|---------------|----------|---------|
| Kohlenstoff . | 2,85 % | 0,240 % |
| Mangan . . | 0,54 „ | 0,005 „ |
| Silicium . . | 2,72 „ | 0,015 „ |
| Phosphor . . | 0,44 „ | 0,015 „ |
| Schwefel . . | 0,16 „ | 0,008 „ |

Die Gewichtsverhältnisse betrugen:

| Bestandteile | Gewicht in Kilogramm | | |
|---------------|----------------------|--------|-------------------------|
| | Roheisen | Luppen | Verlust durch Oxydation |
| Kohlenstoff . | 6,270 | 0,444 | 5,826 |
| Mangan . . | 1,188 | 0,009 | 1,179 |
| Silicium . . | 5,984 | 0,028 | 5,956 |
| Phosphor . | 0,968 | 0,028 | 0,940 |
| Schwefel . . | 0,352 | 0,015 | 0,337 |
| Summe | 14,762 | 0,524 | 14,240 |

Das Gewicht des verbrauchten Sauerstoffes berechnet sich zu 61,728 kg, davon stammen 57,94 kg aus der Auskleidung des Ofens, während die restlichen 3,788 kg von den Gasen herrühren. Diese spielen also beim Puddelprozesse nur insofern eine Rolle, als sie die zur Durchführung des Prozesses nötige Hitze liefern.

Schon 2 Minuten nach beendigtem Schmelzen ist der grösste Teil des Siliciums und Mangans, sowie der Schwefel und Phosphor abgeschieden; der Rest aber verschwindet nur langsam. Der Kohlenstoffgehalt aber hat etwas zugenommen, was Cubillo dadurch erklären will, dass von den Gasen mitgerissene Kohlentheilchen eine Art Cementation des Eisens in der neutralen oder reduzierenden Atmosphäre des Ofens verursacht hätten. Die Kohlenstoffabscheidung begann¹⁾ erst dann, nachdem die übrigen fremden Bestandteile des Eisens oxydiert waren und ging erst beim Luppenmachen rascher vor sich, weil hier das Eisen der Einwirkung der oxydierenden Agentien eine grössere Oberfläche darbietet.

SECHZEHNTE KAPITEL.

Frischprozesse bei hohen Temperaturen, bei welchen aus flüssigem Roheisen ein flüssiges Endprodukt erhalten wird. Allgemeines.

Alle hierher gehörigen Prozesse verlaufen bei so hoher Temperatur, dass sich nicht allein das zu verfrischende Roheisen im flüssigen Zustande befindet, sondern auch ein flüssiges Endprodukt resultiert.

1) Zuzufolge des hohen Siliciumgehaltes.

Die Reihenfolge, in welcher die verschiedenen Bestandteile des Roheisens oxydiert werden, hängt teils von ihrer relativen Menge, in ganz hervorragendem Grade aber von der Temperatur ab, bei welcher sich der Frischprozess vollzieht.

Wie schon erwähnt, dient bei den hierher gehörigen Prozessen entweder der Luftsauerstoff oder aber Erz als Oxydationsmittel; aber selbst dort, wo ohne Erzzuschlag gearbeitet wird und wo — wie beim Bessemerprozesse — die oxydierende Wirkung der Luft eine ganz auffällige ist, entstehen doch auch Oxyde, bezw. Schlacken, welche als Sauerstoffüberträger eine nicht unwichtige Rolle spielen.

Je nachdem ob der Frischprozess in einem Flammofen durchgeführt wird, wobei das Metallbad einerseits durch die darüber schlagende Flamme erhitzt, andererseits aber der oxydierenden Wirkung dieser Flamme ausgesetzt wird, oder ob die Oxydation unmittelbar durch einen Luftstrom bewirkt wird, den man durch das flüssige Metallbad bläst, unterscheidet man zwei verschiedene Gruppen dieser Prozesse:

1. das Windfrischen oder die Bessemerprozesse, bei welchen die Oxydation durch einen das Roheisen passierenden Windstrom bewirkt wird, und

2. den Siemens-Martin-Prozess (gewöhnlich kurz Martin-Prozess genannt), der in einem Regenerativ-Flammofen (Siemens-Ofen) durchgeführt wird.

Ein zweites Einteilungsprinzip ergibt sich aus der Natur des angewendeten Roheisens. Ist dasselbe siliciumreich (graues Roheisen), so wird natürlich beim Frischen eine beträchtliche Menge Kieselsäure, bezw. eine saure Schlacke gebildet werden, und man wird, um das Futter des Frischapparates möglichst vor Zerstörung durch diese zu schützen, ein kieselsäurereiches oder — wie man sich ausdrückt — ein saures Futter wählen müssen. Dem entsprechend bezeichnet man die in dieser Weise durchgeführten Frischprozesse als saure.

Ist hingegen das Roheisen siliciumarm (weisses Roheisen), so ist es von diesem Gesichtspunkte aus gleichgültig, ob man Frischapparate mit saurerer oder mit basischer Zustellung wählt. Hier tritt zunächst ein zweiter Umstand entscheidend ein. Enthält das Roheisen nämlich so grosse Phosphormengen, dass sie die Qualität des Endproduktes beeinträchtigen würden, so

muss man natürlich trachten, den Phosphor aus dem Metalle zu entfernen, d. h. ihn zu oxydieren und als Phosphorsäure in die Schlacke zu bringen. Dies ist aber nur dann möglich, wenn die entstehende Frischschlacke wenig Kieselsäure enthält, also basisch ist. Basische Schlacke würde aber das saure Ofenfutter angreifen, und man ist daher genötigt, in diesem Falle basisches Ofenfutter anzuwenden. Dies führt zum sogenannten basischen Frischprozesse.

Wo der Phosphorgehalt des Roheisens so klein ist, dass er nicht schädlich auf die Qualität des Endproduktes einwirkt, könnte man mithin den sauren Prozess wählen, und dies hat man früher beim Martinprozesse auch thatsächlich allgemein gethan. Da aber der Frischprozess im basischen Ofen rascher verläuft als in dem mit saurerer Zustellung, wird der basische Martinprozess heute auch häufig für phosphorarme weisse Roheisensorten verwendet.

Damit sind aber noch nicht alle Umstände erschöpft, welche bei der Wahl des Prozesses und des verwendeten Roheisens massgebend sind.

Der Martinprozess wird, wie schon erwähnt, in einem Regenerativ-Flammofen durchgeführt, der durch Verbrennen von vorgewärmtem Generatorgas mit vorgewärmter Luft geheizt wird. Hier hat es also gar keine Schwierigkeit, die Temperatur des Ofens so heiss zu halten, dass nicht nur das eingesetzte Roheisen, sondern auch das Frischprodukt (Flusseisen oder Flusstahl) in geschmolzenem Zustande erhalten wird. Ganz anders verhält sich aber die Sache bei den Bessemerprozessen, wo die Oxydation mittels eines hoch gepressten, kalten Luftstromes bewerkstelligt wird, den das flüssige Metall in der Richtung von unten nach oben durchströmt. Hierdurch würde das Metallbad eine Abkühlung erfahren, die bei längerer Dauer des Prozesses so weit gehen könnte, dass das Metallbad erstarrt. Eine Heizung des Frischapparates (Konverter) durch eine Feuerung ist ausgeschlossen und auch die Zufuhr von heissem Winde, die man zwar versuchte, hat sich nicht bewährt, und konnte sich auch nicht bewähren, weil ja eine Wärmeübertragung vom Winde auf das Metall nur dann erfolgen könnte, wenn ersterer heisser als letzteres wäre. Da aber der Schmelzpunkt des Roheisens bzw. des Flusstahles oder Flusseisens zwischen etwa 1100° und 1600° C. liegt, ist wohl eine derartige Winderhitzung ausgeschlossen. Frei-

lich würde hierdurch die Verbrennungstemperatur der Roheisenbestandteile wachsen und umgekehrt die Wärmeübertragung vom Metall auf die entweichenden Gase verringert werden. Dieser Nutzen ist jedoch nicht gross genug, um die durch die Wind-erhitzung bedingte Verteuerung des Prozesses aufzuwiegen.

Unter diesen Umständen muss man trachten, die zur Durchführung des Prozesses nötige Wärme im Metallbad selbst zu produzieren. Freilich könnte man annehmen, dass die Verbrennung des im Roheisen enthaltenen Kohlenstoffes hinreichen würde, diese erforderliche Wärmemenge zu liefern. Dies ist aber nicht der Fall, weil die hierbei entstehenden Verbrennungsprodukte gasförmig sind und somit den grössten Teil der produzierten Wärme dem Metallbade wieder entführen.

Man musste daher als sozusagen „inneres Brennmaterial“ Stoffe wählen, deren Verbrennungsprodukte im Konverter zurückbleiben. Als solcher erwies sich für den saueren Bessemerprozess das Silicium. — 1 kg Silicium entwickelt bei seiner Verbrennung zu SiO_2 7830 Calorien, während, um 1 kg Stahl zu schmelzen, etwa 350 Calorien erforderlich sind.

Ein Siliciumgehalt des Roheisens von 4 % würde also schon allein hinreichen, um das Metall zu schmelzen. Da nun das geschmolzene Roheisen selbst schon pro Kilogramm 260 bis 340 Calorien mitbringt, und auch die anderen Oxydationsprozesse noch Wärme liefern, wird man mit einem erheblich niederen Siliciumgehalte sein Auslangen finden. Aber selbst bei einem Siliciumgehalte von 1 %, ja sogar von 0,8 % (wie in Schweden) lässt sich der saure Bessemerprozess noch durchführen, wenn man das Roheisen vor dem Chargieren in den Konvertern kräftig überhitzt.

Beim basischen Bessemerprozesse (Thomasprozess) kann man aber, wie schon erwähnt, kein siliciumreiches Roheisen verwenden, weil hierdurch einerseits das Zustellungsmaterial angegriffen, andererseits aber eine saure Schlacke gebildet würde, welche den Hauptzweck des Thomasverfahrens, die Entfernung des Phosphors, vereiteln würde. Hier musste man somit zu einem anderen „inneren Brennmaterial“ greifen, als welches sich der Phosphor bewährt hat. 1 kg Phosphor giebt bei seiner Verbrennung zu P_2O_5 5760 Cal. Wenn also das ganze Metall nur durch die Verbrennung des Phosphors geschmolzen werden sollte, so müsste dasselbe etwa $5\frac{1}{2}$ % Phosphor enthalten; doch

kommt man auch hier aus den nämlichen Gründen wie früher mit weit weniger aus. Thatsächlich enthält das Thomasroheisen durchschnittlich 2 bis 2,5 % Phosphor, und selbst phosphorärmeres Material kann noch anstandslos verblasen werden.

Wir kommen somit zur nachstehenden Übersicht der hierher gehörigen Prozesse:

| Prozess | | Roheisen |
|------------------|---------|--|
| Bessemer-Prozess | sauer | siliciumreich (grau); kleiner Phosphorgehalt |
| | basisch | siliciumarm (weiss); hoher Phosphorgehalt |
| Martin-Prozess | sauer | beliebig (weiss oder grau); kleiner Phosphorgehalt |
| | basisch | meist weiss; Phosphorgehalt beliebig (aber nie so hoch wie beim basischen Bessemerprozess. |

Es dürfte nicht uninteressant sein, hier eine annähernde Berechnung der Wärmeverhältnisse beim Bessemerprozesse mitzuteilen, die A. Ledebur¹⁾ durchgeführt hat. Er sagt hierüber folgendes: „Zur Verbrennung dient atmosphärische Luft; jeder Gewichtsteil Sauerstoff, welcher die Verbrennung bewirkt, führt demnach 3,35 Gewichtsteile Stickstoff als Ballast mit. Dieser Stickstoff sowohl als die entstehenden Verbrennungserzeugnisse (Kieselsäure, Manganoxydul, Kohlenoxyd, Phosphorsäure) müssen auf die Temperatur des Eisenbades erwärmt werden und gebrauchen hierzu einen bestimmten Teil der entwickelten Wärme, welche sich ergibt aus ihrem Eigengewichte mal ihrer spezifischen Wärme mal der Temperatur des Eisens; der noch übrig bleibende Rest der entwickelten Wärme kommt dem flüssigen Eisen zugute und erhöht dessen Temperatur um $\frac{W}{s}$ Grade, in welcher Formel W die an die Gewichtseinheit Eisen abgegebene Wärme, s die spezifische Wärme des flüssigen Eisens bedeutet. Ist Schlacke zugegen, so nimmt auch diese Wärme auf, und die Temperatursteigerung fällt entsprechend geringer aus; in folgendem, wo es sich mehr um einen Vergleich des Verhaltens der verschiedenen Körper, als um eine genauere Berechnung der wirklich stattfindenden Temperatursteigerungen handelt, ist die von der Schlacke aufgenommene Wärme jedoch unberücksichtigt geblieben. Nicht ganz zuverlässig

1) Handb. d. Eisenhüttenkunde, 4. Aufl., 3. Teil, S. 965.

sind auch die angenommenen Ziffern der spezifischen Wärme, welche in Ermangelung genauer Versuchsergebnisse durch Rechnung gefunden werden mussten.“¹⁾

„Temperatursteigerung durch Verbrennung des Eisens. 1 kg Eisen, zu FeO verbrennend, liefert 1350 Wärmeinheiten. Hierzu kommt die Wärme, welche das auf die Temperatur t zuvor erhitzte Eisen schon besass. Spezifische Wärme des Eisens zwischen 0 bis $t^\circ = 0,20$; also gesamter Wärmege-
winn $= 1350 + 0,20 t$.“

„Die Verbrennungserzeugnisse sind 1,28 kg Eisenoxydul mit der spezifischen Wärme 0,20 und 0,96 kg Stickstoff mit der spezifischen Wärme 0,29. Beide müssen auf die Temperatur t erhitzt werden. Demnach reiner Wärmege-
winn von 1 kg Eisen:

$$1350 + 0,20 t - (1,28 \cdot 0,20 t + 0,96 \cdot 0,29 t) = 1350 - 0,334 t.$$

„War $t = 1500^\circ C.$, so ist der dem flüssigen Metalle zu Gute kommende Wärmege-
winn $W = 849$ Wärmeinheiten, und wenn die spezifische Wärme des Metalles bei $1500^\circ = 0,30$ angenommen wird, ist die durch 1% verbrennendes Eisen hervorgerufene Temperatursteigerung $\frac{8,49}{0,3} = 28$ Grad. Sie ist somit nicht erheblich.“

„Temperatursteigerung durch Verbrennung des Mangans. 1 kg Mangan entwickelt 1730 Wärmeinheiten und liefert dabei 1,29 kg Manganoxydul mit der spezifischen Wärme 0,20, während 0,96 kg Stickstoff mit erhitzt werden müssen (spezifische Wärme 0,29). Bei einer mittleren spezifischen Wärme des Mangans $= 0,20$ ergibt die Rechnung eine Temperatursteigerung durch die Verbrennung von 1% Mangan $= 46$ Grad.“

„Temperatursteigerung durch Verbrennung des Kohlenstoffes. Bei regelrechtem Verlaufe kann innerhalb des

1) Die Ziffern der spezifischen Wärme der Gase sind aus einem in Th. Beckert, Leitfaden für Eisenhüttenkunde, 2. Aufl. auf Seite 172 enthaltenen Tabelle entnommen; die Ziffern der spezifischen Wärme des Eisens zwischen 0 und t° nach der Formel $c = c_0 + at$ bei t° nach der Formel $c = c_0 + 2at$ berechnet, worin $a = 0,1053$ angenommen wurde (Wüllner, die Lehre von der Wärme, 5. Aufl. Seite 581). Die Änderung, welche die spezifische Wärme des Eisens beim Schmelzen erleidet, musste freilich hierbei unberücksichtigt bleiben. Die spezifische Wärme der übrigen Körper in hoher Temperatur musste nach Massgabe der für niedrige Temperaturen ermittelten Werte geschätzt werden.

flüssigen, durch Kohlendioxyd in hoher Temperatur leicht oxydierbaren Metalles nur Kohlenoxyd CO entstehen. Enthalten die entweichenden Gase auch Kohlendioxyd, so findet man daneben fast regelmässig freien Sauerstoff; ein Teil des Windes war unverzehrt durch das Metall hindurch gegangen und hatte hierbei noch Wärme mitgenommen. Der Fall kann demnach hier unberücksichtigt bleiben.“

„1 kg Kohle entwickelt 2470 Wärmeeinheiten; die Verbrennungserzeugnisse sind 2,33 kg Kohlenoxyd mit der spezifischen Wärme 0,29 und 4,47 kg Stickstoff mit derselben spezifischen Wärme 0,29. Die mittlere spezifische Wärme des im geschmolzenen Eisen enthaltenen Kohlenstoffes ist nicht bekannt; da als spezifische Wärme des freien Kohlenstoffes bei $600^{\circ}C$. 0,38 bis 0,45 angegeben wird,¹⁾ darf man als mittlere spezifische Wärme zwischen 0 und 1500° ebenfalls 0,45 annehmen. Die Rechnung ergibt alsdann eine Temperatursteigerung durch Verbrennung von 1 % Kohlenstoff = 6 Grad. Je höher die Temperatur des flüssigen Metalles bereits war, desto unbedeutender fällt der Rechnung gemäss die fernere Steigerung aus; es tritt bald ein Zeitpunkt ein, wo die Verbrennungserzeugnisse mehr Wärme gebrauchen, um auf die Temperatur des Bades erhitzt zu werden, als die Verbrennung liefert; die Temperatur des Bades muss also in diesem Falle bei Verbrennung des Kohlenstoffes abnehmen. Im Betrieb hat man längst beobachtet, dass der Kohlenstoffgehalt des Roheisens ohne Belang für die entwickelte Temperatur ist.“

„Temperatursteigerung durch Verbrennung des Siliciums. 1 kg Silicium entwickelt bei der Verbrennung zu 2,14 kg Kieselsäure (Kieselsäureanhydrid) 7830 Wärmeeinheiten, wobei durch den erforderlichen Sauerstoff 3,82 kg Stickstoff mitgeführt werden. Nimmt man als mittlere spezifische Wärme des Siliciums 0,20, der Kieselsäure 0,25 an, so ist $W = 7830 + 0,20 t - (2,14 \cdot 0,25 + 3,82 \cdot 0,29) t = 7830 - 1,44 t$. Bei $1500^{\circ}C$. ist mithin $W = 5670$ Wärmeeinheiten und die durch 1 % verbrennendes Silicium hervorgerufene Temperatursteigerung $190^{\circ}C$. Auch wenn die Ziffern für die spezifische Wärme von der Wirklichkeit abweichen sollten, ergibt sich doch aus der Berechnung, dass, wie die Erfahrungen des Betriebes bestätigt haben, schon

1) A. Wüllner, a. a. O. Seite 585.

ziemlich kleine Mengen Silicium ausreichend sind, durch ihre Verbrennung wesentliche Temperatursteigerungen des Eisenbades hervorzubringen. Silicium bildet den eigentlichen Brennstoff des saueren Bessemervfahrens.“

„Temperatursteigerung durch Verbrennung des Phosphors. Für den Verlauf des Thomasverfahrens ist das Verhalten des Phosphors wichtig. 1 kg Phosphor entwickelt bei seiner Verbrennung zu 2,29 kg Phosphorsäureanhydrid 5900 Wärmeinheiten, wobei 4,00 Gewichtsprozent Stickstoff mit erhitzt werden. Die mittlere spezifische Wärme des Phosphors kann $= 0,18$, diejenige der Phosphorsäure $= 0,25$ angenommen werden. Es ist demnach $W = 5900 + 0,18 t - (2,29 \cdot 0,25 + 4,00 \cdot 0,29) t = 5900 - 1,55 t$. Bei einer Temperatur des Eisens von 1500° ergibt sich $W = 3575$ Wärmeinheiten und die durch 1 % Phosphor hervorgerufene Temperatursteigerung $= 120^{\circ} \text{C}$. 5 Teile Phosphor rufen demnach eine ungefähr gleiche Temperatursteigerung hervor, wie 3 Teile Silicium; Phosphor ist der wichtigste Brennstoff beim basischen Verfahren.¹⁾ Dieser Umstand ist in mehrfacher Hinsicht von Bedeutung. Die Darstellung eines siliciumreichen Roheisens ist wegen des höheren Verbrauches an Brennstoff und der geringeren Erzeugungsfähigkeit des Hochofens kostspieliger, als die Darstellung weissen phosphorreichen Roheisens mit geringem Siliciumgehalte. Der Siliciumgehalt ist zur Erzeugung der erforderlichen Temperatur beim basischen Verfahren entbehrlich, sofern das Roheisen ausreichend phosphorreich ist.“

Vorstehende Berechnungen, bei welchen neben dem schon früher Erwähnten auch die Änderung der Verbrennungswärme mit der Temperatur und die Bildungswärme der Schlackensalze nicht berücksichtigt wurde, ist wohl nur eine ganz approximative, giebt aber unzweifelhaft eine klare Vorstellung über die verschiedenen thermischen Wirkungen bei der Oxydation gleicher Mengen von Eisen, Mangan, Kohlenstoff, Silicium und Phosphor. Aus denselben geht aber auch hervor, dass die Temperatur des Metallbades von der Anfangstemperatur des Prozesses, d. i. von der Temperatur des chargierten Roheisens abhängig sein wird.

1) Auf diese Rolle des Phosphors machte, bald nach Erfindung des basischen Verfahrens, Professor v. Ehrenwerth aufmerksam. Vergleiche dessen „Abhandlungen über den Thomasprozess“.

Andererseits hängt aber die Temperatur des Metallbades in jedem Augenblicke des Frischprozesses nicht allein von den in den Frischapparat eingeführten und durch Oxydation produzierten, sowie von den durch die entweichenden Gase aus dem Apparate entführten Wärmemengen, sondern auch von den Wärmeverlusten durch Leitung und Strahlung ab. Diese werden aber um so grösser:

1. Je höher die Temperatur des Apparates ist,
2. je kleinere Metallmengen verarbeitet werden, und
3. je länger der Frischprozess dauert.

Der Vollständigkeit wegen muss hier noch erwähnt werden, dass man den Frischprozess entweder nur so weit gehen lässt, bis Metall von den gewünschten Eigenschaften gewonnen ist, oder aber, dass man bis nahe zur vollständigen Entkohlung geht, in welchem Falle natürlich nach beendetem Frischen die erforderliche Menge Kohlenstoff wieder zugeführt werden muss (Rückkohlung). In beiden Fällen liegt die Gefahr nahe, dass das flüssige Endprodukt Metalloxyde (FeO , MnO) gelöst enthalten könne, die seine Qualität wesentlich vermindern (Kürze, Rotbruch); man wird dann Desoxydationsmittel zusetzen müssen.

SIEBZEHNTE KAPITEL

Der saure Bessemerprozess.

Das im Jahre 1855 patentierte, von Sir Henry Bessemer erfundene Verfahren bedingt, wie schon erwähnt, eine Ausfütterung des Konverters mit kieselsäurereichem Material. Um die beabsichtigte Oxydation des Kohlenstoffes zu ermöglichen, ist eine hohe Temperatur erforderlich, welche nur zum Teil durch die Temperatur des in den Konverter gebrachten flüssigen Roheisens, zum anderen Teile aber durch die Oxydation der Roheisenbestandteile (beim sauren Prozesse namentlich des Siliciums) erreicht wird. Natürlich verläuft der Prozess (wegen der verringerten Wärmeverluste) um so günstiger, je grösser die Roheisenmenge ist, die auf einmal zur Verarbeitung kommt. Ebenso wirkt auch auf die Erhöhung der Temperatur des Metallbades

eine Beschleunigung des Prozesses durch Anwendung kräftigerer Gebläsmaschinen. Unter dem Einflusse dieser Umstände schwankt die Zeitdauer einer Bessemercharge etwa zwischen 8 und 40 Minuten.

Unter der Einwirkung des kieselsäurereichen Futters und des Siliciumgehaltes des verblasenen Roheisens wird auch Eisen und namentlich Mangan oxydiert und verschlackt. Der Phosphorgehalt erfährt hier keine Verminderung, eher eine Erhöhung, infolge der Verringerung der Gesamtmasse. A. Tamm berichtet¹⁾ in dieser Hinsicht über einen interessanten, in Vestanfors im gleichen Jahre ausgeführten Versuch. 1850 kg Roheisen wurden in den Konverter gebracht und das Blasen so lange fortgesetzt, bis nurmehr 600 kg Metall übrig blieben. Inzwischen wurden zwei Proben genommen: A_1 nach Verkürzung der Flamme und beginnendem Auswerfen, A_2 zwei Stunden später. A_3 ist das Endprodukt.

| Bestandteile | Roheisen % | Bessemerstahl | | |
|-------------------|---------------|---------------|---------|---------|
| | | A_1 % | A_2 % | A_3 % |
| Kohlenstoff . . . | 4,05 | 0,03 | 0,025 | 0,02 |
| Silicium | 1,125 | 0,025 | 0,040 | 0,014 |
| Phosphor | 0,024 | 0,029 | 0,046 | 0,066 |
| Schwefel | Spur | Spur | Spur | Spur |
| Mangan | 4,40 | 0,10 | 0,04 | 0,03 |

1850 kg Roheisen enthalten somit $\frac{1850 \times 0,024}{100} = 0,444$ kg

Phosphor, während das Endprodukt $\frac{600 \times 0,066}{100} = 0,396$ kg Phosphor enthält, also so gut wie keine Abnahme bemerkbar ist.

Auf den chemischen Verlauf des Prozesses ist — wie schon erwähnt — die Temperatur des Metallbades von grösstem Einflusse. Mit der Temperatur wächst die Oxydationsfähigkeit des Kohlenstoffes gegenüber jener des Siliciums, Mangans und Phosphors.²⁾ Bei genügend hoher Temperatur kann somit der Kohlenstoff schon ganz vollständig abgeschieden sein, trotzdem noch beträchtliche Mengen von Silicium und Mangan zugegen sind, während bei niedrigerer Temperatur erst diese Stoffe oxydiert werden, bevor der Kohlenstoff verbrennt. Der Schwefelgehalt des Eisens kann sowohl durch Verbrennung, als durch Übergang in die Schlacke

1) Jernkont. Annalen 1886, p. 129.

2) Siehe die früheren Betrachtungen über die freie Bildungsenergie.

eine Verminderung erfahren. In ersterer Beziehung konnte Niede¹⁾ in den Gasen der Thomasbirnen SO_2 nachweisen.

Der Arbeitsgang ist kurz folgender:

Das zu verblasende Roheisen wird entweder unmittelbar einem Hochofen²⁾ oder einem Mischer³⁾ entnommen oder endlich im Cupolofen umgeschmolzen. Für den sauren Bessemerprozess benutzt man Roheisen mit nicht unter 0,6 % (gewöhnlich aber 1—2 % oder mehr) Silicium und 0,5—2 % Mangan (selten mehr). Ein hoher Mangangehalt wirkt auf das Birnenfutter zerstörend ein.

Nachdem die Birne durch eingebrachte glühende Koke unter Anwendung eines schwachen Windstroms zur Rotglut erhitzt und der Rest von Koke und Asche durch Umkippen der Birne entfernt worden, legt man den Konverter auf den Rücken, bringt eine mit feuerfester Masse gefütterte Rinne in seine Mündung, und lässt durch dieselbe das flüssige Roheisen einfließen. Nach Entfernung der Rinne wird das Gebläse angelassen und die Birne aufgestellt.

Beim sauren Bessemerprozesse lassen sich folgende Perioden des Blasens unterscheiden:

1. Feinperiode:

(Bei niederer Anfangstemperatur). Die entweichenden Gase sind wenig leuchtend (nur vom glühenden Konverterinneren aus rot erleuchtet); es verbrennt hauptsächlich Silicium; der Graphit wird gelöst.

Bald (oder bei hoher Anfangstemperatur sofort) tritt eine orangefarben leuchtende Flamme auf, an welcher sich einzelne blaue Streifen und ein weisser Saum erkennen lassen. Die anfangs wenig leuchtende Flamme nimmt rasch an Leuchtkraft zu; Funken verbrennenden Eisens und glühender Schlacke mischen sich ihr bei. Hierdurch ist die Beendigung der Oxydation des Siliciums und somit der Feinperiode charakterisiert.

2. Kochperiode:

Die Flamme ist sehr hell, fast weiss, stark leuchtend; sie tritt stossweise aus und flackert stark; auch reisst sie ganze

1) Zeitschr. d. oberöschl. berg- u. hüttenm. Vereins 1885, S. 392.

2) Billiger, aber wegen der Schwankungen des Hochofenbetriebes schwieriger.

3) Im Prinzip ein sehr grosser Martinofen, in welchem das Eisen, wie es vom Hochofen kommt, gesammelt wird. Hierdurch wird eine gleichförmigere Zusammensetzung des Roheisens erzielt, und überdies sein Schwefelgehalt verringert.

Garben von Eisen mit sich. Das in dieser Periode (Rohfrisch-, Koch- oder Eruptionsperiode) sich massenhaft bildende Eisenoxydul reagiert energisch auf den Kohlenstoff des Eisens; es bildet sich viel Kohlenoxyd, welches das Metall zum starken Aufschäumen bringt, was von Getöse im Konverter begleitet ist.

Will man Stahl direkt ohne Rückkohlung darstellen, so ist der Prozess in dieser Periode beendet.

3. Endperiode:

Die stark leuchtende Flamme wird ruhiger, durchsichtiger, und verliert an Helligkeit; das Getöse nimmt ab, die Flamme verschwindet (Ende der Entkohlung), worauf der Konverter umgekippt und der Windstrom gehemmt wird.

Vom Beginne der Rohfrischperiode an bis zum Schlusse ist die Flamme meistens von Rauchentwicklung begleitet, die bei manganreichem Roheisen sehr stark werden kann.

Hin und wieder hat man sich früher zur Beurteilung des Verlaufes des Prozesses eines Spektralapparates bedient, doch ist man hiervon wohl überall wieder abgekommen.

Das direkte Blasen auf die gewünschte Härtenummer kommt nur selten vor, da man auf diese Weise metalloxydreiche Produkte erhält. Man bläst daher gewöhnlich etwas weicher und setzt als Desoxydationsmittel etwas Ferromangan (oder ähnliches) zu.

Will man jedoch kohlenstoffärmeres Eisen erzeugen oder hat man siliciumreiches Roheisen und will ein siliciumarmes Endprodukt gewinnen, so bläst man so lange, bis die Flamme fast oder ganz erloschen ist, und giebt nun sowohl zur Desoxydation als zur Erhöhung des Kohlenstoffgehaltes (Rückkohlung) einen Zusatz von Ferromangan oder Spiegeleisen (manchmal auch von grauem Roheisen). Will man jedoch ein manganarmes Endprodukt erhalten, so giebt man (nur zur Desoxydation) wenig Ferromangan und erzielt die Rückkohlung mit schwefelarmem Koks oder Graphit (Darby-Verfahren).

Zur Beurteilung des Prozesses sowohl als des Endproduktes benutzt man

- a) die Spiessprobe, wobei eine Eisenstange in die geschmolzene Schlacke getaucht wird (Beurteilung nach der Zähigkeit und Farbe der Schlacke) und

b) die Schöpfprobe (Beurteilung des Metalles nach der Schmiedeprobe).

Schliesslich wird der Konverter durch Umkippen in eine Gusspfanne entleert und aus dieser in Coquillen gegossen.

Je nach dem Siliciumgehalte des Roheisens und der Anfangstemperatur lassen sich drei Abarten des Prozesses unterscheiden.

I. Hoher Siliciumgehalt (2—3 %) und niedere Anfangstemperatur (englischer Prozess).

Anfangs verbrennt nur Silicium; erst wenn die Temperatur eine gewisse Höhe erreicht hat (wozu ein grosser Teil des Siliciums und Mangans verbrennen musste), nimmt auch der Kohlenstoffgehalt ab. Nach dem Spiegeleisenzusatz nimmt der Siliciumgehalt durch Rückreduktion aus der Schlacke wieder zu.

II. Mittlerer Siliciumgehalt (1,3—2 %) und hohe Anfangstemperatur. Bei genügend hoher Anfangstemperatur verbrennt Kohlenstoff, Silicium und Mangan gleichzeitig, und zwar vom Beginne des Blasens an, doch führt die Entkohlung weiter, als die Abnahme des Silicium- und Mangangehaltes.

III. Niederer Siliciumgehalt (0,6—1,3 %) und hohe Anfangstemperatur. Der Verlauf ist rasch. Die Oxydation von Kohlenstoff, Silicium und Mangan beginnt gleich anfangs; letztere beiden Elemente verschwinden fast ganz; bei hoher Temperatur des Roheisens und der Birne, grossem Einsatze und raschem Blasen gelingt auch die Entfernung des Kohlenstoffes fast vollständig.

Folgende Beispiele werden diese verschiedenen Arten des Prozesses am besten charakterisieren.

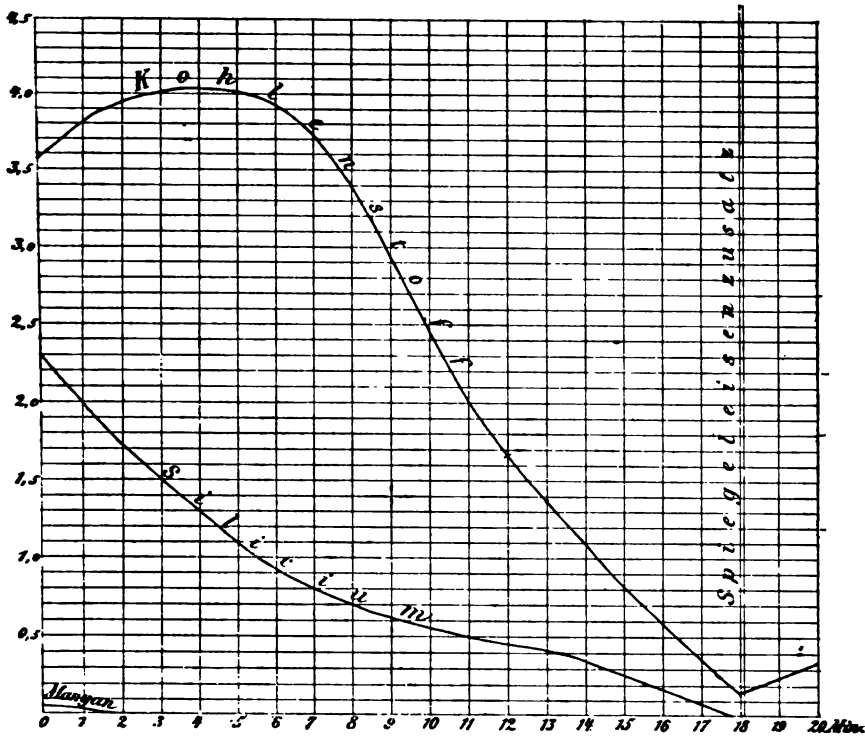
a) Hoher Silicium- und niederer Mangangehalt.
Niedere Anfangstemperatur (nach E. Barker.¹⁾)

| Bestandteile | Roheisen | Nach | | Ende des Blasens, vor dem Spiegeleisenzusatz | Nach Spiegeleisenzusatz; 20 Min. nach Beginn des Blasens |
|-------------------|----------|---------|-------|--|--|
| | | 6 | 12 | | |
| | | Minuten | | | |
| Kohlenstoff . . . | 3,57 | 3,94 | 1,64 | 0,19 | 0,37 |
| Silicium . . . | 2,26 | 0,95 | 0,47 | n. best. | n. best. |
| Mangan . . . | 0,04 | Spur | Spur | Spur | 0,54 |
| Schwefel . . . | 0,107 | 0,098 | 0,098 | 0,098 | 0,090 |
| Phosphor . . . | 0,073 | 0,070 | 0,070 | 0,070 | 0,056 |

1) Zeitschr. f. Bauwesen, 20 (1876) S. 427.

Fig. 6) stellt diese Veränderungen graphisch dar.

Fig. 60.



b) Hoher Silicium- und niederer Mangangehalt
(Versuch von Snelus¹⁾ in Dowlais, South Wales).

| Zusammensetzung | Roheisen <i>a</i> | Zwischenprodukt | | | Stahl <i>e</i> |
|---------------------|----------------------|-----------------|----------|----------|-------------------|
| | | <i>b</i> | <i>c</i> | <i>d</i> | |
| Graphit | 2,070 | — | — | — | — |
| Gebund. Kohlenstoff | 1,200 | 2,170 | 1,550 | 0,097 | 0,566 |
| Silicium | 1,952 | 0,759 | 0,635 | 0,020 | 0,080 |
| Phosphor | 0,048 | 0,051 | 0,064 | 0,067 | 0,055 |
| Schwefel | 0,014 | Spur | — | — | — |
| Mangan | 0,086 | — | — | — | — |
| Kupfer | — | — | — | — | 0,039 |

1) Journ. Iron Steel Inst. 1871, II, p. 247.

Die entweichenden Gase hatten folgende Zusammensetzung:

| Zusammen- setzung in Volumproz. | Zeit nach Beginn der Charge | | | | | |
|---------------------------------------|-----------------------------|-------|-------|-------|-------|-------|
| | 2 | 4 | 6 | 10 | 12 | 14 |
| | Minuten | | | | | |
| CO_2 | 10,71 | 3,59 | 8,20 | 3,58 | 2,30 | 1,34 |
| O_2 | 0,92 | — | — | — | — | — |
| CO | — | 3,95 | 4,52 | 19,59 | 29,30 | 31,11 |
| H_2 | 88,37 | 0,88 | 2,00 | 2,00 | 2,16 | 2,00 |
| N_2 | | 86,58 | 85,28 | 74,83 | 66,24 | 65,55 |

Der Wasserstoffgehalt der Gase rührt offenbar vom Feuchtigkeitsgehalte des Windes her. Aus diesem und dem Stickstoffgehalte der Konvertergase lässt sich daher berechnen, wieviel Sauerstoff dem Eisen zugeführt wurde. Enthalten die entweichenden Gase weniger Sauerstoff, so wurde Eisen, Mangan, Silicium (oder bei basischem Prozesse Phosphor) verbrannt; sind die Gase aber sauerstoffreicher, so muss aus der früher gebildeten Schlacke Eisen rückreduziert worden sein. In dieser Weise kann man auf vorstehende Daten eine Berechnung stützen.

Nach 2 Minuten wurde dem Bade Sauerstoff zugeführt:

mit 90,31 Raumteilen Stickstoff $\frac{90,31}{100} \cdot 26,5 = 23,93$ Raumteile
 „ 0,00 „ Wasserstoff 0,00 „
 zusammen 23,93 Raumteile

Die Gase enthielten:

freien Sauerstoff 0,51 Raumteile
 in 9,12 Raumteilen CO_2 . . . 9,12 „
 „ 0,06 „ CO . . . 0,03 „ 9,66 Raumteile

Mithin zur Verbrennung von Si , Mn u. Fe verbraucht 14,27 Raumteile

Dagegen wurde nach 10 Minuten dem Bade zugeführt:

Mit 74,83 Raumteilen Stickstoff $\frac{74,83}{100} \cdot 26,5 = 19,8$ Raumteile
 „ 2,00 „ Wasserstoff 1,0 „
 zusammen 20,8 Raumteile

Die Gase enthielten:

in 3,58 Raumteilen CO_2 . . 3,58 Raumteile
 „ 19,59 „ CO . . 9,79 „ 18,37 Raumteile

Mithin zur Verbrennung von Si , Mn und Fe verbraucht 7,43 Raumteile

Wie man sieht, nimmt der Kohlenoxydgehalt der Gase mit steigender Temperatur immer mehr zu.

c) Hoher Siliciumgehalt, mässiger Mangangehalt.
(Versuche von Baker in Atlas Work, Sheffield):

| Zusammen- setzung % | Roheisen <i>a</i> | Zwischenprodukte | | | Stahl (e) nach Spiegeleisen- zusatz |
|---------------------------|----------------------|----------------------------|--------------------------|------------------------------|---|
| | | <i>b</i> nach 6 Minuten | <i>c</i> nach 12 Min. | <i>d</i> Ende des Blasens | |
| Graphit . . . | 2,519 | — | — | — | — |
| Geb. <i>C</i> . . . | 1,000 | 3,040 | 1,640 | 0,190 | 0,370 |
| <i>Si</i> | 2,260 | 0,955 | 1,470 | Spur | Spur |
| <i>P</i> | 0,073 | 0,070 | 0,070 | 0,070 | 0,090 |
| <i>S</i> | 0,107 | 0,091 | 0,098 | 0,093 | 0,090 |
| <i>Mn</i> | 0,410 | — | — | — | 0,649 |

d) Hoher Silicium- und Mangangehalt, niedere Anfangstemperatur (Versuche von Kessler¹⁾):

| Bestandteile % | Roheisen | Zwischenprodukte (ohne Zeitangaben) | | | Ende des Blasens | Nach Spiegel- eisen- zusatz |
|---------------------|----------|--|-------|-------|---------------------|--------------------------------------|
| <i>C</i> | 3,03 | 3,17 | 3,19 | 1,61 | 0,19 | 0,21 |
| <i>Si</i> | 2,41 | 1,26 | 0,27 | 0,08 | 0,01 | 0,16 |
| <i>Mn</i> | 2,45 | 0,70 | 0,19 | 0,12 | 0,06 | 0,22 |
| <i>S</i> | 0,024 | 0,010 | 0,007 | 0,013 | 0,023 | 0,023 |
| <i>P</i> | 0,130 | 0,140 | 0,135 | 0,130 | 0,140 | 0,150 |

Auffallend ist hier das Wachsen des Siliciumgehaltes nach Spiegeleisenzusatz (offenbar durch Rückreduktion bewirkt) sowie die Zunahme des Schwefel- und die Abnahme des Phosphorgehaltes während des Blasens.

e) A. Simonson²⁾ teilt folgende Analysen über den Verlauf einer sogenannten „Kleinbessemercharge“ in einem kleinen Konverter mit kleinen Einsetzmengen mit.

| | Einsatzmetall (direkt vom Cupolofen) | Nach | | | | Ende des Blasens | Nach der Rück- kohlung |
|---------------------|--|---------|-------|-------|-------|---------------------|------------------------------|
| | | 5 | 12 | 14 | 18 | | |
| | | Minuten | | | | | |
| Metall. | | | | | | | |
| Graphit . . . | 3,18 | 2,92 | — | — | — | — | — |
| Geb. <i>C</i> . . . | 0,35 | 0,34 | 2,90 | 2,80 | 0,86 | 0,10 | 0,24 |
| <i>Si</i> | 2,21 | 1,62 | 0,466 | 0,382 | 0,084 | 0,074 | 0,326 |
| <i>S</i> | 0,037 | 0,037 | 0,035 | 0,036 | 0,038 | 0,038 | 0,037 |
| <i>P</i> | 0,054 | 0,053 | 0,054 | 0,054 | 0,051 | 0,050 | 0,058 |
| <i>Mn</i> | 0,61 | 0,60 | 0,101 | 0,040 | 0,040 | 0,042 | 1,08 |

1) Dinglers polytechnisches Journ. 205, S. 436.

2) Iron Trade Review, 30. Juli 1903, p. 48.

| | Einsatz (direkt vom Cupolofen) | Nach | | | | Ende des Blasens | Nach der Rück- kohlung |
|-----------------|--------------------------------------|---------|-------|-------|-------|--|------------------------------|
| | | 5 | 12 | 14 | 18 | | |
| | | Minuten | | | | | |
| Schlacken. | | | | | | | |
| Si_2O . . . | 49,55 | 36,75 | 42,50 | 50,90 | 51,00 | Diese Probe war durch beigemengtes Konverterfutter verunreinigt | 61,30 |
| Fe_2O_3 . . . | 3,27 | 3,28 | 4,05 | 5,85 | 5,85 | | 7,90 |
| FeO . . . | 5,52 | 45,90 | 39,85 | 29,00 | 28,40 | | 16,31 |
| Al_2O_3 . . . | 8,90 | 2,80 | 2,10 | 2,05 | 2,01 | | 2,35 |
| CaO . . . | 24,50 | 1,80 | 1,70 | 1,55 | 1,55 | | 1,75 |
| MgO . . . | 0,54 | 0,360 | 0,234 | 0,234 | 0,290 | | 0,396 |
| P_2O_5 . . . | Spur | Spur | Spur | Spur | Spur | | Spur |
| S . . . | 0,076 | Spur | Spur | Spur | Spur | | Spur |
| MnO . . . | 8,37 | 9,87 | 9,12 | 9,90 | 10,04 | | 10,416 |

f) Mittlerer Silicium- und Mangangehalt, hohe Anfangstemperatur, deutsches Verfahren (Versuche von Müller in Osnabrück):

| Bestandteile % | Roheisen | Nach | | | Nach Spiegeleisen- zusatz und 40 Sekunden langem Blasen |
|-------------------|----------|---------|------|-------|--|
| | | 5 | 10 | 18 | |
| | | Minuten | | | |
| Kohlenstoff . | 3,46 | 2,71 | 1,63 | 0,092 | 0,104 |
| Silicium . . | 1,93 | 1,07 | 0,79 | 0,532 | 0,346 |
| Mangan . . | 2,99 | 1,92 | 1,36 | 0,588 | 0,621 |

Fig. 61 stellt diese Versuchsergebnisse graphisch dar. — Hier verbrennt der Kohlenstoff gleich anfangs und gleichzeitig mit Silicium und Mangan, aus diesem Grunde muss natürlich die Siliciumkurve etwas flacher verlaufen als in Fig. 60.

g) Mittlerer Silicium- und hoher Mangangehalt (Versuche von F. Kupelwieser') in Neuberg):

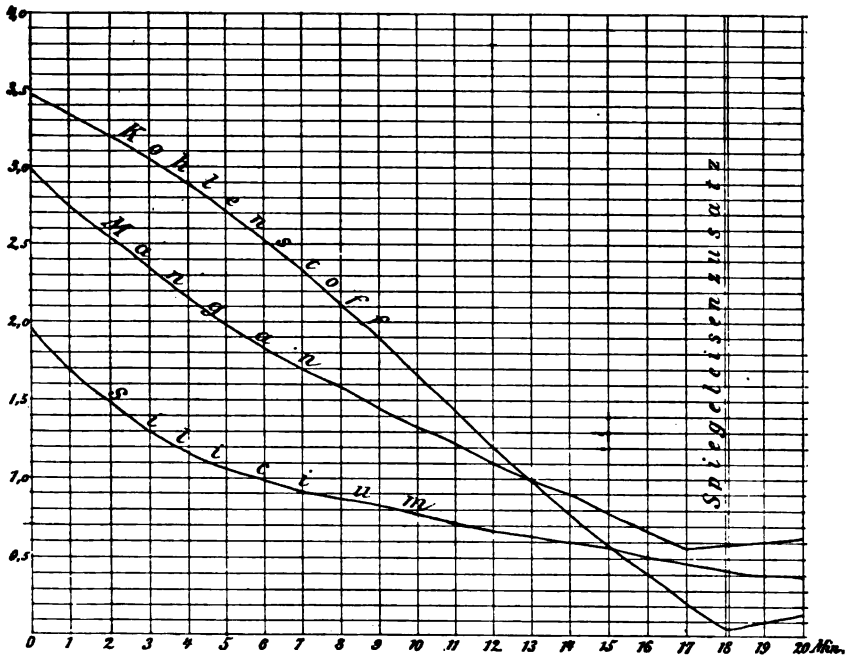
| Bestand- teile % | Neuburger graues Roheisen (3615 kg) und Hochofen- schlacke | Nach der ersten Periode von 28 Min. (39 Düsen von 28 mm Durchmesser; 103 cm Pressung) | Nach der zweiten Periode von 7 Minuten (Pressung 97—103 cm) | Nach der dritten Periode von 3 Minuten (Pressung 108 cm) | Fertiges Produkt (3058 kg) nach dem Eintragen von 168 kg Spiegeleisen |
|------------------------|--|--|---|---|---|
| Eisen. | | | | | |
| Graphit . . | 3,180 | — | — | — | — |
| Geb. C . . | 0,750 | 2,465 | 9,909 | 0,087 | 0,234 |
| Si . . . | 1,960 | 0,448 | 0,122 | 0,028 | 0,033 |
| P . . . | 0,040 | 0,040 | 0,045 | 0,045 | 0,044 |
| S . . . | 0,018 | Spur | Spur | Spur | Spur |
| Mn . . . | 3,460 | 1,645 | 0,429 | 0,113 | 0,139 |
| Cu . . . | 0,085 | 0,091 | 0,095 | 0,120 | 0,106 |
| Fe . . . | 90,507 | 95,316 | 98,370 | 99,607 | 99,445 |

| Bestand- teile % | Neuberger grauess Roheisen (3616 kg) und Hochofen- schlacke | Nach der ersten Periode von 28 Min. (29 Düsen von 28 mm Durchmesser; 108 cm Pressung) | Nach der zweiten Periode von 7 Minuten (Pressung 97—102 cm) | Nach der dritten Periode von 3 Minuten (Pressung 108 cm) | Fertiges Produkt (3068 kg) nach dem Eintragen von 108 kg Spiegeleisen |
|------------------------|---|--|---|---|---|
|------------------------|---|--|---|---|---|

Schlacken.

| | | | | | |
|-----------------------------|-------|-------|-------|-------|-------|
| SiO_2 . . | 4,95 | 46,78 | 51,75 | 46,75 | 47,25 |
| Al_2O_3 . . | 8,70 | 4,65 | 2,98 | 2,80 | 3,45 |
| FeO . . | 0,60 | 6,78 | 5,50 | 16,86 | 15,43 |
| MnO . . | 2,18 | 37,00 | 37,90 | 32,23 | 31,89 |
| CaO . . | 30,86 | 2,98 | 1,76 | 1,19 | 1,23 |
| MgO . . | 16,32 | 1,53 | 0,45 | 0,52 | 0,61 |
| K_2O . . | 0,18 | Spur | Spur | Spur | Spur |
| Na_2O . . | 0,14 | Spur | Spur | Spur | Spur |
| S . . | 0,34 | 0,04 | Spur | Spur | Spur |
| P . . | 0,01 | 0,03 | 0,02 | 0,01 | 0,01 |

Fig. 61.



h) Mittlerer Siliciumgehalt (1,3—2 %), hoher Mangan-gehalt, hohe Anfangstemperatur (deutsches Verfahren):

| Bestandteile % | Einsatz | Nach | | | Spiegeleisen- zusatz |
|-------------------|---------|---------|-------|-------|-------------------------|
| | | 4 1/2 | 18 | 16 | |
| | | Minuten | | | |
| Si | 1,847 | 1,213 | 0,932 | 0,285 | 0,270 |
| Mn | 1,928 | 1,687 | 1,006 | 0,373 | 0,620 |
| C | 8,516 | 2,780 | 0,428 | 0,053 | 0,228 |

i) Mittlerer Siliciumgehalt, hohe Anfangstemperatur (Versuche von Müller¹⁾ in Bochum):

| Bestandtheile | Roheisen | Nach | | | | Nach Spiegel- eisen- zusatz |
|---------------|----------|-----------------|-----------------|-----------------|------------------|--------------------------------------|
| | | 3 $\frac{1}{2}$ | 6 $\frac{1}{2}$ | 9 $\frac{1}{2}$ | 11 $\frac{1}{4}$ | |
| | | Minuten | | | | |
| C | 8,87 | 2,98 | 1,75 | 0,30 | 0,07 | 0,42 |
| Si. . . . | 1,48 | 0,88 | 0,75 | 0,63 | 0,13 | 0,34 |
| Mn | 1,76 | 1,01 | 0,94 | 0,73 | 0,26 | 1,06 |

k) Niederer Silicium- (und Mangan-) Gehalt, (0,6—1,3 %) hohe Anfangstemperatur, schwedisches Verfahren (Versuche von Göransson und Magnuson²⁾ in Sandviken):

| Bestandteile % | Roheisen | Nach | | | Nach Spiegel- eisenzusatz |
|-------------------|----------|---------|---|---|------------------------------|
| | | 3 | 6 | 8 | |
| | | Minuten | | | |

Metallbad.

| | | | | | |
|-----------------|-------|-------|-------|-------|-------|
| Kohlenstoff . . | 4,49 | 3,87 | 1,30 | 0,33 | 0,70 |
| Silicium . . | 1,08 | 0,026 | 0,026 | 0,015 | 0,058 |
| Mangan . . | 0,832 | 0,108 | 0,090 | 0,075 | 0,324 |
| Schwefel . . | 0,020 | 0,015 | 0,010 | 0,010 | 0,015 |
| Phosphor . . | 0,017 | 0,018 | 0,016 | 0,016 | 0,018 |

Schlacken.

| | | | | | |
|---------------|---|-------|-------|-------|---|
| Kieselsäure . | — | 53,44 | 57,80 | 55,76 | — |
| Thonerde . . | — | 1,84 | 1,94 | 1,58 | — |
| Eisenoxydul . | — | 20,24 | 17,04 | 18,48 | — |
| Manganoxydul | — | 23,90 | 22,80 | 22,23 | — |
| Erden . . . | — | 0,44 | 0,46 | 0,39 | — |

1) Zeitschr. Ver. d. Ing. 1878, S. 392.

2) Iron, 14, p. 3; Jernkont. Ann. 1878.

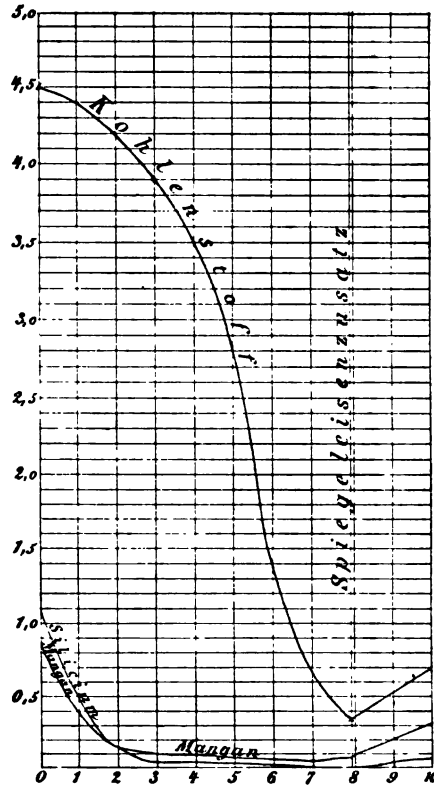
Fig. 62 giebt eine graphische Übersicht der Veränderungen in der Zusammensetzung des Metallbades.

1) Sehr niedriger Sili-
cium- und Mangan-gehalt,
schwedisches Verfahren
(Untersuchungen von Tamm¹⁾):

| | C | Si | Mn | P |
|---|------|------|------|------|
| Roheisen . . . | 4,84 | 0,83 | 0,66 | 0,02 |
| Eisen nach $5\frac{1}{2}$ Min. Blasen, unmittelbar vor Spiegel- eisenzusatz . . | 0,06 | 0,04 | 0,06 | 0,02 |

| Gaszusammen- setzung in Volumproz. | Nach „ | |
|--|---|-------|
| | 2 $\frac{3}{4}$ —3 $\frac{3}{4}$ 4 $\frac{1}{4}$ —5 $\frac{1}{4}$ | |
| | Minuten | |
| Sauerstoff . . | 0,12 | 0,18 |
| Kohlendioxyd . | 4,87 | 3,62 |
| Kohlenoxyd . | 28,94 | 23,27 |
| Wasserstoff . | 1,68 | 0,72 |
| Stickstoff . . | 64,39 | 72,21 |

Fig. 62.



Die Ursache, dass trotz des raschen Verlaufes der Charge ($5\frac{1}{2}$ Minuten) in den Gasen so wenig freier Sauerstoff auftritt, erklärt sich aus der hohen Anfangstemperatur. Nach etwa 3 Minuten Blasezeit hatte die Temperatur ihr Maximum erreicht.

Berechnet man die Sauerstoffmengen, so findet man für die Zeit von $2\frac{3}{4}$ bis $3\frac{3}{4}$ Minuten:

$$\begin{aligned} \text{Mit } 64,39 \text{ Volumen Stickstoff zugeführt } & \frac{64,39}{100} \cdot 26,5 = 17,06 \text{ Vol.} \\ \text{„ } 1,68 \text{ „ Wasserstoff „} & \quad \quad \quad = 0,84 \text{ „} \\ & \text{zusammen } 17,90 \text{ Vol.} \end{aligned}$$

1) Jernkont. Ann. 1878; Iron 14, p. 8.

Die Gase enthalten dagegen:

| | |
|-------------------------------|--------------------|
| Freien Sauerstoff | 0,12 Vol. |
| in 4,87 Vol. CO_2 | 4,87 „ |
| „ 28,94 „ CO | 14,47 „ 19,46 Vol. |

Sauerstoffüberschuss in den Gasen 1,56 Vol.

der auf Rückreduktion von Eisen aus der Schlacke durch den Kohlenstoffgehalt des Metallbades zu erklären ist.

Gegen Ende des Frischens (Probe II) ist der Sauerstoffgehalt der Gase jedoch kleiner als die zugeführte Sauerstoffmenge; d. h., jetzt wird wieder Eisen oxydiert und verschlackt. Tatsächlich enthielt die Endschlacke:

| | |
|---------------------------|---------|
| SiO_2 | 45,04 % |
| FeO | 33,44 „ |
| MnO | 18,28 „ |
| $Al_2O_3 + CaO$ | 2,46 „ |

m) Gaszusammensetzung beim schwedischen Verfahren nach Tamm.

Versuche in Westanfors mit einem Einsatze mit 4,07 % C, 1,39 % Si, 4,66 % Mn.

| Gaszusammensetzung Volumproz. | Nach | | | |
|-------------------------------|---------|-------|-------|-------|
| | 3—5 | 9—10 | 21—23 | 26—27 |
| | Minuten | | | |
| Sauerstoff | 4,76 | 1,69 | 0,96 | 0,56 |
| Kohlendioxyd | 9,12 | 5,99 | 4,85 | 1,86 |
| Kohlenoxyd | 0,00 | 17,56 | 19,32 | 14,31 |
| Wasserstoff | 0,00 | 0,91 | 1,12 | 1,70 |
| Stickstoff | 86,11 | 73,84 | 73,73 | 81,58 |

Auch hier wächst der CO-Gehalt mit der Blasezeit.

n) Tittler¹⁾ gibt folgende Analysen von einer russischen Bessemercharge (Tagil am Ural) mit im Martinofen überhitztem Roheisen:

| | Si | Mn | C |
|---------------------------------------|-------|------|------|
| Ursprüngliches Roheisen | 0,750 | 2,60 | 3,70 |
| Nach Erhitzen im Martinofen | 0,700 | 2,01 | 3,65 |
| Nach 3 Minuten | 0,560 | 1,31 | 2,50 |
| „ 6 „ | 0,470 | 1,31 | 1,80 |
| „ 9 „ | 0,430 | 1,01 | 1,06 |
| „ 12 „ | 0,330 | 0,65 | 0,55 |
| „ 14,5 „ | 0,026 | 0,31 | 0,25 |

1) Stahl und Eisen, 21, S. 519.

o) Der Einfluss der Temperatur auf die Schlackenzusammensetzung lässt sich aus folgenden Untersuchungen von Ledebur¹⁾ deutlich erkennen, die sich auf denselben Einsatz, einmal bei heissem, das andere Mal bei kaltem Chargengange beziehen. Die bei heissem Gang entstandenen Schlacken waren olivengrün, die vom kalten Gange hingegen grünlichbraun.

| | Vor dem Spiegeleisen- zusatz entnommene Proben | | Endschlacken nach dem Spiegeleisenzusatz | |
|----------------------|---|----------|---|----------|
| | heisser | kalter | heisser | kalter |
| | Gang | | Gang | |
| Kieselsäure | 50,85 | 49,45 | 53,95 | 49,05 |
| Thonerde | 3,15 | 1,30 | 2,31 | 2,30 |
| Eisenoxydul | 4,18 | 9,59 | 5,54 | 6,55 |
| Manganoxydul | 40,68 | 38,23 | 35,14 | 40,27 |
| Kalk | n. best. | n. best. | 2,32 | n. best. |
| Magnesia | " " | " " | Spur | " " |

p) Die Zusammensetzung des Bessemerrauches fand Brusewitz wie folgt:

| | |
|---|---------|
| SiO_2 | 17,92 % |
| Al_2O_3 | 2,08 „ |
| Fe_2O_3 | 15,55 „ |
| MnO (jedenfalls als Mn_2O_4 vorhanden) . | 61,61 „ |
| MgO | 0,25 „ |
| CaO | 0,61 „ |
| Summe | 98,02 % |

ACHTZEHNTE KAPITEL.

Der basische Bessemer- oder Thomasprozess.

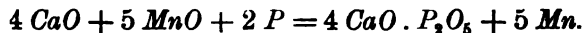
Schon frühzeitig (besonders durch Suelus) wurde die Vermutung ausgesprochen, dass es bei basischem Konverterfutter und bei Anwendung basischer Zuschläge, also bei Bildung basischer Schlacke, gelingen werde, auch den Phosphorgehalt des Roheisens zu entfernen; doch erst im Jahre 1878 gelang es den Engländern Thomas und Gilchrist durch Anwendung eines Futters von

1) Handbuch der Eisenhüttenkunde, 4. Aufl. III, S. 1010.

gebranntem Dolomit und eines Zuschlages von gebranntem Kalk das Verfahren in die Praxis einzuführen. Nachdem das hierbei angewendete Roheisen (wegen der Notwendigkeit, eine basische Schlacke zu erhalten) nur wenig Silicium enthalten darf, muss hier die Rolle des Brennstoffes, welcher die Temperatur des Metallbades genügend zu erhöhen im Stande ist, von einem anderen Elemente übernommen werden, und dies ist der Phosphor.

Es ist somit ein Roheisen mit genügendem Phosphorgehalt eine Hauptbedingung. Dass das Roheisen gleichzeitig nur wenig Silicium enthalten darf, ist nach dem bereits Erwähnten selbstverständlich.

Da man mit hoher Anfangstemperatur arbeitet, beginnt die Oxydation des Kohlenstoffes sofort, und zwar um so energischer, je weniger Silicium und Mangan zugegen ist. Das Silicium verschwindet sehr rasch; anfangs nimmt auch der Mangangehalt schnell ab, doch bleibt vom letzteren Elemente — wenn es reichlich vorhanden ist, und die Anfangstemperatur hoch war — etwa 0,2 bis 0,5 % zurück. Bei niederem Phosphorgehalte und etwa 0,5 % Silicium erleidet ersterer anfangs keine Verminderung; bei hohem Phosphorgehalt und sehr wenig Silicium beginnt auch die Oxydation des Phosphors sofort, doch verschwindet die Hauptmenge desselben stets erst beim Nachblasen, d. h. wenn nur mehr weniger als 0,2 % Kohlenstoff vorhanden ist. In dieser Zeit kann aber auch aus manganreicher Schlacke wieder Mangan reduziert werden nach der Gleichung:



Bei fortgesetztem Blasen wird es aber neuerdings oxydiert und durch den schliesslichen Ferromangan- oder Spiegeleisenzusatz abermals vermehrt.

Der Phosphor erscheint in den Schlacken als $\text{Ca}_4\text{P}_2\text{O}_8$ (siehe I. Teil, p. 273).

Auf das eigentümliche Verhalten des Schwefels beim Thomasprozess werden wir später zu sprechen kommen.

Das beim Thomasprozesse verwendete Roheisen enthält gewöhnlich 0,2 bis 0,5 % Silicium, 1,8 bis 2,5 % Phosphor und 1 bis 2 % Mangan. Je niedriger der Phosphorgehalt, desto höher muss der Siliciumgehalt sein.

Der Arbeitsgang¹⁾ ist gewöhnlich folgender:

Wenn der Konverter angeheizt ist, wird der Kalk in den aufrecht stehenden Konverter gebracht. Der Kalkzusatz beträgt gewöhnlich für weiche Chargen 12 % des Roheisengewichtes, für Stahl um einige Prozente mehr. Ein zu hoher Kalkzusatz ist zu vermeiden, weil hierdurch nicht nur ein grösserer Wärmeverbrauch im Konverter verursacht, sondern auch eine phosphorsäureärmere, also weniger wertvolle Schlacke erzielt würde. Bei zu geringem Kalkzusatz wäre eine Entphosphorung unmöglich. Nach Hilgenstock muss die Schlacke so viel Kalk enthalten, dass die Kieselsäure zu $\text{Ca} \cdot \text{SiO}_3$,²⁾ die Phosphorsäure aber als $\text{Ca}_4\text{P}_2\text{O}_7$ gebunden ist.

Nun legt man den Konverter um und lässt das Roheisen einfließen. Die Gebläsemaschine wird angelassen, und sobald der Druck die genügende Höhe (1,5 bis 2 Atm.) erreicht, wird gleichzeitig mit dem Öffnen des Ventils der Konverter aufgestellt und das Blasen begonnen. Geht die Charge zu heiss, so reguliert man die Temperatur durch Zusatz von Abfalleisen.

Mit blossem Auge erkennt man den Übergang vom Vorblasen auf das Nachblasen (die Flamme verschwindet). Das Nachblasen wird entweder nach der Zeit oder nach der Anzahl Hübe des Gebläses (also eigentlich nach dem eingeblasenen Luftvolumen) bemessen. Nun wird der Konverter umgekippt, eine Schöpfprobe genommen und diese auf Kaltbruch geprüft. Zeigt sich solcher, so wird der Konverter wieder aufgestellt, kurze Zeit nachgeblasen und abermals eine Schöpfprobe genommen.

Die Blasezeit beträgt etwa 1 Minute pro Tonne Roheisen. Bei einer gutgehenden Gebläsemaschine braucht man pro 100 kg Roheisen.

Zum Vorblasen (je nach dem Si- und Mn-Gehalte) 21—25 m³ Luft

„ Nachblasen (weiche Qualität) 9—10 „ „

„ „ (Stahl) 10—11 „ „

Eine sichere Methode, um den Phosphor so gut wie gänzlich zu entfernen, besteht darin, dass man die Schlacke abzieht, einige Schaufeln Kalkstaub einwirft und das Gebläse gehen lässt, während man den Konverter aufstellt und wieder umlegt. Auf diese Weise kann man Stahlchargen mit 0,02 bis 0,03 % Phosphor und weiches Eisen mit noch niedrigerem Phosphorgehalte herstellen.

1) C. Sjögren, Jernkont. Ann. 1898; Berg- u. hüttenm. Jahrb. 1899, S. 151.

2) Im Silikate kann Ca durch andere Metalle vertreten sein, während die Phosphorsäure als $\text{Ca}_4\text{P}_2\text{O}_7$ gebunden ist.

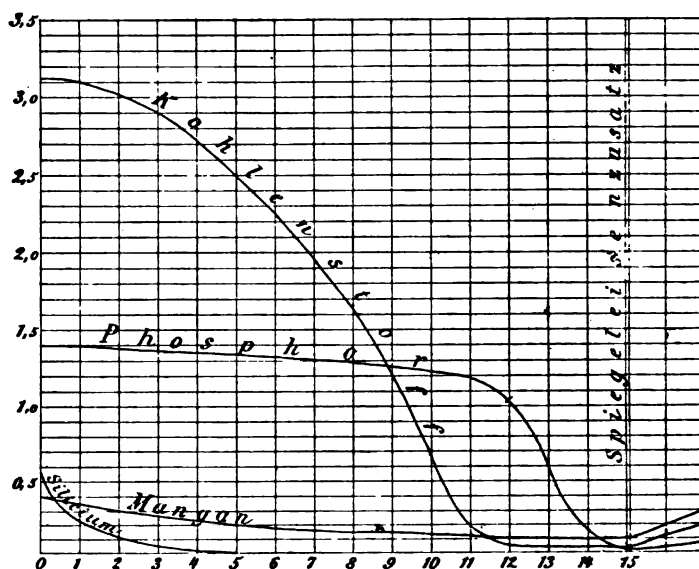
Nach dem Abziehen der Schlacke wird Ferromangan u. s. w. zugesetzt, umgerührt, eine Schöpfprobe genommen, und auf Rotbruch geprüft. Dann wird unter Zusatz von weiterem Rückkohlungsmateriale zum Gusse geschritten.

Den Verlauf des Prozesses lassen die folgenden Beispiele erkennen:

a) Roheisen mit verhältnismässig niederem Phosphor- und relativ hohem Siliciumgehalt (Versuche von Finkener¹⁾ in Hörde). Der Einsatz bestand aus etwa 3,5 t Roheisen; zugesetzt wurden 220 kg Spiegeleisen und Ferromangan:

| Be- stand- teile % | Roheisen- einsatz | Nach | | | | | | | Ende des Blasens | Nach Spiegel- eisen- zusatz |
|-----------------------------|----------------------|---------|-----------------|-------|-------|------------------|--------------------|------------------|---------------------|--------------------------------------|
| | | 5 | 7 $\frac{1}{2}$ | 9 | 12 | 13 $\frac{1}{4}$ | 13 $\frac{11}{16}$ | 14 $\frac{1}{4}$ | | |
| | | Minuten | | | | | | | | |
| <i>C</i> | 3,12 | 2,51 | 1,73 | 1,19 | 0,07 | 0,08 | 0,08 | — | 0,07 | 0,20 |
| <i>Si</i> | 0,56 | 0,01 | 0,006 | 0,008 | 0,005 | 0,001 | — | — | 0,001 | 0,003 |
| <i>Mn</i> | 0,41 | 0,18 | 0,19 | 0,21 | 0,11 | 0,07 | 0,10 | 0,07 | 0,06 | 0,31 |
| <i>S</i> | 0,41 | 0,44 | 0,43 | 0,42 | 0,47 | 0,46 | 0,34 | 0,21 | 0,20 | 0,15 |
| <i>P</i> | 1,398 | 1,442 | 1,400 | 1,354 | 1,069 | 0,524 | 0,132 | 0,066 | 0,046 | 0,067 |
| <i>Ni</i> | 0,07 | 1,08 | 0,08 | 0,07 | 0,06 | 0,07 | 0,07 | 0,04 | 0,08 | 0,06 |
| <i>Cu</i> | 0,04 | 0,04 | 0,04 | 0,05 | 0,05 | 0,05 | 0,05 | 0,05 | 0,04 | 0,06 |

Fig. 63.



1) Mitteilung der königl. techn. Versuchsanstalt zu Berlin 1883, S. 31.

Fig. 63 zeigt diese Veränderungen im Schaubilde.

Die Endschlacke enthielt:

| | | |
|-------------------------|-----------|---------|
| SiO_2 | | 11,40 % |
| P_2O_5 | | 12,00 „ |
| Al_2O_3 | | 2,35 „ |
| Fe_2O_3 | | 3,20 „ |
| FeO | | 8,20 „ |
| MnO | | 3,50 „ |
| CaO | | 51,00 „ |
| MgO | | 4,74 „ |
| CaS | | 3,15 „ |

b) Roheisen mit relativ niederem Phosphor- und etwas höherem Siliciumgehalt, als das vorige (Versuche in Hörde mit Roheisen von Lorraine).

| Bestandteile % | Roheisen (Durchsch. direkter Proben) | Nach | | | | | | Fertiger Stahl | Spiegel- eisen |
|-------------------|---|---------|-----------------|-----------------|---|------------------|------------------|-------------------|-------------------|
| | | 2 | 4 $\frac{1}{2}$ | 6 $\frac{1}{2}$ | 9 | 10 $\frac{3}{4}$ | 11 $\frac{1}{2}$ | | |
| | | Minuten | | | | | | | |

Metall.

| | | | | | | | | | |
|---------------|------|------|------|------|------|------|------|------|------|
| Silicium . . | 0,83 | Spur | Spur | Spur | Spur | Spur | Spur | Spur | 0,51 |
| Mangan . . | 0,41 | 0,29 | 0,25 | 0,23 | 0,11 | 0,09 | 0,07 | 0,36 | 3,38 |
| Kohlenstoff . | 8,05 | 2,86 | 2,21 | 1,80 | 0,14 | 0,13 | 0,12 | 0,24 | 4,40 |
| Schwefel . . | 0,33 | 0,27 | 0,34 | 0,35 | 0,37 | 0,31 | 0,18 | 0,12 | Spur |
| Phosphor . . | 1,37 | 1,48 | 1,17 | 1,10 | 0,93 | 0,20 | 0,04 | 0,03 | 0,15 |
| Kupfer . . | 0,02 | Spur | Spur | Spur | Spur | Spur | Spur | 0,04 | 0,43 |

Schlacken.

| | | | | | | | | | |
|-----------------|---|-------|--------|-------|--------|--------|--------|-------|---|
| Kieselsäure . | — | 26,83 | 22,69 | 23,25 | 16,03 | 12,80 | 10,37 | 12,25 | — |
| Phosphorsäure | — | 2,81 | 2,22 | 7,74 | 5,88 | 14,34 | 13,69 | 12,68 | — |
| Thonerde . . | — | 3,09 | 3,07 | 3,00 | 2,34 | 2,00 | 1,73 | 2,31 | — |
| Eisenoxyd . . | — | 0,14 | 0,50 | 1,62 | 2,00 | 2,57 | 3,52 | 1,61 | — |
| Eisenoxydul . | — | 4,21 | 4,84 | 6,77 | 4,13 | 5,97 | 11,58 | 9,42 | — |
| Manganoxydul | — | 3,62 | 3,93 | 5,50 | 3,12 | 2,68 | 2,54 | 5,32 | — |
| Kalk | — | 52,33 | 57,07 | 46,00 | 61,74 | 53,77 | 49,35 | 48,38 | — |
| Magnesia . . | — | 5,11 | 5,85 | 4,73 | 4,96 | 4,90 | 5,22 | 5,60 | — |
| Schwefelcalcium | — | 1,71 | 1,00 | 0,78 | 0,63 | 1,35 | 2,27 | 2,34 | — |
| Summe | — | 99,85 | 101,17 | 99,39 | 100,33 | 100,38 | 100,77 | 99,91 | — |

Die Schlacke enthält:

| | | | | | | | | | |
|---------------|---|------|------|------|------|------|-------|------|---|
| Phosphor . . | — | 1,14 | 0,97 | 3,37 | 2,57 | 6,44 | 5,98 | 5,54 | — |
| Eisen | — | 3,38 | 4,11 | 6,41 | 4,51 | 6,28 | 11,46 | 8,44 | — |
| Mangan . . . | — | 2,80 | 3,05 | 4,23 | 2,42 | 2,08 | 1,97 | 4,12 | — |
| Schwefel . . | — | 0,76 | 0,44 | 0,35 | 0,28 | 0,60 | 1,01 | 1,04 | — |

c) Roheisen mit niederem Phosphor und mässigem Siliciumgehalte (Versuche in Hörde):

| Bestandteile % | Roheisen (Durchschnitts- probe) | Nach | | | | | | | | Fertiger Stahl | Spiegel- eisen |
|-------------------|---------------------------------------|---------|--------|-------|--------|-----------------|------------------|------------------|-------------------|-------------------|-------------------|
| | | 2 | 4 | 6 | 8 | 9 $\frac{1}{4}$ | 10 $\frac{1}{4}$ | 11 $\frac{1}{4}$ | 11 $\frac{1}{12}$ | | |
| | | Minuten | | | | | | | | | |
| Metall | | | | | | | | | | | |
| Silicium . . . | 0,66 | Spur | Spur | Spur | Spur | Spur | Spur | Spur | Spur | Spur | 0,67 |
| Mangan . . . | 0,52 | 0,43 | 0,42 | — | 0,30 | 0,25 | 0,19 | 0,17 | 0,12 | 0,46 | 1,25 |
| Kohlenstoff . . | 2,83 | 2,72 | 2,48 | 1,70 | 0,70 | 0,16 | 0,15 | 0,10 | 0,09 | 0,24 | 4,01 |
| Schwefel . . . | 0,29 | 0,26 | 0,27 | — | 0,29 | 0,33 | 0,37 | 0,20 | 0,16 | 0,09 | Spur |
| Phosphor . . . | 1,28 | 1,32 | 1,29 | 1,25 | 1,22 | 1,18 | 0,48 | 0,07 | 0,04 | 0,02 | 0,21 |
| Kupfer . . . | 0,01 | Spur | Spur | Spur | Spur | Spur | Spur | Spur | Spur | 0,08 | 0,28 |
| Schlacke. | | | | | | | | | | | |
| Kieselsäure . . | — | 18,47 | 18,05 | 17,16 | 21,25 | 14,85 | 11,82 | 10,90 | 9,85 | 9,72 | — |
| Phosphorsäure . | — | 1,09 | 1,81 | 2,37 | 3,46 | 5,55 | 12,41 | 13,68 | 12,80 | 10,88 | — |
| Thonerde . . . | — | 0,42 | 0,38 | 0,82 | 0,72 | 0,49 | 0,39 | 1,83 | 1,68 | 2,21 | — |
| Eisenoxyd . . . | — | 0,80 | 0,60 | 1,18 | 1,81 | 2,54 | 0,57 | 2,95 | 4,94 | 3,81 | — |
| Eisenoxydul . . | — | 4,21 | 3,69 | 3,24 | 2,90 | 5,42 | 4,45 | 11,21 | 12,27 | 8,58 | — |
| Manganoxydul . | — | 1,91 | 2,80 | 2,43 | 2,98 | 2,08 | 1,96 | 2,15 | 2,07 | 5,93 | — |
| Kalk | — | 67,81 | 68,02 | 67,19 | 61,82 | 60,00 | 63,32 | 51,01 | 49,55 | 49,75 | — |
| Magnesia . . . | — | 4,94 | 4,37 | 4,60 | 4,64 | 3,66 | 4,37 | 5,29 | 5,08 | 6,42 | — |
| Schwefelcalcium | — | 0,47 | 0,63 | 0,76 | 0,90 | 0,92 | 0,83 | 1,65 | 1,98 | 2,26 | — |
| Summe | — | 100,12 | 100,35 | 99,75 | 100,48 | 99,51 | 99,62 | 100,67 | 100,22 | 99,56 | — |

Die Schlacke enthält:

| | | | | | | | | | | | |
|------------------|---|------|------|------|------|------|------|-------|-------|------|---|
| Phosphor . . . | — | 4,47 | 0,79 | 1,03 | 1,51 | 2,42 | 5,42 | 5,97 | 5,59 | 4,75 | — |
| Eisen | — | 3,83 | 3,30 | 3,35 | 3,52 | 6,00 | 4,85 | 10,14 | 13,01 | 9,34 | — |
| Mangan | — | 1,48 | 2,17 | 1,88 | 2,81 | 1,61 | 1,52 | 1,66 | 1,60 | 4,59 | — |
| Schwefel | — | 0,21 | 0,28 | 0,34 | 0,40 | 0,41 | 0,37 | 0,73 | 0,88 | 1,00 | — |

d) Roheisen mit mässigem Phosphor- und hohem Siliciumgehalte (Versuche von Stead in Eston):

| Bestandteile % | Einsatz | Nach | | | | | | | Fertiger Stahl |
|-------------------|---------|---------|-------|-------|-------|------------------|------------------|-------------------|-------------------|
| | | 3 | 6 | 9 | 12 | 14 $\frac{1}{2}$ | 16 $\frac{1}{2}$ | 16 $\frac{7}{12}$ | |
| | | Minuten | | | | | | | |
| Metall. | | | | | | | | | |
| Silicium . . . | 1,700 | 0,810 | 0,280 | 0,050 | 0,010 | Spur | — | — | 0,030 |
| Mangan . . . | 0,710 | 0,620 | 0,560 | 0,380 | 0,270 | 0,120 | 0,100 | Spur | 0,270 |
| Kohlenstoff . . | 3,570 | 3,680 | 3,400 | 2,350 | 0,880 | 0,070 | Spur | Spur | 0,124 |
| Schwefel . . . | 0,060 | 0,060 | 0,060 | 0,050 | 0,050 | 0,050 | 0,050 | 0,050 | 0,040 |
| Phosphor . . . | 1,570 | 1,600 | 1,630 | 1,430 | 0,420 | 0,220 | 0,140 | 0,080 | 0,520 |

| Bestandteile % | Einsatz | Nach | | | | | | | Fertiger Stahl |
|-------------------|---------|---------|---|---|----|-----|-----|--------|-------------------|
| | | 3 | 6 | 9 | 12 | 14½ | 16½ | 167/11 | |
| | | Minuten | | | | | | | |

Schlacke.

| | | | | | | | | | |
|----------------------------|---|-------|-------|-------|-------|-------|-------|-------|-------|
| Kieselsäure . | — | 32,60 | 42,60 | 36,00 | 35,60 | 33,00 | 15,60 | 16,60 | 18,60 |
| Phosphorsäure | — | 0,60 | 0,15 | 1,60 | 2,61 | 5,56 | 15,06 | 16,03 | 18,87 |
| Metallisches Eisen. . . | — | 5,65 | 2,00 | 4,60 | 4,80 | 6,15 | 10,45 | 11,35 | 7,10 |

e) Roheisen mit hohem Phosphor- und Silicium-
gehalte (Versuche von Wedding in Hörde):

| Bestandteile % | Roheisen- einsatz | Spiegel- eisen | Nach | | | | | | | | Fertiger Stahl | |
|-------------------|----------------------|-------------------|---------------------------------|--------------------------------|-------------------------------|--------------------------------|---------------------------------|----------------------------------|---------------------------------|----------------------------------|-------------------|----------------------------------|
| | | | 2 ²⁹ / ₃₀ | 5 ¹ / ₃₀ | 8 ¹ / ₃ | 10 ³ / ₄ | 13 ¹ / ₁₆ | 15 ¹³ / ₆₀ | 19 ¹ / ₃₀ | 19 ³¹ / ₆₀ | | 19 ⁴⁹ / ₆₀ |
| | | | Minuten | | | | | | | | | |

Metall.

| | | | | | | | | | | | | |
|---------------|-------|-------|-------|-------|-------|-------|-------|-------|-------|-------|-------|-------|
| Silicium . . | 1,22 | 0,28 | 0,72 | 0,15 | 0,007 | 0,012 | 0,005 | 0,008 | 0,005 | 0,005 | 0,004 | 0,010 |
| Mangan . . | 1,03 | 13,06 | 0,71 | 0,50 | 0,18 | 0,16 | 0,14 | 0,01 | 0,01 | — | — | 0,48 |
| Kohlenstoff . | 3,21 | 5,18 | 3,30 | 3,12 | 2,47 | 1,49 | 0,75 | 0,05 | 0,02 | 0,02 | 0,003 | 0,26 |
| Schwefel . . | 0,08 | 0,01 | 0,05 | 0,05 | 0,05 | 0,05 | 0,05 | 0,055 | 0,06 | 0,055 | 0,056 | 0,045 |
| Phosphor . . | 2,18 | 0,097 | 2,15 | 2,22 | 2,15 | 2,10 | 2,05 | 1,91 | 0,23 | 0,14 | 0,087 | 0,144 |
| Kupfer . . . | 0,018 | 0,237 | 0,017 | 0,022 | 0,024 | 0,021 | 0,023 | 0,030 | 0,022 | 0,024 | 0,035 | 0,034 |

Schlacke.

| | | | | | | | | | | | | |
|---------------|---|---|-------|-------|-------|-------|-------|-------|-------|---|-------|-------|
| Kieselsäure . | — | — | 41,15 | 36,30 | 34,41 | 31,94 | 16,64 | 14,65 | 12,94 | — | 17,71 | 12,77 |
| Phosphorsäure | — | — | 0,84 | 3,12 | 2,99 | 4,02 | 7,15 | 11,60 | 18,83 | — | 18,15 | 16,92 |
| Thonerde . . | — | — | 1,12 | 1,30 | 1,08 | 1,00 | 1,29 | 1,35 | 1,07 | — | 1,01 | 1,12 |
| Eisenoxyd . . | — | — | — | 0,46 | 0,13 | 0,74 | 4,95 | 3,84 | 3,74 | — | 2,78 | 2,87 |
| Eisenoxydul . | — | — | 2,40 | 3,97 | 3,60 | 4,23 | 8,42 | 7,15 | 5,84 | — | 7,19 | 5,94 |
| Manganoxydul | — | — | 9,03 | 11,02 | 10,72 | 9,94 | 8,51 | 7,39 | 4,25 | — | 4,05 | 4,80 |
| Kalk. | — | — | 41,27 | 39,50 | 42,80 | 43,12 | 44,37 | 46,63 | 47,76 | — | 18,19 | 47,87 |
| Magnesia . . | — | — | 4,13 | 3,39 | 3,35 | 4,01 | 7,34 | 6,34 | 6,00 | — | 6,38 | 6,75 |
| Schwefel . . | — | — | 0,25 | 0,10 | 0,13 | 0,05 | 0,13 | 0,12 | 0,07 | — | 0,09 | 0,05 |
| Schwefelsäure | — | — | 0,06 | 0,05 | 0,09 | 0,05 | 0,12 | 0,15 | 0,07 | — | 0,06 | 0,19 |

Die Schlusschlacke enthielt:

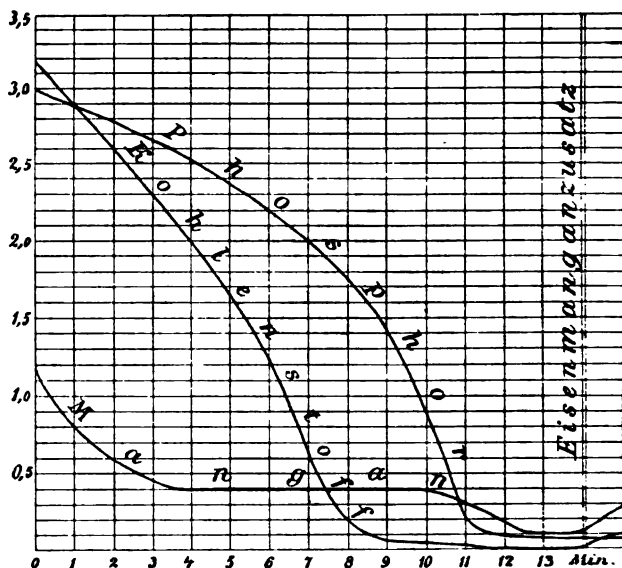
| | |
|---------------------|---------|
| SiO_2 | 12,78 % |
| P_2O_5 | 16,08 „ |
| Al_2O_3 | 1,12 „ |
| Fe_2O_3 | 4,06 „ |
| FeO | 4,87 „ |
| MnO | 3,35 „ |
| CaO | 47,40 „ |
| MgO | 7,79 „ |
| CaS | 0,01 „ |

Charge:

| | | | |
|------------------------|-----------|---------|---------|
| Roheisen von Cleveland | . . . | 2500 kg | |
| " " Ilse | . . . | 3000 " | |
| " " Luxemburg | . . . | 500 " | 6000 kg |
| Spiegeleisen | | 800 " | |
| Ferromangan | | 50 " | |
| | | | 6350 kg |

Aus der Schlacke wurden 7,36 % metallisches Eisen mit 0,92 % Phosphor ausgezogen.

Fig. 64.



f) Stark überhitztes Roheisen mit hohem Phosphor- und niedrigem Siliciumgehalt (Untersuchungen von Nield in Peine.¹⁾)

| Bestandteile % | Roheisen | Nach | | | | | | | Nach Ferro- mangan- zusatz |
|-------------------|----------|---------|-------|-------|-------|-------|--------|--------|----------------------------------|
| | | 4 | 7 | 9 | 10 | 11 | 12 1/4 | 13 1/4 | |
| | | Minuten | | | | | | | |
| Metall. | | | | | | | | | |
| Kohlenstoff . . | 3,163 | 1,983 | 0,755 | 0,046 | 0,045 | 0,018 | 0,018 | 0,018 | 0,07 |
| Silicium . . . | 0,007 | — | — | — | — | — | — | — | — |
| Mangan . . . | 1,19 | 0,40 | 0,40 | 0,40 | 0,40 | 0,32 | 0,14 | 0,11 | 0,28 |
| Schwefel . . . | 0,052 | 0,065 | 0,077 | 0,050 | 0,070 | 0,048 | 0,041 | 0,046 | 0,038 |
| Phosphor . . . | 2,982 | 2,525 | 2,012 | 0,465 | 0,886 | 0,206 | 0,109 | 0,090 | 0,090 |

1) Ztschr. d. oberchl. berg- u. hüttenm. Vereins 1885, S. 340.

| Bestandteile % | Roheisen | Nach | | | | | | | Nach Ferro- mangan- zusatz |
|-------------------|----------|---------|---|---|----|----|------------------|------------------|----------------------------------|
| | | 4 | 7 | 9 | 10 | 11 | 12 $\frac{1}{4}$ | 13 $\frac{1}{4}$ | |
| | | Minuten | | | | | | | |

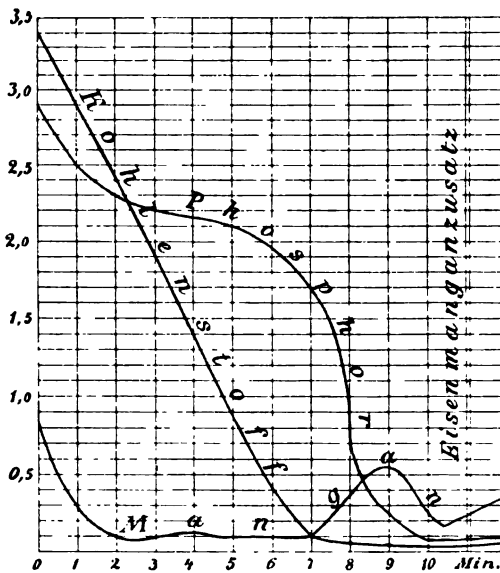
Schlacke.

| | | | | | | | | |
|---------------|---|---|---|----------|---|-------|---|----------|
| Kieselsäure . | — | — | — | 6,14 | — | 5,90 | — | 4,42 |
| Phosphorsäure | — | — | — | 29,23 | — | 21,16 | — | 18,25 |
| Thonerde . | — | — | — | n. best. | — | 4,06 | — | n. best. |
| Eisenoxyd . | — | — | — | 4,51 | — | 3,66 | — | 5,66 |
| Eisenoxydul | — | — | — | 5,19 | — | 13,64 | — | 19,46 |
| Manganoxydul | — | — | — | 4,80 | — | 4,34 | — | 4,29 |
| Kalk . | — | — | — | 45,49 | — | 44,16 | — | 41,73 |
| Magnesia . | — | — | — | 2,21 | — | 2,46 | — | 3,02 |
| Schwefel . | — | — | — | 0,06 | — | 0,10 | — | 0,11 |

Der Einsatz betrug 10 t Roheisen; der Zusatz 90 kg Ferro-
mangan und Spiegeleisen; der Kalkzuschlag 1650 kg.

Fig. 64 stellt die Veränderungen des Metallbades graphisch dar.

Fig. 65.



g) Phosphor- und Siliciumgehalt, ähnlich wie
beim vorigen Beispiele; Mangangehalt etwas niedriger
(Versuche in Peine, mitgeteilt von Ledebur.)¹⁾

1) Handbuch, III. Teil, S. 1007.

(Einsatz = 10 t; Ferromanganzusatz = 40 kg; Kalkzuschlag = 1300 kg; Siliciumgehalt nicht bestimmt, aber unbedeutend):

| Bestandteile % | Roheisen | Nach | | | | | | | Nach Ferro- mangan- zusatz |
|-------------------|----------|---------|------|------|------|------|------|-------------------|----------------------------------|
| | | 2 | 4 | 7 | 8 | 9 | 10 | 10 ^{1/4} | |
| | | Minuten | | | | | | | |
| Kohlenstoff . | 3,40 | 2,40 | 1,42 | 0,12 | 0,06 | 0,03 | 0,03 | 0,02 | 0,06 |
| Mangan . . | 0,81 | 0,10 | 0,18 | 0,10 | 0,36 | 0,52 | 0,22 | 0,18 | 0,35 |
| Phosphor . | 2,92 | 2,30 | 2,15 | 1,70 | 0,99 | 0,25 | 0,07 | 0,07 | 0,09 |

Diese Verhältnisse sind im Schaubilde, Fig. 65, dargestellt. Hier ist das Ansteigen der Manganlinie während der Phosphorverbrennung nach dem Ausscheiden des Kohlenstoffes auffällig. Es ist auf die schon früher besprochene Rückreduktion von Mangan durch den Phosphor zurückzuführen und kommt selbst bei noch niederen Mangangehalten nicht selten vor.

Schliesslich möge noch eine von Ledebur mitgeteilte Analyse vom basischen Bessemerrauche angeführt werden:

| | |
|-----------|---------|
| SiO_2 | 10,86 % |
| Fe_2O_3 | 72,83 „ |
| Mn_2O_4 | 4,66 „ |
| $CaCO_3$ | 3,34 „ |
| $CuSO_4$ | 3,44 „ |
| P_2O_5 | 0,82 „ |

NEUNZEHNTES KAPITEL.

Die Rolle der Schlacke im Thomasprozeß.

Teilweise wurden diese Beziehungen schon früher besprochen; namentlich wurde schon im vorigen Kapitel erwähnt, dass nach Hilgenstock die Entphosphorung des Roheisens, oder mit anderen Worten die Oxydation des Phosphors und der Übergang der Phosphorsäure in die Schlacke nur dann eintreten, wenn neben einem Silikate von der Form $RSiO_3$ noch überschüssiger CaO vorhanden sei. Diese Regel kann wohl nicht streng richtig sein, weil zur Bindung der Phosphorsäure freier Kalk zugegen sein muss, während die Kieselsäure an alle vorhandenen Basen gebunden sein wird. Überdies hängt ja die Oxydation des Phosphors auch

von den relativen Mengen der vorhandenen Begleitstoffe u. s. w. ab, so dass diese Regel von vornherein nur für die Schlacke am Ende des Blasens Geltung haben könnte.

Schon auf Seite 139 haben wir die Schwefelverteilung zwischen Metall und Schlacke beim Thomasprozesse studiert. Gehen wir auch hier — wie beim Hochofenprozesse — von der Silicierungsstufe auf die Zulkowskischen Sättigungsgrade¹⁾ über, so kommen wir, wenn wir unter Sättigungsgrad das Verhältnis $\frac{SiO_2 + P_2O_5 + R_2O_3}{RO}$ verstehen, zu folgenden Ergebnissen:

| Sättigungsgrad | | Silicierungs- stufe des Silikates in der Schlacke | P_2O_5 % | Teilungs- koeffizient $\frac{Schlacke}{Metall}$ | Metallzusammensetzung | | | |
|------------------------|------------------------------------|--|---------------|---|-----------------------|-------|------|-------|
| d. Schlacke (total) | d. Silikates in der Schlacke | | | | C | Si | Mn | P |
| 4,878 | 6,114 | 0,42 | 18,25 | 0,76 | 0,14 | Spur | 0,11 | 0,93 |
| 4,537 | 5,631 | 0,40 | 12,41 | 1,24 | 0,16 | " | 0,25 | 1,18 |
| 4,431 | 5,976 | 0,43 | 10,88 | 1,04 | 2,48 | " | 0,42 | 1,29 |
| 4,411 | 4,606 | 0,56 | 21,16 | 1,38 | 0,70 | " | 0,30 | 1,22 |
| 4,377 | 4,509 | 0,39 | 12,80 | 9,33 | 0,20 | 0,008 | 0,31 | 0,067 |
| 4,352 | 4,987 | 0,38 | 13,69 | 1,00 | 0,15 | Spur | 0,19 | 0,48 |
| 4,188 | 8,343 | 0,32 | 13,68 | 5,61 | 0,12 | " | 0,07 | 0,04 |
| 3,965 | 5,713 | 0,30 | 5,55 | 11,11 | 0,24 | " | 0,46 | 0,02 |
| 3,916 | 5,181 | 0,33 | 12,00 | 5,56 | 0,09 | " | 0,12 | 0,04 |
| 3,890 | 4,330 | 0,57 | 1,81 | 1,29 | 2,61 | " | 0,25 | 1,17 |
| 3,754 | 4,801 | 0,14 | 1,09 | 2,89 | 0,07 | — | 0,28 | 0,09 |
| 3,550 | 5,814 | 0,43 | 29,93 | 0,81 | 2,72 | Spur | 0,43 | 1,32 |
| 3,469 | 4,312 | 0,43 | 5,88 | 8,67 | 0,24 | " | 0,36 | 0,03 |
| 3,386 | 3,993 | 0,38 | 14,34 | 3,65 | 0,10 | " | 0,17 | 0,07 |
| 3,285 | 3,475 | 0,77 | 12,68 | 1,00 | 1,30 | " | 0,23 | 1,10 |
| 3,019 | 3,051 | 0,46 | 3,46 | 1,94 | 0,13 | " | 0,09 | 0,20 |
| 2,821 | 4,394 | 0,28 | 2,22 | 2,44 | 0,018 | — | 0,14 | 0,109 |
| 2,392 | 2,380 | 0,75 | 7,74 | 2,82 | 2,86 | Spur | 0,29 | 1,48 |
| 2,309 | 2,406 | 0,67 | 2,81 | 0,86 | 0,045 | — | 0,40 | 0,886 |

Hier sind natürlich die Schwankungen im Werte der Teilungskoeffizienten weit grösser als beim Hochofenprozesse, ja selbst wie bei dem später zu besprechenden Martinprozesse, woran teils der oft nicht erreichte Gleichgewichtszustand, teils aber der sehr ungleiche Kohlenstoff- und Phosphorgehalt des Metalles Ursache sein dürfte.

Vergleicht man die vorstehende Tabelle mit jenen für den Hochofenprozess²⁾ und für den Martinprozess,³⁾ so drängt sich

1) Siehe S. 274.

2) S. 274 ff.

3) Siehe unten.

unwillkürlich die Vermutung auf, dass der Wert des Teilungskoeffizienten mit dem Sättigungsgrade nur bis zu einer gewissen Grenze wächst, dort ein Maximum erreicht und schliesslich wieder abnimmt. So haben wir solche Maxima beim:

| | Teilungskoeffizient | Sättigungsgrad |
|------------------------|---------------------|----------------|
| Hochofenprozesse . . . | ∞ | 1,46—1,48 |
| Martinprozess | 19,6—8,04 | 3,4 —4,4 |
| Thomasprozess: | | |
| (C- und P-arm) . . | 11,11 | 3,9 |
| (C- und P-arm) . . | 9,33 | 3,75 |

Diese Vermutung lässt sich zwar aus dem vorliegenden Analysenmateriale noch nicht streng erweisen, wäre jedoch leicht begreiflich, da ja die sehr basischen Schlacken als Lösungen von Oxyden, Aluminaten u. s. w. in Silikaten (und Phosphaten) aufzufassen sind, und man sich leicht vorstellen kann, dass die Löslichkeit dieser Verbindungen (oder richtiger gesagt, ihre gegenseitige Mischbarkeit) irgendwo eine Grenze erreicht. Sind nun überdies die Oxyde in der Schlacke leichter löslich als die Sulfide, so muss der Teilungskoeffizient, von einem bestimmten Sättigungsgrade angefangen, wieder kleiner werden. Damit steht auch das Auftreten der früher erwähnten „Einschlüsse“ in Zusammenhang, die sofort verschwinden, wenn man durch Siliciumzusatz die Bildung einer weniger basischen Schlacke bewirkt.

Bei so basischen Schlacken, wie die Thomasschlacken sind, ist übrigens der Einfluss der Metallzusammensetzung auf den Teilungskoeffizienten überwiegend, wie folgende, nach wachsendem Phosphorgehalte des Metalles geordnete Zusammenstellung zeigt:

| Teilungs- koeffizient | O | Si | Mn | P | Sättigungsgrad der Schlacke |
|--------------------------|-------|-------|------|-------|--------------------------------|
| 11,11 | 0,24 | Spur | 0,46 | 0,02 | 3,965 |
| 8,67 | 0,24 | „ | 0,36 | 0,03 | 3,469 |
| 5,56 | 0,09 | „ | 0,12 | 0,04 | 3,916 |
| 5,61 | 0,12 | „ | 0,07 | 0,04 | 4,188 |
| 9,33 | 0,20 | 0,003 | 0,31 | 0,067 | 4,377 |
| 3,65 | 0,10 | Spur | 0,17 | 0,07 | 3,386 |
| 2,89 | 0,07 | — | 0,38 | 0,090 | 3,754 |
| 2,44 | 0,18 | — | 0,14 | 0,109 | 2,821 |
| 1,94 | 0,13 | Spur | 0,09 | 0,20 | 3,019 |
| 1,00 | 0,15 | „ | 0,19 | 0,48 | 4,352 |
| 0,86 | 0,045 | — | 0,40 | 0,886 | 2,309 |

| Teilungs- koeffizient | C | Si | Mn | P | Sättigungsgrad der Schlacke |
|--------------------------|------|------|------|------|--------------------------------|
| 0,76 | 0,14 | Spur | 0,11 | 0,93 | 4,878 |
| 1,00 | 1,30 | " | 0,23 | 1,10 | 3,285 |
| 1,29 | 2,21 | " | 0,25 | 1,17 | 3,890 |
| 1,24 | 0,16 | " | 0,25 | 1,18 | 4,537 |
| 1,38 | 0,70 | " | 0,30 | 1,22 | 4,411 |
| 1,04 | 2,48 | " | 0,42 | 1,29 | 4,431 |
| 0,81 | 2,72 | " | 0,43 | 1,32 | 3,550 |
| 2,82 | 2,86 | " | 0,29 | 1,48 | 2,392 |

Ein hoher Phosphorgehalt erschwert somit die Schwefelabscheidung, während sie ein hoher Kohlenstoff- und Mangangehalt begünstigt.

Wir haben schon früher¹⁾ hierauf aufmerksam gemacht, wollten aber hier noch weitere Beispiele bringen:

1. Beispiel:

| Blasezeit in Minuten und Sekunden | | Zusammensetzung des Metalles in Prozenten | | | | S-Gehalt der Schlacke in Prozenten | Teilungs- koeffizient $\frac{S_{\text{Schlacke}}}{S_{\text{Metall}}}$ | Sättigungs- grad |
|--|------|--|------|------|------|--|---|---------------------|
| | | C | Mn | P | S | | | |
| Min. | Sek. | | | | | | | |
| — | — | 2,82 | 0,52 | 1,28 | 0,29 | — | — | — |
| 2 | — | 2,72 | 0,43 | 1,32 | 0,26 | 0,21 | 0,81 | 3,550 |
| 4 | — | 2,48 | 0,42 | 1,29 | 0,27 | 0,28 | 1,04 | 4,431 |
| 6 | — | 1,70 | — | 1,25 | — | 0,34 | — | — |
| 8 | — | 0,70 | 0,30 | 1,22 | 0,29 | 0,40 | 1,38 | 4,411 |
| 9 | 45 | 0,16 | 0,25 | 1,18 | 0,33 | 0,41 | 1,24 | 4,370 |
| 10 | 45 | 0,15 | 0,19 | 0,48 | 0,37 | 0,37 | 1,00 | 4,352 |
| 11 | 45 | 0,10 | 0,17 | 0,07 | 0,20 | 0,73 | 3,65 | 3,886 |
| 11 | 55 | 0,09 | 0,12 | 0,04 | 0,16 | 0,88 | 5,50 | 3,916 |
| fertiger Stahl | | 0,24 | 0,46 | 0,02 | 0,09 | 1,00 | 11,11 | 3,965 |

Der Schwefelgehalt des Metalles wächst so lange, bis sein Phosphorgehalt unter 0,1 % gesunken ist; der Teilungskoeffizient hingegen wächst so lange, bis der Kohlenstoffgehalt unter 0,2 % gefallen ist, verringert sich dann bis zu dem früher erwähnten Phosphorgehalte, worauf er neuerdings steigt.

1) S. 143.

2. Beispiel:

| Blasezeit in Minuten und Sekunden | | Zusammensetzung des Metalles in Prozenten | | | | S-Gehalt der Schlacke in Prozent | Teilungs- koeffizient $\frac{S_{\text{Schlacke}}}{S_{\text{Metall}}}$ | Sättigungs- grad |
|--|------|--|------|------|------|--|---|---------------------|
| | | C | Mn | P | S | | | |
| Min. | Sek. | | | | | | | |
| — | — | 3,05 | 0,41 | 1,37 | 0,33 | — | — | — |
| 2 | — | 2,86 | 0,29 | 1,48 | 0,27 | 0,76 | 2,82 | 2,392 |
| 4 | 30 | 2,21 | 0,25 | 1,17 | 0,34 | 0,44 | 1,29 | 3,890 |
| 6 | 30 | 1,80 | 0,23 | 1,10 | 0,35 | 0,35 | 1,00 | 3,285 |
| 9 | — | 0,14 | 0,11 | 0,93 | 0,37 | 0,28 | 0,76 | 4,875 |
| 10 | 40 | 0,13 | 0,09 | 0,20 | 0,31 | 0,60 | 1,94 | 3,019 |
| 11 | 30 | 0,12 | 0,07 | 0,04 | 0,18 | 1,01 | 5,61 | 4,279 |
| fertiger Stahl | | 0,24 | 0,36 | 0,03 | 0,12 | 1,04 | 8,67 | 3,469 |

Auch hier wächst der Schwefelgehalt des Metalles, bis der Phosphorgehalt etwa 0,2 % erreicht hat. Der Teilungskoeffizient sinkt hier jedoch sofort bis zu demselben Phosphorgehalte, um dann wieder zu steigen.

3. Beispiel:

| Blasezeit in Minuten und Sekunden | | Zusammensetzung des Metalles in Prozenten | | | | S-Gehalt der Schlacke in Prozent | Teilungs- koeffizient $\frac{S_{\text{Schlacke}}}{S_{\text{Metall}}}$ | Sättigungs- grad |
|--|---|--|------|-------|-------|--|---|---------------------|
| | | C | Mn | P | S | | | |
| Minuten | | | | | | | | |
| — | — | 3,163 | 1,19 | 2,982 | 0,052 | — | — | — |
| 4 | — | 1,983 | 0,40 | 2,525 | 0,065 | — | — | — |
| 7 | — | 0,755 | 0,40 | 2,012 | 0,077 | — | — | — |
| 9 | — | 0,046 | 0,40 | 1,465 | 0,050 | — | — | — |
| 10 | — | 0,045 | 0,40 | 0,886 | 0,070 | 0,06 | 0,86 | 2,309 |
| 11 | — | 0,018 | 0,32 | 0,206 | 0,048 | — | — | — |
| 12 $\frac{1}{4}$ | — | 0,018 | 0,14 | 0,109 | 0,041 | 0,10 | 2,44 | 2,821 |
| 13 $\frac{1}{4}$ | — | 0,018 | 0,11 | 0,090 | 0,046 | — | — | — |
| fertiger Stahl | | 0,07 | 0,28 | 0,090 | 0,038 | 0,11 | 2,89 | 3,754 |

Der Schwefelgehalt des Metalles wächst auch hier so lange, bis der Phosphorgehalt auf etwa 0,5 % gesunken ist, um dann abzunehmen. Die Änderung der Teilungskoeffizienten lässt sich hier wegen den mangelnden Schlackenanalysen nicht verfolgen.

ZWANZIGSTES KAPITEL.

Der Martinprozess.

Das Martinverfahren (nach den hierbei in Verwendung kommenden Öfen auch Siemens-Martinprozess oder in England open-hearth-process genannt) wurde im Jahre 1865 von den Brüdern Martin in Sireuil eingeführt. Dem Grundprinzip nach war es die Herstellung eines Mittelproduktes durch Zusammenschmelzen von Roheisen und Schmiedeisen in einem Flammofen, und konnte daher erst gelingen, als man durch Einführung der Siemensfeuerungen in den Stand gesetzt war, eine genügend hohe Temperatur zu erreichen.

Bei dem langen Aufenthalte des Metalles im Flammofen, wo es den oxydierenden Einflüssen des Gasstromes und der Schlacken ausgesetzt ist, machen sich jedoch auch mancherlei chemische Prozesse geltend, worauf bei der Auswahl des Rohmaterials Rücksicht zu nehmen ist.

Auch hier sind zwei Hauptarten der Durchführung des Prozesses zu unterscheiden: Der saure und der basische Martinprozess.

Beim sauren Martinprozess besteht der Herd aus einem Gemenge von etwa 4 bis 9 Teilen Quarzsand mit 1 Teile feuerfestem Thon. Diese Masse wird auf der eisernen Herdsohle festgeschlagen und dann bis zum Fritten der Oberfläche erhitzt. Die Ofenwände und das Gewölbe macht man aus Dinasziegeln.

Der Prozess verläuft in zweierlei Weise.

a) Hat man genügend Mengen Alteisen oder eigene Eisenabfälle zur Verfügung, so wird in den Ofen Roheisen und Alteisen (oder Abfall) eingesetzt, so dass also durch Zusammenschmelzen beider eine kohlenstoffärmere Legierung hergestellt wird. Daneben findet jedoch gleichzeitig ein Frischprozess statt, wie folgendes Beispiel zeigt.

Das Metallbad enthält:

| | |
|---|----------|
| Nach dem Einschmelzen des ersten Einsatzes (3,6 t Roheisen und 1 t Schienenenden) | 1,13 % C |
| Nach dem Einschmelzen des zweiten Einsatzes (4 t schmiedbares Eisen) | 0,69 „ „ |
| Nach dem Einschmelzen des dritten Einsatzes (3,9 t Altschienen) | 0,27 „ „ |
| Eine Stunde später | 0,20 „ „ |
| Wieder 80 Minuten später, vor dem Ferromanganzusatz | 0,12 „ „ |
| Nach 120 kg Ferromanganzusatz | 0,81 „ „ |

Da jedoch nach Einführung des Martinprozesses die Alteisenpreise bald bedeutend stiegen, versuchte man kohlenstoffreicheres Material zu verschmelzen, und das Frischen durch Zusatz von Erz, Glühspahn, Walzsinter u. s. w. zu befördern (Erzprozess), z. B.:

| | | | |
|---|---|---------------|-----------|
| Einsatz: 400 kg graues Roheisen | } | mit | 0,497% C |
| 400 „ Flusseisen | | | |
| 600 „ Schweisseisen | | | |
| 7 Stunden nach Beendigen des Einschmelzens (lebhaftes Kochen) | | | 0,060 „ „ |
| Nach Zusatz von 300 kg Erz | | | 0,050 „ „ |
| Nach Zusatz von 70 kg Ferromangan | | | 0,100 „ „ |

Statt das Eisen im Martinofen zu feinen, hat man auch hin und wieder gefeintes Eisen in den Martinofen eingesetzt; andererseits aber hat man auch versucht, den Frischprozess durch Einblasen von Luft zu beschleunigen (Würtenbergers Verfahren).

Die Rückkohlung erfolgt ebenso wie beim Bessemerprozesse mit Ferromangan, Spiegeleisen oder mit Kohle; zur Desoxydation und Verhinderung von Blasenbildung wird Ferromangan, Ferrosilicium und Aluminium verwendet.

Beim basischen Martinprozesse besteht der Herd aus gebranntem Magnesit, aus Dolomit in rohem oder gebranntem Zustande oder aus einem Gemenge von gebranntem Dolomit mit 20 % (durch Kochen entwässertem) Theer. Das Bodenmachen erfolgt ähnlich, wie beim saueren Ofen. Das Gewölbe und die Wandungen oberhalb des Schlackenbades werden aus Dinassteinen hergestellt. Manchmal wird zwischen dem saueren und basischen Material eine Zwischenschicht (Chromeisenstein u. s. w.) eingeschaltet.

Am besten bringt man auf den Boden des Ofens Kalkstein und darauf das Roheisen. Manchmal wird im Verlaufe des Prozesses noch Kalk nachgesetzt. Das Erz wird gewöhnlich (wenigstens der Hauptmasse nach) mit dem Kalkstein eingesetzt; doch kommt es auch vor, dass der Erzzusatz erst nach dem Einschmelzen erfolgt. Gegenwärtig kommt das Roheisen häufig im flüssigen Zustande (oft unmittelbar vom Hochofen) zur Anwendung.

Die Versuche, das Frischen des Metallbades durch Einführung von Gebläsewind zu beschleunigen, haben keinen Eingang gefunden.

Mit fortschreitender Entkohlung muss die Ofentemperatur steigen. Von Zeit zu Zeit wird mit eisernen Stangen durchgerührt. Aufsteigende Gasblasen verraten die Oxydation des Kohlenstoffes

(das Kochen). Lässt dasselbe nach, oder hört es ganz auf, so wird die erste Probe genommen, die nach dem Funkensprühen beurteilt und einer Schmiedeprobe unterzogen wird. Im Bedarfsfalle wird weiter geschmolzen. Giebt die Probe ein befriedigendes Resultat, so wird Spiegeleisen oder Ferromangan zugesetzt (der Aluminiumzusatz erfolgt erst nach dem Abstechen). Die Rückkohlung kann auch mit Kohle erfolgen.

Nach dem Entleeren des Ofens wird der Herd ausgebessert (das Bodenmachen).

Ein Ofen kann pro Tag 2 bis 5 Chargen durchführen; vom Eisengehalte des Erzzusatzes (wo solcher erfolgt) werden 30 bis 60 % ausgebracht, also 70 bis 40 % verschlackt.

Beim Verlauf des Frischprozesses wird auch hier natürlich nicht allein der Kohlenstoff oxydiert; es gilt hierbei dasselbe, was schon früher hierüber gesagt wurde. Da jedoch hier die Temperatur unter allen Umständen sehr hoch ist, beginnt der Kohlenstoff gleich anfangs — gleichzeitig mit dem Silicium und Mangan — zu verbrennen. Die Oxydation von Kohlenstoff und Silicium erfolgt auf basischem Herde rascher, die von Mangan aber langsamer, wie auf sauerem Herde.

Der Phosphor wird beim saueren Verfahren nicht oxydiert; beim basischen erfolgt die Oxydation, trotz der hohen Temperatur, teilweise schon beim Einschmelzen, wenn neben dem Roheisen schmelzbares Eisen eingesetzt wurde; mit abnehmendem Kohlenstoffgehalte schreitet die Entphosphorung fort.

Der Schwefelgehalt erleidet beim saueren Verfahren fast keine Veränderung; beim basischen Verfahren tritt eine Schwefelabscheidung ein (siehe später).

Da sehr kalkreiche Schlacken, wie sie beim basischen Martinprozesse vorkommen, sehr strengflüssig sind, setzt man, um ihre Schmelzbarkeit zu erhöhen, Flusspat oder (nach Saniter) Chlorcalcium zu. Der Zusatz von Chlorcalcium befördert gleichzeitig die Entschwefelung des Metalles (Saniter-Verfahren).

Über den chemischen Verlauf des Martinprozesses geben folgende Beispiele die besten Aufschlüsse.

A. Sauerer Martinprozess.

1. Untersuchungen von Kollmann¹⁾ in der Gutehoffnungshütte.

| | C % | Si % | P % | S % | Mn % |
|---|--------|---------|--------|--------|---------|
| Einsatz: 400 kg graues Roheisen | 0,497 | 0,480 | 0,089 | 0,016 | 0,860 |
| 400 " Flusseisen | | | | | |
| 600 " Schweisseisen | | | | | |
| 7 Stunden nach dem Beginne des Ein- | 0,060 | 0,150 | 0,090 | 0,020 | Spur |
| setzens; lebhaftes Kochen | 0,050 | Spur | 0,090 | 0,020 | " |
| Nach Zusatz von 800 kg Erz | 0,100 | " | 0,090 | 0,020 | 0,370 |
| Nach Zusatz von 70 kg Ferromangan mit 60% Mn | | | | | |

2. Versuche von Mehrtens.²⁾

| | C | Si | P | S | Mn | Cu |
|--|----------|------|----------|----------|------|----------|
| | Prozente | | | | | |
| Einsatz: 3,5 t Roheisen | 1,30 | 0,77 | 0,08 | 0,05 | 1,28 | 0,11 |
| 7 t schmiedbares Eisen | | | | | | |
| Nach 7 Stunden, bei höchster Hitze des Bades | 0,80 | 0,35 | n. best. | n. best. | 0,20 | n. best. |
| Nach abermals 2 Stunden und Zusatz von 600 kg Erz | 0,07 | 0,01 | " " | " " | Spur | " " |
| Nach Zusatz von 135 kg Ferromangan mit 40% Mn | 0,18 | 0,04 | 0,08 | 0,05 | 0,30 | 0,11 |

3. Versuche Ledeburs³⁾ im Grazer Südbahnwalzwerk.

| Schlacke- und Eisen-Proben bei zwei Chargen desselben Ofens | Kohlen- stoffge- halt des Eisens % | Schlacke | | | | |
|--|--|------------------|--------------------------------|-----|-----|-----|
| | | SiO ₂ | Al ₂ O ₃ | MnO | FeO | CaO |
| | | Prozent | | | | |

Erste Charge (niedrige Ofentemperatur).

| | | | | | | |
|--|------|-------|----------|-------|-------|----------|
| Nach dem Einschmelzen der ersten, aus 3600 kg Roheisen und 1000 kg Schienenenden bestehenden Einsatzes | 1,18 | 42,56 | 1,46 | 28,39 | 27,47 | n. best. |
| Nach dem Einschmelzen des zweiten, aus 4000 kg schmiedbaren Eisens bestehenden Einsatzes | 0,69 | 42,34 | 1,53 | 22,23 | 31,47 | " " |
| Nach dem Einschmelzen des dritten, aus 3900 kg Altschienen bestehenden Einsatzes | 0,27 | 48,03 | 1,76 | 18,48 | 30,15 | 0,78 |
| Eine Stunde später | 0,20 | 47,87 | 2,34 | 19,53 | 29,99 | n. best. |
| Wieder um 80 Minuten später, vor Ferromanganzusatz | 0,12 | 48,90 | 2,01 | 19,37 | 28,88 | " " |
| Nach 120 kg Ferromanganzusatz . . . | 0,31 | 49,63 | n. best. | 20,89 | 25,42 | " " |

1) Ver. d. Ver. z. Befdg. d. Gewerbfleisses, 1880, S. 221.

2) Stahl und Eisen, 1891, S. 709.

3) Stahl und Eisen, 1884.

| Schlacke- und Eisen-Proben bei zwei Chargen desselben Ofens | Kohlen- stoffge- halt des Eisens %, | Schlacke | | | | |
|--|---|------------------------|------------------------------------|------------|------------|------------|
| | | <i>SiO₂</i> | <i>Al₂O₃</i> | <i>MnO</i> | <i>FeO</i> | <i>CaO</i> |
| | | Prozent | | | | |

Zweite Charge (hohe Ofentemperatur).

| | | | | | | |
|---|------|-------|------|-------|-------|----------|
| Nach dem Einschmelzen des ersten, aus 3400 kg Roheisen und 2200 kg Flusseisen bestehenden Einsatzes | 1,46 | 42,13 | 1,57 | 35,19 | 20,37 | 0,70 |
| Nach dem Einschmelzen des zweiten, aus 4400 kg schmiedbaren Eisens be- stehenden Einsatzes | 1,10 | 49,56 | 1,96 | 32,25 | 14,44 | n. best. |
| Nach dem Einschmelzen des dritten, aus 3000 kg Altschienen bestehenden Einsatzes | 0,62 | 50,06 | 1,84 | 28,92 | 18,14 | „ „ |
| Zwei Stunden später, nach Zusatz von 100 kg Roteisenerz | 0,19 | 57,43 | 2,66 | 18,29 | 17,28 | 3,01 |
| Nach 120 kg Ferromanganzusatz | 0,37 | 59,07 | 1,85 | 19,99 | 14,68 | 3,18 |

4. Erster Versuch von Jüptner und Toldt¹⁾ in Neuberg.

| | |
|----------------------------------|---------|
| Größe des Einsatzes | 4910 kg |
| „ der Erzeugung: Stahl | 4660 „ |
| Schlacke | 550 „ |

1) Chemisch-calorische Untersuchungen über Generatoren und Martinöfen.

Chemische Bilanz.

| Elemente | In den Ofen wurden eingetragen: | | | | Von der Zu- stellung wurden ver- schlackt | Summe | Dem Ofen wurden entnommen: | | | |
|-------------------|---------------------------------|----------------------------|-----------------------|----------|---|----------|----------------------------|---------|----------|-----------------------|
| | Generator- gas | Ver- brennungs- luft | Einsatz | Summe | | | Eisengase | Stahl | Schlacke | Summe |
| Kohlenstoff . . . | 49,25 | — | 1,662 | 50,812 | — | 50,812 | 50,578 | 0,239 | — | 50,812 |
| Sauerstoff . . . | 74,61 | 171,916 | — | 246,556 | — | 246,556 | 231,577 ⁹⁾ | — | 1,790 | 238,367 |
| Wasserstoff . . . | 3,585 | — | — | 3,585 | — | 3,585 | 3,585 | — | — | 3,585 |
| Stickstoff . . . | 214,65 | 582,20 | — | 796,850 | — | 796,850 | 796,850 | — | — | 796,850 |
| Ammoniak . . . | 0,61 | — | — | 0,61 | — | 0,610 | 0,610 | — | — | 0,610 |
| Eisen . . . | — | — | 160,647 ¹⁾ | 160,647 | — | 160,647 | — | 158,547 | 3,350 | 161,897 ⁹⁾ |
| Eisenoxydul . . . | — | — | 3,400 | 3,400 | — | 3,400 | — | 0,318 | 3,400 | 3,400 |
| Mangan . . . | — | — | 1,631 | 1,631 | — | 1,631 | — | 0,398 | 1,313 | 1,631 |
| Silicium . . . | — | — | 0,494 | 0,494 | — | 0,494 | — | 0,096 | 0,398 | 0,494 |
| Kieseläure . . . | — | — | 0,004 | 0,004 | — | 8,539 | — | — | 8,539 | 8,539 |
| Wasser . . . | 18,165 | 6,037 | — | 24,202 | 8,535 | 24,202 | 24,212 | — | — | 24,212 |
| Schwefel . . . | 0,400 | — | — | 0,400 | — | 0,400 | 0,400 | — | — | 0,400 |
| Summe | 361,270 | 760,192 | 167,738 | 1289,200 | 8,535 | 1297,732 | 1107,807 | 159,200 | 18,790 | 1285,797 |

Die vorstehenden Zahlen (kg) beziehen sich auf 100 kg im Generator chargierter Kohle.
Pro 100 kg Erzeugung wurden benötigt:

| | |
|---------------------------------------|----------|
| nasse Kohle | 62,81 kg |
| trockene, aschenfreie Kohle | 51,60 " |
| vergaste Kohle | 41,75 " |
| Einsatz | 105,36 " |

- 1) Unter der Annahme, dass ausser den angeführten Elementen nur Eisen vorhanden gewesen wäre.
- 2) Hiervon sind 28,68 kg mit 3,585 kg Wasserstoff der Generatorgase zu Wasser verbunden.
- 3) Hier kommt der Versuchsfehler (1,248 + 0,002 = 1,250 kg) zum Ausdruck.

Wärmebilanz.

| Wärmeproduktion | Einzel | | Zusammen | | Wärmeentgang | | Einzel | | Zusammen | |
|--|----------|------|----------|---|---|--|----------|-------|----------|--------|
| | Calorien | % | Calorien | % | | | Calorien | % | Calorien | % |
| 1. Von aussen zugeführt: | | | | | 1. Durch die Essengase . . | | 124751,0 | 28,80 | | |
| Durch d. Generatorgase | 16969,8 | 3,92 | | | 2. Durch den Wassergehalt der Essengase . | | 48874,9 | 10,13 | | |
| Durch den Wassergehalt der Gase | 11316,8 | 2,61 | | | 3. Durch die unvollständige Verbrennung . | | 72,1 | 0,02 | | |
| Durch die Verbrennungsluft | 4254,0 | 0,98 | | | 4. Durch Stahl u. Schlacke . . . | | 64968,0 | 15,00 | | |
| Durch den Wassergehalt der Verbrennungsluft | 3044,1 | 0,70 | | | 5. Durch Leitung und Strahlung . | | 199502,5 | 46,05 | 433167,5 | 100,00 |
| Durch den Einsatz | 12913,0 | 2,98 | | | | | | | | |
| | | | | | | | 48497,2 | 11,19 | | |
| 2. Durch die Verbrennung der Generatorgase | | | | | | | 364537,0 | 84,16 | | |
| 3. Durch teilweise Oxydation des Metallbades | | | | | | | 20133,3 | 4,65 | | |
| | | | | | | | | | 433167,5 | 100,00 |
| | | | | | | | | | 433167,5 | 100,00 |

5. Zweiter Versuch von Jüptner und Toldt¹⁾ in Neuberg.

Einsatz: 5445 kg
 Erzeugung: Stahl 5191 "
 Schlacke 425 "

1) l. c.

Chemische Bilanz.

| Elemente | In den Ofen wurden eingetragen: | | | | Von der Zu- stellung wurden ver- schlackt | Summe | Dem Ofen wurden entnommen: | | | |
|-------------------|---------------------------------|----------------------------|---------|----------|---|----------|----------------------------|---------|----------|-----------------------|
| | Generator- gase | Ver- brennungs- luft | Einsatz | Summe | | | Essengase | Stahl | Schlacke | Summe |
| Kohlenstoff . . . | 47,18 | — | 2,949 | 50,079 | — | 50,079 | 49,772 | 0,307 | — | 50,079 |
| Sauerstoff . . . | 96,41 | 181,417 | — | 276,827 | — | 276,827 | 272,842 | — | 3,980 | 276,822 ¹⁾ |
| Wasserstoff . . . | 5,36 | — | — | 5,260 | — | 5,260 | 5,260 | — | — | 5,260 |
| Stickstoff . . . | 243,28 | 614,277 | — | 857,557 | — | 857,557 | 857,557 | — | — | 857,557 |
| Ammoniak . . . | 0,86 | — | — | 0,850 | — | 0,850 | 0,850 | — | — | 0,850 |
| Eisen . . . | — | — | 267,035 | 267,035 | — | 267,035 | — | 261,268 | 5,772 | 267,035 |
| Eisenoxydul . . . | — | — | — | — | — | — | — | — | — | — |
| Mangan . . . | — | — | 3,646 | 3,646 | — | 3,646 | — | 0,490 | 3,156 | 3,646 |
| Silicium . . . | — | — | 1,860 | 1,860 | — | 1,860 | — | 0,110 | 1,260 | 1,360 |
| Kieseläure . . . | — | — | — | — | 7,117 | 7,117 | — | — | 7,117 | 7,117 |
| Wasser . . . | — | 8,806 | — | 8,806 | — | 8,806 | 8,806 | — | — | 8,806 |
| Schwefel . . . | 0,49 | — | — | 0,490 | — | 0,490 | 0,490 | — | — | 0,490 |
| Summe | 392,42 | 804,500 | 274,980 | 1471,910 | 7,117 | 1479,027 | 1195,577 | 262,170 | 21,275 | 1479,022 |

Pro 100 kg Erzeugung wurden benötigt:

| | |
|---------------------------------------|----------|
| nasse Kohle | 38,14 kg |
| trockene, aschenfreie Kohle | 34,08 " |
| vergaste Kohle | 26,66 " |
| Einsatz | 104,87 " |

Die vorstehenden Zahlen beziehen sich auf 100 kg im Generator chargierter Kohle.

1) Hier kommen die Versuchsfehler (0,005 kg) zum Ausdruck.

Wärmebilanz.

Der Martinprozess.

349

| Wärmeproduktion | Einzel | | Zusammen | | Wärmeentgang | | Einzel | | Zusammen | |
|--|----------|--------|----------|--------|------------------------------------|--|----------|---|----------|--------|
| | Calorien | % | Calorien | % | | | Calorien | % | Calorien | % |
| 1. Von aussen zugeführt: | | | | | 1. Durch die Esse | | | | 133245,0 | 31,38 |
| Durch d. Generatorgase | 16124,4 | 3,80 | | | 2. Durch deren Wassergehalt . | | | | 43609,8 | 10,27 |
| Durch den Wassergehalt derselben | 14235,8 | 3,36 | | | 3. Durch Stahl u. Schlacke | | | | 84639,0 | 19,93 |
| Durch die Verbrennungsluft | 4971,1 | 1,16 | | | 4. Durch Leitung und Strahlung . | | | | 163108,7 | 38,42 |
| Durch deren Wassergehalt | 4746,4 | 1,10 | 58126,6 | 13,69 | | | | | | |
| Durch den Einsatz | 18048,9 | 4,27 | | | | | | | | |
| 2. Durch die Verbrennung der Generatorgase | | | 322736,7 | 76,01 | | | | | | |
| 3. Durch teilweise Oxydation des Metallbades | | | 43739,2 | 10,30 | | | | | | |
| Summe | 424602,5 | 100,00 | 424602,5 | 100,00 | Summe | | | | 424602,5 | 100,00 |

6. Dritter Versuch von Jüptner und Toldt¹⁾ in Neuberg.

| | |
|----------------------------|---------|
| Einsatz: kalt | 1000 kg |
| heiss | 3685 „ |
| Summe | 4685 kg |
| Erzeugung: Stahl | 4460 „ |
| Schlacke | 580 „ |

1) L. o.

Chemische Bilanz.

| Stoffe | In den Ofen wurden eingebracht | | | | Von der Zu- stellung wurden ver- schlackt | Summe | Dem Ofen wurden entnommen | | | | Differenz |
|--|--------------------------------|----------------------------|---------|---------|---|---------|---------------------------|--------|----------|---------|---------------------|
| | Generator- gas | Ver- brennungs- luft | Einsatz | Summe | | | Essengase | Stahl | Schlacke | Summe | |
| Kohlenstoff . . . | 54,65 | — | 1,88 | 56,43 | — | 56,43 | 56,96 | 0,61 | — | 56,57 | — 0,14 |
| Sauerstoff . . . | 86,08 | 193,52 | — | 279,60 | — | 279,60 | 218,18 | — | 0,42 | 220,80 | + 59,00 |
| Wasserstoff . . . | 3,96 | — | — | 3,46 | — | 3,46 | — | — | — | — | + 3,46 |
| Stickstoff . . . | 257,20 | 639,60 | — | 896,80 | — | 896,80 | — | — | — | — | — |
| Ammoniak . . . | 0,12 | — | — | 0,12 | — | 0,12 | 0,12 | — | — | 0,12 | — |
| Eisen . . . | — | — | 139,99 | 139,99 | — | 139,99 | — | 140,50 | 4,22 | 144,72 | — 4,73 |
| Mangan . . . | — | — | 3,00 | 3,00 | — | 3,00 | — | 1,06 | 1,95 | 3,00 | — |
| Silicium . . . | — | — | 0,91 | 0,91 | — | 0,91 | — | 0,34 | 0,57 | 0,91 | — |
| Kieseläure . . . | — | — | — | — | 8,52 | 8,52 | — | — | 8,52 | 8,52 | — |
| CaO, Al ₂ O ₃ u. s. w. | 16,76 | 4,83 | — | 21,59 | 0,86 | 0,86 | — | — | 0,86 | 0,86 | — |
| Wasser . . . | — | — | 21,59 | 21,59 | — | 21,59 | 62,91 | — | — | 62,91 | — 31,92 |
| Schwefel . . . | 0,11 | — | 0,11 | 0,11 | — | 0,11 | 0,11 | — | — | 0,11 | — |
| Summe | 418,28 | 837,95 | 146,78 | 1402,01 | 8,88 | 1410,89 | 1224,08 | 142,50 | 19,04 | 1384,62 | 26,27 ¹⁾ |

Pro 100 kg Erzeugung wurden benötigt:

| | |
|--|----------|
| An nasser Kohle | 70,18 kg |
| " trockener und aschenfreier Kohle | 61,08 " |
| " vergaster Kohle | 55,18 " |
| " Einsatz | 102,30 " |

1) Der hier ausgewiesene Fehler reduziert sich weiter, da die 3,46 kg Wasserstoff mit $8 \times 3,46 = 27,68$ kg Sauerstoff zu 81,14 kg Wasser verbunden sein müssen, auf den Gesamtfehler von — 1,41 kg oder 0,099 % der totalen in Betracht kommenden Materialmenge.

Wärmebilanz.

| Wärmeproduktion | Einzeln | | Zusammen | | Wärmeentgang | | Einzeln | | Zusammen | |
|--|----------|------|----------|--------|--|--|----------|---|----------|--------|
| | Calorien | % | Calorien | % | | | Calorien | % | Calorien | % |
| 1. Von aussen zugeführte Wärme: | | | | | 1. Durch d. Temperatur d. Essengase entführte Wärme . . . | | | | 138006,4 | 30,214 |
| Von den Generatorgasen durch deren Temperatur mitgeführte Wärme . . . | 10034,2 | 4,44 | | | 2. Infolge unvollständiger Verbrennung der Generatorgase nicht produz. Wärme . . . | | | | — | — |
| Von der Verbrennungsluft durch deren Temperatur zugeführte Wärme . . . | 5680,6 | 1,34 | | | 3. Durch Stahl u. Schlacke dem Ofen entzogene Wärme . . . | | | | 54562,4 | 12,748 |
| Durch d. Einsatz mitgebrachte Wärme | 10676,6 | 2,49 | 36391,4 | 8,27 | 4. Wärmeverlust durch Leitung und Strahlung . | | | | 236440,0 | 57,088 |
| 2. Durch die vollständige Verbrennung der Generatorgase produz. Wärme | | | 371282,6 | 86,74 | | | | | | |
| 3. Durch Oxydation von Bestandteilen des Einsatzes gebildete Wärme . | | | 21334,8 | 4,99 | | | | | | |
| Summe | | | 429008,8 | 100,00 | Summe | | | | 429008,8 | 100,00 |

7. H. H. Campbell veröffentlichte ¹⁾ eine interessante Studie über „the physikal and chemical Equations of the open-hearth-

1) Trans. Amer. Inst. Mining Eng., September Meeting 1890.

process“, der wir über den saueren Martinprozess folgendes entnehmen.

Der Einsatz betrug in allen 19 Fällen (bei Anwendung von Generatorgas) im Durchschnitt:

| | | |
|--------|----------------|--------------------------|
| 11 700 | Pfund Roheisen | mit 3,50% C und 1,72% Si |
| 39 580 | „ Schienen | „ 0,40 „ „ 0,07 „ „ |
| 597 | „ Blechabfälle | „ 0,13 „ „ 0,02 „ „ |

Je nach dem Erzzusatz unterscheidet Campbell folgende fünf Gruppen:

1. Gruppe: ohne Erzzusatz
2. „ Erzzusatz 100 bis 500 Pfund
3. „ „ 600 „ 1000 „
4. „ „ 1000 „ 1500 „
5. „ „ 1600 „ 2500 „

Der Erzzusatz betrug im Mittel 1020 Pfund; das Erz enthält 81 % FeO und 9 % freien Sauerstoff.

| Probe | | | Gruppe | | | | | Mittel (aus 19) Chargen |
|----------|-------------------------------|-------------------|--------|-------|-------|-------|-------|-------------------------------|
| | | | I | II | III | IV | V | |
| Metall | nach dem Ein- schmelzen | Kohlenstoff . . . | 0,36 | 0,18 | 0,32 | 0,61 | 0,57 | 0,54 |
| | | Silicium . . . | 0,03 | 0,01 | 0,04 | 0,07 | 0,09 | 0,02 |
| | | Mangan . . . | 0,06 | 0,03 | 0,05 | 0,15 | 0,15 | 0,09 |
| | vor dem Abstich | Kohlenstoff . . . | — | — | — | — | — | 0,13 |
| | | Silicium . . . | 0,02 | 0,01 | 0,03 | 0,02 | 0,02 | 0,02 |
| | | Mangan . . . | 0,04 | 0,02 | 0,02 | 0,05 | 0,03 | 0,04 |
| Schlacke | nach dem Ein- schmelzen | SiO_2 | 49,32 | 49,18 | 48,79 | 51,79 | 50,29 | 50,24 |
| | | MnO | 19,16 | 15,06 | 14,24 | 20,88 | 20,91 | 21,67 |
| | | FeO | 27,00 | 30,00 | 33,54 | 24,61 | 26,66 | 23,91 |
| | vor dem Abstich | SiO_2 | 50,73 | 46,17 | 47,83 | 50,43 | 49,82 | 49,40 |
| | | MnO | 19,60 | 13,03 | 11,68 | 16,31 | 16,50 | 16,50 |
| | | FeO | 27,93 | 25,23 | 37,00 | 30,63 | 30,22 | 29,79 |

Während des Schmelzens wurde oxydiert:

Silicium: fast gänzlich,
Mangan: fast gänzlich,
Kohlenstoff: ungefähr zur Hälfte,
Eisen: ungefähr 1%.

Nach dem Erzzusatz wurden oxydiert:

Silicium bis auf etwa 0,02 %,
Mangan bis auf etwa 0,03 „
Kohlenstoff bis auf den gewünschten Betrag.

Über die Reduktion von FeO aus dem Erzzusatze macht Campbell folgende (Durchschnitts-) Angaben:

a = Pfunde FeO , die mit dem Erz zugesetzt wurden,

b = „ FeO , die reduziert wurden,

c = % FeO , die aus dem zugesetzten FeO reduziert wurden,

d = Pfunde FeO , die aus dem Erz in die Schlacke gingen ($a - b$)

| Gruppe | a | b | c | d |
|-----------------------|------|------|-----|-----|
| I | — | 7 | — | — |
| II | 223 | 58 | 27 | 165 |
| III | 664 | 348 | 52 | 318 |
| IV | 1215 | 793 | 65 | 422 |
| V | 1499 | 1172 | 79 | 327 |
| Mittel von 19 Chargen | 826 | 386 | 41 | 490 |

Die bei Gruppe I (aus der Schlacke) reduzierte Eisenmenge ist so gering, dass sie innerhalb der Fehlergrenze der Versuche liegt. Im übrigen aber steigt die absolute wie die percentische Menge des reduzierten FeO mit dem Erzzusatze.

Bei den folgenden Versuchen wurde das Erz in 3 Partien zugesetzt. Es beziehen sich (1) auf die Zeit nach dem Einschmelzen (also ohne Erzzusatz), ferner (2) auf 500 Pfund, (3) auf 1000 Pfund und (4) auf 1500 Pfund Erzzusatz. Jeder Erzzusatz entspricht somit 405 Pfund FeO .

Zusammensetzung des Metalles.

| Charge No. | Silicium % | | | | Mangan % | | | |
|------------|------------|----------|----------|------|----------|------|------|------|
| | 1 | 2 | 3 | 4 | 1 | 2 | 3 | 4 |
| 7596 | 0,07 | 0,01 | 0,01 | 0,01 | 0,10 | 0,02 | 0,02 | 0,02 |
| 7598 | 0,04 | n. best. | n. best. | 0,01 | 0,02 | 0,02 | 0,02 | 0,02 |
| 7606 | 0,04 | 0,05 | 0,03 | 0,02 | 0,08 | 0,05 | 0,03 | Spur |
| 7635 | 0,13 | 0,07 | 0,05 | 0,06 | 0,19 | 0,08 | 0,09 | 0,10 |

Schlackenzusammensetzung.

| Charge No. | SiO_2 % | | | | MnO % | | | | FeO % | | | |
|------------|-----------|-------|-------|-------|---------|-------|-------|-------|---------|-------|-------|-------|
| | 1 | 2 | 3 | 4 | 1 | 2 | 3 | 4 | 1 | 2 | 3 | 4 |
| 7596 | 50,27 | 49,27 | 52,77 | 50,97 | 14,91 | 15,20 | 14,70 | 14,22 | 31,23 | 30,68 | 26,96 | 31,70 |
| 7598 | 51,96 | 51,10 | 50,30 | 51,48 | 21,65 | 19,09 | 17,50 | 16,72 | 22,59 | 26,12 | 28,26 | 26,08 |
| 7606 | 52,43 | 55,82 | 55,73 | 55,66 | 15,61 | 15,31 | 13,89 | 12,40 | 27,14 | 25,11 | 26,20 | 26,96 |
| 7635 | 52,94 | 51,72 | 52,28 | 52,90 | 21,84 | 20,44 | 19,06 | 16,36 | 23,18 | 24,21 | 26,26 | 29,15 |

Gewicht der Schlacke in Pfunden.

| Chargen No. | 1 | 2 | 3 | 4 |
|-------------|------|------|------|------|
| 7596 | 4020 | 4210 | 4350 | 4500 |
| 7598 | 2740 | 3110 | 3390 | 3550 |
| 7606 | 1940 | 2100 | 2400 | 2850 |
| 7635 | 1840 | 2320 | 2490 | 2900 |

Gewicht des FeO in der Schlacke in Pfunden.

| Charge No. | 1 | 2 | 3 | 4 |
|-------------------|------|------|------|------|
| 7596 | 1255 | 1292 | 1173 | 1427 |
| 7598 | 619 | 812 | 958 | 924 |
| 7606 | 527 | 527 | 629 | 768 |
| 7635 | 427 | 562 | 654 | 845 |
| Mittel | 707 | 798 | 854 | 991 |
| Zuwachs | 91 | | 56 | 137 |

Es wurden somit aus dem Erze reduziert:

| | |
|---------------------------------|-----------|
| in der ersten Periode | 314 Pfund |
| „ „ zweiten „ | 349 „ |
| „ „ dritten „ | 268 „ |

EINUNDZWANZIGSTES KAPITEL.

Der Martinprozess (Fortsetzung).

Wenden wir uns nun zum basischen Martinprozesse, so sind zunächst eine Reihe von Versuchen zu erwähnen, welche zeigen, in wie hohem Grade das Roheisen beim Einschmelzen gefrischt wird.

| Zusammensetzung des Metalles in % | C | Si | Mn | P | S |
|-----------------------------------|-------|-------|-------|-------|---|
| Vor dem Einschmelzen | 3,946 | 0,450 | 2,606 | 0,122 | — |
| Nach „ „ | 3,583 | 0,058 | 1,745 | 0,121 | — |
| Vor dem Einschmelzen | 3,971 | 0,441 | 2,783 | 0,117 | — |
| Nach „ „ | 3,488 | 0,181 | 1,897 | 0,118 | — |

Über den ganzen Verlauf der basischen Martincharge geben die folgenden Beispiele hinreichenden Aufschluss:

1. Schmelzen eines Einsatzes mit hohem Phosphorgehalte in einem englischen Eisenwerke. Nach F.W. Harbord.¹⁾

a) Metall.

| Zusammensetzung in Prozenten | C | Si | P | S | Mn |
|---|-------|-------|-------|-------|-------|
| Einsatz: 65 Teile Roheisen 35 " schmelzbares Eisen } | 2,300 | 0,870 | 2,300 | 0,230 | 0,960 |
| Nach 4 Stunden: das Einschmelzen ist beendet | 0,420 | 0,060 | 1,220 | 0,230 | 0,080 |
| Nach abermals $\frac{1}{2}$ Stunde | 0,230 | 0,070 | 1,180 | 0,213 | 0,060 |
| " " $\frac{1}{2}$ " | 0,178 | 0,070 | 1,000 | 0,306 | 0,088 |
| " " $\frac{1}{2}$ " | 0,094 | 0,060 | 0,840 | 0,183 | 0,062 |
| " " $\frac{1}{2}$ " | 0,075 | 0,040 | 0,700 | 0,170 | 0,064 |
| " " $\frac{1}{2}$ " | 0,070 | 0,045 | 0,480 | 0,165 | 0,060 |
| " " $\frac{1}{2}$ " | 0,060 | 0,050 | 0,330 | 0,157 | 0,085 |
| " " $\frac{1}{2}$ " | 0,050 | 0,045 | 0,192 | 0,160 | 0,065 |
| " " $\frac{1}{2}$ " | 0,045 | 0,025 | 0,116 | 0,187 | 0,080 |
| " " $\frac{1}{2}$ " | 0,050 | 0,010 | 0,085 | 0,130 | 0,061 |
| Nach Ferromangansatz | 0,130 | Spur | 0,065 | 0,125 | 0,510 |

Fig. 66.

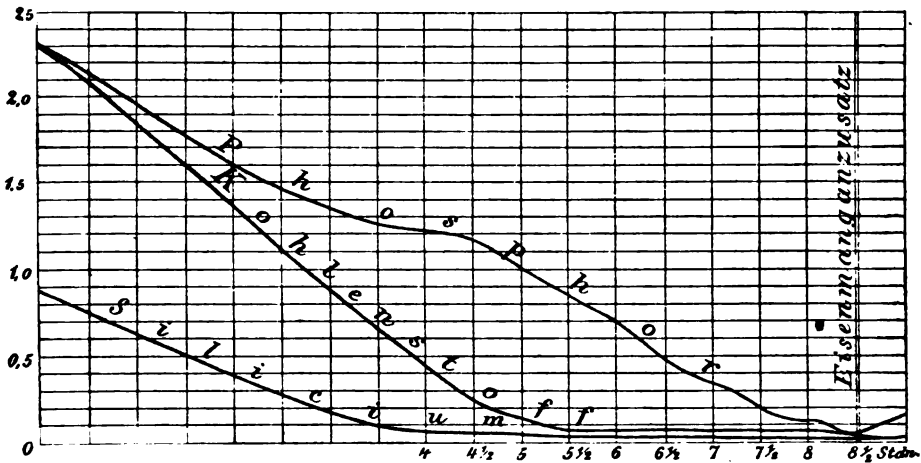


Fig. 66 stellt diese Verhältnisse im Schaubilde dar. Auffallend ist hier die bedeutende Abnahme des Kohlenstoffgehaltes; sie deutet auf sehr hohe Temperatur hin; der Phosphorgehalt hat sich beim Einschmelzen fast auf die Hälfte verringert.

1) Journ. Iron Steel Inst. 1886, II, p. 700.

Die zugehörigen Schlackenanalysen sind folgende:

| | C-Gehalt d. Eisens | Schlacke | | | | | | | |
|------------------------------|-----------------------|--------------|---------------|----------------|------------|------------|----------------|------------|------------|
| | | SiO_2 % | P_2O_5 % | Al_2O_3 % | MnO % | FeO % | Fe_2O_3 % | CaO % | MgO % |
| Nach beendetem Einschmelzen | 0,42 | 22,90 | 12,50 | 14,20 | 3,69 | 14,90 | 1,17 | 28,00 | 1,70 |
| 2 Stunden später . . | 0,076 | n. best. | n. best. | n. best. | n. best. | 5,91 | 1,23 | n. best. | n. best. |
| Nach weiteren zwei Stunden . | 0,045 | 17,20 | 16,19 | 12,20 | 2,64 | 13,30 | 2,31 | 33,60 | 2,27 |

2. Einsatz mit niedrigem Phosphorgehalte (nach Mehrtens.¹⁾)

| | C | Si | P | S | Mn | Cu |
|--|----------|-------|------|------|------|------|
| | Prozente | | | | | |
| Einsatz: 2,5 t Roheisen 5 t Bessemerstahnen- enden } | 1,48 | 0,32 | 0,09 | 0,03 | 1,37 | 0,11 |
| Nach 4 Stunden, bei höchster Temperatur des Bades | 0,82 | 0,01 | 0,06 | 0,03 | 0,37 | 0,11 |
| Nach weiteren 70 Minuten und 230 kg Erzzusatz | 0,09 | 0,005 | 0,03 | 0,03 | 0,35 | 0,11 |
| Nach Zusatz von 50 kg Ferromangan mit 40 % Mn | 0,15 | 0,009 | 0,03 | 0,02 | 0,53 | 0,11 |

Der Verlauf des Prozesses ist dem früheren ähnlich; nur wurde beim Einschmelzen weniger Kohlenstoff verbrannt. Gegenüber dem sauren Martinbetriebe bleibt relativ viel Mangan unoxydiert.

• 3. Einsatz mit niedrigem Phosphorgehalt (Untersuchungen von W. Schmiedhammer.²⁾)

Der Einsatz enthielt:

| Einsatz | | Si | P | Mn | C | Fe |
|--|----|-------|-------|-------|--------|--------|
| Eingesetztes Roheisen | % | 0,945 | 0,070 | 1,710 | 3,430 | 93,845 |
| | kg | 23,35 | 2,09 | 51,90 | 102,90 | 2315,6 |
| Eingesetzter Bessemerstahl | % | 0,087 | 0,097 | 0,115 | 0,327 | 99,424 |
| | kg | 1,48 | 3,84 | 4,60 | 13,08 | 3977 |
| Summe in kg | | 29,83 | 5,97 | 56,50 | 115,98 | 6792 |
| Durchschnittsgehalt des Einsatzes in % | | 0,426 | 0,085 | 0,307 | 1,656 | 97,026 |

1) „Stahl u. Eisen“, 1891, S. 709.

2) „Stahl u. Eisen“, 1891, S. 549; Österr. Ztschr. f. B.- u. H.-W. 1893, S. 33.

Der gesamte Einsatz war auf einmal in den Ofen gegeben worden und benötigte 3 Stunden zum vollständigen Einschmelzen. Nach dieser Zeit wurde die erste Schlacke abgezogen und nach jeder Probenahme der Frischprozess durch Zusatz von Hammer-schlag, der mit 25 % Kalkbrei zu Ziegeln geformt worden war, beschleunigt, bis der Kohlenstoffgehalt auf etwa 0,3 % herabgedrückt worden war. Von da an liess man das Bad ruhig auskochen.

Zusammensetzung des Metallbades.

| Bemerkungen | No. d. Probe | Zeit der Probe-nahme nach Beginn d. Hitze | | Zusammensetzung des Metallbades in Prozenten | | | | |
|---|--------------|---|----|--|-------|-------|-------|--------|
| | | h | m | Si | P | Mn | C | Fe |
| Durchschnittsgehalt des Einsatzes . . . | — | — | — | 0,426 | 0,065 | 0,807 | 1,656 | 97,026 |
| Gleich nach d. Einschmelzen . . . | I | 3 | — | 0,038 | 0,056 | 0,511 | 1,180 | — |
| Nach 120 kg Hammer-schlagzusatz . . . | II | 3 | 15 | 0,028 | 0,028 | 0,309 | 1,009 | — |
| Nach 180 kg Hammer-schlagzusatz . . . | III | 3 | 40 | 0,023 | 0,017 | 0,216 | 0,935 | — |
| Nach 72 kg Hammer-schlagzusatz . . . | IV | 4 | — | 0,016 | 0,013 | 0,216 | 0,614 | — |
| Nach 48 kg Hammer-schlagzusatz . . . | V | 4 | 15 | 0,016 | 0,013 | 0,220 | 0,429 | — |
| Es wurde nichts mehr zugesetzt | VI | 4 | 34 | 0,014 | 0,014 | 0,220 | 0,272 | — |
| | VII | 4 | 50 | 0,019 | 0,011 | 0,230 | 0,286 | — |
| | VIII | 5 | 5 | 0,023 | 0,013 | 0,223 | 0,245 | — |
| | IX | 5 | 25 | 0,023 | 0,011 | 0,194 | 0,218 | — |

Zusammensetzung der Schlacke.

| No. der Probe | Zeit der Probeentnahme nach Beginn der Hitze | | Zusammensetzung der Schlacke in Prozenten. | | | | | | |
|---------------|--|----|--|-------------------------------|--------------------------------|-------|-------|-------|------|
| | h | m | SiO ₂ | P ₂ O ₅ | Al ₂ O ₃ | FeO | MnO | CaO | MgO |
| I | 3 | — | 27,96 | 1,06 | 0,84 | 11,98 | 9,95 | 42,50 | 4,73 |
| II | 3 | 15 | 16,46 | 2,73 | 1,10 | 18,67 | 14,01 | 39,00 | 5,82 |
| III | 3 | 40 | 19,60 | 2,77 | 0,72 | 19,23 | 19,74 | 35,00 | 4,80 |
| IV | 4 | — | 18,56 | 2,74 | 1,21 | 21,97 | 12,68 | 36,00 | 5,60 |
| V | 4 | 15 | 16,16 | 2,24 | 0,76 | 24,37 | 11,59 | 36,50 | 6,14 |
| VI | 4 | 34 | 14,76 | 2,77 | 0,82 | 30,77 | 10,99 | 36,60 | 4,70 |
| VII | 4 | 50 | 14,20 | 2,81 | 2,84 | 26,81 | 9,76 | 36,40 | 6,48 |
| VIII | 5 | 5 | 14,64 | 2,69 | 2,91 | 25,05 | 10,14 | 36,50 | 6,78 |
| IX | 5 | 25 | 13,90 | 2,30 | 2,80 | 24,62 | 10,41 | 39,50 | 5,76 |

4. Einsatz mit niedrigem Phosphorgehalt (Untersuchungen des Verfassers).

Zusammensetzung des eingesetzten Eisenmaterials:

| | Abfall | weisses Roheisen | graues Roheisen | Ferromangan |
|---------------|--------|------------------|-----------------|-------------|
| Kohlenstoff . | 0,243 | 3,109 | 3,312 | 5,410 |
| Silicium . . | 0,039 | 0,140 | 1,701 | 2,411 |
| Mangan . . | 0,406 | 1,395 | 1,887 | 68,100 |
| Phosphor . . | 0,0773 | 0,0582 | 0,0619 | 0,2925 |
| Schwefel . . | 0,016 | 0,015 | 0,030 | 0,027 |

Zusammensetzung von Erz und Kalkstein:

| | Erz | Kalkstein |
|----------------------------|---------|-----------|
| Kieselsäure | 0,90 | 2,29 |
| Eisenoxydul | 21,60 | — |
| Eisenoxyd | 43,95 | 1,12 |
| Thonerde | 4,47 | 3,27 |
| Manganoxyduloxyd | 3,55 | — |
| Kalk | 0,074 | 51,87 |
| Magnesia | 1,57 | 0,704 |
| Baryt | — | — |
| Schwefelsäure | 0,065 | — |
| Phosphorsäure | 0,009 | — |
| Kohlensäure und Wasser . . | 23,95 | 41,23 |
| Summe | 100,138 | 99,984 |

Der Verlauf der Charge war folgender:

8^h — a. m. Einsetzen: Abfälle 2,7 t
 weisses Roheisen 2,0 „
 4,7 t
 Kalk 0,32 t

8^h Beginn des Einsatzes,
 12^h wurde die Schlacke abgezogen,
 12^h 20^m war das Bad vollständig eingeschmolzen; Entnahme der Probe I
 (hierauf Zusatz von 20 kg Erz),
 12^h 50^m Entnahme der Probe II, dann Zusatz von 0,1 t grauem Roheisen,
 1^h 20^m p. m. Entnahme von Probe III, dann Zusatz von 30 kg Ferromangan,
 1^h 25^m p. m. Abstich; Probe IV (Fertigprodukt).

Erzeugung: Ingots 4,506 t

Abfälle 0,1 „

Summe 4,606 t

Zusammensetzung des Metallbades.

| Zusammensetzung % | C | Si | Mn | P | S |
|--|-------|-------|-------|--------|-------|
| Einsatz: 2,7 t Abfälle } 2,0 t Roheisen } | 1,463 | 0,082 | 0,827 | 0,0692 | 0,016 |
| Probe I | 0,532 | 0,007 | 0,294 | 0,0209 | 0,010 |
| " II | 0,243 | 0,007 | 0,219 | 0,0133 | 0,016 |
| " III | 0,208 | 0,006 | 0,273 | 0,0114 | 0,012 |
| " IV | 0,275 | 0,929 | 0,602 | 0,0273 | 0,008 |

Die Oxydation von Kohlenstoff, Silicium, Phosphor, Mangan und Schwefel fand schon während des Einschmelzens in sehr erheblichem Masse statt. Der Erzzusatz bewirkte eine weitere Verminderung von Kohlenstoff und Mangan, Silicium blieb unverändert, der Schwefelgehalt stieg erheblich. Der Roheisenzusatz führt seinen ganzen Mangangehalt in das Metallbad, die übrigen Stoffe werden in der darauf folgenden 30 Minuten langen Schmelzzeit noch weiter oxydiert. Die Wirkung des Ferromanganzusatzes ist etwas komplizierter: Der Mangangehalt desselben entspricht 0,444 % des Metallbades; davon

gehen 0,329 % ins Metallbad und

reduzieren 0,064 „ aus der Schlacke 0,0140 % Phosphor,

während 0,051 „ ziemlich genau der Abnahme des Schwefels entsprechen

Summe 0,444 %.

Vom Siliciumgehalt des Ferromangans wurde etwa die Hälfte verschlackt, während die andere Hälfte ins Metallbad ging.

5. Einsatz mit niedrigem Phosphorgehalte (Untersuchungen des Verfassers).

| | C | Si | Mn | P | S |
|-------------------------------|-------|-------|-------|-------|-------|
| vor dem Erzzusatz | 0,244 | 0,014 | 0,192 | 0,026 | 0,045 |
| nach „ „ | 0,128 | 0,010 | 0,192 | 0,027 | 0,044 |
| vor dem Ferromanganzusatz . . | 0,113 | 0,012 | 0,192 | 0,025 | 0,040 |
| nach „ „ | 0,158 | 0,014 | 0,504 | 0,028 | 0,054 |
| etwas später | 0,144 | 0,015 | 0,498 | 0,029 | 0,050 |
| vor dem Abstich | 0,130 | 0,013 | 0,438 | 0,032 | 0,074 |

6. Einsatz mit niederem Phosphorgehalte (Untersuchungen des Verfassers).

| | Zeit | C | Si | Mn | P | S |
|------------------------------|--------------------------------|-------|-------|-------|-------|-------|
| Einsetzen | 8 ^h — ^m | — | — | — | — | — |
| Nach dem Einsetzen | 8 ^h 30 ^m | 0,120 | 0,013 | 0,201 | 0,037 | 0,080 |
| " " " | 8 ^h 45 ^m | 0,108 | 0,011 | 0,212 | 0,042 | 0,080 |
| " " " | 9 ^h — ^m | 0,107 | 0,009 | 0,224 | 0,041 | 0,085 |

| | Zeit | C | Si | Mn | P | S |
|--------------------------------|--------------------------------|-------|-------|-------|-------|-------|
| Vor dem Ferromanganzusatz . . | 9 ^h 10 ^m | 0,110 | 0,014 | 0,212 | 0,041 | 0,125 |
| Nach 240 kg Ferromanganeinsatz | 9 ^h 15 ^m | 0,132 | 0,014 | 0,484 | 0,051 | 0,125 |
| Nach 60 kg Ferromanganzusatz . | 9 ^h 20 ^m | 0,120 | 0,016 | 0,578 | 0,054 | 0,120 |
| Vor dem Abstich | 9 ^h 25 ^m | 0,118 | 0,014 | 0,472 | 0,042 | 0,100 |
| Nach 10 kg Ferrosiliciumzusatz | — | 0,120 | 0,015 | 0,460 | 0,053 | 0,095 |

Bezüglich der Veränderungen, welche der Schwefelgehalt im Martinofen erleidet, müssen wir nochmals auf das bereits im 9. Kapitel des 1. Buches Gesagte zurückkommen, und wollen auch hier — wie in früheren Fällen — statt der Silicierungsstufe den Sättigungsgrad der Schlacken in Betracht ziehen. Unter Benutzung der früheren Angaben kommen wir zu folgender Tabelle:

| Sättigungs- grad | Silicierungs- stufe | Auf 100 Moleküle RO- Base entfallen in der Schlacke Moleküle | | | Teilungs- koeffizient $\frac{S_{\text{Schlacke}}}{S_{\text{Metall}}}$ | Roheisenzusammensetzung in Prozenten | | | |
|---------------------|------------------------|--|-----|-------|---|---|-------|-------|-------|
| | | CaO | MnO | Summe | | C | Si | Mn | P |
| 4,883 | 0,36 | 32 | 20 | 52 | 2,18 | 0,132 | 0,013 | 0,418 | 0,025 |
| 4,853 | 0,36 | 23 | 25 | 48 | 5,87 | 0,108 | 0,011 | 0,188 | 0,059 |
| 4,827 | 0,34 | 24 | 25 | 49 | 4,68 | 0,122 | 0,011 | 0,190 | 0,041 |
| 4,473 | 0,37 | 23 | 19 | 42 | 2,87 | 0,098 | 0,011 | 0,187 | 0,024 |
| 4,453 | 0,38 | 23 | 30 | 53 | 8,01 | 0,116 | 0,013 | 0,392 | 0,046 |
| 3,585 | 0,45 | 17 | 30 | 47 | 3,74 | 0,113 | 0,010 | 0,178 | 0,057 |
| 3,571 | 0,47 | 23 | 25 | 48 | 1,45 | 0,132 | 0,014 | 0,484 | 0,051 |
| 3,549 | 0,48 | 23 | 25 | 48 | 2,02 | 0,120 | 0,016 | 0,578 | 0,054 |
| 3,480 | 0,45 | 27 | 27 | 54 | 6,10 | 0,164 | 0,029 | 0,215 | 0,037 |
| 3,426 | 0,50 | 27 | 27 | 54 | 3,58 | 0,112 | 0,023 | 0,237 | 0,041 |
| 3,411 | 0,49 | 28 | 29 | 57 | 10,96 | 0,315 | 0,030 | 0,294 | 0,041 |
| 3,385 | 0,52 | 17 | 34 | 51 | 3,37 | 0,140 | 0,012 | 0,189 | 0,055 |
| 3,213 | 0,52 | 25 | 27 | 52 | 2,77 | 0,120 | 0,015 | 0,468 | 0,053 |
| 3,206 | 0,53 | 26 | 26 | 52 | 1,74 | 0,110 | 0,014 | 0,212 | 0,041 |
| 3,141 | 0,54 | 25 | 28 | 53 | 2,65 | 0,118 | 0,014 | 0,472 | 0,042 |
| 3,125 | 0,54 | 26 | 27 | 53 | 2,91 | 0,108 | 0,011 | 0,212 | 0,042 |
| 3,004 | 0,56 | 26 | 26 | 52 | 3,39 | 0,107 | 0,009 | 0,224 | 0,041 |
| 2,859 | 0,58 | 26 | 27 | 53 | 2,94 | 0,120 | 0,013 | 0,201 | 0,037 |

Vergleicht man die vorstehenden Daten mit jenen über die Schwefelverteilung zwischen Hochofenschlacken und Roheisen, so fallen uns zunächst die ausserordentlich niederen Werte der Teilungskoeffizienten beim Martinprozeß auf, die — weil die (hier allein betrachteten basischen) Martinofenschlacken noch basischer sind als die Hochofenschlacken — wohl nur aus dem niederen Kohlenstoff- und Mangangehalte des Martinmetalles und dem

niedrigerem $CaO + MnO$ -Gehalte der Schlacken erklärt werden können. Überdies zeigt ein Vergleich dieser beiden Zusammenstellungen auch, dass der Einfluss der Temperatur auf den Teilungskoeffizienten offenbar kein allzu bedeutender sein kann. Der höchste Wert des Teilungskoeffizienten fällt mit dem höchsten Kohlenstoffgehalte des Stahles und mit dem höchsten $CaO + MnO$ -Gehalte der Schlacke zusammen. Die Regelmässigkeit kommt hier jedoch weniger zum Ausdruck, weil sich ein grosser Teil der angeführten Analysen auf Untersuchungsreihen bezieht, die von verschiedenen Martinofenchargen in den aufeinanderfolgenden Stadien des Prozesses durchgeführt wurden, wobei das Gleichgewicht zwischen Metall und Schlacke wohl kaum erreicht worden sein dürfte. Überdies erleidet das Gleichgewicht infolge des fortschreitenden Frischprozesses andauernd eine Störung.

Fassen wir die Studien über den Teilungskoeffizienten beim Hochofen-, Thomas- und Martinprozesse nochmals zusammen, so gelangen wir zu folgenden Punkten:

1. Die Ausseigerung von Sulfiden und Oxyden (die sogenannten „Einschlüsse“) kommen hauptsächlich in basischem Materiale vor, sind aber durch einen kleinen Ferrosiliciumzusatz mit Sicherheit zu vermeiden.

2. Um möglichst schwefelarmes Material darzustellen, muss man auf den „Teilungskoeffizienten“ zwischen Schlacke und Metall Rücksicht nehmen. Je kohlenstoff- und manganreicher das Metall, und je basischer (wenigstens bis zu einer gewissen Grenze) und kalk- und manganreicher die Schlacke ist, desto mehr Schwefel geht in die Schlacke, und um so weniger bleibt im Metalle zurück.

3. Hoher Phosphorgehalt des Metalles erschwert die Schwefelabscheidung.

4. Da sich der Schwefelgehalt des Metalles nur dem Teilungskoeffizienten entsprechend vermindert, empfiehlt es sich, um ein recht schwefelarmes Material zu erzielen, die schon mit Schwefel gesättigte Schlacke abzuziehen und nochmals Schlacke zu bilden.

ZWEIUNDZWANZIGSTES KAPITEL.

Abarten des Martinprozesses.

Um die Produktionsfähigkeit der Martinöfen zu heben, wurden mancherlei Abänderungen derselben vorgenommen, deren wichtigste hier kurz besprochen werden mögen:

1. Württembergers Verfahren.

Zur Beschleunigung des Frischprozesses blies Württemberger im Eisenwerke Phönix bei Ruhrort Wind in das Metallbad ein (1870). Er benutzte Düsenrohre, die an eine Windleitung angeschlossen werden konnten; die Windpressung betrug etwa $\frac{3}{4}$ kg pro 1 cm². Leider waren die Kosten des Verfahrens zu gross, so dass es nach einigen Jahren wieder aufgegeben wurde.¹⁾

2. Kombiniertes Bessemer-Martinverfahren.

Das Eisen wurde im Bessemerkonverter vorgefrischt, und dann im saueren Martinofen fertig entkohlt. Das Verfahren stand in Neuberg (Raffinierverfahren) von 1872 bis zur Einstellung des Bessemerbetriebes (1889) dauernd in Verwendung.

Später (1888 nach Einführung der basischen Martinöfen) wurde ein ähnliches Verfahren in Witkowitz angewendet. Das im Konverter vorgefrischte Eisen²⁾ wurde im basischen Martinofen vollständig entkohlt und entphosphort. Da das Verfahren kostspieliger als das Thomasverfahren ist, konnte es nur dort Eingang finden, wo ein zu hoher Siliciumgehalt des Roheisens vor dem Eintragen in den basischen Martinofen entfernt werden soll.

3. Kombiniertes Martinverfahren. Im Jahre 1893 hat man in Neuberg folgendes Verfahren zur Herstellung von harten Stahlsorten benutzt. Das Roheisen wird im basischen Martinofen mit oder ohne Erzzusatz entkohlt und entphosphort, und dann im saueren Martinofen rückgekohlt. Ein Beispiel wird genügen:

| | C | Si | Mn | P | S |
|--|-------|-------|-------|--------|-------|
| Metall aus dem basischen Martinofen | 0,145 | 0,011 | 0,416 | 0,0214 | 0,015 |
| Nach Rückkohlung im saueren Martinofen | 0,616 | 0,016 | 0,272 | 0,0251 | 0,013 |
| Nach Zusatz von Ferromangan | 0,992 | 0,246 | 0,551 | 0,0319 | 0,014 |

Der so erhaltene Stahl wird als basischer Raffinierstahl bezeichnet.

1) Österr. Zeitschr. f. Berg- u. Hüttenw. 1882, S. 295.

2) Vor dem Blasen . . . 3,39% C, 0,95% Si, 1,77% Mn
 Nach „ „ . . . 3,03 „ „ 0,26 „ „ 0,75 „ „

Im Jahre 1897 wurde in Kladno das Bertrand-Thiel-Verfahren eingeführt, das seither auch anderwärts Anwendung fand. Bei diesem Verfahren werden zwei basische Martinöfen benutzt, deren erster zum Vorfrischen dient, während im zweiten fertig gefrischt wird. Der Prozess verläuft in folgender Weise.

In den ersten Ofen wird zunächst ein Teil des Erzes und des Kalksteins, dann das vorrätige Roheisen (in festem Zustande), endlich geschmolzenes Roheisen vom Hochofen (welches die Hauptmenge bildet) eingesetzt. Nach Beginn des Kochens wird nochmals Erz und Kalkstein zugesetzt. Man trachtet ein fast völlig siliciumfreies Metall mit etwa 0,3 % Phosphor und 2,5 % Kohlenstoff zu erhalten. Nach etwa 2½ Stunden wird das Metall ruhiger.

Inzwischen hat man in den zweiten Ofen schiedbares Eisen eingesetzt, worauf das flüssige Metall aus Ofen I chargiert und Erz zugesetzt wird.

Den Verlauf des Prozesses zeigen folgende¹⁾ Angaben.

| | C | Si | P | Mn |
|---|----------|------|------|------|
| | Prozente | | | |
| Erster Ofen. | | | | |
| Einsatz, bestehend aus flüssigem Roheisen . . | 3,52 | 0,51 | 1,36 | 0,45 |
| Nach 45 Minuten und zweimaligem Zusatz von Erz und Kalk | 3,55 | 0,34 | 1,30 | 0,42 |
| Nach abermals 20 Minuten und einmaligem Zusatz von Erz und Kalk | 3,45 | 0,15 | 0,93 | 0,42 |
| Nach abermals 20 Minuten und einmaligem Zusatz von Erz und Kalk | 3,05 | 0,04 | 0,39 | 0,10 |
| Nach abermals 20 Minuten und einmaligem Zusatz von Erz und Kalk | 2,65 | 0,04 | 0,04 | 0,06 |
| Nach abermals 37 Minuten und einmaligem Zusatz von Erz; beim Abstecken, 2 Stunden 22 Minuten nach dem Einsatz | 2,50 | 0,04 | 0,09 | 0,10 |
| Zweiter Ofen. | | | | |
| 38 Minuten nach dem Einlassen des Metalles aus dem ersten Ofen | 0,81 | 0,04 | 0,05 | 0,06 |
| Nach abermals 20 Minuten | 0,35 | 0,02 | 0,02 | 0,05 |
| " " 20 " | 0,19 | 0,02 | 0,01 | 0,05 |
| " " 20 " | 0,18 | 0,02 | 0,01 | 0,23 |
| " " 20 " beim Abstecken aus dem zweiten Ofen, 2 Stunden 0 Minuten nach dem Einbringen in diesen Ofen | 0,15 | 0,02 | 0,01 | 0,32 |

Die Zunahme des Mangangehaltes gegen Ende der Charge ist auf den erfolgten Zusatz von Ferromangan zurückzuführen.

¹⁾ Ledeburs Handbuch der Eisenhüttenkunde, III, S. 1045 entnommen.

| Charge | | | | | | |
|--------|------|----------|---|----------------------|--------|-------|
| No. | Zeit | | Bezeichnung der Probe | Gewicht des Metalles | Sinter | Eisen |
| | Min. | Sek. | | Pfund | Pfund | Pfund |
| 263 | 9 | 50 a. m. | Nach Abziehen der Schlacke bleibt von Charge No. 263 im Ofen zurück . . . | — | — | — |
| 264 | 10 | 20 „ „ | Chargiert | — | 4200 | — |
| | 11 | — „ „ | Bad vor dem ersten Metallzusatz | 90000 | — | — |
| | 11 | — „ „ | Schlacke vor dem ersten Metallzusatz . . . | — | — | — |
| | 11 | 05 „ „ | Das erste Cupulofeneisen zugesetzt . . . | 15800 | — | — |
| | — | — „ „ | Berechnete Mischung | — | — | — |
| | 11 | 15 „ „ | Bad nach der ersten Reaktion | 105800 | — | — |
| | — | — „ „ | Es wurden oxydiert, Prozent | — | — | — |
| | 11 | 15 „ „ | Schlacke nach der ersten Reaktion | — | — | — |
| | 11 | 25 „ „ | Chargiert | — | — | — |
| | 11 | 45 „ „ | Bad vor dem zweiten Metallzusatz | 105800 | — | — |
| | 11 | 45 „ „ | Schlacke vor dem zweiten Metallzusatz . . | — | — | — |
| | 11 | 50 „ „ | Zusatz des zweiten Cupulofeneisens . . . | 14800 | — | — |
| | — | — „ „ | Berechnete Mischung | — | — | — |
| | 12 | — „ „ | Bad nach der zweiten Reaktion | 120600 | — | — |
| | — | — „ „ | Es wurden oxydiert, Prozent | — | — | — |
| | 12 | — „ „ | Schlacke nach der zweiten Reaktion | — | — | — |
| | 12 | 05 p. m. | Chargiert | — | — | 2700 |
| | 12 | 40 „ „ | „ | — | — | — |
| | 12 | 50 „ „ | „ | — | — | — |
| | 1 | 20 „ „ | Bad vor dem dritten Metallzusatz | 120600 | — | — |
| | 1 | 20 „ „ | Schlacke vor dem dritten Metallzusatz . . | — | — | — |
| | 2 | 05 „ „ | Zusatz des dritten Cupulofeneisens | 5030 | — | — |
| | — | — „ „ | Berechnete Mischung | — | — | — |
| | 2 | 15 „ „ | Bad nach der dritten Reaktion | 125600 | — | — |
| | — | — „ „ | Es wurden oxydiert, Prozent | — | — | — |
| | 2 | 15 „ „ | Schlacke nach der dritten Reaktion | — | — | — |
| | 2 | 15 „ „ | Abstechen der Schlacke | — | — | — |
| | 2 | 15 „ „ | Ende der Charge, Probe aus der Gusspfanne | — | — | — |

3. Der sogenannte „kontinuierliche Martinprozess“ oder das Talbot-Verfahren¹⁾ (1899) beruht auf der Anwendung eines sehr grossen Kippofens, welcher das bequeme Abgiessen von Schlacke und Metall gestattet. In diesem Ofen wird das Metall unter Zusatz von Erzen, Walzensinter und Kalkstein gefrischt; lässt die Einwirkung nach, so wird die Schlacke abgegossen und wenn nötig ein neuer Zusatz gegeben. Nach hinreichender Frischung wird ein Teil des Metalles abgegossen, worauf man zu dem zurückbleibenden Reste frischen Einsatz bringt u. s. f. — Der Zweck des Verfahrens ist, die Temperaturschwankungen zu ver-

1) Journ. Iron steel Inst. 1900, I; „Stahl und Eisen“ 1902, p. 717.

| Charge | | | | Zusammensetzung des Metalles | | | | | Zusammensetzung der Schlacke | | | |
|----------|-------|-------|-------|------------------------------|-------|--------|------|------|------------------------------|------------------|-------------------------------|--------------------------------|
| Schlacke | Kalk- | Man- | Reak- | C | S | P | Mn | Si | Fe | SiO ₂ | P ₂ O ₅ | Mn ₂ O ₃ |
| Pfund | Pfund | Pfund | tion | % | ‰ | % | % | % | % | % | % | % |
| — | — | — | — | — | — | 4,350 | — | — | 13,51 | 11,01 | 9,98 | 7,76 |
| — | — | — | — | 0,06 | 0,044 | 0,019 | 0,08 | — | — | — | — | — |
| — | — | — | — | — | — | 2,050 | — | — | 33,28 | 6,30 | 4,70 | — |
| — | — | — | — | 3,80 | 0,059 | 0,836 | 0,68 | 0,47 | — | — | — | — |
| — | — | — | — | 0,62 | — | 0,142 | — | — | — | — | — | — |
| — | — | — | gut | 0,34 | 0,061 | 0,057 | 0,13 | — | — | — | — | — |
| — | — | — | — | 45,00 | — | 60,000 | — | — | — | — | — | — |
| — | — | — | — | — | — | 4,770 | — | — | 14,98 | 12,58 | 10,94 | — |
| 2500 | 1700 | — | — | — | — | — | — | — | — | — | — | — |
| — | — | — | — | 0,08 | 0,044 | 0,025 | 0,12 | — | — | — | — | — |
| — | — | — | — | — | — | 4,060 | — | — | 21,74 | 10,31 | 9,30 | — |
| — | — | — | — | 3,80 | 0,056 | 0,834 | 0,60 | 0,84 | — | — | — | — |
| — | — | — | — | 0,51 | — | 0,128 | — | — | — | — | — | — |
| — | — | — | gut | 0,35 | 0,052 | 0,069 | 0,14 | — | — | — | — | — |
| — | — | — | — | 35,00 | — | 46,000 | — | — | — | — | — | — |
| — | — | — | — | — | — | 4,820 | — | — | 18,42 | 11,58 | 11,05 | — |
| — | 1700 | — | — | — | — | — | — | — | — | — | — | — |
| — | 1400 | 400 | — | — | — | — | — | — | — | — | — | — |
| — | — | — | — | 0,06 | 0,016 | 0,021 | 0,12 | — | — | — | — | — |
| — | — | — | — | — | — | — | — | — | 21,60 | — | — | — |
| — | — | — | — | 3,80 | 0,056 | 0,864 | 0,60 | 0,84 | — | — | — | — |
| — | — | — | — | 0,21 | — | 0,055 | — | — | — | — | — | — |
| — | — | — | — | 0,06 | 0,042 | 0,028 | 0,16 | — | — | — | — | — |
| — | — | — | — | 71,00 | — | 49,000 | — | — | — | — | — | — |
| — | — | — | — | — | — | — | — | — | 18,03 | — | — | — |
| — | — | — | — | — | — | 4,14 | — | — | 15,87 | 11,42 | 9,49 | 8,11 |
| — | — | — | — | 0,14 | 0,038 | 0,030 | 0,39 | — | — | — | — | — |

meiden, die in einem gewöhnlichen Martinofen durch das Eintragen frischer Körper, das Ablassen von Schlacke und Eisen u. s. w. hervorgebracht werden.

Der Verlauf des Prozesses ist aus vorstehenden Beispielen ersichtlich:

| | |
|--|--------------------------------|
| Gewicht der produzierten Ingots | 89100 Pfund |
| „ „ „ Schlacke | 1850 „ |
| Summe | 40950 Pfund |
| Zeit vom Beginn bis zum Abstich der Charge . | 3 ^h 10 ^m |

C. Tiegelstahl.

(Gussstahl im engeren Sinne.)

DREIUNDZWANZIGSTES KAPITEL.

Tiegelstahlerzeugung.

Der Erfinder der Gussstahlerzeugung im Tiegel war der in der Nähe von Sheffield wohnende englische Uhrmacher Benjamin Huntsman (1740), doch erzeugte man lange Zeit nur kleine Blöcke, bis es der (im Jahre 1811 gegründeten) Firma Fr. Krupp in Essen durch Ausgiessen vieler Tiegel in eine Gussform und nachherigem Schmieden unter Dampfhämmern gelang, fast beliebig grosse Tiegelstahlblöcke von genügender Dichte herzustellen.

Die Verwendung des Tiegelstahles zum Form- oder Façonguss gelang zuerst der Bochumer Gussstahlfabrik (1851); seither wird aber Façonguss meist aus Martinstahl hergestellt. Die Herstellung von Gussstücken aus weichem Flusseisen in Tiegeln (der Mitisguss) gelang — wegen der hohen Schmelztemperatur dieses Materiales — erst spät; man verwendet hierzu Öfen, die mit Petroleum oder Petroleumabfällen geheizt werden.

Während man ursprünglich nur bezweckte, durch Umschmelzen von Schweissstahl in Tiegeln homogenen Flussstahl zu gewinnen, kann das Verfahren doch auch Anwendung zum Umschmelzen von Flussstahl anderer Provenienz, zur Stahldarstellung durch Zusammenschmelzen von Roheisen und Schmiedeeisen (Legierstahl) oder durch Schmelzen von Roheisen mit Erzen (Uchatiusstahl oder Erzstahl) finden. Endlich werden durch geeignete Zusätze (Wolfram, Chrom u. s. w.) die sogenannten „Spezialstahle hergestellt. Überdies wird auch der Martinstahlprozess mit der Tiegelstahlerzeugung kombiniert.¹⁾

Die Tiegel werden aus gemahlener alten Tiegeln, Graphit (möglichst arm an Alkalien, Erden, Eisenoxyd u. s. w. — andernfalls muss er vorher gereinigt werden) und so viel frischem feuerfesten Thon,²⁾ dass die Masse bildsam wird, hergestellt. Der

1) Die Idee, geschmolzenen Martinstahl in vorgeheizten Tiegeln zu „raffinieren“ und so Brennmaterial zu sparen, wurde im Jahre 1896 vom Verfasser der Firma Bihler vorgeschlagen.

2) Der gleichfalls rein sein muss, und nicht viel Schwefel enthalten darf.

Graphitzusatz verhindert eine Entkohlung des Tiegelinhaltes beim Schmelzen, begünstigt aber eine Anreicherung des Siliciumgehaltes und bewirkt (im Gegensatz zu Thontiegeln) ruhigen Fluss und dichte Güsse, weil das Eindringen oxydierend wirkender Gase durch die glühende Tiegelwand erschwert wird. Die angefeuchtete Masse wird zu Tiegeln geformt, sehr vorsichtig getrocknet und unmittelbar vor dem Gebrauche bei Rotglut gebrannt. Die Grösse der Tiegel schwankt zwischen 10 und 25 kg Inhalt und mehr. Sie werden mit einem Deckel bedeckt, dessen runde, mit einem Thonpfropf zu verschliessende Öffnung dazu dient, den Tiegelinhalt zu untersuchen, ohne den Deckel entfernen zu müssen.

Obwohl gute Tiegel 2 bis 3 Schmelzen aushalten, werden dieselben doch meist nur einmal benutzt, um ein Leckwerden derselben sicher zu vermeiden.

Das Erhitzen der Tiegel erfolgt bei kleinen Anlagen in Tiegelschachtöfen oder in Platöfen, bei grösseren Anlagen aber in Tiegelöfen mit Gasfeuerung, die nach dem Siemensschen Regenerativprinzip konstruiert sind.

Der Brennstoffverbrauch ist sehr bedeutend; er beträgt pro 100 kg Tiegelstahlerzeugung:

| | |
|----------------------------------|-----------|
| bei vorzüglicher Steinkohle etwa | 120 kg |
| „ aschenreicher „ | 150—160 „ |
| „ Braunkohle | 200—400 „ |

Das zur Verwendung kommende Stahlmaterial (Puddel- oder Frischfeuerstahl, aber auch Cementstahl und selbst Bessemer- und Martinstahl) soll möglichst rein sein und besonders wenig Schwefel und Phosphor enthalten. Bei der Auswahl des Einsatzes ist darauf Rücksicht zu nehmen, dass beim Schmelzen in Graphittiegeln der Kohlenstoffgehalt um etwa 0,1 % zunimmt. Der eingesetzte Stahl wird zu etwa fingerdicken, vierkantigen Stäben ausgereckt, in Wasser gehärtet und in Stücke zerbrochen, die nach dem Aussehen des Bruches sortiert werden.

An Zusätzen verwendet man:

1. Für sehr harten Werkzeugstahl Ferrochrom oder Ferrowolfram;

2. zur Vermeidung der Gasentwicklung beim Giessen und um den Stahl leichter schmiedbar zu machen, Braunstein oder (weniger zweckmässig) Ferromangan; doch ist hierbei Vorsicht

nötig, weil der Stahl um so weniger Mangan verträgt, je kohlenstoffreicher er ist;

3. zur Herstellung von Tiegelstahl-Formguss einen mässigen Zusatz von phosphorarmem, grauem Roheisen oder Ferrosilicium.

In neuerer Zeit finden auch die nach dem Goldschmidt'schen Verfahren hergestellten kohlenstofffreien Metalle Anwendung.

Gewöhnlich werden die gut getrockneten, aber noch nicht gebrannten Tiegel kalt beschickt, im Glühofen bei direkter Rotglut gebrannt und dann sofort in den schon glühenden Tiegelofen eingesetzt.

Die Glühöfen (gewöhnlich Flammöfen mit Rostfeuerung) werden erst nach dem Einsetzen der Tiegel angeheizt, 10 Stunden im Feuer belassen, die Tiegel entfernt und nun der Ofen auskühlen gelassen.

Manchmal werden auch die leeren Tiegel wie früher im Glühofen vorgewärmt, in den Tiegelofen eingesetzt und erst hier mittels Fülltrichtern beschickt.

Die gefüllten Tiegel werden im Schmelzofen mit Deckeln bedeckt und nun beginnt das Schmelzen. Durch Eintauchen von Eisenstangen überzeugt sich der Schmelzer von dem Flüssigkeitsgrade und der Beschaffenheit des Tiegelinhaltes. Gleich nach dem Einschmelzen kommt der Stahl ins „Kochen“ (Bildung von CO). Die Schlacke ist anfangs schwarz und wird später lichter. Das Garwerden erkennt man daran, dass an der eingetauchten Probestange nur mehr wenig Stahl haften bleibt und dieser auch nicht mehr Funken sprüht.

Nachdem der gargewordene Stahl noch einige Zeit „abgestanden“ ist oder „nachgekocht“ hat, entfernt man den Tiegel aus dem Ofen und schreitet zum Giessen, wobei die Schlacke mittels einer Eisenstange zurückgehalten wird.

Bei Güssen, zu denen mehrere Tiegel verwendet werden, muss darauf geachtet werden, dass der Strahl des geschmolzenen Metalles nicht einen Augenblick unterbrochen werde, da sonst Ungängen („Kaltschweisse“) entstehen würden. Bei Mitigüssen benutzt man eine heizbare Giesspfanne; sie erhalten stets Aluminiumzusatz. Der Tiegelstahl soll ruhig fliessen und in der Form nicht steigen. Der Calo bei der Tiegelstahlerzeugung beträgt 2 bis 4 %.

Die chemischen Vorgänge im Tiegel sind folgende.

Der Einsatz enthält stets Oxyde (Rost, Hammerschlag, eingeschlossene Schlacke) und überdies ist in den Tiegeln Luft enthalten. Infolgedessen entsteht beim Schmelzen zunächst eine eisenreiche Schlacke, welche auf den Kohlenstoffgehalt des Stahles oxydierend einwirkt, so dass Kohlenoxyd gebildet wird (Kochen). Bei graphitarmen Tiegeln kann somit eine Abnahme des Kohlenstoffgehaltes eintreten.

Beim weiteren Schmelzen wird die Schlacke eisenärmer, weil ein Teil derselben durch den Kohlenstoff des Einsatzes reduziert, und auch Tiegelmasse aufgelöst wird. Hierdurch wird die Schlacke dünnflüssiger und verliert ihre oxydierende Wirkung, so dass Kohle aus dem Graphittiegel aufgenommen werden kann. Gleichzeitig wird aus den Tiegelwänden Silicium reduziert und vom Stahle aufgenommen, was durch hohe Temperatur und hohen Kohlenstoffgehalt des Stahles befördert wird.

Die folgenden (Ledeburs Handbuch der Eisenhüttenkunde entnommenen) Beispiele bestätigen das oben Gesagte:

Thontiegel mit nur 5% Koksbeizung (also etwa 4% C.¹⁾)

| | C | Si | Mn |
|---|------|------|----------|
| Schweissschmelze vor dem Schmelzen | 0,78 | 0,10 | 0,17 |
| Daraus gewonnener Tiegelstahl nach einmaligem Schmelzen | 0,70 | 0,14 | 0,12 |
| Tiegelstahl | 0,45 | 0,08 | 0,11 |
| Derselbe, nochmals geschmolzen | 0,33 | 0,10 | n. best. |
| Tiegelstahl | 1,26 | 0,20 | 1,40 |
| Derselbe, nochmals geschmolzen | 1,03 | 0,48 | 0,83 |

Graphittiegel mit etwa 25% Kohlenstoff.²⁾

| | C | Si | Mn |
|--|------|------|------|
| Schweissschmelze vor dem Schmelzen | 0,73 | 0,02 | 0,13 |
| Daraus gewonnener Tiegelstahl nach einmal. Schmelzen | 0,75 | 0,08 | 0,18 |
| Schweissschmelze vor dem Schmelzen | 0,94 | 0,10 | 0,26 |
| Daraus gewonnener Tiegelstahl nach einmal. Schmelzen | 0,74 | 0,10 | 0,26 |

1) Müller, „Stahl und Eisen“ 1885, S. 182 und 1896, S. 700.

2) Ledebur, Stahl und Eisen 1885, S. 371.

Tiegel aus 3 Teilen Graphit und 3 $\frac{1}{4}$ Teilen Thon, also mit etwa 40% Kohlenstoff.¹⁾

| | <i>C</i> | <i>Si</i> | <i>Mn</i> |
|--|----------|-----------|-----------|
| Schweisstahl vor dem Schmelzen | 0,49 | 0,02 | 0,24 |
| Tiegelstahl hieraus, nach einmaligem Schmelzen . . . | 1,19 | 0,36 | n. best. |
| " " " zweimaligem " | 1,27 | 0,63 | 0,22 |
| Schweisseisen vor dem Schmelzen | 0,05 | 0,02 | 0,08 |
| Tiegelstahl hieraus, nach einmaligem Schmelzen . . . | 0,25 | 0,08 | n. best. |
| " " " zweimaligem " | 0,35 | 0,26 | " " |

Englischer Tiegel mit etwa 50% Kohlenstoff.¹⁾

| | <i>C</i> | <i>Si</i> | <i>Mn</i> |
|--|----------|-----------|-----------|
| Schweisstahl vor dem Schmelzen | 1,12 | 0,02 | 0,18 |
| Tiegelstahl daraus, nach einmaligem Schmelzen . . . | 1,15 | 0,35 | n. best. |
| " " " zweimaligem " | 1,10 | 0,61 | 0,14 |
| Schweisseisen vor dem Schmelzen | 0,09 | 0,02 | 0,09 |
| Tiegelstahl hieraus, nach einmaligem Schmelzen . . . | 0,32 | 0,20 | n. best. |
| " " " zweimaligem " | 0,39 | 0,39 | 0,10 |

Tiegel aus 5 Teilen Graphit und 1 Teil Thon, also mit etwa 70% Kohlenstoff.¹⁾

| | <i>C</i> | <i>Si</i> | <i>Mn</i> |
|--|----------|-----------|-----------|
| Schweisstahl, vor dem Schmelzen | 0,91 | 0,03 | 0,21 |
| Tiegelstahl hieraus, nach einmaligem Schmelzen . . . | 1,13 | 0,31 | n. best. |
| " " " zweimaligem " | 1,45 | 0,62 | 0,19 |
| Schweisseisen, vor dem Schmelzen | 0,04 | Spur | 0,11 |
| Tiegelstahl hieraus, nach einmaligem Schmelzen . . . | 0,72 | 0,29 | n. best. |
| " " " zweimaligem " | 0,67 | 0,62 | 0,09 |

Im allgemeinen ist die *C*- und *Si*-Anreicherung in den kohlenstoffreichsten Tiegeln am stärksten, doch können Nebenumstände (Eindringen oxydierender Gase) mitwirken.

Der Einfluss des Kohlenstoffgehaltes der Tiegel auf die Siliciumanreicherung ergibt sich aus folgendem Versuche Reisers,²⁾

1) Müller, l. c.

2) Ledebur, Handbuch der Eisenhüttenkunde III, S. 958.

bei welchen der gleiche Einsatz (30 % Rohstahl und 70 % Schmied-eisen) in verschiedenen Tiegeln geschmolzen wurde:

| | | |
|---------------------|---------------------------|--------------|
| Bauxittiegel | mit 9 % Kohlenstoffgehalt | . 0,144 % Si |
| Gewöhnlicher Tiegel | „ 28 „ „ | . 0,274 „ „ |
| „ | „ 40 „ „ | . 0,392 „ „ |

Eigentümlich ist die verschiedene Wirkung des Mangans, je nachdem es als Metall oder als Braunstein zugesetzt wird. In ersterem Falle wird es oxydiert und geht in die Schlacke, im zweiten Falle wird es reduziert und geht in das Eisen:

| | C | Si | Mn |
|---|------|------|------|
| Der Rohstahl enthielt | 1,39 | 0,01 | 0,12 |
| Tiegelstahl hieraus, ohne Manganzusatz in Tiegeln mit etwa 40 % Kohlenstoff geschmolzen | 1,24 | 0,24 | 0,15 |
| Ein Einsatz aus 100 Teilen Rohstahl und 2 Teilen Ferromangan enthielt | 1,34 | 0,05 | 1,01 |
| Stahl hieraus in Tiegeln mit 40 % Kohlenstoff geschmolzen, enthielt | 1,86 | 0,49 | 0,75 |
| Rohstahl ohne Ferromangan vor dem Schmelzen . . . | 0,73 | 0,02 | 0,13 |
| Daraus erzeugter Stahl | 0,75 | 0,08 | 0,18 |
| Rohstahl mit $\frac{1}{28}$ seines Gewichtes (Ferromangan) . . . | 0,92 | 0,04 | 2,63 |
| Daraus erzeugter Stahl | 2,81 | 0,87 | 1,32 |

Diese Wirkung des Manganzusatzes wächst mit der Länge des Abstehens im Tiegel, wie folgende Versuche Müllers¹⁾ zeigen.

| | C | Si | Mn |
|---|------|------|------|
| Einsatz mit Ferromanganzusatz vor dem Schmelzen . | 1,03 | 0,14 | 2,45 |
| Erzeugter Stahl nach $\frac{1}{4}$ stündigem Abstehen | 1,04 | 0,19 | 1,82 |
| „ „ „ $1\frac{1}{4}$ stündigem „ bei hoher Temperatur | 1,86 | 0,64 | 0,83 |

Die entgegengesetzte Wirkung des Braunsteins zeigt sich in folgendem Versuche Müllers. Bei zweimaligem Schmelzen von Schweissstahl in Tiegeln mit 40 % Kohlenstoff unter jedesmaligem Zusatz von 1 % Braunstein ergab sich:

| | C | Si | Mn |
|--|------|------|------|
| Einsatz vor dem Schmelzen | 0,91 | 0,05 | 0,14 |
| Erzeugter Stahl, nach einmaligem Schmelzen . . . | 1,31 | 0,20 | 0,56 |
| „ „ „ zweimaligem „ | 1,62 | 0,35 | 0,74 |

1) „Stahl und Eisen“ 1886, S. 698.

Die Erklärung dieser Erscheinung ergibt sich aus der verschiedenen Zusammensetzung der Schlacke. Setzt man einem manganarmen Stahl Braunstein zu, so entsteht beim Schmelzen

Fig. 67.

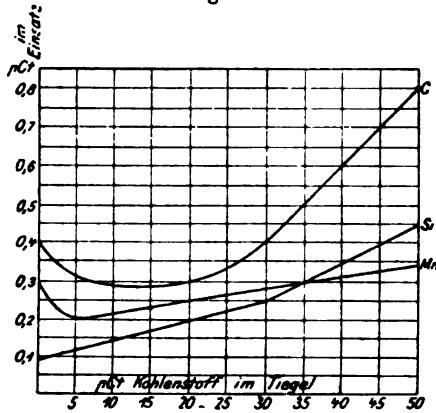
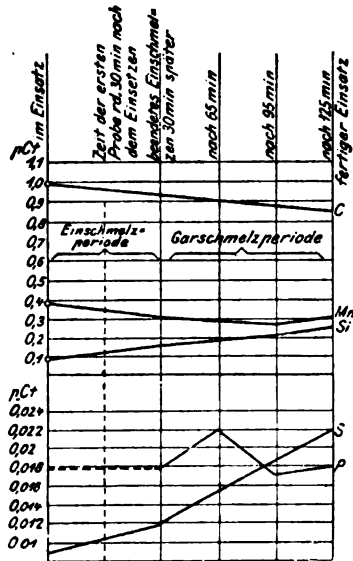


Fig. 68.



eine beträchtliche Menge manganreicher Schlacke. In derselben überwiegt die Konzentration des MnO jene des FeO so bedeutend, dass beträchtliche Mengen von Mangan reduziert werden. Beim Schmelzen eines manganreichen Einsatzes hingegen entsteht (weil der Eisengehalt trotzdem weit überwiegt) anfangs eine geringe Menge FeO -reiche Schlacke, aus welcher Fe durch Mn reduziert wird; überdies reagieren die kieselsäurereichen Tiegelswände auf das damit in Berührung stehende Metall unter Reduktion von Si und Bildung einer MnO -reichen Schlacke.

O. Thallner¹⁾ gibt in einem Schaubilde (Fig. 67) eine übersichtliche Darstellung über den Einfluss verschieden kohlenstoffreicher Tiegel auf den

Kohlenstoffgehalt von Stahl, der aus einem Einsatz mit 0,4% C, 0,1% Si und 0,5% Mn geschmolzen wurde.

1) Zeitschr. d. Ver. d. Ingen. 1900, S. 422.

Fig. 68 giebt nach demselben den Verlauf des Schmelzens bei Anwendung kohlenstoffarmer Tiegel, die neben etwa 20 % Graphit 0,05 % Schwefel enthielten.

D. Umschmelzen des Roheisens.

VIERUNDZWANZIGSTES KAPITEL.

Das Umschmelzen des Roheisens.

Das Umschmelzen des Roheisens erfolgt entweder in Tiegeln, in Flammöfen oder in Cupolöfen.

a) Umschmelzen des Roheisens in Tiegeln.

Man verwendet entweder Thon- oder Graphittiegel, die meist in Schachttiegelöfen mit Rost (zweckmässig in den tragbaren Piatschen Tiegelöfen), seltener in Flammöfen erhitzt werden. Als Brennmaterial verwendet man Koks. Das umzuschmelzende Eisen wird in kleine Stücke zerschlagen und möglichst dicht in den Tiegel gelagert, dann dieser durch einen aufgelegten Deckel geschlossen und in den Ofen eingesetzt. Das Schmelzen dauert 2 bis 3 Stunden, doch lässt man den Tiegel (um Überhitze zu erhalten und dann leichter giessen zu können) noch einige Zeit nach eingetretener Schmelzung im Feuer.

Man rechnet beim Giessen auf etwa 2 % Verlust. Der Brennstoffverbrauch beträgt durchschnittlich etwa 100 kg Koks auf 100 kg umzuschmelzendes Roheisen und sinkt kaum auf 75 kg.

Durch den Sauerstoff der im Tiegel enthaltenen Luft und der am Eisen haftenden Oxyde, sowie durch den Einfluss der Tiegelmateriale erleidet das Roheisen beim Umschmelzen ähnliche Veränderungen, wie wir sie beim Tiegelstahl kennen gelernt haben.

Müller¹⁾ fand die Zusammensetzung weissen Roheisens vor und nach dem Umschmelzen in Graphittiegeln (aus 3 Teilen Graphit und 3¼ Teilen Thon gefertigt) wie folgt:

| | C | Si | Mn |
|---------------------------------------|------|------|------|
| Vor dem Umschmelzen | 3,59 | 0,07 | 2,04 |
| Nach einmaligem Umschmelzen | 3,71 | 0,57 | 1,91 |
| „ zweimaligem „ | 3,77 | 0,76 | 1,85 |
| „ dreimaligem „ | 3,63 | 1,07 | 1,85 |

1) „Stahl und Eisen“ 1885, S. 181.

Nach viermaligem Umschmelzen war dasselbe völlig grau geworden.

Boussignault¹⁾ fand die Zusammensetzung weissen Roheisens.

| Bestandteile % | vor | nach |
|-----------------------|-----------------|------|
| | dem Umschmelzen | |
| Kohlenstoff | 3,80 | 3,44 |
| Silicium | 0,42 | 0,66 |
| Mangan | 2,68 | 1,75 |
| Phosphor | 0,07 | 0,08 |
| Schwefel | 0,10 | 0,02 |

Die bedeutende Abnahme des Kohlenstoffgehaltes lässt vermuten, dass hier graphitarmer Tiegel benutzt wurden.

b) Umschmelzen des Roheisens in Flammöfen.

Das Innere der zum Umschmelzen des Roheisens dienenden Flammöfen wird aus Chamotteziegeln; das Gewölbe entweder gleichfalls aus solchen, oder aus Dinasbriks hergestellt. Der Herd wird auf einer Lage von Sand, Brocken- oder Chamotteziegeln aus Masse ausgestampft. Sie haben meistens Rostfeuerungen, doch kommen auch Flammöfen mit Siemensfeuerung vor.

Bei unterbrochenem Betriebe bringt man das Roheisen in den kalten Ofen und beginnt erst nach dem Schliessen der Einsatzzthüren mit dem Feuern. Auch hier schreitet man erst einige Zeit nach dem Schmelzen zum Abstechen, bezw. zum Giessen.

Bei Siemensöfen bringt man das Roheisen in den völlig angeheizten Ofen.

Das Schmelzen dauert bei Rostfeuerungen 5 bis 6 Stunden (wenn mehrere Einsätze nach einander folgen, der Ofen also schon warm ist, nur 3 bis 4 Stunden) bei Siemensöfen etwa 2 Stunden.

Der Brennstoffverbrauch schwankt bei Rostfeuerung pro 100 kg Roheiseneinsatz zwischen 25 und 100 kg, gewöhnlich zwischen 50 und 70 kg Steinkohle (bei Braunkohle, Holz oder Torf entsprechend mehr); bei Siemensöfen (in Teplitz) beträgt er (bei einem einmaligen Roheiseneinsatz von 6,5 t) etwa 45 kg Braun-

1) Ann. de chimie et de phys., 5^{ème} Serie, 5, p. 236.

kohle pro 100 kg Einsatz. Der Abbrand beträgt 5 bis 8 % des Einsatzes.

Die Zusammensetzung des Roheisens erleidet beim Umschmelzen in Flammöfen gleichfalls eine Veränderung: Eisen, Mangan und Silicium werden oxydiert; Kohlenstoff erst dann, wenn der Gehalt an Mangan und Silicium bedeutend gesunken ist (weshalb man, wo der Kohlenstoffgehalt des Roheisens ungeändert bleiben soll, Roheisen mit etwa 2 % Mangan einsetzt). Doch kann, namentlich bei hoher Temperatur, wie in Gasflamöfen, auch der Kohlenstoffgehalt abnehmen:

| | Roheisen | | | |
|-----------------------|-----------------|-------|-------|-------|
| | A | | B | |
| | vor | nach | vor | nach |
| | dem Umschmelzen | | | |
| Kohlenstoff | 3,70 | 3,12 | 3,995 | 3,179 |
| Silicium | 0,135 | 0,021 | 0,205 | 0,025 |
| Mangan | 1,737 | 0,259 | 2,074 | 0,278 |
| Phosphor | 0,103 | 0,030 | 0,075 | 0,056 |
| Schwefel | 0,057 | 0,032 | 0,058 | 0,034 |

Der Mangangehalt verändert sich um etwa $\frac{1}{8}$ bis $\frac{2}{8}$ (bei höherer Temperatur und längerem Schmelzen auch mehr). Phosphor, Kupfer, Arsen und Antimon werden (bei grauem Roheisen) nicht oxydiert (die obigen Beispiele beziehen sich auf weisses Roheisen), der Schwefelgehalt, der beim Umschmelzen manganreichen Roheisens reduziert werden könnte, wird in den meisten Fällen durch Schwefelaufnahme aus den Flammgasen erhöht.

C. Umschmelzen des Roheisens in Cupolöfen.

Hierzu eignet sich für Giessereizwecke am besten graues silicium- und phosphorarmes Roheisen von mittlerem Kohlenstoffgehalt, weil es am wenigsten überhitzt zu werden braucht und daher auch am wenigsten durch die Koksasche verunreinigt wird. Am wenigsten ist weisses oder halbiertes Roheisen zum Umschmelzen geeignet.

Die Cupolöfen werden mit Gebläsewind betrieben. Einzelne Versuche, bei geschlossenem Gicht den Wind durch einen Dampfstrahl anzusaugen (Saug-Cupolöfen von Woodward und von Herbertz) haben bei grösserem Dampfverbrauche eine Vermin-

derung der in gleichen Zeiten schmelzenden Roheisenmengen ergeben. Die Windpressung steigt selten über 500 mm Wassersäule ($0,05 \text{ kg pro } 1 \text{ cm}^2$), weshalb man sich der Centrifugalgebläse (Ventilatoren) oder Kapselgebläse (Root Blower oder Krigarsches Schraubengebläse, u. s. w.) bedient.

Die Windmenge darf bei Cupolöfen nur aus dem Kohlenverbrauche pro Minute und aus der Zusammensetzung der Gichtgase berechnet werden; für Schätzungen genügt die Annahme, dass 1 kg verbrannter Kohlenstoff $8,5 \text{ m}^3$ Wind entsprechen. Während beim Hochofen vor der Form nur CO gebildet werden soll, arbeitet ein Cupolofen um so günstiger, je mehr CO_2 vor den Formen gebildet wird. Um dies zu erreichen, bedient man sich möglichst dichter Brennstoffe (also keiner Holzkohle), eines raschen Schmelzganges, grosser Windmenge, kleiner Windpressung und weiter Formen. Die Anordnung der Windformen ist sehr verschieden; die Windpressung soll 50 cm Wassersäule in keinem Falle überschreiten. Die innere Gestalt der Cupolöfen ist gleichfalls sehr verschieden. Ihr Herd ist entweder mit geschlossener Brust unmittelbar unter den Formen angeordnet, oder es ist (nach Krigar) ein Vorherd vorhanden, der zum Ansammeln grösserer Eisenmengen nützlich ist.

Starke Windhitzung ist schädlich, mässige (bis etwa 100°C.) nutzlos; man bläst daher mit kaltem Winde.

Cupolöfen mittlerer Grösse schmelzen stündlich etwa 4 bis 6 t Roheisen mit einem Aufwande von 70 bis 150 kg Koks pro Tonne; der Abbrand beträgt 3 bis 6 %.

Beim Umschmelzen erfährt das Roheisen ähnliche, wenn auch schwächere Veränderungen, wie im Flammofen: es wird Eisen, Mangan und Silicium oxydiert. Mangan schützt das Silicium vor der Oxydation und bei sehr hohem Mangan- und niederem Siliciumgehalte kann ersteres sogar Silicium aus den Ofenwänden reduzieren. Der Kohlenstoffgehalt erleidet keine wesentliche Veränderung; bei sehr hohem Mangangehalte steigt, bei niederem sinkt er ein wenig. Phosphor reichert sich (entsprechend der Oxydation von Eisen, Mangan und Silicium) an; Schwefel kann bei ungenügendem Kalkzusatz aus dem Koks aufgenommen werden.

Über diese Veränderungen geben folgende Analysenzusammenstellungen guten Aufschluss:

Untersuchungen von E. v. Köppen¹⁾ über die Veränderungen von hochmanganhaltigen Eisensorten bei einmaligem Umschmelzen.

| | Vor | | | Nach | | |
|--------------------------------|-----------------|-------|------|------|-------|------|
| | dem Umschmelzen | | | | | |
| | C | Mn | Si | C | Mn | Si |
| Spiegeleisen | 3,98 | 14,81 | 0,14 | 4,18 | 8,91 | 0,50 |
| „ | 4,40 | 14,25 | 0,12 | 4,62 | 10,52 | 0,49 |
| „ | 4,48 | 14,98 | 0,12 | 0,60 | 11,06 | 0,42 |
| „ | 4,62 | 16,24 | 0,40 | 4,96 | 10,98 | 0,66 |
| „ | 3,63 | 14,93 | 0,33 | 3,67 | 12,03 | 0,41 |
| Graues Bessemer-Roheisen . . . | 4,58 | 3,67 | 2,27 | 4,67 | 2,58 | 2,44 |

Veränderungen von Gusseisen nach viermaligem Umschmelzen im Cupolofen. Untersuchungen von Scheffer²⁾ (Gutehoffnungshütte).

| | Vor | | | Nach | | |
|-----------------------|-----------------|--------------------|----------|----------|--------------------|----------|
| | dem Umschmelzen | | | | | |
| | Coltness | Gutehoffnungshütte | Gleiwitz | Coltness | Gutehoffnungshütte | Gleiwitz |
| | I | I | | I | I | |
| Kohlenstoff | 4,06 | 4,15 | 4,17 | 3,49 | 3,46 | 3,68 |
| Silicium | 2,52 | 2,05 | 1,52 | 2,08 | 1,55 | 1,33 |
| Mangan | 1,27 | 0,77 | 2,08 | 0,46 | 0,12 | 0,73 |
| Kupfer | 0,05 | 0,06 | 0,07 | 0,06 | 0,05 | 0,07 |
| Phosphor | 0,73 | 0,61 | 0,33 | 0,87 | 0,72 | 0,47 |

Je grösser der Anfangsgehalt an Mangan, desto grösser auch die Menge desselben, die verschlackt, desto kleiner aber auch die Abnahme des Siliciumgehaltes:

| | Gutehoffnungshütte | Coltness | Gleiwitz |
|--|--------------------|----------|----------|
| Ursprünglicher Mangangehalt | 0,77 % | 1,27 % | 2,08 % |
| Abnehmen des Mn-Gehaltes | 0,65 " | 0,81 " | 1,35 " |
| " " Si-Gehaltes | 0,50 " | 0,44 " | 0,19 " |
| " in Prozenten des ursprünglichen Siliciumgehaltes | 24,6 " | 17,6 " | 12,7 " |

Hieraus folgt, dass ein graues Roheisen um so öfter umgeschmolzen werden kann, ohne infolge des abnehmenden Siliciumgehaltes weiss zu werden, je mehr Mangan es enthält.

1) Dinglers polyt. J. 232, p. 53.

2) Jahrb. f. d. Berg- u. Hüttenwesen im Königr. Sachsen auf das Jahr 1880, S. 5.

| | Roheisen | | | |
|-----------------------------|-------------------------|-------|--------------------------|----------|
| | vor | nach | vor | nach |
| | dem Umschmelzen | | | |
| | C. Müller ¹⁾ | | A. Ledebur ²⁾ | |
| Gesamtkohlenstoff | 3,89 | 3,56 | 3,32 | 3,11 |
| Graphit | 3,61 | 2,64 | — | — |
| Silicium | 2,97 | 1,65 | 0,60 | 0,37 |
| Mangan | 0,71 | 0,35 | 1,70 | 1,19 |
| Phosphor | 0,68 | 0,75 | 1,59 | 1,40 |
| Schwefel | 0,024 | 0,056 | 0,06 | n. best. |

Schliesslich mögen noch einige Analysen von Cupulofengichtgasen mitgeteilt werden:

| | N ₂ | CO ₂ | CO | O ₂ |
|---|----------------|-----------------|-------|----------------|
| | Volumprozent | | | |
| Gase aus älteren Cupulöfen (1844) nach Ebelmen ³⁾ | 73,36 | 11,65 | 14,6 | — |
| Desgl. | 73,96 | 11,60 | 13,56 | — |
| Gase eines Krigar-Ofens; Mittelwerte aus 20 Untersuchungen, nach Fischer ⁴⁾ | 79,7 | 16,4 | 3,9 | — |
| Gase aus einem andern Krigar-Ofen, Mittelwerte aus 6 Untersuchungen; nach Fischer ⁴⁾ | 81,6 | 13,3 | 5,1 | — |
| Gase eines neueren Cupulofens; Mittelwerte aus 7 Untersuchungen; nach Fischer ⁴⁾ | 79,5 | 13,1 | 7,4 | — |
| Desgl.; Mittelwerte aus 16 Untersuchungen; nach Fischer ⁴⁾ | 78,5 | 15,1 | 6,4 | — |
| Gase eines Irelandofens, nach Beckert ⁵⁾ | n. best. | 13,8 | 4,0 | — |
| Desgl. | „ | 12,5 | 11,7 | — |
| Desgl. | „ | 15,0 | 8,0 | — |
| Gase eines Cupulofens von Greiner u. Erpf ⁶⁾ | 79,9 | 18,7 | 1,2 | — |
| Gase eines Saugcupulofens von Herberts; nach Beckert ⁵⁾ | n. best. | 10,5 | — | 6,7 |
| Desgl. | „ | 11,7 | 3,4 | 8,2 |

Manchmal kann es sich auch darum handeln, beim Umschmelzen im Cupulofen eine bedeutende Oxydation von Silicium und Mangan zu erzielen. Man hat es versucht, dies durch Umschmelzen mit Erzzusatz zu erreichen. Im folgenden Beispiele wurden vergichtet:

| | | |
|------|---|------------|
| 15 | % | Erz |
| 42,5 | „ | Roheisen A |
| 42,5 | „ | „ B. |

- 1) „Stahl und Eisen“ 1895, S. 154.
- 2) Handbuch d. Eisenhüttenkunde III, S. 689.
- 3) Annales des Mines, 4^{ème} Série, 5, p. 61.
- 4) Dinglers polyt. Journ. 231, S. 38.
- 5) Stahl und Eisen 1886, S. 557.
- 6) Journ. Iron Steel Inst. 1888, II, p. 247.

| Zusammensetzung in Prozenten | Einsatz: Roheisen | | Nach dem Einschmelzen mit Erz |
|------------------------------|-------------------|-------|-------------------------------------|
| | A | B | |
| Kohlenstoff | 3,401 | 3,52 | 3,119 |
| Silicium | 1,589 | 0,401 | 0,687 |
| Mangan | 2,871 | 2,66 | 1,115 |
| Phosphor | 0,053 | 0,07 | 0,196 |
| Schwefel | 0,020 | 0,025 | 0,100 |

E. Kohlungsprozesse.

FÜNFUNDZWANZIGSTES KAPITEL.

Allgemeines und Koblung des flüssigen Eisens.

Aufnahme von Kohlenstoff kann sowohl im festen wie im flüssigen Zustande stattfinden. Die Theorie dieser Vorgänge wurde schon früher¹⁾ eingehend besprochen, so dass hier eine gedrängte Behandlung der hierher gehörigen Vorgänge, und zwar mehr vom technischen Standpunkte aus genügt.

Die Kohlenstoffaufnahme durch flüssiges Eisen findet ihre Anwendung bei der Rückkoblung von Flusseisen und Flussstahl. Sie erfolgt entweder durch kohlenstoffreiche Eisenlegierungen (graues Roheisen, Spiegeleisen oder Ferromangan) oder durch festen Kohlenstoff (Darby-Verfahren); letzteres wird vorgezogen, wo man ein Anwachsen des Mangangehaltes vermeiden will. Man giebt (zur Desoxydation) zunächst einen geringen Ferromanganzusatz und setzt dann (und zwar am besten während des Ausgiessens) fein gemahlene Kohle (schwefelarmen Koks oder Graphit) zu. Welch gleichmässige Resultate auf diesem Wege erhalten werden können, zeigen die nachfolgenden, L. v. Tetmajers „über das Verhalten der Thomasstahlschienen im Betriebe“ (S. 25) entnommenen Angaben:

Die Aktiengesellschaft für Bergbau- und Hüttenbetrieb „Phoenix“ an der Laar bei Ruhrort wickelte im Jahre 1894 einen grösseren Auftrag an Rillenschienen mit 6,0 t Zugfestigkeit pro 1 cm² ab. Gearbeitet wurde auf 0,40 % Kohlenstoff; die Rück-

1) Siehe Teil I und II, sowie im III. Teile, S. 67 ff.

kohlung erfolgte nach dem Darby-Phönix- (Spanagel-) Verfahren. Sämtliche Chargen wurden auf Kohlenstoff und Phosphor geprüft und ergaben folgende Resultate:

| Datum | Chargen No. | C ^o % | P ^o % | Datum | Chargen No. | C ^o % | P ^o % |
|-------------|-------------|------------------|------------------|-------------|-------------|------------------|------------------|
| 19/20. VII. | 91 | 0,400 | 0,067 | 24/25. VII. | 327 | 0,396 | 0,068 |
| | 93 | 0,382 | 0,058 | | 328 | 0,430 | 0,062 |
| 20. VII. | 94 | 0,418 | 0,055 | | 330 | 0,428 | 0,072 |
| | 96 | 0,425 | 0,061 | | 331 | 0,420 | 0,068 |
| | 97 | 0,388 | 0,079 | | 334 | 0,402 | 0,054 |
| | 98 | 0,426 | 0,072 | | 340 | 0,384 | 0,085 |
| | 99 | 0,420 | 0,043 | 25. VII. | 358 | 0,382 | 0,080 |
| | 100 | 0,444 | 0,081 | | 370 | 0,428 | 0,056 |
| | 102 | 0,408 | 0,060 | | 372 | 0,416 | 0,066 |
| | 103 | 0,428 | 0,060 | | 374 | 0,412 | 0,069 |
| | 104 | 0,404 | 0,064 | | 375 | 0,398 | 0,060 |
| | 105 | 0,430 | 0,056 | | 377 | 0,404 | 0,059 |
| | 106 | 0,418 | 0,058 | | 378 | 0,432 | 0,079 |
| | 107 | 0,380 | 0,055 | | 379 | 0,408 | 0,073 |
| | 109 | 0,426 | 0,063 | | 380 | 0,380 | 0,056 |
| | 110 | 0,380 | 0,060 | | 381 | 0,428 | 0,052 |
| | 111 | 0,384 | 0,086 | | 382 | 0,418 | 0,062 |
| | 113 | 0,426 | 0,059 | | 383 | 0,381 | 0,061 |
| 21. VII. | 149 | 0,430 | 0,068 | | 384 | 0,414 | 0,055 |
| | 151 | 0,404 | 0,085 | | 385 | 0,432 | 0,045 |
| | 152 | 0,408 | 0,057 | | 387 | 0,420 | 0,056 |
| | 154 | 0,384 | 0,059 | | 388 | 0,418 | 0,048 |
| | 155 | 0,386 | 0,060 | | 389 | 0,434 | 0,047 |
| | 156 | 0,386 | 0,051 | | 390 | 0,438 | 0,042 |
| | 157 | 0,388 | 0,055 | | 392 | 0,416 | 0,068 |
| | 158 | 0,380 | 0,072 | | 393 | 0,388 | 0,055 |
| | 160 | 0,382 | 0,075 | 26/27. VII. | 408 | 0,416 | 0,073 |
| | 161 | 0,394 | 0,068 | | 414 | 0,401 | 0,041 |
| | 162 | 0,412 | 0,067 | | 417 | 0,432 | 0,050 |
| | 164 | 0,432 | 0,055 | 27. VII. | 421 | 0,434 | 0,061 |
| | 165 | 0,416 | 0,075 | | 422 | 0,396 | 0,059 |
| | 166 | 0,414 | 0,051 | | 423 | 0,392 | 0,066 |
| | 167 | 0,398 | 0,046 | | 426 | 0,428 | 0,068 |
| | 168 | 0,430 | 0,056 | | 427 | 0,432 | 0,068 |
| | 169 | 0,428 | 0,078 | | 428 | 0,426 | 0,067 |
| | 170 | 0,390 | 0,075 | | 429 | 0,394 | 0,049 |
| | 171 | 0,420 | 0,054 | | 430 | 0,428 | 0,079 |
| | 172 | 0,432 | 0,064 | | 432 | 0,375 | 0,075 |
| | 173 | 0,382 | 0,064 | | 433 | 0,426 | 0,055 |
| | 174 | 0,408 | 0,062 | | 434 | 0,428 | 0,065 |

Düdelingen garantiert für den Kohlenstoffgehalt des Thomas-Darby-Stahles von einem Block zum andern und von einer Charge zur andern $\pm 0,025$ %.

Zwei beliebig herausgegriffene Chargen, Drahtbilletts, ergaben folgende chemische Zusammensetzung der einzelnen Blöcke:

| Chargen No. 107824 | | | | | |
|---|----|-------|-------|-------|-------|
| Vorgeschriebener C-Gehalt = 0,80 bis 0,85 % | | | | | |
| Block No. | | C% | P% | S% | Mn% |
| (Erster) | 1 | 0,307 | 0,091 | 0,023 | 0,508 |
| | 2 | 0,303 | 0,080 | 0,027 | 0,516 |
| | 3 | 0,317 | 0,085 | 0,023 | 0,559 |
| | 4 | 0,350 | 0,090 | 0,021 | 0,533 |
| | 5 | 0,310 | 0,070 | 0,022 | 0,576 |
| | 6 | 0,347 | 0,091 | 0,023 | 0,482 |
| | 7 | 0,323 | 0,079 | 0,019 | 0,576 |
| | 8 | 0,323 | 0,077 | 0,023 | 0,550 |
| | 9 | 0,327 | 0,080 | 0,021 | 0,576 |
| | 10 | 0,327 | 0,084 | 0,023 | 0,550 |
| | 11 | 0,317 | 0,077 | 0,019 | 0,550 |
| (Letzter) | 12 | 0,350 | 0,085 | 0,015 | 0,550 |

| Chargen No. 107831 | | | | | |
|---|----|-------|-------|-------|-------|
| Vorgeschriebener C-Gehalt = 0,45 bis 0,50 % | | | | | |
| Block No. | | C% | P% | S% | Mn% |
| (Erster) | 1 | 0,500 | 0,071 | 0,022 | 0,628 |
| | 2 | 0,500 | 0,075 | 0,026 | 0,617 |
| | 3 | 0,500 | 0,081 | 0,027 | 0,662 |
| | 4 | 0,505 | 0,084 | 0,027 | 0,628 |
| | 5 | 0,500 | 0,039 | 0,028 | 0,636 |
| | 6 | 0,505 | 0,086 | 0,029 | 0,636 |
| | 7 | 0,500 | 0,090 | 0,029 | 0,662 |
| | 8 | 0,500 | 0,104 | 0,032 | 0,617 |
| | 9 | 0,510 | 0,094 | 0,028 | 0,617 |
| | 10 | 0,505 | 0,093 | 0,029 | 0,617 |
| | 11 | 0,520 | 0,100 | 0,034 | 0,602 |
| | 12 | 0,500 | 0,077 | 0,035 | 0,628 |
| | 13 | 0,500 | 0,108 | 0,026 | 0,617 |
| (Letzter) | 14 | 0,510 | 0,082 | 0,028 | 0,645 |

Bei folgenden beiden Chargen wurden ausser dem ersten und letzten Blocke noch zwei Zwischenblöcke analysiert, und die Späne hierzu jeweilen vom oberen Ende, aus der Mitte und vom unteren Ende des Blockes entnommen.

| Chargen No. 108246 | | | | | |
|--|--------------------|-------|-------|-------|-------|
| Vorgeschriebener C-Gehalt = 0,30 bis 0,35% | | | | | |
| Block No. | Ort der Probenahme | C% | P% | S% | Mn% |
| 1 | Oben | 0,304 | 0,102 | 0,028 | 0,482 |
| | Mitte | 0,302 | 0,101 | 0,031 | 0,473 |
| | Unten | 0,277 | 0,093 | 0,028 | 0,464 |
| 6 | Oben | 0,310 | 0,099 | 0,026 | 0,482 |
| | Mitte | 0,327 | 0,098 | 0,022 | 0,464 |
| | Unten | 0,338 | 0,093 | 0,039 | 0,464 |
| 10 | Oben | 0,314 | 0,100 | 0,019 | 0,480 |
| | Mitte | 0,308 | 0,094 | 0,025 | 0,490 |
| | Unten | 0,328 | 0,094 | 0,016 | 0,464 |
| 14 | Oben | 0,310 | 0,100 | 0,029 | 0,473 |
| | Mitte | 0,297 | 0,100 | 0,024 | 0,482 |
| | Unten | 0,300 | 0,086 | 0,014 | 0,482 |

| Chargen No. 108251 | | | | | |
|---|--------------------|-------|-------|-------|-------|
| Vorgeschriebener Kohlenstoffgehalt = 0,30 bis 0,35% | | | | | |
| Block No. | Ort der Probenahme | C% | P% | S% | Mn% |
| 1 | Oben | 0,330 | 0,098 | 0,033 | 0,448 |
| | Mitte | 0,349 | 0,098 | 0,033 | 0,456 |
| | Unten | 0,292 | 0,082 | 0,018 | 0,456 |
| 5 | Oben | 0,360 | 0,094 | 0,032 | 0,473 |
| | Mitte | 0,342 | 0,087 | 0,022 | 0,456 |
| | Unten | 0,330 | 0,070 | 0,020 | 0,464 |
| 8 | Oben | 0,302 | 0,101 | 0,039 | 0,456 |
| | Mitte | 0,295 | 0,099 | 0,028 | 0,448 |
| | Unten | 0,300 | 0,088 | 0,021 | 0,464 |
| 12 | Oben | 0,327 | 0,100 | 0,032 | 0,464 |
| | Mitte | 0,301 | 0,084 | 0,023 | 0,464 |
| | Unten | 0,300 | 0,077 | 0,018 | 0,456 |

Über die Kohlung des Roheisens im Hochofen wurde schon früher¹⁾ gesprochen; zur Ergänzung mögen noch folgende Analysen des Verfassers mitgeteilt werden, die sich auf Roheisen und Schlacke bei normalem Abstich und auf solche aus dem Formeniveau (bei abgestelltem Winde) beziehen:

1) Zweites Buch, A.

| Bestandteile in Prozenten | Roheisen | |
|---------------------------|----------------------|---------------------|
| | vom normalen Abstich | aus der Formenebene |
| Kohlenstoff | 4,064 | 3,088 |
| Silicium | 0,451 | 0,369 |
| Mangan | 2,931 | 1,705 |
| Phosphor | 0,089 | n. best. |
| Schwefel | 0,042 | „ „ |

| Bestandteile in Proz | Hochofenschlacke | |
|----------------------|----------------------|---------------------|
| | vom normalen Abstich | aus der Formenebene |
| SiO_2 | 33,44 | 37,18 |
| FeO | 0,71 | 0,45 |
| MnO | 5,31 | 6,84 |
| Al_2O_3 | 11,47 | 10,80 |
| CaO | 30,48 | 28,61 |
| MgO | 14,77 | 12,61 |
| P_2O_5 | 0,036 | Spur |
| Cu | 2,05 | 2,11 |
| S | 1,64 | 1,69 |

Wenn auch hier infolge des abgestellten Windes die Kohlung in der Formenebene eine bedeutende ist, so bestätigen doch auch diese Analysen die Vermutung, dass die Kohlung des Roheisens zum grössten Teile erst unterhalb des Windbereiches durch Lösung von festem Kohlenstoff erfolge.

SECHSUNDZWANZIGSTES KAPITEL.

Die Cementstahlerzeugung.

Auch hier wird — im Hinblick auf die bereits oben gegebenen theoretischen Betrachtungen und Experimentaluntersuchungen — eine kurze Besprechung des Vorganges vom hauptsächlich technischen Standpunkte genügen.

Die Darstellung des Cementstahles beruht auf dem entgegengesetzten Vorgang wie das Glühfrischen. Wird kohlenstoffarmes Eisen mit Holzkohlen oder anderen kohlenstoffhaltigen Substanzen andauernd geglüht, so nimmt es Kohlenstoff auf und verwandelt

sich in Stahl. Das Verfahren steht trotz seiner hohen Gesteigungskosten noch immer in Verwendung, weil das hierbei verarbeitete weiche Rohmaterial gewöhnlich weit ärmer an Nebenbestandteilen, somit also auch das Endprodukt ein reineres ist, als durch die übrigen Verfahrungsweisen erlangt werden kann.

Nach den Untersuchungen Mannesmanns,¹⁾ Boussignaults,²⁾ Ledeburs,³⁾ u. a. ist der Vorgang auf eine Wanderung des festen Kohlenstoffes in das Metall, also auf eine Lösungs- bzw. Diffusionserscheinung zurückzuführen. Hierbei ist die Menge des aufgenommenen Kohlenstoffes und die Aufnahmsgeschwindigkeit von der Temperatur abhängig (sie steigt mit der Temperatur, so dass bei Weissglut schon nach 45 Minuten eine 3 bis 5 mm starke weisse Roheisenkruste mit 4,76 % Kohlenstoff gebildet wird, während bei der gewöhnlichen Temperatur der Cementierofen (helle Rotglut) vom 13. Tage des Cementierens an ein konstanter Kohlenstoffgehalt von 1,2 % in der ganzen Masse erzielt wurde, der auch bei fortgesetztem Erhitzen nicht mehr zunahm. Je länger das Cementieren fortgesetzt wird, desto weiter nach innen schreitet der Kohlungsprozess fort, wie folgende Zahlen zeigen:

Nach Mannesmann gaben Probestangen bei regelmässigem Betriebe

| | |
|--|-----------|
| nach 7 Tagen eine 0,5 mm starke Stahlschicht mit . . | 0,65 % C. |
| " 8 " " 1 " " " " " " " " " " | 0,94 " " |
| " 9 " " 2 " " " " " " " " " " | 0,95 " " |
| " 10 " " 2,6 " " " " " " " " " " | 1,1 " " |
| " 11 1/2 " " 3 " " " " " " " " " " | 1,2 " " |
| " 13 1/4 " einen annähernd gleichmässig durch das ganze Stück verteilten Kohlenstoffgehalt von | 1,2 " " |

Hierbei tritt Temperkohle gewöhnlich nicht, oder nur in geringer Menge auf:

| | Härtungs- | Carbid- | Temper- | Gesamt- |
|---|-----------------------|---------|---------|---------|
| | Kohlenstoff (Prozent) | | | |
| Remscheider Cementstahl, nach Ledebur ¹⁾ | 0,19 | 0,97 | 0,04 | 1,20 |
| Bismarckhütten-Cementstahl ²⁾ | 0,60 | 0,82 | 0,00 | 1,42 |
| Schwedischer Cementstahl | 0,68 | 0,62 | 0,00 | 1,31 |
| | 0,74 | 0,77 | 0,00 | 1,51 |
| | 0,42 | 1,07 | 0,00 | 1,49 |

1) Verh. d. Ver. z. Bfdg. d. Gewerbl. 1879, 31.

2) Ann. chim. phys., 5^{ème} Série, 5, p. 185.

3) Handb. der Eisenhüttenkunde III, S. 1084.

Dass hierbei eine Reduktion der in den Schlackenpartikelchen enthaltenen Eisenoxyde stattfinden muss, braucht wohl kaum erwähnt zu werden; sie ist die Ursache der an der Oberfläche des cementierten Eisens auftretenden Blasenbildung, welcher dieses Produkt seinen englischen Namen blister-steel (Blasenstahl) verdankt.

Wie schon früher erwähnt, kann aber auch — wenn der Kohlenstoffgehalt des in das Cementpulver eingesetzten Metalles grösser ist als dem Sättigungspunkte bei der Temperatur des Cementofens entspricht — eine Entkohlung desselben stattfinden.¹⁾

Nach Boussignault²⁾ erfährt beim Cementierungsprozesse der Schwefelgehalt eine kleine Verringerung, während der Phosphor- und Siliciumgehalt entweder unverändert bleibt, oder sogar eine minimale Steigerung erleiden kann, z. B.:

| | Silicium | Phosphor |
|-----------------------------|----------|----------|
| Vor der Cementation | 0,106% | 0,100% |
| Nach „ „ | 0,120 „ | 0,130 „ |

Die mit Rostfeuerungen versehenen Cementieröfen enthalten gemauerte Kisten von 2,75 bis 3,5 m Länge, 0,8 bis 1 m Breite und 0,8 bis 1,2 m Höhe. Nachdem der Boden der Kisten mit einer Schicht feinen Sandes oder Schamottepulvers bedeckt worden, giebt man eine 60 bis 80 mm-Schicht gesiebte Holzkohle (nicht über nussgross), auf diese eine Lage Eisenstäbe, die sorgfältig in die Kohlschicht eingeklopft werden, eine zweite Holzkohlenschicht, u. s. f., bis etwa 100 mm unter dem oberen Kistenrande. Auf die oberste Holzkohlenschicht kommt eine möglichst dichte Decke, die unten aus altem Cementierpulver, oben aus Ziegelmehl oder ähnlichem besteht.

Das Cementierpulver (Laubholzkohle wirkt kräftiger als Nadelholzkohle) verliert mit der Zeit an Wirksamkeit, weshalb man dasselbe entweder nach zweimaliger Benutzung durch neues ersetzt, oder jedesmal ein Gemenge aus 2 Teilen frischer und 1 Teil alter Kohle benutzt.

1) Siehe zweiter Teil, l. c.

2) l. c.

Nun werden alle Öffnungen des Ofens verschlossen und angefeuert. Nach etwa $1\frac{1}{2}$ Tagen ist helle Rotglut (Gelbglut) erreicht, und es wird dieselbe bis zur Beendigung des Prozesses (7 bis 9 Tage lang) konstant erhalten. Nach langsamem Abkühlen des Ofens (Einstellen des Feuers und Verschluss der Luftzuführungsöffnungen) schreitet man zum Entleeren der Kisten. Die Cementstahlstangen werden kalt gebrochen und nach dem Bruche sortiert.

Manchmal verwendet man auch Cementöfen mit Gasfeuerung.

Nachträge.

A. Zum ersten Teile.

I. Mikrographie.

H. M. Howe¹⁾ unterscheidet die in flüssigen Lösungen beim Erstarren auftretenden eutektischen, von den in festen Lösungen erscheinenden aeolischen Gebilden.

Unter Austenit versteht Howe den charakteristischen Hauptbestandteil des rasch gekühlten, gehärteten Stahles. Er sagt von ihm, dass er „is a hard, brittle mass, with a needle-like structure, and is a solid solution of carbon in iron, the proportion of carbon varying from nothing up to about two percent. Its hardness and brittleness increase with its carbon content. Austenite of aeolic composition, containing 0,90 per cent of carbon, and thus corresponding in ultimate composition to Perlite is sometimes called „Hardenite“.

Nach ihm sind Martensit, Troostit und Sorbit nur Übergangsformen zwischen Austenit auf der einen Seite, und Ferrit + Cementit (Perlit) andererseits. Er sagt hierüber weiter: „It is unfortunate that until lately no clear distinction between Martensite and Austenite has been recognized, and the term Martensite has been used to cover both Austenite and also the partly decomposed Austenite which we find in suddenly cooled steel.“

Auf diese Definition Howes muss besonders Rücksicht genommen werden, um Irrungen mit den gewöhnlich gebräuchlichen Namen und Begriffen zu vermeiden.

1) Iron, Steel and other Alloys.

Bezüglich des Troostites hat Henry Cook Boynton¹⁾ neuerdings die Vermutung ausgesprochen, dass er nicht, wie bisher angenommen, eine Übergangsform zwischen Martensit und Perlit, sondern β -Eisen-Ferrit sei.

Bezüglich der „Gleichgewichts-Kurven“ der Eisenkohlenstoff-Legierungen muss auf eine Arbeit vom Carpenter und Keeling²⁾ hingewiesen werden.

Die Kurve der beginnenden Erstarrung von geschmolzenem Eisen von 0 bis 4,3% Kohlenstoff zeigt keinen Knickpunkt, sondern ist gegen aufwärts schwach konvex. Sie lässt sich durch die Gleichung

$$t = 1505 - 54,65 C - 7,1 C^2$$

darstellen, in welcher t die Temperatur in °C., C den Prozentgehalt an Kohlenstoff darstellt. Die Abweichung von dieser Gleichung beträgt unter 33 Beobachtungen im Maximum 8° C. und ist in 30 Fällen kleiner als 5° C. Aus dieser Gleichung berechnet sich:

| C-Prozentgehalt | Beginn der Erstarrung °C |
|-----------------|--------------------------|
| 0 | 1505 |
| 1 | 1444 |
| 2 | 1368 |
| 3 | 1278 |
| 4 | 1173 |
| 4,3 | 1139 |

Das Ende der Erstarrung entspricht den Roozebom-schen Kurven Aa und aB (Siehe zweiter Teil, Fig. 4, 9, 14). Bei Kohlenstoffgehalten unter 2% ist dasselbe durch keinen Rekaleszenzpunkt charakterisiert. Bei sehr niederen Kohlenstoffgehalten ist jedoch die Richtungsänderung der Kühlungskurve scharf erkennbar, so dass die Unsicherheit dieser Temperaturen 10° C. nicht übersteigt. Bei 2% Kohlenstoff ist dies jedoch nicht mehr der Fall, so dass die fragliche Temperatur auf 20–30° C. unsicher ist.

Bei Kohlenstoffgehalten über 2% (Kurve aB) entspricht dem Ende der Erstarrung ein Rekaleszenzpunkt; seine Lage scheint

1) Iron Steel Inst., Mai-Meeting, 1904.

2) Iron Steel Inst., Mai-Meeting 1904; The Iron and Steel Magazin, VII, p. 628.

von 2,1 bis 2,5% Kohlenstoff von 1105° bis 1135° C. zu steigen, von hier an aber konstant zu bleiben.¹⁾

Nach den vorliegenden Untersuchungen liegt die Löslichkeit des Kohlenstoffs in Eisen bei 1100° zwischen 1,97 und 2,12%.

Der Punkt $Ar_{m.c}$ entspricht der Abscheidung von freiem Cementit aus Martensit.

Der Anfang der mit Ar_3 bezeichneten Zustandsänderung liegt für alle kohlenstoffarmen Eisenlegierungen (nahezu) konstant zwischen 900° und 890° C.; das Maximum dieses Punktes fällt aber mit wachsendem Kohlenstoffgehalt. Bei 0,38% Kohlenstoff fällt Ar_3 mit Ar_2 zusammen.

Die Anfangstemperatur von Ar_2 schwankt zwischen 795° und 762° C.; die maximale Geschwindigkeit dieser Zustandsänderung liegt bis 0,47% C konstant bei 762° C. und fällt dann rasch mit weiter steigendem Kohlenstoffgehalte.

Bei sämtlichen Legierungen mit mehr als 0,8% C tritt zwischen 770° und 800° C. eine schwache Wärmeentwicklung auf, die mit einer 1898 von Le Chatelier²⁾ beobachteten Änderung des elektrischen Leitungswiderstandes hochcarburierter Stähle (bei 800° C.) zu korrespondieren scheint.

Die Temperatur der maximalen Geschwindigkeit der durch Ar_1 bezeichneten Zustandsänderung steigt mit dem Kohlenstoffgehalte von 688° auf 717° C.

Der von Roberts-Austen³⁾ erwähnte Punkt Ar_0 wurde ebenfalls nachgewiesen, doch glauben die Autoren, dass sich die damit verknüpfte Zustandsänderung über ein grösseres Temperaturintervall als 50° C. erstrecken möge. Hierdurch bewirkte Strukturänderungen konnten nicht nachgewiesen werden.

Die folgende Tabelle gibt eine Zusammenstellung der Versuchsergebnisse.

Der Schmelzpunkt des reinen Eisens wurde zu 1505° C. bestimmt.

Ähnliche Schaulinien der Haltepunkte bei der Abkühlung von festen Eisenkohlenstofflegierungen wurden nach einer in der kgl.

1) Offenbar tritt eine Unterkühlung um so leichter ein, je weniger die Lösung mit Kohlenstoff übersättigt ist. D. Verf.

2) The Metallographist I, p. 63 (1898).

3) Zweiter Teil, S. 78.

| No. | Gesamt-C % | Gra- phit % | Sili- cium % | Schwe- fel % | Phos- phor % | Man- gan % | Erstarrung | | Arz. c. 4) Anfang |
|-----|---------------|-------------------|--------------------|--------------------|--------------------|------------------|--------------------|--------------------|----------------------|
| | | | | | | | Anfang | Ende | |
| 1 | 0,01 | — | — | — | 0,04 | Spur | — | — | — |
| 2 | 0,02 | — | 0,02 | 0,03 | 0,04 | " | 1504 ¹⁾ | 1470 ¹⁾ | — |
| 3 | 0,05 | — | — | — | — | — | — | — | — |
| 4 | 0,12 | — | — | — | — | — | 1504 ²⁾ | 1470 ²⁾ | — |
| 5 | 0,16 | — | 0,06 | 0,01 | — | — | 1498 ²⁾ | 1465 ²⁾ | — |
| 6 | 0,17 | — | — | — | — | — | 1497 ²⁾ | 1460 ²⁾ | — |
| 7 | 0,24 | — | — | — | — | — | 1492 ²⁾ | 1448 ²⁾ | — |
| 8 | 0,38 | — | 0,06 | 0,01 | 0,03 | Spur | 1479 ²⁾ | 1416 ²⁾ | — |
| 9 | 0,47 | — | 0,16 | 0,02 | 0,02 | " | 1482 ²⁾ | — | — |
| 10 | 0,53 | — | — | — | — | — | 1473 ²⁾ | 1404 ²⁾ | — |
| 11 | 0,61 | — | — | — | — | — | 1469 ²⁾ | 1391 ²⁾ | — |
| 12 | 0,80 | — | — | — | — | — | 1457 ²⁾ | 1351 ²⁾ | — |
| 13 | 0,80 | — | — | — | — | — | 1454 ²⁾ | — | — |
| 14 | 0,81 | — | — | — | — | — | 1460 ²⁾ | 1351 ²⁾ | — |
| 15 | 0,93 | — | — | — | — | — | 1443 ²⁾ | — | — |
| 16 | 1,31 | — | — | — | — | — | 1426 ²⁾ | 1286 ²⁾ | 883 |
| 17 | 1,51 | — | — | — | 0,02 | Spur | 1406 ²⁾ | 1244 ²⁾ | 911 |
| 18 | 1,69 | — | — | — | — | — | 1388 ²⁾ | — | 985 |
| 19 | 1,81 | — | 0,16 | 0,02 | — | — | 1383 ²⁾ | — | — |
| 20 | 1,85 | 0 | 0,09 | — | — | — | 1383 ²⁾ | 1179 ²⁾ | (1015 1030 |
| 21 | 1,97 | 0 | — | — | — | — | 1367 ²⁾ | — | (1042) |
| 22 | 2,12 | 0 | — | — | — | — | 1350 ²⁾ | 1110 ²⁾ | — |
| 23 | 2,21 | — | — | — | — | — | 1354 ²⁾ | 1107 ²⁾ | — |
| 24 | 2,25 | — | — | — | — | — | 1352 ²⁾ | 1122 ²⁾ | — |
| 25 | 2,25 | — | — | — | — | — | 1348 ²⁾ | 1122 ²⁾ | — |
| 26 | 2,47 | — | — | — | — | — | 1330 ²⁾ | 1134 ²⁾ | 1035 |
| 27 | 2,63 | — | — | — | — | — | 1305 ²⁾ | — | 1040 |
| 28 | 2,67 | — | — | — | — | — | 1306 ²⁾ | — | — |
| 29 | 2,74 | — | — | — | — | — | 1300 ²⁾ | 1139 ²⁾ | — |
| 30 | 2,85 | — | — | — | — | — | 1292 ²⁾ | 1139 ²⁾ | 1058 |
| 31 | 3,03 | 0 | — | — | — | — | 1277 ²⁾ | 1139 ²⁾ | — |
| 32 | 3,29 | 0,14 | — | — | 0,02 | — | — | 1141 ²⁾ | — |
| 33 | 3,42 | 1,80 | — | — | — | — | 1238 ²⁾ | 1114 ²⁾ | 1059 |
| 34 | 3,51 | 1,38 | — | — | — | — | 1230 ²⁾ | 1136 ²⁾ | — |
| 35 | 3,87 | 2,14 | 0,06 | — | — | — | 1190 ²⁾ | 1144 ²⁾ | 1090 |
| 36 | 3,98 | — | — | — | — | — | 1171 ¹⁾ | 1138 ¹⁾ | 1087 |
| 37 | 4,37 | — | — | — | — | — | 1136 ¹⁾ | 1136 ¹⁾ | — |
| 38 | 4,50 | — | 0,12 | — | — | — | 1146 ¹⁾ | 1146 ¹⁾ | 1087 |

mech. techn. Versuchsanstalt in Charlottenburg ausgeführten Untersuchungsreise von E. Heyn⁵⁾ publiziert.

1) 100% Platin gegen 90% Pt + 10% Ir (M_1).

2) 100% Platin gegen 90% Pt + 10% Ir (M_2).

3) 100% Platin gegen 90% Rh (M_3).

4) Durch direkte Kühlung ermittelt, während alle anderen Temperaturen nach der Differentialmethode bestimmt wurden.

5) Die Metallographie im Dienste der Hüttenkunde, p. 28.

| Ar_2 | | Ar_2 | | Ar_1 | | Ar_0 | No. |
|--------|--------------|--------|--------------|--------------|-----------------------|--------|-----|
| Anfang | Maximum | Anfang | Maximum | Anfang | Maximum ⁴⁾ | Anfang | |
| 901 | 900 | 784 | 762 | — | — | 616 | 1 |
| 900 | 890 | 795 | 762 | — | — | 600 | 2 |
| 905 | 884 | 780 | 762 | — | — | — | 3 |
| 894 | 888 | 774 | 762 | 693 | 688 | 600 | 4 |
| 872 | 837 | 771 | 762 | 697 | 693 | 576 | 5 |
| — | — | — | — | — | — | — | 6 |
| 890 | verschwunden | — | 762 | 696 | 693 | 611 | 7 |
| — | — | 778 | 762 | 700 | 699 | — | 8 |
| — | — | 777 | 762 | — | 703 | 587 | 9 |
| — | — | 762 | 730 | — | 700 | 617 | 10 |
| — | — | 780 | verschwunden | verschwunden | 699 | 593 | 11 |
| — | — | — | — | — | (704) | — | 12 |
| — | — | — | — | — | (695) | — | 13 |
| 774 | verschwunden | — | verschwunden | verschwunden | 706 (705) | — | 14 |
| 774 | " | — | " | " | 699 | 587 | 15 |
| 774 | " | — | " | " | (711) 695 | 600 | 16 |
| 768 | " | — | " | " | (713) 684 | 587 | 17 |
| 774 | " | — | " | " | (708) 710 | — | 18 |
| — | — | — | — | — | — | — | 19 |
| 783 | verschwunden | — | verschwunden | verschwunden | (711) 711 | — | 20 |
| — | — | — | — | — | (710) | — | 21 |
| — | — | — | — | — | (714) | — | 22 |
| 801 | verschwunden | — | verschwunden | verschwunden | 714 | 610 | 23 |
| — | — | — | — | — | — | — | 24 |
| — | — | — | — | — | (714) | — | 25 |
| 801 | verschwunden | — | verschwunden | verschwunden | 708 | 622 | 26 |
| 801 | — | — | — | — | 716 | 610 | 27 |
| — | — | — | — | — | — | — | 28 |
| — | — | — | — | — | — | — | 29 |
| — | verschwunden | — | verschwunden | verschwunden | 716 (715) | 613 | 30 |
| 777 | " | — | " | " | 702 (717) | 610 | 31 |
| — | — | — | — | — | — | — | 32 |
| 790 | verschwunden | — | verschwunden | verschwunden | 703 (714) | 610 | 33 |
| — | — | — | — | — | — | — | 34 |
| 770 | verschwunden | — | verschwunden | verschwunden | (716) 716 | 600 | 35 |
| — | — | — | — | — | 713 | 604 | 36 |
| — | — | — | — | — | (714) | — | 37 |
| 777 | verschwunden | — | verschwunden | verschwunden | 715 | 616 | 38 |

Die Konstitution der Schlacken.

Seit den schon im ersten Teile erwähnten Arbeiten hat J. H. L. Vogt sowohl als der Verfasser die physikalisch-chemische Seite der Frage nach der Konstitution der Schlacke weiter verfolgt, und sind unabhängig voneinander zu übereinstimmenden Ergebnissen gelangt.¹⁾

1) J. H. L. Vogt „One silikatsmelteløsinger og deres smeltepunkts nedsaettelse“ (Geol. fören. Förhandl. No. 213, Bd. XXIV); H. v. Jüptner:

Verfasser hat sich zunächst eines ähnlichen Koordinatensystems, wie Vogt, bedient, nur statt der Silicierungsstufe den von Zulkowski vorgeschlagenen Sättigungsgrad (d. i. das Molekularverhältnis $\frac{RO}{SiO_2 + R_2O_3}$) gewählt. In dieses Koordinatensystem wurden die von Vogt ermittelten Grenzen der verschiedenen Mineralgebiete sowohl, als die Åkermanschen Schmelzwärmen eingetragen und die Punkte gleicher Schmelzwärmen durch eine Art Schichtenlinien verbunden. Das so erhaltene Diagramm zeigt einen auffallenden Zusammenhang zwischen dem Verlaufe dieser Kurven und den Grenzen der einzelnen Mineralgebiete (Fig. 69).

Nun wurden durch dieses Graphikon Schnitte in der Weise gelegt, dass jeder dieser Schnitte einem gleichen Verhältnisse von $CaO:MgO$, aber wechselnden Sättigungsgraden entspricht. Wir wollen einzelne dieser Kurven näher betrachten:

Fig. 70.

1. CaO allein:

Maximum bei $\frac{SiO_2}{RO} = 0,9$; Schmelzpunkt von $Ca SiO_3$.

Minimum „ „ = 1,45; Übergang von $Ca SiO_3$ zu den Emailsclacken

2. $0,8 CaO + 0,2 MgO$:

Minimum bei $\frac{SiO_2}{RO} = 0,75$; Übergang von Åkermanit zu $Ca SiO_3$,

Maximum „ „ = 0,95; (Mg) $Ca SiO_3$,

Minimum „ „ = 1,3; Übergang von $Ca SiO_3$ zu Emailsclacken.

3. $0,7 CaO + 0,3 MgO$:

Knickung bei $\frac{SiO_2}{RO} = 0,6$; Übergang von Melilith zu Åkermanit,

„ „ „ = 0,75; Übergang von Åkermanit zu Augit,

Minimum „ „ = 1,2; Übergang von Augit zu Emailsclacken.

Fig. 71.

„Zur Kenntnis der Schlacken“ (Österr. Zeitschr. f. Berg- und Hüttenwesen 1902); Mitteilungen der Wiener mineralog. Gesellschaft 1904, No. 17.

4. $0,6 \text{ CaO} + 0,4 \text{ MgO}$:

Schwankung bei $\frac{\text{SiO}_2}{\text{RO}} = 0,65$; Übergang von Melilith zu Åkermanit.

Minimum „ „ = 0,72; Übergang von Åkermanit zu Augit.

Maximum „ „ = 0,90; Augit.

Minimum „ „ = 1,27; Übergang von Augit zu Emailsclacken.

5. $0,4 \text{ CaO} + 0,6 \text{ MgO}$:

Minimum bei $\frac{\text{SiO}_2}{\text{RO}} = 0,75$; Übergang von Olivin zu Augit.

Maximum „ „ = 0,88; Augit,

Minimum „ „ = 1,32; Übergang von Augit zu Emailsclacken.

Erschwerend ist beim Studium der Schlacken das im allgemeinen geringe Krystallisationsstreben, namentlich in der Nähe der eutektischen Punkte. Aus diesem Grunde treten hier wirkliche eutektische Gemenge relativ selten auf; häufig erscheinen statt derselben glasartige Massen (überkaltete Lösungen). In der Natur hingegen sind derartige eutektische Gemenge nicht gar so selten und treten oft in überraschend schöner Ausbildung auf (wie beispielsweise im Schriftgranit).

Ganz ein anderes Bild geben jene Schlacken, welche neben den RO-Basen auch R_2O_3 -Basen enthalten. So zeigt Fig. 72 die Schmelzwärmeurven der Kalkthonerde-Silikate. Die „Schichtenlinien“ stellen auch hier Kurven gleicher totaler Schmelzwärme dar. Auch sind die betreffenden Mineralgebiete nach den neuesten Untersuchungen Vogts eingezeichnet. Die punktierte Linie endlich stellt die Grenze der Spinellabscheidung dar.

Auf die neueste umfangreiche Arbeit Vogts¹⁾ kann hier leider nur ganz kurz eingegangen werden. Von besonderer Wichtigkeit ist die genauere Abgrenzung der verschiedenen Mineralgebiete und die Beobachtung, dass die Schnelligkeit der Abkühlung von bedeutendem Einflusse auf die Natur der ausgeschiedenen Mineralien ist. So scheiden sich bei rascher Abkühlung von Silikatschmelzen in vielen Fällen labiale Mischkrystalle ab, die bei langsamer Abkühlung nicht gebildet werden.²⁾

1) Die Silikatschmelzlösungen mit besonderer Rücksicht auf die Mineralbildung und die Schmelzpunkterniedrigung. Christiania 1903.

2) Es gilt eben auch hier der von Ostwald ausgesprochene Satz der stufenweisen Reaktionen, nach welchem in einem beliebigen System zunächst jene Reaktion eintritt, die zu dem wenigst stabilen Zustande des Systems führt, und erst von diesem Zustande und allmählich immer stabilere erreicht werden. Dieser Satz erklärt auch, warum bei langsamer Abkühlung aus Stahl Cementit, bei sehr langsamer aber Kohlenstoff ausgeschieden wird.

Das führt Vogt zur Anwendung der Roozeboomschen Studien über das Verhalten von Lösungen, aus welchen nicht die reinen Lösungskomponenten, sondern Mischkrystalle (also feste Lösungen) zur Ausscheidung gelangen. Bezüglich dieser Betrachtungen muss hier auf die Originalabhandlung verwiesen werden.

Sehr interessant sind seine Bestimmungen von Schmelzpunkten und Schmelzpunktserniedrigungen bezw. latenten Schmelzwärmen. Er benutzt dieselben zu Molekulargewichtsbestimmungen von Mineralien und findet, dass letztere den denkbar einfachsten Formeln entsprechen.

Auf diese Weise bestätigt er folgende Molekularformeln:

Olivin: Mg_2SiO_4 ,
 Augit (Diopsid): $CaMgSi_2O_6$,
 Anorthit: $CaAl_2Si_2O_8$,
 Melilith: $(Ca,R)_4Si_4O_{10}$ bis $(Ca,R)_3Al_2Si_2O_{10}$.

B. Zum zweiten Teile.

I. Spezifisches Gewicht.

Swedenborg fand (1721) das spezifische Gewicht des Eisens zu 7,8; Landolt und Börnstein geben (1894) dasselbe für reines Eisen zu 7,85 bis 7,88, für Stahl zu 7,60 bis 7,80 an.

Carl Benedicks¹⁾ veröffentlichte eine eingehende Studie über diesen Gegenstand, auf deren Details hier nur verwiesen werden kann. Das spezifische Volum (d. i. der reciproke Wert des spezifischen Gewichtes) des reinen Eisens ist nach ihm 0,1270; es wird durch die Gegenwart von je 1% der folgenden Elemente um nachstehende Grössen vermehrt:

| Element | Vergrößerung d. spez. Volums von Eisen durch 1% |
|----------------------------|--|
| <i>Mn</i> | 0,00006 |
| <i>P</i> | 0,00089 |
| <i>Si</i> | 0,00117 |
| <i>C</i> (Härtungskohle) . | 0,0018 |
| <i>Al</i> | 0,0025 |

1) Recherches physiques et physico-chimiques sur l'Acier au carbone
 Upsala (Leipzig) 1904, p. 24 ff.

Das spezifische Gewicht wurde ermittelt.

| | |
|--|-------------------|
| Reines Eisen | 7,85 (Benedicks), |
| Eisencarbid in Metnorit (Cohenit) 7,22—7,24 (Hintze), | |
| Künstliches Fe_3C | 7,07 (Moissau), |
| Perlit | 7,82 (Jüptner), |
| Carbid Fe_3C^1 etwa | 7,24 (Benedicks), |
| Carbid Fe_3C^2 in Eisen mit weniger als 1,26% C | 7,74 (Benedicks). |

2. Elastizitätsmodul.

Benedicks³⁾ stellt folgende Sätze auf:

1. Bei Kohlenstoffstahl verringert sich der Elastizitätsmodul mit wachsendem Kohlenstoffgehalt.
2. Wenn der Kohlenstoffgehalt des Stahles 1,3% überschreitet, so wächst der Elastizitätsmodul wieder, was auf die Gegenwart von Fe_3C zurückgeführt werden könnte.
3. Bei gehärtetem Stahl verringert sich der Elastizitätsmodul mit wachsendem Kohlenstoffgehalte; er ist stets niedriger als im nichtgehärteten Zustande.
4. Äquivalente Mengen von Kohlenstoff, Silicium und Nickel erniedrigen den Elastizitätsmodul gleich stark.

3. Härte.

Nach Benedicks⁴⁾ gelten folgende Sätze:

1. Die Härte des ausgeglühten Stahles wächst bekanntlich mit seinem Kohlenstoffgehalte. Dieser Härtezuwachs erfolgt jedoch nicht regelmässig: bei etwa 0,5% Kohlenstoff tritt eine plötzliche Vergrösserung der Härte ein.
2. Äquivalente Mengen von Silicium und Mangan vergrössern die Härte in gleichem Masse; dieser Einfluss ist jedoch sehr verschieden für Stähle mit weniger und solche mit mehr als 0,5% Kohlenstoff. Für erstere ist der Härtezuwachs für die 0,1% C

1) Benedicks glaubt mit Campbell u. Kenedy die Existenz eines solchen Carbides in kohlenstoffreichem Eisen annehmen zu können; ein solches wurde auch von Forchhammer im Meteoreisen von Niakornak gefunden (1854).

2) Diese Zahl stimmt genau mit der des Verfassers für Perlit gegebenen überein.

3) l. c.

4) l. c. p. 60 ff., wo näheres nachgelesen werden kann.

äquivalente Mengen *Si* oder *Mn* nur etwa halb so gross als für letztere. (Benedicks sucht die Ursache in der Gegenwart von α -Eisen in ersterem, während letztere β -Eisen enthalten.)

3. Der Einfluss der Härtungskohle ist sehr erheblich grösser als jener der früher besprochenen Elemente.

4. In ausgeglühtem Stahle liegt ein Härtemaximum bei einem Kohlenstoffgehalte von etwa 1%.

4. Elektrischer Leitungswiderstand.

Benedicks¹⁾ stellt das allgemeine Gesetz auf:

Gleichatomige feste Eisenlösungen besitzen gleichen elektrischen Leitungswiderstand. Dieses Gesetz ist für folgende Elemente erprobt: *C*, *Al*, *Si*, *P*, *Cr*, *Mn*, *Co*, *Ni*, *As*, *Mo*, *W*. Die Grösse dieses Leitungswiderstandes ergibt sich aus der Gleichung:

$$\delta = 7,6 + 26,8 \Sigma C \text{ Mikroohm pro } 1 \text{ cm}^2,$$

wovon

$$\Sigma C = C + \frac{12,0}{28,4} Si + \frac{12,0}{55,0} Mn \dots$$

Eisencarbid (Cementit) scheint — wenn ausgeschieden — keinen Einfluss auf den Leitungswiderstand auszuüben.

Ausgeglühter Stahl mit mehr als 0,5% *C* enthält (anscheinend) etwa 0,27% *C* gelöst.

Bei Stahl mit weniger als 0,5% *C* scheint sich die Menge des gelösten Kohlenstoffs mit dem Gesamtkohlenstoffgehalte zu verringern.

5. Magnetisches Verhalten.

Bezüglich des magnetischen Verhaltens muss auf Benedicks²⁾ verwiesen werden.

6. Ferronit.

Benedicks stellt am Schlusse seines Werkes³⁾ die Vermutung auf, dass in Stahl mit mehr als 0,5% *C* ein neues Strukturelement existiere, für das er den Namen Ferronit vorschlägt. Er führt hierfür folgende Gründe an:

1) l. c.

2) l. c. p. 135—172.

3) l. c. p. 172—206.

a) Löslichkeit bei Gegenwart von Carbür.

1. Der Kohlenstoff des ausgeglühten Stahles ist nicht allein als Cementkohlenstoff vorhanden.¹⁾

2. Osmond und Werth fanden bei der colorimetrischen Kohlenstoffbestimmung in einem Stahl mit 0,85% C unmittelbar nach der Auflösung in Salpetersäure eine Färbung, die einem Kohlenstoffgehalte von 1,12% entsprach. Die Differenz 1,12—0,85 = 0,27 entspricht jener Kohlenstoffmenge, welche bei normaler Durchführung der Eggertzprobe gasförmig entweicht (sie wurde zu 0,34% direkt ermittelt).

3) In gleicher Weise wies Jüptner²⁾ die Gegenwart von Härtungskohle in Stahl nach.

4. Ähnliches fand Ledebur (Handb. S. 321).

b) Löslichkeit bei Gegenwart von Graphit.

1. Osmond³⁾ fand in einem zweimal cementierten Stahl nach sehr langsamem Erkalten 1,38% Graphit und 0,24% gebundenen Kohlenstoff.

Ebenso fand Arnold³⁾ in einem Stahl mit 1,47% C nach 72stündigem Erhitzen 1,14% Graphit und daher 0,33% gebundenen Kohlenstoff.

2. Nach Howe enthält gewöhnliches Gusseisen um so weniger gebundenen Kohlenstoff, je höher der Si-Gehalt steigt.

Stansfield⁴⁾ fand in einem kohlenstoffreichen Gusseisen mit 3% Si nach langem Ausglühen nur 0,22% gebundenes C.

Andererseits fand Ledebur in einem Gusseisen mit 1% Si 2,40% Graphit; 0,73% Cementkohle und 0,17% Härtungskohle und Carnot und Gontal in einem Gusseisen mit 0,63% Si 0,80% Graphit und 2,45% gebundenen Kohlenstoff, wovon 0,32 „im Zustande eines nicht definierten Subcarbides.“

3. Nach Mannesmann⁵⁾ steigt die Löslichkeit des Kohlenstoffes in Eisen bei Gegenwart von Graphit mit der Temperatur.

1) Siehe zweiter Teil, S. 100.

2) Zweiter Teil, S. 165 ff.

3) Siehe zweiter Teil, S. 38.

4) Journ. Iron Steel Inst. 1900, II, S. 317.

5) Siehe zweiter Teil, S. 50.

Bei 400°C . beträgt sie $0,35\%$, was mit dem von Benedicks angenommenen $0,27\%$ bei gewöhnlicher Temperatur gut übereinstimmt.

4. Hiernach scheint die Löslichkeit des Kohlenstoffes in Eisen bei gewöhnlicher Temperatur bei Gegenwart von Carbid ziemlich ebensogross zu sein wie bei Gegenwart von Kohlenstoff.

5. Durch Anwendung der Van der Waalsschen Gleichung gelangt Traube, auf theoretische Betrachtungen gestützt, für die Löslichkeit des Graphites im Eisen zu $0,287$.

c) Dichte.

Nach Benedicks lässt sich das spezifische Volum des Stahles durch zwei gerade Linien darstellen, die sich bei einem Kohlenstoffgehalte von $1,25\%$ schneiden. Auch diese Erscheinung spricht für die Existenz einer festen Lösung mit etwa $0,27\%$ C.

d) Mechanische Eigenschaften.

Der Widerstand gegen das Zusammendrücken wächst nach Kirkaldy¹⁾ zwischen $0,3$ und $0,6\%$ C sehr rasch, bei weiter wachsendem Kohlenstoffgehalte aber viel langsamer.

Die Dehnung an der Bruchgrenze nimmt bis etwa $0,5\%$ C immer rascher, bei weiter wachsendem Kohlenstoffgehalte aber plötzlich sehr langsam ab.

e) Der elektrische Leitungswiderstand und das magnetische Verhalten

führt gleichfalls zu der Annahme einer festen Lösung mit $0,27\%$ C.

f) Mikrographische Thatsachen.

Benedicks²⁾ fand die Härte des Ferrites in einem Eisen mit $0,45\%$ C grösser als jene von Ferrit in einem Eisen mit nur $0,08\%$ C; freilich enthält ersteres $0,65\%$, letzteres nur $0,03\%$ Si.

Der Ferrit des Metalles II färbt sich mit Jodtinktur blassgelb, jener des Metalles I wird nicht gefärbt. Die durch die Ätzung bewirkten Korrosionen sind im ersteren Falle viel grösser und deutlicher erkennbar als im zweiten. Ebenso wie Metall II

1) Howe: Metallurgy of Steel, Tafel 7 A.

2) l. c. S. 180.

verhalten sich andere Stahlsorten mit grösseren Kohlenstoffgehalten. Ähnliches fand Guillet.¹⁾

Wenn man den Kohlenstoffgehalt eines Stahles kennt, so lässt sich sein Gehalt an Perlit berechnen. Man erhält verschiedene Werte, je nachdem man annimmt, dass der Ferrit keinen oder aber, dass er 0,27% C enthalte. Die unter letzterer Annahme berechneten Werte stimmen weit besser mit den unter dem Mikroskope gemessenen Perlitflächen, als erstere:

| C% im Stahl | Perlitgehalt in Prozenten | | |
|----------------|--|---------|-------------------------------|
| | Berechnet unter der Annahme dass, d. Perlit enthalte | | Mit Planimeter gemessen |
| | 0% C | 0,27% C | |
| 0,45 | 53 | 31 | 35 |
| 0,55 | 65 | 48 | 45 |

1) Acier au manganèse. Bull. soc. d. Encour. 105; Compt. Rend. 137 (1903), p. 480.

Litteratur.

I. Zum ersten Teile.

- Arnold, J. O., Practical problems in the Metallography of steel. The Metallographist 5, p. 228.
- Bankroft, Wilder D., Synthetic analysis of solid phases. Journ. phys. Chem. 6, p. 178; 1902.
- Barlow, G., Elektr. Leitungswiderstand. British Ass., Glasgow Meeting 1901.
- Barrett, Brown und Hadfield, Elektr. Leitungsvermögen und magnet. Permeabilität. Scient. Transact. Roy. Dublin Soc. 7, 2. Serie, p. 126.
- Bauer, O., Metallographie. Baumaterialkunde, 1904, 1. und 15. Januar.
- Benedicks, Carl, On fragments of cast-iron. The iron and steel metallurgist 1, p. 252.
- Recherches physiques et physico-chimiques sur l'acier au carbone. Upsala (Leipzig) 1904.
- Blum, L., Constitution der Hochofenschlacke. Stahl und Eisen, 1901, S. 1024.
- Campbell, E. D. und Kennedy, M. B., Probable existence of a new carbide of iron, Fe_3C . Journ. Iron Steel Inst. 1902, II, The Metallographist 6, p. 139.
- Campbell, W., Crystallisation produced in solid metal by pressure. The Metallographist 5, p. 57.
- The structure of metals and binary alloys. The Metallographist 5, p. 2-6.
- Carpenter und Keeling, Kritische Punkte in Eisen-Kohlenstofflegierungen. Journ. Iron Steel Inst. 1904, II.
- Charpy und Grenet Gleichgewicht in Eisen-Kohlenstoff-Systemen. Bull. Soc. d'Encour. März 1902. The Metallographist 8, p. 202.
- Child, A. T. und Heineken, W. P., Mikrostruktur von Gusseisen. Trans. Am. Inst. Min. Eng. 30, p. 734.
- Ewing und Rosenhain, The crystalline structure of metals. The Metallographist 5, p. 81.
- Fay, Henry und Badlann, Steffen, Wirkung des Ausglühens auf die physikal. Eigenschaften von Stahl. Technology Quarterly 13, p. 295.
- Gray, A., Magnet. Verhalten. British Ass. Glasgow Meeting 1901.
- Guillet, Acier au manganèse. Bull. Soc. d'Encour. 105, Compt. Rend. 137, p. 480; 1903.
- Guillet, Leon, Metallographie des Nickelstahles. Bull. Soc. d'Encour. 31. Mai 1903; The Metallographist 6, p. 274.

- Gumlich, E. und Schmidt, E. Magnet. Verhalten von Spezialstählen. *Elektrotechn. Zeitschr.* 22, S. 691.
- Hall, J. L., The microscope in engineering. The iron and steel *Metallurgist*, 1, p. 45.
- Hannover, H. J., Casting on Mica of Metallographic preparations. *The Metallographist*, 4, p. 29.
- Harrison, E. P. Thermoelektr. Verhalten. *Phys. Soc.*, 25. Oktober 1901; *Nature* 64, p. 667.
- Heyn, E., Labile und metastabile Gleichgewichte in Eisen-Kohlenstoff-Legierungen. *Zeitschr. f. Elektrochemie* 1904, S. 491.
— *Metallographie im Dienste der Hüttenkunde.*
- Houghton, S. A., The internal structure of iron and steel. *The Metallographist* 5, p. 256.
- Howard, J. E., Wirkung wiederholter Streckungen. *Iron Age*, 1901, p. 38, 8. August.
- Howe, H. M., Iron, Steel and other Alloys. New York 1903.
— The freezing point curve of binary alloys. *The Metallographist*, 5, p. 166.
— What is the essence of crystallhood? *The Metallographist*, p. 52.
- Ischewsky, W., Neue mikroskopische Gefügebestandteile auf der Oberfläche des gehärteten Stahles. *Stahl und Eisen* 1903, No. 2.
- Johnson, J. E. jun., Some unusual crystals of cast-iron. *The Metallographist* 6, p. 14.
- Jüptner, H. v., Beiträge zur Lösungstheorie. *Journ. Iron Steel Inst.* 1900 I, p. 219 *Stahl und Eisen* 1900, p. 878.
— Zur Kenntnis der Schlacken. *Österr. Zeitschr. f. Berg- u. Hüttenw.* 1902.
— Neuere Ergebnisse der metallurgischen Forschung. *Mitteilg. der Wiener geologischen Gesellschaft* 1904, No. 17 u. 18.
- Le Chatelier, H., Notes on the Technologie of microscopic Metallography. *The Metallographist* 4, p. 1.
— Microscopy and Metallurgy of steel. *The Metallographist* 5, p. 240.
- Nomenclature of Metallography. *Journ. Iron Steel Inst.* 1901 ff.
- Osmond, Fl., Imperfect equilibrium in alloys. *The iron and steel metallurgist* 1, p. 480.
— Note on some Instances of superficial hardening. *The Metallographist* 4, p. 23.
— und Cartaud, Crystallography of Iron. *The Metallographist* 4, p. 119, 236.
— — Metallmikroskopie und Mechanik. *Baumaterialkunde* 1901, S. 282.
— — Meteoreisen. *Compt. Rend.* 1903, 14. Dez.
— — Sur les fers météoriques. *Revue de Métallurgie* 1904, p. 69.
- Richards, M. A., Photo-microscopy of metals as practiced by steel-companies. *The Metallographist* 6, p. 70.
- Roberts-Austen, The microstructure of steel. *Engineering* 1904, 5. Febr.
- Roozeboom, Über die Anwendung der Phasenlehre auf die Gemische von Eisen und Kohlenstoff. *Zeitschr. f. Elektrochemie* 1904, p. 489.
- Saladin, E., New autographic method to ascertain the critical point of steel and steel alloys. *The iron and steel Metallurgist* 1, p. 237.
- Jüptner, *Grundsätze der Siderologie* III.

- Sauveur und Whiting, The detection of the finishing temperatures of steel rails by the thermo-magnetic selector. The Iron and Steel Metallurgist 1, p. 503.
- Stead, J. E., Notes on the structure of an alloy, which on freezing, separates into solid solutions and a eutectic. The iron and steel metallurgist 1, p. 258.
- Metallic Alloys. The Metallographist 5, p. 110.
- The segregatory and migratory habit of solids in alloys and in steel below the critical points. The iron and steel Metallurgist 1, p. 139.
- Tammann, G., Über Glasbildung und Entglasung. Zeitschr. f. Elektrochemie 1904, S. 532.
- Turner-Thomas, Semi-solid state in Metals. The iron and steel Metallurgist 1, p. 508.
- Vogt, J. H. L., On silikatsmelteløsinger og deres smeltepunkts nedsættelse. Geolog. fören. Förhandl. No. 213. Bd. 24.
- Die Silikatschmelzlösungen mit besonderer Rücksicht auf die Mineralbildung und die Schmelzpunktserniedrigung. Christiania 1903.
- Zulkowski, K., Erhärtungstheorie d. hydr. Kalke. Chem. Industr. 1901.
- Über die Konstitution des Glases. Chem. Industr. 1899, S. 290.

II. Zum zweiten Teile.

- Ångström, Knut, Hysteresis-Curven. The Phys. Review 1900, p. 74.
- Arnold, J. O., Properties of Steel-castings. Journ. Iron Steel Inst. 1901 I.
- Arnold und Waterhouse, The influence of sulphur and manganese on steel. Journ. Iron Steel Inst. 1903 I
- Bach, C., Arbeitsvermögen und Elasticität von Gusseisen. Zeitschr.-Ver. d. Ing. 1900, p. 409.
- Festigkeit von Stahlguss bei gewöhnlicher und hoher Temperatur. Zeitschr.-Ver. d. Ing. 12. und 19. März 1904.
- Barrett, W. F., The electric and magnetic properties of alloys of iron. The Iron and Steel Metallurgist 8, p. 62.
- Bearshaw's sorbitic steel. The iron and Steel Metallurgist 7, p. 41.
- Behn, U., Atomwärme. Chem.-Ztg. 1900, Repert, p. 97.
- Belloc, G., Thermoelektr. Verhalten. L'Industrie 1900, 7. Okt. p. 6; Stahl und Eisen 1900, S. 1128.
- Benedicks, Carl, Der elektr. Leitungswiderstand des Stahles und d. reinen Eisens. Zeitschr. f. phys. Chemie 40, S. 5
- Recherches physiques et physico-chimiques sur l'Acier au carbone. Upsala (Leipzig) 1904.
- Blair, A. A., A crystalline sulfide in pig-iron. Trans. Am. Inst. Ming. Eng. Febr. 1901.
- Böhler, Otto, Wolfram- und Rapidstahl (Wien 1904).
- Boudouard, O., Determination of the points of allotropic changes of iron by the measurement of the variations in the electric resistance. Journ. Iron Steel Inst. 1903, I.

- Boynton, H. C., On Troostite. Journ. Iron Steel Inst. 1904, I.
 — Sorbitic Steel. The Iron and Steel Metallurgist 7, p. 470.
 Breuil, Pierre, Relations between the effects of stresses slowly applied and stresses suddenly applied. Journ. Iron Steel Inst. 1904, I.
 Carr, W. M., Steel castings and their treatment. The Metallographist 6, p. 316.
 — Annealing of steel castings. The Metallographist 5, p. 58.
 Charpy und Grenet, Umwandlung des Stahles nach der dilatometrischen Methode. Compt. Rend., 10. März 1903; the Metallographist 6, p. 240.
 Cheever, W., The segregation of impurities in Bessemer-Steelingots. Trans. Amer. Inst. Min. Eng. 13, p. 167.
 Colby, A. L., Einfluss des Kupfers. Stahl und Eisen 1900, S. 54.
 Dormus, A. R. v., Studien und Betrachtungen über Ungleichmässigkeitserscheinungen des Stahlschienenmaterials. Zeitschr. österr. Ing. u. Archit.-Ver. 1896, S. 191, 205, 221.
 — Weitere Studien über Schienenstahl. Zeitschr. österr. Ing. u. Archit.-Ver. 1898, S. 635, 648, 665, 678, 697.
 Dudley, The rolling and structure of steel rails. The Metallographist 6, p. 111.
 Dudley, Charles, Alternate bending stresses. The iron and steel metallurgist 7, p. 134.
 Eccles, H., An imperfection in mild steelplates. Journ. Iron Steel Inst. 1888, I, p. 70; Stahl und Eisen, 1888, S. 740.
 Eutectic or benmutic? The Metallographist 6, p. 167.
 Ewing und Humphrey, The fracture of Metals under repeated alternations of stress. The Metallographist 6, p. 96.
 Galy-Aché, Allotropie des Eisens. Stahl und Eisen 1900, S. 613.
 Göransson, K. Fr., The effect of reheating upon the coarse structure of overheated steel. The Metallographist 5, 216.
 Gray, A., Blyth, V. J. und Dunlop, J. S., Einfluss von Temperaturänderungen auf d. Elastizität. Rev. gén. des sciences 1900, 15. Okt., p. 1112.
 Guillaume, C. E., Non expansive Alloys. The Metallographist 6, p. 162.
 Guillet, Léon, Chromstahl. Revue de Métallurgie 1, No. 3.
 — Siliciumstahl. Revue de Métallurgie 7, No. 1.
 Hadfield, R. A., Iron and steel Alloys. The iron and steel Metallurgist 7, p. 3.
 — Alloys of Iron and Tungsten. Journ. Iron Steel Inst. 1903, II.
 Hall, E. H., Wärmeleitungsvermögen. The phys. Review 1900, Juli-Heft, p. 277.
 Hall, J. L., Effect of superheated steam upon the tensile strength of alloys. The Metallographist 6, p. 3.
 Heyn, E., Die Umwandlung des Kleingefüges durch Formänderung im kalten Zustand und darauffolgendes Ausglühen. Zeitschr. Ver. d. Ing. 1900, S. 433.
 — Mikroskopie bei Prüfung der Werkzeugstähle. Stahl u. Eisen, 1901, p. 977.
 — Die Überhitzung von weichem Stahl. Journ. Iron Steel Inst. 1902, II.
 — Kurzer Bericht des metallogr. Labor. in Charlottenburg. Internat. Kongress f. Materialprüfung, Budapest 1901.
 — und Glinz, K., Zur Beurteilung des Roheisens nach dem Gefüge. Stahl und Eisen 1900, S. 86, 100.

- Howe, H. M., Eutectic or aeolic? *The Metallographist* 6, p. 245.
- The constitution and thermal treatment of steel. *The Metallographist* 6, p. 85.
- The constitution of Cast-iron. *The Metallographist* 6, p. 203.
- Influence of silicon and sulfur on carbon in pig-iron. *Trans. Amer. Inst. Ming. Eng.* 80, p. 719.
- Job, Robert, Steel rails: Structure and durability. *The Metallographist* 5, p. 177.
- Jüptner, H. v., On the simultaneous presence of Ferrite and Cementite in steel. *The iron and steel Metallurgist* 7, p. 98.
- Kamps, H., Untere Grenze des kritischen Punktes. *Stahl u. Eisen* 1900, S. 988.
- Kirk, E., Bruchaussehen des Roheisens. *Am. Manufacturer* 1900, 21. Juni, p. 506.
- Kreutzpointner, P., Veränderung des Gefüges durch Erschütterungen. *Kraft und Licht* 1900, No. 2, S. 18.
- Krieger, R., Permeabilitätscurve. *Stahl und Eisen* 1900, S. 1183.
- Le Chatelier, H., Allotrope Umwandlung des Eisens. *Zeitschr. f. angew. Chemie* 1900, S. 910.
- Elektrischer Leitungswiderstand von Stahl. *Compt. Rend.* 1903; *The Metallographist* 6, p. 313.
- The brittleness of steel. *The Iron and Steel Metallurgist* 7, p. 125.
- Ledebur, A., Altes und neues vom Eisen. *Stahl und Eisen* 1886, S. 143.
- Über fehlerhafte Stellen in Zerreißproben aus Flusseisen. *Stahl und Eisen* 1889, S. 13.
- Leyde, Oskar, Festigkeit und Struktur von Gusseisen. *Stahl u. Eisen* 1904, 15. Januar.
- Lipin, W., Einfluss des Kupfers. *Stahl und Eisen* 1900, S. 536, 583.
- List, K., Einfluss des Kupfers. *Stahl und Eisen* 1900, S. 692.
- Longmuir, Percy, Influence of varying casting temperature on the properties of steel and iron castings. *Journ. Iron Steel Inst.* 1904, I.
- Loss, H. L., Gefügeveränderungen des Stahles bei seiner Verarbeitung. *Iron Age* 1900, No. 6, p. 6; *Journ. Franklin Inst.* 1899, Dez., 1900, Januar; *Kraft und Licht* 1900, S. 428, 445.
- Martens, A., Das mikroskopische Gefüge von Flusseisen in gegossenen Blöcken. *Mitteilg. d. kgl. techn. Versuchsanstalt* 1893, S. 274.
- Saigerung in Eisen- und Stahlgüssen. *Stahl und Eisen* 1894, S. 797.
- Martin, S. S., Rail Rolling at lower Temperatures. *The Metallographist* 5, p. 191.
- Mathews, J. Al., Metallic conduction and the constitution of alloys. *Journ. Iron Steel Inst.* 1902, I.
- Melland, G. und Waldron, H. W., Einfluss des Aluminiums auf den Kohlenstoff im Gusseisen. *Journ. Iron Steel Inst.* 1900, II, p. 244.
- Mohr, O., Fließfiguren und Elastizitätsgrenze. *Zeitschr. Ver. d. Ing.* 1900, S. 1524.
- Moldenke, R., Malleable cast iron. *The Iron and Steel Metallurgist* 7, p. 159.
- Munker, E., Gase im Roheisen. *Stahl und Eisen*, 1. Januar 1904.

- Nichols, E. L., Ausdehnungskoeffizient. Österr. Zeitschr. f. Berg- u. Hüttenwesen 1900, S. 144.
- Nickelstahl. The Metallographist 6, p. 64.
- Osmond, Eutectic or bainitic? The Metallographist 6, p. 243.
- , Fremont und Cartaud, Bruch von Eisen und weichem Stahl. Compt. Rend., 25. Nov. 1903.
- Outerbridge, A. E., Einfluss der Temperatur auf das Gefüge des Guss-eisens. Journ. Franklin Inst. 1900, Nov., S. 329; Dez., S. 460.
- Riemer, A., Inhomogenität der weichen basischen Martinblöcke. Stahl und Eisen 1902, S. 269.
- Ruhfus, A., Über Saigerungen im Flusseisen. Stahl und Eisen 1897, S. 41.
- Einfluss des Kupfers. Stahl und Eisen 1900, S. 691.
- Rudeloff, M., Einfluss der Wärme. Mitteilg. kgl. techn. Versuchsanstalt Berlin 1900, No. 6, S. 293.
- Schäfer, Cl., Einfluss der Temperatur auf die Elastizität. Stahl und Eisen 1900, S. 1024.
- Sauveur, Aib., Structure and finishing Temperature of steel rails. The Metallographist 5, p. 197.
- und Boynton, Note on the influence of the rate of cooling on the structure of steel. The Metallographist 6, p. 148.
- Schrott and Case, The physical properties of Cast-steel (teilweise in The Metallographist 6, p. 262).
- Snelus, G. S., The distribution of Elements in steel-ingots. Journ. Iron Steel Inst. 1881, I, p. 379; Glasers Ann. 9, p. 179.
- Spüller, J., Zur Kenntnis der Theorie der sogenannten Rapid- oder naturharten Stähle. Chem.-Ztg. 1903, No. 16.
- Stead, J. E., Alloys of Copper and Iron. Journ. Iron Steel Inst. 1901, II.
- Stead und Richards, Sorbitic steel rails. Journ. Iron Steel Inst. 1903, II.
- Stevens, J. S., Einfluss der Magnetisierung auf die Elastizität. Phys. Review 1900, März, p. 161.
- The heat treatment of Steel. Sixth report of the Alloy Research Committee. Engineering, 26. Februar 1904.
- The Taylor-White-process of treating tool-steel. The Metallographist 6, p. 130.
- Trowbridge, C. C., Spezifische Wärme. Österr. Ztschr. f. Berg- u. Hüttenwesen 1900, S. 144.
- Tschernoff, D. K., Untersuchungen über die Struktur der Stahlingots. Ztschr. d. berg- u. hüttenm. Ver. f. Steiermark u. Kärnten 1880, S. 307.
- Wedding, H. und Fischer, F., Eisen und Wasserstoff. Stahl und Eisen 1903, 15. Nov.
- Weinberg, G., Einfluss der Saigerungen. Gorny Journal 1900, Dez. p. 307.
- Wells, G. J., Magnetische Eigenschaften. Iron and Coal Trade Review 1900, 16. Nov., p. 991.
- Williams, F. H., Einfluss des Kupfers. Iron Age 1900, 29. Nov., p. 16.

Zum dritten Teile.**A. Über chemisches Gleichgewicht.****a) Grössere Werke.**

- Deville, Henry Sainte-Claire: *Leçon sur la dissociation, professées en 1864 devant la société chimique de Paris.*
- Jüptner, H. v., *Lehrbuch der physikal. Chemie für technische Chemiker u. zum Gebrauche an technischen Hochschulen u. Bergakademien 1903, 1904.*
- Nernst, W., *Theoretische Chemie vom Standpunkte der Avogadroschen Regel und der Thermodynamik. 4. Auflage. Stuttgart 1904.*
- Ostwald, W., *Grundriss der allgemeinen Chemie. 3. Auflage. Leipzig 1899.*
— *Lehrbuch der allgemeinen Chemie. 2. Auflage. Leipzig 1903.*
- Roozeboom, *Die heterogenen Gleichgewichte vom Standpunkte der Phasenlehre. Braunschweig 1901.*
- Van't Hoff, *Acht Vorlesungen über phys. Chemie. Braunschweig 1903.*
— *Études de Dynamique chimique.*
— *Vorlesungen über theoretische und allgemeine Chemie. 2. Auflage. Braunschweig 1903.*
— *Zinn, Gyps und Stahl. Leipzig 1902.*

b) Abhandlungen.

- Jüptner, H. v., *Der Schwefelgehalt von Schlacken und Hüttenprodukten. Stahl und Eisen 1902, No. 7.*
— *The sulfur content of slags and other metallurgical products. Journ. Iron Steel Inst. 1902, I.*
- Le Chatelier, H., *Recherches expérimentales et théoriques sur les équilibres chimiques. Ann. d. Mines, 8^{me} Serie, T. 13.*

B. Allgemeines über das Verhalten von Eisen zu Agentien.**a) Grössere Werke.**

- Beckert, *Leitfaden der Eisenhüttenkunde. 2. Auflage. Berlin 1898.*
- Bell, J. Lowthian, *Über die Entwicklung und Verwendung der Wärme in Eisenhöfen verschiedener Dimensionen. Deutsch von P. Tunner. Leipzig 1870.*
— *Principles of the manufacture of Iron and Steel. London 1884.*
- Deville, Henry Sainte-Claire, *Leçon sur la dissociation, professées en 1864 devant la société chimique de Paris.*
- Howe, H. M., *The Metallurgy of Steel. New York 1890.*
- Jüptner, H. v., *Compendium der Eisenhüttenkunde, Wien 1896.*
- Ledebur, *Handbuch der Eisenhüttenkunde. 4. Auflage. Leipzig 1902—1903.*
- Schinz, C., *Dokumente betreffend den Hochofen. Berlin 1868.*
- Tholander, *Experimentelle Untersuchungen über die Reduktion von Eisenerzen. Deutsch von J. v. Ehrenwerth. Wien 1878.*
- Wedding, *Ausführliches Lehrbuch der Eisenhüttenkunde. 2. Auflage.*

b) Abhandlungen.

- Abel, Frederic, On the Liqation of phosphides from solidifying Cast-iron. Percy's Metallurgy of Iron and Steel, 1864, p. 64.
- Arnold, J. O., Diffusion des Schwefels. Journ. Iron Steel Inst. 1899, I, p. 80.
- und Mac William, The physical Influence of Elements of Iron. Journ. Iron Steel Inst. 1894, I., p. 107.
- Åkerman, R., Über die Reduktion der Eisenerze. Stahl und Eisen 1883, S. 149.
- Bell, J. Lowthian, Reduktion von Eisenoxyd. Journ. Iron Steel Inst. 1871, I, p. 85.
- Berthelot, Zerfall von Kohlenoxyd. Compt. Rend. 112, p. 394; Ann. chim. phys. 6^{ème} Serie, 14, p. 126.
- Boudouard, Octave, Thèses. Paris 1902.
- Buchner, Gmelin's Handbuch. 5. Bd.
- Campbell, E. D., Diffusion des Schwefels. Journ. Iron Steel Inst. 1897, II, p. 80.
- Carnot, A., Elemente im Eisen. Compt. Rend. (diverse Bände).
- Caron, Zerfall von Kohlenoxyd. Compt. Rend. 52, p. 1190.
- Charpy, G. und Grenet, L., Eisen und Kohlenstoff. Bull. Soc. d'Encour., März 1902,
- Deville, Henry Sainte-Claire, Dissociation. Compt. Rend. 59, p. 878, 60, p. 317.
- Dumas, L., Nickelstahl. Ann. d. Mines, April, Mai, Juni 1902.
- Fittig, Grundriss der unorganischen Chemie, S. 343.
- Gruner, Zerfall von Kohlenoxyd. Compt. Rend. 123, p. 28; 124, p. 226.
- Jüptner, H. v., Der Schwefelgehalt von Schlacken und Hüttenprodukten. Stahl und Eisen 1902, No. 7.
- The sulfur contents of slags and other metallurgical products. Journ. Iron Steel Inst. 1902, I.
- Veränderungen beim Schweißen. Österr. Zeitschr. f. Berg- u. Hüttenwesen 1894, No. 20, S. 237.
- Le Chatelier, H., Spez. Wärme der Kohle. Zeitschr. f. phys. Chemie 12, S. 530.
- Dissociation der Kohlensäure. Zeitschr. f. phys. Chemie II.
- und Ziegler, Schwefel und Eisen. Bull. Soc. d'Encour, September 1902.
- Lencouchez, Kritischer Punkt. Mém. Soc. des Ing. civiles, Mai 1887.
- Moissan, Reduktion von Eisenoxyd. Ann. chim. phys. 5^{ème} Serie, T. 21, p. 199 (1880).
- Osmond, Etudes métallurgiques. Ann. d. Mines 1888, Juli—August.
- Platz, Verbranntes Eisen. Stahl und Eisen 1885, S. 472.
- Roozeboom, Eisen und Stahl vom Standpunkte der Phasenlehre. Zeitschr. f. phys. Chemie 34, 4, p. 437; Journ. Iron Steel Inst. 1900, II, p. 311.
- Royston, Cementationsprocess. Journ. Iron Steel Inst. 1897, I.
- Senarmont, Ann. de chim. et de phys. 1831, 32, p. 146.
- Schlagdenhauffen und Pagel, Zerfall von Kohlenoxyd. Compt. Rend. 128, p. 311.

- Schneider, L., Eisenphosphid. Österr. Zeitschr. f. Berg- u. Hüttenwesen 1886, S. 786.
- Schützenberger, Zerfall von Kohlenoxyd. *Traité de chim. générale* II, p. 475.
- Stead, J. E., Eisen und Phosphor. *Journ. Iron Steel Inst.* 1900, II.
- Phosphoraußsagerungen. *Journ. Cleveland Inst. of Eng.* 1875—76.
- Stammer, Zerfall von Kohlenoxyd. *Pogg. Ann.* 1851, p. 136; 1853, p. 135.
- Tiemann, Hugh P., Abscheidung von Graphit und Temperkohle im Roheisen. *The Metallographist* 1891, p. 313.
- Trevor, J. E. und Kortright, F. J., On chemical Equilibria as Temperature-Functions. *Am. chem. Journ.* 16, 1894, p. 611.
- Wiborgh, Reduktion von Eisenerzen. *Stahl und Eisen* 1897, S. 804, 858.

C. Hochofenprozess.

a) Grössere Werke.

- Åkerman, R., Studien über die Wärmeverhältnisse des Eisen-Hochofenprozesses. Deutsch von P. Tunner. Leipzig 1872.
- Beckert, Leitfaden der Eisenhüttenkunde. 3. Auflage.
- Bell, J. Lowthian, Über die Entwicklung und Verwendung der Wärme in Eisenhöfen verschiedener Dimensionen. Deutsch von P. Tunner. Leipzig 1870.
- Principles of the Manufacture of Iron and Steel, with some notes on the economic conditions of their production. London 1884.
- Dürre, E. F., Die Anlage und der Betrieb der Eisenhütten, Bd. II. Leipzig 1883.
- Die Hochofenbetriebe am Ende des 19. Jahrhunderts. Berlin 1901.
- Gruner, M. L., Analytische Studien über den Hochofen. Deutsch von J. H. Steffen. Wiesbaden 1875.
- Jüptner, H. von, Kompendium der Eisenhüttenkunde. Wien 1896.
- Ledebur, Handbuch der Eisenhüttenkunde. 4. Auflage. Band II. Leipzig 1902.
- Wedding, Ausführliches Lehrbuch der Eisenhüttenkunde. 2. Auflage.

b) Abhandlungen.

- Amerikanischer Hochofenbetrieb, Anblasen, Brennstoffverbrauch, Erzeugung, Windmenge u. s. w. *Stahl und Eisen* 1891, S. 985.
- Anderson und Lean, Reduktion von Eisenoxyden. *Soc. of Chem. Indust. Iron and Coal Trade review* 1900, 30. März, p. 602.
- Anwendung von Steinkohlen beim Hochofenbetriebe. *Berggeist* 1869, S. 313.
- Åkerman, Rich., Über die Reduktion oxydierten Eisens durch Kohlenoxyd. *Stahl und Eisen* 1883, S. 149.
- Bauer, E. und Glaessner, A., Gleichgewicht der Eisenoxyde mit CO und CO₂. *Zeitschr. f. phys. Chemie* 43, p. 354.
- Bell, Lowthian, On the reduction of ores of iron in the blast-furnace. *Journ. Iron Steel Inst.* 1887, II, p. 74.
- On the use of caustic lime in the blast-furnace. *Journ. Iron Steel Inst.* 1894, II, p. 38; *Stahl und Eisen* 1894, S. 1011.

- Bell, Lowthian, The use of raw coal in the blast-furnace. Journ. Iron Steel Inst. 1884, p. 18; Stahl und Eisen 1884, S. 332.
- Vergleichende Betriebsresultate bei Holzkohlen- und Kokshochöfen. Österr. Zeitschr. f. Berg- u. Hüttenw. 1882, S. 478; Stahl u. Eisen 1882, S. 604.
- Bjerregaard, S. P., The calculation of limestone charges for iron-blast-furnaces. Iron Age 52, p. 609.
- Blum, L., Zur Konstitution der Hochofenschlacken. Stahl und Eisen 1901, p. 1024.
- Bodländer, Beiträge zur Theorie einiger technischer Reductions- und Oxydationsprozesse. Zeitschr. f. Elektrochemie 1902, S. 838.
- Bose, Elektromotorische Kraft der Knallgaskette. Zeitschr. f. anorg. Chemie 30, S. 406 (1902).
- Boudouard, O., Thèses. Paris 1902.
- Braithwaite, Reduktion der Eisenerze. Chem. News 72, p. 211 (1895).
- Brezgunow, A., Calorische Studien. Gornij Journal, 1901, p. 73.
- Bunsen, Rob., Über die gasförmigen Produkte des Hochofens und ihre Benutzung als Brennmaterial. Pogg. Ann. Bd. 46, p. 489.
- Cochrane, C., Hochofenbilanz. Proc. Inst. Mech. Eng. London; Stahl und Eisen 1892.
- Über die Erfolge der Verwendung von gebranntem Kalkstein beim Hochofenbetriebe. Stahl und Eisen 1890, S. 29.
- On the relative merits of limestone and lime in blast-furnace practice. Journ. Iron Steel Inst. 1898, I, p. 69.
- Cyan im Hochofen. Ann. d. Chem. u. Pharm. 47, 1843.
- Das Hängen der Gichten in den Hochöfen. Stahl und Eisen 1892, S. 114, 336, 467, 528, 582.
- Enigl, A., Über Mitverwendung von Maschinentorf beim Hochofenbetriebe. Zeitschr. d. berg- u. hüttenm. Vereins für Steiermark u. Kärnten 1879, S. 260.
- Fackenthal, B. F. jun., Anflug von Kieselsäure auf Roheisen. Trans. Amer. Inst. Min. Eng. 1900, p. 524.
- Foster, J., The thermal efficiency of the blast-furnace. Journ. Iron Steel Inst. 1904, I.
- Foster, O. R., Entschwefelnde Wirkung von Kalk und Magnesia. Stahl u. Eisen 1901, S. 1203.
- Frank, L., Untersuchung eines interessanten Hochofenerzeugnisses. Stahl u. Eisen 1897, S. 449, 485.
- Friderici, F., Über Verwendung von Braunkohlen im Hochofen. Österr. Zeitschr. f. Berg- u. Hüttenw. 1882, S. 1.
- Gauthier, F., Les alliages ferro-métalliques. Ferro-Manganèse. Bull. Soc. Indust. min. 1889, p. 851.
- Gruner, L., Notes sur les hauts-fourneau belges à l'occasion du mémoire de M. Jaumain sur la température et la composition des gaz sortant du gueulard. Ann. d. Mines, 7^{ème} Serie 20, p. 336.
- Hahn, Oscar, Wassergasgleichgewicht. Zeitschr. f. phys. Chemie 42, S. 705 (1903), 44, S. 513 (1903).

- Hersam, E. A., The calculation of slags. Trans. Amer. Inst. Ming. Eng. Februar 1901.
- Heyrowski, E., Über Verwendung roher Braunkohlen beim Hochofen. Zeitschr. d. berg- u. hüttenm. Ver. f. Steiermark u. Kärnthen 1875, S. 135.
- Hilgenstock, G., Über das Verhalten des Phosphors im Hochofen. Stahl u. Eisen 1884, S. 2.
- Howe, H. M., Kieselsäure auf Roheisen. Trans. Am. Inst. Ming. Eng. 1900, p. 1118.
- Hubendick, Ed., Gasverhältnisse beim Hochofen. Jernkont. Ann. 1901. No. 5 und 6.
- Jantzen, G., Holzkohlen und Koks im Hochofenbetriebe. Stahl und Eisen 1886, S. 83.
- Jaumain, A., De la composition et de la temperature des gaz des hauts-fourneaux. Ann. d. Mines 7^{ème} Série 20, p. 323.
- Jenkins, H. C., A graphic method for calculating blast-furnace charges. Journ. Iron Steel Inst. 1891, I, p. 151.
- Jüptner, H. v., Anwendung von Gichtgasanalysen zur Kontrolle des Hochofenganges. Österr. Zeitschr. f. Berg- u. Hüttenw. 1895, S. 430.
- Der Schwefelgehalt von Schlacken und Hüttenprodukten. Stahl u. Eisen 1902, No. 7.
- The sulfur contents of slags and other metallurgical products. Journ. Iron Steel Inst. 1902, I.
- Zur Theorie des Hochofenprozesses. Baumaterialkunde 1900, S. 101.
- Kjellberg, N., Über das Verhalten der Phosphorsäure im Hochofen. Stahl u. Eisen 1892, S. 1011; Jernkont. Ann. 1892, p. 191.
- Koch, K. L., Das Hängen der Gichten in Hochöfen. Stahl u. Eisen 1898, S. 744.
- Kupelwieser, Fr., Studien über die Verwendung von Braunkohlen beim Hochofenbetriebe. Zeitschr. d. berg- u. hüttenm. Ver. f. Steiermark und Kärnten 1881, S. 260.
- und Schöffel, R., Beiträge zum Studium des Hochofenprozesses. Jahrb. der österr. Bergakademien 21.
- Langbridge, C., Hochofenschmelzen mit Wassergas. Am. Manufact. 1900, 13. Sept. p. 208.
- Le Chatelier, H., Dissociation des Calciumcarbonates. Compt. Rend. 102, p. 1243 (1886).
- Bildungswärme des Eisenoxydul. Compt. Rend. 120, p. 623 (1895).
- Ledebur, A., Kieselsäure auf Roheisen. Stahl u. Eisen 1900, No. 11, S. 582.
- Zur Theorie der Manganhochöfen. Glasers Ann. 8, 1881, p. 450.
- Limbor, Über die Einwirkung der Hochofengase und der Alkalien auf das Zustellungsmaterial der Hochöfen. Wochenschr. d. Ver. d. Ing. 1878, S. 250.
- Lürmann, F. W., Über die Zusammensetzung und Temperatur der Hochofengase. Zeitschr. d. Ver. d. Ing. 1882, S. 266.
- Meinecke, Chr., Chlorverbindungen im Hochofen. Berg- u. hüttenmänn. Zeitung 1875, S. 47.
- Moldenke, R., Schmelzen von Roheisen. Stahl u. Eisen 1899, No. 1.

- Mrázek, W., Über stöchiometrische Entwürfe von Eisenhochofenbeschickungen und Hilfstabellen für dieselben. *Jahrb. d. österr. Bergakadem.* 18, S. 282
- Schnelle stöchiometrische Methode zum Entwerfen von Eisenhochofenbeschickungen. *Jahrb. d. österr. Bergakadem.* 19, S. 375.
- Naumann und Pistor, Zerfall von Kohlenoxyd. *Ber. d. chem. Ges.* 18, 1885, p. 1647.
- Nernst, Bildungsenergie der Kohlensäure. *Theoret. Chemie*, 3. Aufl. S. 639.
- Osann, B., Berechnung der Windmenge und der Windverluste. *Stahl und Eisen* 1901, S. 905
- Berechnung der Zusammensetzung der Hochofengase. *Stahl und Eisen* 1901, S. 905.
- Berechnung der Zusammensetzung der Hochofengase, der in den Hochofen eingeführten Windmenge und der Windverluste. *Stahl u. Eisen* 1901, S. 906.
- Interessante Erscheinungen beim Hochofengange und ihre Erklärung. *Stahl und Eisen* 1902, S. 258.
- Störungen im Hochofengange. *Stahl und Eisen* 1901, S. 1277.
- Platz, B., Über Berechnung des Kalksteinzuschlages und der Hochofenschlacken. *Stahl u. Eisen* 1892, S. 2.
- Pourcel, A., Ferromangan. *Génie civile* 1885, No. 1, 2 und 4.
- Preuner, G., Über die Dissociations-Constante des Wassers und die elektromotorische Kraft der Knallgaskette.
- Rocour, G., Étude sur l'équilibre calorifique du haut-fourneau. *Revue univ. d. mines*, 3^{ème} Série 42, 1898, p. 1.
- Rinman, L. und Fernquist, B., Untersuchungen über Zusammensetzung, Pressung und Temperatur der Hochofengase. *Berg- und hüttenmännische Zeitung* 1865, S. 257.
- Scheerer, Th. und Lang, Chr., Untersuchung der Gichtgase eines norwegischen Eisenhochofens. *Pogg Ann.* 40, p. 193.
- Schenk, Rudolf, Über die Theorie des Hochofenprozesses. *Zeitschr. für Elektrochemie* 1904, S. 397.
- Schott, Kieselsäure auf Roheisen. *Stahl und Eisen* 1900, No. 10, S. 553.
- Stöckmann, Über Ferromangan. *Stahl und Eisen* 1885, S. 475.
- Tamm, A., Researches on the composition of the gases escaping from the Swedish blast-furnaces. *Iron* 16, p. 23, 46, 310, 400, 411; 17, p. 22, 58.
- Taylor, W. J., The use of high explosives in the blast-furnace and of a waterspray for cooling in blowing down. *Trans. Am. Inst. Ming. Eng.* 13, p. 670.
- Thörner, W., Beiträge zum Studium von Steinkohlen, Koks und Holzkohlen als Hochofenbrennmaterial. *Stahl und Eisen* 1886, S. 71.
- Tholander, H., Schmelzversuche mit phosphorarmen Erzen. *Jernkont. Ann.* 1900, p. 493.
- Toldt, Fr., Hochofenschlacken-Berechnung. *Österr. Zeitschr. f. Berg- u. Hüttenw.* 1892, S. 15.
- Tunner, P., Beitrag zur Kenntnis des Hochofenbetriebes durch direkte Bestimmungen. *Jahrb. d. österr. Bergakad.* 9, S. 280, 10, S. 491.
- Über die Verwendung von Ligniten oder Braunkohlen im Hochofen. *Stahl und Eisen* 1882, S. 426.

- Van Vlooten, W., Die Verbrennung im Gestell des Hochofens. Stahl und Eisen 1893, S. 26.
- Wedding, H., Die Wärmeverluste bei Hochöfen. Stahl u. Eisen 1892, S. 1029.
- Über den Hochofenbetrieb mit rohen Steinkohlen. Zeitschr. f. d. Berg-, Hütten- und Sal.-Wesen im preuss. Staate 19, S. 5.
- West, T. D., Effect of Manganese on iron. Journ. Amer. Foundrymans Ass. 10, p. 75.
- Williger, G., Bleigewinnung im Hochofen. Berg- u. hüttenmänn. Zeitung 1882, S. 81.

D. Frischprozesse.

a) Grössere Werke.

- Dürre, E. F., Die Anlage und der Betrieb der Eisenhütten. Bd. III. Leipzig 1891.
- Heyn, E., Die Metallographie im Dienste der Hüttenkunde.
- Howe, H. M., The Metallurgy of Steel. New York 1890.
- Jüptner, H. v., Compendium der Eisenhüttenkunde. Wien 1896.
- Ledebur, Handbuch der Eisen und Stahlgießerei. 3. Aufl. Leipzig 1901.
- Handbuch der Eisenhüttenkunde. 4. Aufl., Band III, Leipzig 1903.
- Percy-Wedding, Handbuch der Eisenhüttenkunde. Braunschweig 1864.
- Tunner, P., Die Stabeisen- und Stahlbereitung in Frischherden. 2 Bände, 2. Auflage. Freiberg 1858.
- Wedding, H., Die Stabeisen- und Stahlbereitung in Frischherden. Braunschweig 1875.

b) Abhandlungen.

- Åkerman, Rich., Die schwedische Eisenindustrie. Zeitschr. d. berg- u. hüttenm. Ver. f. Steiermark u. Kärnten 1877, S. 120.
- Über das Bessemern in Schweden. Stahl u. Eisen 1893, S. 920.
- Baills, M., Traitement de la Vena dulce dans les fours à reductions Chenot. Ann. d. mines, 7^{me} Série 15, 1879, p. 229.
- Barker, E., Sauerer Bessemerprozess. Zeitschr. f. Bauwesen 20, (1876), S. 427.
- Botischew, Über Veränderungen, welche das Roheisen während des Frischprozesses erleidet. Österr. Zeitschr. f. Berg- u. Hüttenw. 1862, S. 228.
- Brovot, A., Verfahren zur Regulierung der Nachblasezeit beim Thomasprozeß. Stahl und Eisen 1896, S. 50.
- Bulls Iron and Steel direct process. Iron 21, p. 89; Stahl und Eisen 1882, S. 325.
- Cabot, J. W., The Bertrand-Thielprocess. Iron Age, 2. May 1901, p. 15.
- Campbell, H. H., Sauerer Martinprocess. Trans. Amer. Inst. Ming. Eng. September-Meeting 1890.
- C., The open-hearth-process. Trans. Amer. Inst. Ming. Eng. 22, p. 345; Stahl u. Eisen 1893, S. 869.
- H., The physical and chemical equations of the open-hearth-process. Trans. Amer. Inst. Ming. Eng. 19, p. 128.
- Carulla, F. J. R., The synthesis of Bessemer steel. Journ. Iron Steel Inst. 1904, I.

- Casperson, C. A., Über den Einfluss des Wärmegrades der Bessemerchargen auf die Beschaffenheit der Stahlblöcke, nebst Betrachtungen von R. Åkerman. Stahl und Eisen 1883, S. 71.
- Clapp-Griffith-Process in Amerika. Stahl u. Eisen 1886, S. 172.
- Cubillo, L., Die Chemie des Puddelprozesses. Stahl u. Eisen 1901, S. 414; aus The Iron and Coal Trade Review.
- Puddeln. Iron and Steel Trades Journ. 1900, 1. Dez., p. 515; 15. Dez. p. 548; Journ. Iron Steel Inst. 1901, I, p. 452; Jahrb. f. d. Eisenhüttenwesen I, S. 260.
- Davenport, Chem. Untersuchungen über einige Punkte der Darstellung schmiedbaren Gusses. Dingl. polyt. Journ. 207; Mechanics Magazine 1871, p. 392.
- Drassdo, Über die chemischen Vorgänge bei Überführung des Roheisens in Stabeisen durch den Puddelprocess. Zeitschr. f. d. Berg-, Hütten- und Sal.-Wes. 1863, S. 170.
- Ehrenwerth, J. v., Der Eamesprocess. Österr. Zeitschr. f. Berg- u. Hüttenw. 1891, S. 545.
- Über den Martinprozess mit ausschliesslicher Verwendung von Roheisen und Erzen. Österr. Zeitschr. f. Berg- u. Hüttenwesen 1886, S. 622.
- Abhandlungen über den Thomas-Gilchrist-Prozess. Sonderabdruck aus der österr. Zeitschr. f. Berg- u. Hüttenw. 1879. Leoben 1879.
- Studien über den Thomas-Gilchrist-Prozess. Sonderabdruck aus d. österr. Zeitschr. f. Berg- u. Hüttenw. 1880—1881. Wien 1881.
- Zur direkten Darstellung von Stahl. Österr. Zeitschr. f. Berg- u. Hüttenwesen 1882, S. 279.
- Zur direkten Eisenerzeugung. Stahl u. Eisen 1891, S. 299; 1892, S. 224.
- Egleston, T., The American bloomary process for making iron direct from the ore. Trans. Amer. Inst. Ming. Eng. 8, p. 515.
- Finkener, Thomasprozess. Mitteilg. d. kg. techn. Versuchsanstalt in Berlin 1883, S. 31.
- Forquignon, Recherches sur la fonte malléable et sur la recuit des aciers. Ann. chim. phys., 5^{ème} Série, 23, 1881, p. 433; Stahl und Eisen 1886, S. 380, 777.
- Garrison, L., Husgavel's improved high bloomary for production of iron and steel direct from ore. Trans. Am. Inst. Ming. Eng. 16, p. 334.
- Göransson und Magnuson, Sauerer Bessemerprozess. Iron 14, p. 3; Jernkont. Ann. 1873.
- Gottlieb, Glühstahl. Jahrb. d. österr. Bergakad. 1857, S. 105.
- Grassmann, Betrachtungen über den Abbrand beim Thomasprozess. Stahl und Eisen 1896, S. 57.
- Grateau, Ed., Mémoire sur la fabrication de l'acier fondu par le procédé Chenot. Revue univ. d. mines, 1^{ère} Série 6, 1859, p. 1.
- Harbord, F. W., Basischer Martinprozess. Journ. Iron Steel Inst. 1886, II, p. 700.
- Some preliminary experiments on the removal of metalloids in the basic Siemens furnace. Journ. Iron Steel Inst. 1886, II, p. 700; Stahl und Eisen 1886, S. 811.

- Hartley, W. N. und Ramage, H., On the spectra of flames during the basic Bessemer-blow. Journ. Iron Steel Inst. 1901, II, p. 197.
- Hartshorne, J., Bertrand-Thiel-Process. Trans. Am. Inst. Ming. Eng. 1900, p. 531.
- Heyrowsky, E., Über Bessemern mit heissem Wind. Jahrb. d. österr. Berg-Akad. 22, p. 436.
- Holley, A. L., Notes on the Siemens direct process. Trans. Am. Inst. Ming. Eng. 8, p. 321; deutscher Auszug: Zeitschr. d. berg- u. hüttenm. Ver. f. Steiermark und Kärnten 1880, p. 140.
- Howe, H. M., Mitteilungen über den amerikanischen Bessemerprozess. Stahl und Eisen 1890, S. 1022.
- Ireland, J., Some recent improvements in the manufacture of iron sponge. Journ. Iron Steel Inst. 1878, I, p. 47.
- Jüptner, H. v., Ein Beitrag zu den Vorgängen bei Herstellung von fertigem Schweisseisen aus Rohluppen. Österr. Zeitschr. f. Berg- u. Hüttenwesen. 1894, S. 237.
- Der Schwefelgehalt von Schlacken und Hüttenprodukten. Stahl und Eisen 1902, No. 7.
- The sulfur contents of slags and other metallurgical products. Journ. Iron Steel Inst. 1902, I.
- und Toldt, Chem.-calor. Studien über Generatoren und Martinöfen. Kessler, Sauerer Bessemerprozess. Dingl. polyt. Journ. 205, S. 436.
- Kintztlé, Der Thomasprozess. Stahl und Eisen 1897, S. 381.
- Kollmann, J., Beiträge zur Untersuchung des Puddelprozesses. Zeitschr. d. Ver. d. Ing. 18, 1874, S. 325.
- Die Eigenschaften, Darstellung und Verwendung des Flusseisens. Verh. Ver. z. Beförderung. d. Gewerbfl. 1880, S. 211.
- Kosmann, Über den Puddelbetrieb in dem Siemens'schen Gasregeneratoröfen. Zeitschr. f. d. Berg-, Hütten- und Sal.-W. 18, 1870, S. 145.
- Kupelwieser, F., Sauerer Bessemerprozess. Dingl. polyt. Journ. 185, S. 30.
- Laduron, E., Note sur le puddlage direct de la fonte liquide sortant du haut-fourneau. Revue univ., 3^{ème} Série 33, 1896, p. 22.
- Le puddlage direct de la fonte aux usines Bouchill à Hourpes. Revue univ. 3^{ème} Série 45, 1899, p. 36.
- Late developments in the Siemens direct process. Trans. Am. Inst. Ming. Eng. 10, 274; Stahl und Eisen 1883, S. 253.
- Lau, Chr., Studien über die Reaktionen beim Verfrischen des Gusseisens. Berg- und hüttenm. Zeitung 1860, S. 181.
- Ledebur, A., Ausglühen in Holzkohle. Stahl und Eisen 1886, S. 381, 777.
- Betrachtungen über das Bertrand-Thiel-Verfahren. Stahl und Eisen 1903, S. 36.
- Neuere Arbeiten über Glühfrischen und die Veränderungen der Kohlenstoffformen beim Glühen. Stahl und Eisen 1897, S. 628.
- Über Darstellung schmiedbaren Gusses in den Ver. Staaten. Stahl und Eisen 1899, S. 366.
- Über den Einfluss des Siliciums beim Glühfrischen. Stahl und Eisen 1902, S. 813.

- Ledebur, A., Über Darstellung von schmiedbarem Eisen aus Erzen. Stahl und Eisen 1896, S. 576.
- Sauerer Martinprozess. Stahl und Eisen 1884.
- List, K., Beitrag zur Theorie des Puddel-Processes. Programm d. Gewerbeschule zu Hagen 1860, S. 4; Wagners Jahresber. d. chem. Technolog. f. 1860, S. 46.
- Über das Verhalten des Siliciums beim Frischen des Roheisens. Zeitschr. d. Ver. d. Ing. 9, S. 380.
- Anmerkungen über die Wichtigkeit des Eisenoxydgehaltes der Frischschlacken. Zeitschr. d. Ver. d. Ing. 19, 1875. S. 19.
- Louis, H., On the chemistry of puddling. Journ. Iron Steel Inst. 1879, I, p. 219.
- Malz, Der Bessemerprozess. Stahl und Eisen 1897, S. 392.
- Mehrtens, Basischer Martinprozess. Stahl und Eisen 1891, S. 709.
- Sauerer Martinprozess. Stahl und Eisen 1891, S. 709.
- Monell, A., Monell-Verfahren. Journ. Iron Steel Inst. 1900, I, p. 71.
- Müller, F. C. G., Untersuchungen über den deutschen Bessemerprozess. Zeitschr. d. Ver. d. Ing. 1878, S. 385, 453.
- Niedt, Gase des Bessemerprozesses. Zeitschr. d. ober Schles. Berg- u. Hütten-Ver. 1885, S. 392.
- Thomasprozess. Zeitschr. d. ober Schles. Berg- u. Hütten-Ver. 1885, S. 340.
- Neuer finländischer Stückofen. Stahl und Eisen 1887, S. 471.
- Osann, Glühfrischen. Stahl und Eisen 1903, S. 32.
- Osann, B., Temperstahlguss. Stahl und Eisen 1903, S. 22.
- Osmond, FL, Transformation du fer et du carbone.
- Poech, K., Mitteilungen über die Stahlerzeugung im basischen Martinofen. Stahl und Eisen 1901, S. 331.
- Richter, Glühfrischen. Jahrb. d. österr. Berg-Akad. 1860, S. 359.
- Rott, C., Die Fabrikation des schmiedbaren und Tempergusses. Separatabdruck aus dem prakt. Maschinenkonstrukteur, Leipzig 1881.
- Beiträge zur Praxis der Eisengiesserei. Berlin 1901.
- Roystone, Ausglühen und Kohlenstoffformen. Journ. Iron Steel Inst. 1897, I, p. 154.
- Saniter, E. H., Entschwefelungsverfahren. Stahl und Eisen 1895, S. 616.
- Scheibler, C., Über die Herstellung reicher Kalkphosphate in Verbindung mit einer Verbesserung des Thomasprozesses. Ber. d. chem. Ges. 1886, S. 1883.
- Schilling, A., Beiträge zur Kenntnis des Puddelprozesses. Berg- u. hüttenm. Zeitung 1863, S. 313; Wagners Jahresber. d. chem. Technol. 9, S. 61.
- Puddeln. Berg- u. hüttenm. Zeitung 1863, S. 313.
- Schmidhammer, W., basischer Martinprozess. Stahl und Eisen 1891, S. 549; Österr. Zeitschr. f. Berg- und Hüttenwesen 1893, S. 33.
- Eine besondere Art des Erzprozesses im Martinofen. Stahl und Eisen 1902, S. 651.
- Studien über Gas- und Luftzuführung bei Martinöfen. Stahl und Eisen 1895, S. 797.

- Schroedter, E., Das Scheiblersche Verfahren im Thomasprozeß. *Stahl und Eisen* 1894, S. 1097.
- Siemens, W., Some further remarks regarding the production of iron and steel by direct process. *Journ. Iron Steel Inst.* 1877, I, p. 345.
- Simonson, A., Saurer Bessemerprozeß. *Iron Trade Review*, 30. Juli 1903, p. 48.
- Sjögren, C., Basischer Bessemerprozeß. *Jernkont. Ann.* 1898; *Berg- u. hüttenm. Jahrb.* 1899, S. 151.
- Snelus, G. J., Scientific features of the Dank's puddling machine. *Journ. Iron Steel Inst.* 1872, I, p. 246; *Dingl. polyt. Journ.* 204, p. 216.
- Saurer Bessemerprozeß. *Journ. Iron Steel Inst.* 1871, II, p. 247.
- On the removal of phosphorus and sulfur during the Bessemer and Siemens-Martin-Process. *Journ. Iron Steel Inst.* 1879, I, p. 135.
- Söllz, W., Die Martinöfen und die Martinstahlfabrikation. *Österr. Zeitschr. f. Berg- u. Hüttenwesen* 1893, S. 1.
- Sorge, K., Notizen über den Clapp-Griffith-Prozeß in den Vereinigten Staaten. *Stahl und Eisen* 1887, S. 316.
- Springorum, Martinprozeß. *Stahl und Eisen* 1897, S. 396.
- Stille, Der Schwefel im Martinprozeß. *Jernkont. Ann.*; *Österr. Zeitschr. f. Berg- u. Hüttenwesen* 1899, S. 246; *Stahl und Eisen* 1899, S. 325.
- Talbots kontinuierlicher Siemens-Martin-Prozeß. *Stahl und Eisen* 1900, S. 263; *Iron Age* 65.
- Talbot-Verfahren. *Journ. Iron Steel Inst.* 1900, I; *Stahl und Eisen* 1902, S. 717.
- Tamm, A., Saurer Bessemerprozeß. *Jernkont. Ann.* 1878; *Iron* 14, p. 3.
- Phosphor beim sauren Bessemerprozeß. *Jernkont. Ann.* 1886, p. 129.
- The composition of gases escaping from a Bessemer converter during the blow. *Journ. Iron Steel Inst.* 1901, II, p. 197.
- The Tropenas-steel-making-process. *Engineering* 65, p. 43.
- Thiel, Der Bertrand-Thiel-Prozeß. *Stahl und Eisen* 1897, S. 403, 733; 1898, S. 146; *österr. Zeitschr. f. Berg- u. Hüttenwesen* 1897, S. 15 u. 73.
- Thomas- oder Bertrand-Thiel-Prozeß? *Stahl und Eisen* 1901, S. 1305.
- Thomas, S. G., und Gilchrist, P. C., On the elimination of phosphorus in the Bessemer-converter. *Journ. Iron Steel Inst.* 1879, I, p. 120.
- — Die Stahlerzeugung aus phosphorhaltigem Roheisen. *Stahl und Eisen* 1882, S. 294.
- Thompson, F. E., Über den Schwefel im Flusseisen. *Stahl und Eisen* 1896, S. 413.
- Tschernoff, D. K., Documents sur la fabrication de l'acier Bessemer. *Revue univ. d. mines*, 2^{ème} Série 1, p. 420, 4, p. 56.
- Turner, Th., Economical puddling and puddling cinder. *Journ. Iron Steel Inst.* 1891, I, p. 119.
- Walrand, Ch., Erzeugung von Flusseisen im Converter von Walrand-Delattre. *Stahl und Eisen* 1887, S. 390.
- Watanabe, Glühstahl. *Stahl und Eisen* 1897, S. 633.

- Wellman, S. T., Wellman-Verfahren. *The Iron and Coal Trade review* 1900, 1. Juni, p. 1028.
- Wiborgh, J., Anwendung warmen Windes beim Bessemern. *Stahl und Eisen* 1899, S. 13.
- Württembergers Verfahren. *Österr. Zeitschr. f. Berg- u. Hüttenwesen* 1882, S. 295.
- Zusammenstellung über die Betriebsverhältnisse von Puddel- und Schweissöfen. *Zeitschr. d. Ver. d. Ing.* 16, 1872, p. 673.

E. Tiegelstahlerzeugung.

a) Grössere Werke.

- Dürre, E. F., Anlage und Betrieb der Eisenhütten. 3. Bd. Leipzig 1891.
- Ledebur, A., Handbuch der Eisenhüttenkunde. 4. Aufl. Leipzig 1903.
- Percy-Wedding, Ausführliches Handbuch der Eisenhüttenkunde. Braunschweig 1864.

b) Abhandlungen.

- Bischoff, J., Über Werkzeuggussstahl. *Zeitschr. d. Ver. d. Ing.* 1885, p. 780.
- Boeker, M., Werkzeugstahl, seine Herstellung und Verwendung. *Stahl und Eisen* 1868, S. 33.
- Brand, A., Einige Beiträge zur Kenntnis der Vorgänge bei Stahlschmelzprozessen in sauren und basischen Tiegeln. *Berg- u. hüttenm. Zeitung* 1885, S. 105.
- Henrotto, J., Note sur le fer mitis fondu par le procédé Nordenfellt. *Revue univ. d. mines, 3^{ème} Série* 3, p. 190.
- Ledebur, A., Zur Theorie des Tiegelstahlprozesses. *Stahl und Eisen* 1885, S. 370.
- Müller, F. C. G., Über den Einfluss des Siliciums auf die Beschaffenheit des Werkzeugstahles. *Stahl und Eisen* 1899, p. 868, 914.
- Untersuchungen über den Tiegelstahlprozess. *Stahl und Eisen*, 1885, S. 180; 1886, S. 695.
- Oestberg, P., Mitis-casting. *Trans. Am. Inst. Ming. Eng.* 14, p. 773.
- Seebohm, H., Über die Darstellung des Tiegelstahles. *Stahl und Eisen* 1884, S. 660.
- Surzicki, S., Verbindung des Martin-Prozesses mit der Tiegelstahlerzeugung. Versuche der Gebr. Böhler in Kapfenberg und Poldihütten in Kladno. *Gornij-Journal*, Sept.-Heft 1900, S. 379.
- Thallner, Otto, Tiegelstahl. *Zeitschr. d. Ver. d. Ing.* 1900, S. 422.

F. Umschmelzen des Roheisens und Giesserei.

a) Grössere Werke.

- Dürre, E. F., Handbuch des Eisengiessereibetriebes. 3. Aufl. Leipzig, 1890.
- Ledebur, A., Handbuch der Eisen- und Stahlgiesserei. 3. Aufl. Leipzig 1901.
- Handbuch der Eisenhüttenkunde. 4. Aufl. 2. Bd. Leipzig 1902.
- Wedding, G., Die Darstellung des schmiedbaren Eisens. Braunschweig 1875.
- Jäptner, Grundzüge der Siderologie. 27

b) Abhandlungen.

- Beckert, Cupulofengase. *Stahl und Eisen* 1886, S. 557.
 Boussignault, Umschmelzen von weissem Roheisen. *Ann. chim. pharm.* 5^{ème} Série 5, p. 236.
 Davis, G. C., Gattirungstabellen. *Iron and Coal Trade Review* 1900, 30. Nov., p. 1101.
 Ebelmen, Cupulofengase. *Ann. d. Mines*, 4^{ème} Série 5, p. 61.
 Fischer, Cupulofengase. *Dingl. polyt. Journ.* 231, p. 38.
 Greiner und Erpf, Cupulofengase. *Journ. Iron Steel Inst.* 1888, II, p. 247.
 Köppen, E. v., Umschmelzen in Cupolöfen. *Dingl. polyt. Journ.* 232, p. 53.
 Müller, Umschmelzen des Roheisens. *Stahl und Eisen*, 1885, S. 181.
 — Umschmelzen in Cupolöfen. *Stahl und Eisen* 1895, S. 154.
 Scheffer, Umschmelzen in Cupolöfen. *Jahrb. f. d. Berg- u. Hüttenwesen im Kgr. Sachsen* 1880, S. 5.
 Wärmebilanz des Cupulofens. *Eisenzeitung* 1900, No. 18, S. 270.
 West, T. D., Einfluss des Umschmelzens. *Am. Machinist*, 1900, 3. März, p. 428.

G. Kohlungsprozesse.

- Arnold, S. O., The microchemistry of cementation. *Journ. Iron Steel Inst.* 1898, II, p. 185.
 Bildt, C. W., Cementierung von Schmiedeeisen. *Jernkont. Ann.* 1901; *Stahl und Eisen* 1902, S. 438.
 Boussignault, Études sur la transformation du fer en acier par la cementation. *Ann. chim. phys.*, 5^{ème} Série 5, p. 145.
 Das Harvey'sche Kohlungsverfahren. *Stahl und Eisen* 1892, S. 760.
 Garrison, F. L., Methods of hardening the surface of armour-plates. *Iron* 40, p. 120.
 Geijerstam, C. v., Über Aluminium als Zusatz zu Flusseisen. *Stahl und Eisen* 1894, S. 395.
 Ledebur, A., Über den Sauerstoffgehalt des Flusseisens. *Stahl und Eisen* 1895, S. 376.
 Mannesmann, Reinhard, Studien über den Cementstahlprozess. *Verh. d. Ver. z. Beförderg. d. Gewerbl.* 1879, S. 31.
 Müller, F. C. G., Über die Aufblähung der Flusseisenblöcke während des Walzens. *Stahl und Eisen* 1885, S. 79.
 Percy, J., On the cause of the blisters on blister-steel. *Journ. Iron Steel Inst.* 1877, II, p. 460.
 Styffe Knut, Aluminium als Raffinierungsmittel für andere Metalle. *Stahl und Eisen* 1893, S. 311.
 Thielen, A., Über Darby's Rückkohlungsprozess. *Stahl und Eisen* 1890, S. 920.
 Tone, F. J., Verwendung von Siliciumcarbid in der Stahlfabrikation. *Stahl und Eisen* 1900, S. 207.
 Über verschiedene Verfahren zur Herstellung dichter Stahlgüsse. *Stahl und Eisen* 1889, S. 766.
 Wedding, H., Die Kohlung des Flusseisens. *Stahl und Eisen* 1894, S. 465.
-

Autoren-Register.

- | | |
|--|--|
| <p style="text-align: center;">A.</p> <p>Abel, Fred. 93. Andrews 25. Arnold, J. O. 79, 98, 108, 397. Åkerman, Rich. 14, 29, 30, 155, 392.</p> <p style="text-align: center;">B.</p> <p>Barker, E. 318, 321. Bauer, E. 224, 229, 268, 270. Beckert 311, 378. Behrens, H. 81. Bell, Lowthian 29, 30, 37, 38, 39, 41, 222, 226. Benedicks, Carl 394, 395, 396, 398. Berthelot 23, 24, 25, 40, 62, 66, 152, 178. Bertrand-Thiel 363. Bessemer, H. 314. Bodländer 171, 185, 190, 217, 223, 226. Böhler 366. Bose 191. Botischew 295. Boudouard, O. 29, 41, 44, 45, 46, 47, 48, 49, 51, 52, 54, 55, 161, 163, 164, 168, 169, 170, 184, 185, 194, 195, 219, 224, 227. Boulanger 259. Boussignault 374, 385. Boynton, H. C. 388. Braithwaite 221. Brusewitz 327. Buchner 14.</p> | <p style="text-align: center;">C.</p> <p>Campbell, E. D. 108, 395. Campbell, H. H. 351, 352, 353. Carnot, A. 98, 118, 114, 115, 116, 117, 118, 397. Caron 37. Carpenter 289, 388. Charpy, G. 72, 76. Child, A. F. 289. Clapayron 6, 7, 208, 210. Clausius 208. Cochrane, C. 245, 256. Cubillo, L. 304.</p> <p style="text-align: center;">D.</p> <p>Darby 317, 379. Davenport 283. De Vathair 259. Deville, H. Sainte-Claire 3, 35, 86, 37, 39, 44, 56, 57, 168. Dieterici 212. Dulait 259. Dulong 25. Dumas, L. 119.</p> <p style="text-align: center;">E.</p> <p>Ebelmen 155, 378. Ehrenwerth, J. v. 14, 313. Erpf 378.</p> <p style="text-align: center;">F.</p> <p>Favre, 23, 24, 25. Finkener 380</p> |
|--|--|

Fischer 378.

Fittig 15.

Forchhammer 395.

Fourquignon 233, 234, 235, 236, 237.

G.

Gibbs 9.

Gilchrist 327.

Glaessner, A. 224, 229, 268, 270.

Gmelin 37.

Görransson 324.

Goldschmidt 109, 111, 363.

Gontal 113, 114, 116, 117, 118, 397.

Gottlieb 284.

Grassi 25.

Greiner 378.

Grenet, L. 72, 76.

Groham 15.

Gruner 39, 241, 242, 259, 305.

Guillet 399.

H.

Hahn, O. 177, 179, 180, 184, 185, 186, 189, 193.

Harbord, F. W. 355.

Harker 212.

Hartrog 212.

Heineken, W. P. 289.

Herbertz 375, 378.

Hess 25.

Heyn, E. 291, 390.

Hilgenstock 329.

Hintz 395.

Howe, H. M. 69, 387, 397.

Huntsman, B. 366.

I, J.

Ischewsky, W. P. 110.

Jahn 23, 24.

Joule 25.

Jüptner, H. v. 16, 54, 55, 64, 120, 146, 149, 175, 180, 190, 196, 202, 229, 231, 257, 258, 260, 274, 336, 345, 347, 349, 354, 358, 359, 360, 366, 375, 379, 382, 383, 391, 392, 395, 397.

K.

Kaufmann 64.

Keeling 289, 388.

Kennedy 395.

Kessler 321.

Kirkaldy 398.

Köppen, E. v. 377.

Kollmann, J. 302, 344.

Kortright, F. J. 60, 63, 64, 65, 210.

Krafts 56, 57.

Krigar 376, 378.

Krupp 366.

Kupelwieser, F. 159, 273, 322.

L.

Lebau 116.

Le Chatelier, H. 4, 9, 49, 50, 54, 56, 57, 58, 59, 60, 62, 63, 64, 65, 67, 69, 99, 100, 105, 108, 109, 111, 112, 116, 119, 165, 168, 169, 178, 183, 192, 194, 195, 215, 221, 257, 260, 389.

Ledebur, A. 16, 18, 20, 21, 22, 155, 222, 237, 297, 310, 327, 335, 336, 344, 363, 369, 370, 378, 384, 397.

Lencauchez 94.

Louis, H. 301.

M.

Magnuson 324.

Mallard 50, 56, 57, 178.

Mannesmann 384, 397.

Martens, A. 81.

Martin 341.

Mehrtens 344, 356.

Moissan, H. 40, 115, 116, 395.

Moldenke, R. 259.

Müller 322, 324, 369, 370, 371, 373, 378.

N.

Naumann 163.

Nernst 168, 184, 185, 190.

Niedt 316, 334.

O.

Osann, B. 287.

Osmond, Fl. 67, 70, 81, 94, 95, 287, 397.

Ostwald, W. 393.

P.

Pagel 87.
 Piat 887.
 Pistor 163.
 Platz 22.
 Preuner 183, 184.

R.

Régnauld 207.
 Reiser 370.
 Richter 283, 284.
 Roberts-Austen 389.
 Royston 70, 286, 289.
 Roozeboom 67, 70, 71, 388.

S.

Saniter, E. H. 86, 87, 343.
 Scheffer 377.
 Scheurer-Kestner 24.
 Schilling, A. 303.
 Schlagdenhauffen 37.
 Schmidhammer, W. 356.
 Schneider, L. 95.
 Schöffel 159, 273.
 Schützenberger 40.
 Schuller 25.
 Schwackhöfer 24.
 Silbermann 23, 25.
 Simonson, A. 321.
 Sjögren, C. 329.
 Snelus 319, 327.
 Spanagl 379.
 Spüller 118.
 Stammer 36.
 Stansfield 397.
 Stead, J. E. 67, 78, 80, 84, 86, 87,
 92, 93, 94, 95, 98, 332.
 Swedenborg 394.

T.

Talbot 364.
 Tamm, A. 315, 325, 326.

Tetmajer, L. v. 379.
 Thallner, O. 372.
 Than, C. v. 25.
 Tholander 14.
 Thomas 327.
 Thomsen 23, 24, 25.
 Tiedemann Hugh, P. 67.
 Tiemann 69.
 Tittler 326.
 Toldt, Fr. 345, 347, 349.
 Traube 398.
 Trevor, J. E. 60, 63, 64, 65, 210.
 Troost und Hautefeuille 24.
 Trouton 215.
 Tunner, P. 29, 281, 284.

U.

Uchatius 366.

V.

Van't Hoff, 4, 9, 197, 211, 213.
 Vielle 25, 66.
 Vogt, J. H. L. 120, 121, 144, 391, 393,
 394.

W.

Wartha 25.
 Watanabe 285, 286.
 Wedding, H. 331, 333.
 Werth 397.
 Wiborgh, J. 29.
 William, Mao 98.
 Williams 118.
 Witz 25.
 Wolters 128.
 Woodward 375.
 Würtenberger 342, 362.

Z.

Zeuner 208.
 Ziegler 99, 100, 108, 109, 111, 112.
 Zulkowski 274, 337, 392.

Sach-Register.

A.

Abbrand 376.
Abgestanden 368.
Aeolisch 387.
Affinität 280.
Aluminium, Bildungswärmen 24.
Alteisen 341.
Anfangszustand 6.
Anlaufarben 19, 81, 82, 83.
Anortit 394.
Antimon 157, 279.
Arbeit, äussere 207.
— maximale 167.
Arsen 117, 157, 279.
Aufgebrochen 295.
Auflösung 4.
Aufstechen 299.
Augit 392, 393, 394.
Austenit 289, 387.
Äkermanit 392, 393.

B.
Basische Frischprozesse 307, 308.
— Zustellung 307.
Basisches Ofenfutter 308.
Bertrand-Thiel-Verfahren 368.
Beschickung, Veränderung im obersten Teile des Hochofens 206.
— Veränderung im unteren Teile des Ofenschachtes 216.
Bessemerprozess 277, 307, 308, 310.
— basischer 309, 310, 327.
— saurer 309, 310, 314, 316.
Betriebsverhältnisse von Hochöfen 254.
Bildungsenergie 190, 196, 218, 223.

Bildungsenergie des CO 171, 200.
— des CO, 193, 194, 196,
199, 200, 268.
— des Wasserdampfes 185, 191, 192,
199.
— freie 168.
— von CO, aus CO und O 172.
Bildungswärmen 23.
Blasenstahl 385.
Blister-steel 385.
Bodenmachen 342, 343.
Boyle Gay-Lussacsches Gesetz 6, 207,
209, 211, 213.
Brauneisenstein 15.
Braunstein 367.

C.

Carbonate, Dissociation 215.
Carbür 397.
Chlorcalcium 343.
Chrom 117.
Cementierpulver 385.
Cementit 68, 72, 76, 387.
Cementstahlerzeugung 383.
Centrifugalgebläse 376.
Clapayron-Clausiusse Gleichung
6, 7, 208, 210, 215.
Coquillen 318.
Cupolöfen 373, 375.
Cyan 157.

D.

Darbyverfahren 317, 379.
Darby-Phönix (Spanagl-) Ver-
fahren 380.
Dehnung an der Bruchgrenze 398.

Desoxydationsmittel 314.
 Deutsches Frischverfahren 295.
 Dichte 398.
 Diffusion 98, 108.
 — von Schwefeleisen in Eisen 108.
 Dinasziegel 341.
 Dissociation 5.
 — von Kohlenoxyd 35.
 — der Kohlensäure 56.
 — des Schwefeleisens 104, 105.
 — des Wasserdampfes 182.
 Dissociationserscheinungen 5.
 Dowsongas 176.
 Drehpuddelöfen 301.
 Dreimalsschmelzerei 295.
 Druck 5.

E.

Einmalschmelzerei 294.
 Einschlüsse 338.
 Einschmelzen 298, 354.
 Eisen 81, 82, 83, 156.
 Eisenabfälle 341.
 Eisen, Bildungswärmen 23.
 Eisencarbid 81, 82, 83, 395.
 Eisenhydroxyd 15.
 Eisenoxyd 14.
 Eisenoxydul 15.
 Eisenoxyduloxyd 15, 222.
 — magnetisches 15.
 Eisenphosphid 81, 82, 83, 98.
 Eisenerze, Reduction 221.
 Eisen, reines 395.
 — schmiedbares 294.
 Eisensinter 15.
 Eisen und andere Elemente 113.
 — und Kohlenstoff 67.
 — und Phosphor 78.
 — und Sauerstoff 14.
 — und Schlacken 120.
 — und Schwefel 98.
 Elastizitätsmodul 395.
 Emailschlacken 392, 393.
 Endperiode 317.
 Endschlacken 295.
 Endzustand 6.
 Energie, freie 167, 280.

Energie, fremde 27.
 — gesamte 167.
 Entkohlung 385.
 Entphosphorung 148.
 Erstarrung 389.
 Eruptionsperiode 317.
 Erzfrischen 290.
 Erzstahl 366.
 Erzstahlprozess 277.
 Eutektisch 386.

F.

Façonguss 366.
 Feinkorneisen 302.
 Feinperiode 316.
 Ferrit 387.
 Ferrochrom 367.
 Ferromangan 367.
 Ferromagnetit 396.
 Ferrowolfram 367.
 Feuchtigkeit 207.
 Flammöfen 373, 374.
 Flammofenfrischen 290.
 Flusseisen 276.
 Flussspat 343.
 Flussstahl 276.
 Formen, Stickstoff vor den — 176.
 — Verbrennung vor den — 161, 166,
 176, 257.
 — Vorgänge vor den — 262.
 — Wasserdampf vor den — 176.
 Formguss 366.
 Frischen im festen Zustande 281.
 — im teigigen Zustande 290, 297.
 Frischherd 292.
 Frischprozesse 276, 290.
 — basische 308.
 — bei hoher Temperatur 306.
 Frischstahl 294.
 Frischverfahren, deutsches 295.

G.

Gangart 154.
 Gar 291.
 Garfrischen 295.
 Garfrischperiode 300.
 Garschlacken 295, 297.

Garschmelzig 298.
 Gart 291.
 Garwerden 368.
 Gasanalyse und Kohlenverbrauch 248.
 Gasstrom, Veränderung im oberen Teile des Ofenschachtes 201.
 Gaszusammensetzung und Hochofengang 231.
 Gelbeisenerz 15.
 Geschwindigkeit des Gasstromes 165.
 Gewicht, spezifisches 394, 395.
 Gewölbe 341.
 Gichtgase 158, 159.
 Gichtgastemperatur 246.
 Gleichgewicht 39, 55.
 Gleichgewichtscurven 388.
 Gleichgewichtserscheinungen bei Reduktionsprozessen 35.
 Gleichgewichtsfaktoren 3.
 Gleichgewichtsverschiebung 4.
 Gleichgewicht zwischen FeO und FeS 106.
 — zwischen Eisenoxyden CO und CO_2 224, 226.
 — zwischen zwei Lösungen 122.
 Glühfrischen 20, 277, 281, 282.
 Glühmittel 281.
 Glühoxydul 15.
 Glühspahn 15, 19.
 Glühstahlbereitung 277, 281.
 Glühstahl, Tunnensch 281, 284.
 Glühtöpfe 282.
 Göthit 15.
 Goldschmidtsches Verfahren 368.
 Graphit 67, 68, 70, 72, 73, 78, 397.
 Graphittiegel 373.
 Guss, schmiedbarer 277, 281, 282.
 Gusspfanne 318.
 Gussstahl 366.

H.

Härte 395.
 Hammerschlag 15, 19.
 Herdfrischen 277, 290, 294.
 Hochofen 316.
 — idealer 260.
 — Rolle der Schlacken 273.

Hochofen, Veränderung d. Beschickung im obersten Teile des — 206.
 Hochofengang 158.
 — und Gaszusammensetzung 231.
 Hochofenprozess 154.
 Hochofenschlacke und Roheisen 123.
 Hochofenvorgänge, Theorie 256.
 Hüttenmännische Prozesse 153.
 Hydratwasser 213.

K.

Kalk, freier 149.
 Kaltbruch 329.
 Kaltschweisse 368.
 Kapselgebläse 376.
 Kern 281.
 Kieselsäure 218.
 Kobalt 157, 279.
 Kochen 343, 368, 369.
 Kochperiode 299, 316, 317.
 Kohle, Verbrennung vor den Formen 161, 166, 176, 257.
 Kohlenmenge 261.
 Kohlenoxyd, Dissociation 35.
 Kohlensäure 214.
 — Dissociation 56.
 Kohlenstoff, Bildungswärmen 24.
 — gebundener 75.
 — spezifische Wärme 49.
 — und Eisen 67.
 Kohlenstoffablagerung 39.
 Kohlenverbrauch 248.
 Kohlung des Eisens 258.
 — des flüssigen Eisens 379.
 — des Roheisens im Hochofen 382.
 Kohlungsprozesse 379.
 Konzentration 5.
 Konstitution der Schlacken 391.
 Konverter 308, 314.
 Korn 298.
 Kürze 314.
 Kupfer 119, 157, 279.
 Kratze 299.
 Krigarsches Schraubengebläse 376.
 Krücke 299.
 Krystallwasser 213.

L.

Latente Wärme 167, 207.
 Le Chateliersche Gleichung 9.
 Legierstahl 366.
 Leitungswiderstand, elektrischer 396, 398.
 Leitung, Wärmeverlust durch — 314.
 Löslichkeit 397.
 Luftfrischen 290.
 Luftgas 162.
 Luppen 300.
 Luppenhammer 300.
 Luppenmachen 295, 300.
 Luppenquetsche 300.

M.

Magnetisches Verhalten 396, 398.
 Mangan 110, 113.
 — Bildungswärmen 23.
 — Einfluss auf die Schwefelverteilung 129.
 Martensit 68, 76, 77, 289, 387.
 Martinprozess 149, 277, 307, 308, 310, 341, 354.
 — basischer 310, 341, 342, 354.
 — saurer 310, 341, 344.
 Martinstahl und Schlacke 130.
 Massenverhältnis 279.
 Massenwirkung 6.
 Mechanische Eigenschaften 398.
 Melilit 392, 393, 394.
 Metall und Schlacke 149.
 Metastabiles Gleichgewicht 228.
 Mikrographie 386, 398.
 Mischer 316.
 Mitiguss 366, 368.
 Molybdän 118.

N.

Nachblasen 329.
 Nachkochen 368.
 Nadeleisenstein 15.
 Nickel 119, 157, 279.

O.

Oberfeuer 155.
 Ofenfutter, basisches 308.

Ofenschacht, Veränderungen der Beschickung im unteren Teile des — 116.
 — Veränderungen des Gasstromes im oberen Teile des — 201.
 Ofenwände 341.
 Olivin 393, 394.
 Open-hearth-process 341.
 Oxydationsmittel 281.

P.

Perlit 69, 76, 77, 82, 83, 289, 387, 395.
 Phosphate 278.
 Phosphor 278, 309.
 — Bildungswärmen 24.
 — Einfluss auf die Schwefelverteilung 129.
 — und Eisen 78.
 Phosphorsäure 218.
 Piatöfen 367.
 Prozesse, hüttenmännische 153.
 Puddelmaschinen 301.
 Puddeln 277, 290, 297.
 Puddelofen 292.
 Puddelprozess 297.
 Puddelstahl 297, 303.
 Pyrrhosiderit 15.

R.

Raffinierstahl 362.
 — basischer 362.
 Rasch garend 298.
 Reaktionen, stufenweise 393.
 — umkehrbare 1.
 Reaktionsgeschwindigkeit 18.
 Reduzierende Agentien 25.
 Reduktion 117, 218, 247, 260.
 — direkte 229, 256, 262.
 — durch Kohlenoxyd 26, 27.
 — durch Kohlenstoff 26, 27, 222.
 — zu FeO 270.
 Reduktionstemperatur 29.
 Reduktionszone 262.
 Roheisen 154.
 — graues 78.
 — weisses 78.
 — und Hochofenschlacke 123.
 — Umschmelzen des — 373.

Rohperiode 317.
 Rohschienen 301.
 Rohschlacken 297.
 Rohschmelzig 238.
 Rolle der Schlacken im Hochofen 273.
 — der Schlacken beim Thomasprozess 336.
 Root blower 376.
 Rosten 23.
 Rotbruch 314, 330.
 Rubinglimmer 15.
 Rückkohlung 314, 317, 342, 379.
 Rückreduktion 291.
 Rührhaken 299.

S.

Sättigungsgleichgewicht 107.
 Sättigungsgrad 274, 275, 337, 338, 360, 392.
 Sammetglühspan 15.
 Sanitervverfahren 343.
 Sauere Frischprozesse 307.
 Sauerer Futter 314.
 Sauere Zustellung 307.
 Sauerstoff 277.
 — und geschmolzenes Eisen 15.
 — und teigiges Eisen 19.
 Saugcupolöfen 375.
 Schlacke, Rolle der — beim Thomasprozess 336.
 Schlacken und Eisen 120.
 Schlacke und Martin Stahl 130.
 — und Metall 149.
 — und Thomasstahl 134.
 Schlacken 154, 156, 391.
 — im Hochofen, Rolle der — 273.
 Schlackenbildung 148, 149.
 Schmiedeeisen 294.
 Schmiedbares Eisen 294.
 Schmiedesinter 15.
 Schöpfprobe 318.
 Schwalarbeit 294.
 Schwefel 279, 360.
 — Bildungswärmen 25.
 Schwefeleisen, Diffusion im Eisen 108.
 — Dissociation 104, 105.
 Schwefel im Eisen 109.

Schwefelkies 99.
 Schwefelmangan 81, 82.
 Schwefel und Eisen 98.
 Schweisseisen 277.
 — sehniges 301.
 Sehne 298.
 Silicium 72, 73, 74, 75, 115, 309, 318.
 — Bildungswärmen 24.
 — Einfluss auf die Schwefelverteilung 129.
 Silizierungsstufe 274, 360, 392.
 Siemensfeuerungen 341.
 Siemens-Martinprozess 277, 307 341.
 Sorbit 387.
 Spezialstahl 366.
 Spiessprobe 317.
 Stahl 294.
 Steine 144, 145.
 Stickstoff vor den Formen 176.
 Strahlung, Wärmeverlust durch — 314.

T.

Talbot-Verfahren 364.
 Temperatur 4, 163, 278
 Temperatursteigerung 311, 312, 313.
 Temperkohle 67, 78, 282.
 Temperstahl 282.
 Teilungskoeffizient 122, 127, 134, 130, 147, 275, 338, 361.
 Thomasprozess 149, 277, 309, 327, 328.
 — Rolle der Schlacke beim — 336.
 Thomasstahl und Schlacke 134.
 Thonerde 218.
 Thontiegel 373.
 Tiegel 373.
 Tiegelschachtöfen 367.
 Tiegelstahl 366.
 Tiegelstahlerzeugung 366.
 Titan 119.
 Troostit 77, 387, 388.
 Troutonsche Regel 215.

U.

Uchatiusstahl 366.
 Umschmelzen des Roheisens 373.
 Umsetzen 300.
 Umwandlungen dimorphe, umkehrbare 4, 5.

V.

Van der Waalsche Gleichung 398.
 Van't Hoff'sche Gleichung 9, 218.
 Ventilatoren 376.
 Veränderungen des Gasstromes im oberen
 Teile des Ofenschachtes 201.
 — welche die Beschickung im obersten
 Teile des Hochofens erleidet 206.
 — welche die Beschickung im unteren
 Teile des Ofenschachtes erleidet 216.
 Verbrannt 20.
 Verbrennen des Eisens 282.
 Verbrennung vor den Formen 161, 166,
 176, 257.
 Verdampfungswärme 207.
 Volum, spezifisches 207, 394
 Vorblasen 329.

W.

Wärme, latente 167, 207.
 Wärmebilanz 240.
 Wärmeverlust 314.
 Wallonenfrischen 294, 295.

Walzensinter 15, 19.

Wasserdampf, Dissociation 182.
 — vor den Formen 176.
 Wassergas und Temperatur 188.
 Wassergasgleichgewicht 177.
 Wasserstoff, Bildungswärmen 25.
 Wechselwirkungen zwischen Eisen und
 Agentien 11, 13.
 Werkzeugstahl 367.
 Winderhitzer 32.
 Winderhitzung 157.
 Windfrischen 307.
 Windmenge 261, 265.
 Windpressung 157, 165.
 Windtemperatur 246.
 Wolfram 118.
 Württembergers Verfahren 342, 362.

Z.

Zacken 295.
 Zinkoxyd 218.
 Zuschläge 154.
 Zweimalerschmelzerei 294.

